

**A tetembontás atlasza / Toldt Károly ; [Hungarian edition edited by]  
Tellyesniczky Kálmán.**

**Contributors**

Toldt, Carl, 1840-1920.  
Tellyesniczky, K.

**Publication/Creation**

Budapest : Univesitas könyvkiadó társaság, 1912.

**Persistent URL**

<https://wellcomecollection.org/works/ygcfg8fn>

**License and attribution**

Conditions of use: it is possible this item is protected by copyright and/or related rights. You are free to use this item in any way that is permitted by the copyright and related rights legislation that applies to your use. For other uses you need to obtain permission from the rights-holder(s).

**wellcome  
collection**

Wellcome Collection  
183 Euston Road  
London NW1 2BE UK  
T +44 (0)20 7611 8722  
E [library@wellcomecollection.org](mailto:library@wellcomecollection.org)  
<https://wellcomecollection.org>

# TOLDT: A TETEMBONTÁS ATLASZA



A MAGYAR KIADÁST SAJTÓ ALÁ RENDEZTE

**Dr. TELLYESNICZKY KÁLMÁN**

EGYET. NY. RENDES TANÁR

**VI. Az idegtan. Az érzékszervek tana.**

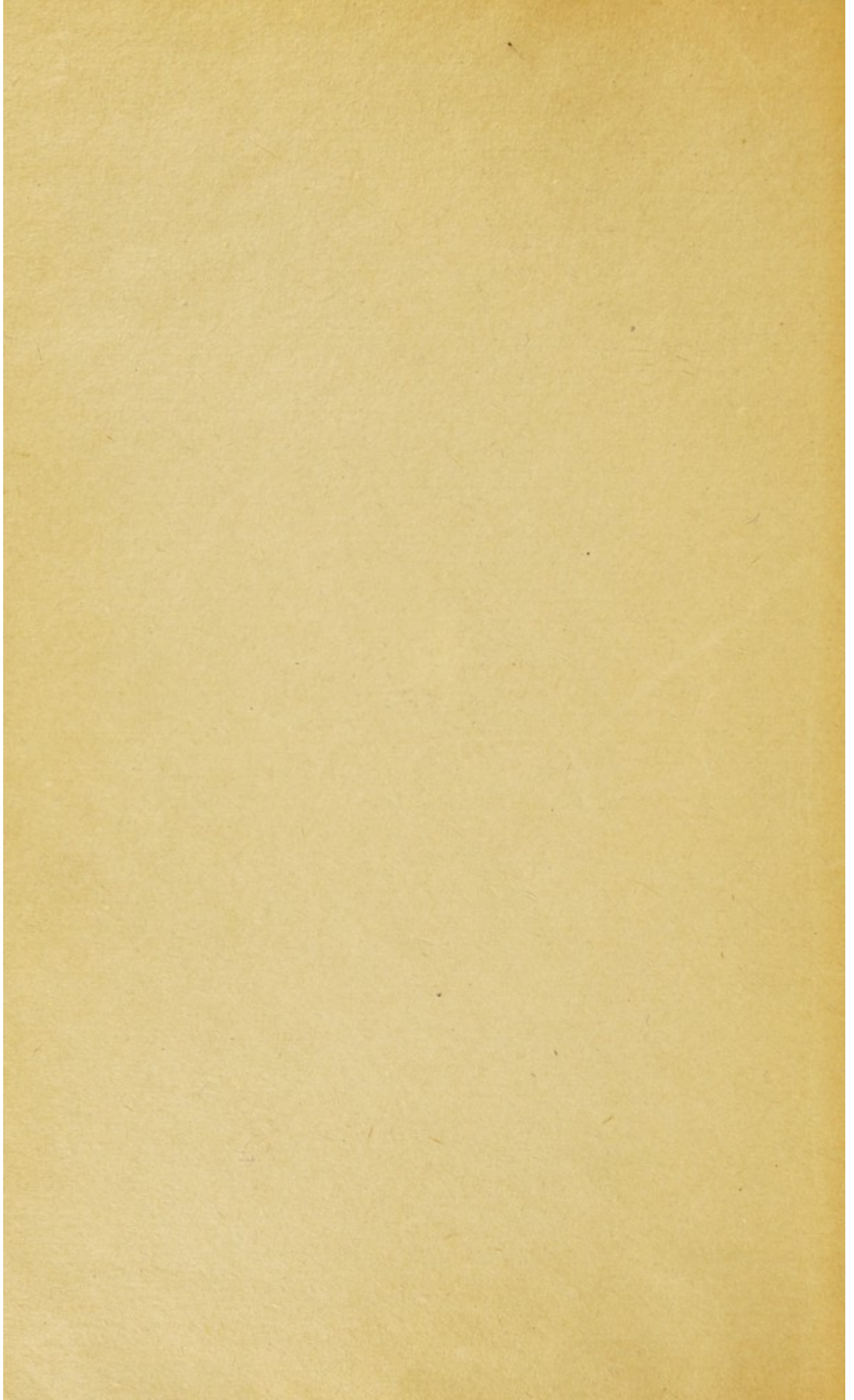
UNIVERSITAS  
KÖNYVKIADÓTÁRSÁG  
SÁG :::: BUDAPEST.





Med  
K8323





# A TETEMBONTÁS ATLASZA

1505 NAGYRÉSZBEN SZINES FAMETSZETTEL  
ÉS 13 EREDETI RÖNTGENKÉPPEL

DALLA ROSA ALAJOS D<sup>r</sup> TANÁR KÖZREMŰKÖDÉSÉVEL KIADTA

**TOLDT KÁROLY D<sup>r</sup>**

CS. K. UDVARI TANÁCSOS, A BÉCSI EGYETEM V. NY. R. TANÁRA

A MAGYAR KIADÁST SAJTÓ ALÁ RENDEZTE

**TELLYESNICZKY KÁLMÁN D<sup>r</sup>**

A BUDAPESTI EGYETEM NY. R. TANÁRA

HATODIK KÖTET

AZ IDEGTAN  
ÉRZÉKSZERVEK TANA

1124—1505 RAJZ

*Barabás könyv*



UNIVERSITAS  
KÖNYVKIADÓ TÁRSASÁG  
BUDAPEST, 1912



## A TELJES MUNKA TARTALMA :

### I. kötet. AZ EMBERI TEST TÁJÉKAI. A CSONTTAN.

1—377 rajz.

Füzve K 10.—.

### II. kötet. A SZALLAGTAN.

378—489 rajz, 11 eredeti Röntgenkép.

Füzve K 6.—.

### III. kötet. AZ IZOMTAN.

490—640 rajz.

Füzve K 9.—.

### IV. kötet. A ZSIGERTAN.

641—932 rajz és 2 Röntgenkép.

Füzve K 10.—.

### V. kötet. AZ ÉRTAN.

933—1123 rajz.

Füzve K 15.—.

### VI. kötet. AZ IDEGTAN ÉS ÉRZÉKSZERVEK TANA.

1124—1505 rajz.

Füzve K 18.—.

WELLCOME INSTITUTE LIBRARY	
Coll.	WaltzOmeo
Coll.	
No	05

25621 085

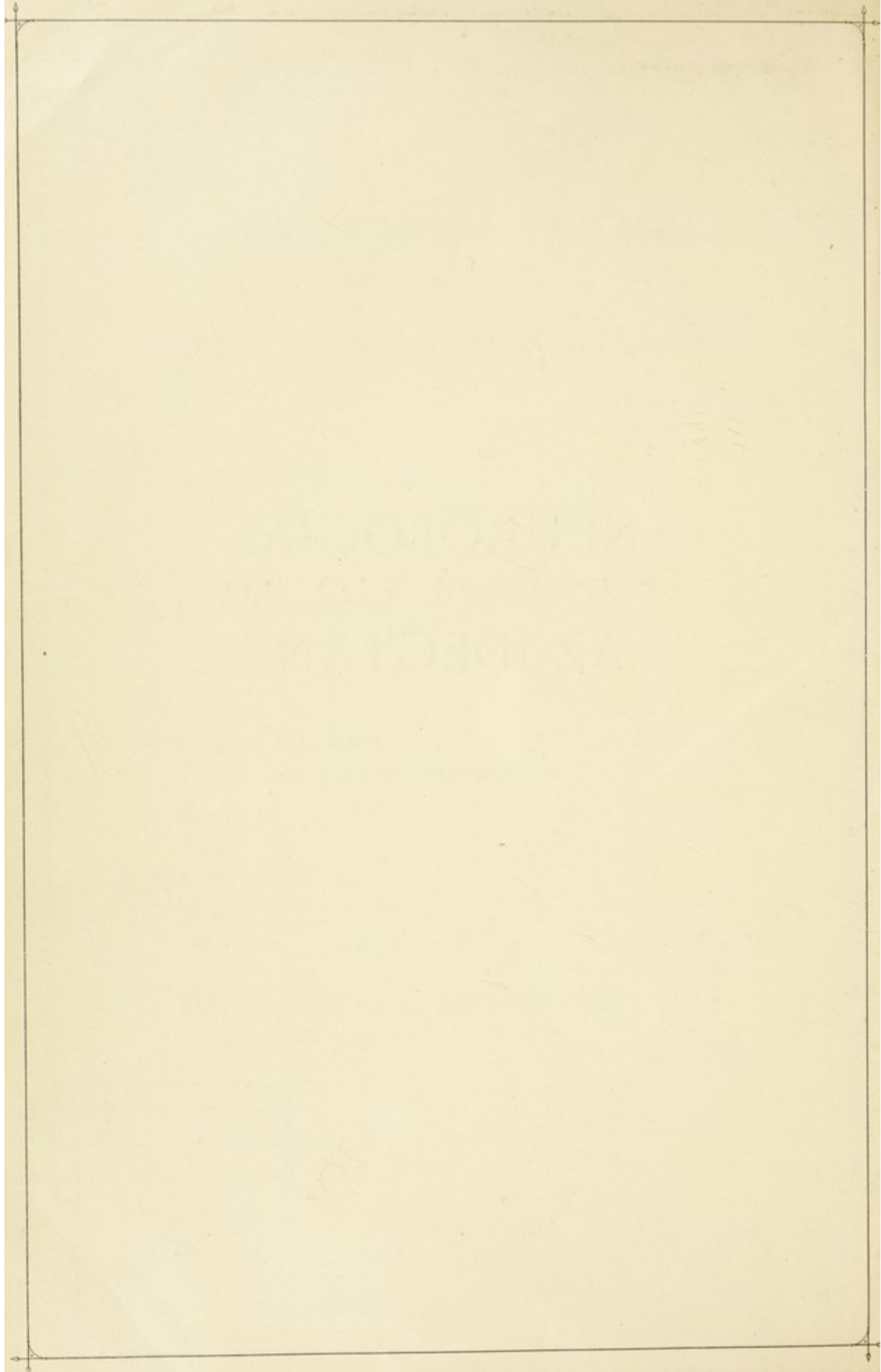
33

60

NEUROLOGIA.  
AZ IDEGTAN.



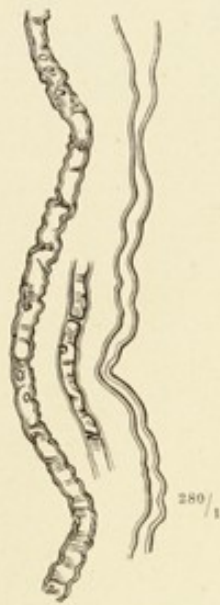




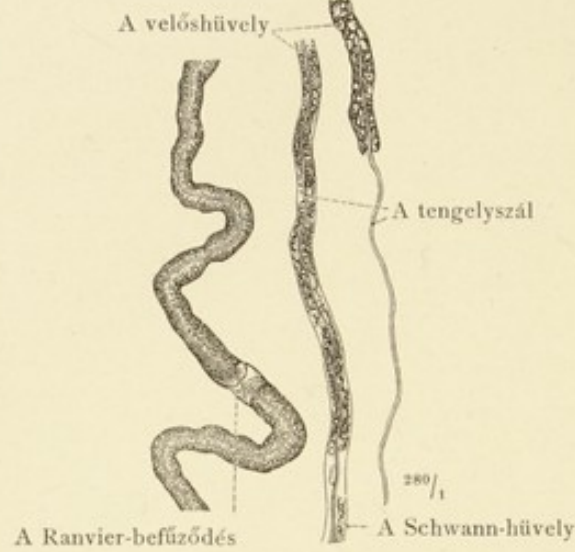
AZ IDEGEKRŐL ÁLTALÁBAN.



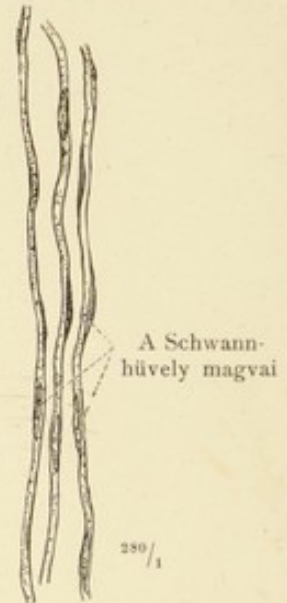




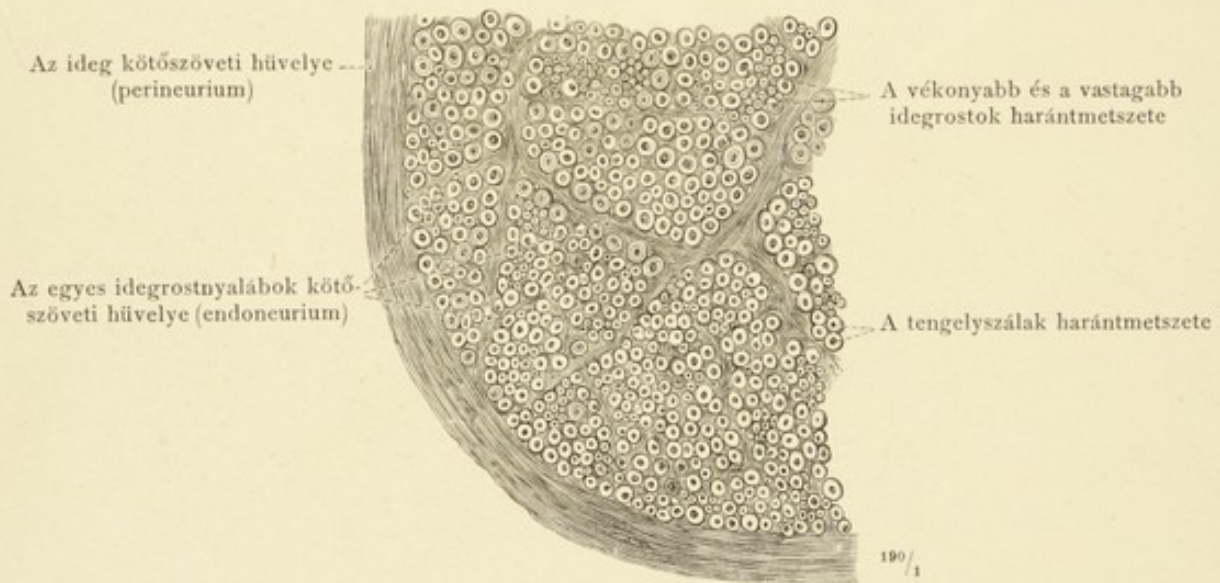
1124. rajz. Velőshüvelyű idegrostok; konyhasó-oldatban szétfeszített perifériás idegből.



1125. rajz. Velőshüvelyű idegrostok. A tengelyszál a Müller folyadék hatására látható.

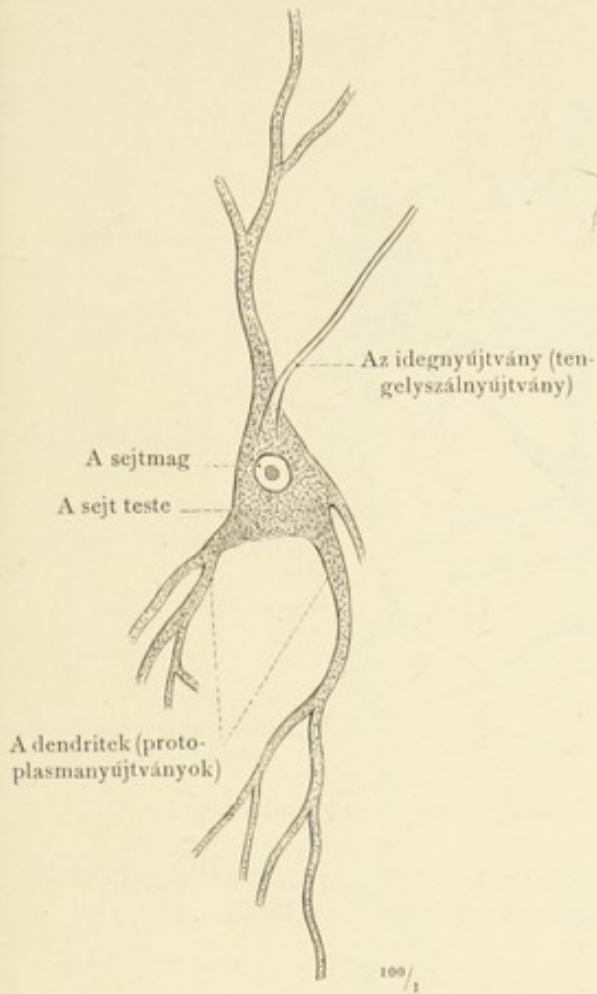


1126. rajz. Velőshüvely nélküli, Schwann-burokkal bíró idegrostok, a szimpatikus határkötegből.

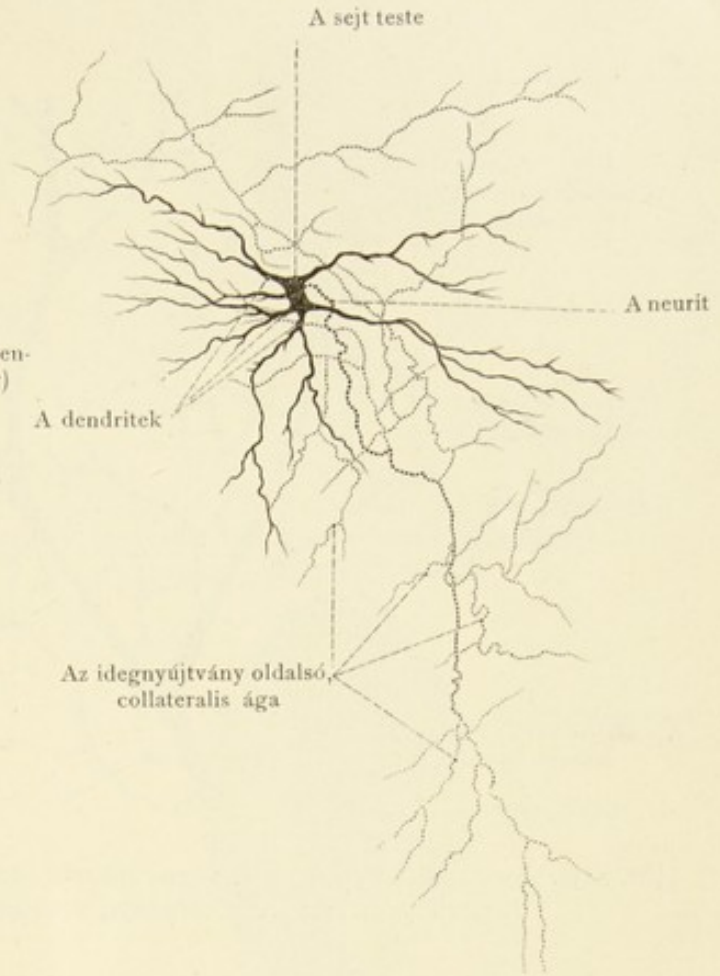


1127. rajz. Emberi nervus medianus harántmetszetének része.

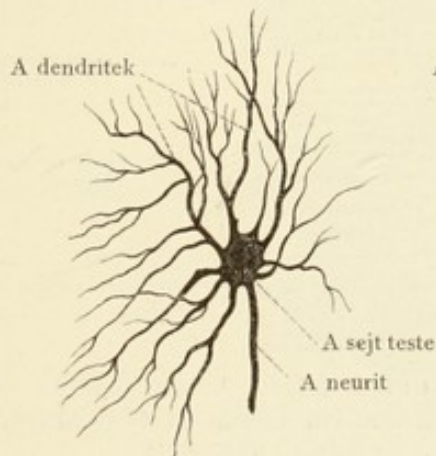
Az idegrostok.



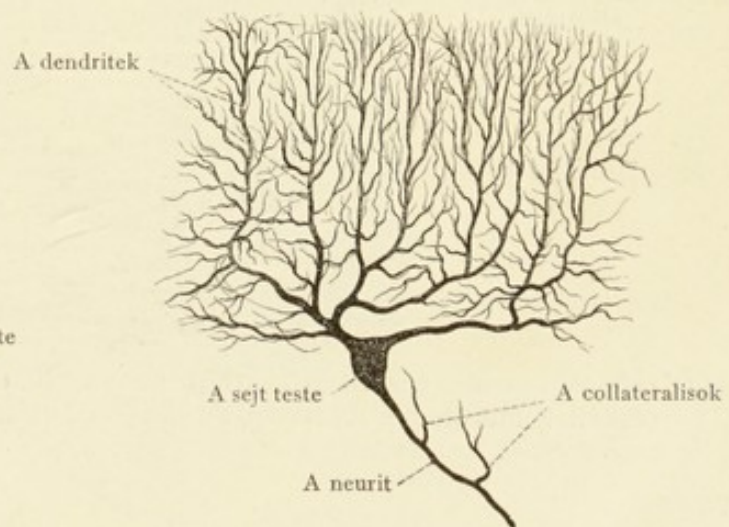
1128. rajz. Az emberi gerincvelő elülső oszlopának mozgató idegsejtje.



1129. rajz. Az érző idegsejtek egyik fajtája, Golgi szerint.



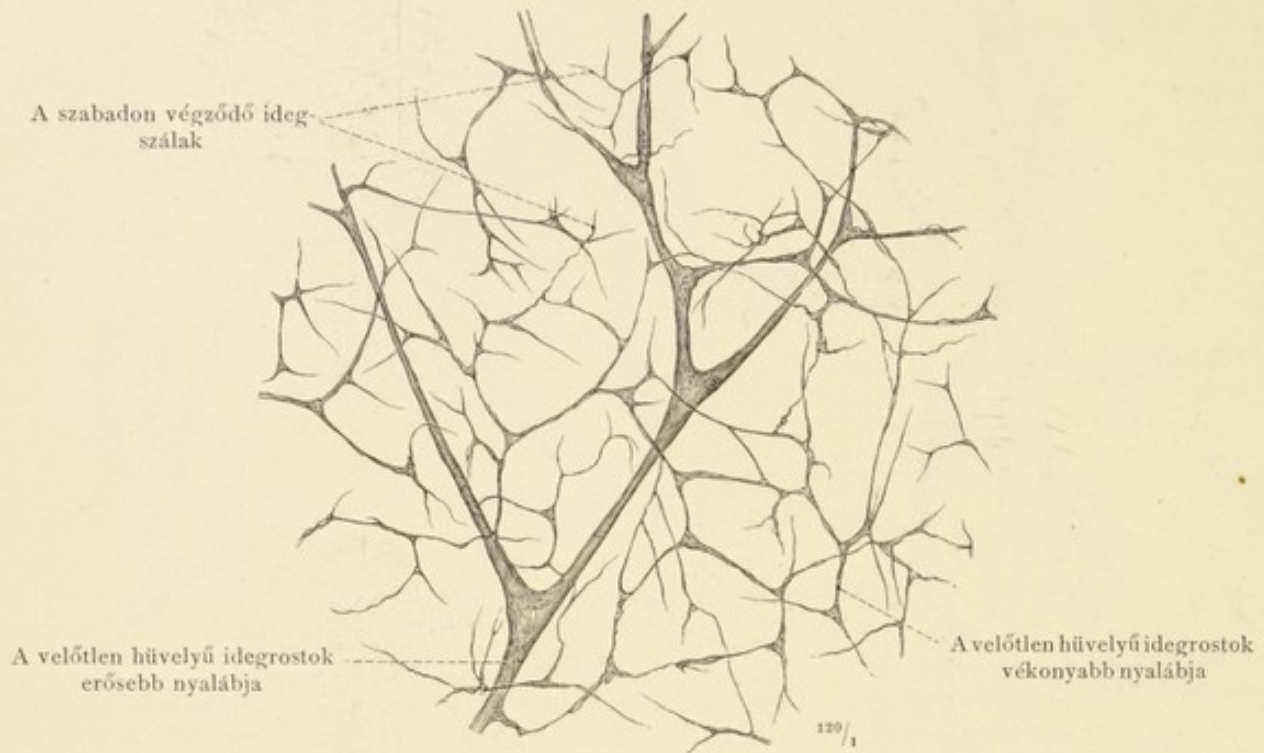
1130. rajz. A szimpatias idegrendszer idegsejtje.



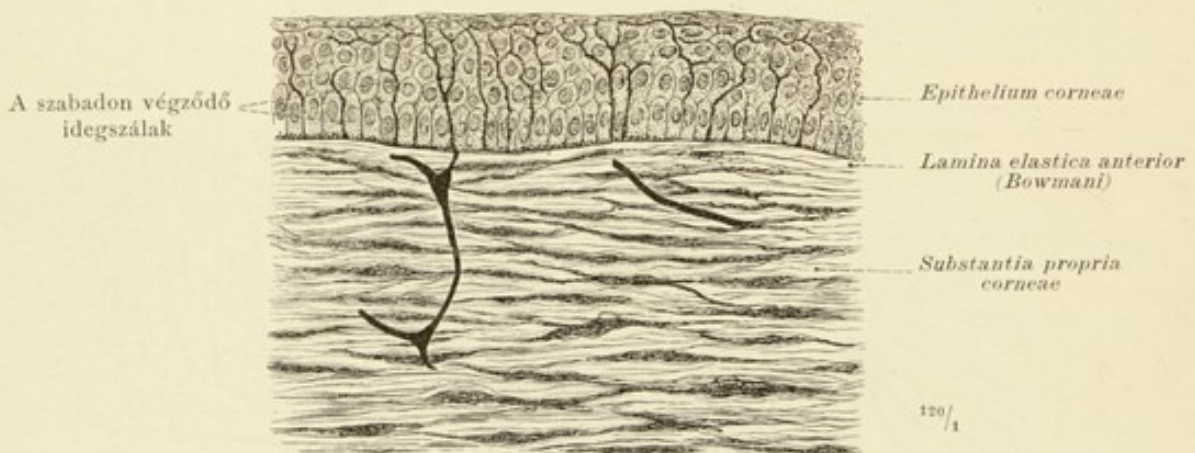
1131. rajz. Az ember kisagyvelőjének Purkinje-sejtje, Golgi szerint.

Az idegsejtek.





1132. rajz. A szaruhártya idegei, aranychlorid oldattal kezelve. Lapjáról nézve. Az érző idegek periferiás véghálózata, szabadon végződő idegszálakkal.



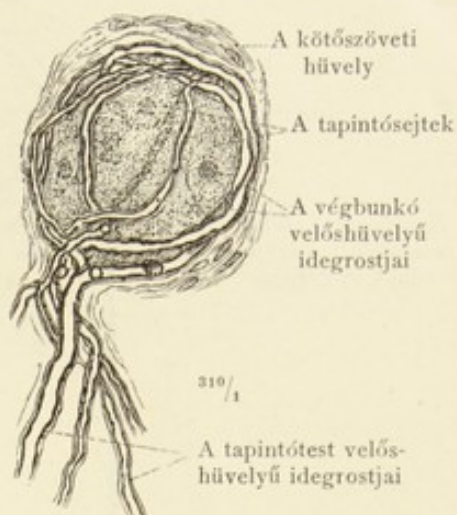
1133. rajz. A szaruhártya idegei, aranychlorid oldattal kezelve. A szaruhártya elülső részének merőleges metszete. Az idegszálak a hámban szabadon végződnek.

Az érző idegek periferiás vége.

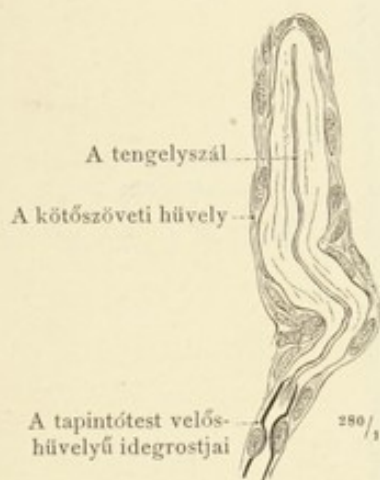




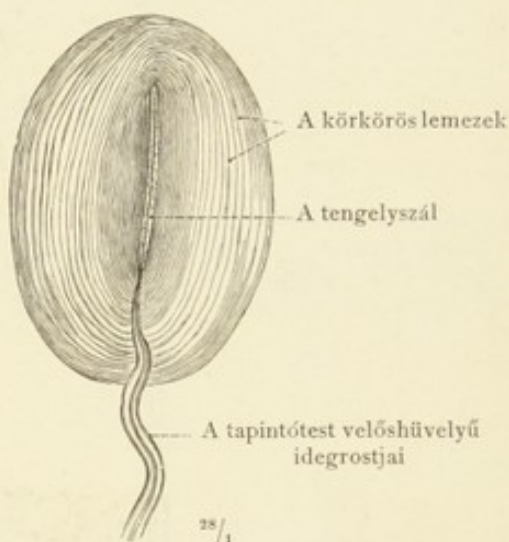
1134. rajz. Meissner-tapintó test, corpusculum tactus, felnőtt ember ujjpárnájából.



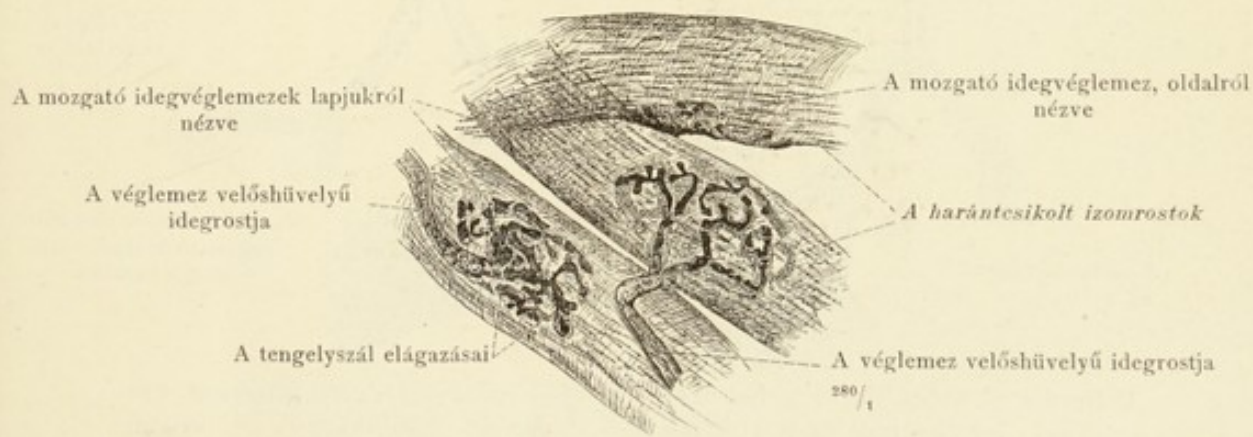
1135. rajz. Gömbalakú Krause-végbunkó, corpusculum bulboideum, az emberi szem kötőhártyájából.



1136. rajz. Henger alakú végbunkó, a borjú kötőhártyájából.

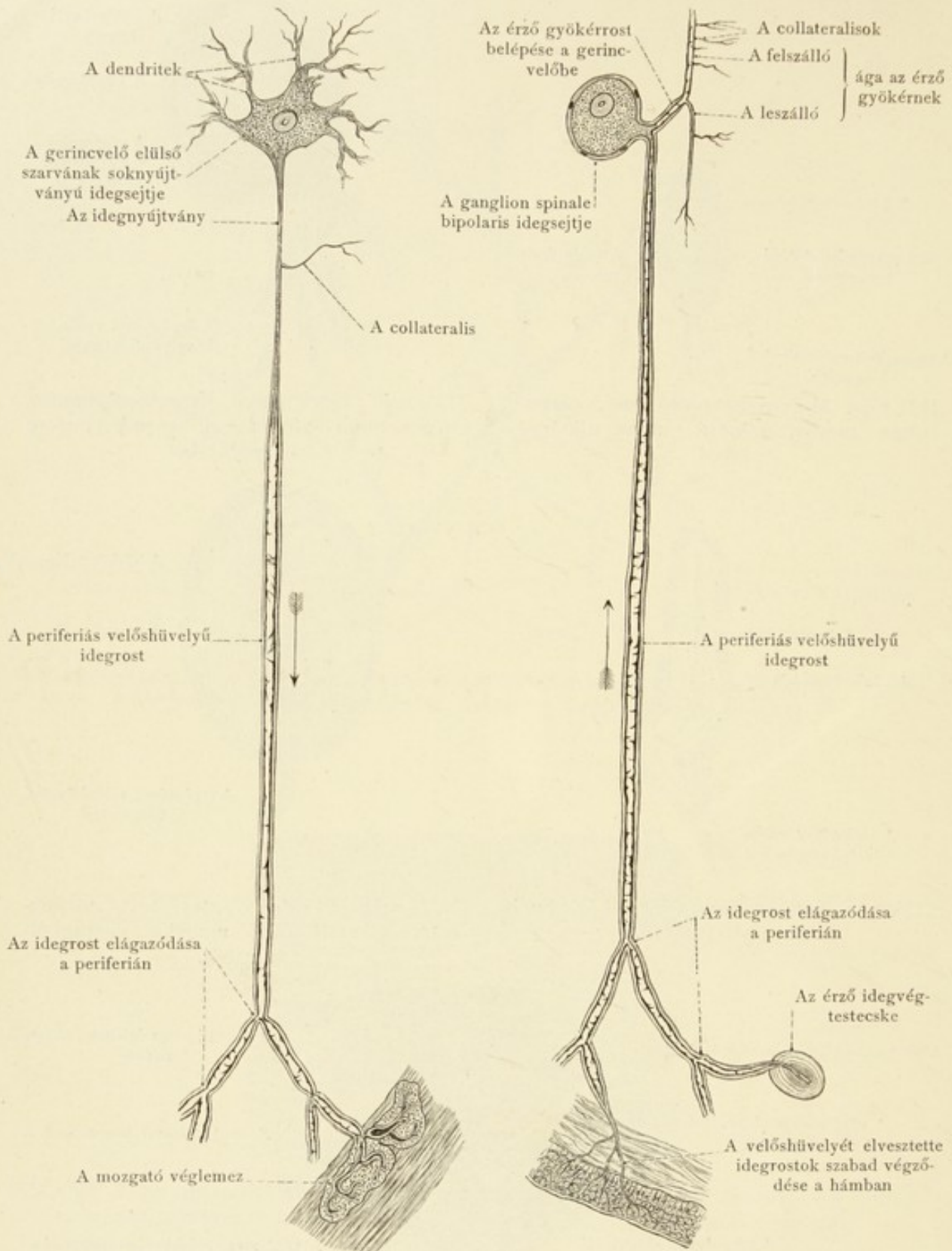


1137. rajz. Paccini (Vater) test, corpusculum lamellosum; macska vastagbél-fodrából.



1138. rajz. Mozgató idegvégződés a harántcsíkolt izomban.

Az idegvégtestek, corpuscula nervorum terminalia. —  
A mozgató idegvégződések.



1139. rajz. A mozgató idegrost eredésének, lefutásának és perifériás végződésének sémája.

A nyilak mindkét rajzban az ingervezetés irányát mutatják.

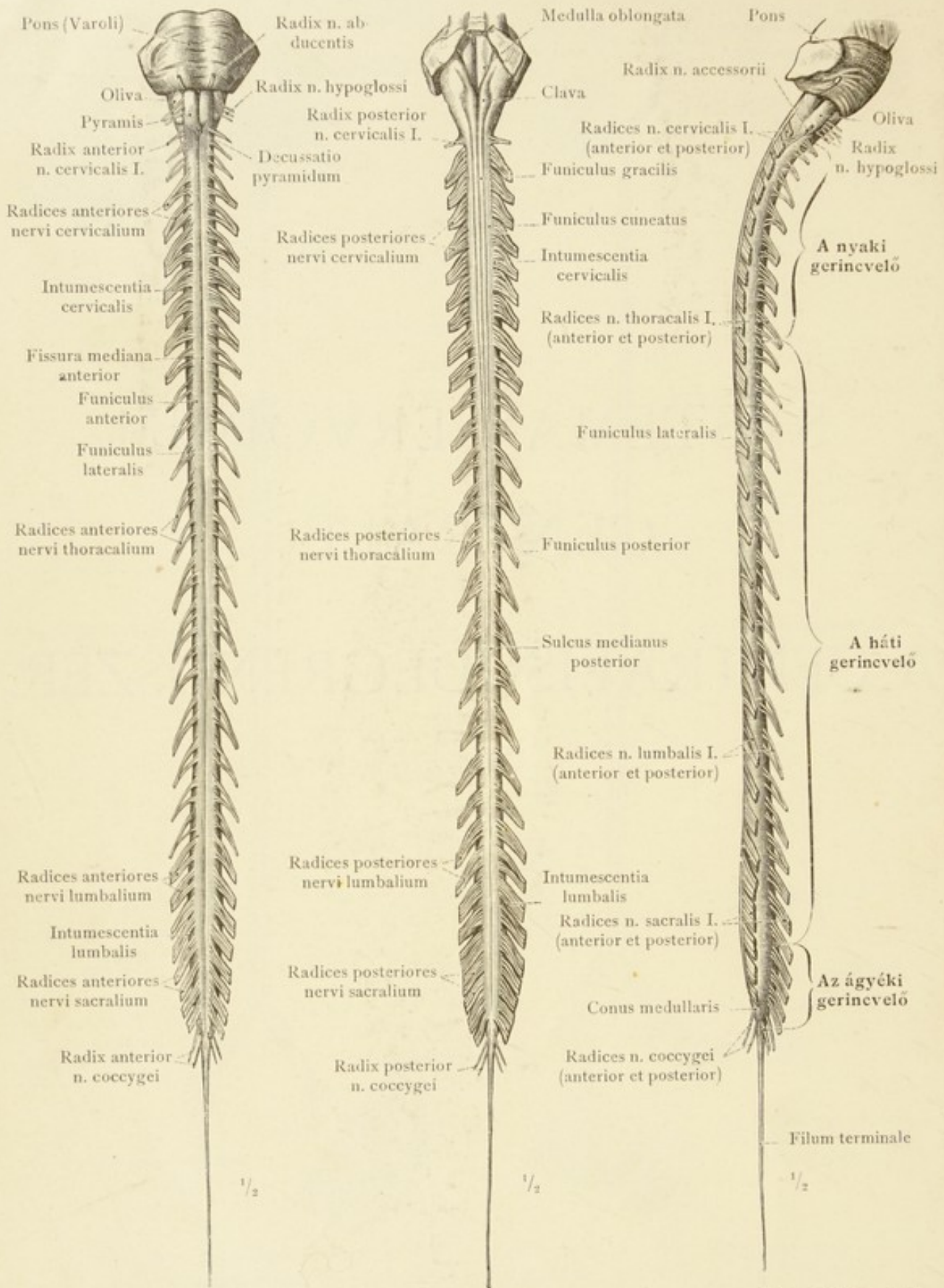
1140. rajz. Az érző idegrost eredésének, lefutásának és végződésének sémája.

Az idegrostok eredése és végződése.

SYSTEMA NERVORUM  
CENTRALE.  
A CENTRALIS IDEGRENDSZER.





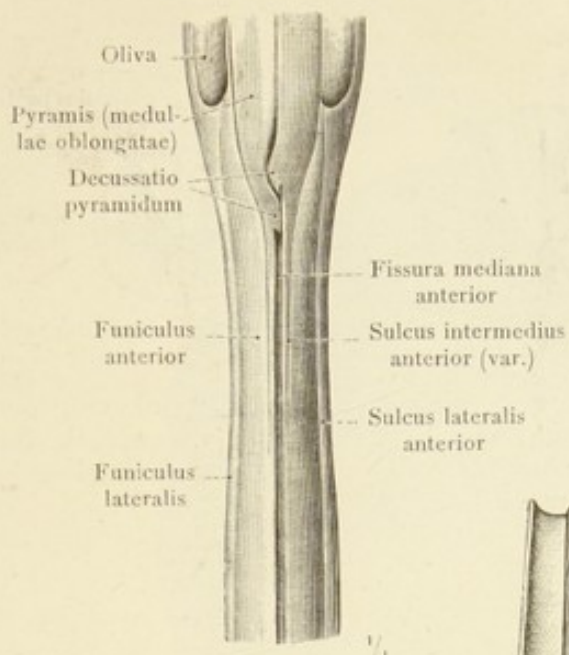


1141. rajz. Elül-ől nézve.

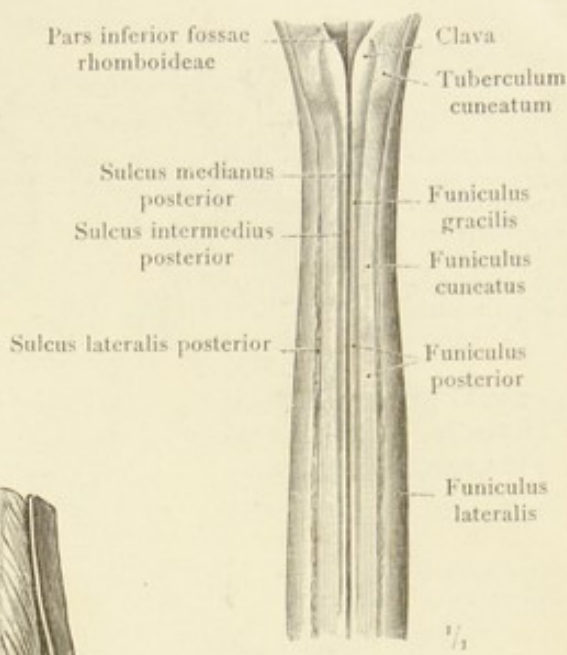
1142. rajz. Hátról nézve.

1143. rajz. Jobboldalról nézve.

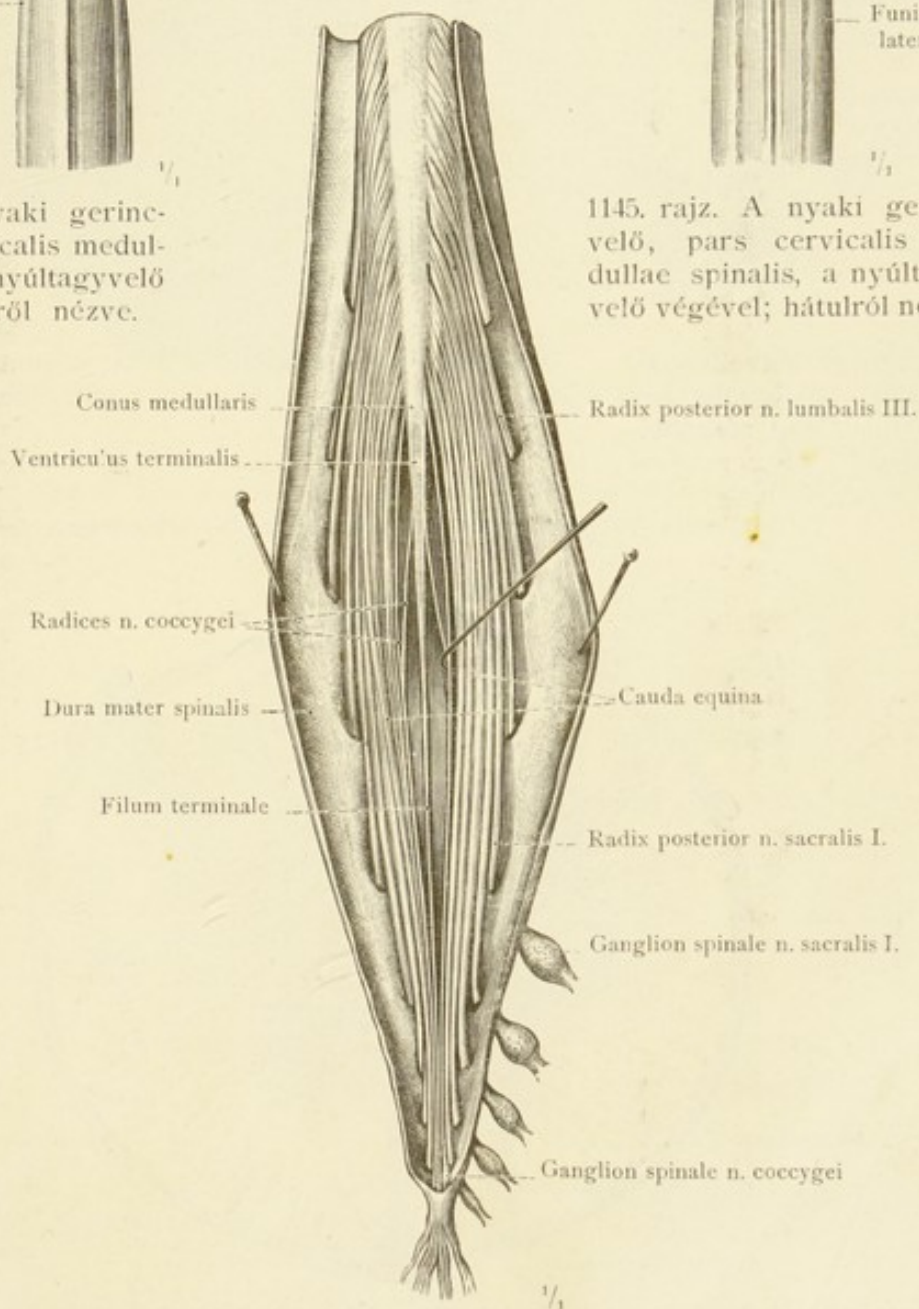
Medulla spinalis, a gerincevelő.



1144. rajz. A nyaki gerincvelő, pars cervicalis medullae spinalis, a nyúltagyvelő végével; elülről nézve.



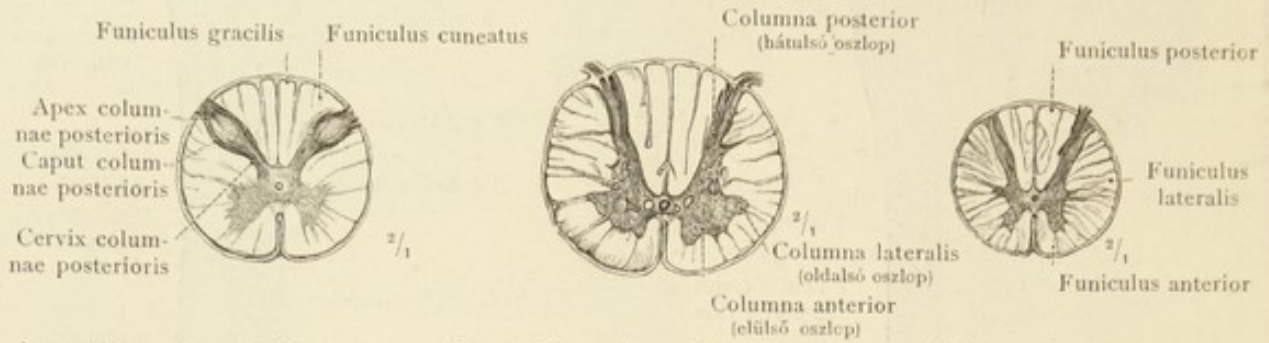
1145. rajz. A nyaki gerincvelő, pars cervicalis medullae spinalis, a nyúltagyvelő végével; hátulról nézve.



1146. rajz. Az ágyéki gerincvelő, pars lumbalis medullae spinalis, végével, a conus medullarissal, a végfonállal, a filum terminaleval és a cauda equinával, hátulról nézve.

Medulla spinalis, a gerincvelő.

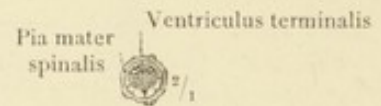
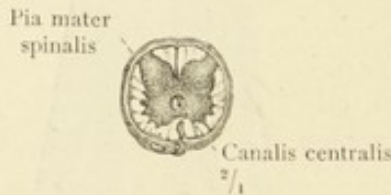
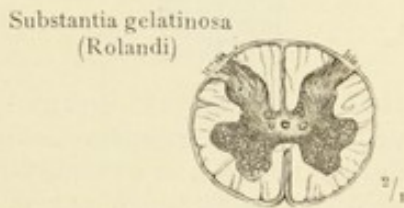




A nyaki gerincvelő, pars cervicalis, a 2-ik nyaki ideg magasságában.

A nyaki gerincvelő, pars cervicalis, a nyaki gerincvelő vastag részéből, a 6. nyaki ideg magasságában.

A háti gerincvelő, pars thoracalis, az 5-ik háti ideg magasságában.

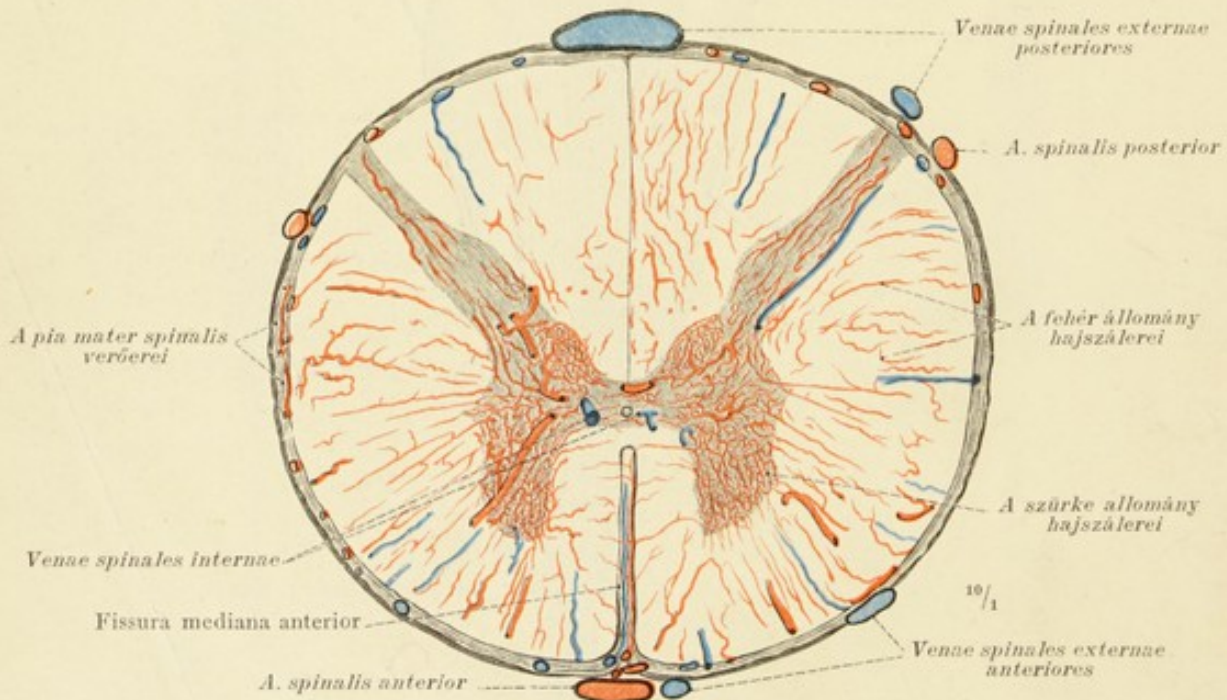


Az ágyéki gerincvelő, pars lumbalis, az ágyéki gerincvelő vastag részéből, a 4. ágyéki ideg magasságában.

A végkúp, conus medullaris, a 3-ik sacralis ideg magasságában.

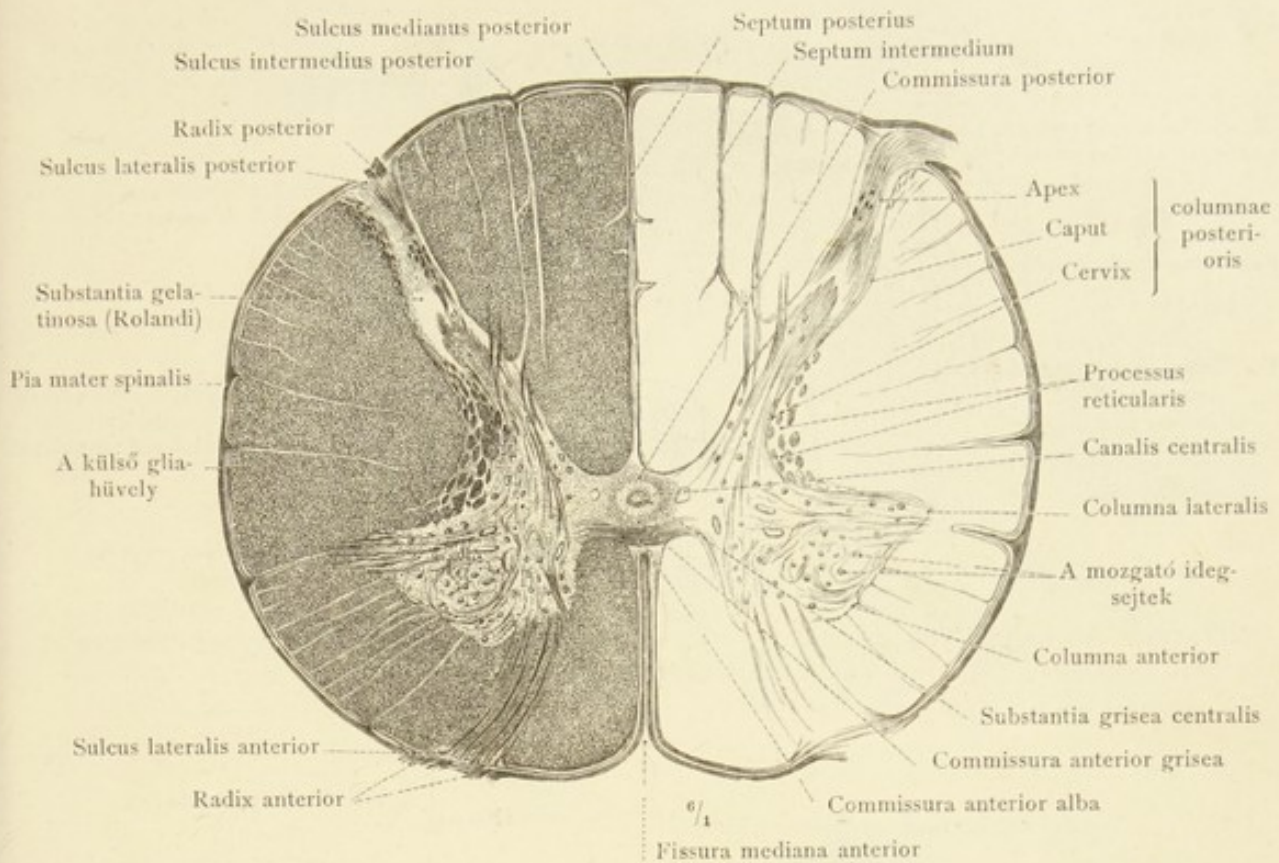
A végfonál, filum terminale, kezdetének metszete.

1147. rajz. Felnőtt ember gerincvelejének harántmetszetei.

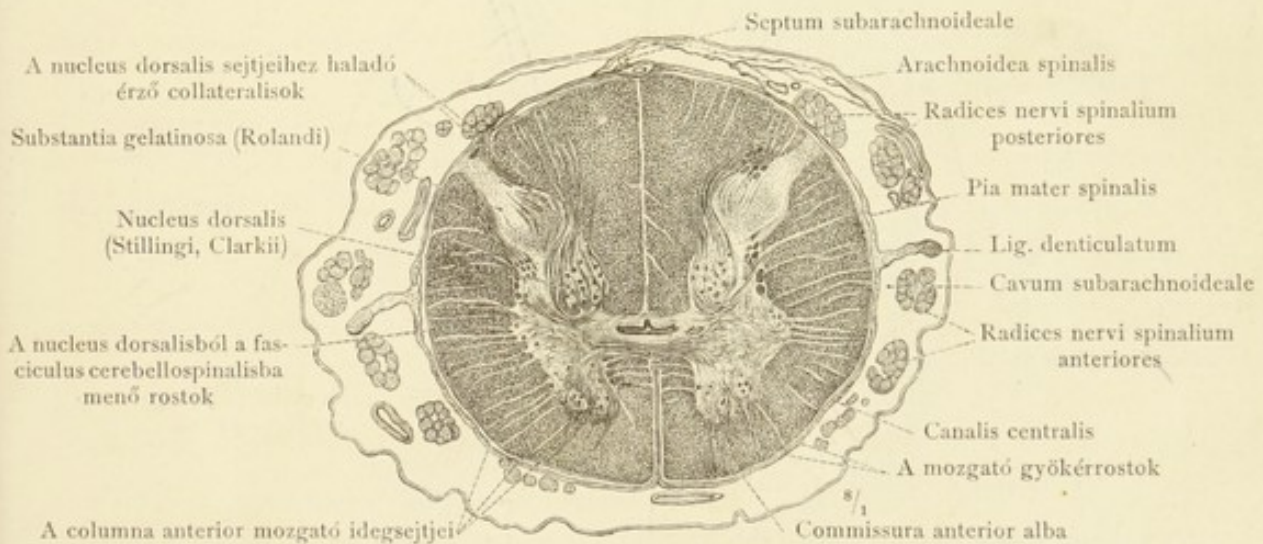


1148. rajz. A gerincvelő erci. A háti gerincvelő alsó végének harántmetszete.

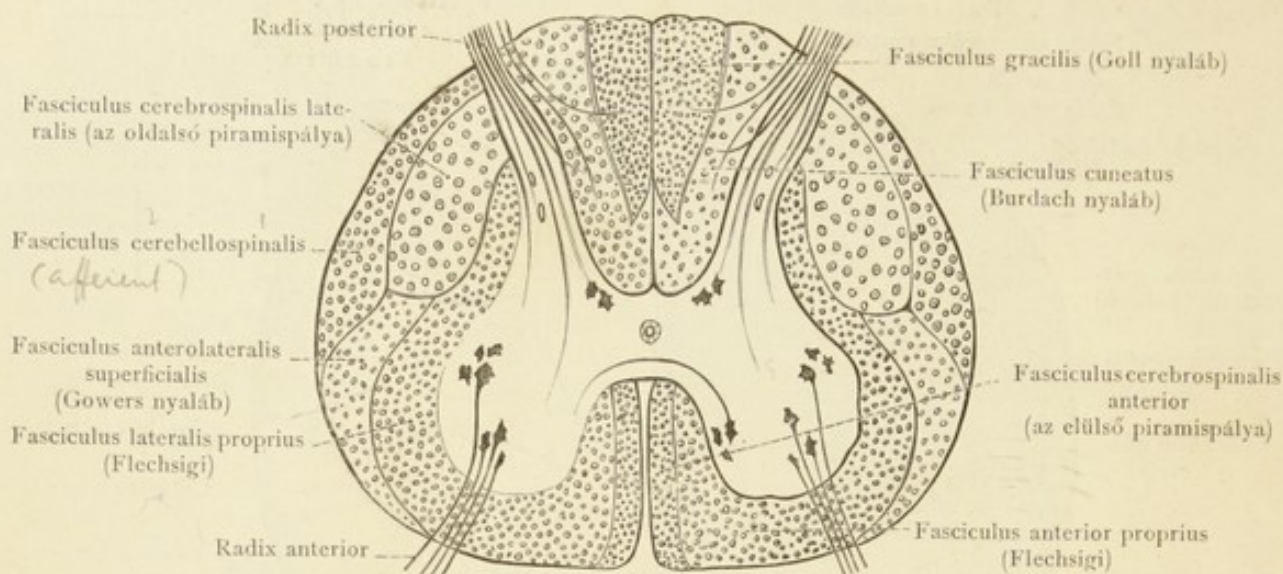




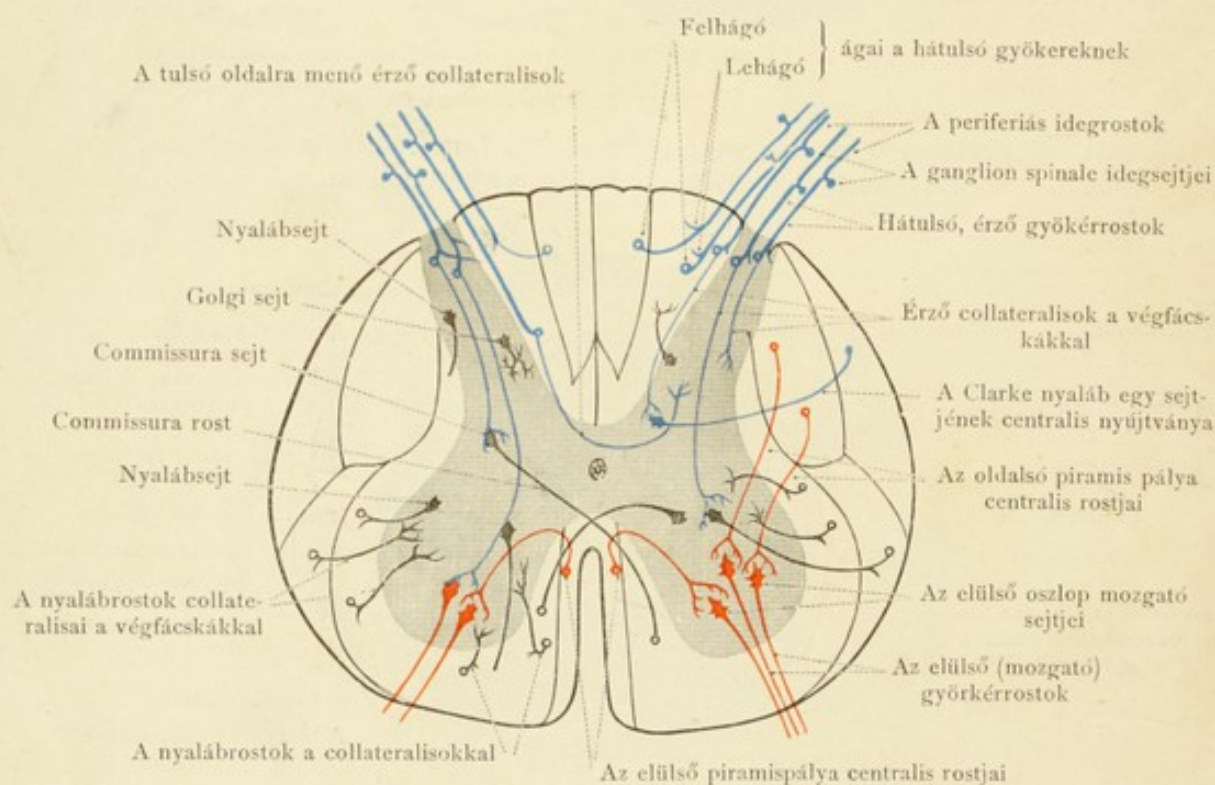
1149. rajz. A gerincvelő nyaki, vastag részének, intumescencia cervicalis, harántmetszete, a 6.-ik nyakideg magasságában.



1150. rajz. Az ágyéki gerincvelő legfelső részének harántmetszete, a pia materral és az arachnoideával. A nucleus dorsalis, a Clarke-oszlop. Három éves gyermekből.



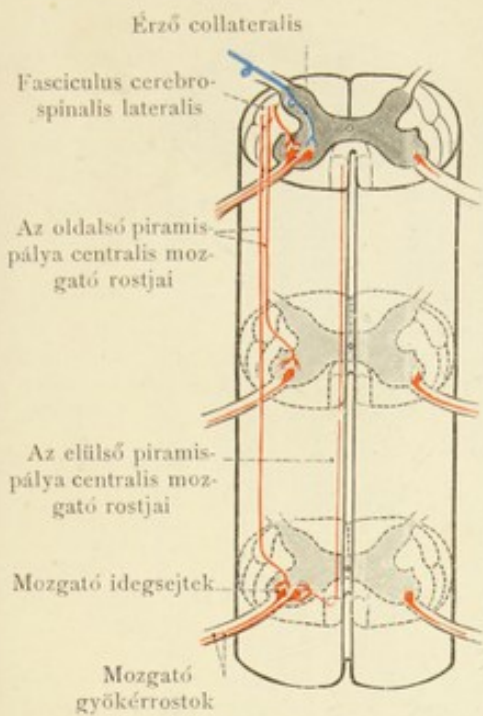
1151. rajz. Az idegpályák sémája a gerinevelő fehér állományában; a nyaki gerinevelő alsó részének metszete.



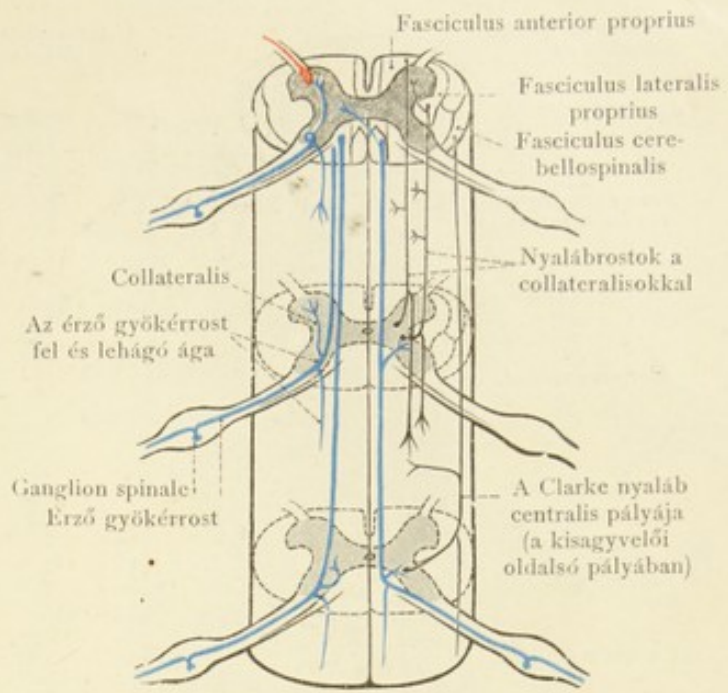
1152. rajz. Az idegrostok pályáinak sémája a gerinevelőben; nyaki gerinevelő alsó részének harántmetszete.

Decursus fibrarum spinalium, a gerinevelő idegrostjainak pályái.

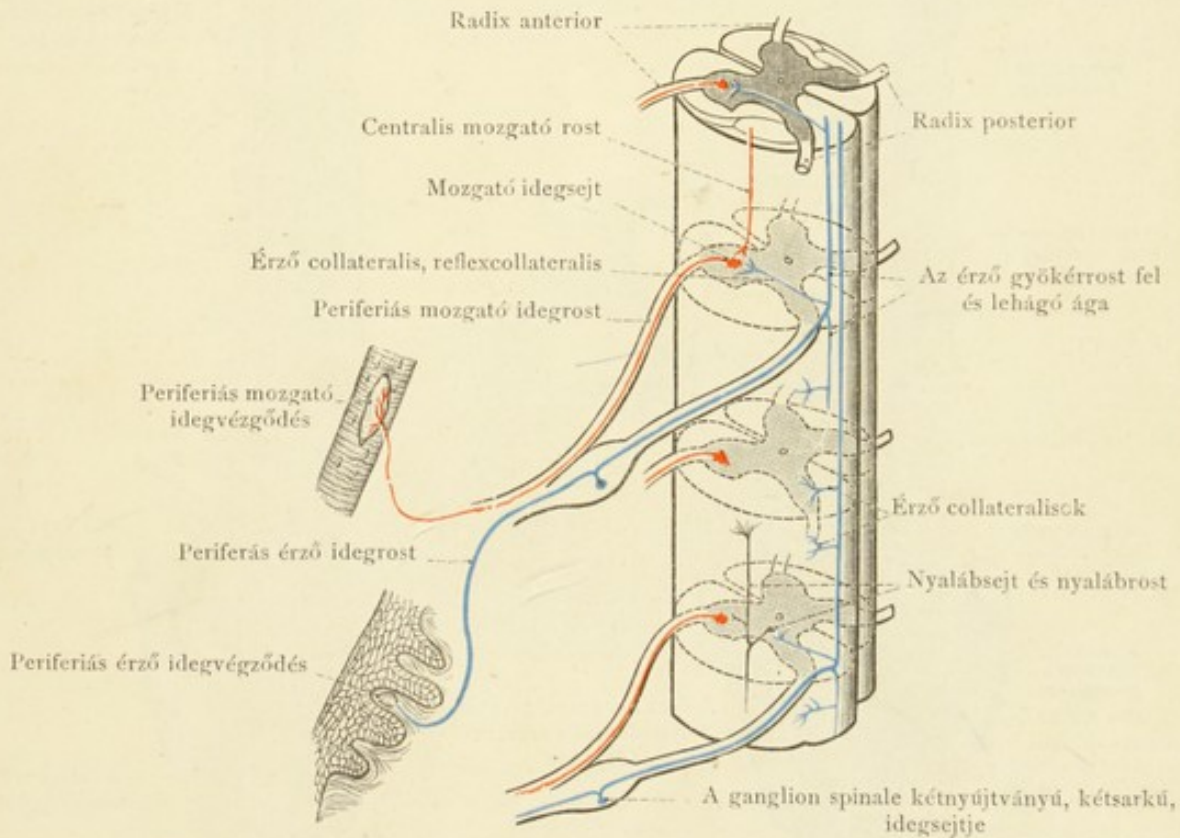




1153. rajz. A gerincevelő centralis, mozgató pályáinak sémája. Elülről nézve.



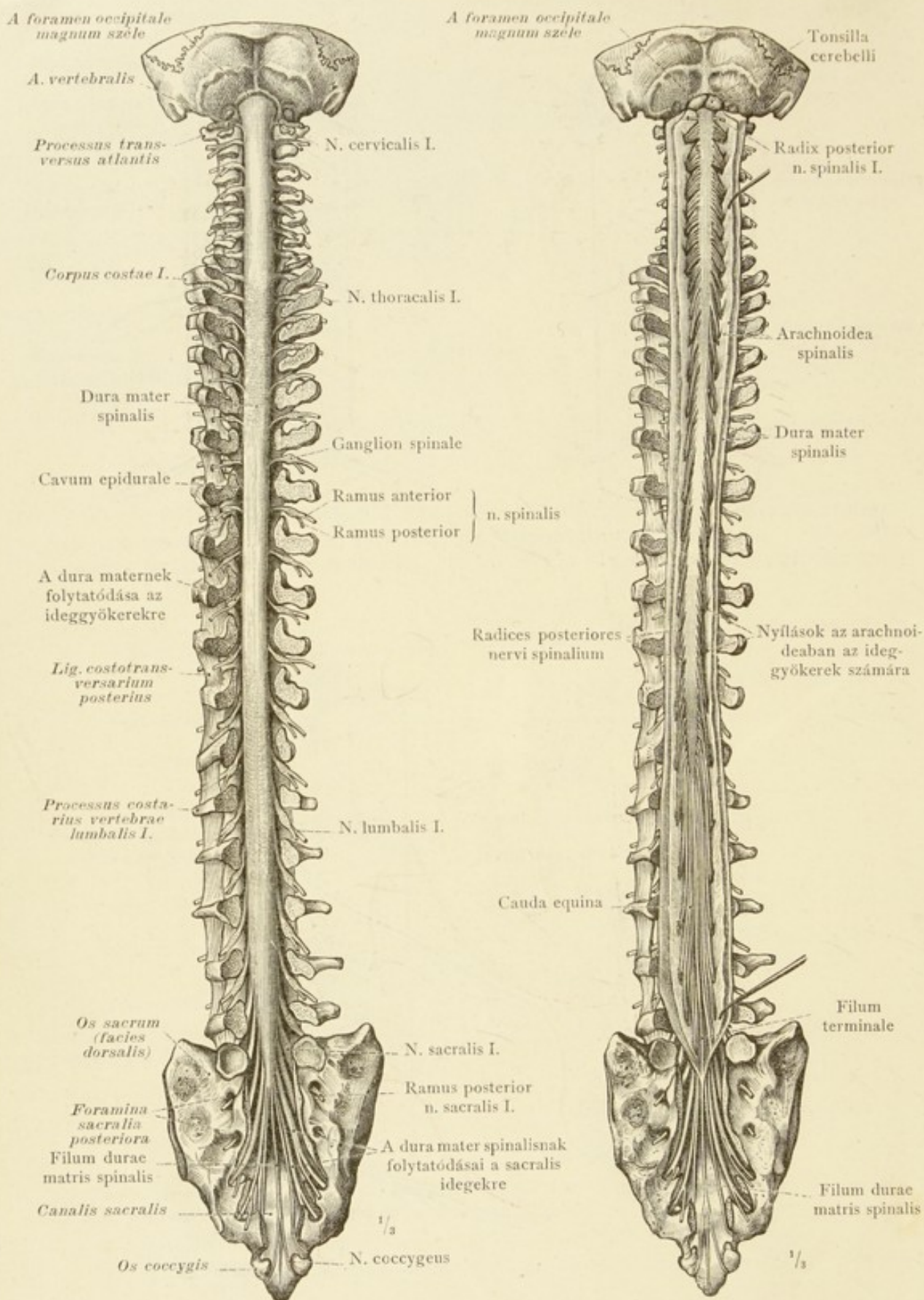
1154. rajz. A gerincevelő centralis, érző pályáinak sémája. Hátról nézve.



1155. rajz. A mozgató és az érző pályák sémája. A reflexívek.

Decursus fibrarum spinalium, a gerincevelő idegrostjainak pályái.



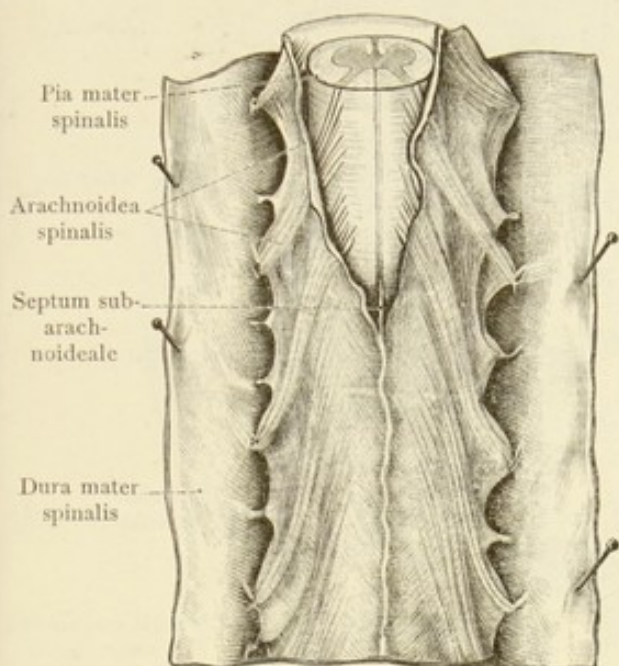


1156. rajz. A kemény gerincevelőburok, dura mater spinalis, hátulról nézve.

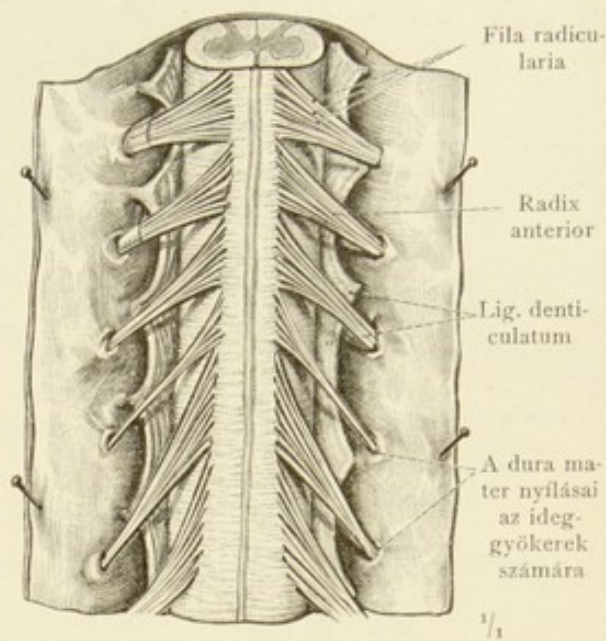
1157. rajz. A dura mater és az arachnoidea spinalis, hátulról megnyitva.

Meninges spinales, a gerincevelő burkai.

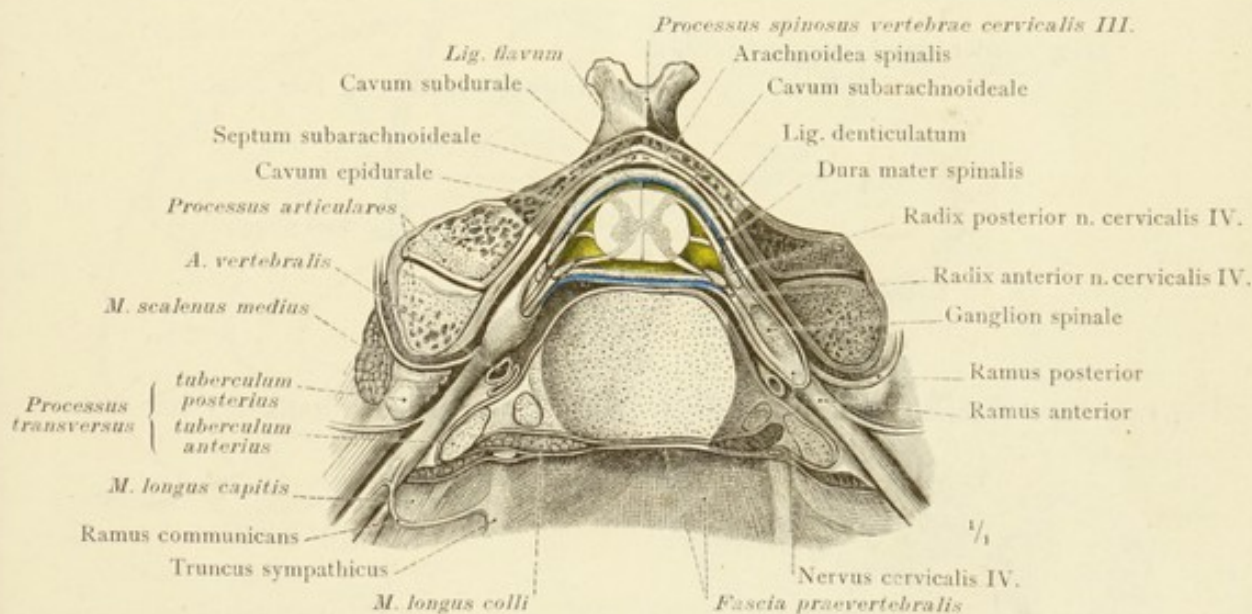




1158. rajz. Az arachnoidea spinalis, a nyaki gerincvelő darabján, a dura mater megnyitásával, hátulról. A készítmény felső részén az arachnoidea középtűl átvágva és széjjelhúzva.



1159. rajz. A gerincvelő függesztő szalagja, a ligamentum denticulatum, a nyaki gerincvelő darabján, a dura mater felmetszésével és az arachnoidea eltávolításával.



1160. rajz. A gerincvelő burkai és azok összefüggése az idegekkel, harántmetszetben. A subarachnoidealis üreg sárga, a subduralis üreg kék, az epiduralis üreg fekete. Metszet a 3. és a 4. nyakcsigolya közötti porckorong magasságában.

Meninges spinales, a gerincvelő burkai.



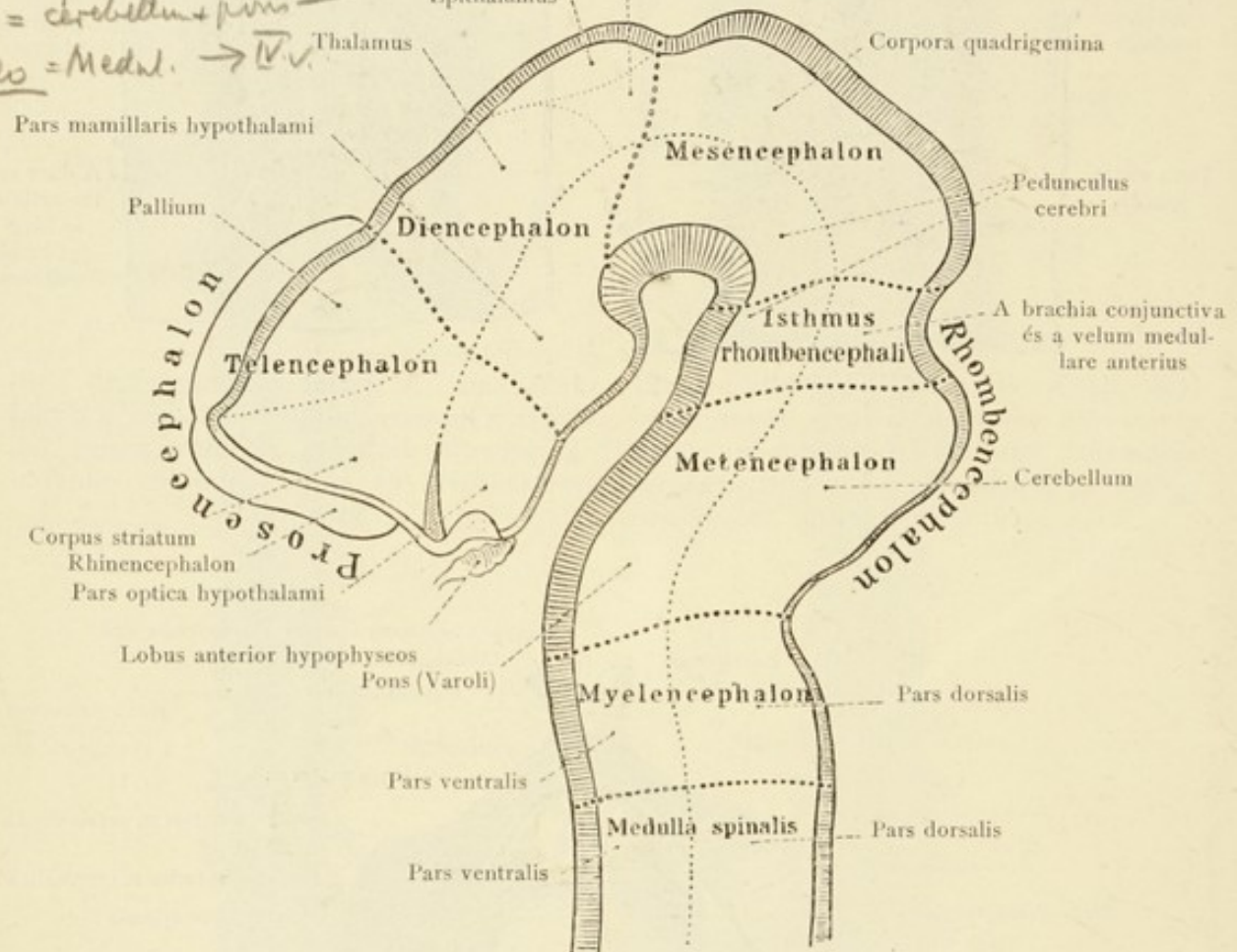
*A centralis idegrendszer.*

Ectoderm →  $\frac{1}{2}$  → neural plate

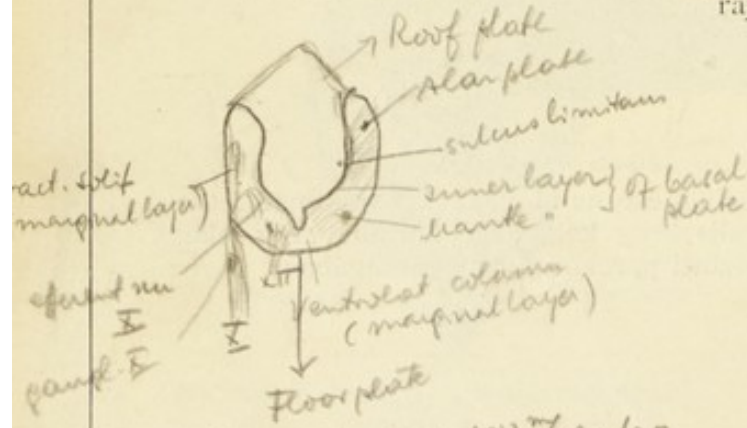
n. tube (differentiation →  $\frac{1}{2}$  of mantle) } alar plate } basal }  
 n. crest = metameric segment. = } marginal } primordia of cran. gangl. }  
 " } " } spinal }

n. tube = cephalic portion (3  $\frac{1}{2}$   $\frac{1}{2}$ ) = Prosencephalon } = telenceph  
 Mesencephalon } = Di " "  
 Rhombencephalon } = metenceph  
 Rhombencephalon } = metencephalon

Tel → cer. cortex + corp. striata + rhinenc. + p. optica hypothal. → Lat ventr + rostral  $\frac{1}{2}$  of III  
 Di → epith. thal, hypoth → greater part of III. ventr.  
 Mes = lam. quadrip + corpa cerebri → Metathalamus  
 Rh } Met = cerebellum + pons → Cerebelloqueduct  
 Myelo = Medul. → IV. v.

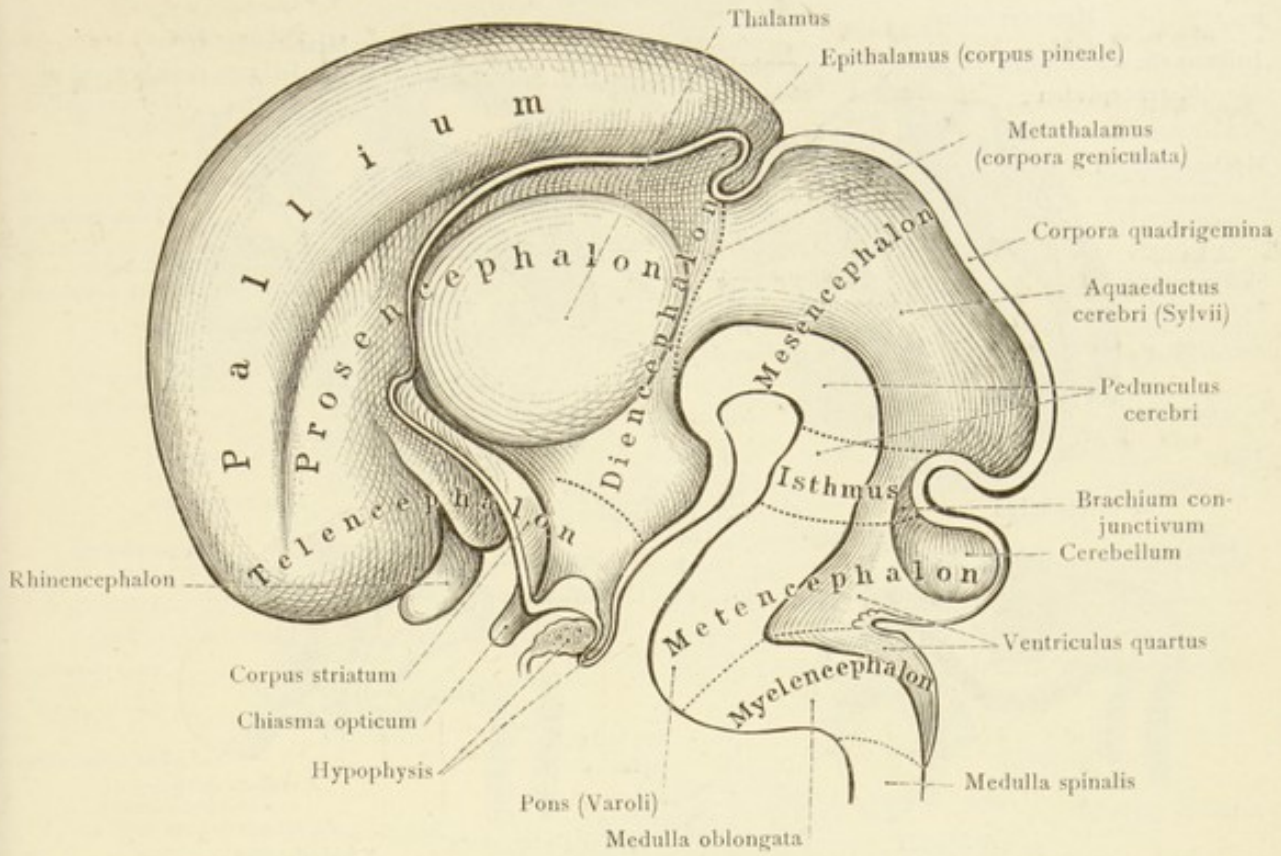


1161. rajz. Egy hónapos emberi magzat agyvelőjének median-sagittalis metszete. (His W. rajza.)

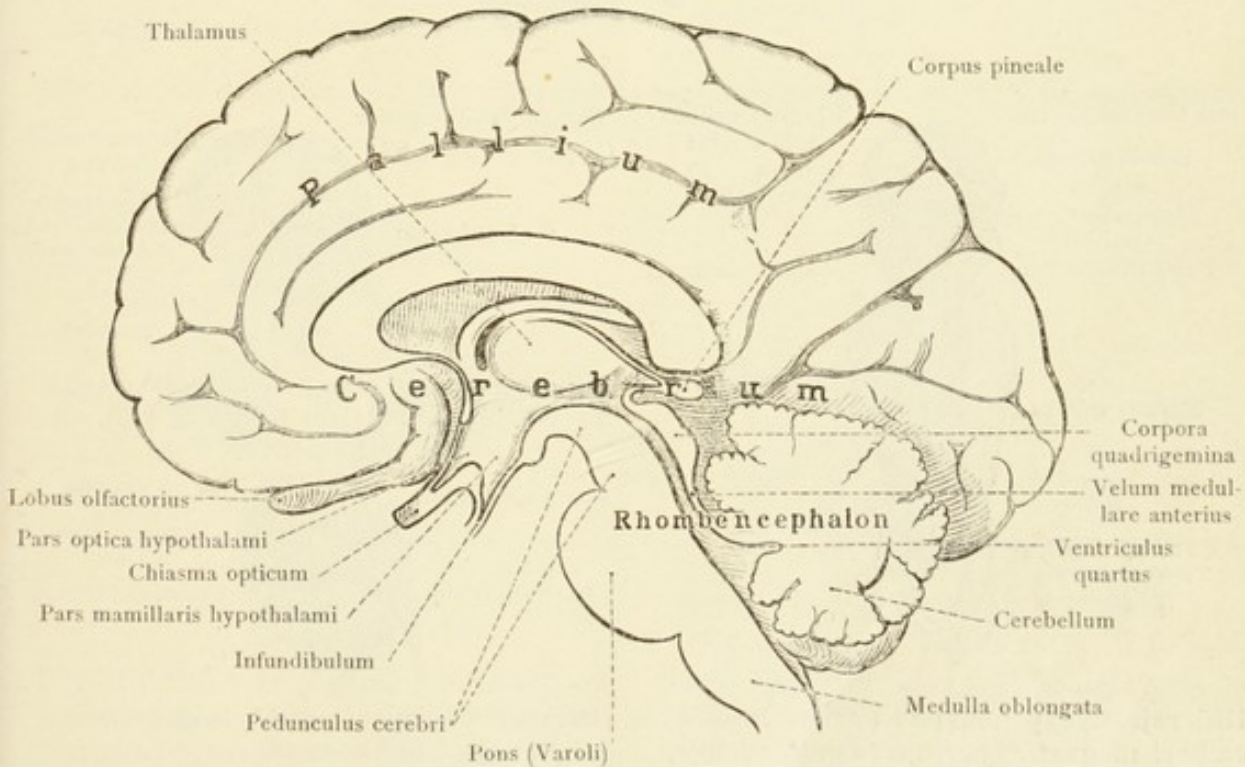


trans section through rhombence. 10<sup>2</sup>  $\frac{1}{2}$   $\frac{1}{2}$  endo (level XII + I.)

Az agyvelőnek részekre osztása, fejlődése alapján.



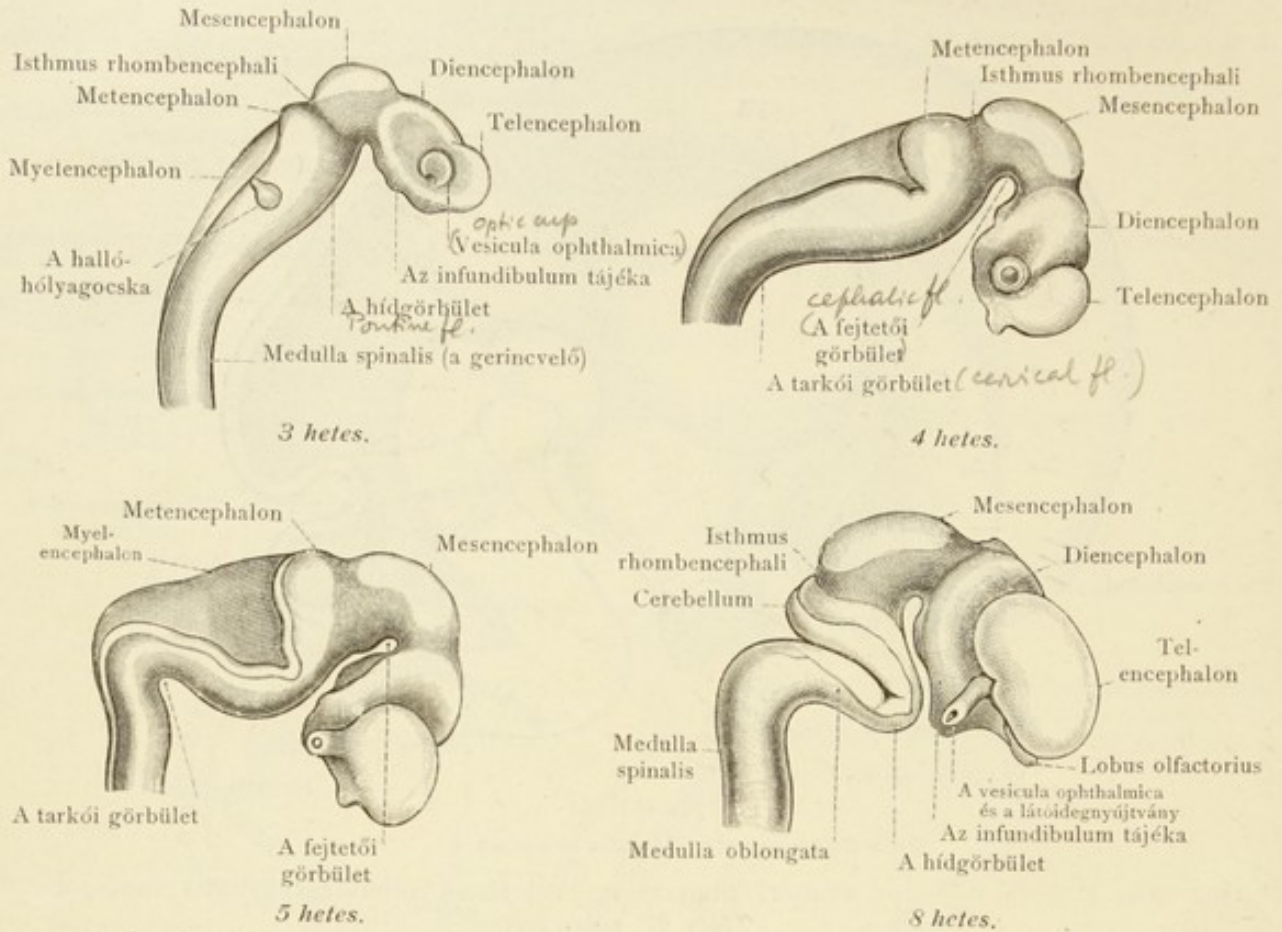
1162. rajz. Három hónapos emberi magzat agyvelejének median-sagittalis metszete. (His W. rajza.)



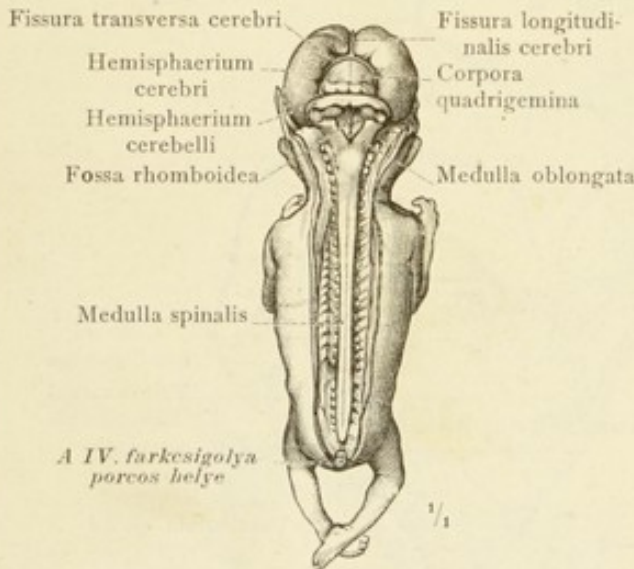
1163. rajz. Felnőtt ember agyvelejének median-sagittalis metszete. (His W. rajza.)

Az agyvelőnek részekre osztása, fejlődése alapján.

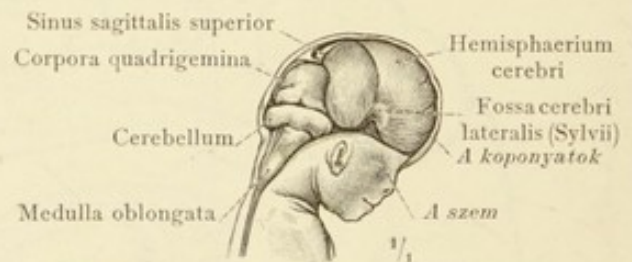




1164. rajz. Négy emberi magzat agyveleje, His W. rekonstrukcios készítményei.



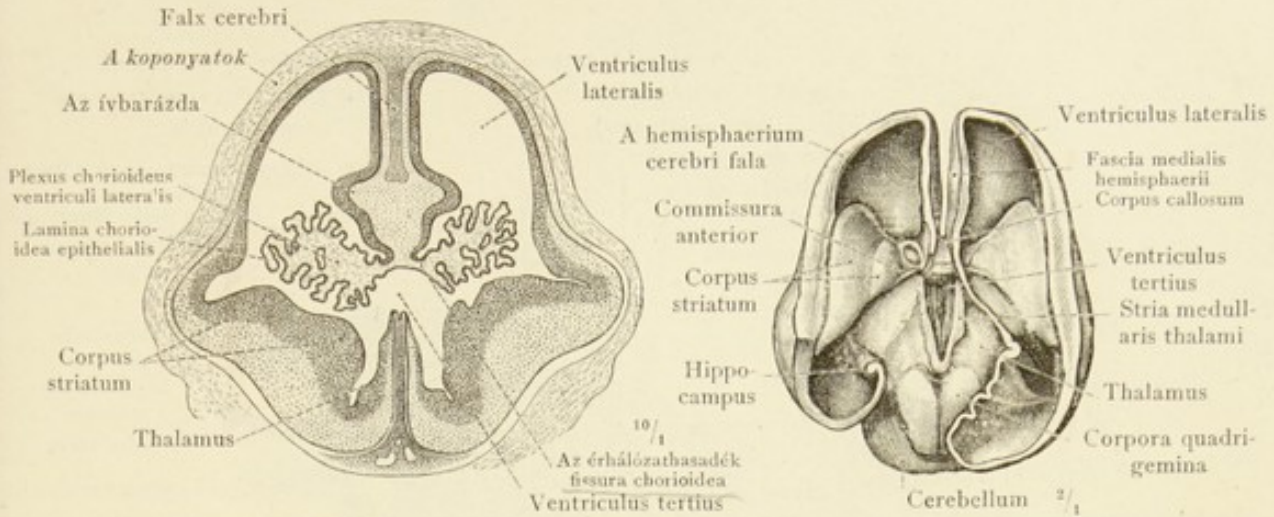
1165. rajz. Négy hónapos (6.2 cm hosszú) emberi magzat agyveleje és gerincvelője, hátulról nézve.



1166. rajz. Négy hónapos emberi magzat agyveleje jobboldalról nézve. A 1165. rajz készítménye.

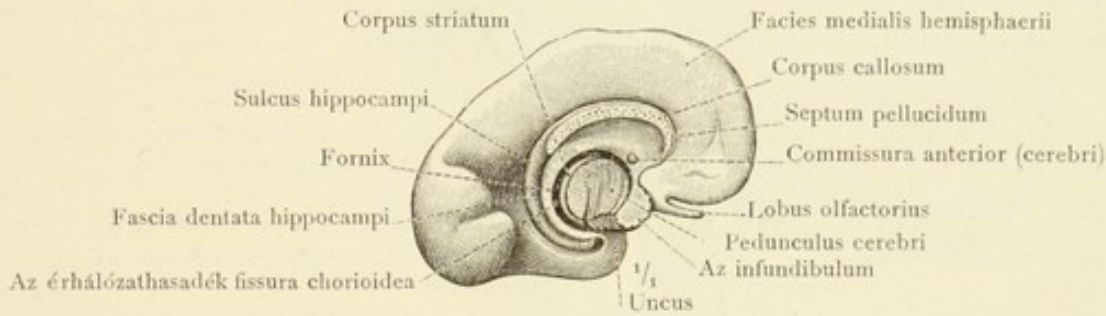


1167. rajz. A nagyagyvelő hemiszfárajának belseje, négy hónapos emberi magzatban, a koponya tetejének és a nagyagyvelő domború oldalának eltávolításával, jobboldalról nézve. A 1165. rajz készítménye.

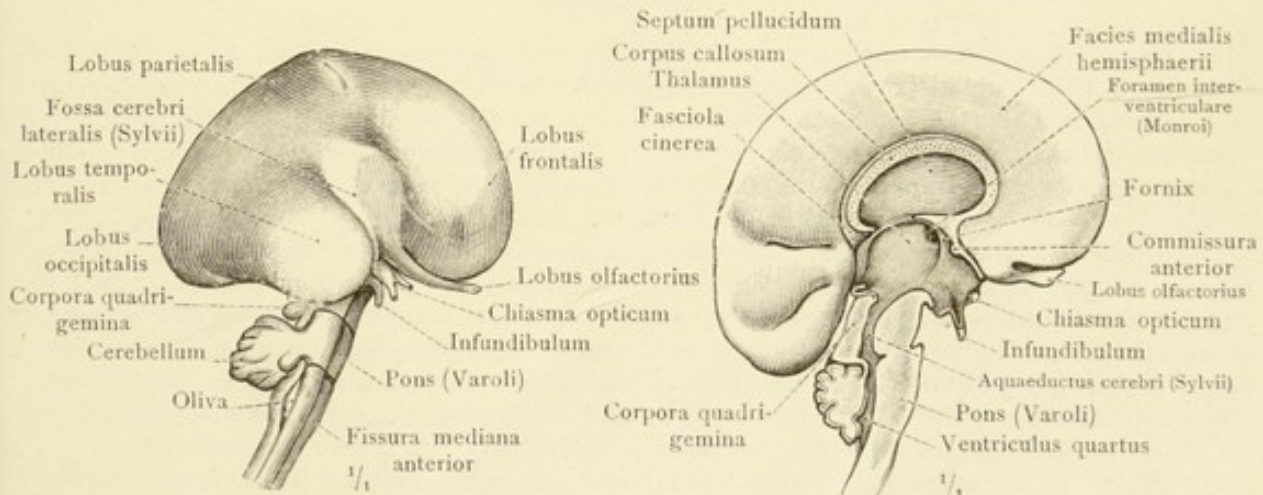


1168. rajz. 8 hetes emberi magzat fejének homlokirányú metszete, az agyvelő homloki és nyakszirti karélya között.

1169. rajz. A nagyagyvelő hemispharájának belseje, négy hónapos (11,8 cm hosszú) emberi magzatban, a hemispharak domború oldalának eltávolításával, felülről nézve.



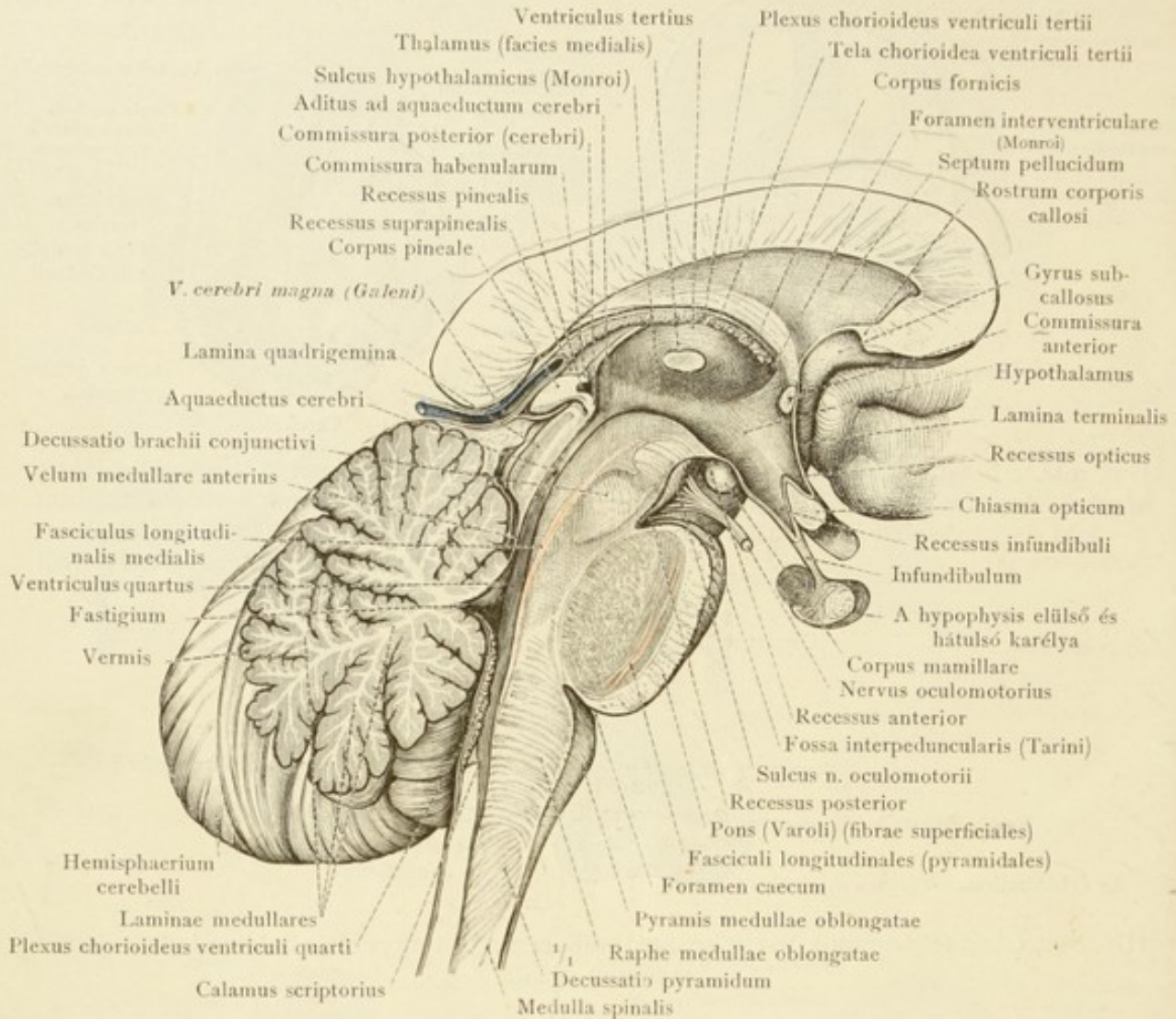
1170. rajz. Öt és fél hónapos (26 cm hosszú) emberi magzat agyveleje bal hemispharájának medialis oldala.



1171. rajz. Hat és fél hónapos (26 cm hosszú) emberi magzat agyvelejének jobboldali, domború oldala.

1172. rajz. Hét hónapos (29 cm hosszú) emberi magzat agyvelejének median-sagittalis metszete. Az agyvelő bal felének medialis oldala.



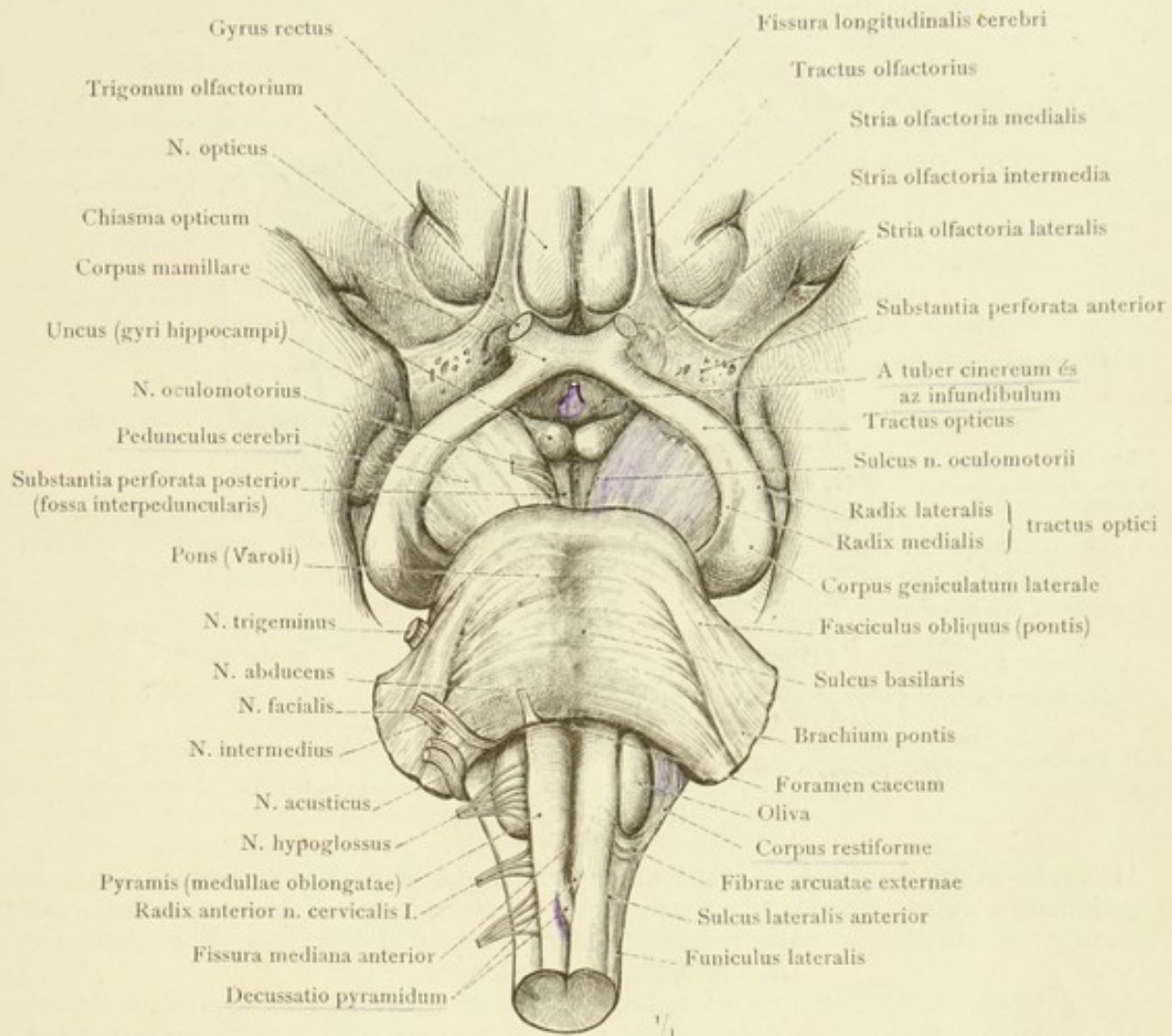


1173.rajz. A nagyagyvelőnek a mediansagittalis síkban metszett része. Az agyvelő bal fele. A rhombencephalon részei: a nyúltagyvelő, medulla oblongata, a híd, pons (Varoli) és a kisagyvelő, cerebellum. A mesencephalon részei: az ikertelep, corpora quadrigemina és az agyszár, pedunculus cerebri. A diencephalon részei: a látótelep, thalamus opticus és a hypothalamus, a hypophysisel és a corpus pineale, — az utóbbit a fornix és a corpus callosum fedi.

A III. és a IV. agyvelőkamara, a ventriculus tertius és a ventriculus quartus, melyeket az aquaeductus cerebri, Sylvii, köt össze és a plexus chorioideus ventriculi quarti és a plexus chorioideus ventriculi tertii takar, látható. A III. agyvelőkamara kommissurái, a commissura anterior és a commissura posterior (cerebri) a középsíkban harántul át vannak vágva. A látótelep medialis oldalán a massa intermedia harántmetszete látható. — A fossa interpeduncularis (Tarini) besüppedései: a corpus mamillare mögött a recessus anterior és a híd felső széle előtt, a recessus posterior.

A kisagyvelő metszési lapján az élet fájának, az arbor vitae-nek nevezett rajzolat látható, melyet az elágazódó velőállomány, a substantia medullaris és az ezt körülvevő kéregállomány, substantia corticalis cerebelli alkotnak.

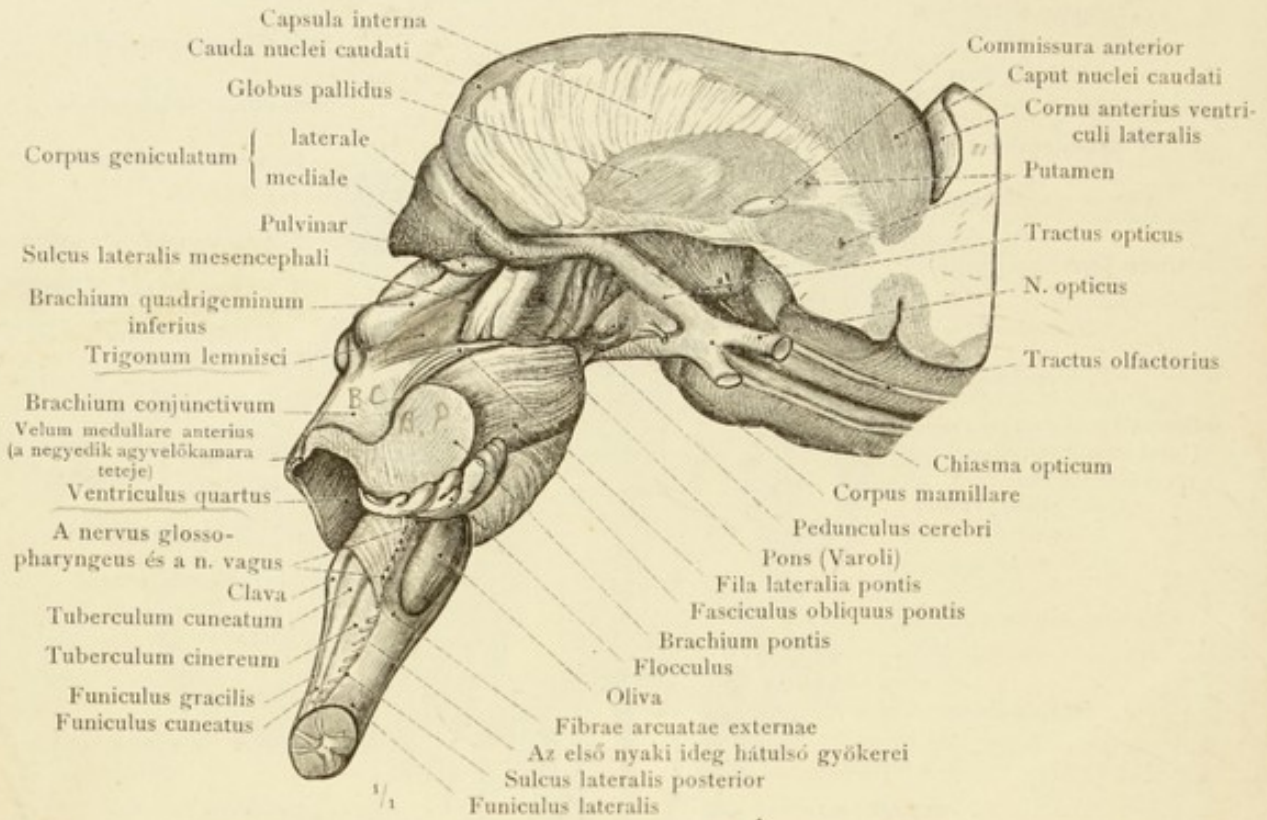
A rhombencephalon, a mesencephalon és a diencephalon.



1174. rajz. A nyúltagyvelő, medulla oblongata, a híd, pons Varoli, az agyszárak, pedunculi cerebri és a diencephalon alapja alulról nézve.

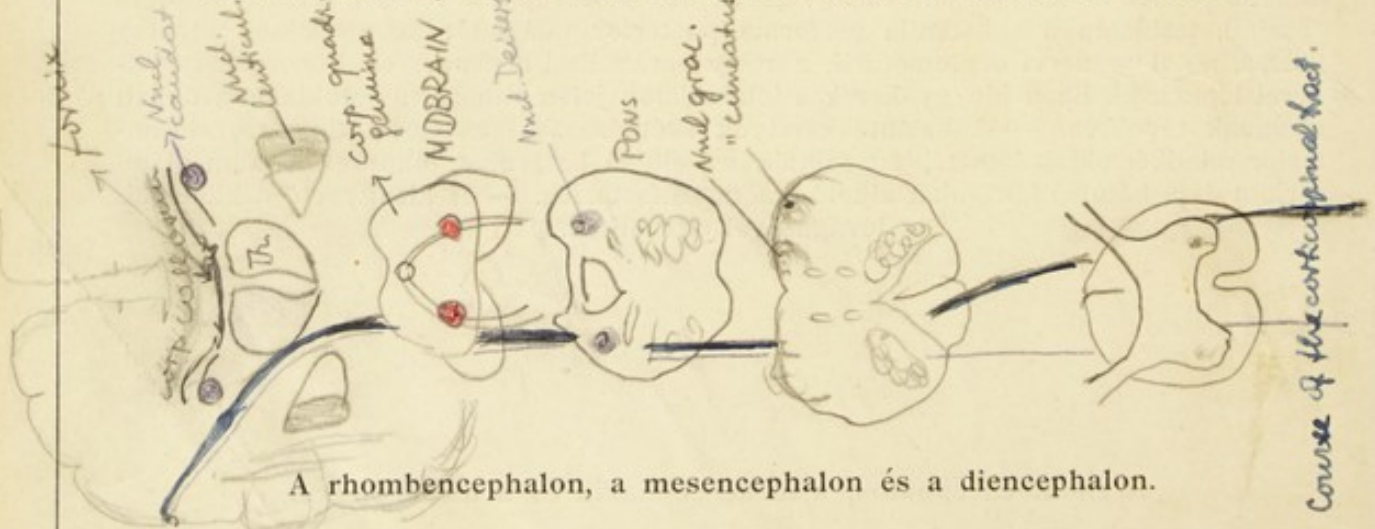
A nagyagyvelő két halántékkarélyának széthúzásával, az uncus gyri hippocampi részben takarta tractus opticus és ennek eredése a corpus geniculatum lateraleből, látható. — Az előfelé széjjeltévé agyszárak között besüppedt fossa interpeduncularis (Tarini), területén a substantia perforata posterior található; az utóbbinak oldalsó határa, a sulcus nervi oculomotorii, a mely barázdából a nervus oculomotorius gyökerei lépnek ki. Ezen ideggyökerek a jobboldalon jelen vannak, a baloldalon azonban el vannak távolítva. — A halántékkarélyok széthúzásával a substantia perforata anterior mindkét oldalt látható, úgyszintén az elülső határukat alkotó trigonum olfactorium és a hátsó határukat alkotó tractus olfactorius. — A kisagyvelő a hídkarok levágásával eltávolítva.





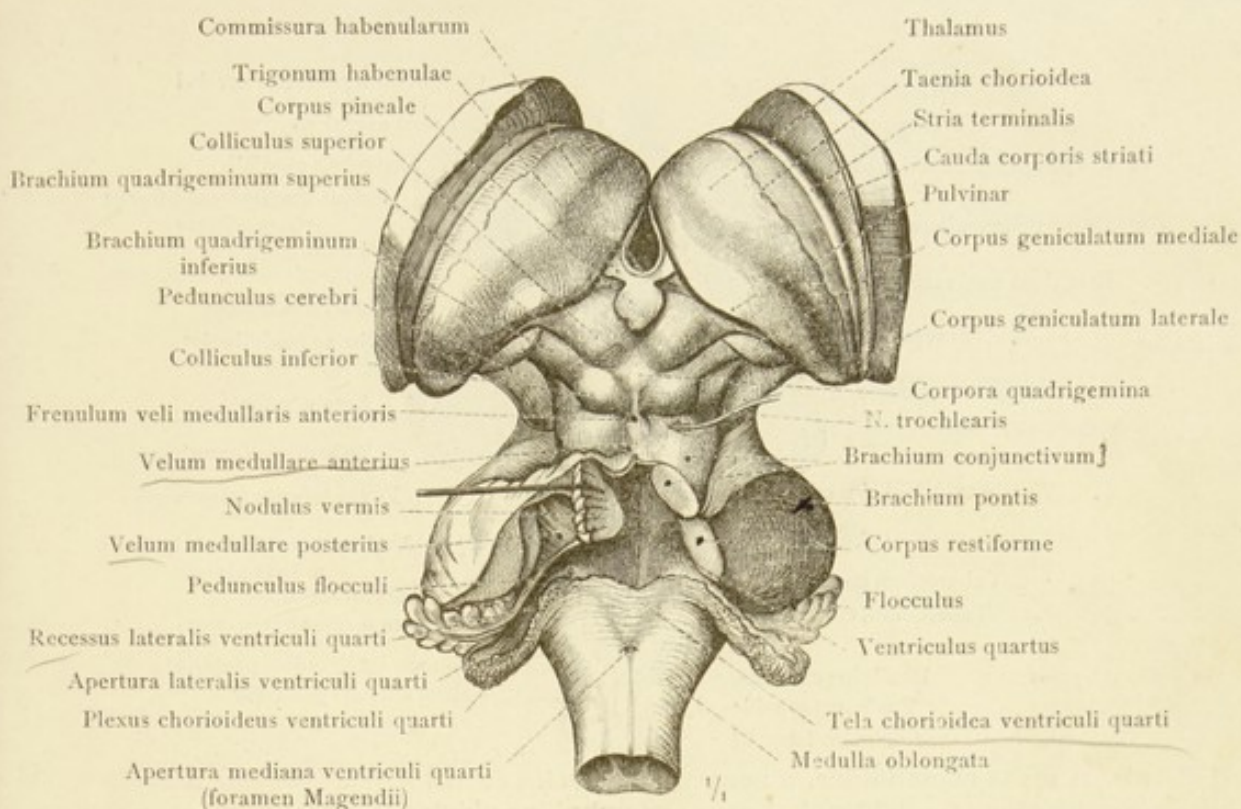
1175. rajz. A nyúltagyvelő, medulla oblongata, a hid, pons Varoli; az agyvelőszárak, pedunculi cerebri, és mögötte a trigonum lemnisci; az ikertestek, corpora quadrigemina; a látótelep párnája, pulvinar; a corpus geniculatum mediale és laterale; a tractus opticus. Jobboldalról nézve.

A brachium conjunctivum és a brachium pontis átvágásával a kisagyvelő, a flocculus kivételével, eltávolítva. — A jobboldali agyvelő hemisphäraja, majdnem sagittalis — a nucleus caudatuson keresztül vezetett — metszéssel eltávolítva; a metszésben a nucleus caudatus feje, caput és farka, cauda látható, a melyek, a majdnem harántul metszett belső tok, capsula interna rostozatát, azaz a pedunculus coronae radiataet felülről és hátulról övezik; a capsula interna alatt a nucleus lentiformis globus pallidusa és putamenje továbbá, az elülső commissura harántmetszete látható.



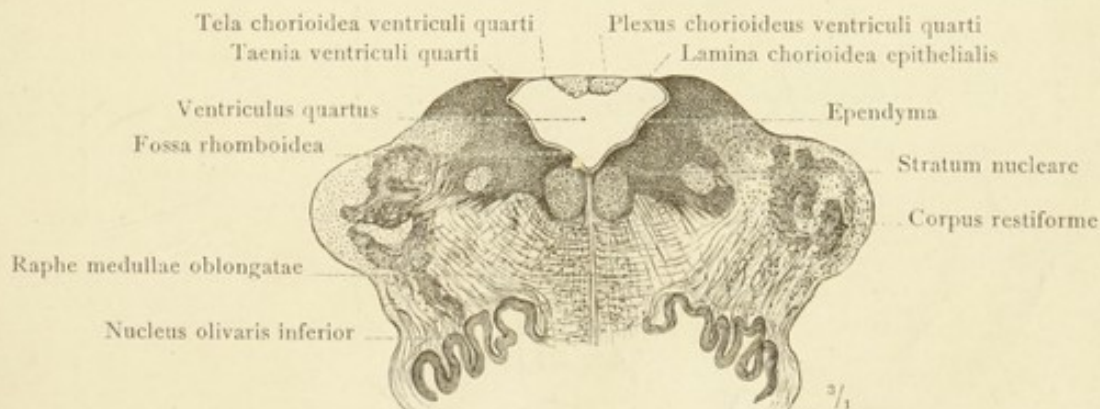
A rhombencephalon, a mesencephalon és a diencephalon.





1176. rajz. A nyúltagyvelő, a lamina és a brachia quadrigemina, a thalamus, a medialis és a lateralis corpus geniculatum, a dorsalis oldalról nézve.

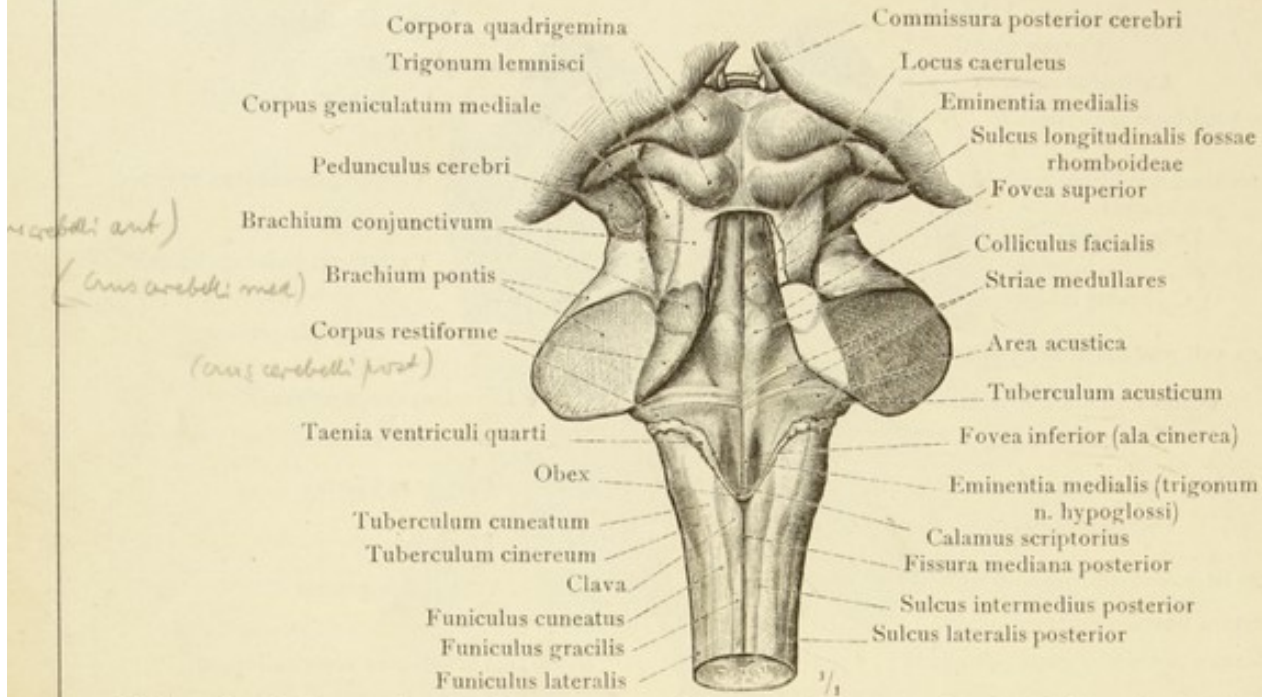
A IV. agyvelőkamara tetejének alsó részét alkotó tela chorioidea ventriculi quarti; ennek két oldali folytatása, a plexus chorioideus ventriculi quarti, melyet a pedunculus flocculiról leválasztva, hátulról megnyílt a recessus lateralis ventriculi quarti. A negyedik agyvelőkamara felső része, a kisagyvelő vermisén és a velum medullare anteriuson át vezetett sagittalis metszéssel fel van tárva. A kisagyvelő legnagyobb része eltávolítva; csak a nodulus bal féle, a pedunculus flocculival, a velum medullare posterius és a flocculus van megtartva.



1177. rajz. A negyedik agyvelőkamara, ventriculus quartus, alsó részének homlokirányú metszete (félíg sémásan).

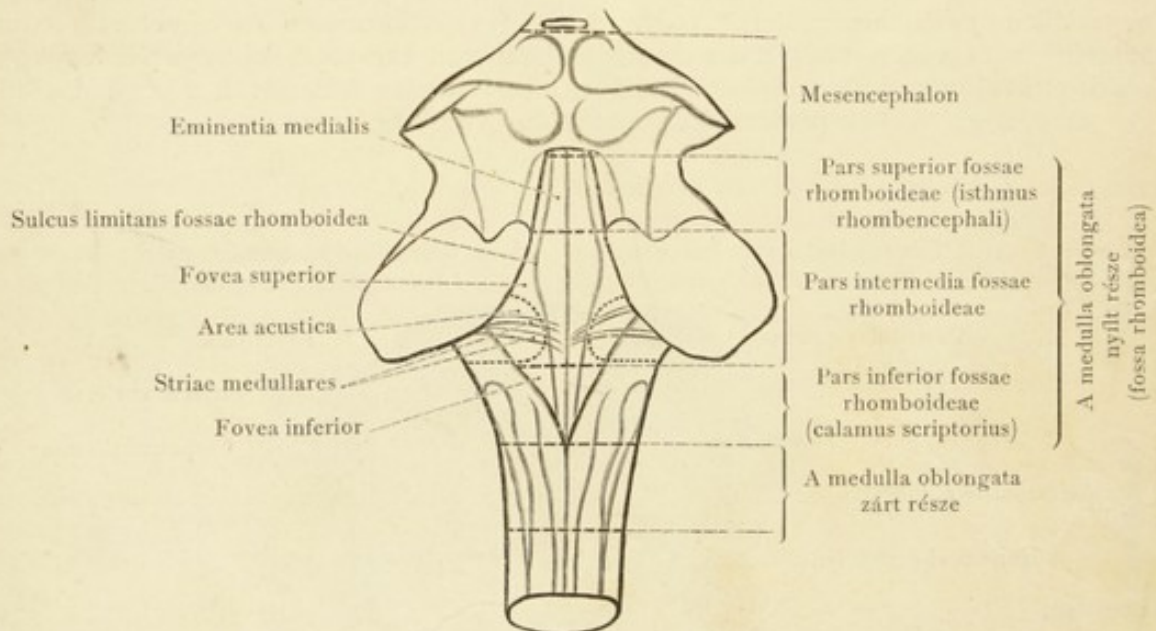
A rhombencephalon, a mesencephalon és a diencephalon.





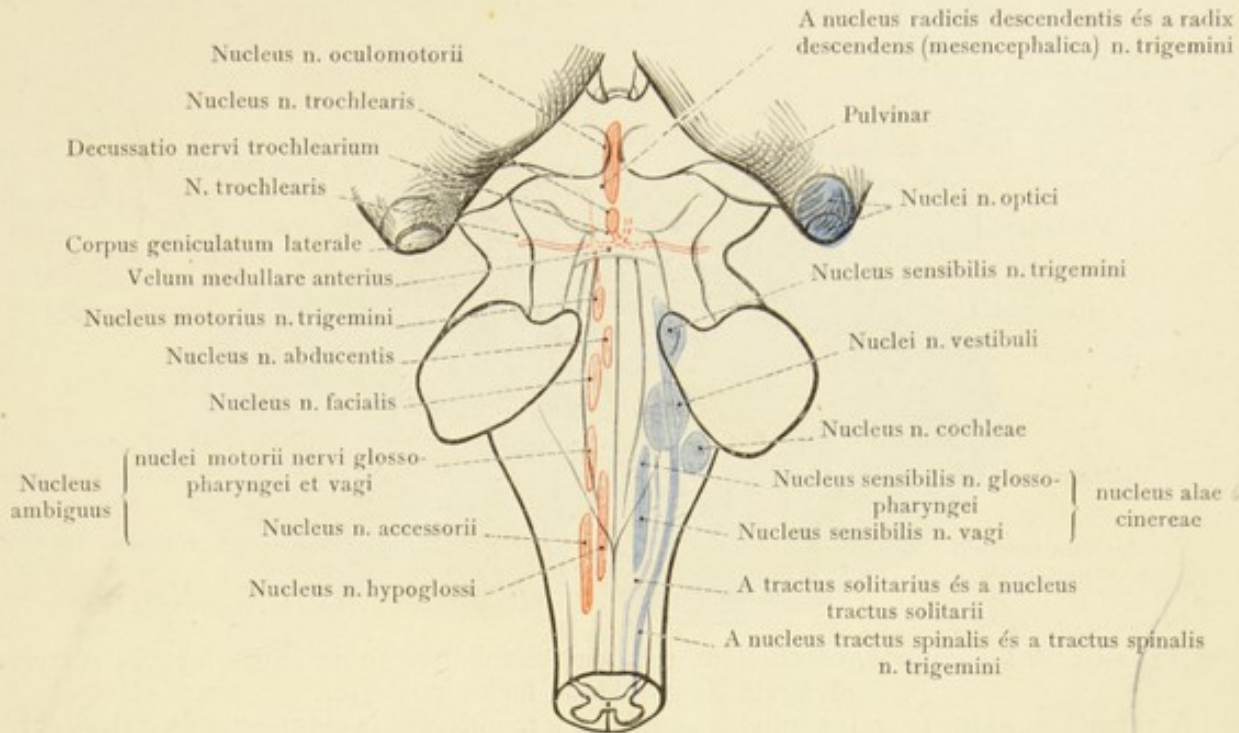
1178. rajz. A fossa rhomboidea, a negyedik agyvelőkamara hátulso falának (tetejének) és a kisagyvelőnek eltávolításával. A fossa rhomboidea oldalsó határai: a két corpus restiforme és a két brachium conjunctivum és falainak összefüggése a mesencephalonnal.

*Posterior view of medulla oblongata.*

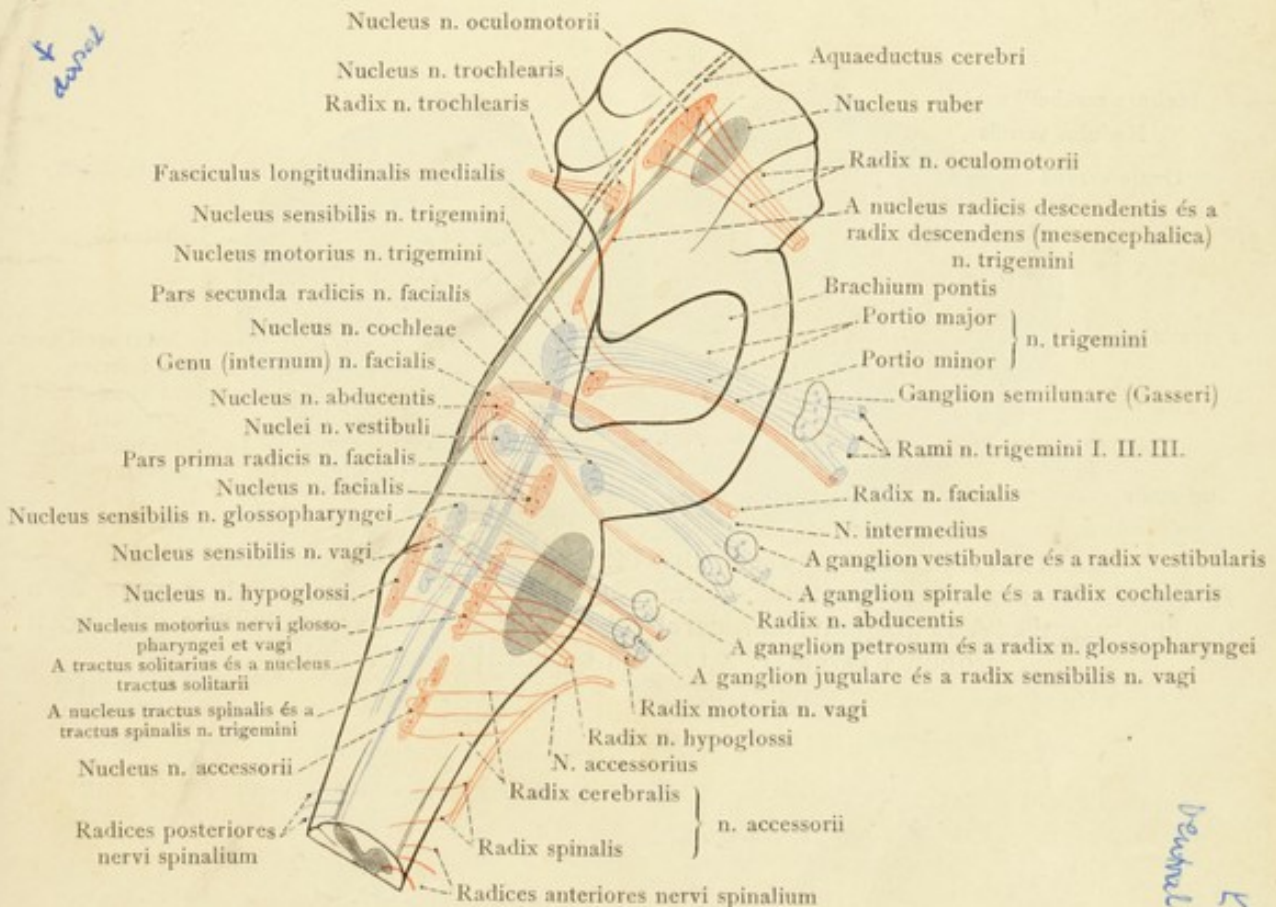


1179. rajz. A nyúltagyvelő és a fossa rhomboidea beosztása, sémásan.

A rhombencephalon és a mesencephalon.



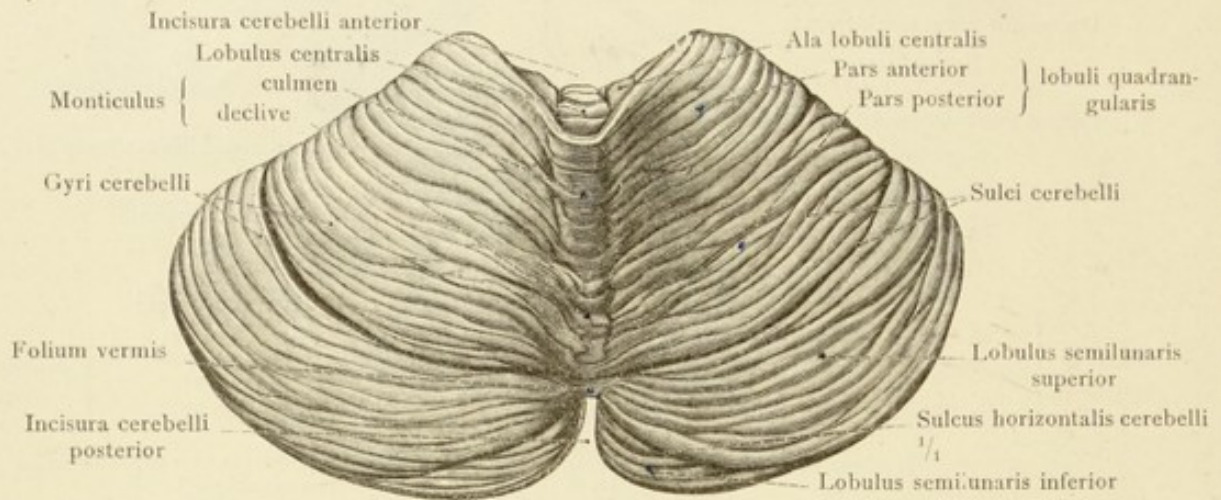
1180. rajz. Az agyvelőidegek eredési magvai, nuclei originis nervorum cerebralium, a rhombencephalonban és a mesencephalonban; sémásan, hátulról nézve.



1181. rajz. Az agyvelőidegek eredési magvai, nuclei originis nervorum cerebralium, a rhombencephalonban és a mesencephalonban; sémásan, oldalról nézve.

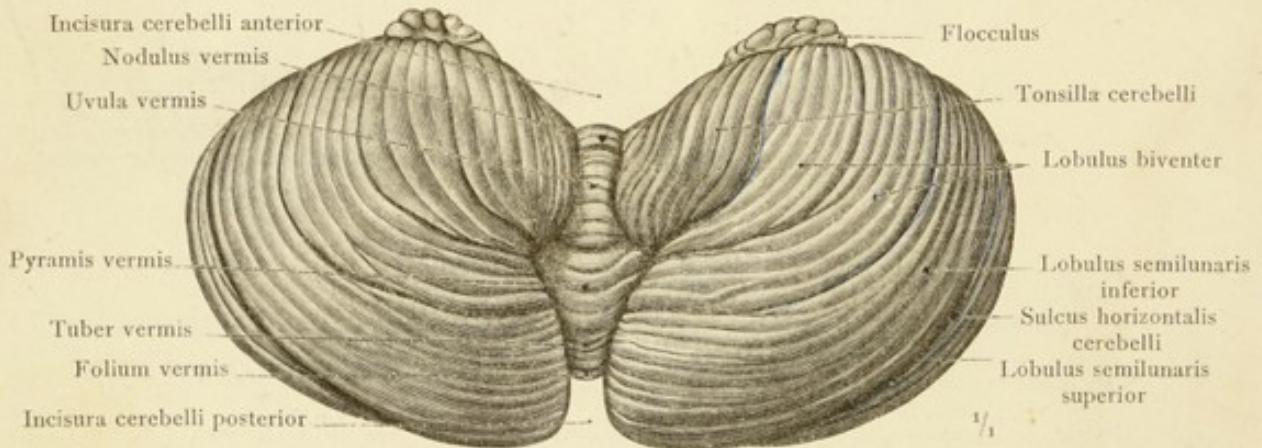
A rhombencephalon és a mesencephalon.





1182. rajz. A kisagyvelő, cerebellum, minden összeköttetése az agyvelő többi részeivel elvágva. Felső oldala, facies posterior.

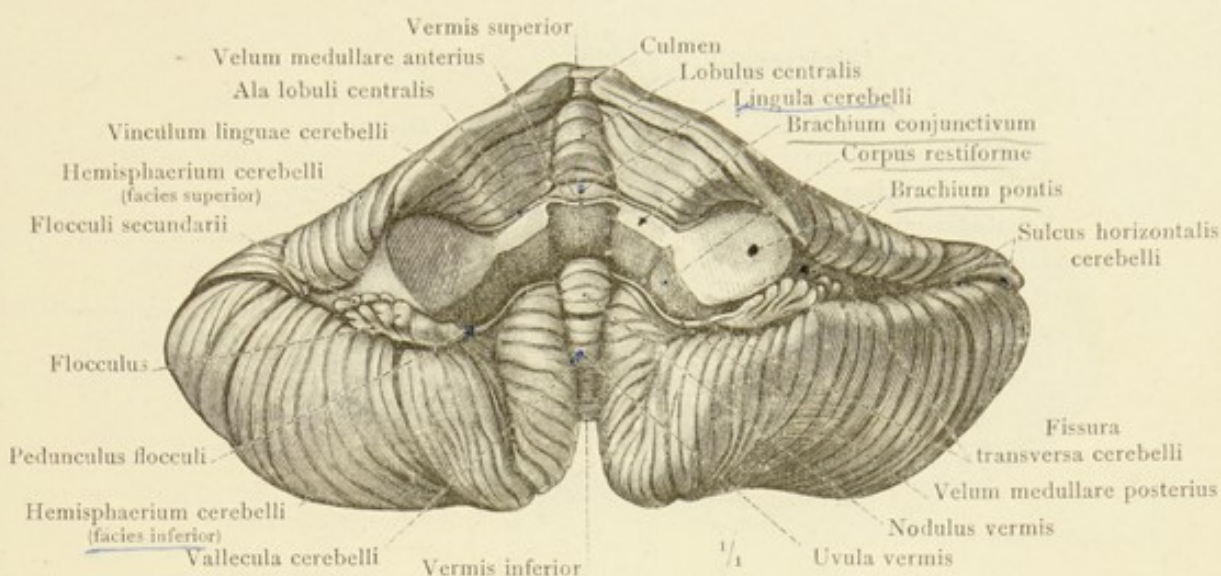
A vermis superior részei: a lobulus centralis, a monticulus (a culmennel és a declivevel) és a folium vermis. A kisagyvelő hemisphaeriumainak részei, az ala lobuli centralis, a lobulus quadrangularis és a lobulus semilunaris superior.



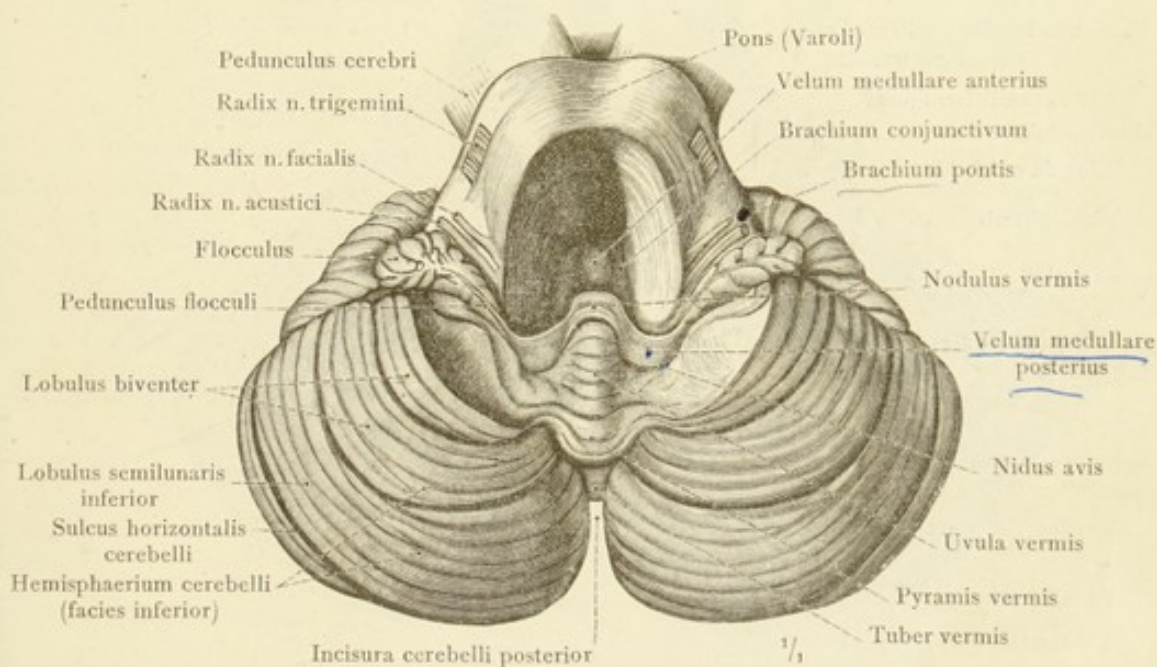
1183. rajz. A kisagyvelő alsó oldala, facies inferior cerebelli.

A vermis inferior részei: a tuber vermis, a pyramis vermis, az uvula vermis és a nodulus vermis. A hemisphaerium cerebelli részei: a lobulus semilunaris inferior, a lobulus biventer, a tonsilla cerebelli és a flocculus.

*Ventral aspect*

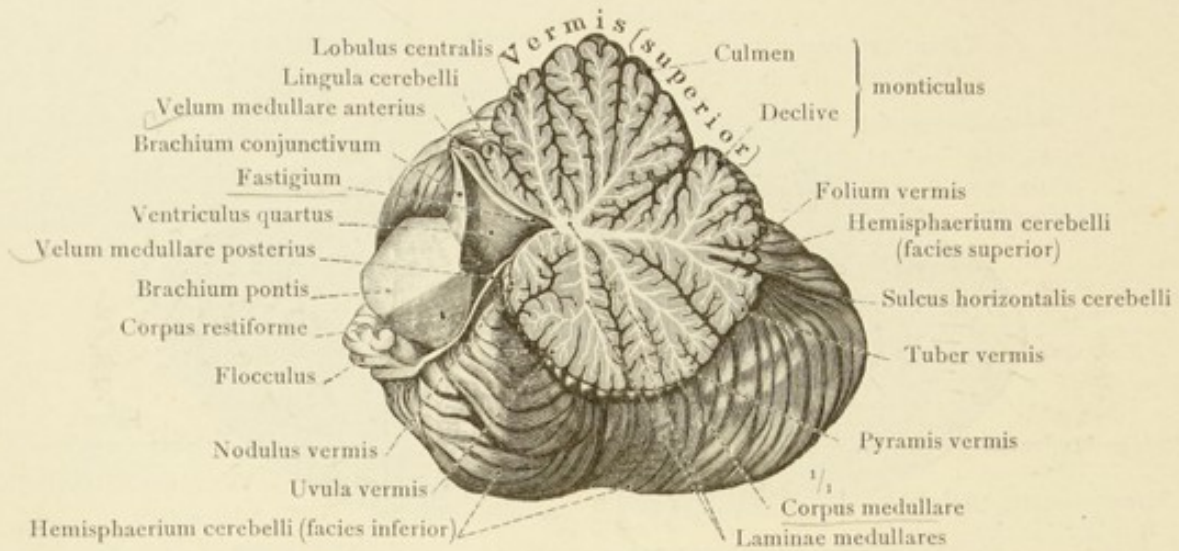


1184. rajz. A kisagyvelő elülről nézve; összeköttetései az agyvelővel átvágva. A brachium pontis, a corpus restiforme, a brachium conjunctivum, a velum medullare anteriussal átvágva, a fissura transversa cerebelli. A lingula cerebelli, oldalsó nyújtványával, a vincula linguae cerebellivel.

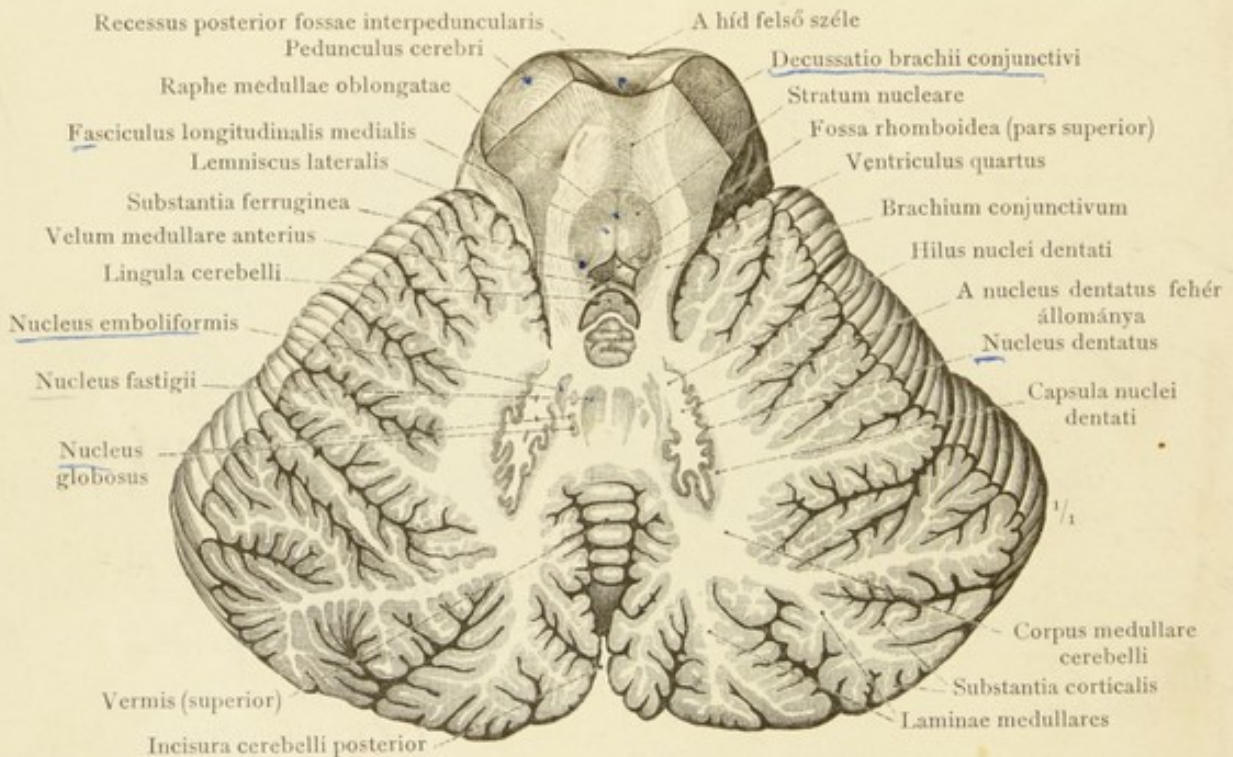


1185. rajz. A kisagyvelő alsó oldala a hiddal. A híd kis részének eltávolításával a velum medullare anterius alsó oldala, a kisagyvelő tonsillájának kivevésével pedig a velum medullare posterius, a pedunculus flocculival látható.

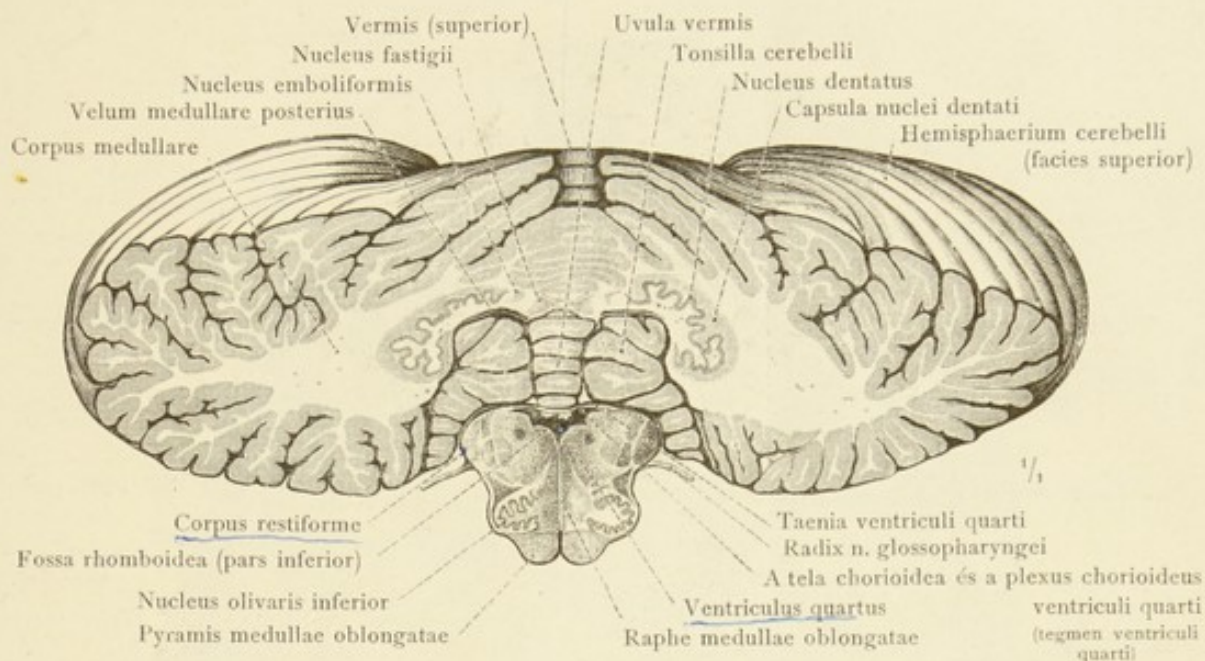




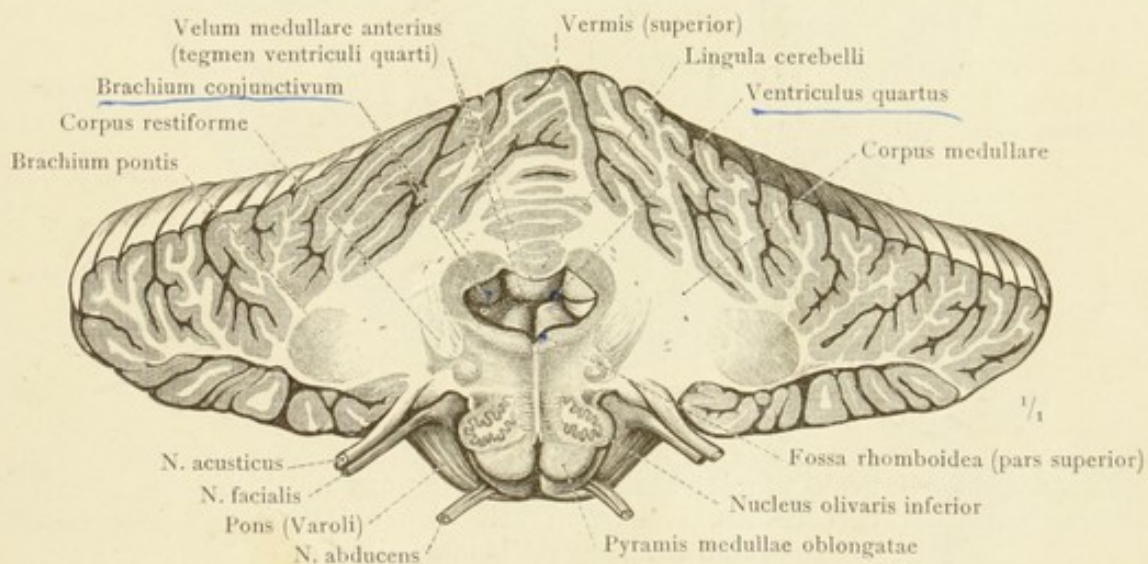
1186. rajz. A kisagyvelő férgének, a vermisnek, median-sagittalis metszete. A vermis superior és a vermis inferior részei. A velum medullare anterius belépése a féreg velőállományába. A negyedik agyvelőkamara csúcsa, fastigium.



1187. rajz. A kisagyvelő és a középsőagyvelő sisakjának metszete, a kötőkarok, brachia conjunctiva, irányában. A metszet alsó lapja, felülről nézve. A kisagyvelő hemisphaeriumainak fehér állománya és ennek lemezei; a kisagyvelő magvai: a nucleus dentatus, a nucleus emboliformis, a nucleus globosus és a nucleus fastigii. — A kötőkarok kereszteződése, decussatio brachii conjunctivi.

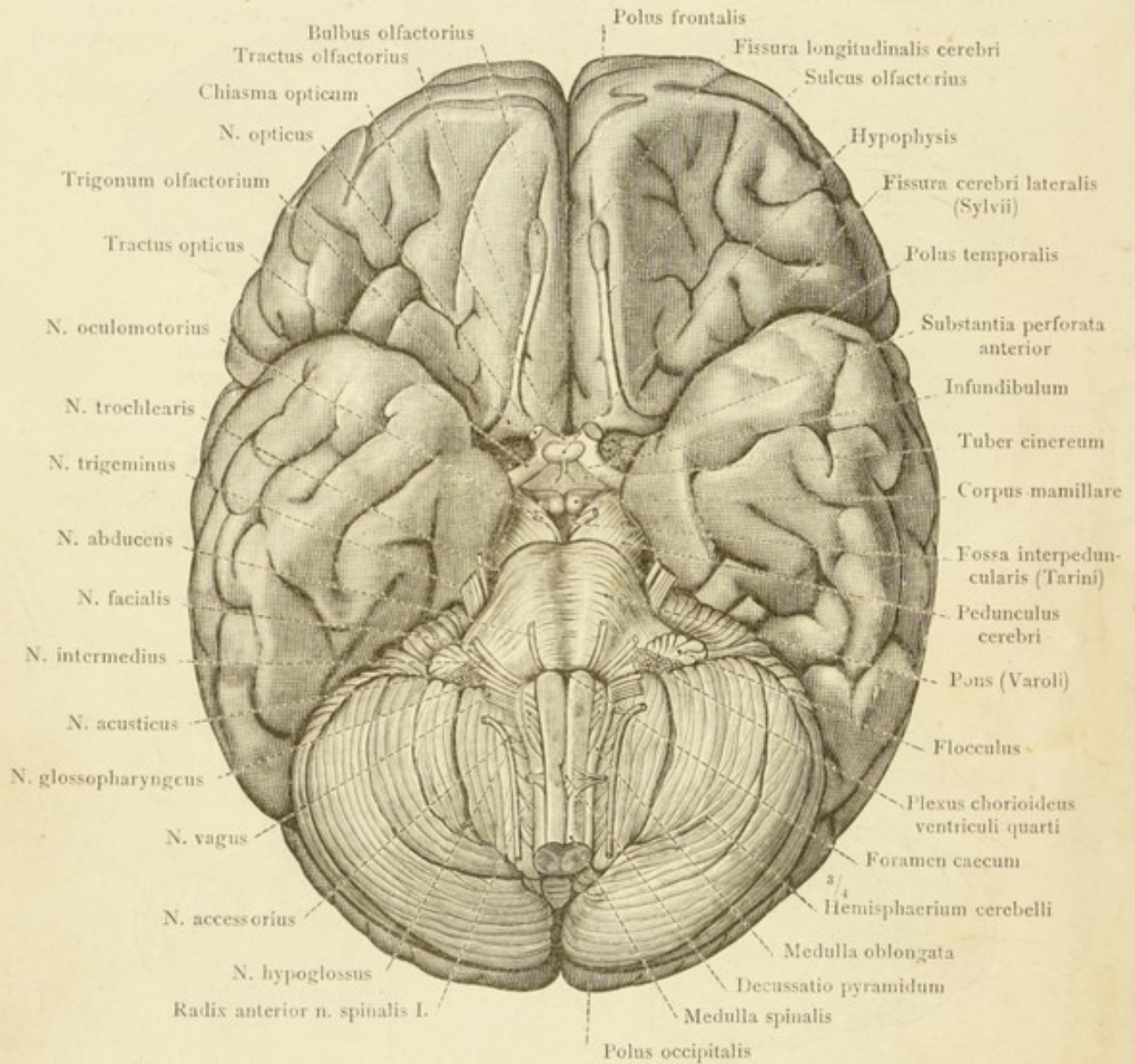


1188. rajz. A kisagyvelő és a nyúltagyvelő homlokirányú metszete, a corpus restiforme táján; a kisagyvelő és a nyúltagyvelő között a IV. agyvelőkamara alsó része. A kisagyvelő magvai.

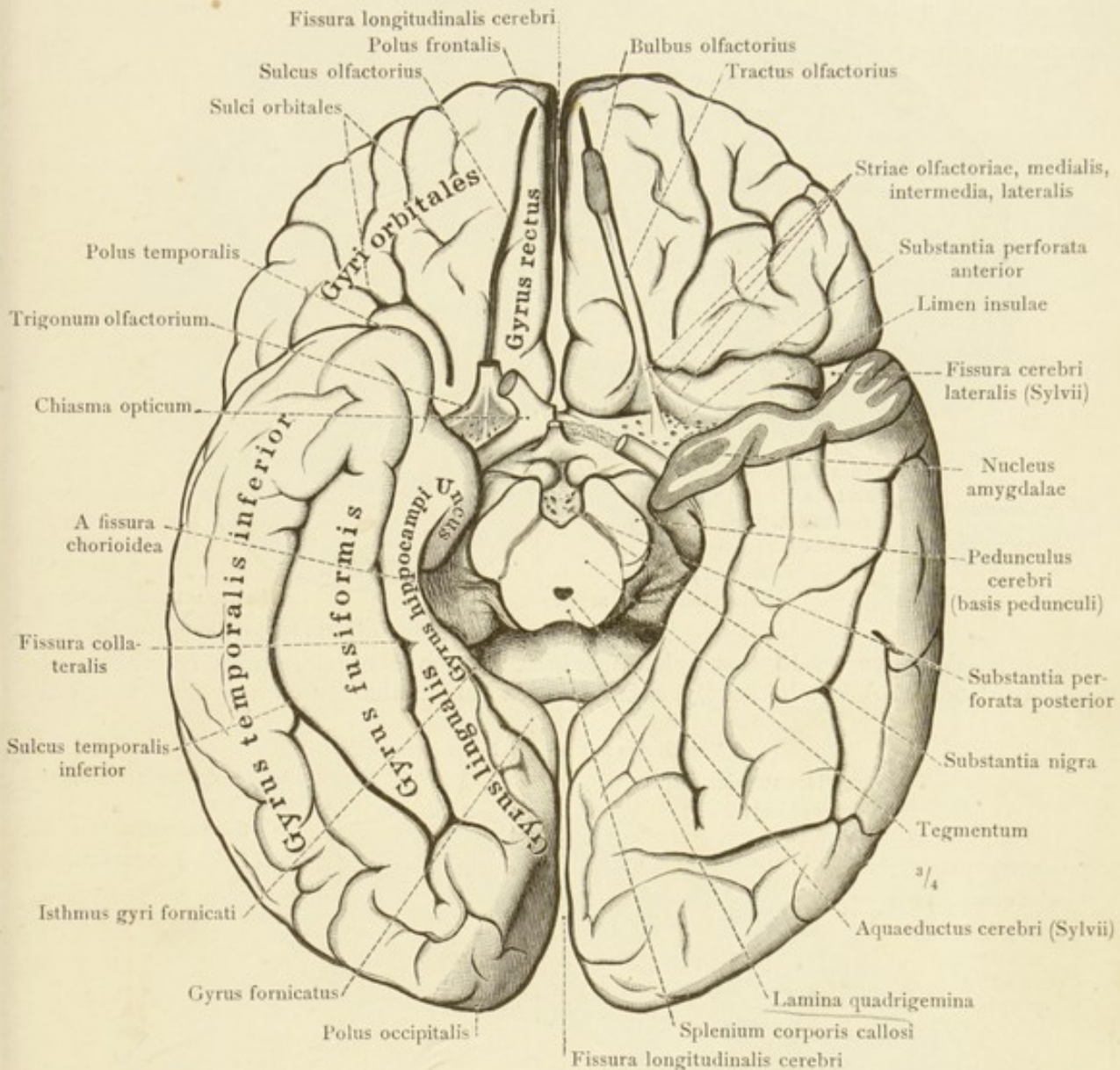


1189. rajz. A kisagyvelő és a nyúltagyvelő homlokirányú metszete, a brachium conjunctivumok táján; a kisagyvelő és a nyúltagyvelő között a IV. agyvelőkamara felső része. A kisagyvelő karjainak eloszlása a hemisphaeriumok fehér állományában.





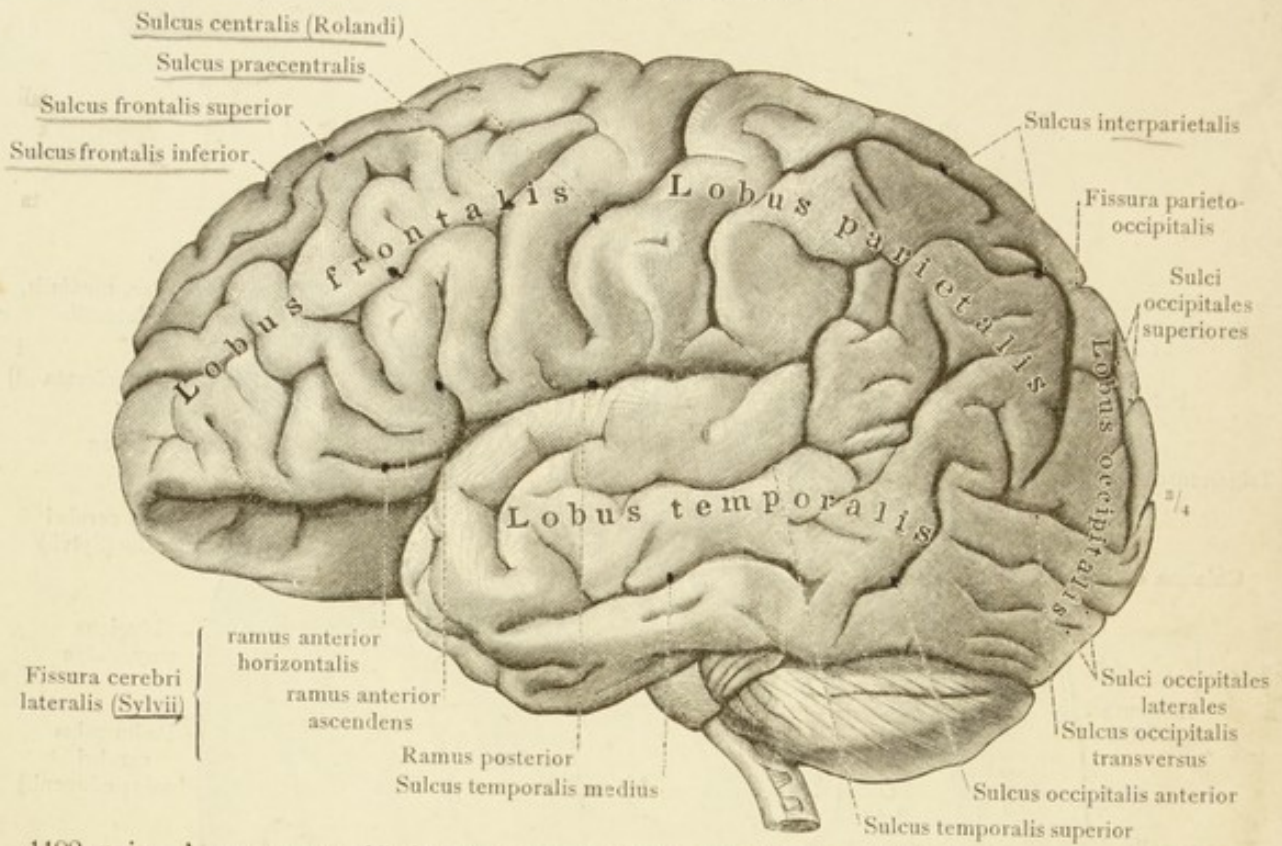
1190. rajz. A nagyagyvelő alapja, basis encephali, az agyvelő idegeinek gyökereivel, radices nervorum cerebralium. A nagyagyvelő alsó oldalát, facies basalis cerebri, hátul a kisagyvelő takarja be.



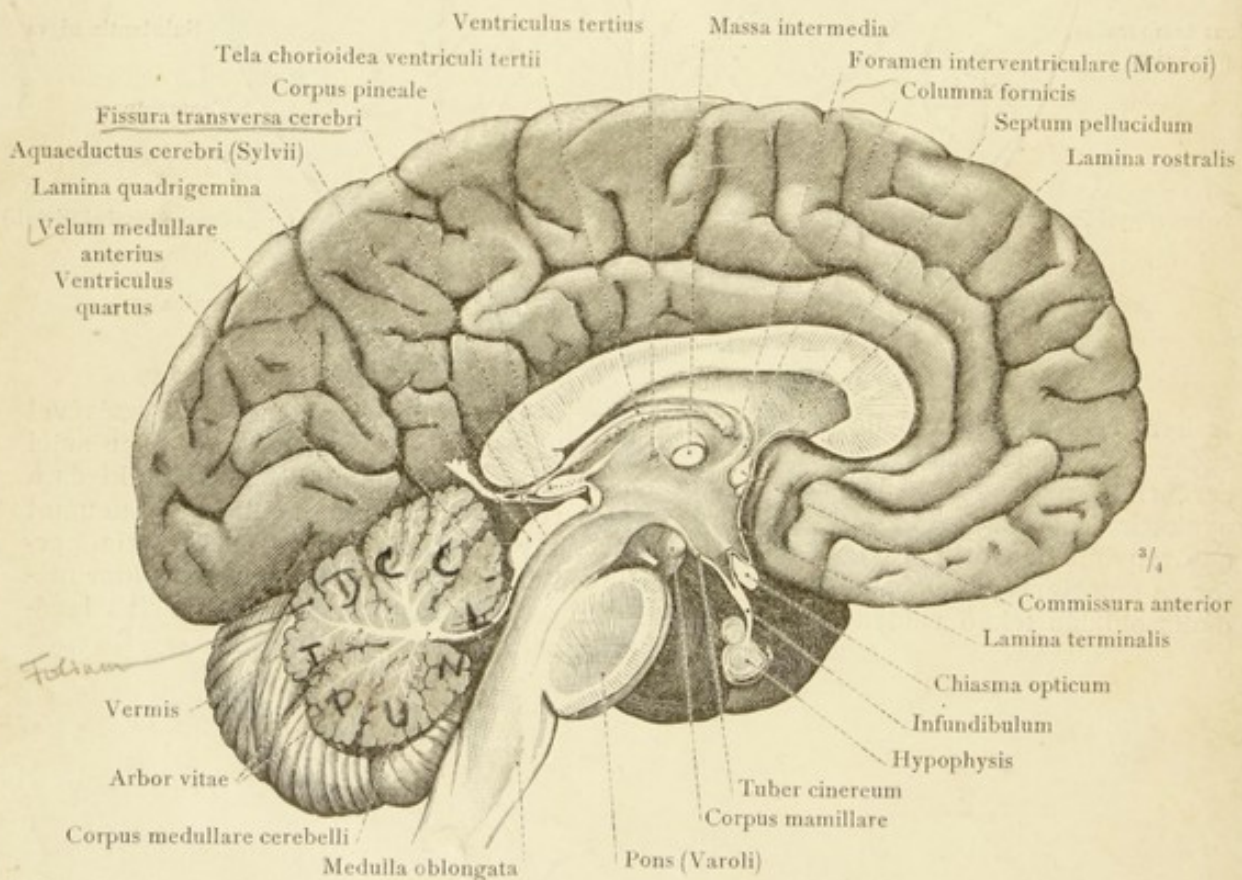
1191. rajz. A nagyagyvelő alapja, facies basalis cerebri, a rhombencephalon lemetszésével egész terjedelmében látszik. A nagyagyvelő tekervényei és barázdái, gyri et sulci cerebri. A nagyagyvelő két hemisphaeriumának polusai: a homloki, a halántéki és a nyakszirti csúcsa. — A bal halántékkarély elülső részét eltávolítva, a chiasma opticumot a középvonalban átvágva és ennek bal felét eltávolítva, a baloldali substantia perforata anterior s ennek összefüggése a limen insulaevel, valamint a hemisphaerium medialis oldalán fekvő rhinencephalonnal látható. A jobboldali tractus olfactorius levágásával a sulcus olfactorius látható.

Cerebrum, a nagyagyvelő.





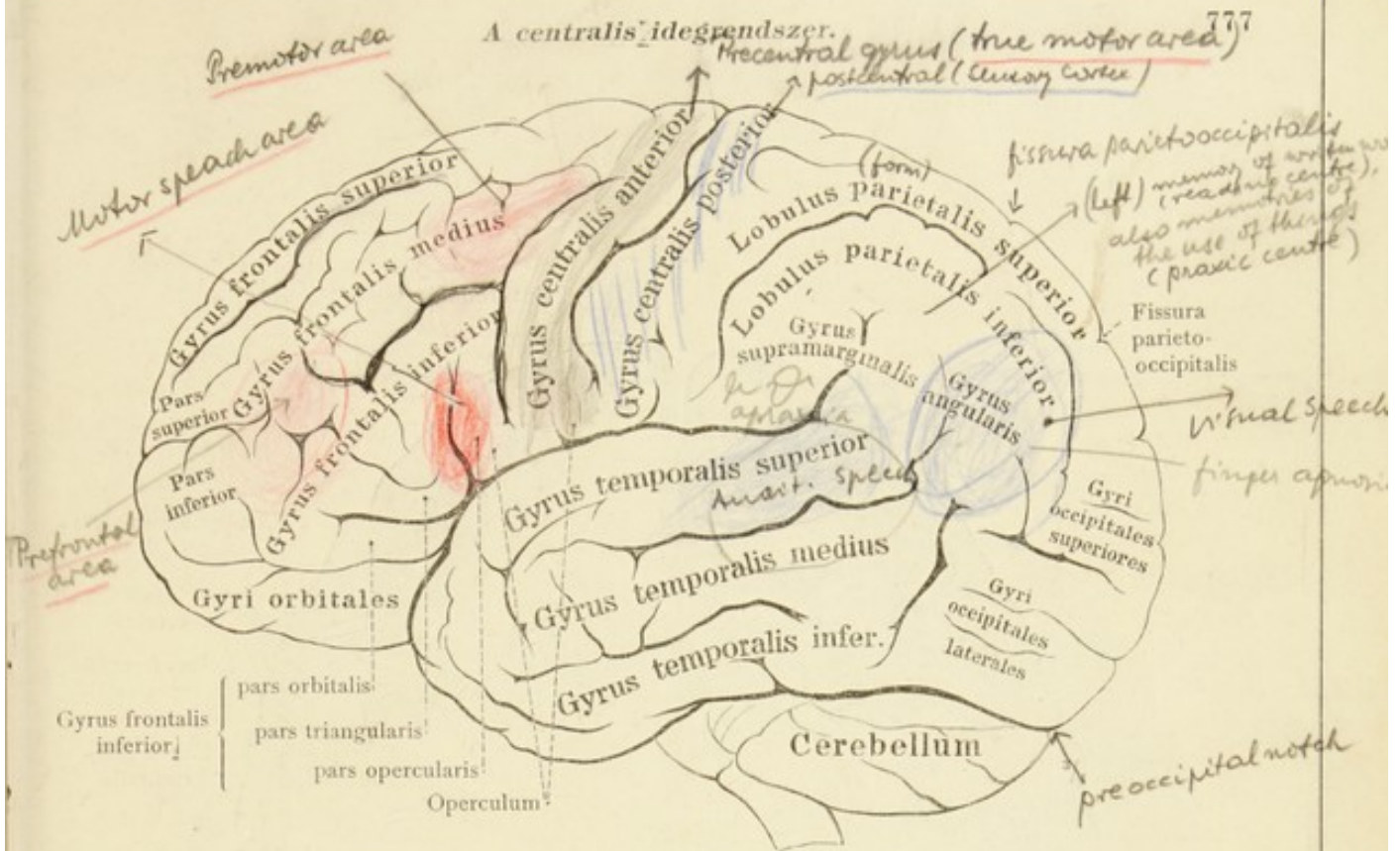
1192. rajz. A nagyagyvelő hemisphaeriumának domború oldala, facies convexa, baloldaltól nézve. A homlokkarély, a falkarély, a halántékkarély és a nyakszirtkarély.



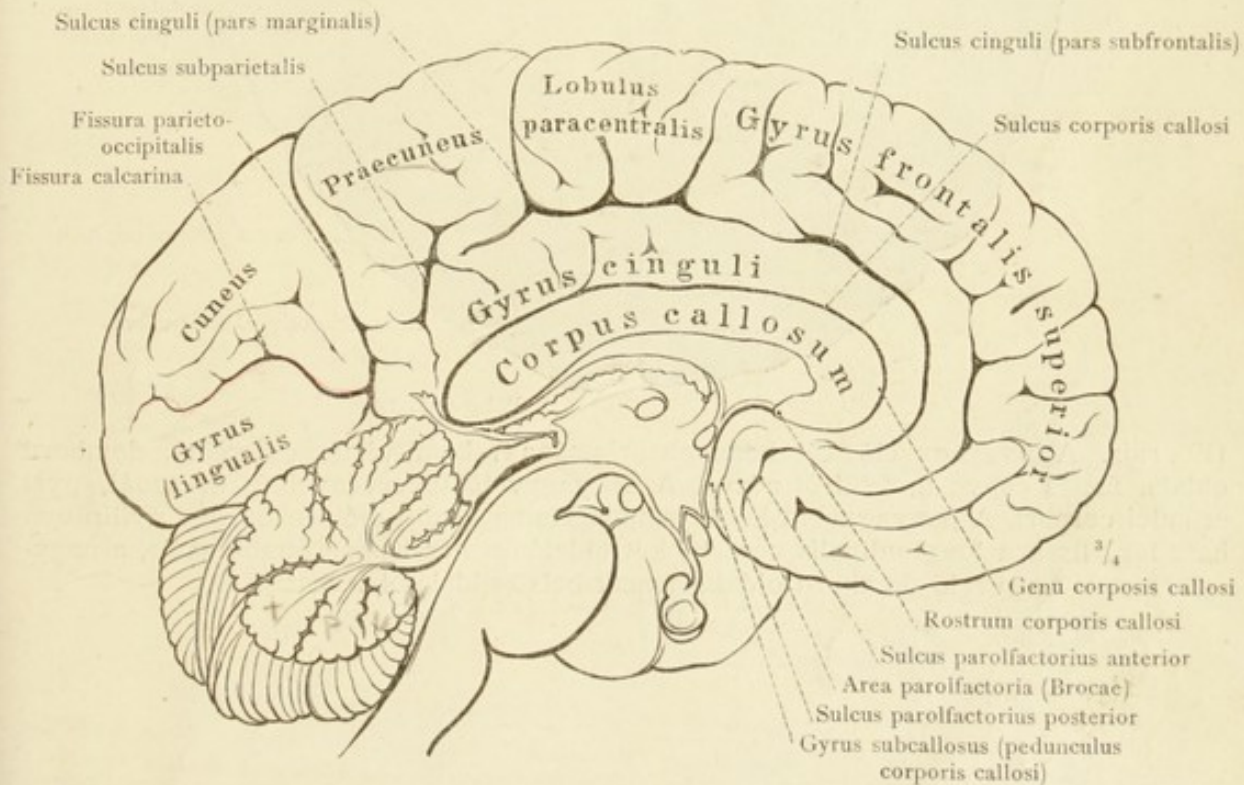
1193. rajz. Az agyvelő median-sagittalis metszete. A nagyagyvelő baloldali hemisphaeriumának medialis oldala, facies medialis.

Cerebrum, a nagyagyvelő.





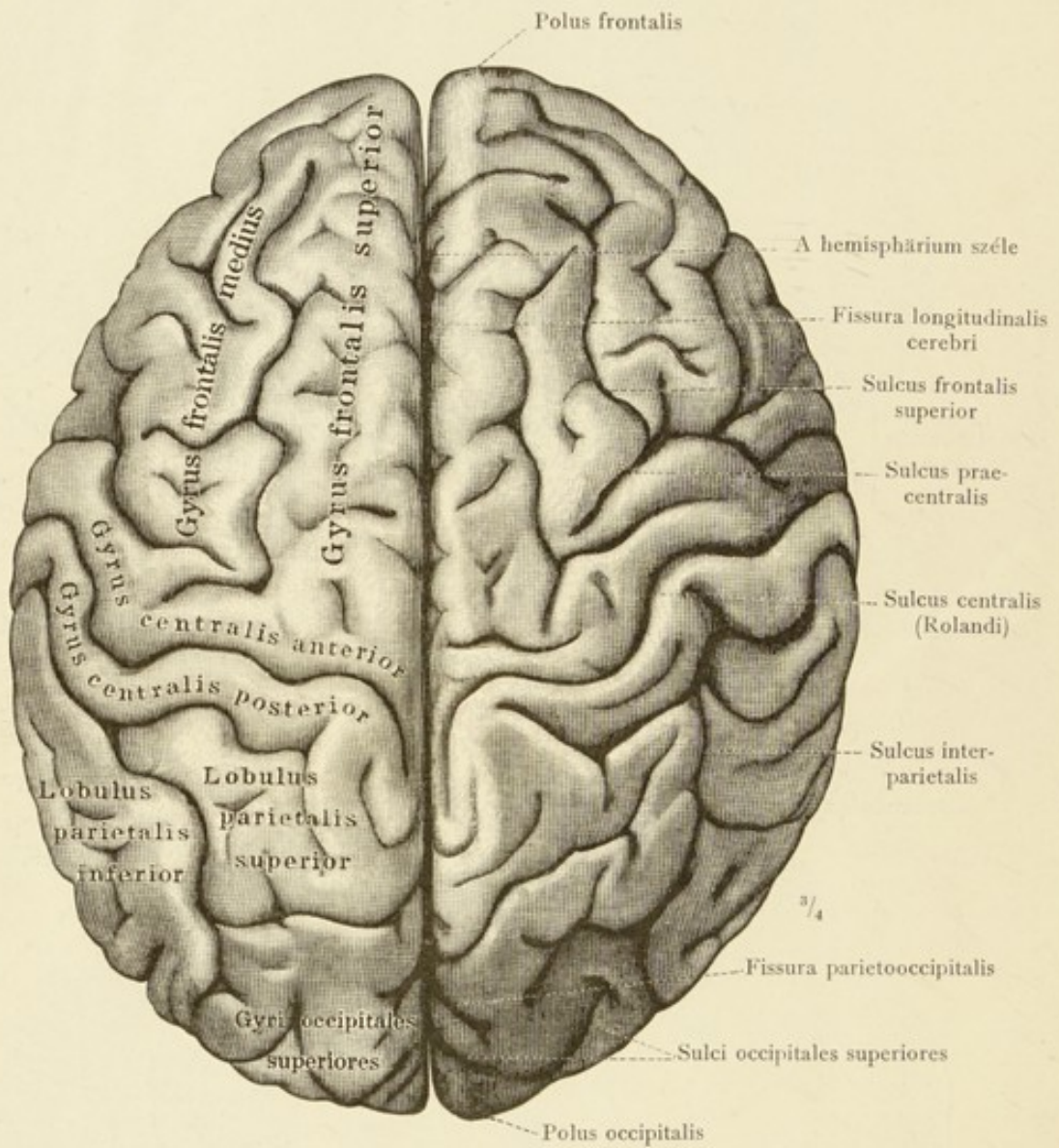
1194. rajz. A nagyagyvelő bal hemisphaeriumának, hemisphaerium sinistrum, domború oldala, facies convexa, oldalról nézve. A nagyagyvelő tekervényei és barázdái, gyri et sulci cerebri.



1195. rajz. Az agyvelő mediansagittalis metszete. A nagyagyvelő hemisphaerium belső oldalának, facies medialis, tekervényei és barázdái.

Cerebrum, a nagyagyvelő.



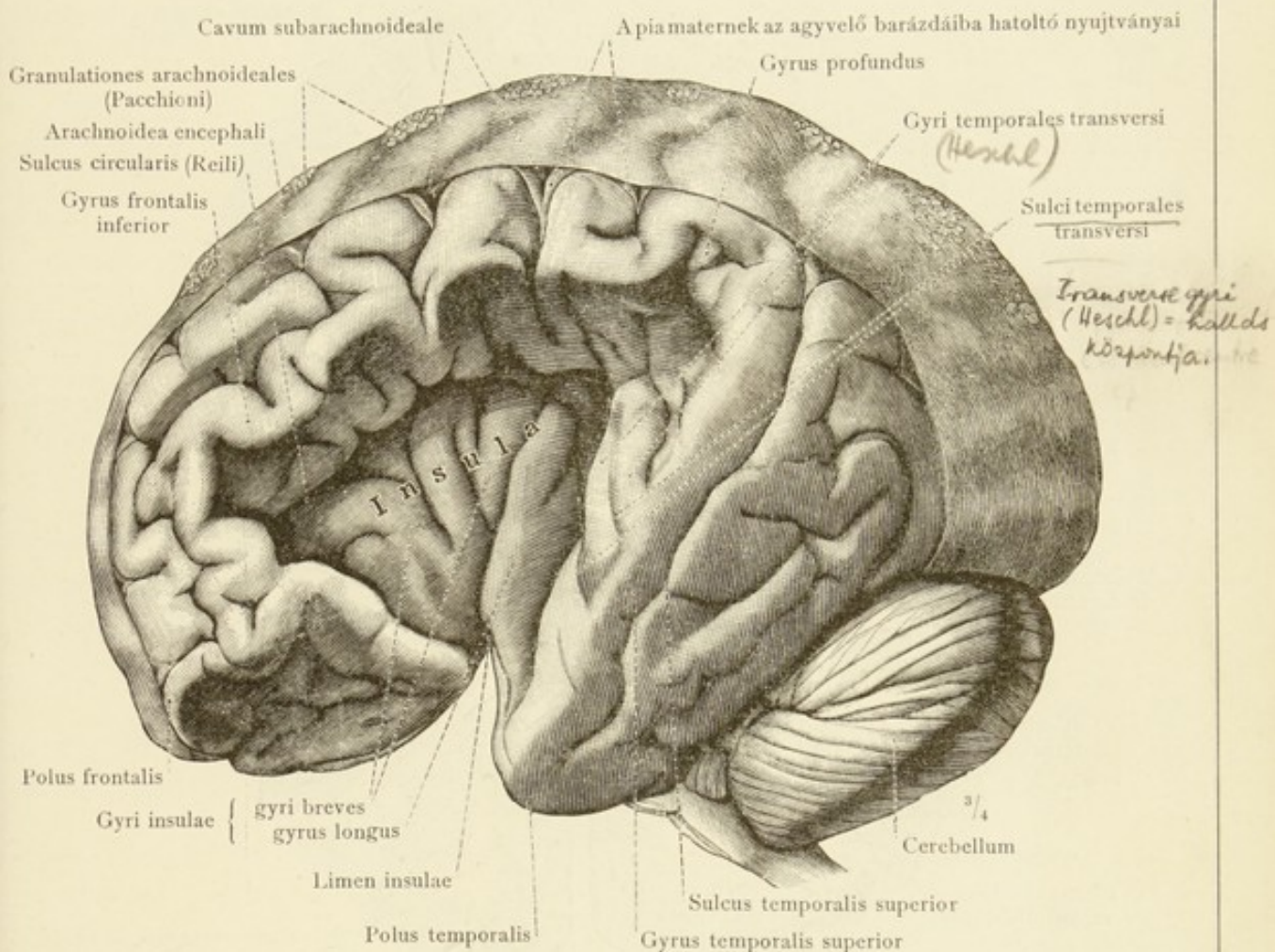


1196. rajz. A nagyagyvelő két hemisphaeriumának, hemisphaeria cerebri, domború oldala, facies convexa, felülről nézve. A nagyagyvelő tekervényei és barázdái, gyri et sulci cerebri. A nagyagyvelő két hemisphaeriuma között mélyen bevágó nyílirányú hasadék, fissura longitudinalis cerebri, két oldalán a hemisphaeriumok széle, a nagyagyvelő domború oldalát annak belső oldalától választja el.



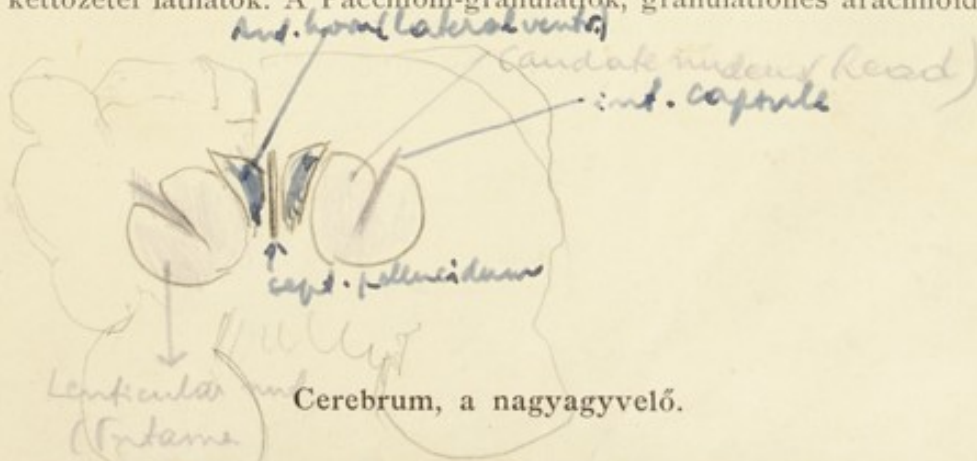
*Probable connections of the caudate & lenticle nuclei*  
 Corpus striat. caudate + lenticle nuclei) have few, if any, connections with the cerebral cortex. all of its afferent impulses are received from the thalamus. wall of its afferent fibres arise in the globus pallidus. Globus pall. = part of the motor mechanism of the brain, the caudate nucl. & lenticle nucl. exert some controlling influence upon this motor mechanism. The centres in the mid-brain to which the fibres from the p. pall. connect & give rise to a series of motor tracts Cerebrum, a nagyagyvelő. called its extrapyramidal tracts. these motor tracts have their cells of origin at a subcortical level = basal ganglia.





1197. rajz. A nagyagyvelő baloldali hemisphaeriumának domború oldala, facies convexa, oldalról tekintve. A halántékkarély, a homlokkarély és a falkarély széthúzásával feltárt a Sylvius-hasadék, melynek mélyében a sziget, insula, a gyri insulaevel, valamint a halántékkarély felső oldalán a sulci temporales transversari, láthatók.

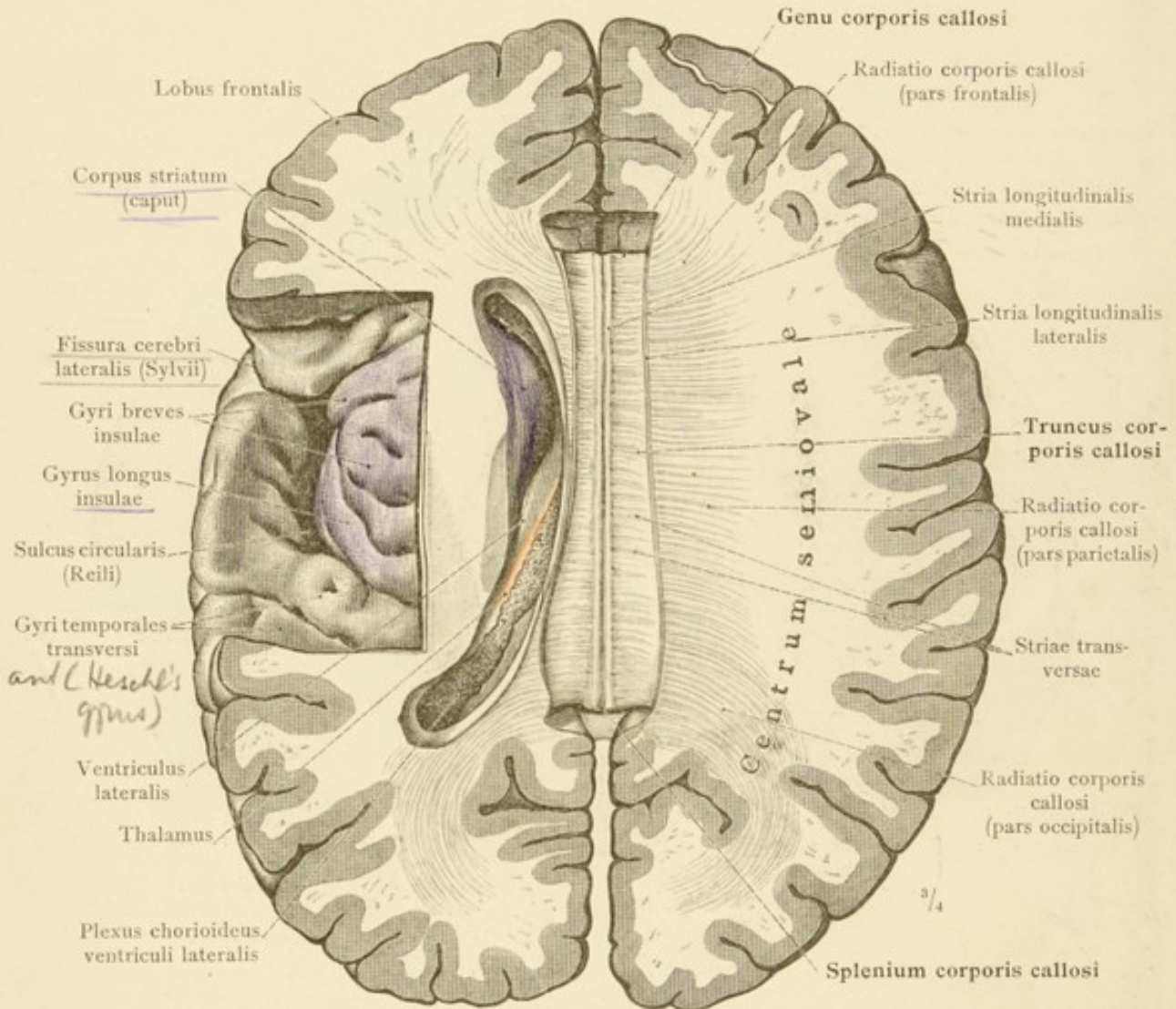
A hemisphaerium felső részét a pia mater encephali és az arachnoidea encephali vonja be. Az agytekervények gyengéd széthúzásával a pia maternek a barázdákba nyúló, lemezszerű kettőzetei láthatók. A Pacchioni-granulátók, granulationes arachnoideales.



Cerebrum, a nagyagyvelő.

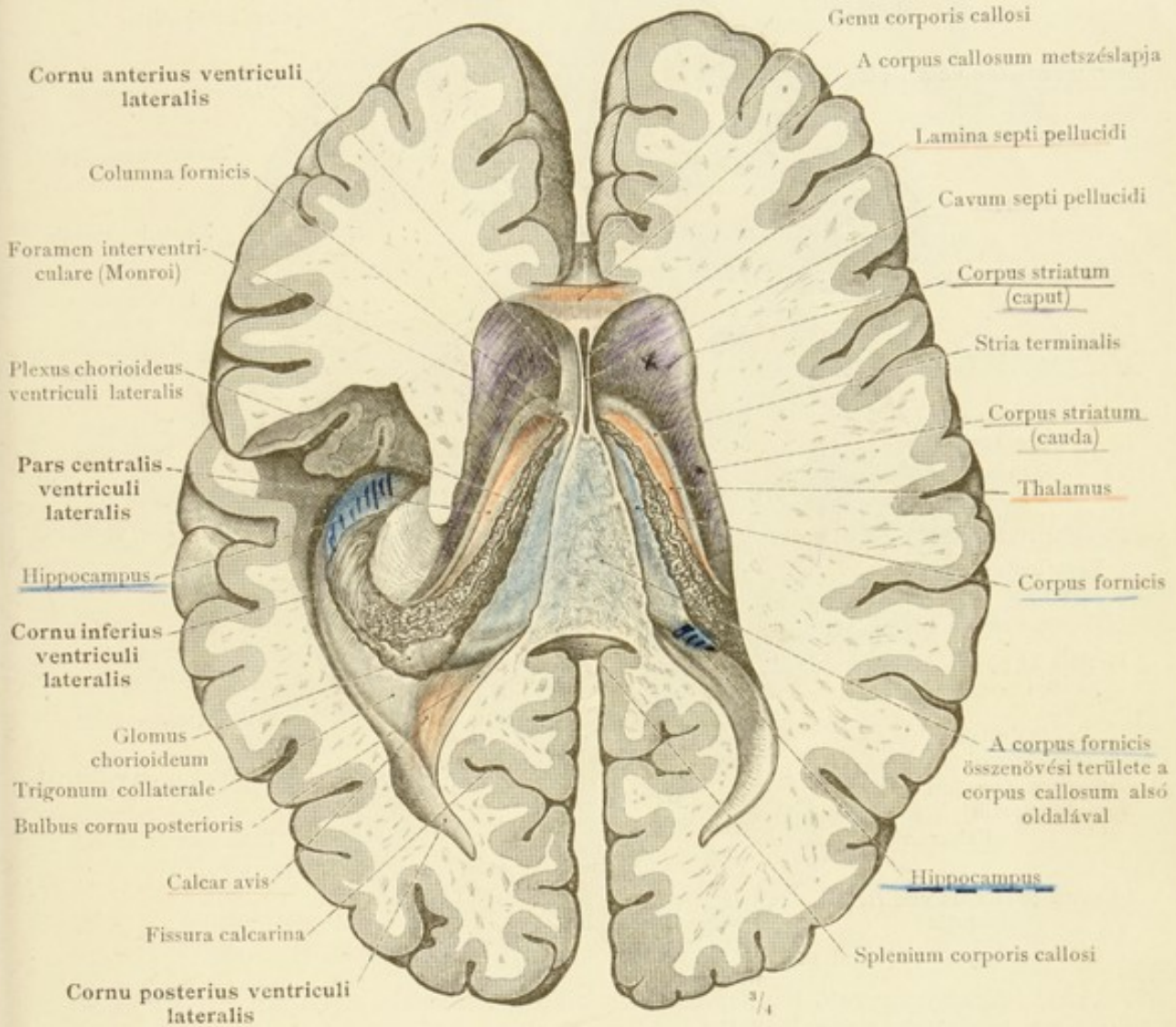
Cross section at the end of the anterior end of the corpus striat.





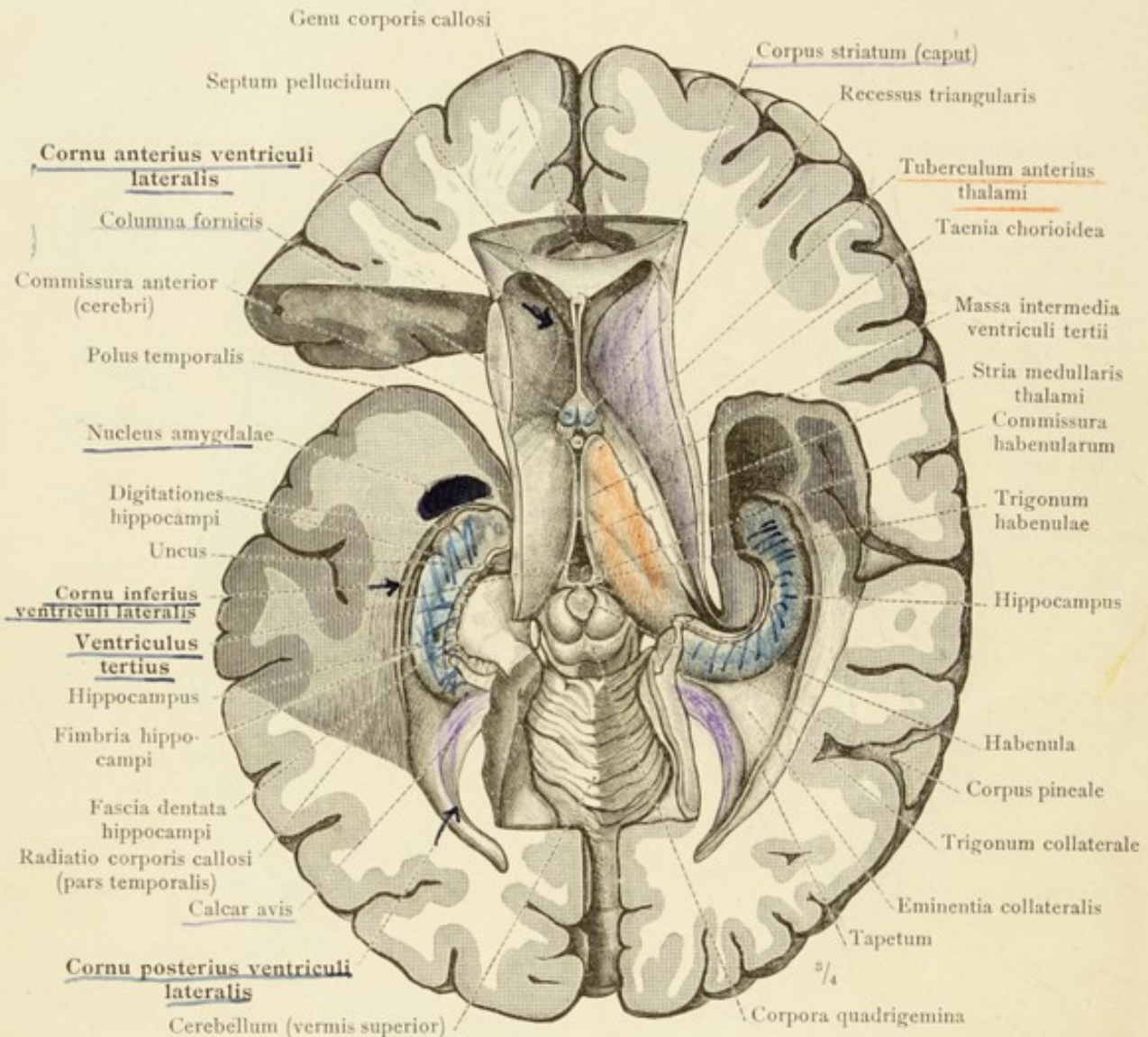
1198. rajz. A nagyagyvelő két hemisphaeriumának felső részét a corpus callosum magasságában eltávolítva, a corpus callosum dorsalis oldala, továbbá a fehér állomány, a két agyhemisphaerium velőrétege és annak centrum semiovale néven ismeretes metszete látható.

A jobboldalon a corpus callosum kisugárzása, radiatio corporis callosi, látható. A baloldali hemisphaerium egyes részeinek levágásával, egyrészt, felülről az insula van szabadabbá téve, másrészt az oldalsó agyvelőkamarák vannak megnyitva, melyben a corpus callosum feje és a thalamus opticus látható.



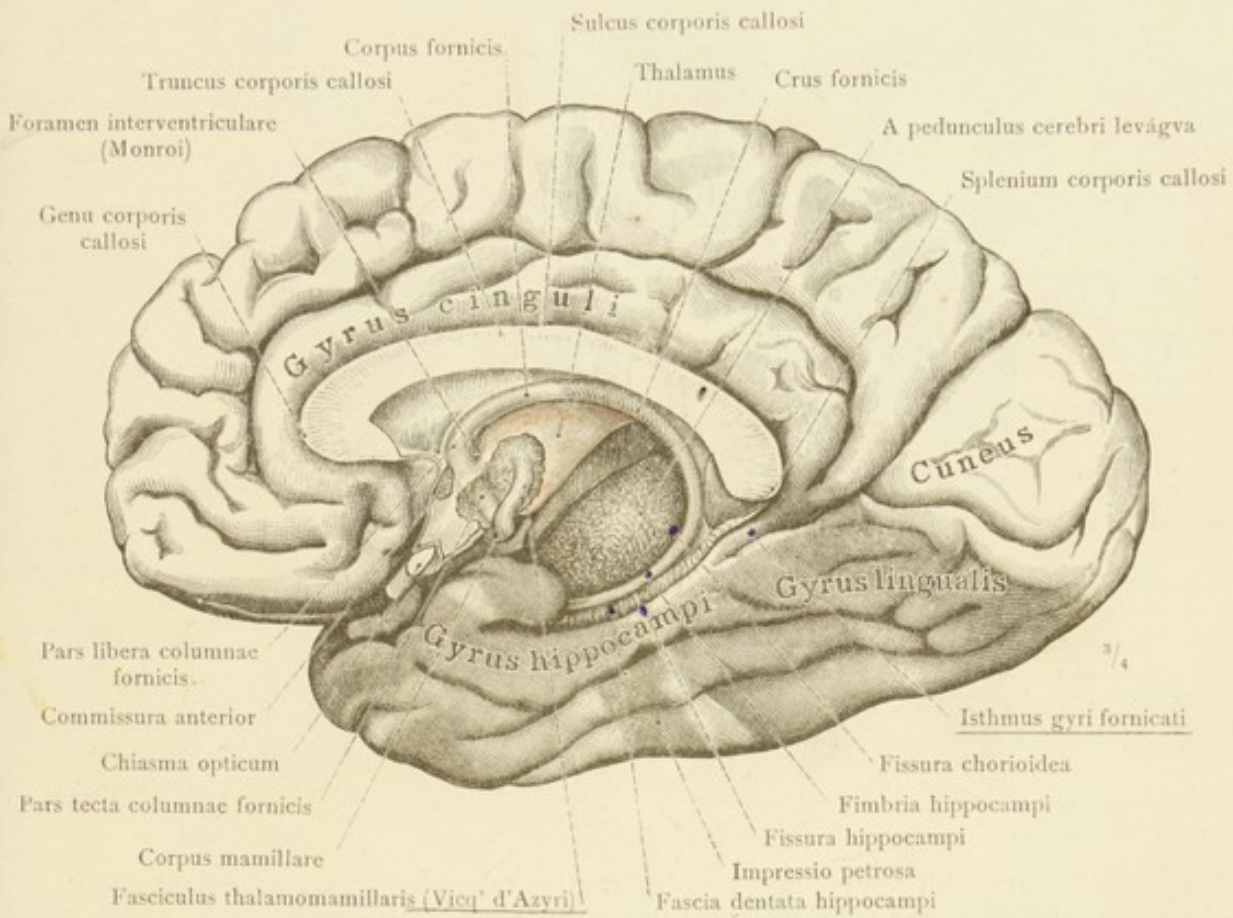
1199. rajz. A nagyagyvelő hemisphaeriumok felső részének és a corpus callosumnak eltávolításával, a fornix dorsalis oldala és a feltárt oldalsó kamarák, ventriculus lateralis, láthatók. A jobboldali hemisphaeriumban az oldalsó kamarának csak a középső része, pars centralis, az elülső szarv, cornu anterius és a hátsó szarv, cornu posterius, vannak feltüntetve, a baloldali hemisphaeriumban, az agyvelőállomány nagyobb részének eltávolításával, a halántékkarélyba húzódó alsó szarv, cornu inferius is látható. A két elülső szarv közötti válaszfal, septum pellucidum, horizontalisan van átmetszve; e válaszfal két lemeze, laminae septi pellucidi, kis rést, cavum septi pellucidi, fog közre.





1200. rajz. A nagyagyvelő hemisphaeriumok felső részének, a corpus callosumnak, a fornixnak és az érhártyának (thela cordoidea) eltávolításával, az oldalsó kamarák és a III. agyvelőkamara fel vannak tárva és a corpora quadrigemina, a corpus pineale a kisagyvelő vermis superiorja felülről láthatók.

Az elülső szarv oldalsó falát a caput corporis striati, elülső falát a genu corporis callosi, medialis falát pedig a septum pellucidum alkotja. — Az oldalsó kamara középső részének fenekén látható a thalamus dorsalis oldala, a stria terminalis és a cauda corporis striati. A hátsó szarv medialis oldalán a calcar avis, az alsó szarvban pedig a kidomborodó ammonszarv (hippocampus) található. — A bal hemisphaerium homlokkarélyának hátsó részét, homlokirányú metszéssel teljesen eltávolítva, a halántékkarély felső részének metszetében a nucleus amygdalae látható.

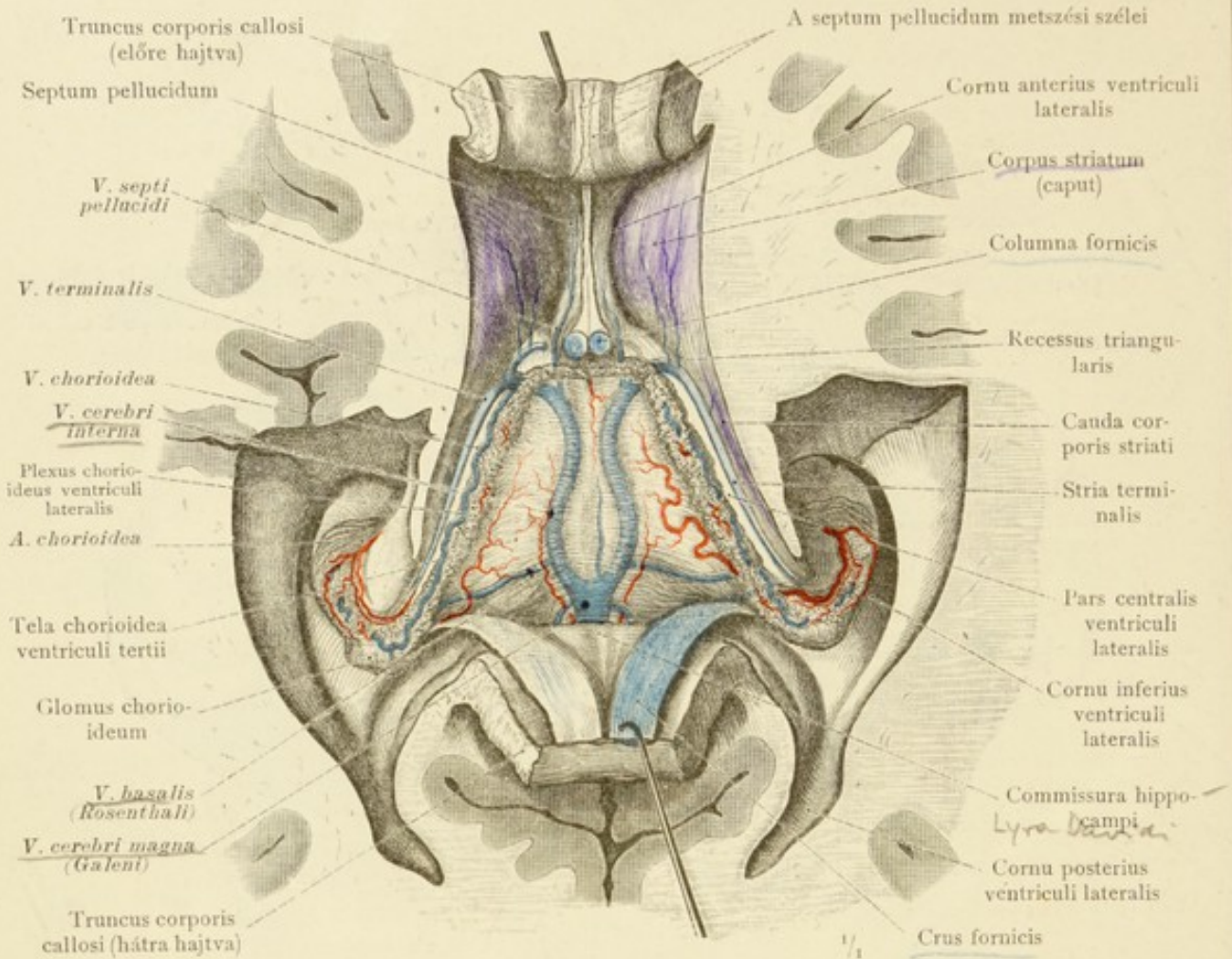


1201. rajz. A nagyagyvelő jobboldali hemisphaeriumának medialis oldala, facies medialis; az agyvelő szárai harántul levágva.

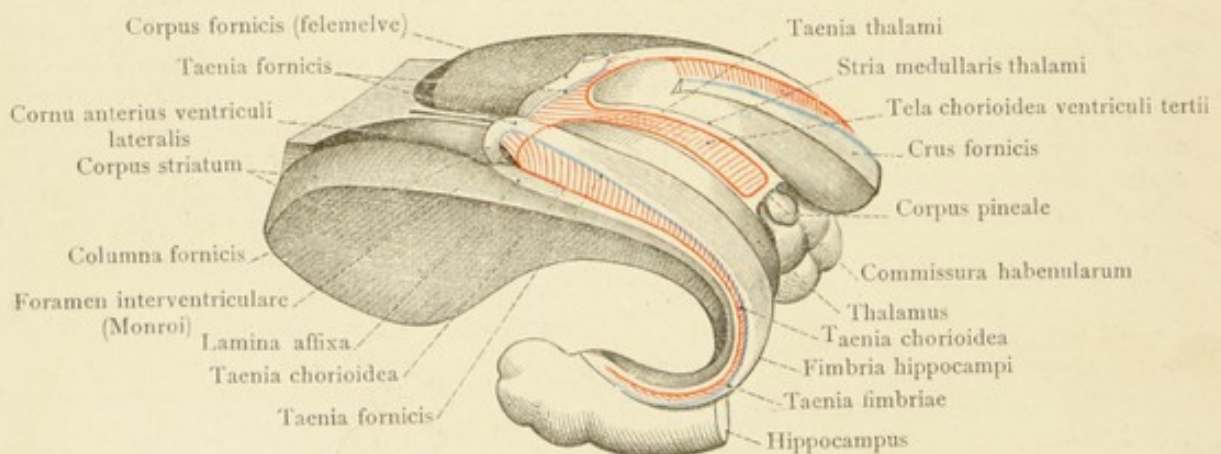
A gyrus cinguli és a gyrus hypocampi, a melyek a gyrus fornicatust alkotják, a corpus callosum spleniuma alatt az isthmus gyri fornicati útján vannak egymással összefüggésben. — A gyrus cinguli körülveszi a corpus callosum három átmetszett részét és pedig a genu corporis callosit, a truncus corporis callosit és a splenium corporis callosit. A fornix egész terjedelmében látható; a pars tecta columnae fornicis, a III. agyvelőkamara oldalsó falának részleges eltávolításával szabaddá téve. A splenium corporis callosi alatt a fornix szára a fimbria hippocampivá alakul át, mely a fascia dentata hosszában húzódik. — A columna fornicis fedett része mögött, a corpus mamillareből a thalamusba húzódó Vicq' d'Azyr-nyaláb, a fasciculus thalamomamillaris látható.

Cerebrum, a nagyagyvelő.



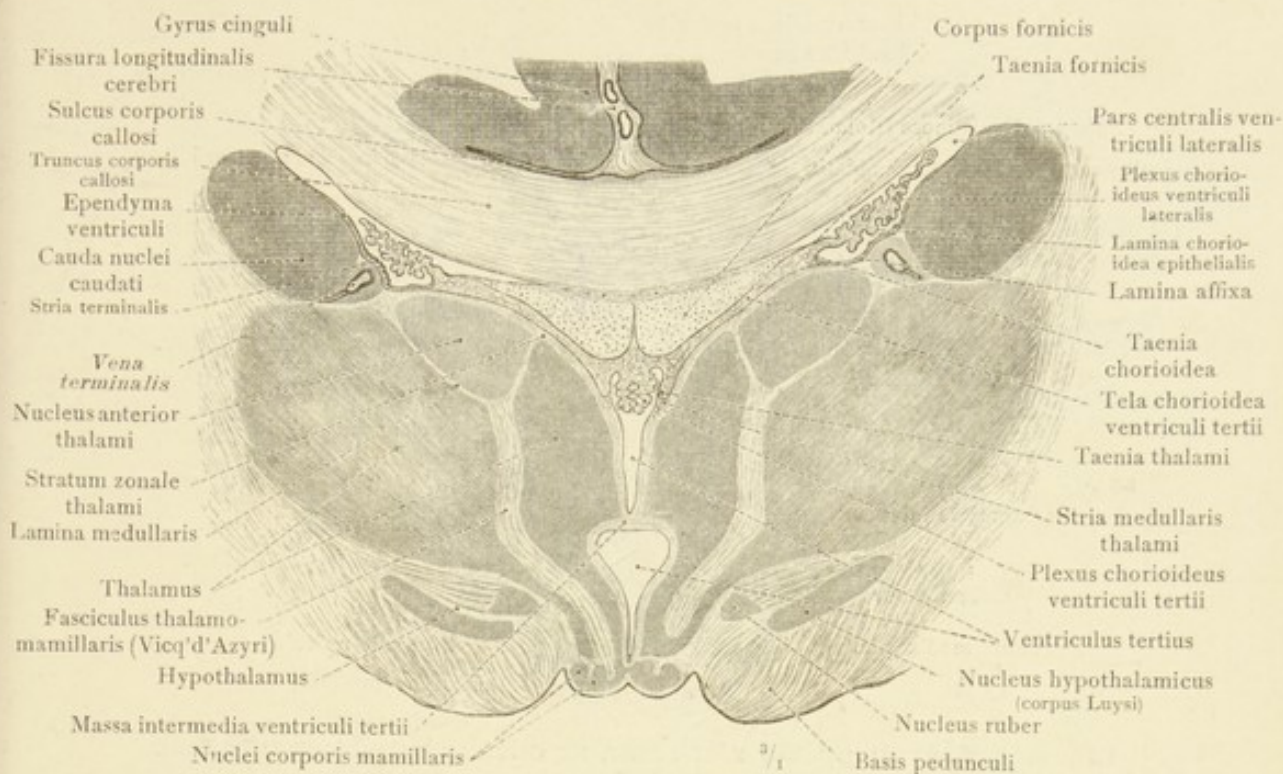


1202. rajz. A harmadik agyvelőkamara érhártyája, tela chorioidea ventriculi tertii, az oldalsó agyvelőkamarák érhálózatával, plexus chorioideus ventriculi lateralis, felülről szabaddá téve. Az érhártya és az érfonat nagyobb erei befecskendezve láthatók.

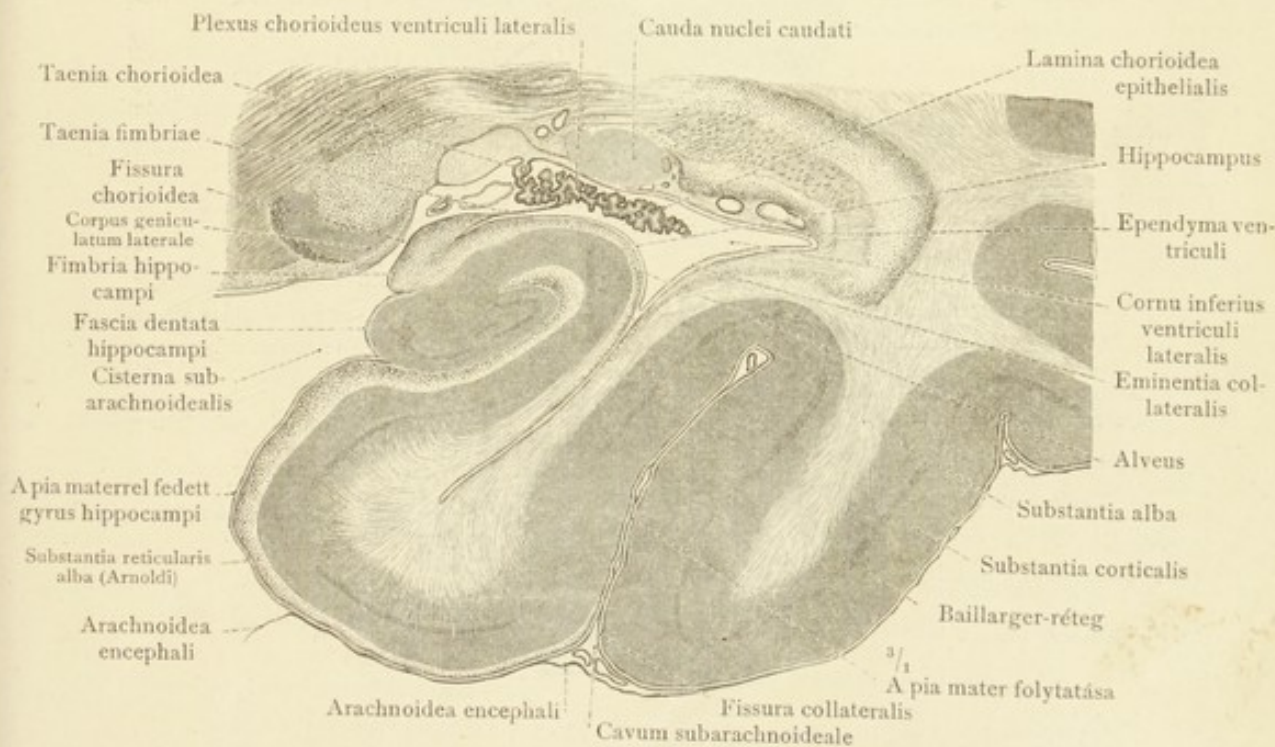


1203. rajz. Az érhártya tapadási vonalai, taeniae telarum, a diencephalonban és a telenkephalonban, sémásan. A jobboldali fornix az érhártyával együtt átvágva és felemelve. A baloldali fornix elülső része kissé felemelve. Felülről és baloldaltól nézve.



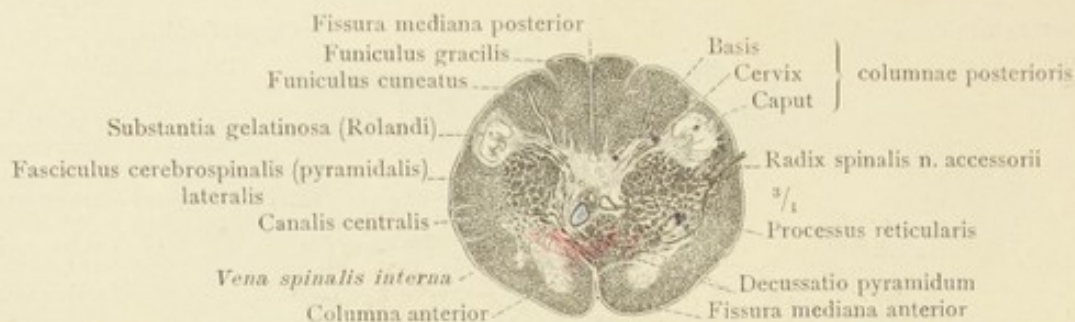


1204. rajz. A harmadik agyvelőkamara és szomszédos részeinek homlokirányú metszete. Az érhártya és az érhálózat harántmetszete. Az érhártya összefüggése a taenia fornicis útján, a fornix szabad szélével, továbbá a taenia chorioidea útján, a lamina affixával és az oldalsó agyvelőkamarák ependymájával, végül a taenia thalami útján a stria medullaris thalamival.

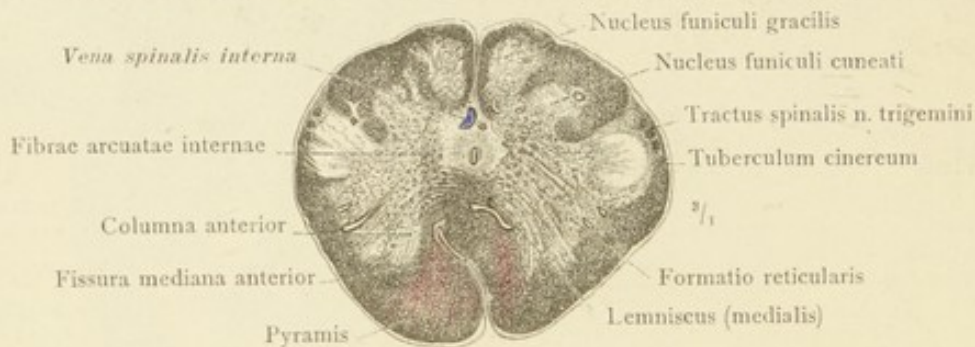


1205. rajz. A jobboldali oldalsó agyvelőkamara alsó szarvának és a gyrus hippocampinak homlokirányú metszete. Az érhálózat harántmetszete. Az érhálózat összefüggése a taenia chorioidea útján az alsószarv ependymájával és a taenia fimbriae útján a fimbria hippocampival.

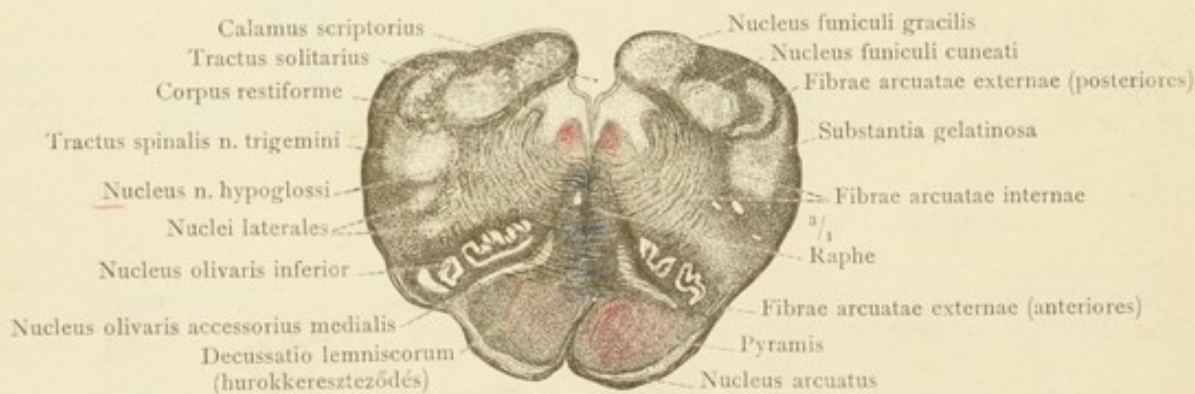




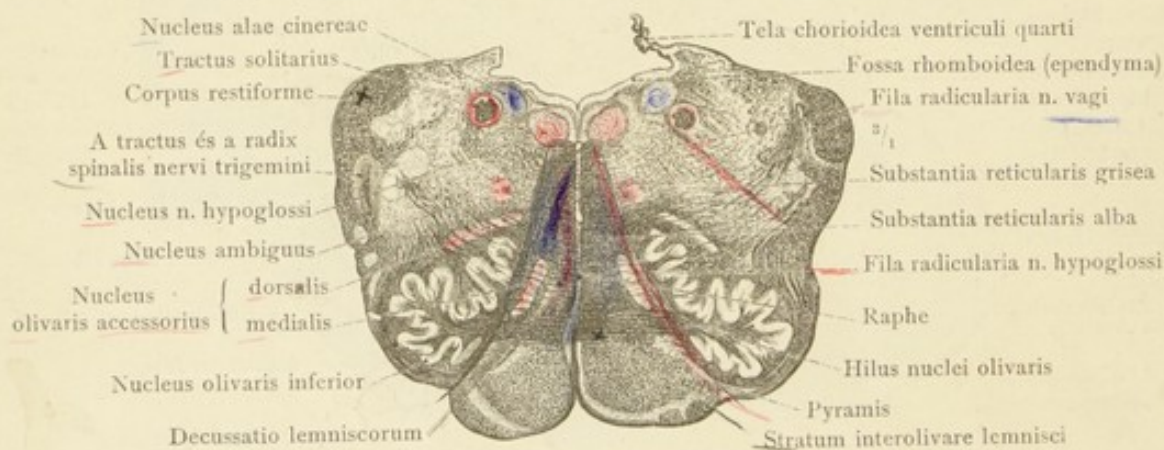
1206. rajz. A piramisrostok kereszteződése; a nyúltagyvelő zárt része.



1207. rajz. A nyúltagyvelő zárt része, az olivák alatt, a piramisokkal.

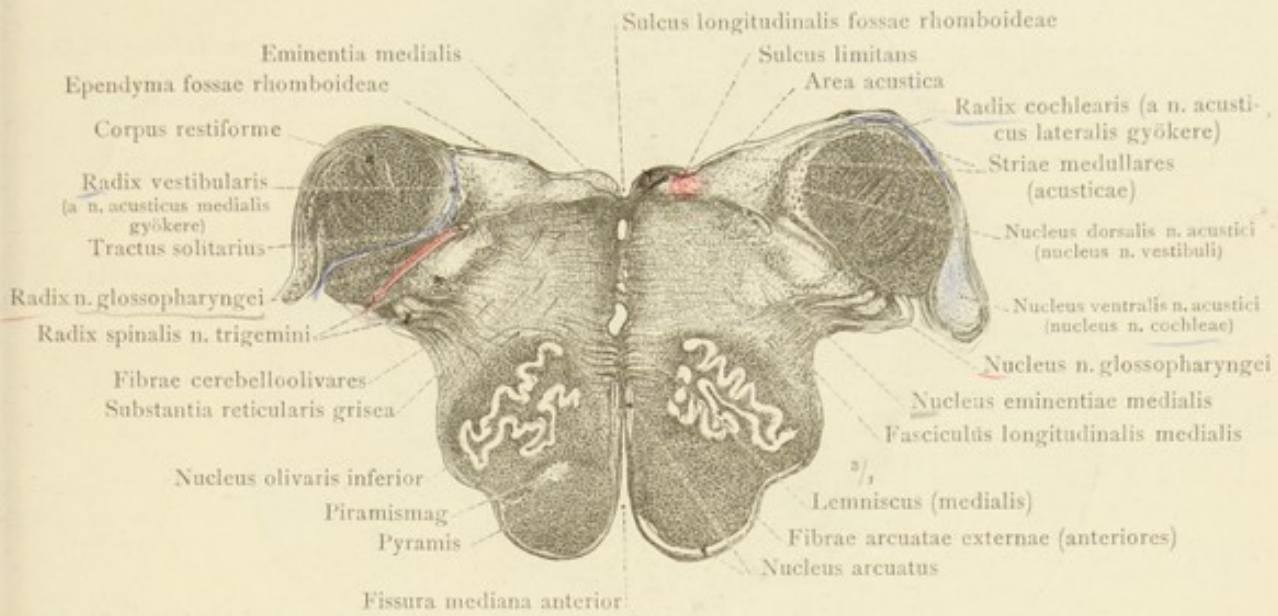


1208. rajz. Az olivák alsó részén. Pars inferior fossae rhomboideae.

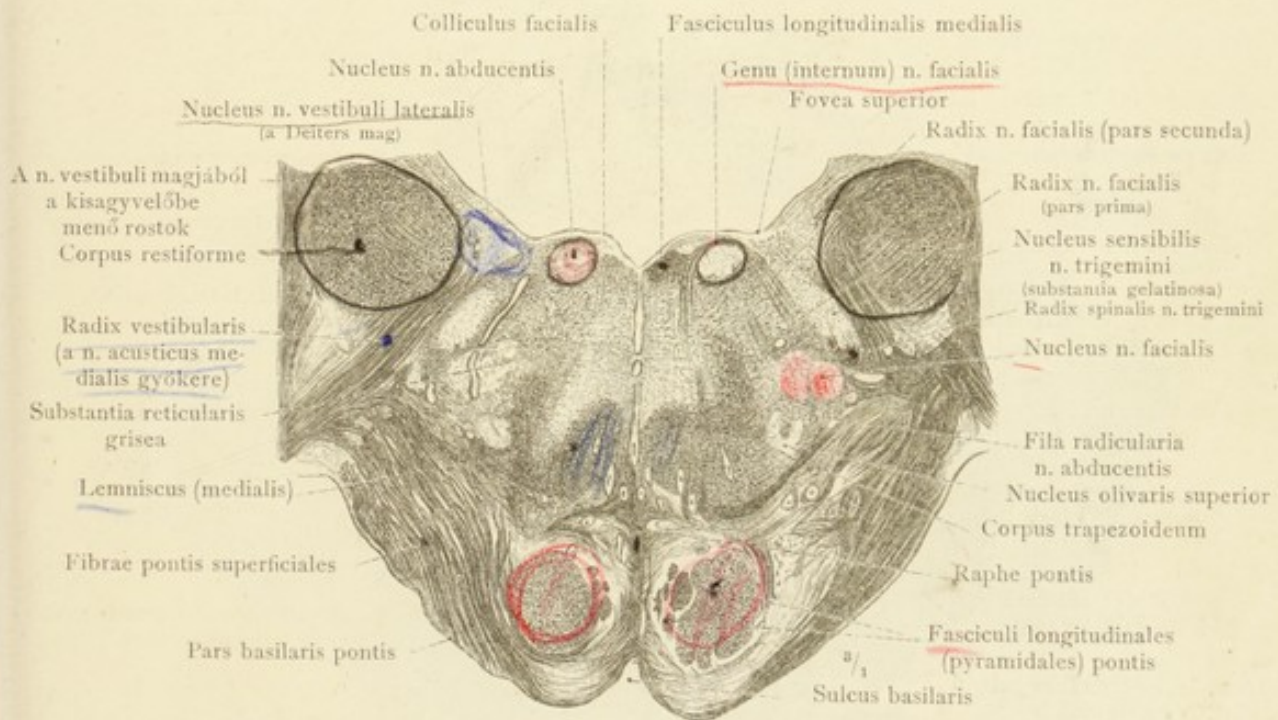


1209. rajz. Az olivák közepén. Pars inferior fossae rhomboideae.

*A nyúltagyvelő, medulla oblongata, harántmetszetei.  
(A fehér állomány sötét, a szürke állomány világos.)*

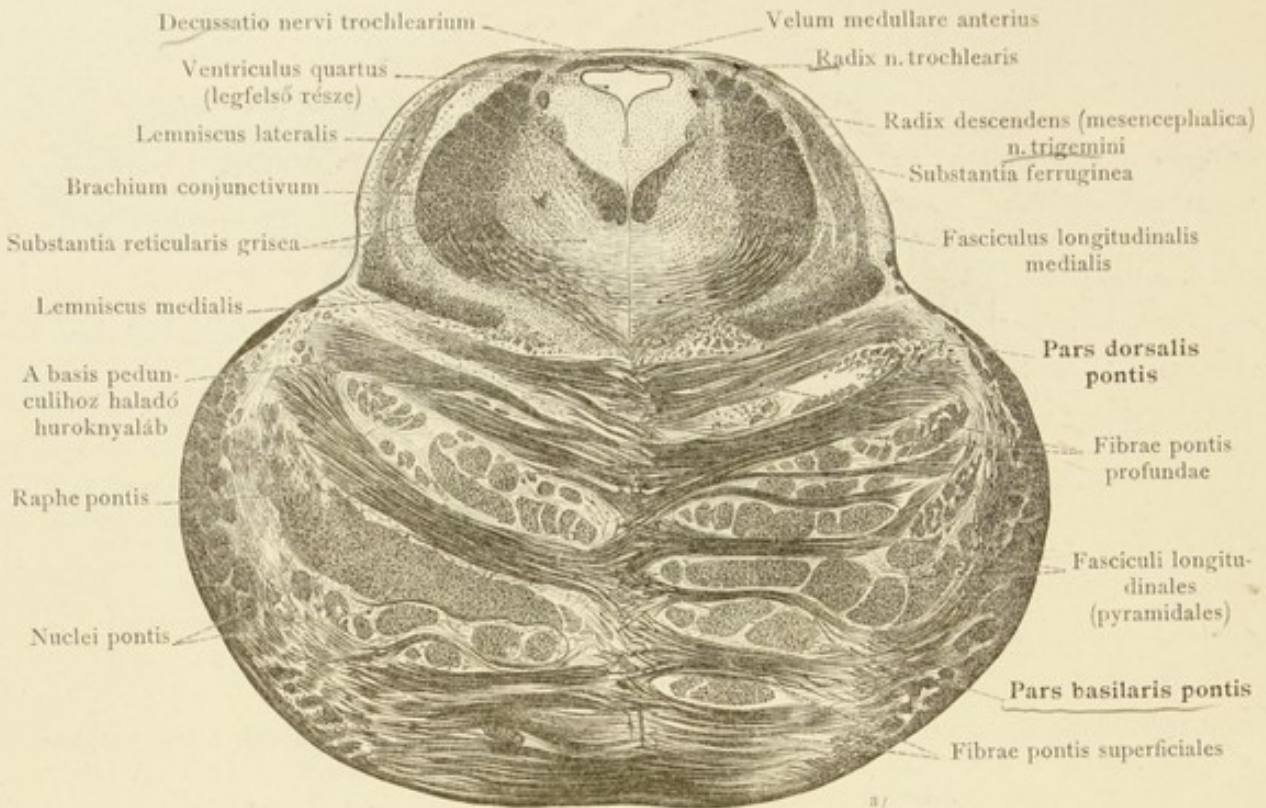


1210. rajz. A nyúltagyvelő, medulla oblongata, harántmetszete, az olivák felső magaságában, az area acustican keresztül. Pars intermedia fossae rhomboideae. (A fehér állomány sötét, a szürke állomány világos.)

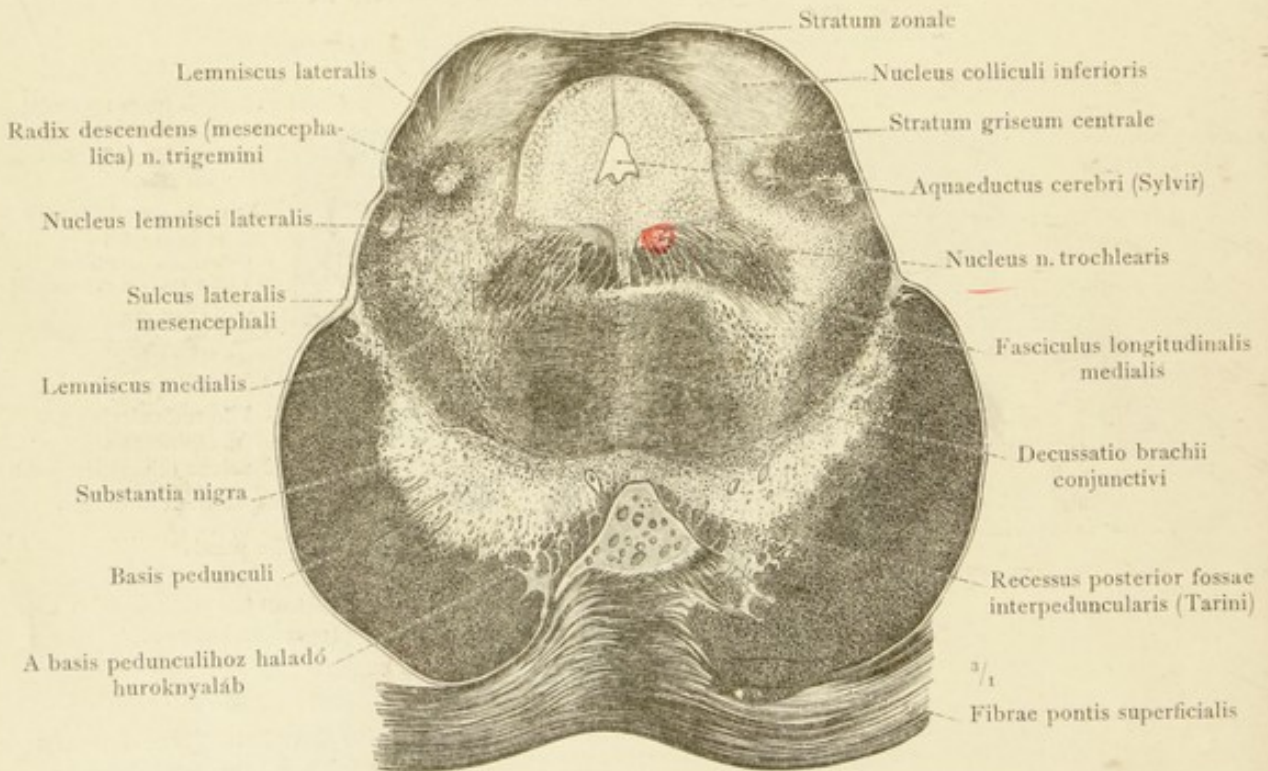


1211. rajz. A híd alsó szélén és a colliculus facialison áthaladó harántmetszet. Pars intermedia fossae rhomboideae. (A fehér állomány sötét, a szürke állomány világos.)





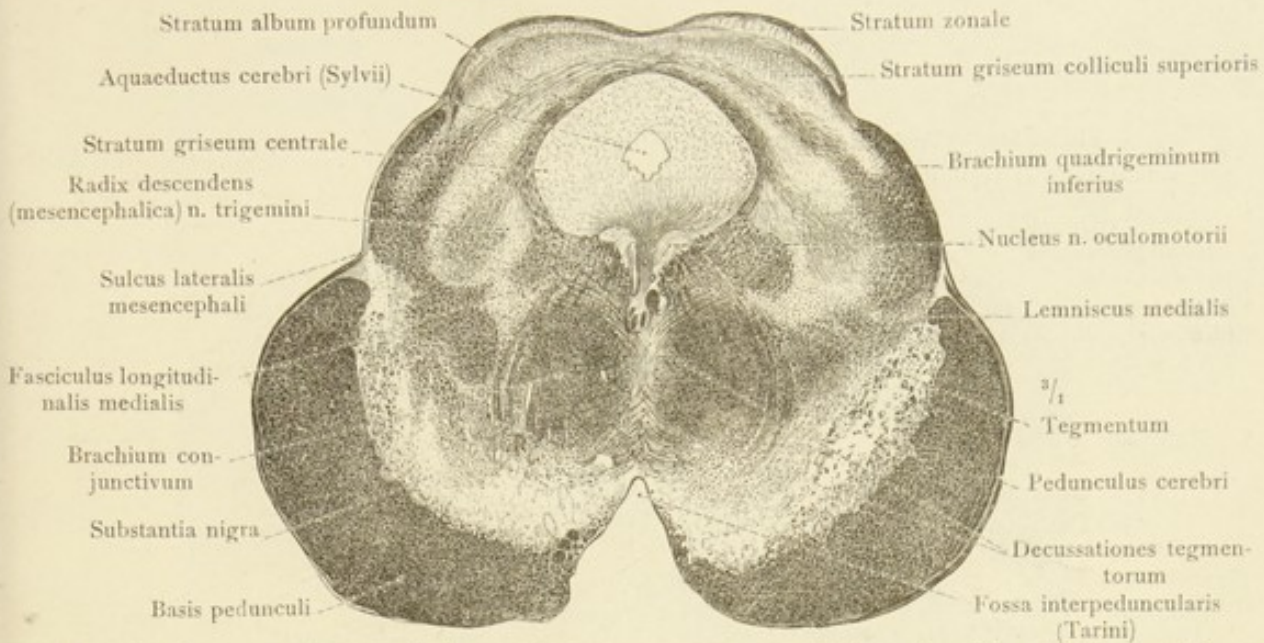
1212. rajz. A híd, pons, közepén és a velum medullare anteriuson áthaladó harántmetszet. Isthmus rhombencephali; pars superior fossae rhomboideae. (A fehér állomány sötét, a szürke állomány világos.)



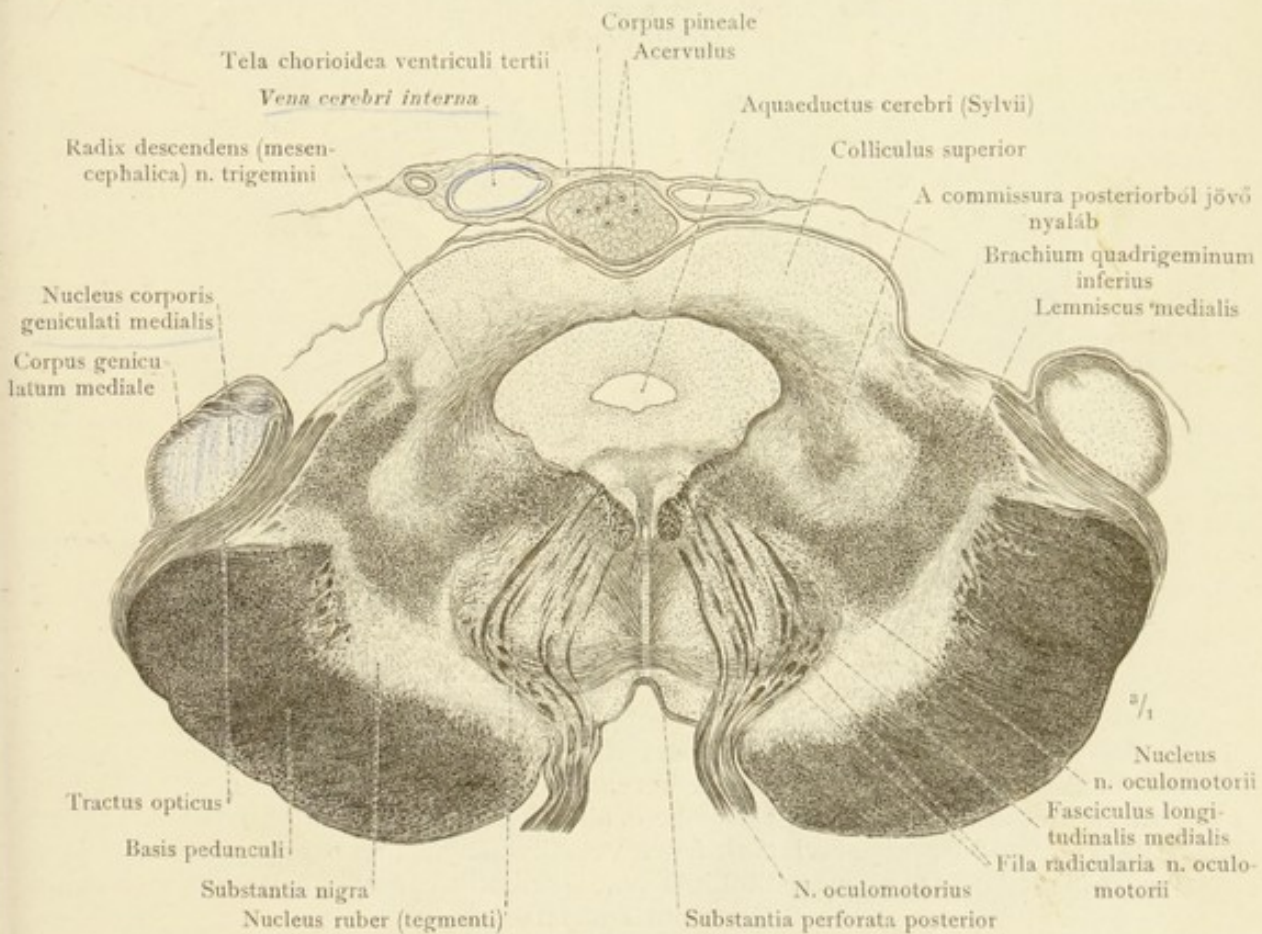
1213. rajz. A híd felső szélén, a nagyagyvelőszárak leghátulsó részén és a corpora quadrigemina két alsó dombján áthaladó metszet. A középső agyvelő, mesencephalon. (A fehér állomány sötét, a szürke állomány világos.)

Az agyvelő harántmetszetei.



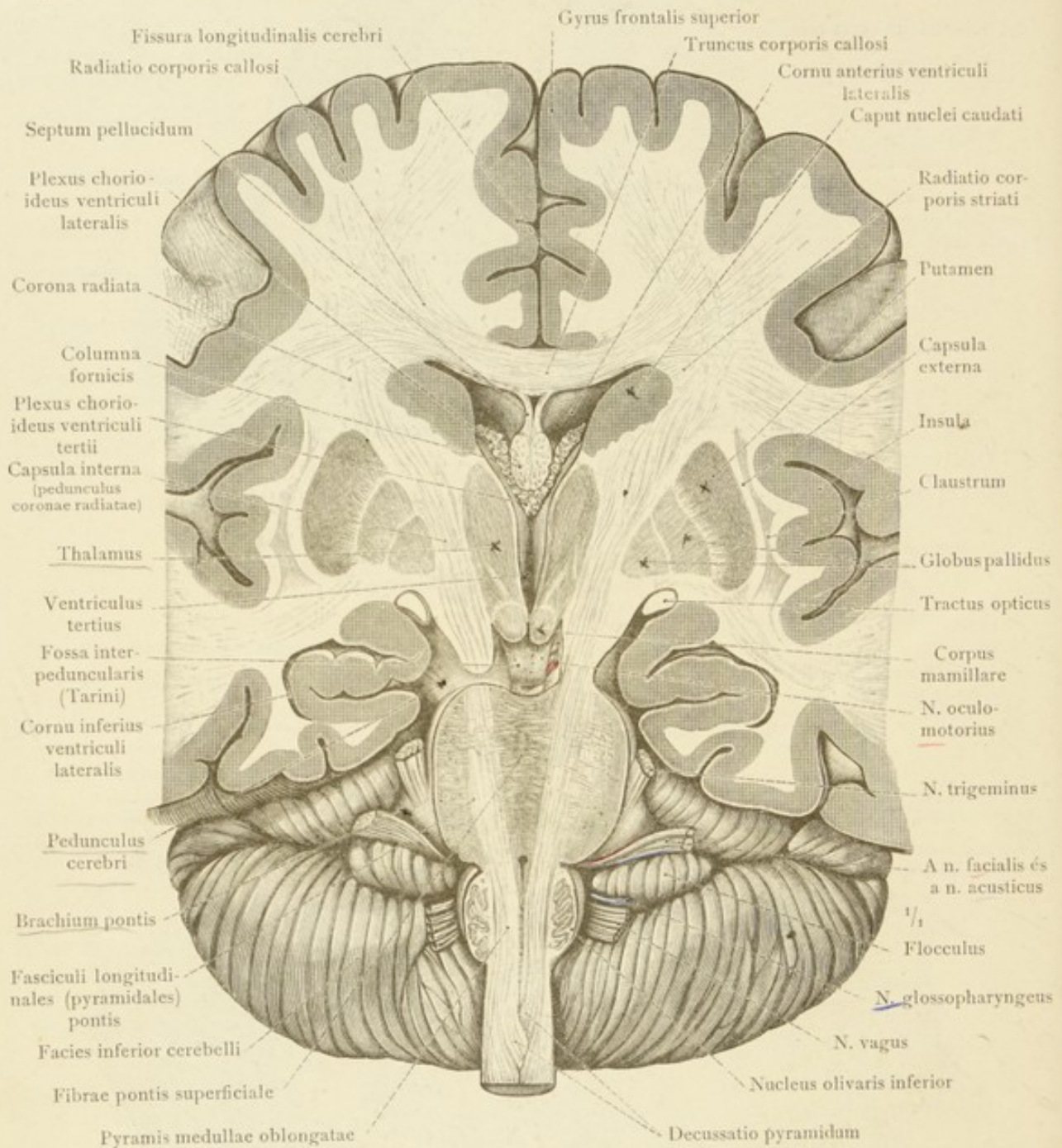


1214. rajz. Az agyvelőszárak közepén és a corpora quadrigemina két felső dombján áthaladó harántmetszet. A középsőagyvelő, mesencephalon. (A fehér állomány sötét, a szürke állomány világos.)



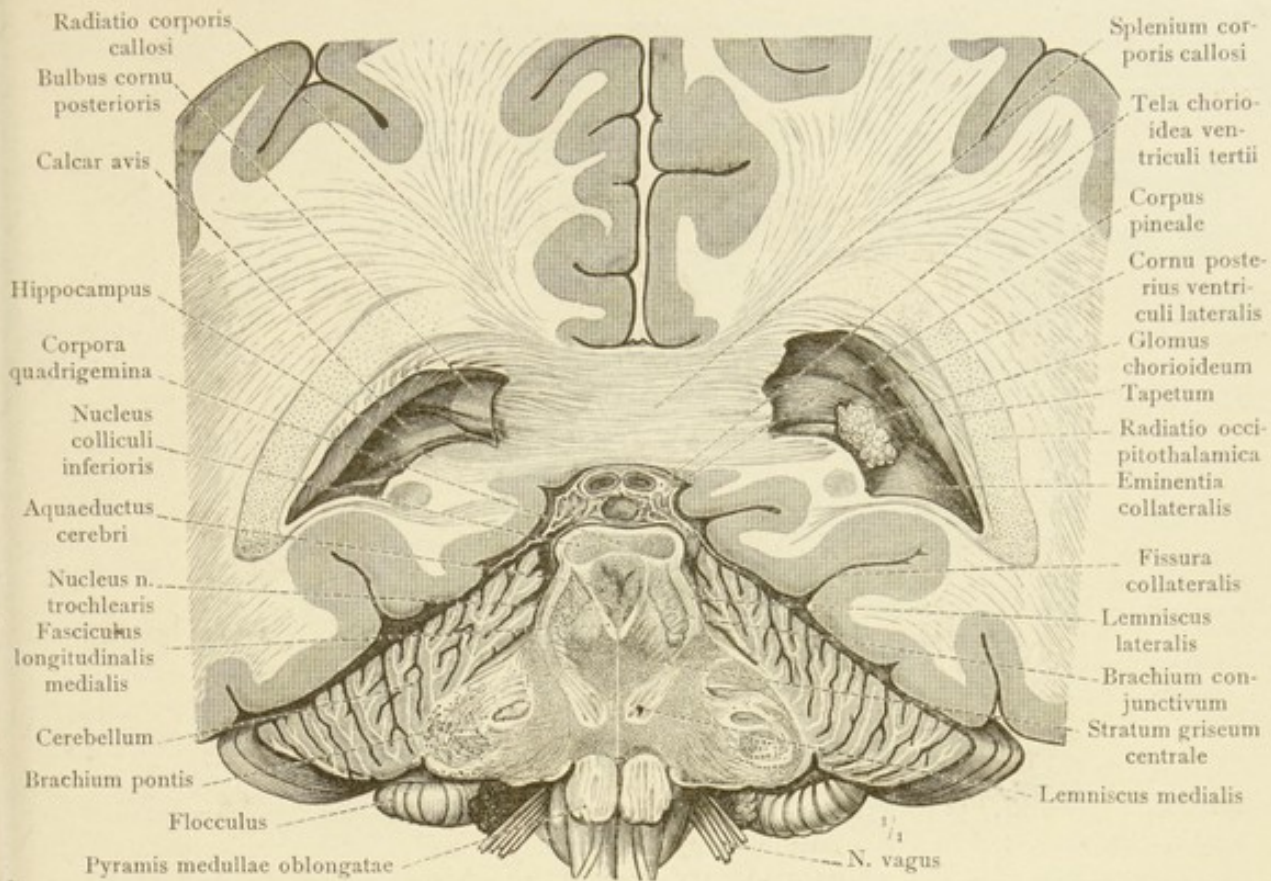
1215. rajz. Az agyvelőszárak legelülső részének, a vörös magnak, a corpora quadrigemina két felső dombjának és a corpus pinealenak harántmetszete. A mesencephalon metszete, közel a diencephalonhoz. (A fehér állomány sötét, a szürke állomány világos.)



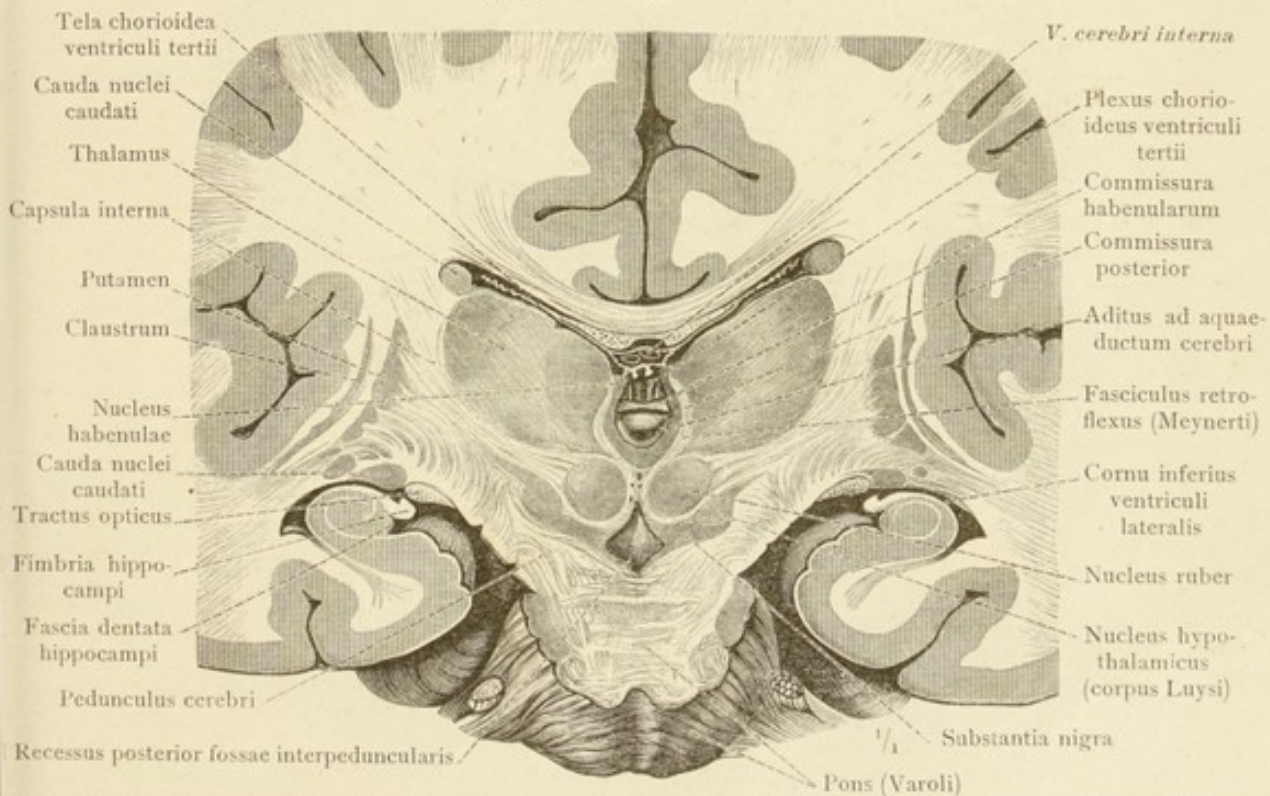


1216. rajz. A nagyagyvelő harántmetszete, a nyúltagyvelő és a nagyagyvelőszárakon keresztül. A piramispálya, a piramisok kereszteződésétől, a piramison, a hídon, az agyvelőszárakon át a capsula internaig követhető, ahol a pedunculus coronae radiataevá alakul át. A nagyagyvelő hemisphaeriumok fehér velőállományában a capsula internából jövő corona radiata rostozata, a meditulliumban, a radiatio corporis callosi és a radiatio corporis striati.





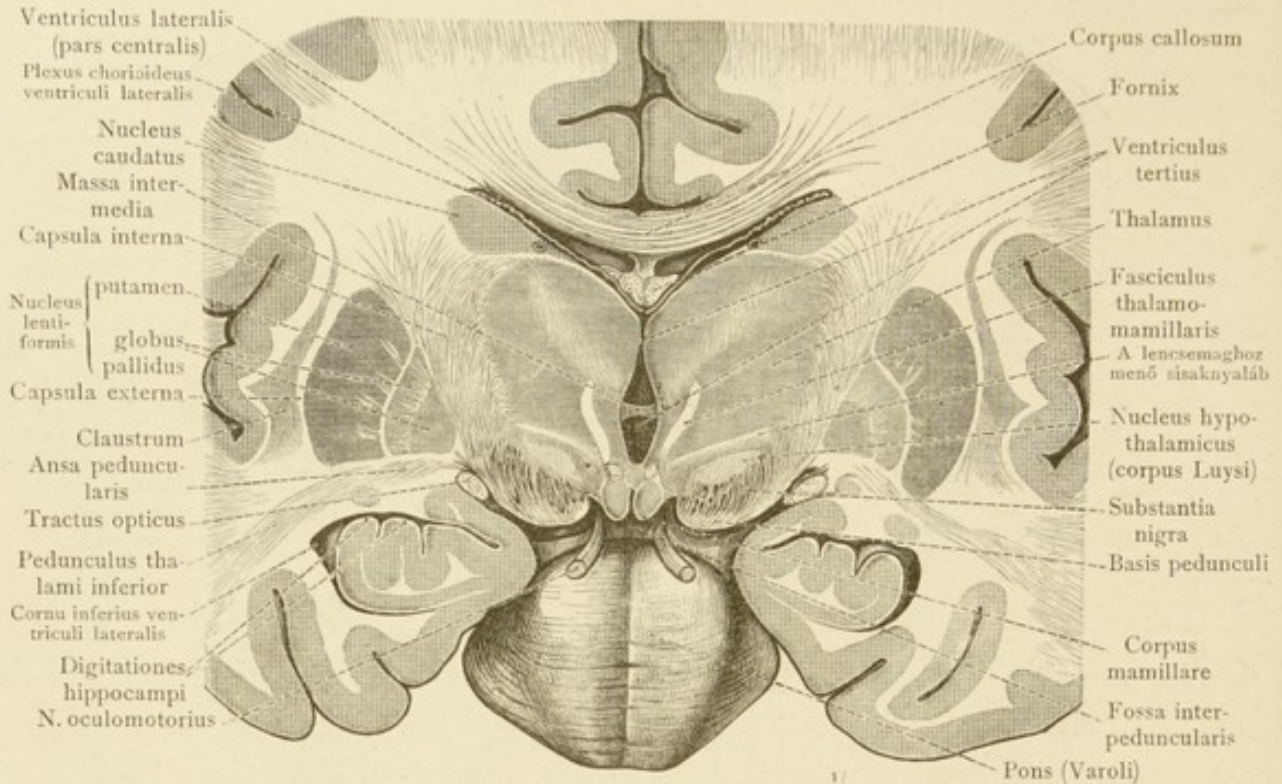
1217. rajz. A híd, pons, alatt, a piramisok felső végén és a splenium corporis callosin keresztül haladó metszet; a metszés hátulsó lapja. Az oldalsó agyvelőkamarák megnyitott hátulsó szarvai.



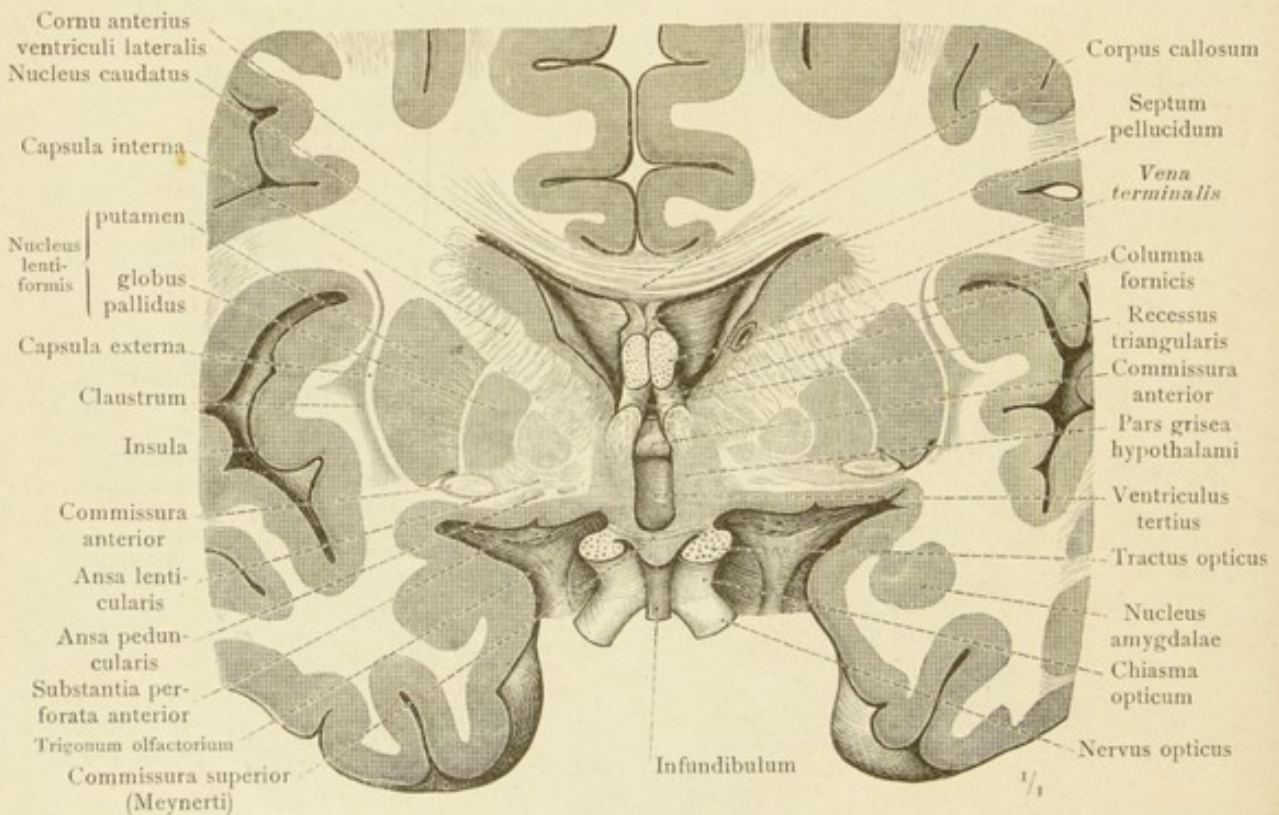
1218. rajz. A híd, pons, felső részének, a thalamusnak és a nucleus lentiformis leghátulsó részének metszete; a metszés hátulsó lapja. Látható a harmadik agyvelőkamara hátulsó fala, továbbá az oldalsó agyvelőkamarák középső része és alsó szarva.

Az agyvelő homlokirányú metszetei.





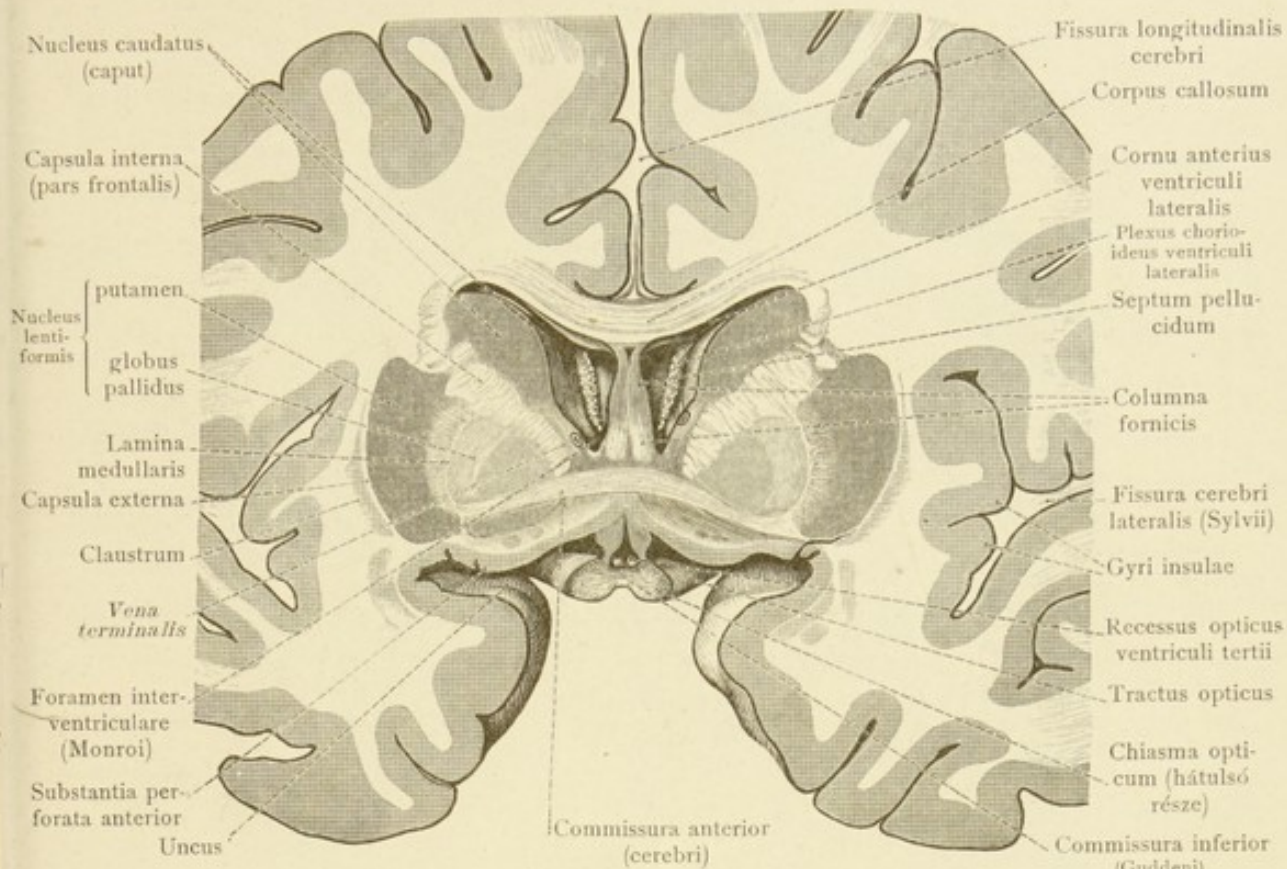
1219. rajz. A híd, pons, fölött az agyvelőszárakon és a corpora mamillariakon áthaladó metszet; a metszés hátulsó lapja. A harmadik agyvelőkamara, az oldalsó kamarák középső részének és az alsószarvak metszete. A metszés az alsó szarv elülső részén halad át.



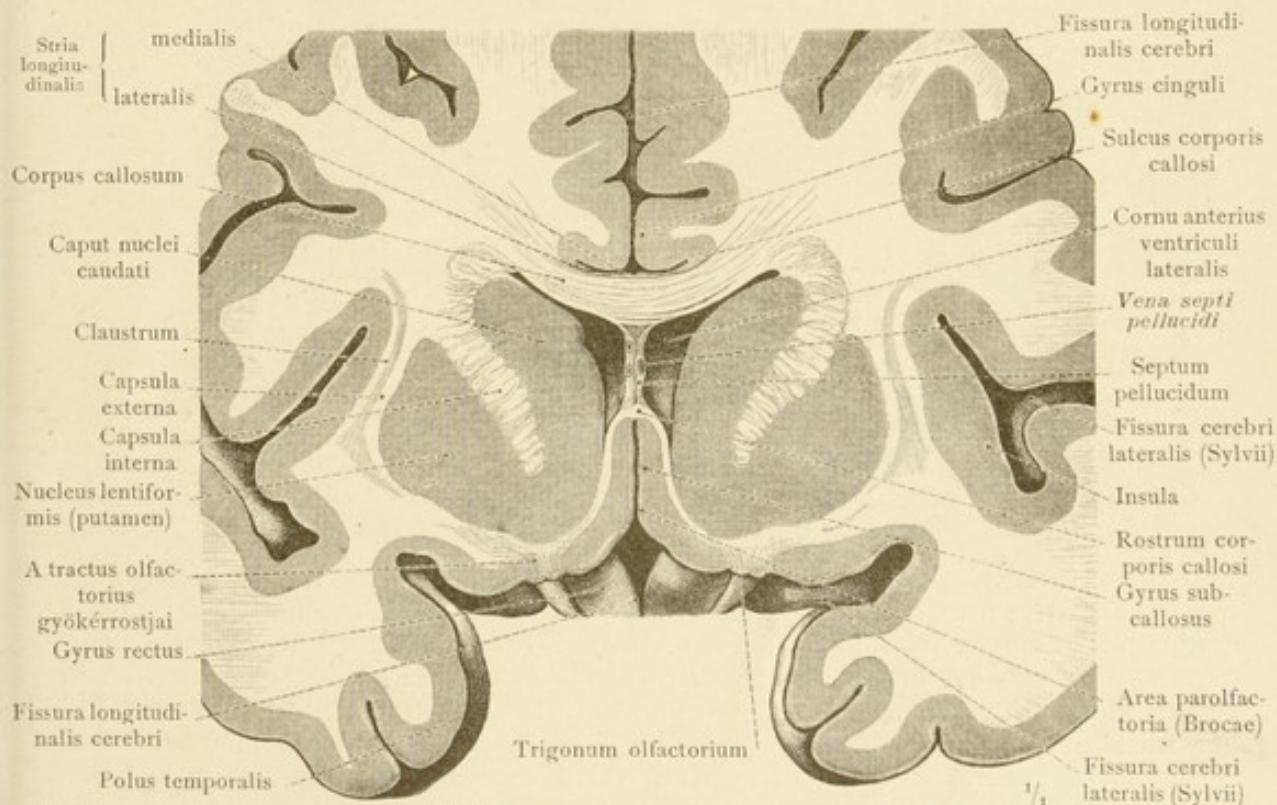
1220. rajz. A chiasma opticum mögött, az infundibulumon és a fornix columnain keresztül haladó metszet; a metszés elülső lapja. Láthatók az oldalsó kamarák elülső szarvai és a harmadik agyvelőkamara elülső fala.

Az agyvelő homlokirányú metszetei.





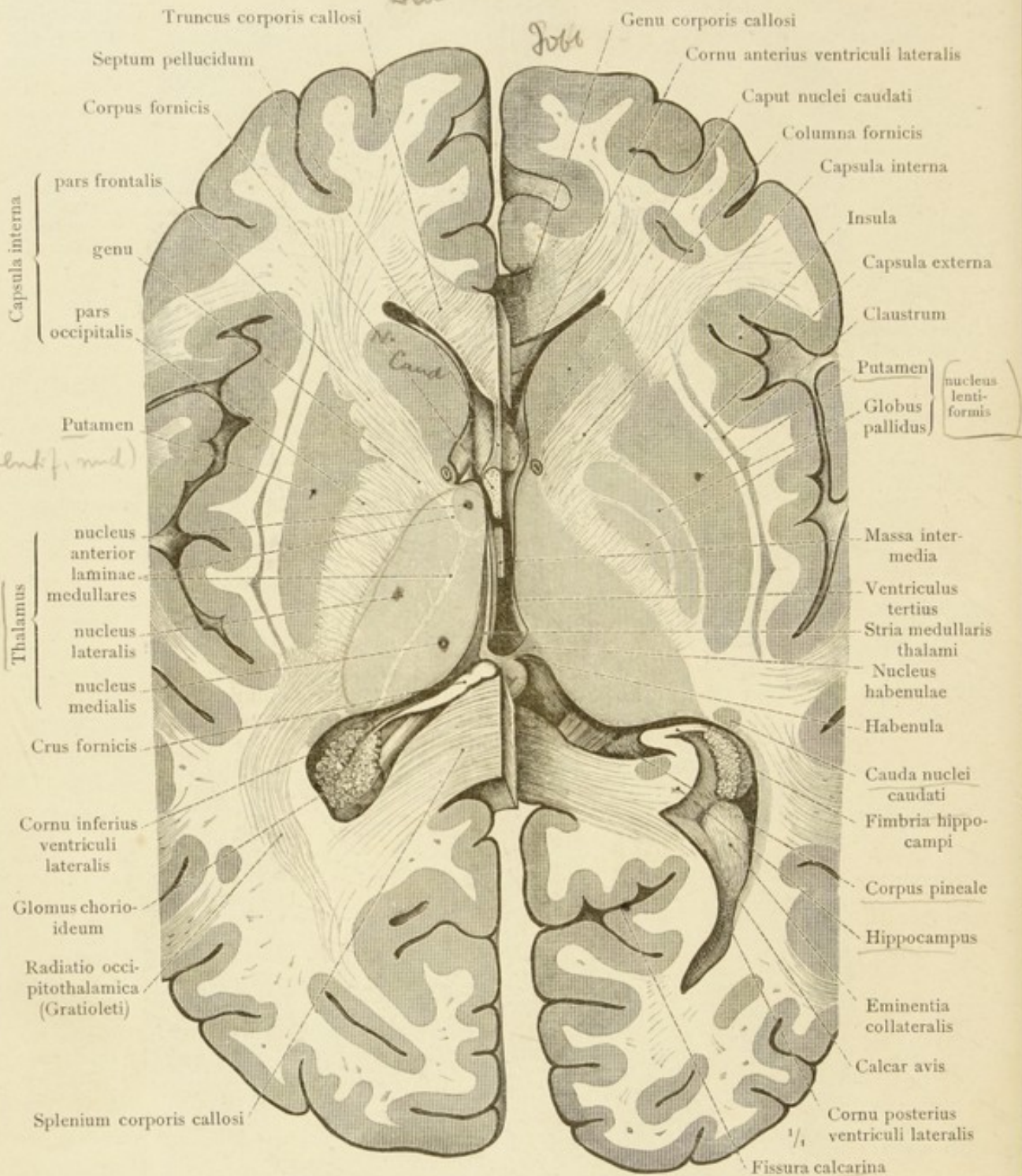
1221. rajz. A chiasma opticumon és a nagyagyvelő elülső commissuráján keresztül haladó metszet; a metszés hátulso lapja. Elölröl belátni a harmadik agyvelökamarába.



1222. rajz. A nagyagyvelö elülsö commissuráján, a nucleus caudatus elülsö végén és a lencsemagon keresztül haladó metszet; a metszés elülsö lapja. Láthatók az oldalsó kamarák elülsö szarvának elülsö falai.

Az agyvelö homlokirányú metszetei.

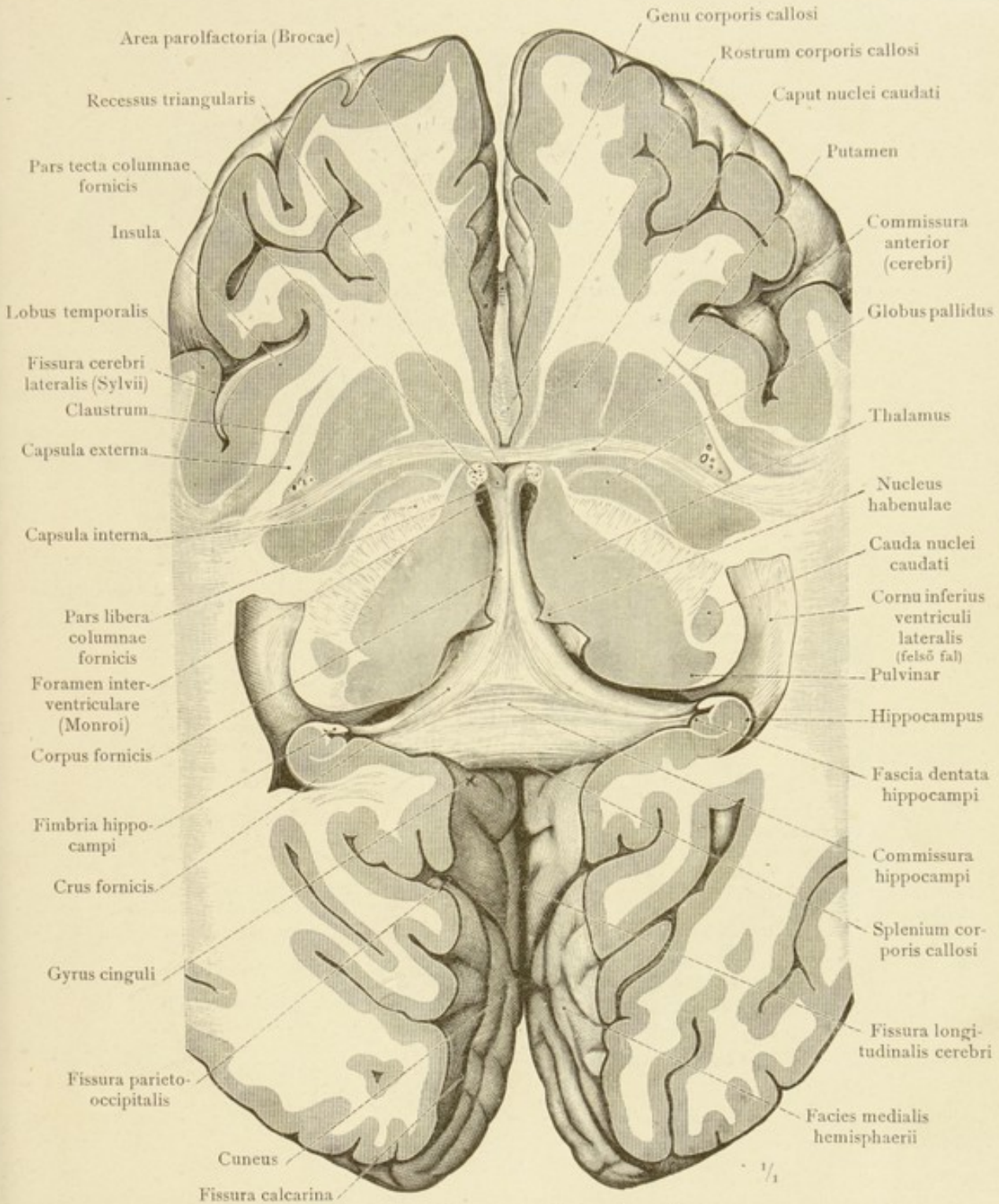




1223. rajz. A nagyagyvelő jobboldalán a metszés 1,5 cm-rel mélyebben halad, mint a baloldalon, ezért a metszetben a baloldalon a thalamus, a nucleus caudatus és a lencse-mag felső része, a jobboldalon pedig középső része látható a lencse-mag mind a három részével. — A metszet baloldalon az oldalsó kamara hátulsó és alsó szarvaiba vezető közös járat és a glomus chorioideum látható. Jobboldalon a hátulsó szarv hosszában, az alsó szarv harántul van átvágva. A capsula interna mindkét oldalon egész hosszában látható: a térde, genu, elülső és hátulsó szára, pars frontalis és pars occipitalis. A capsula externa. A clastrum. Felülről nézve.

A nagyagyvelő vízszintes metszete.

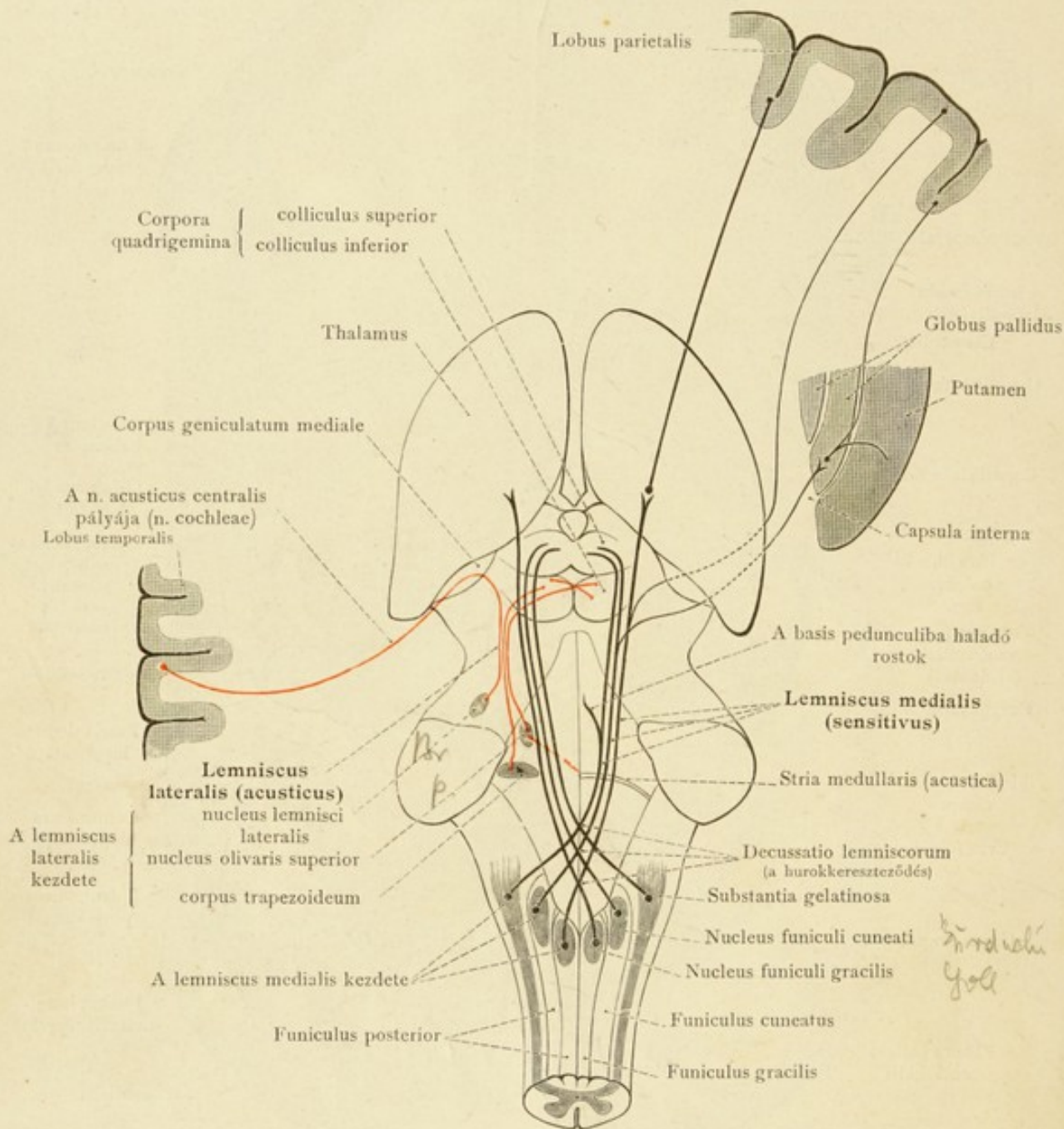




1224. rajz. Metszet a nagyagyvelő elülső commissurájának magasságában: a metszés felső oldala, alulról nézve. A thalamus, a nucleus caudatus és a lencsemag legalsó részükön átmetszve. A boltozat és a kérges test alsó, szabad oldalai láthatók. A hippocampus hátulsó része harántul átmetszve; az oldalsó agyvelőkamarák alsó szarvainak a felső fala látszik. Az elülső commissura egész hosszában, mindkét oldalon a halántékkarély fehér állományába nyomulásáig, a metszetben van.

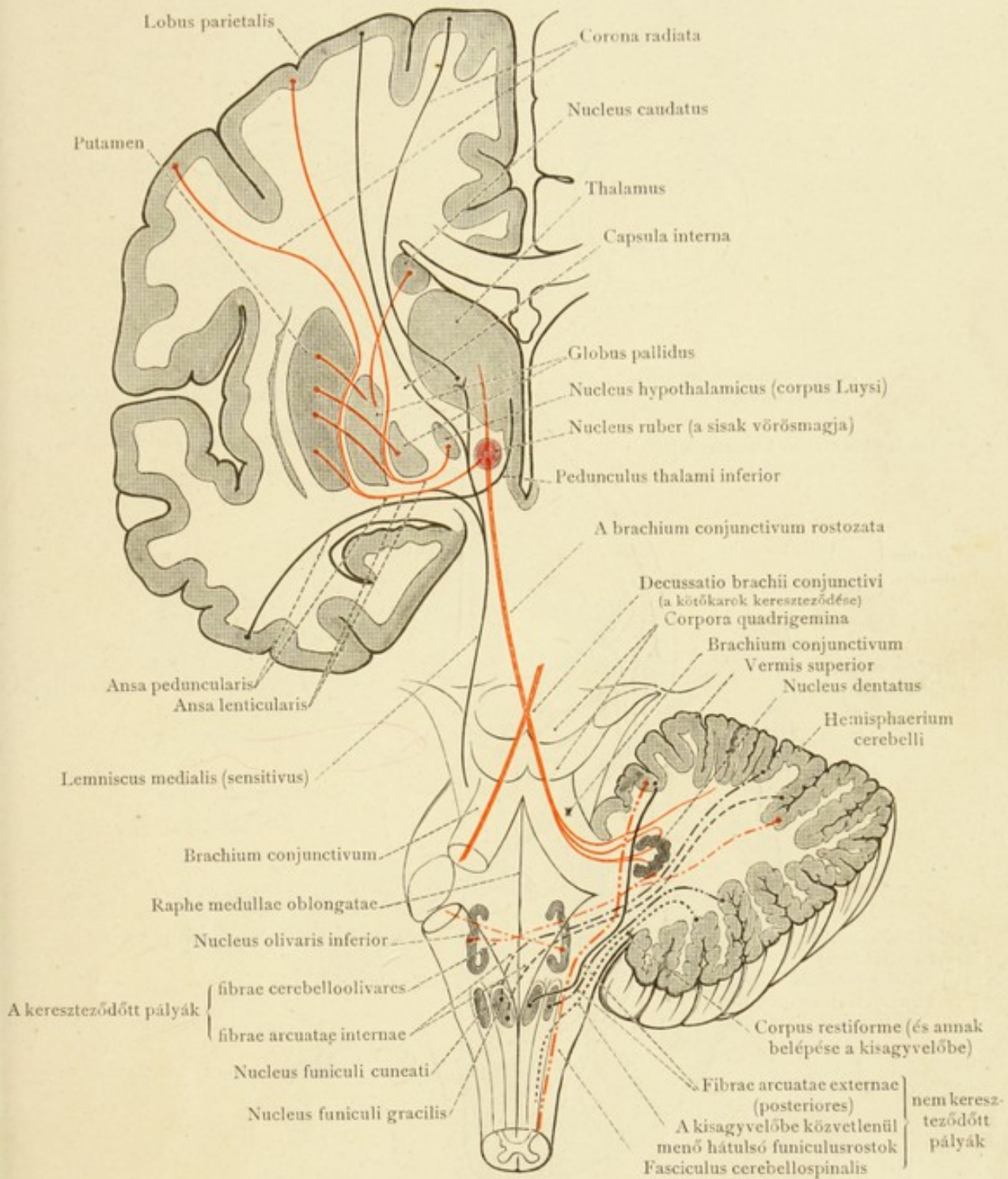
A nagyagyvelő vízszintes metszete.





1225. rajz. A gerincvelő hátulsó funiculusát alkotó azon pályák sémája, melyek a kisagyvelő érintése nélkül jutnak a nagyagyvelőbe. A hurokpálya vagy másképp a sisakpálya hurokrésze. A medialis hurokpálya fekete, az oldalsó hurokpálya vörös.

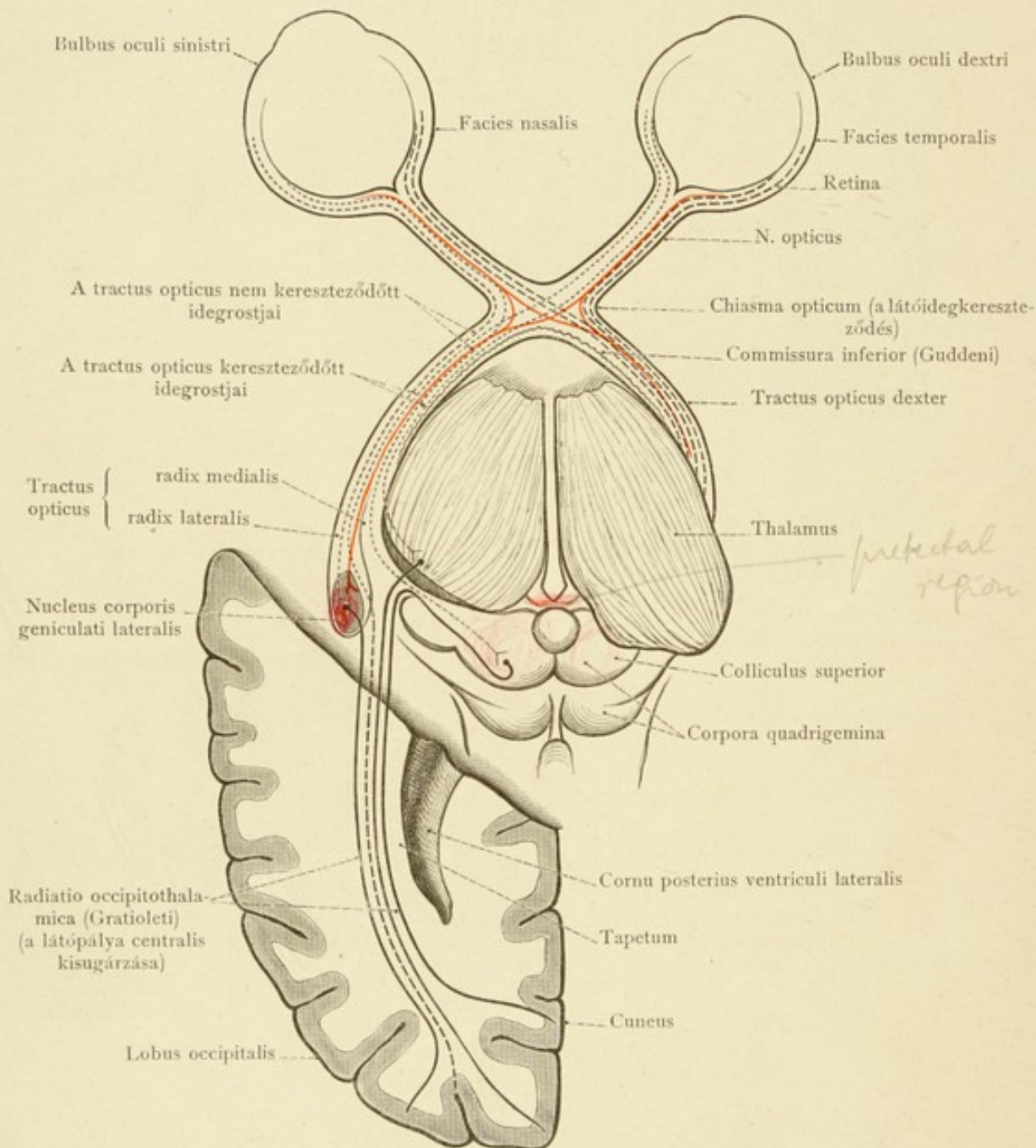
Decursus fibrarum cerebralium, az agyvelő idegpályái.



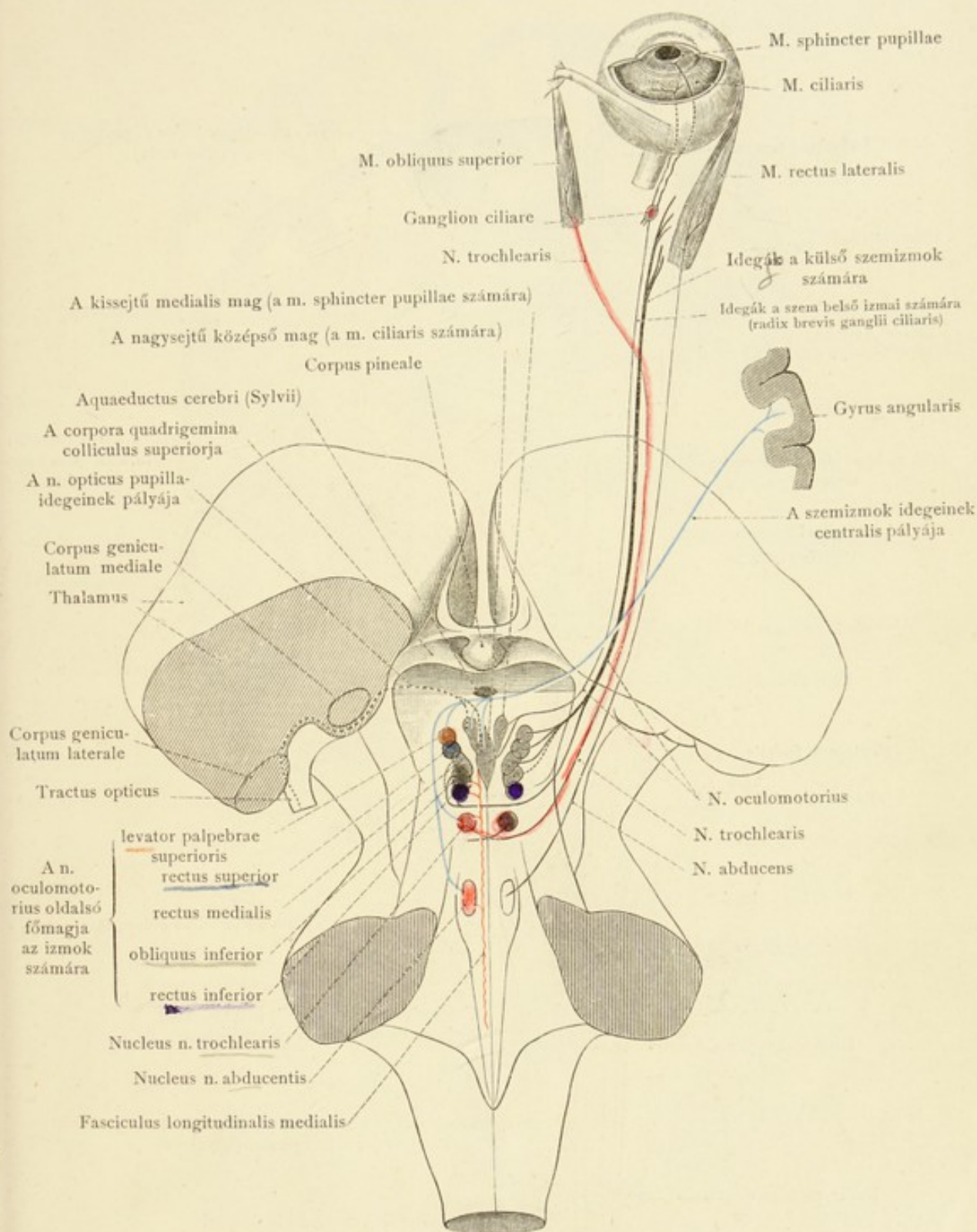
1226. rajz. A gerincevelő hátsó pályáinak sémája, melyek a corpus restiformen keresztül a kisagyvelőbe, vagy a kisagyvelőn keresztül a nagyagyvelőbe mennek; a sisak-pálya kisagyvelői része és a funiculusnak közvetlenül a kisagyvelőbe menő hátsó pályái. Az oldalsó fasciculus cerebellospinalis.

Decursus fibrarum cerebralium, az agyvelő idegpályái.





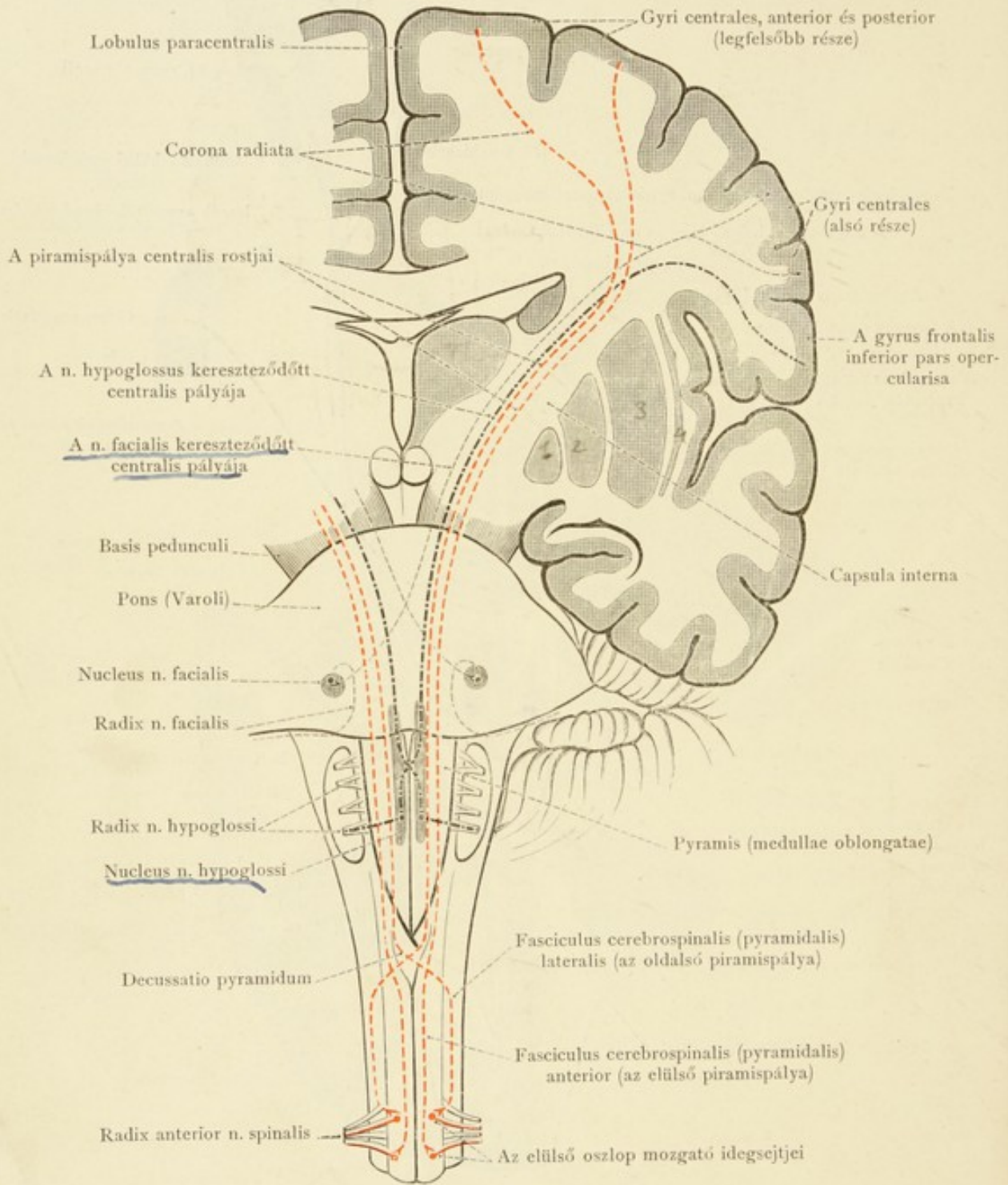
1227. rajz. A látóideg rostjainak lefutása a chiasma opticumban és ennek centralis pályája a nagyagyvelőben; sémásan. A macula luteából jövő, részben kereszteződött, részben nem kereszteződött rostok vörösek.



1228. rajz. A n. oculomotorius és a n. trochlearis magvai a középső agyvelőben; centralis pályájuk kék, összeköttetések pedig, úgy egymással mint az abducens magjával a medialis hossznyaláb útján, vörösek. A n. oculomotorius magvainak részei: az oldalsó főmagja, a kissejtű medialis magja és a nagysejtű medianmagja; a n. oculomotorius különböző rostjainak lokalizációja a magvak ezen csoportjában. — A látóideg úgynevezett pupilla rostjainak centralis pályája (a pupilla reflexes, szűkítő pályája). Bernheimer sémája.

Decursus fibrarum cerebralium, az agyvelő idegpályái.

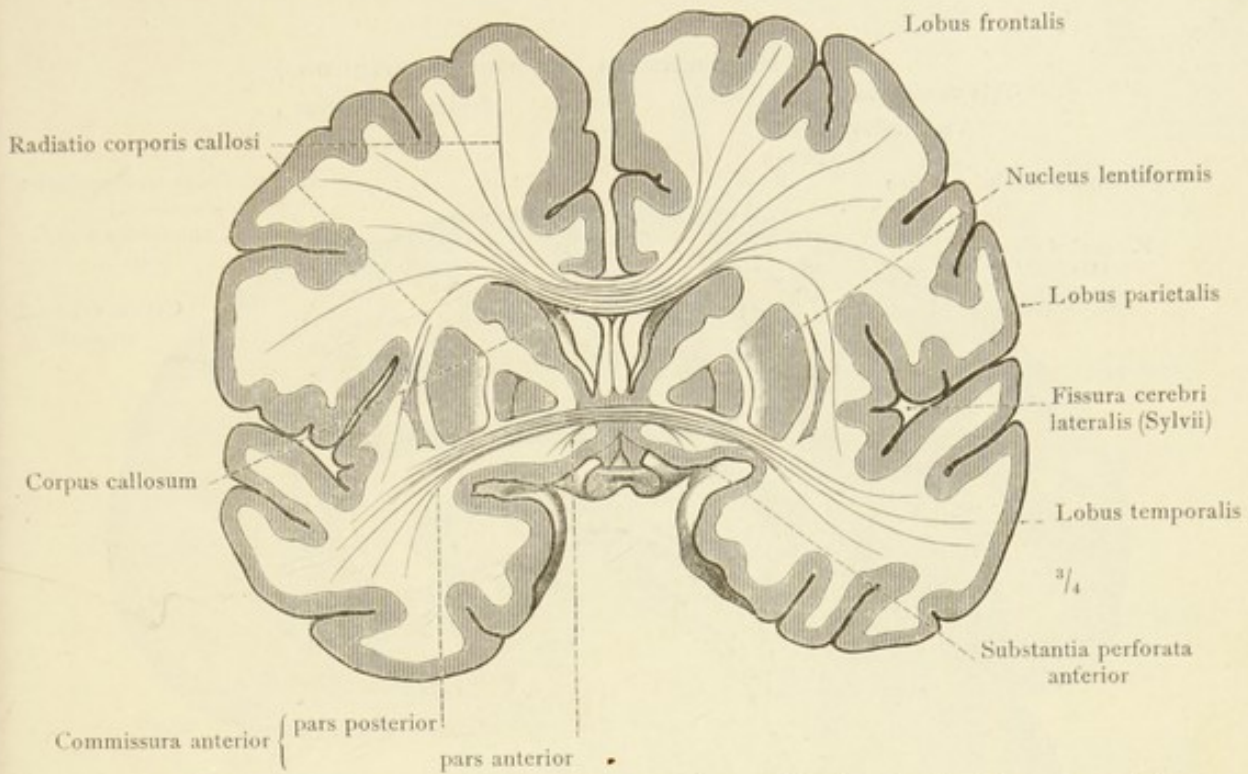




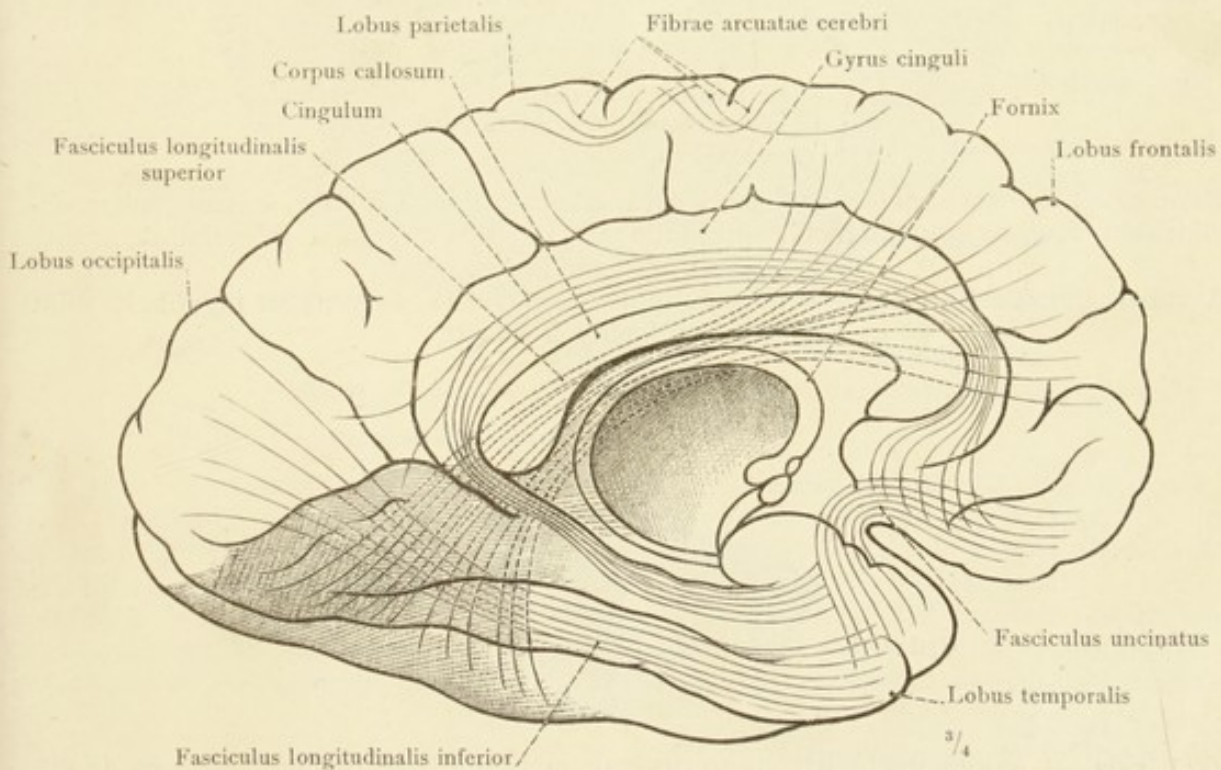
1229. rajz. A piramispálya (vörös), a hozzája csatlakozó nervus hypoglossus és a n. facialis centralis pályáival; sémásan. (VII + XII.)

1-2 Lobus callidus, 3 Putamen, 4 Claustrum  
Nocl. lentiformis

Decursus fibrarum cerebralium, az agyvelő idegpályái.



1230. rajz. A nagyagyvelő két legfontosabb commissurájának sémája. A corpus callosum, a radiatio corporis callosival; az elülső commissura: az elülső, a homlokkarélya és a hátsó, a halántékkarélya való kisugárzásával.

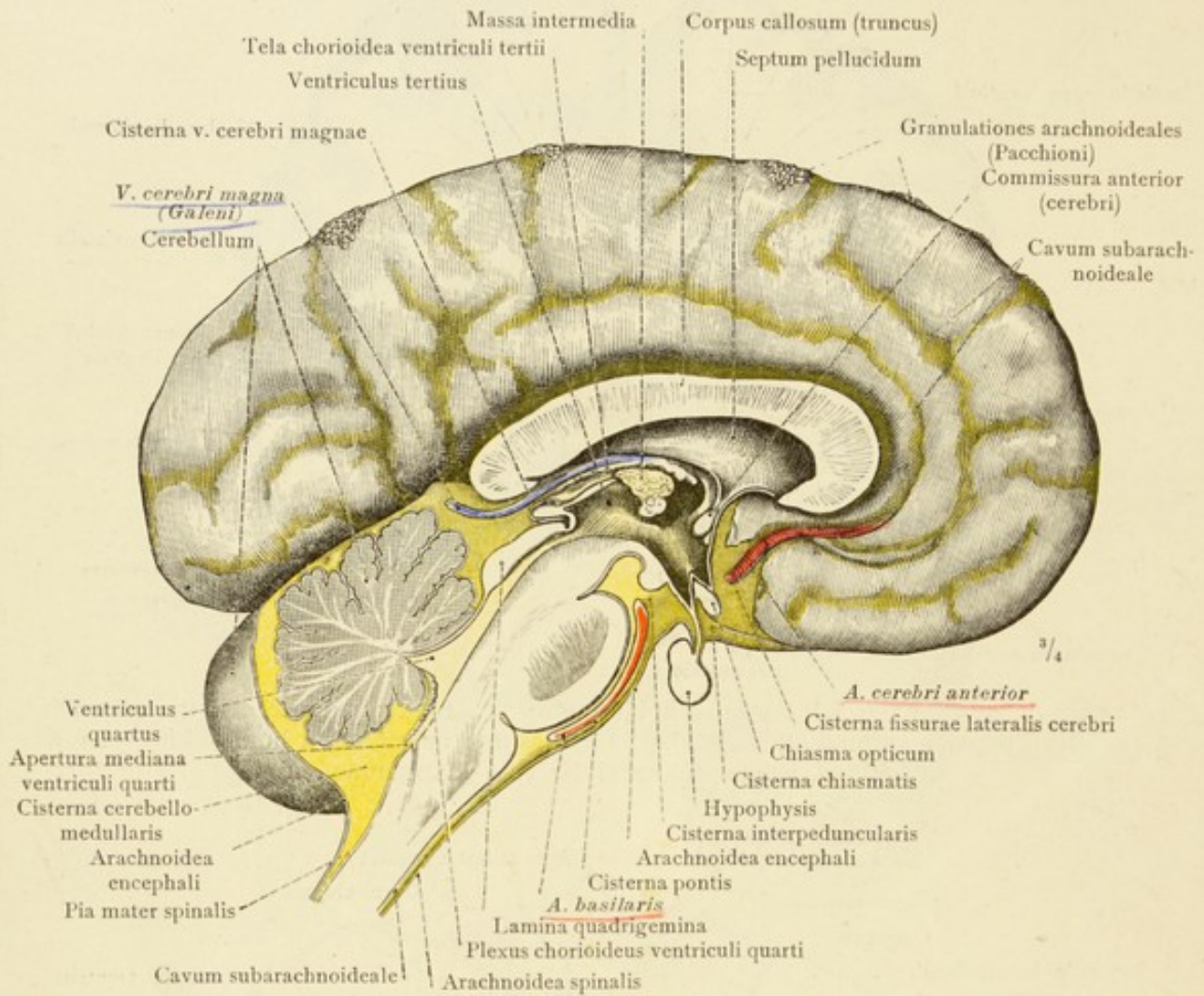


1231. rajz. A nagyagyvelő, a hemisphaerium fehér állományának, fontosabb associatio pályái; a pályák a hemisphaerium medialis oldalára rajzolva.

*Few commissural fibres are associated with the visual cortex.*

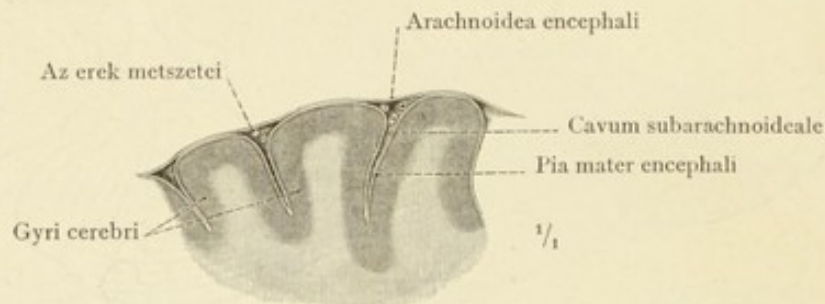
Decursus fibrarum cerebralium, az agyvelő idegpályái.





1232 a. rajz. Az arachnoidea encephali és a subarachnoidealis üreg, cavum subarachnoideale részei, az agyvelő mediansagittális metszetén. A Pacchioni-granulatiók, granulationes arachnoideales.

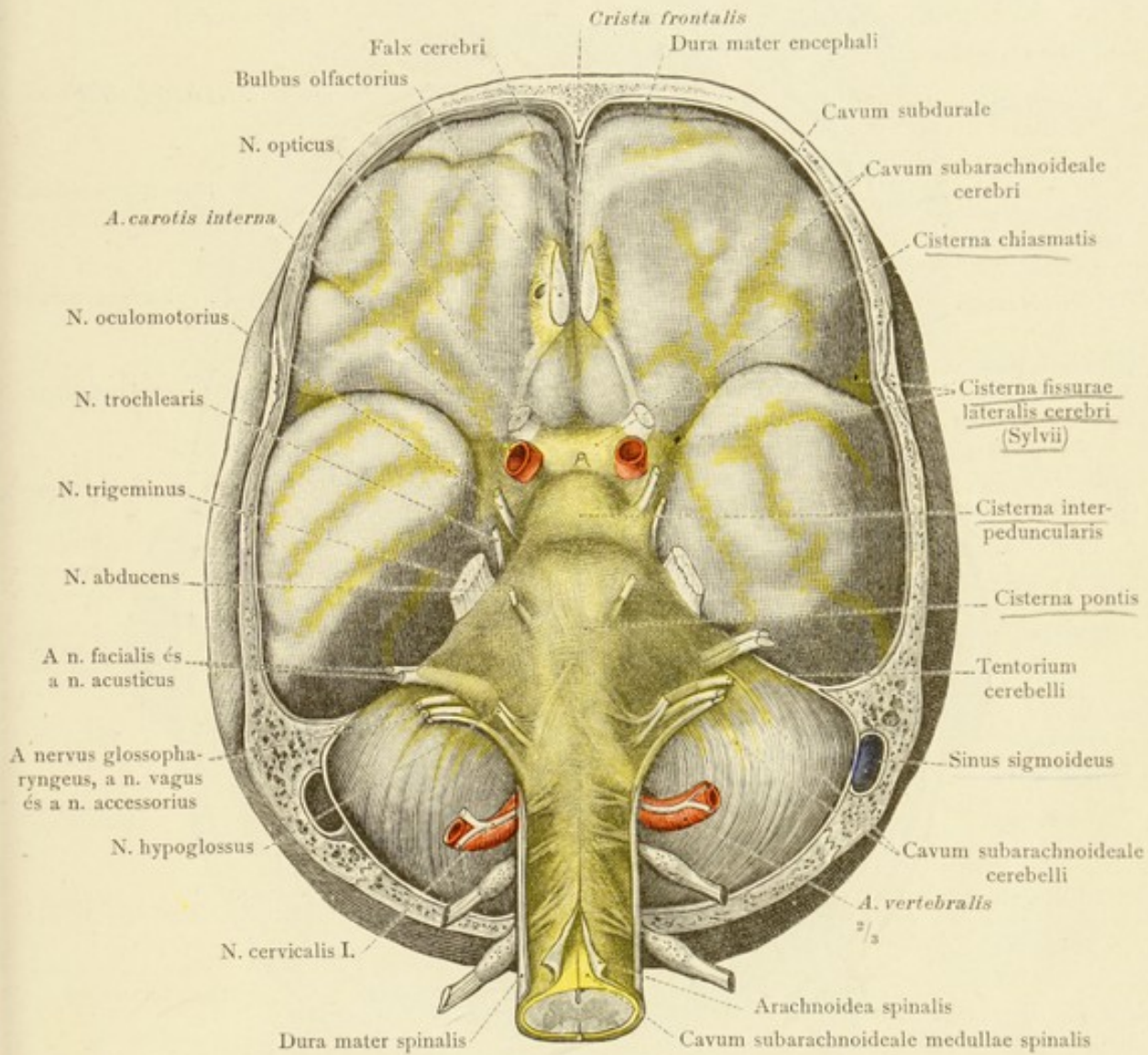
(A subarachnoidealis üregek sárgák és miután belöveltek, helyenként tágabbak, mint rendes körülmények között.)



1232 b. rajz. A nagyagyvelő három gyrusának metszete, az arachnoideával és az érhártyával. Cavum subarachnoideale.

Meninges encephali, az agyvelő burkai.



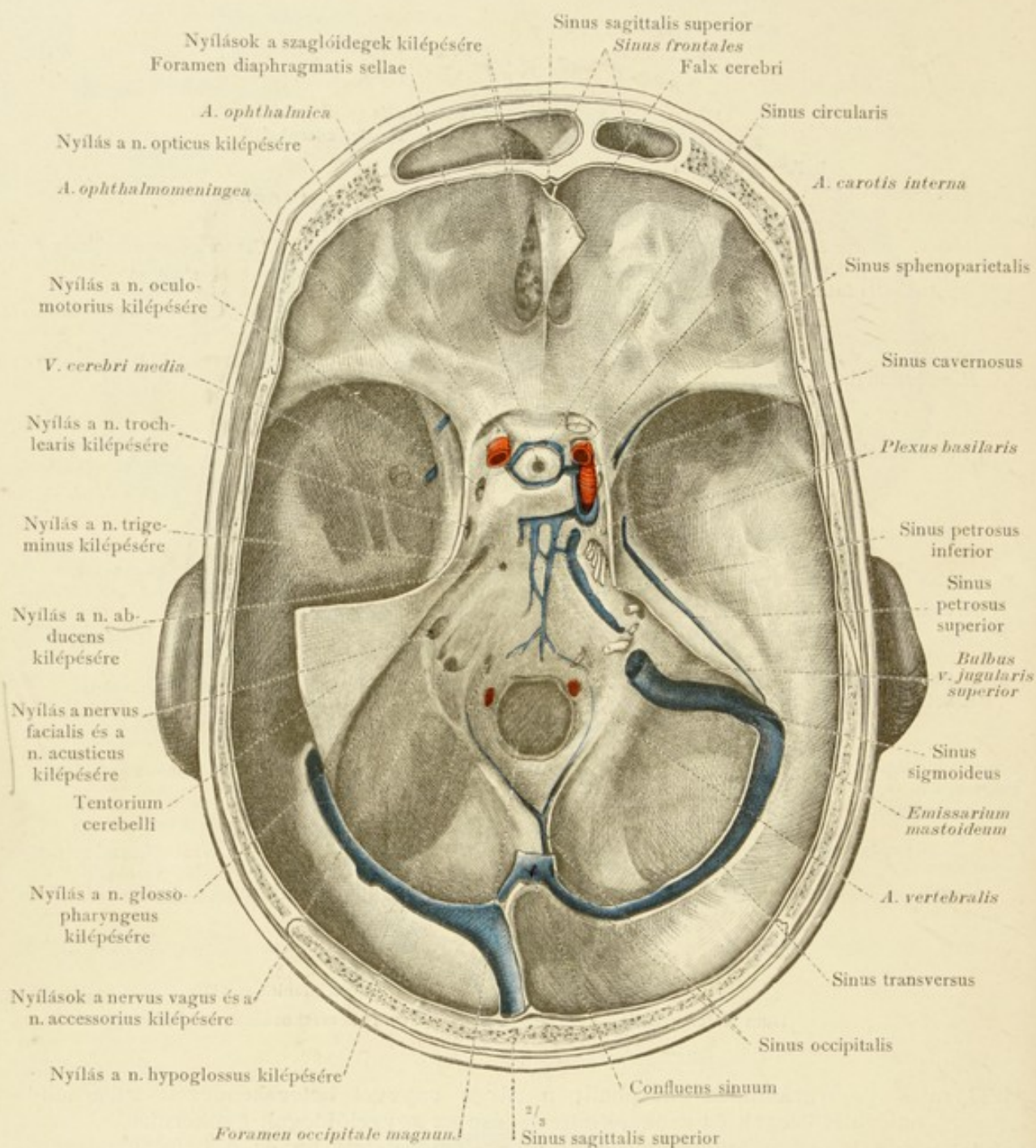


1233. rajz. Az arachnoidea encephali; a sárga enyvvel befecskendezett subarachnoidealis üregek és azoknak áttérjedése az agyvelőidegek gyökereire. (Az enyv a koponya felfürészélése előtt fecskendeztetett be és a befecskendezett koponya egészben formalinban megkeményített. Ezután a koponyaalap, a nyakcsigolyák és a dura mater eltávolított. A gerincvelő mentén, az arachnoideának kis darabon, a median síkban való felhasításával, a gerincvelő subarachnoidealis ürege megnyitott. Az arachnoidea és a dura mater encephali között látható az agyvelő subdurális ürege.)

*cisternae = wide subarachn. spaces (pia closely adherent to the brain surface)*

Meninges encephali, az agyvelő burkai.

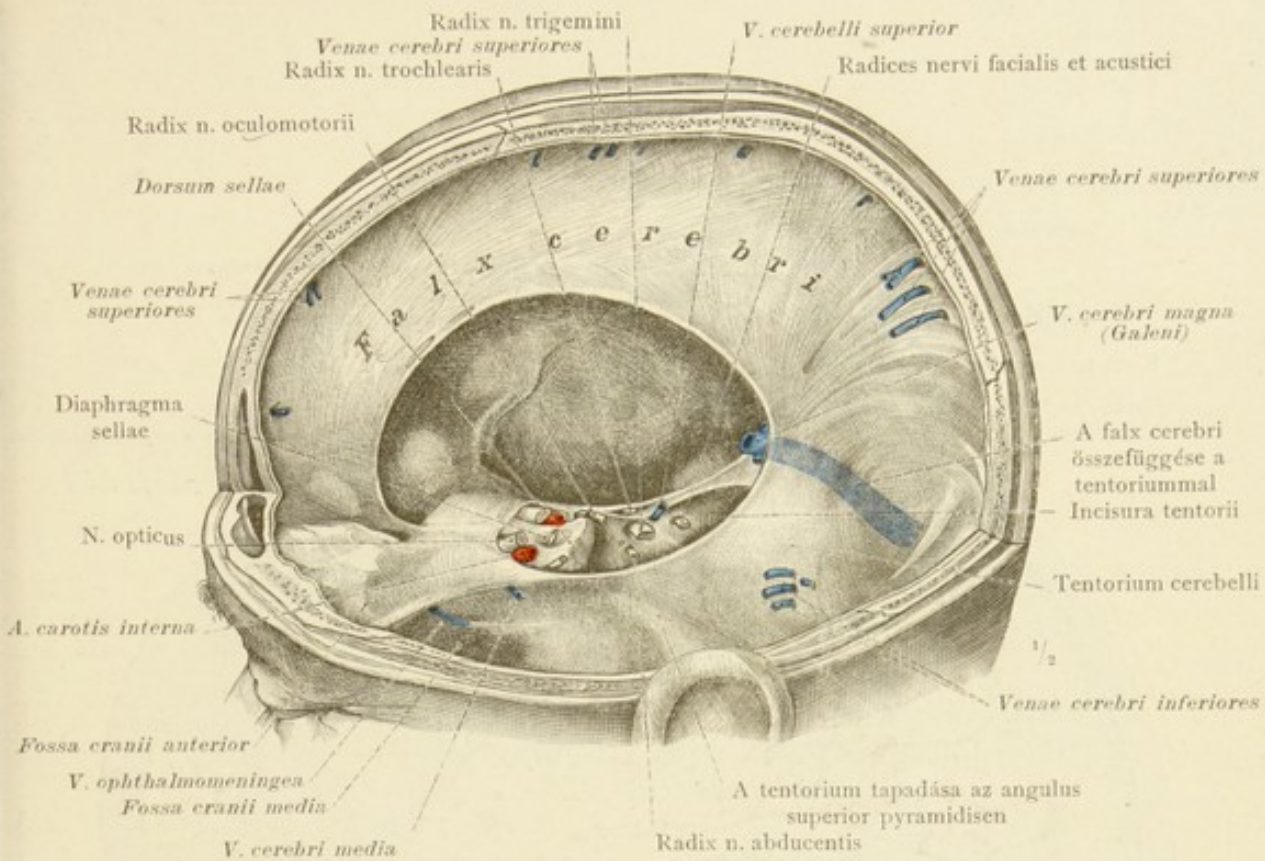




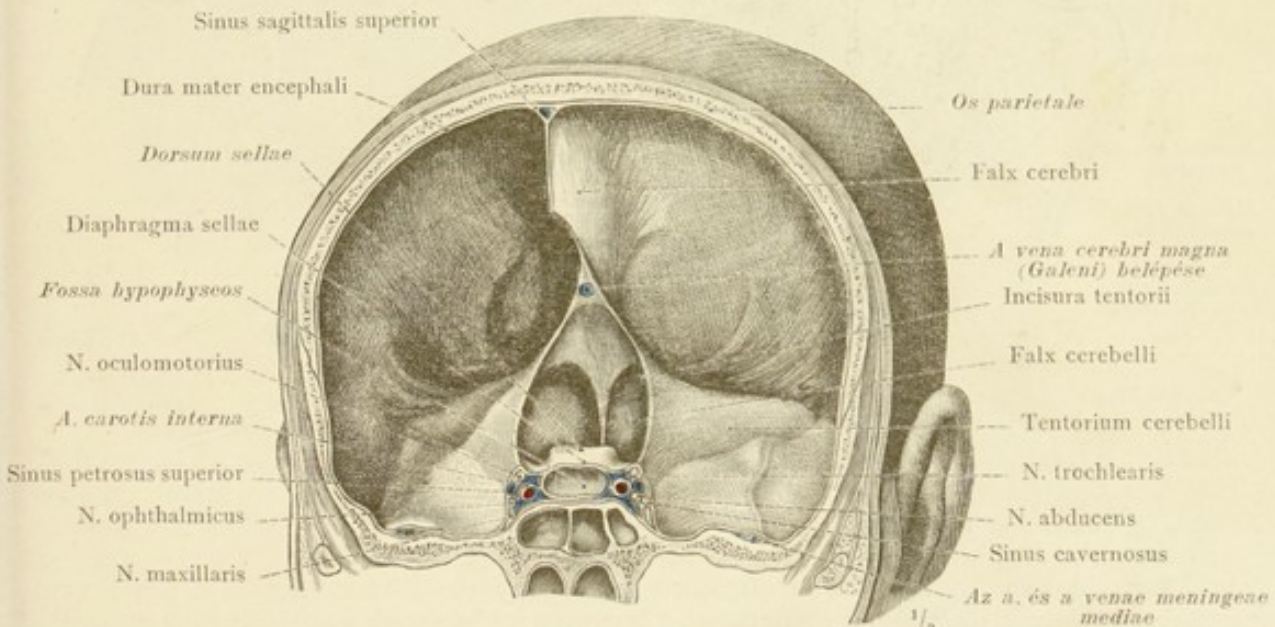
1234. rajz. A kemény agyvelőburok, dura mater encephali és a koponyaalap gyűjtőeres öblei, sinus durae matris. A baloldalon a nyílások az agyvelőidegek kilépésére, a jobb oldalon pedig maguk a kilépő agyvelőidegek láthatók.

(A tentorium legnagyobb része eltávolítva, csak a baloldalon van kis része megtartva és a sziklacsont felső részén való tapadása mentén felemelve. A gyűjtőeres öblök legnagyobb része meg van nyitva.)





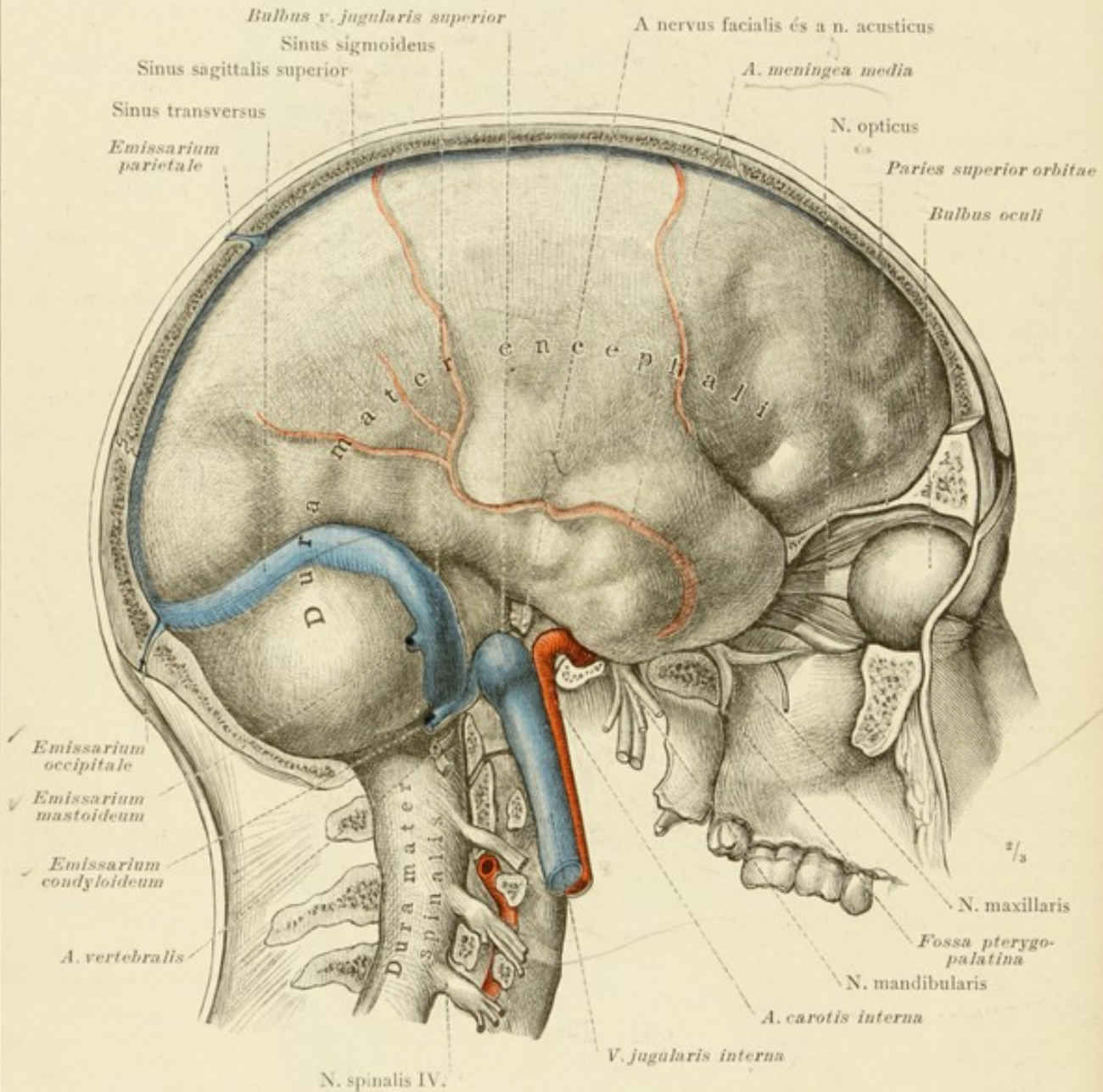
1235. rajz. A nagyagyvelő sarlója, falx cerebri és a kisagyvelő sátra, tentorium cerebelli, a baloldaltól nézve. Az agyvelő gyűjtőereinek az öblökbe nyíló ágai.



1236. rajz. A kisagyvelő sátra, tentorium cerebelli, a nagy sarló, falx cerebri, hátsó része és a kisagyvelő sarlója, falx cerebelli, homlokirányban átmetszett koponyán, elülről nézve. A metszés közvetlenül a hypophysis mögött, az ékesonti nyergén és a sinus cavernosuson halad át, így a sinus cavernosusban fekvő képződményeket is átmetszi: még pedig a carotis internát, a n. abducens-t, a sinus cavernosus mellett fekvő idegeket, a n. oculomotoriust, a n. trochlearist és a n. trigeminus I. és II. ágát.

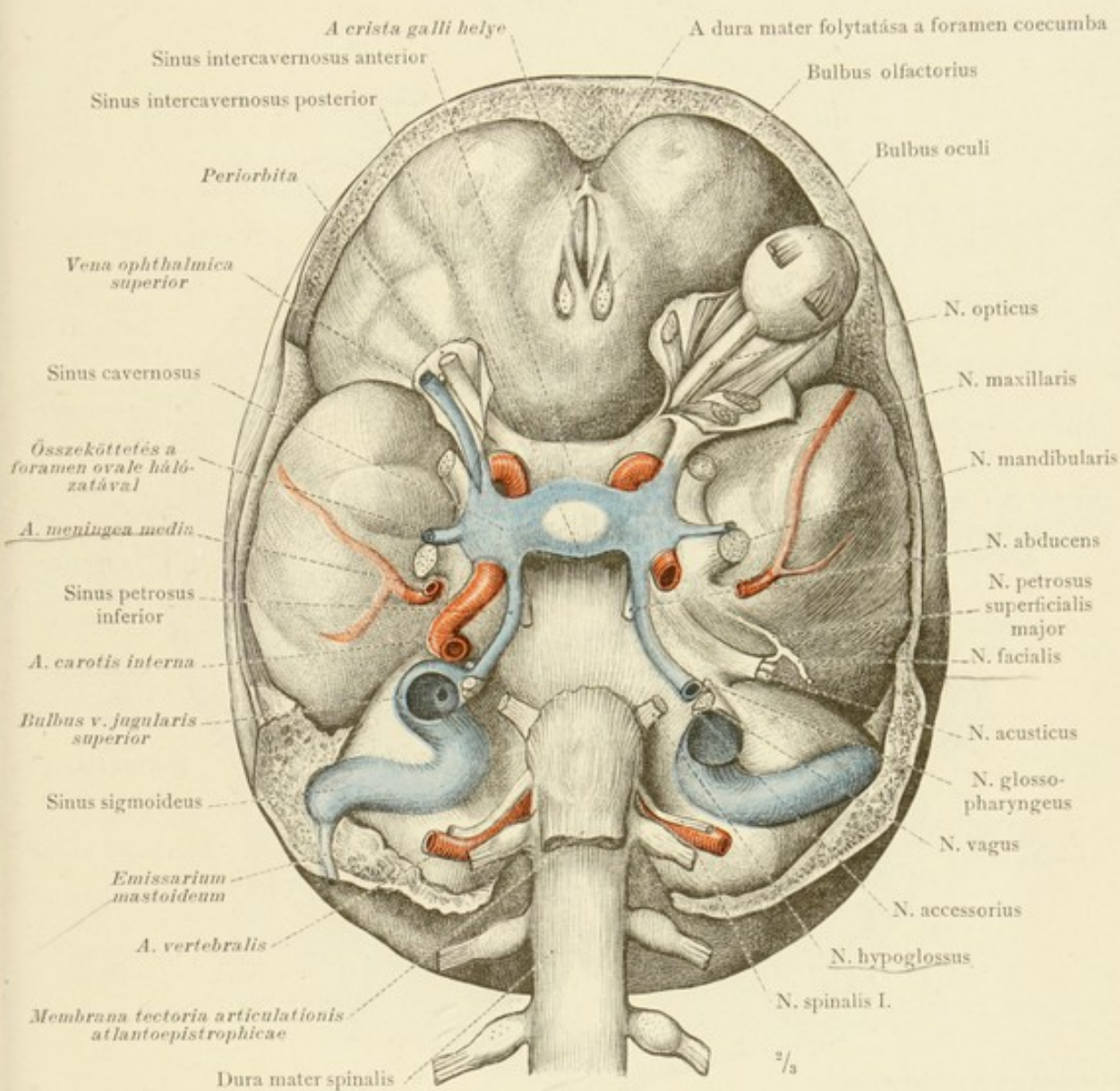
Meninges encephali, az agyvelő burkai.





1237. rajz. A kemény agyvelőburok, dura mater encephali összefüggése a gerincvelő kemény burkával, dura mater spinalissal, a koponya jobbfelének s a felső nyakcsigolyáknak eltávolításával, oldalról nézve. A kemény agyvelőburok öblei, sinus durae matris valamint az ezekből jövő emissariumok, a vena jugularis internán át, gyantamasszával vannak befecskendezve.

Meninges encephali, az agyvelő burkai.

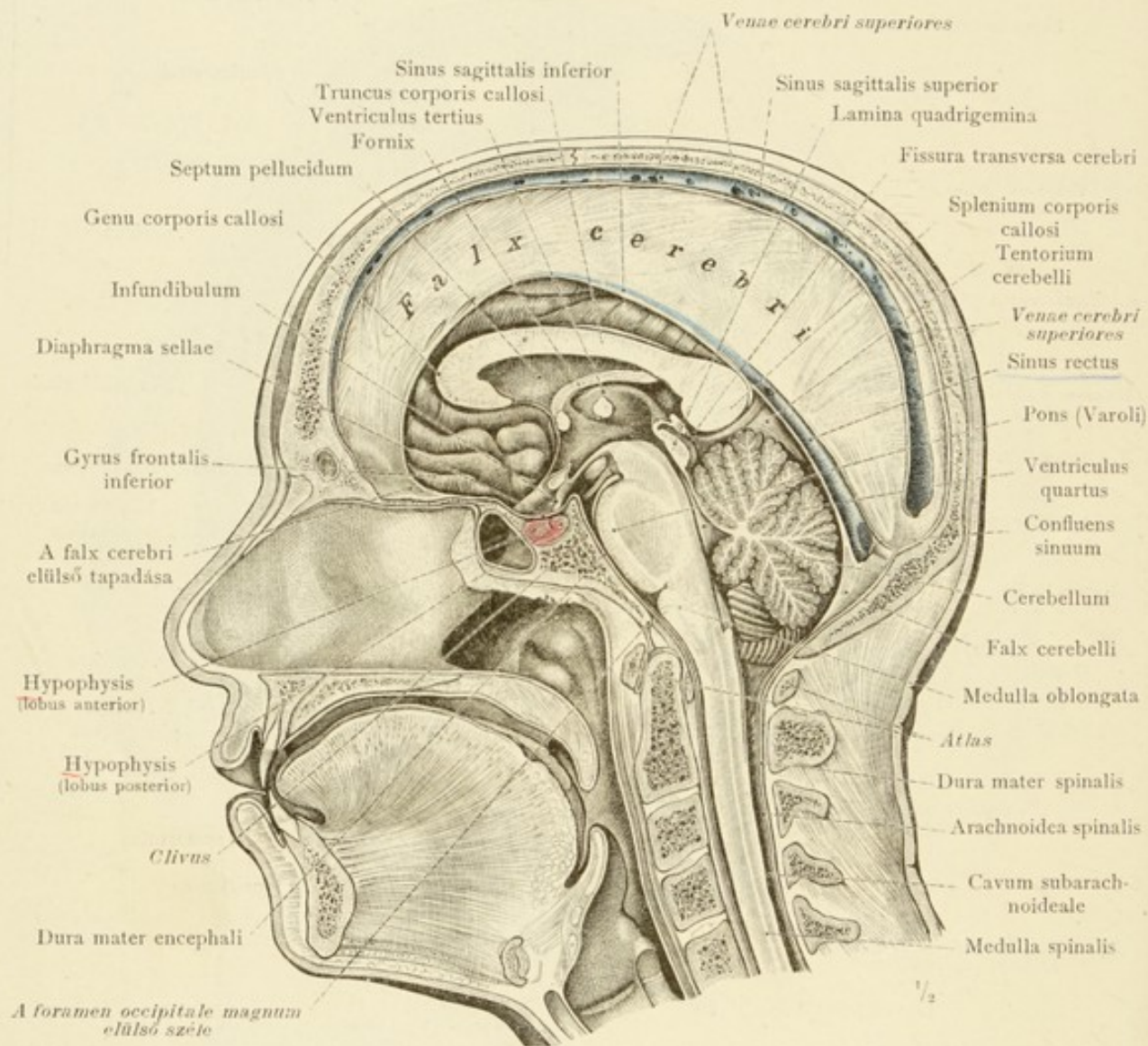


1238. rajz. A kemény agyvelőburok, dura mater encephali, összefüggésben a gerincvelő kemény burkával, dura mater spinalis, a koponyaalap és a felső nyakcsigolyák eltávolításával, alulról nézve. Láthatók a hüvelyszerű nyújtványok, melyekkel a dura mater az agyvelő és a gerincvelő idegeit körülveszi, a koponyaüregből, illetőleg a gerinc-csatornából való kilépésük helyén.

(A kemény agyvelőburok basalis öblei, sinus durae matris, kék, a verőerek vörös gyantamasszával vannak befecskendezve.)

Meninges encephali, az agyvelő burkai.





1239. rajz. A fej nyílirányú, a középsíktól kissé balra vezetett metszete. A nagy sarló helyzete a kerges testhez és a nagyagyvelő hemisphaeriumának medialis oldalához. A híd, a nyúltagyvelő, a kisagyvelő, a III. és IV. agyvelőkamara fekvése a koponya tok mediansíkjában.

Meninges encephali, az agyvelő burkai.

SYSTEMA NERVORUM  
PERIPHERICUM.

A PERIFERIAS IDEGRENDSZER.

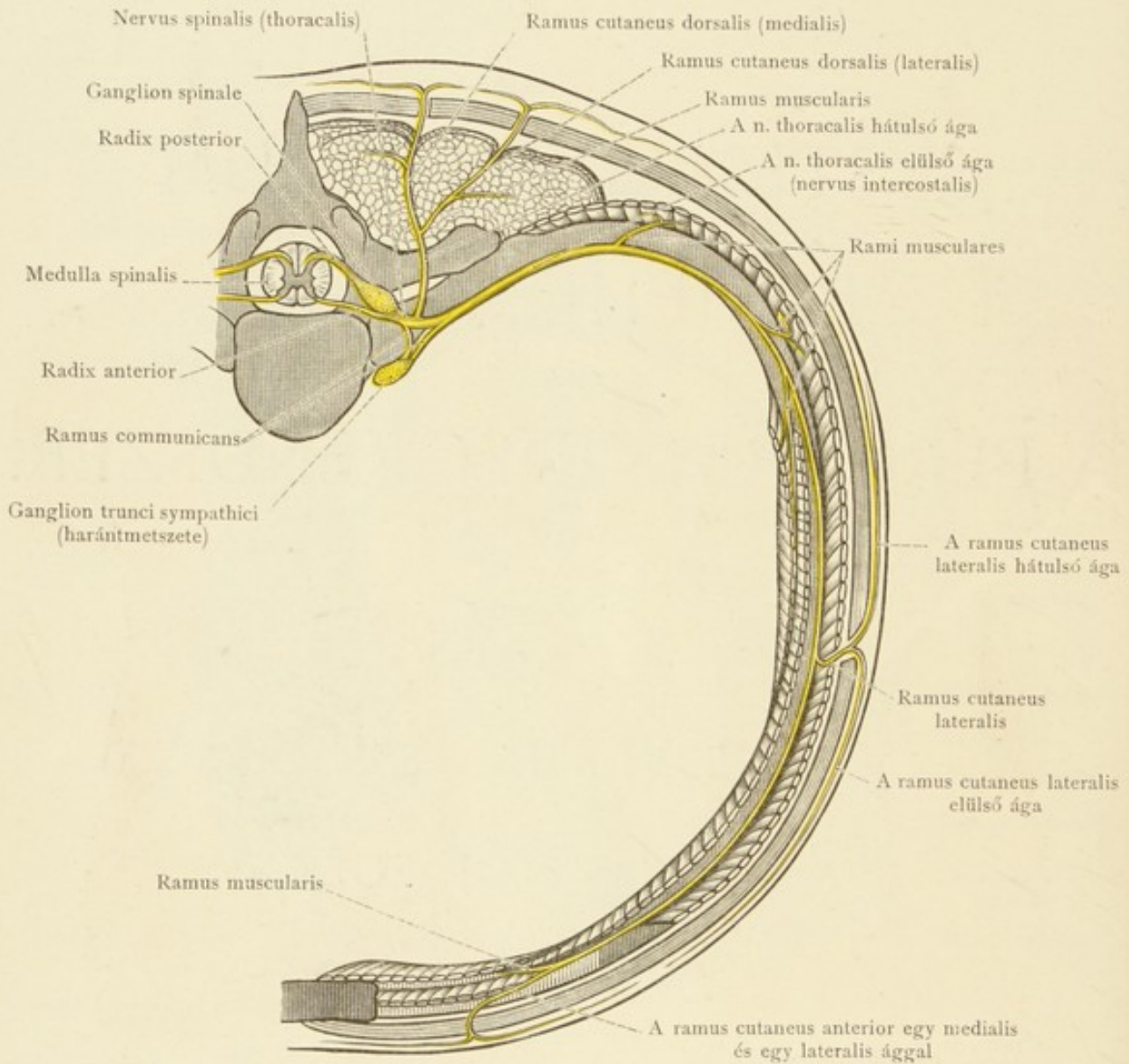
---

NERVI SPINALES.

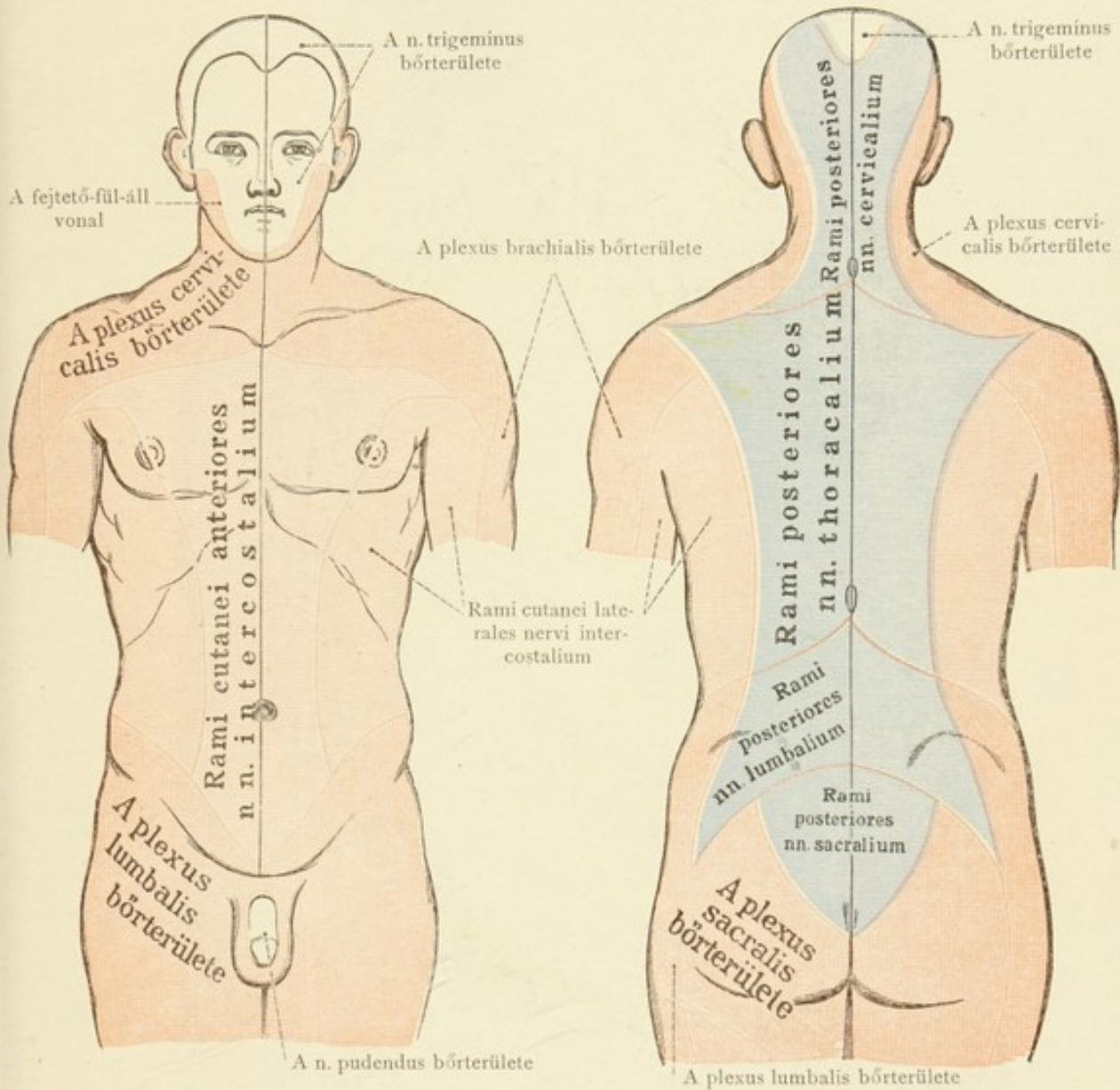
A GERINCVELŐIDEGEK.

---





1240. rajz. A hátideg, n. thoracalis, elágazódása a törzs segmentumában. Az elülső ág, ramus anterior (nervus intercostalis) és a hátsó ág, ramus posterior. Az elülső ág összefüggése, a ramus communicans útján, a szimpatikus idegrendszer határkötegének dúcával.

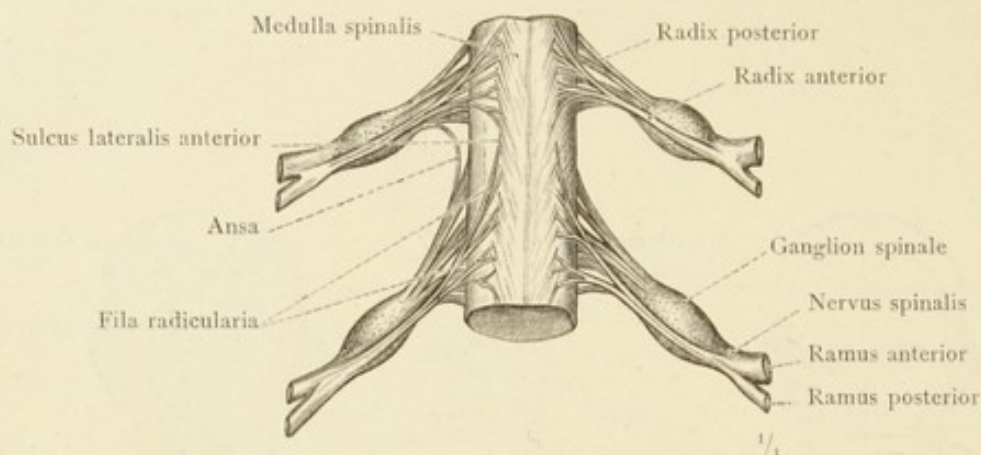


1241. rajz. A gerincvelőidegek bőrterületei, a test elülső oldalán.

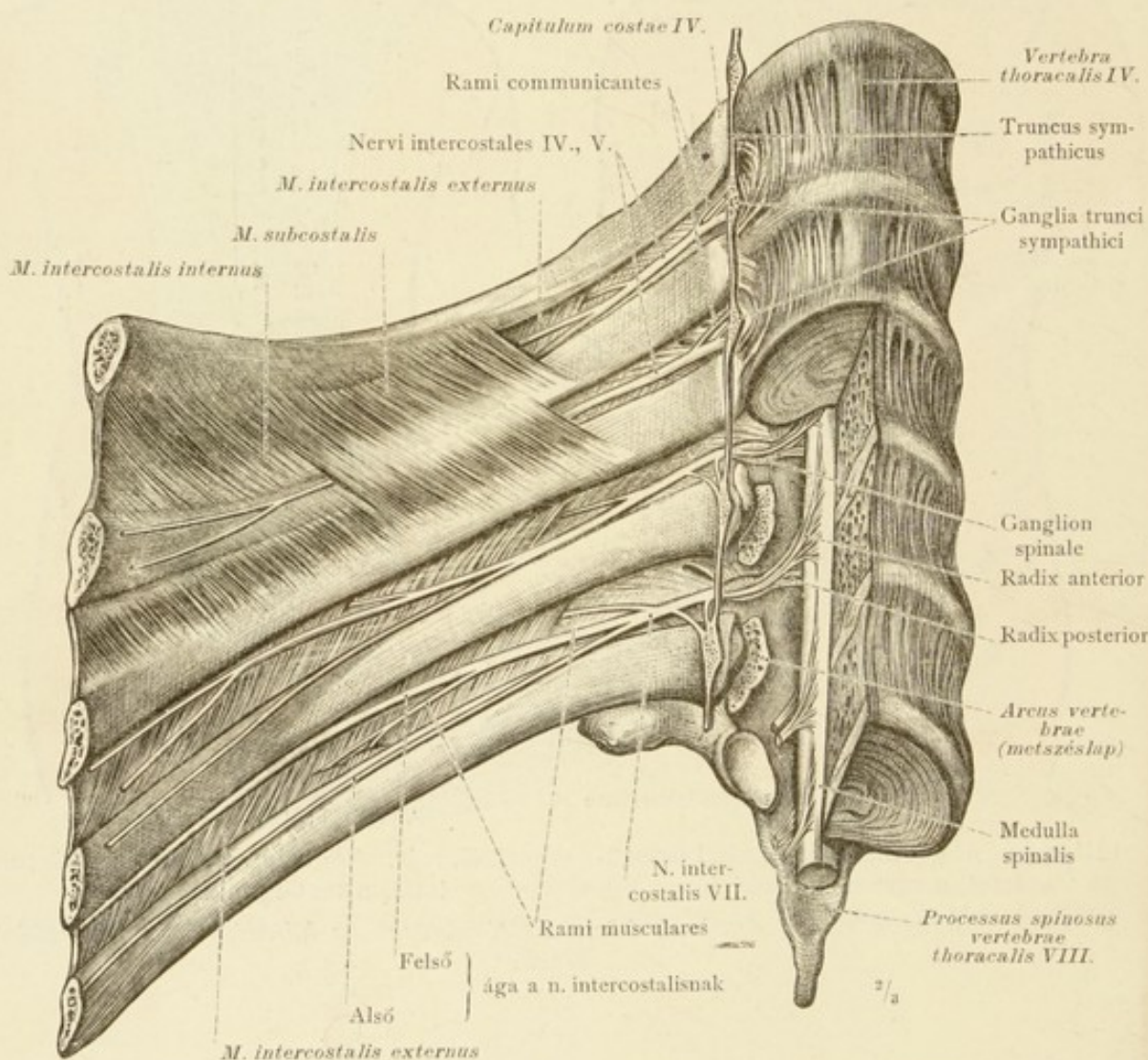
1242. rajz. A gerincvelőidegek bőrterületei, a test hátulsó oldalán.

*A gerincvelőidegek elülső ágainak bőrterületei vörösek, a hátulsó ágak bőrterületei kékek.*





1243. rajz. A gerincvelőidegek elülső és hátulsó gyökereinek egyesülése a kevert gerincvelőideggé, nervus spinalis. Ganglion spinale.

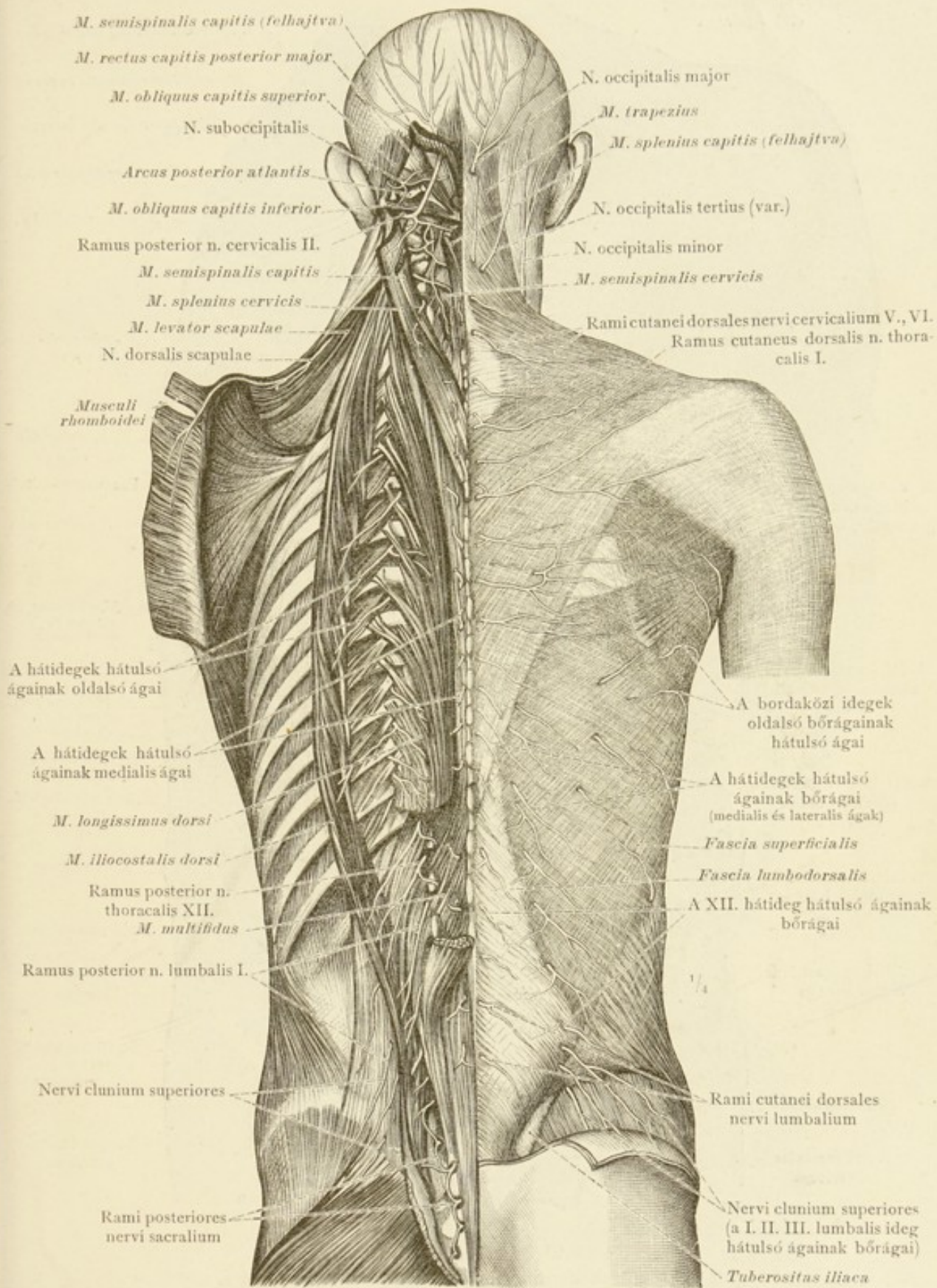


1244. rajz. A hátidegek, nervi thoracales, elülső ágának, a bordaközi idegeknek, nervi intercostales, lefutása, elágazódása és összeköttetése a szimpatikus idegrendszer határkötegével, a törzs belső oldalán.

(A 6. 7. és 8. hátszigolyák jobb fele és a 6. és 7. bordaközi m. intercostalis internus eltávolítva.)

A törzs idegei. — Nervi intercostales, a bordaközi idegek.



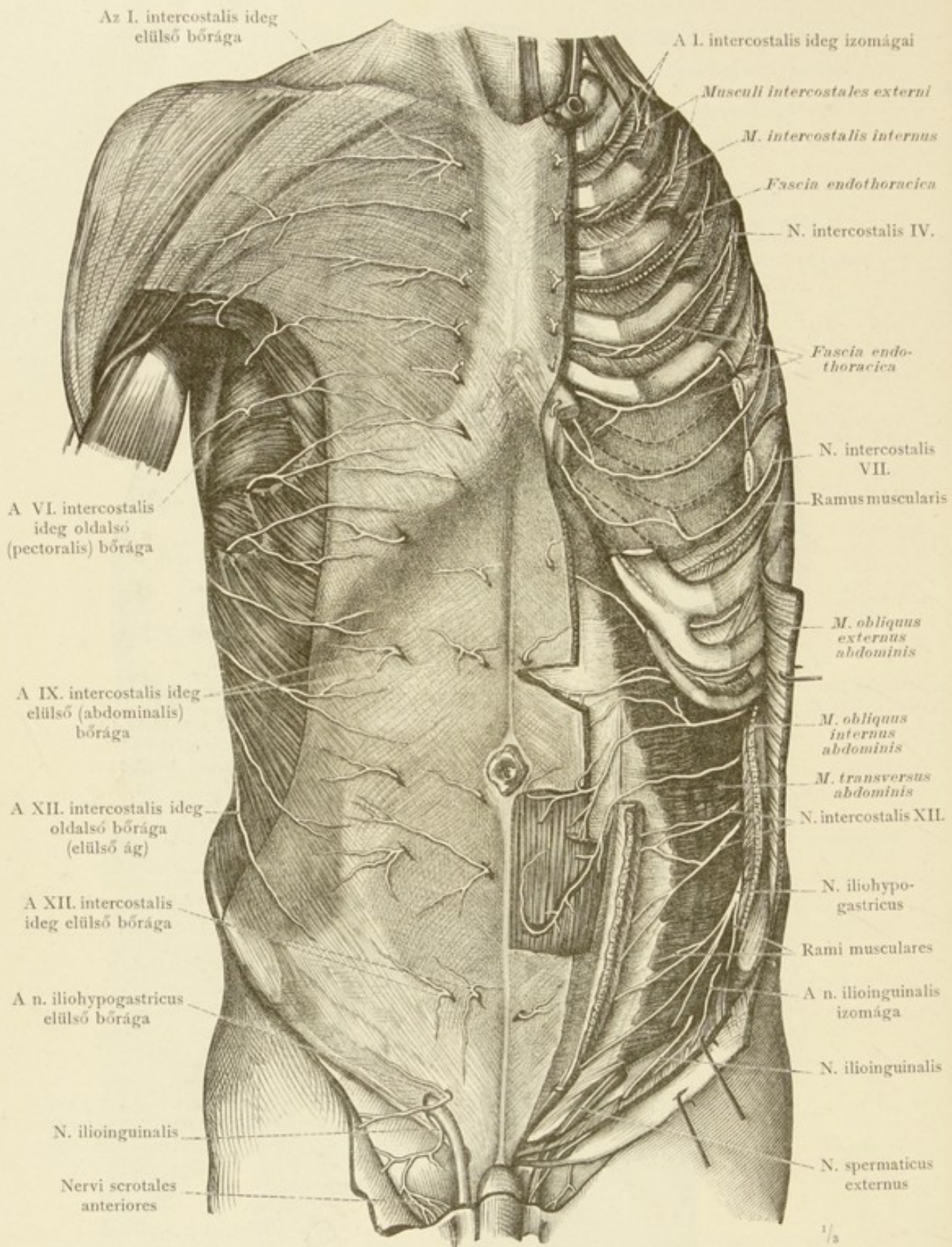


1245. rajz. A gerincvelőidegek, a nervi spinales hátulsó ágainak, rami posteriores, elágazódása.

(A jobboldalon a bőrágak, a baloldalon az izomágak és részben a hátulsó ágak lefutása látható.)

A törzs idegei. — Rami posteriores, a gerincvelőidegek hátulsó ágai.



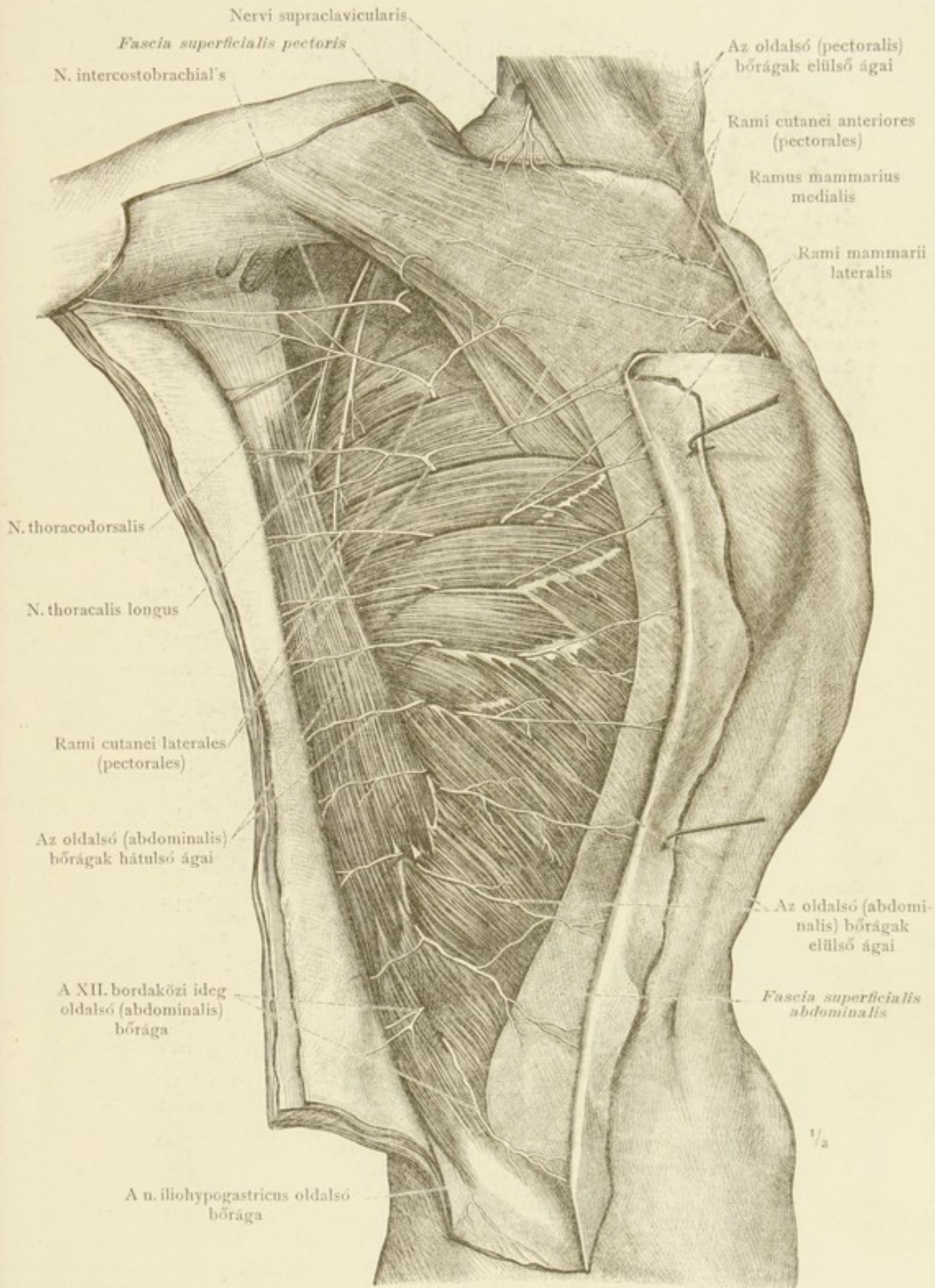


1246. rajz. A törzs elülső falának bőridegei.

A bordaközi idegek lefutásának bemutatására a baloldalon a 6. és 7. borda, valamint a 8. bordaporc részben el vannak távolítva s helyöket pontozott vonalak jelölik. A *musculi intercostales externi, interni*, valamint a *m. obliquus externus és internus abdominis* és a *m. rectus abdominis* részben el vannak távolítva.

A törzs idegei. — Rami anteriores, a hátidegek elülső ágai.

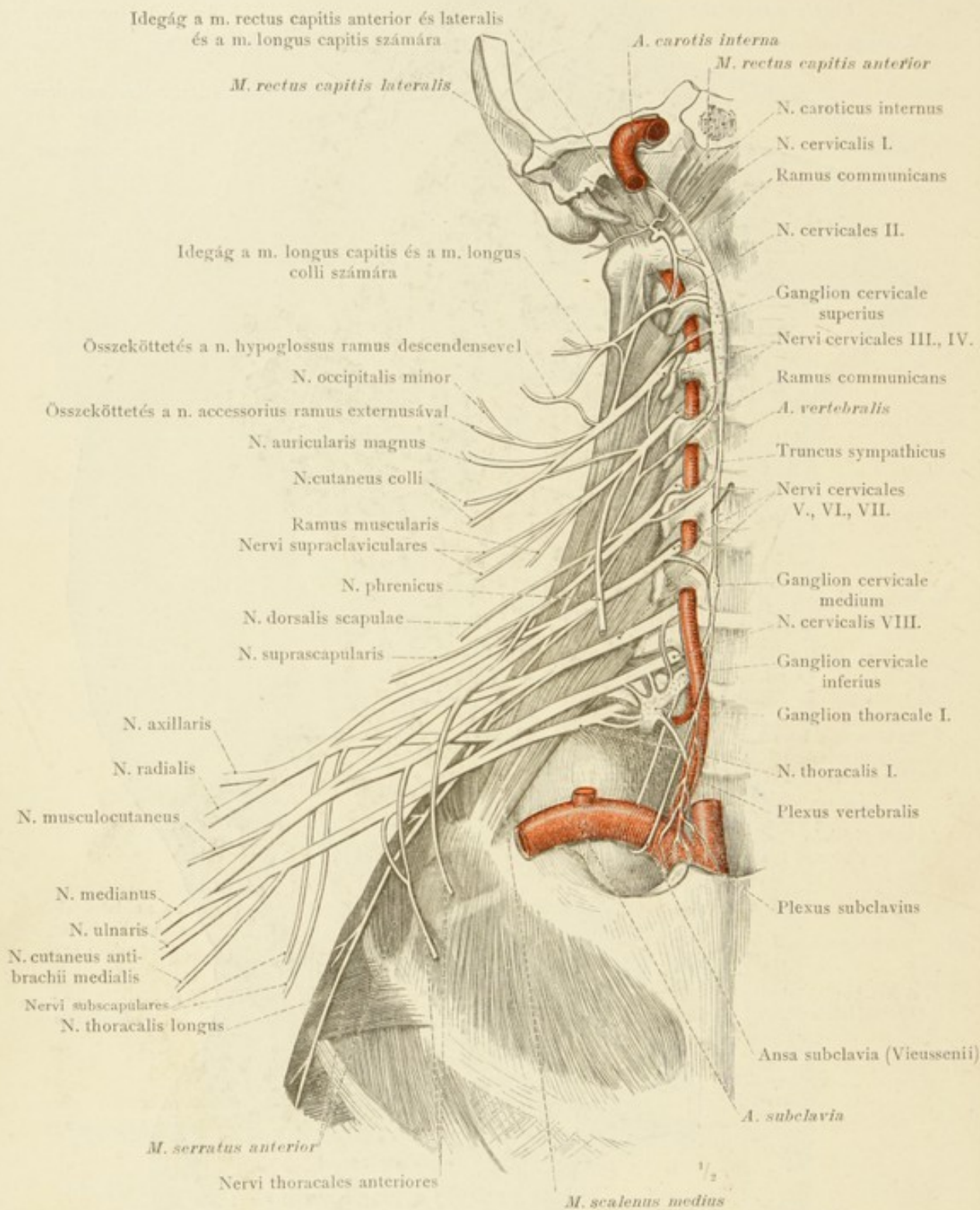




1247. rajz. A törzs jobboldalának bőridegei; a bordaközi idegek átfuró, oldalsó bőrágai. A n. intercostobrachialis ebben az esetben a 2. és 3. bordaközi ideg oldalsó bőrágából ered.

A törzs idegei. — A bordaközi idegek oldalsó bőrágai.

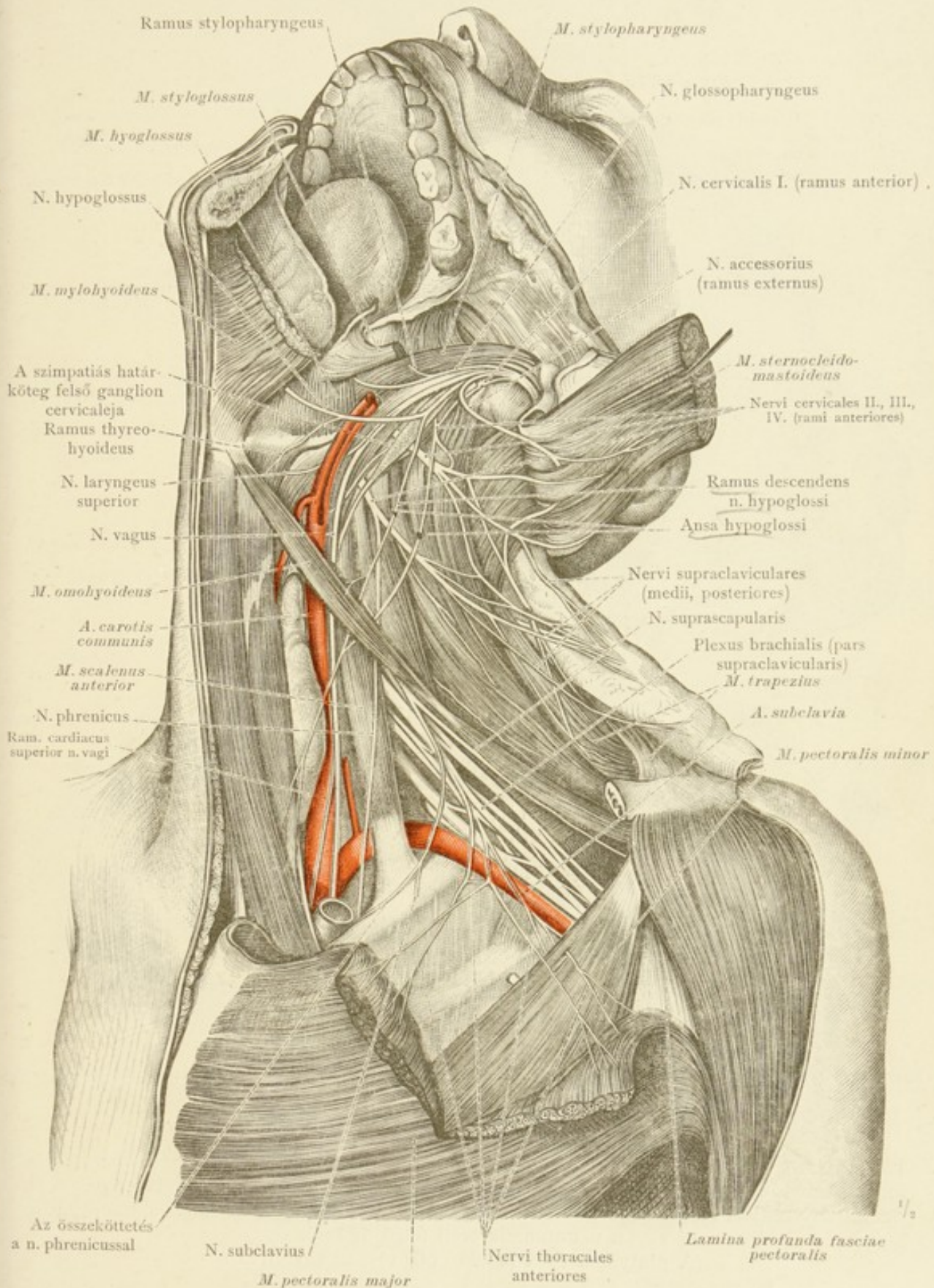




1248. rajz. A plexus cervicalis összetevődése a négy felső nyakideg elülső ágából és a plexus brachialis összetevődése a négy alsó nyakidegből és az első hátideg elülső ágából. A plexus cervicalisből és a plexus brachialisból eredő, külön névvel bíró, idegek. A nervi cervicalesek összefüggése a szimpatikus idegrendszer határkötőgének dúcaival.

Plexus cervicalis, a nyakidegfonat. — Plexus brachialis, a karidegfonat.

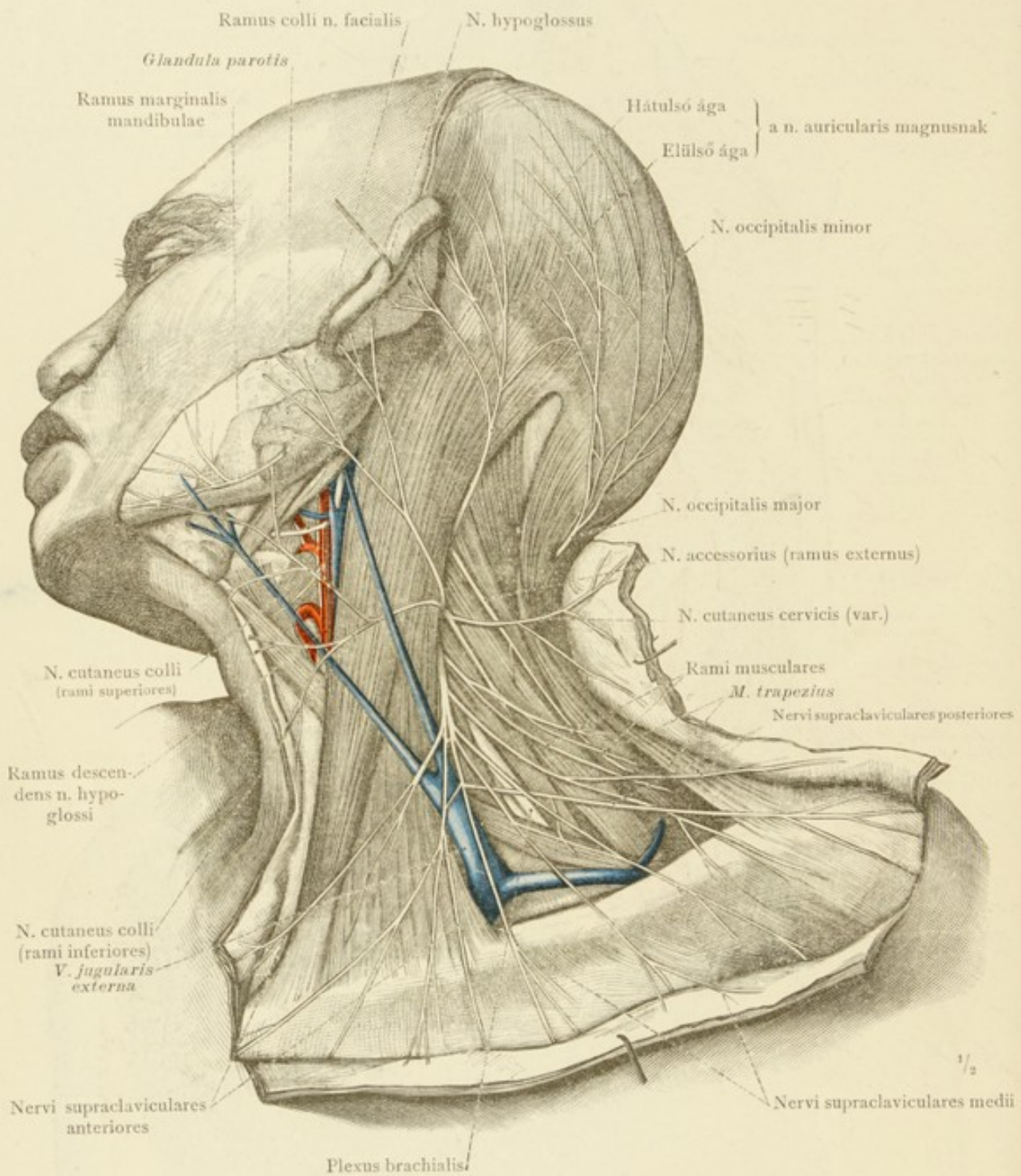




1249. rajz. A nyak mély idegei a m. sternocleidomastoideus eltávolításával. A kulcsont nagy részének eltávolításával ezen kívül a kulcsont alatt fekvő karidegfonat is látható.

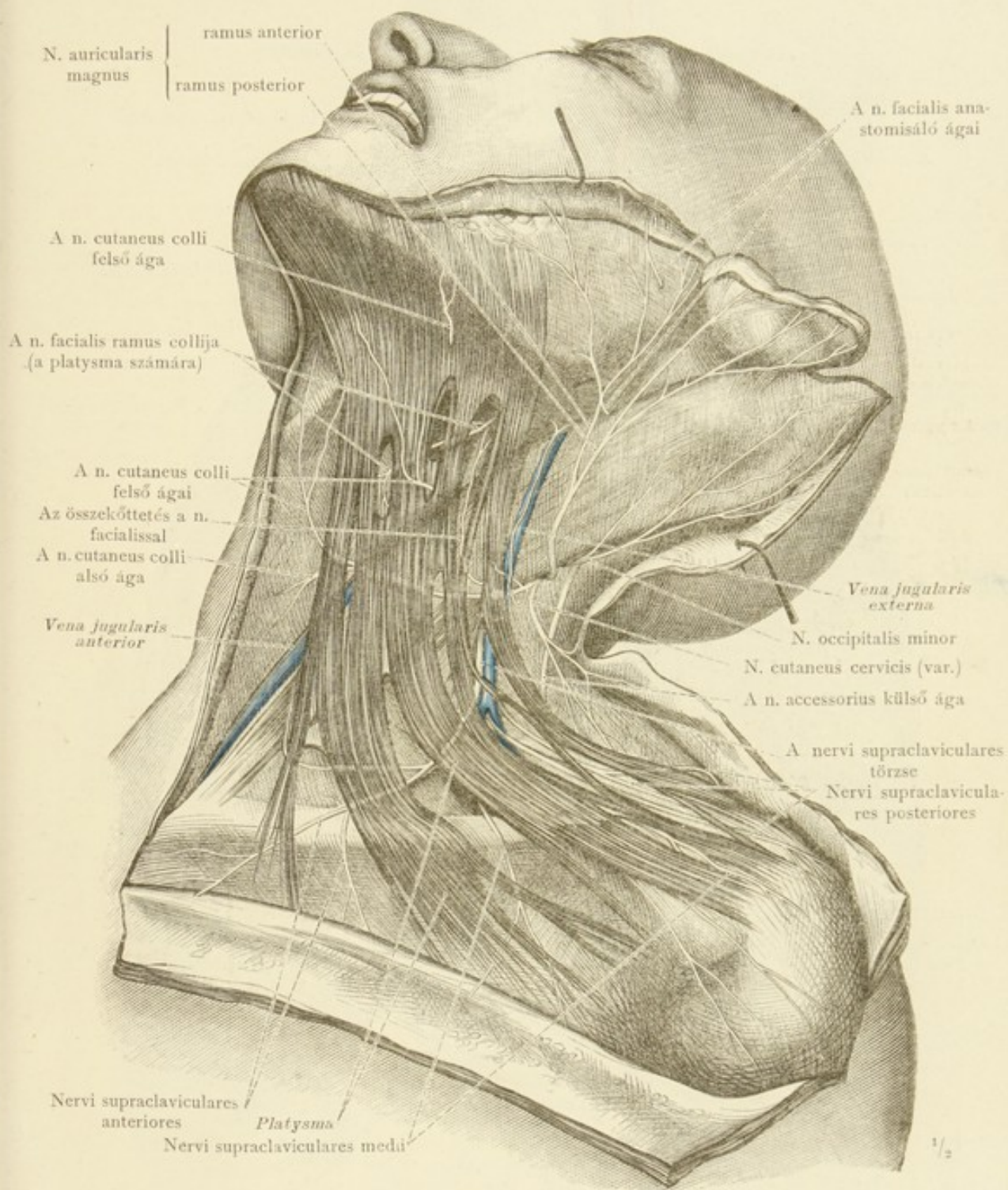
A nyak idegei.





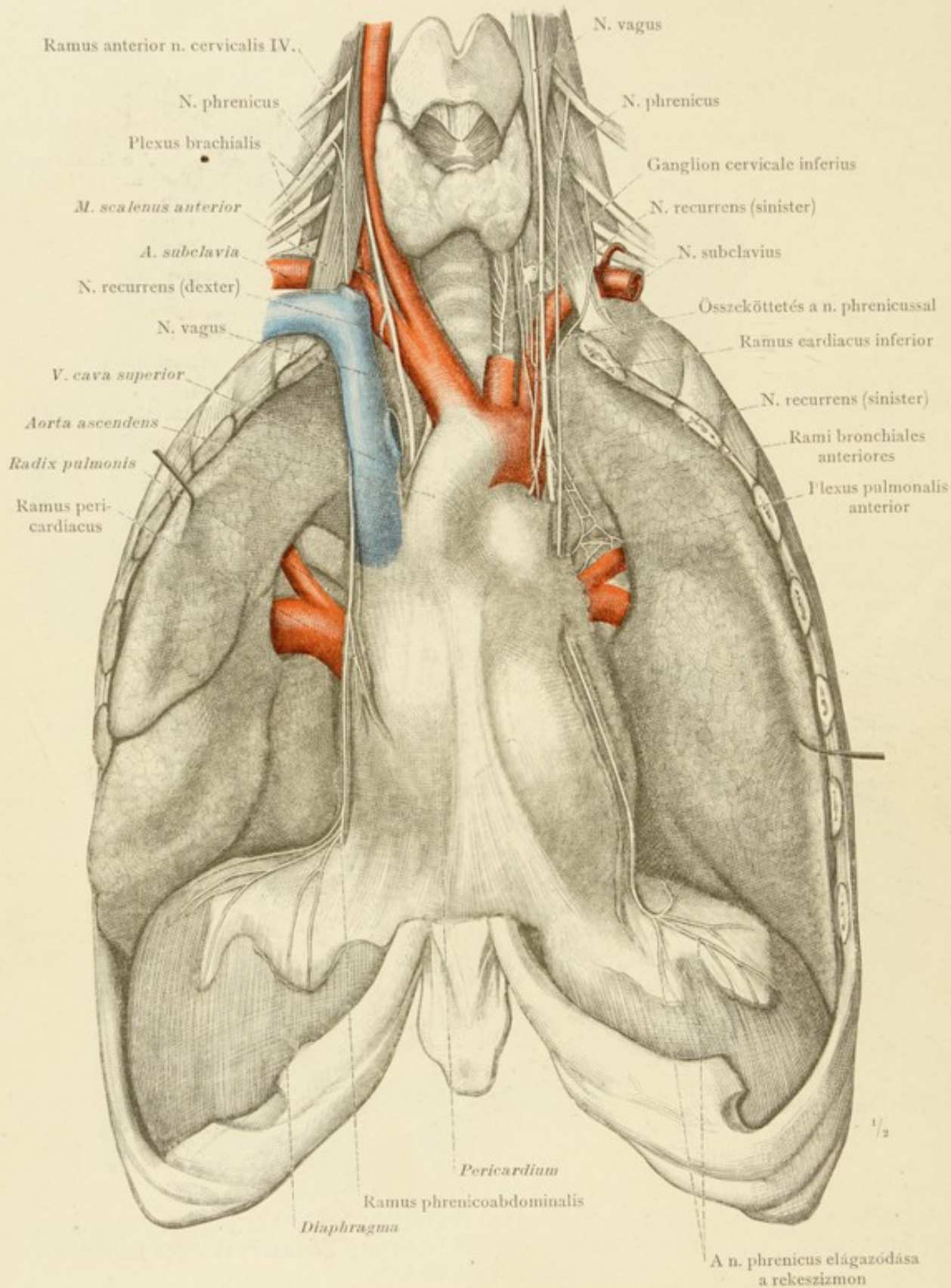
1250. rajz. A fejnek és a nyaknak, a plexus cervicalisből eredő bőridegei, továbbá a m. trapezius és a m. levator scapulae izomidegei. A n. accessorius külső ága. A n. occipitalis major. A n. facialis ramus marginalis mandibulaeja és ennek összefüggése a n. cutaneus colli felső ágával.

(A platysma és a fascia colli el van távolítva.)



1251. rajz. A fejnek és a nyaknak a plexus cervicalisból eredő bőridegei és viszonyuk a platysmához. A platysma rostjainak széthúzásával a platysma takarta idegek helyenként szabadon láthatók.

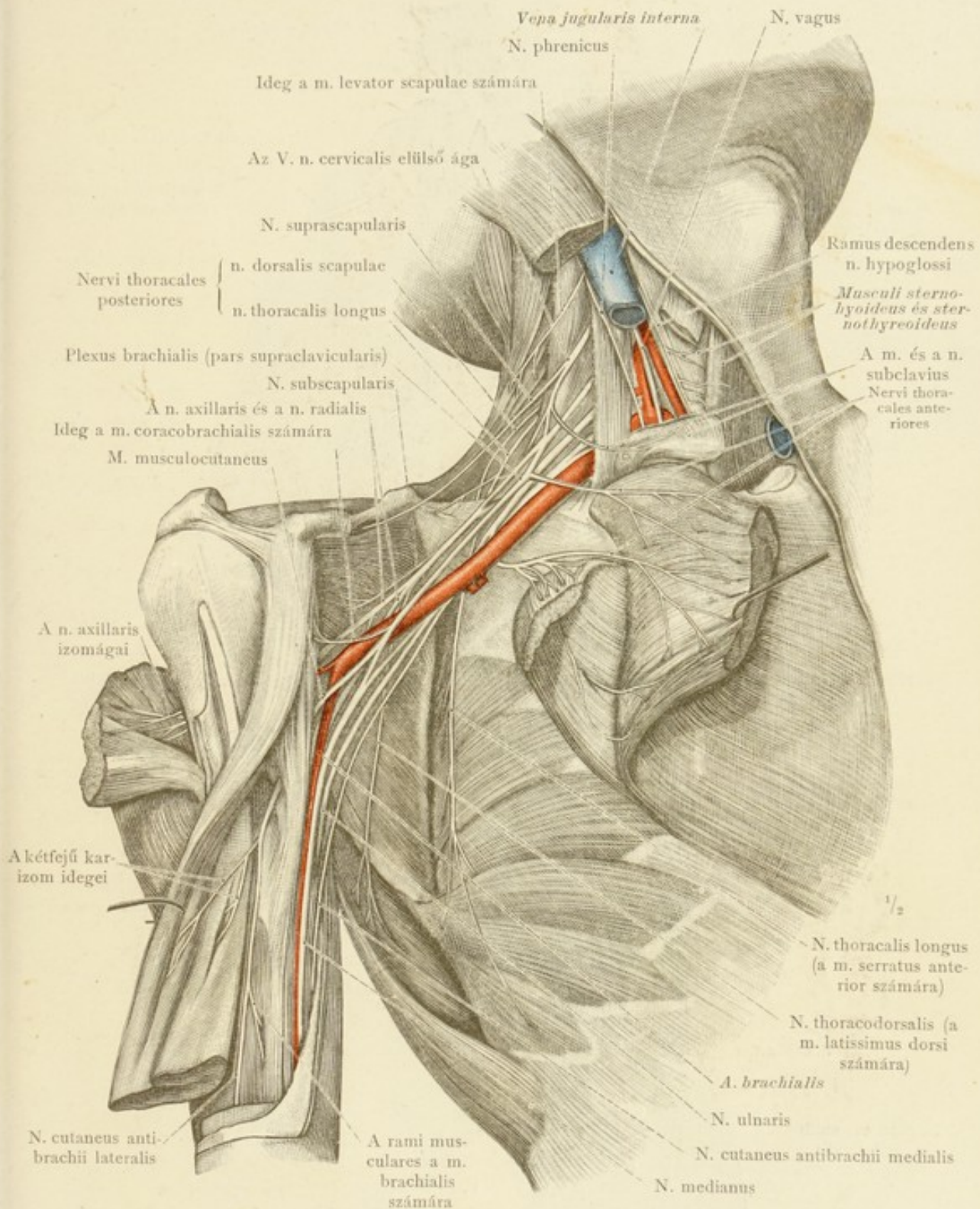




1252. rajz. A rekeszideg, a n. phrenicus és viszonya a n. vagushoz.  
(A rekesz ideg, a tüdők elülső széleinek széthúzásával és a pleura pericardiaca átvágásával látható.)

Nervus phrenicus, a rekeszideg.

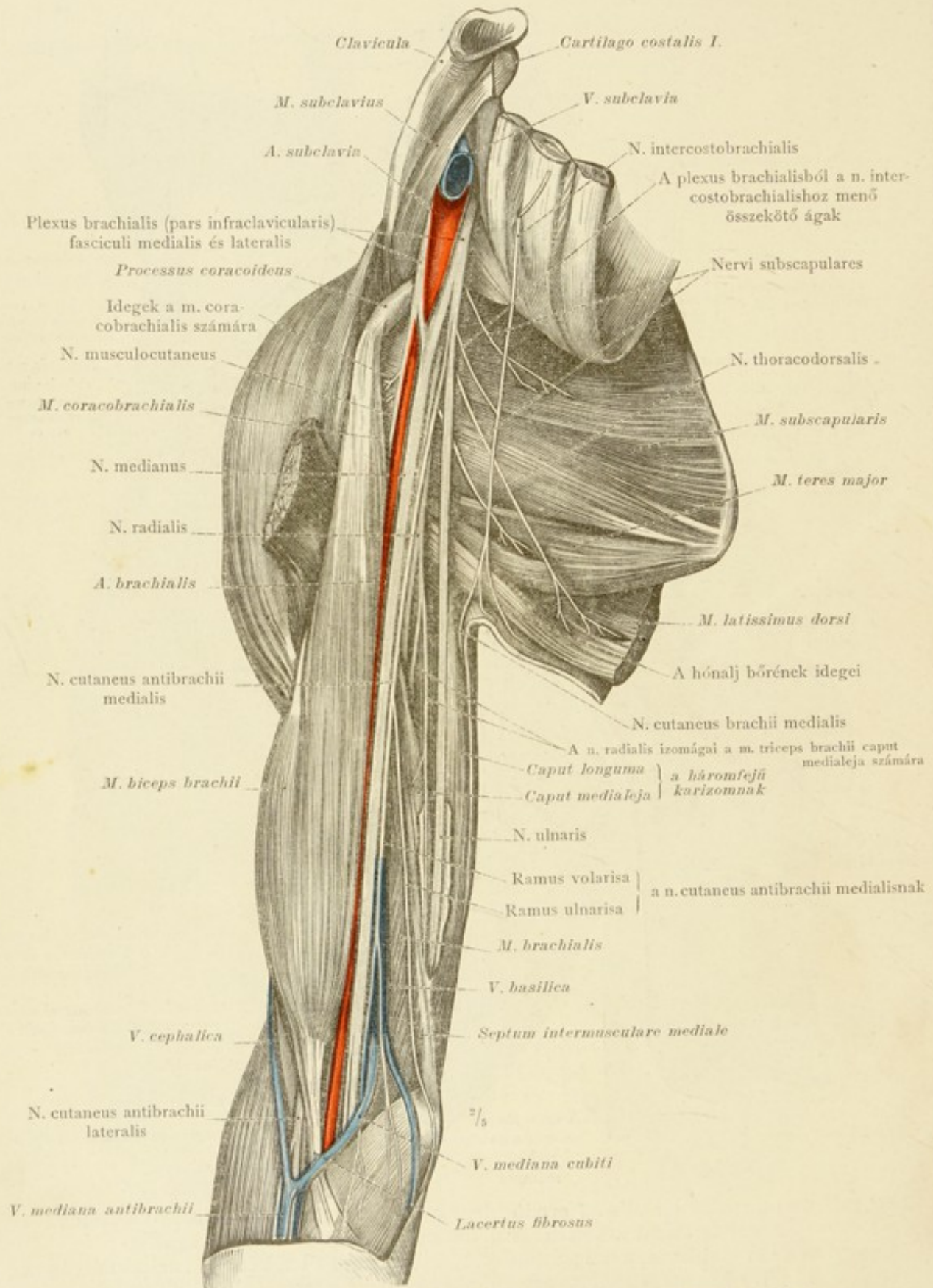




1253. rajz. A plexus brachialisból eredő idegek a vállizület izmai, a törzs-karizmok és a vállöv izmai számára. A n. musculocutaneus mozgató ágai. (A nagy és a kis mellizom, a kulcsesontizom, a deltaizom és a kétféjú karizom átvágva és félre húzva. A kulcsesont mindkét végén levágva és eltávolítva.)

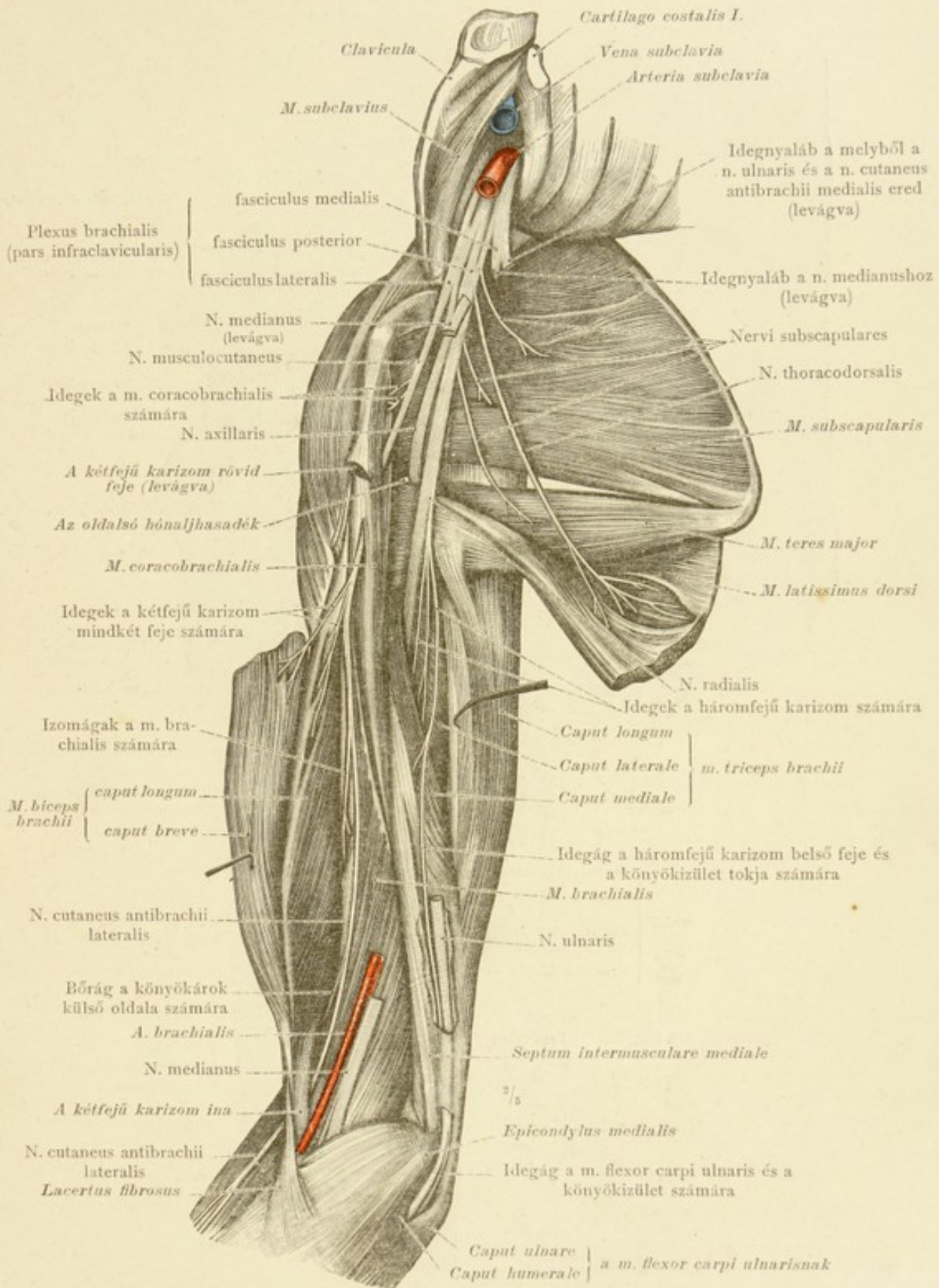
A karidegfonat, plexus brachialis, mozgató idegei.





1254. rajz. A váll és a felkar mély idegei elülről és medialis oldalról nézve.

A váll és a felkar idegei.

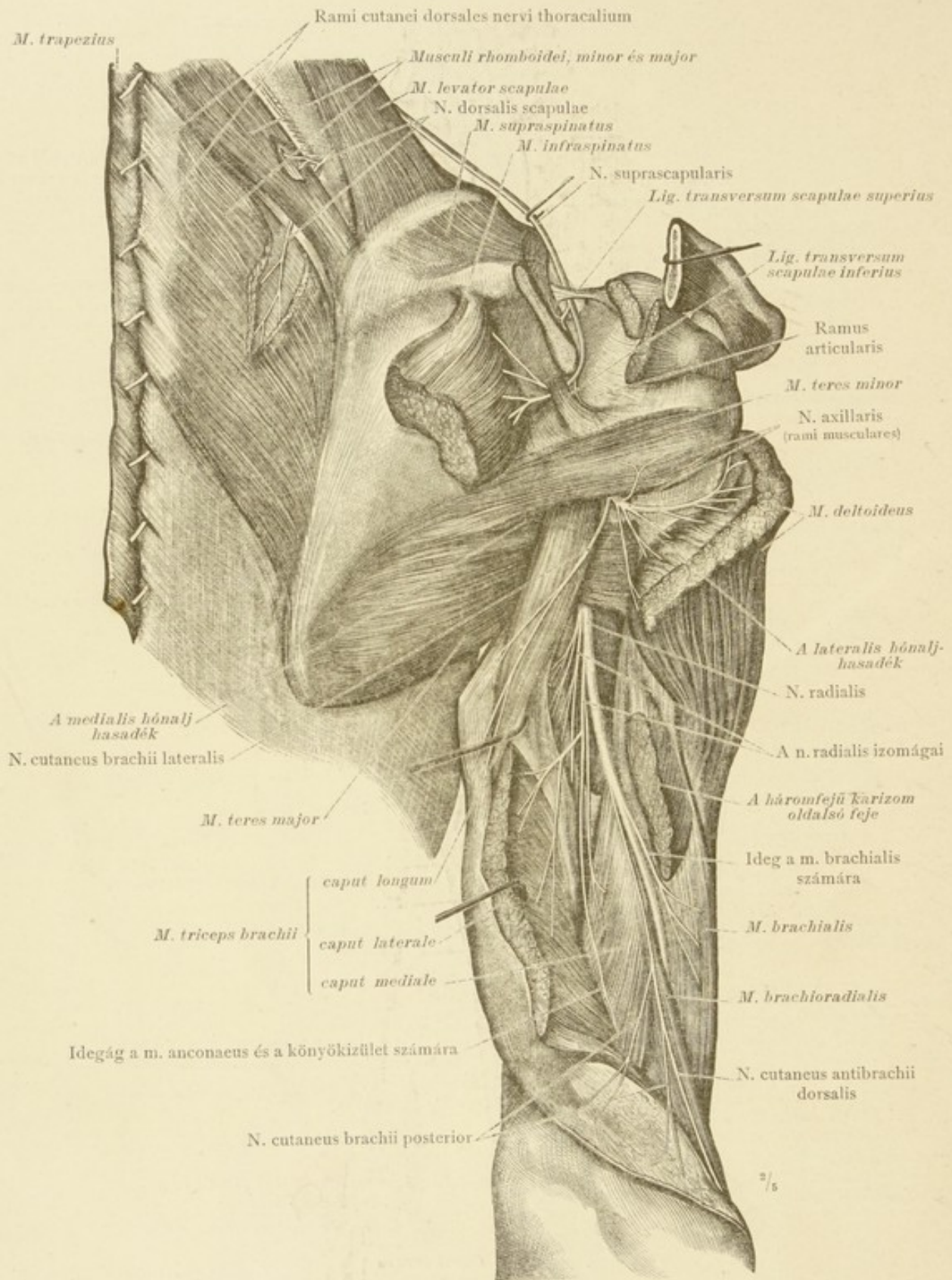


1255. rajz. A váll és felkar mély idegei, a n. ulnaris és a n. medianus eltávolításával, elülről és medialis oldalról nézve.

(A kétfejű karizom rövid fejének felső részét levágva, alsó részét oldalra hajtva, a kétfejű karizom és a m. brachialis idegei láthatók.)

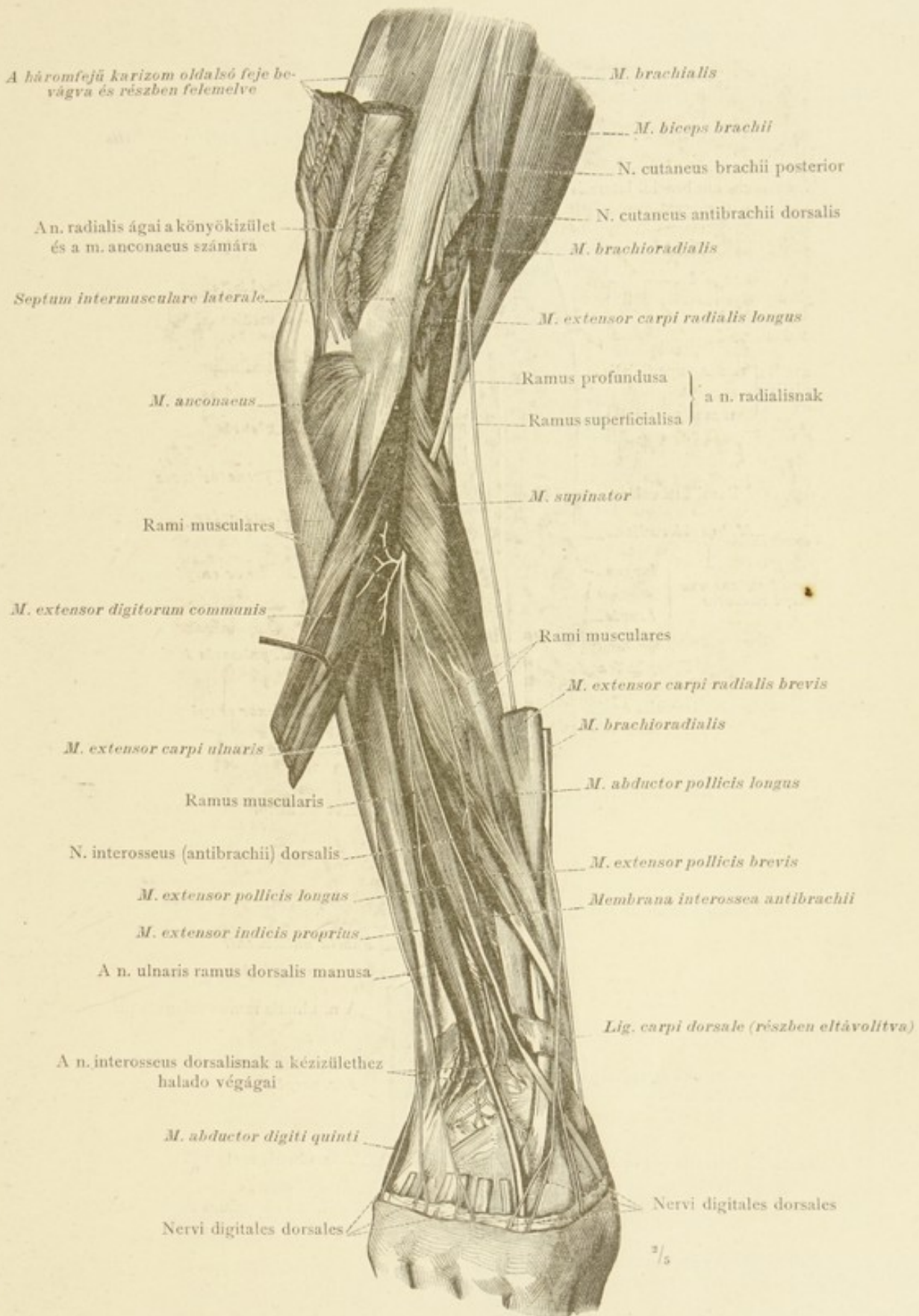
A váll és a felkar idegei.





1256. rajz. A vállizület izmainak és a háromfejű karizomnak idegei, valamint a n. axillaris és n. radialis bőrágai, hátulról nézve. A n. dorsalis scapulae elágazódása. — (A lapocka taréja kettévágva s ennek lateralis része kissé oldal felé húzva, a m. supraspinatus és a m. infraspinatus harántul átvágva. A háromfejű karizom oldalsó feje ferdén átvágva s a két része egymástól széjjel húzva.)

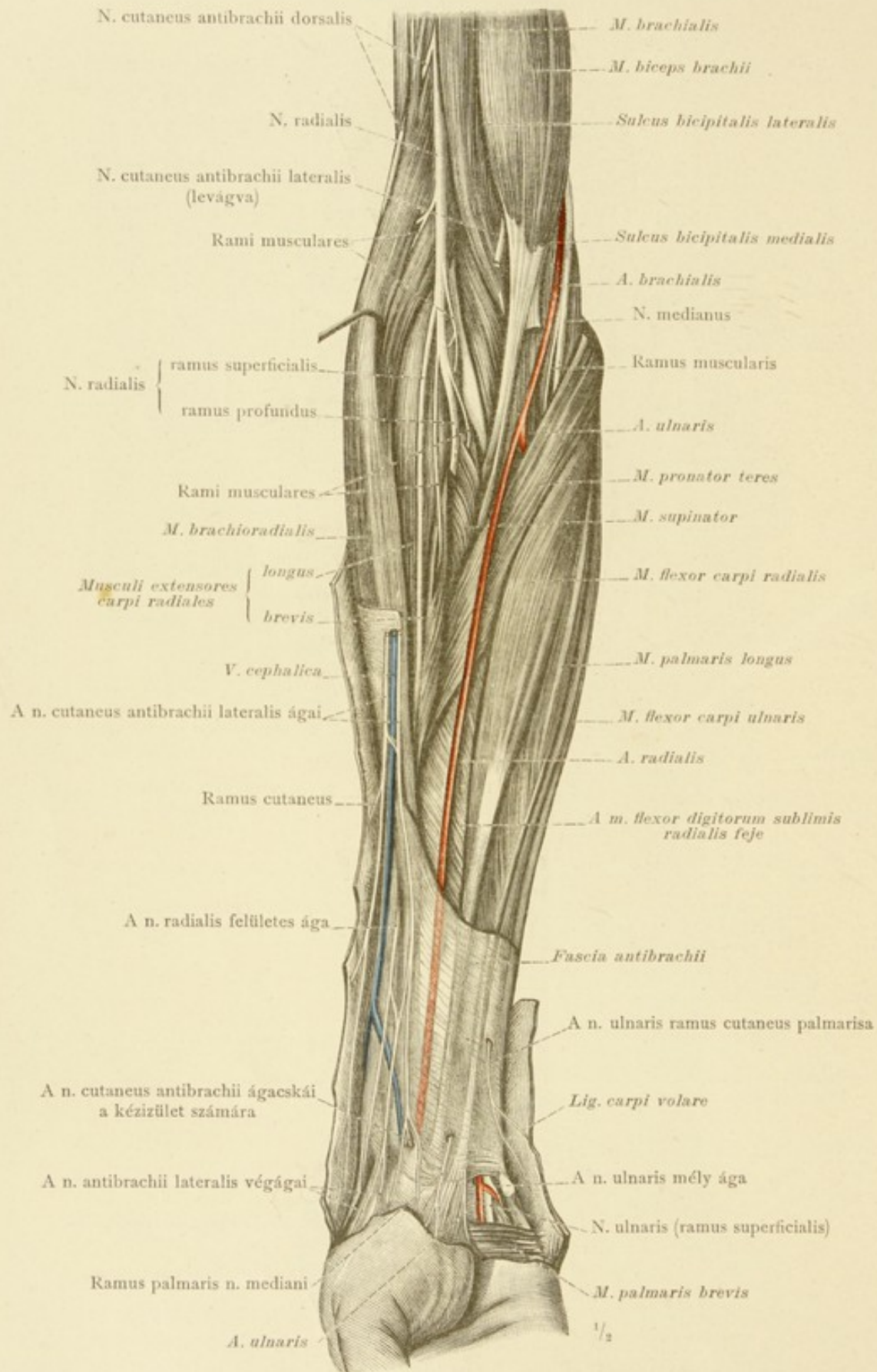
A váll és a felkar idegei.



1257. rajz. Az alkar hátulsó oldalának mély idegei. — Izomág a n. radialisból, a m. anconaeus és a könyökizület számára, a háromfejű karizom oldalsó fejének eltávolításával.

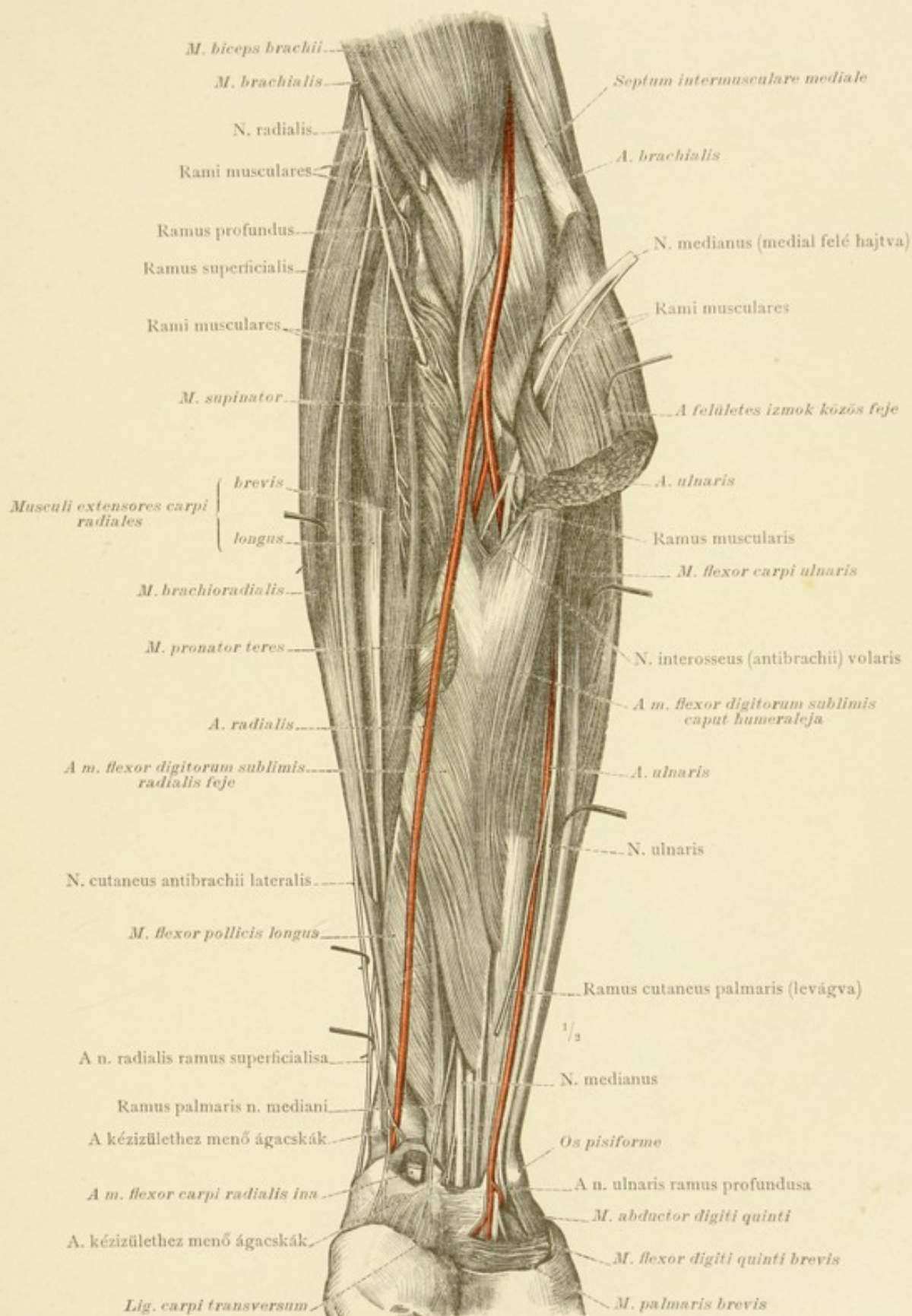
Az alkar idegei.





1258. rajz. Az alkar tenyéri oldalának mély idegei, a n. radialis lefutása és elágazódása a fascia antibrachii nagy részének eltávolításával.

Az alkar idegei.



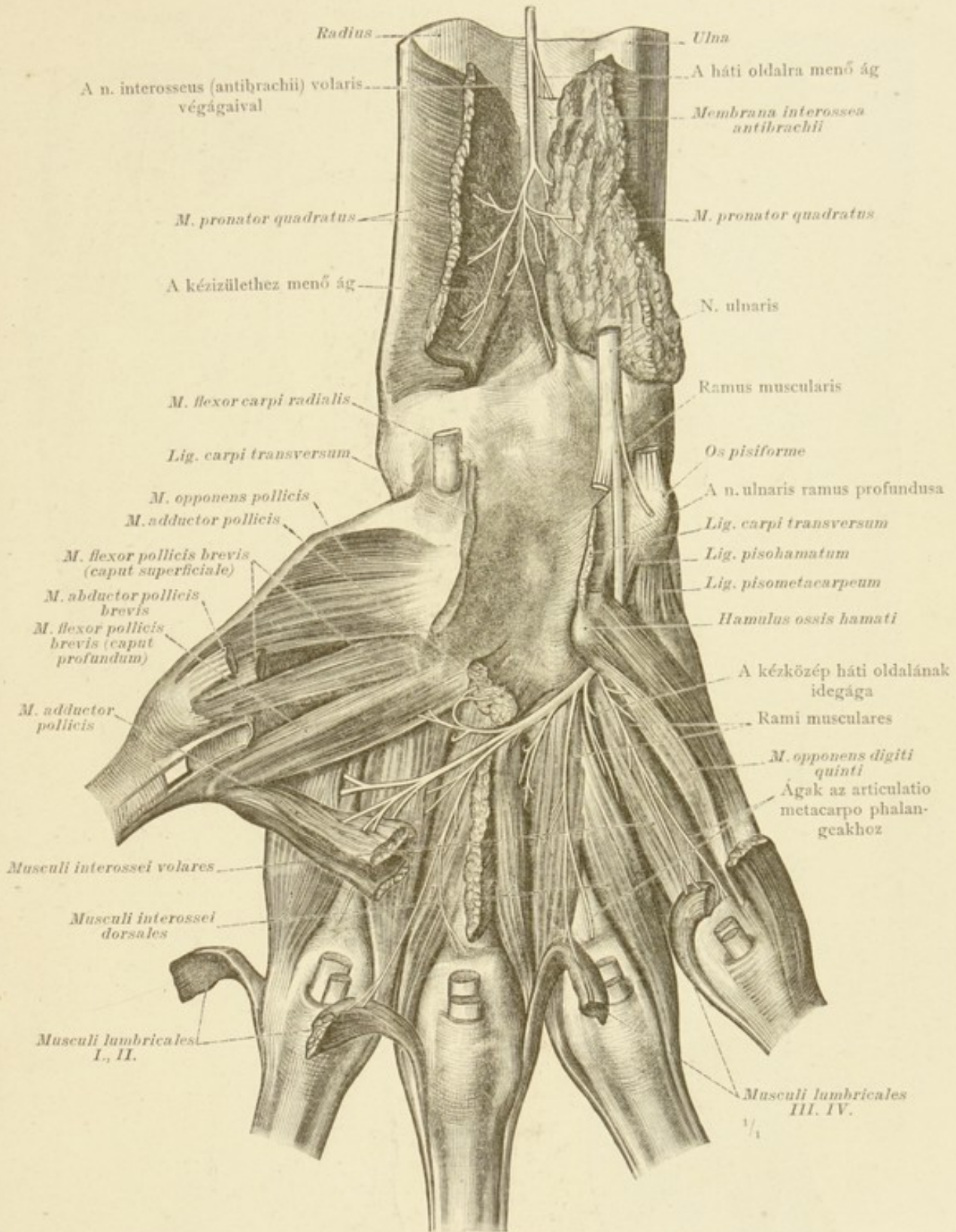
1259. rajz. Az alkar tenyéri oldalának mély idegei a m. pronator teres, a m. flexor carpi radialis és a m. palmaris longus nagy részének eltávolításával. A n. medianus áthaladása a m. pronator teres két feje között.  
(A radialis izomcsoport izmai egymástól kissé széjjel vannak húzva.)

Az alkar idegei.







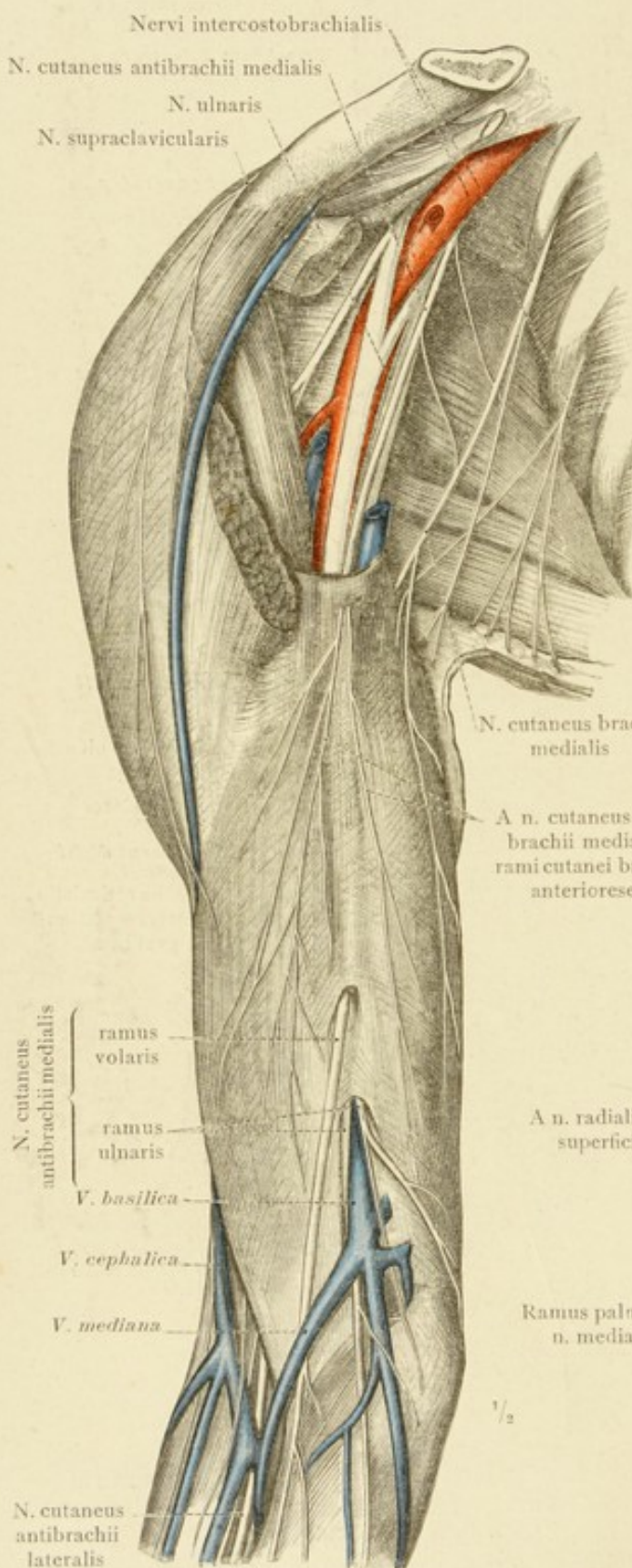


1261. rajz. A n. interosseus (antibrachii) volaris végelágazódása a m. pronator quadratusban és ezen idegnek, a kézizülethez menő, ramus articularisa. (Az idegek bemutatására a m. pronator quadratus hosszában átvágva és széjjelhúzva.) A n. ulnaris ramus profundusának elágazódása a kézközép izmaiban és az articulatio metacarpo-phalangeaban, a hüvelykujjpárna izmait kis részben eltávolítva.

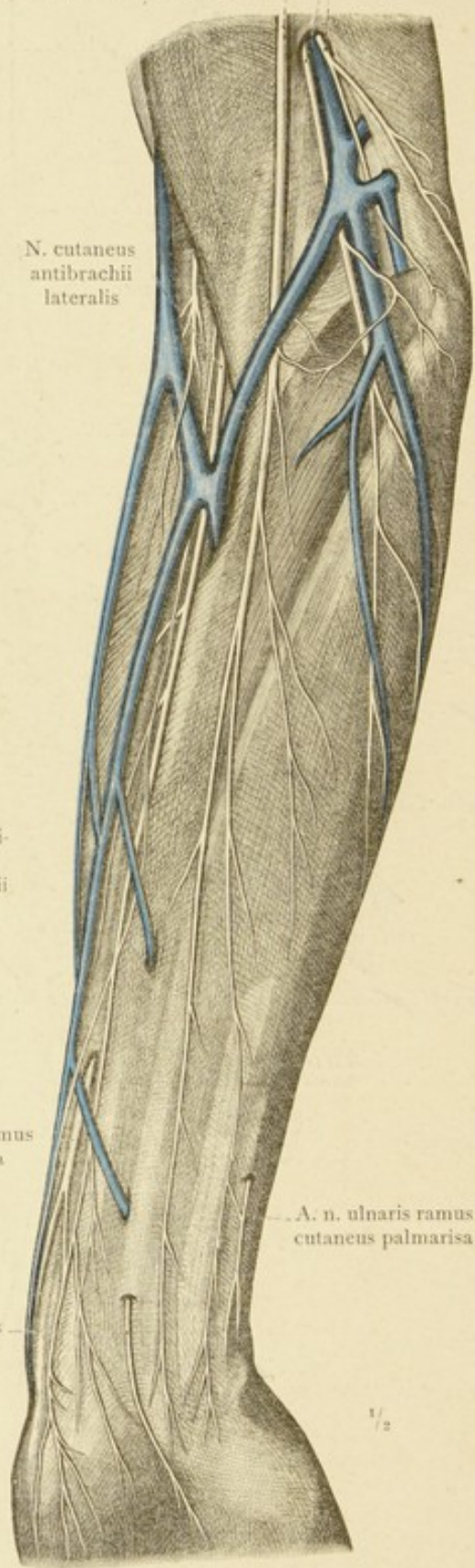
Az alkar és a tenyér idegei.



N. cutaneus antibrachii medialis } ramus ulnaris  
 } ramus volaris



1262. rajz. A felkar elülső és medialis oldalának bőridegei.



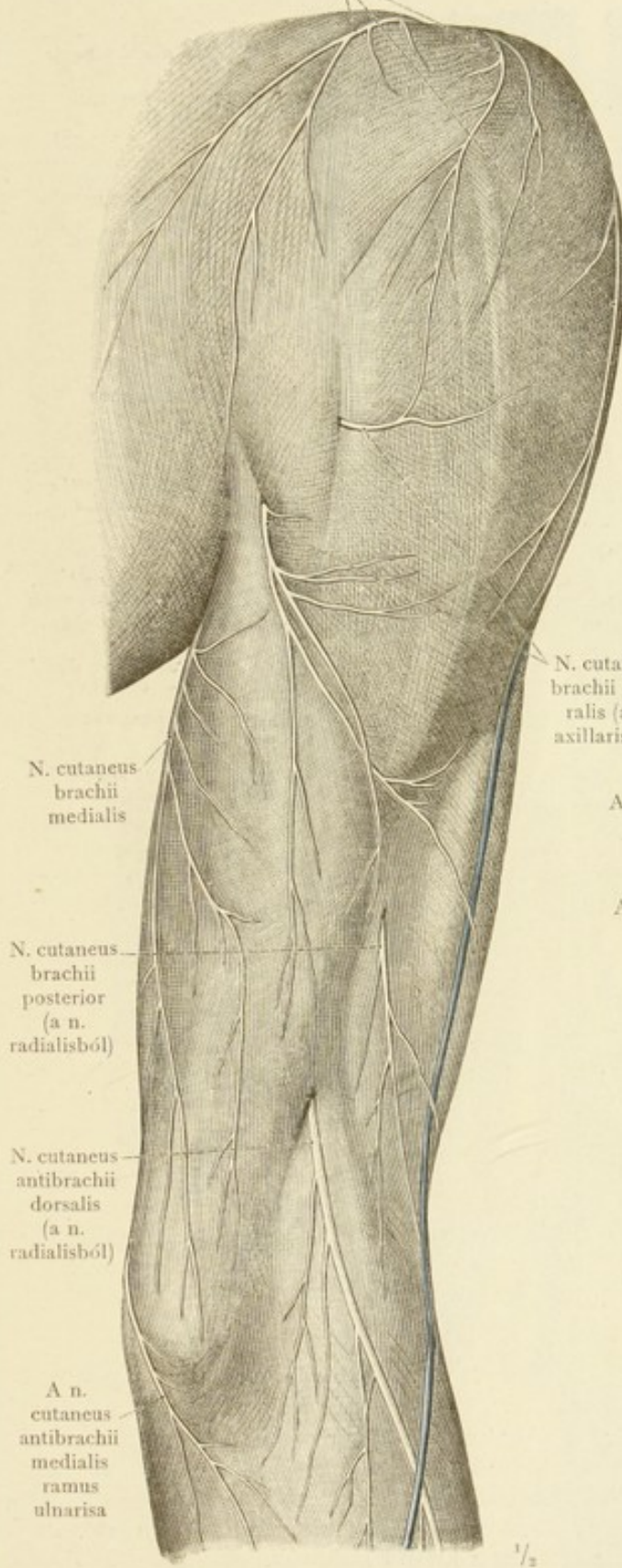
1263. rajz. Az alkar tenyéri oldalának bőridegei.

A felső végtag bőridegei.



Nervi supraclaviculares

N. cutaneus antibrachii dorsalis

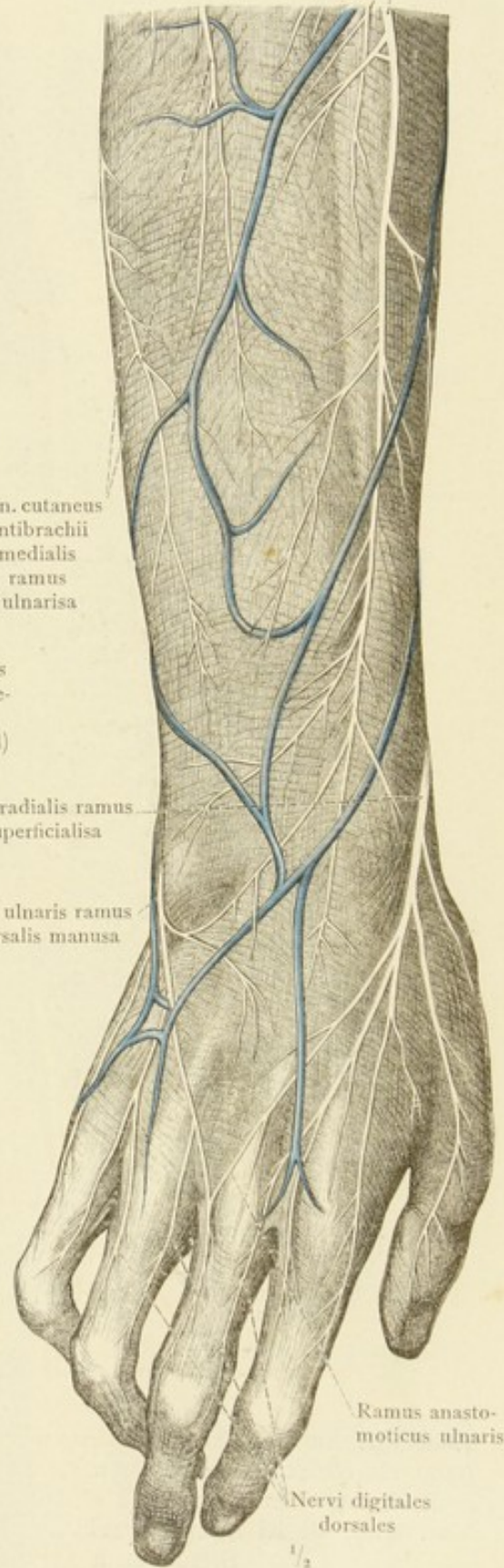


A n. cutaneus antibrachii medialis ramus ulnarisa

N. cutaneus brachii lateralis (a n. axillarisból)

A n. radialis ramus superficialisa

A n. ulnaris ramus dorsalis manusa

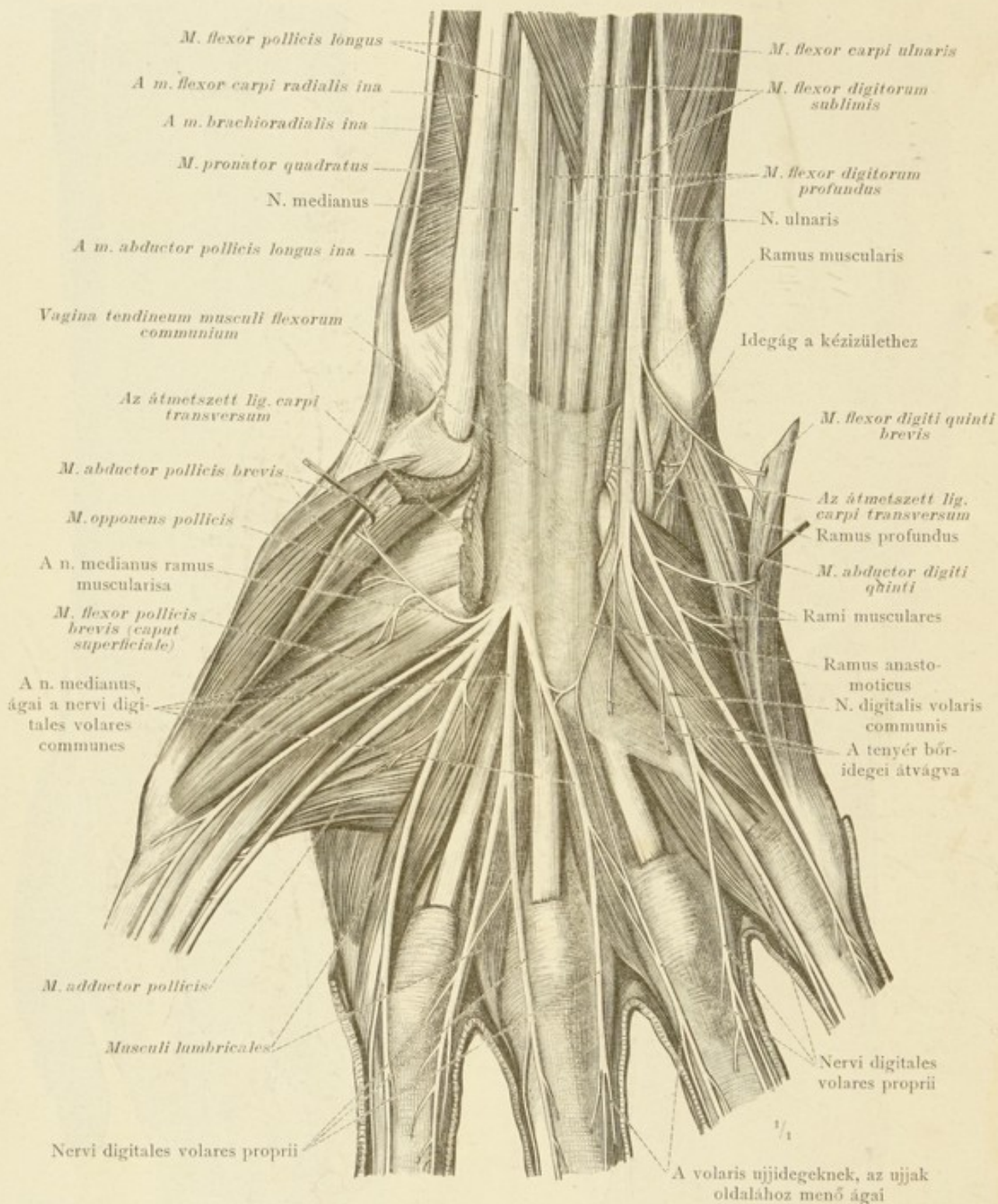


1264. rajz. A felkar hátulsó oldalának bőridegei.

1265. rajz. Az alkar és a kéz hátulsó oldalának bőridegei.

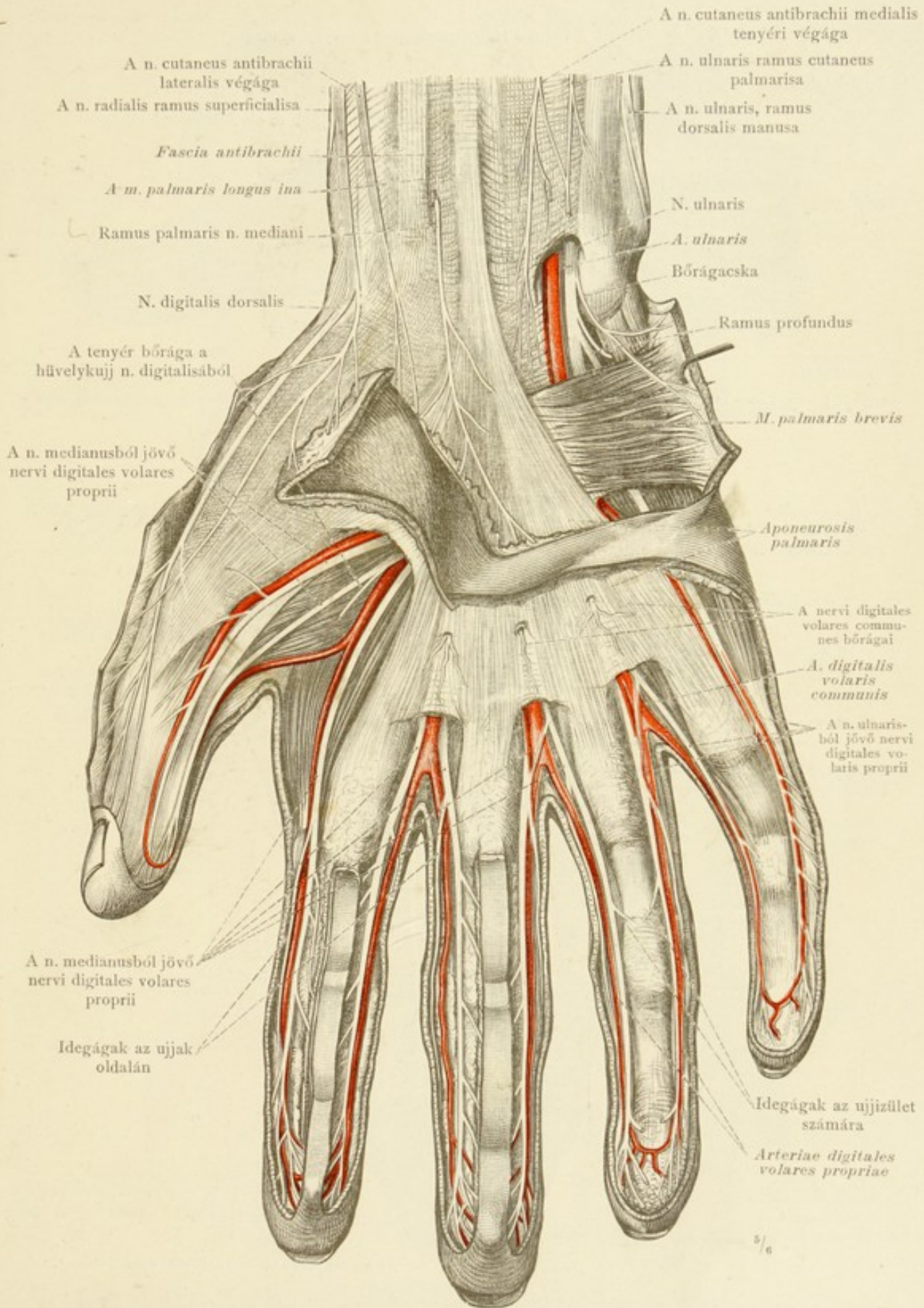
A felső végtag bőridegei.





1266. rajz. Az idegek elágazódása a tenyéren, a lig. carpi transversum és az aponeurosis palmaris eltávolításával. A n. medianus áthaladása a kéztő csatornáján, ahol az újjhajlítók közös inthüvelyének elülső falában fekszik. A m. abductor pollicis brevis és a m. flexor digiti quinti brevis eredése el van vágva és azok oldalra hajtásával a thenar és a hypothenar izmainak idegei láthatók.

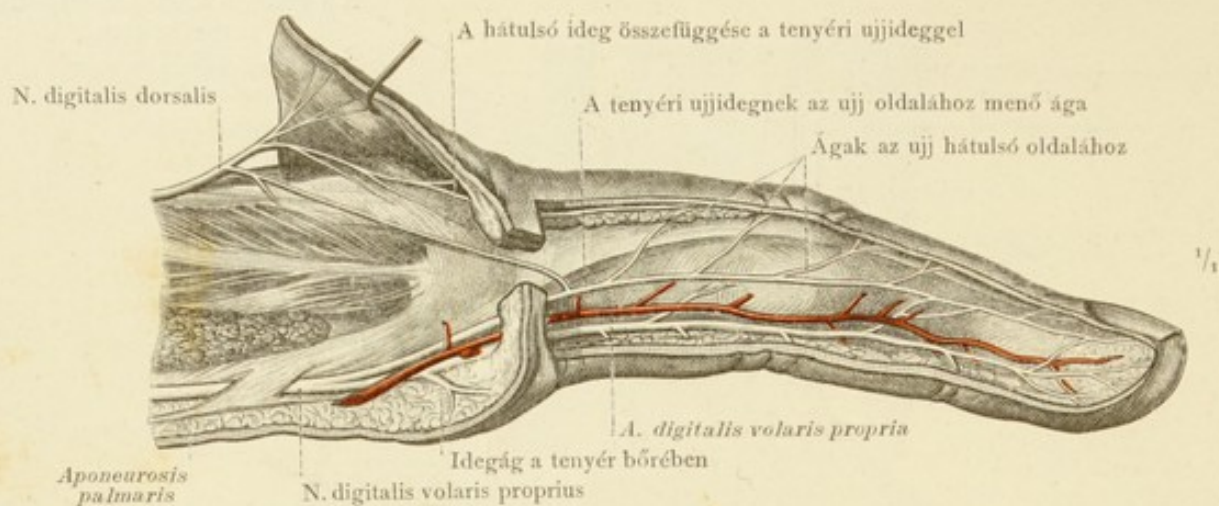




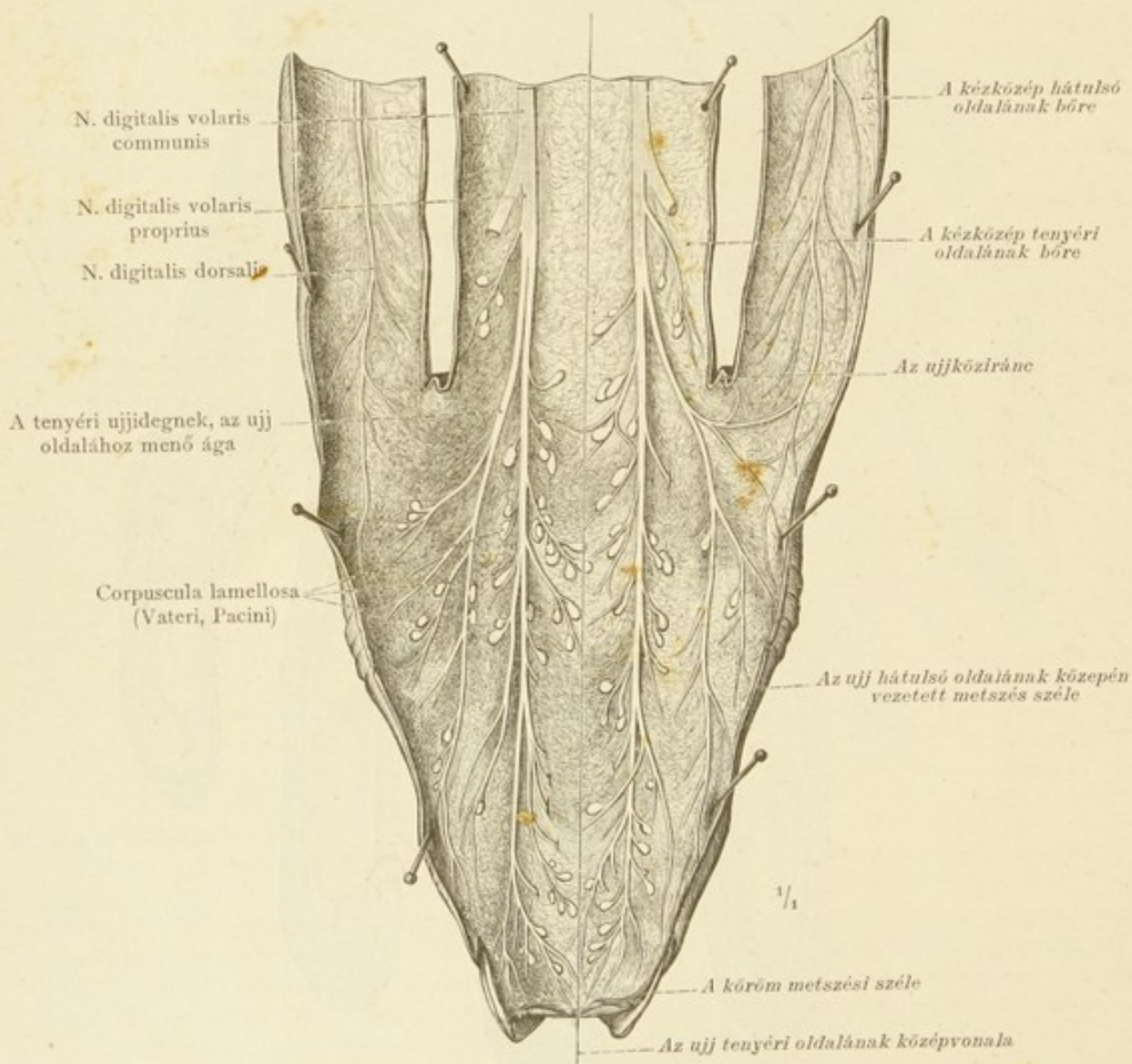
1267. rajz. A tenyér és az ujjak tenyéri oldalának felületes idegei.

A kéz bőridegei.

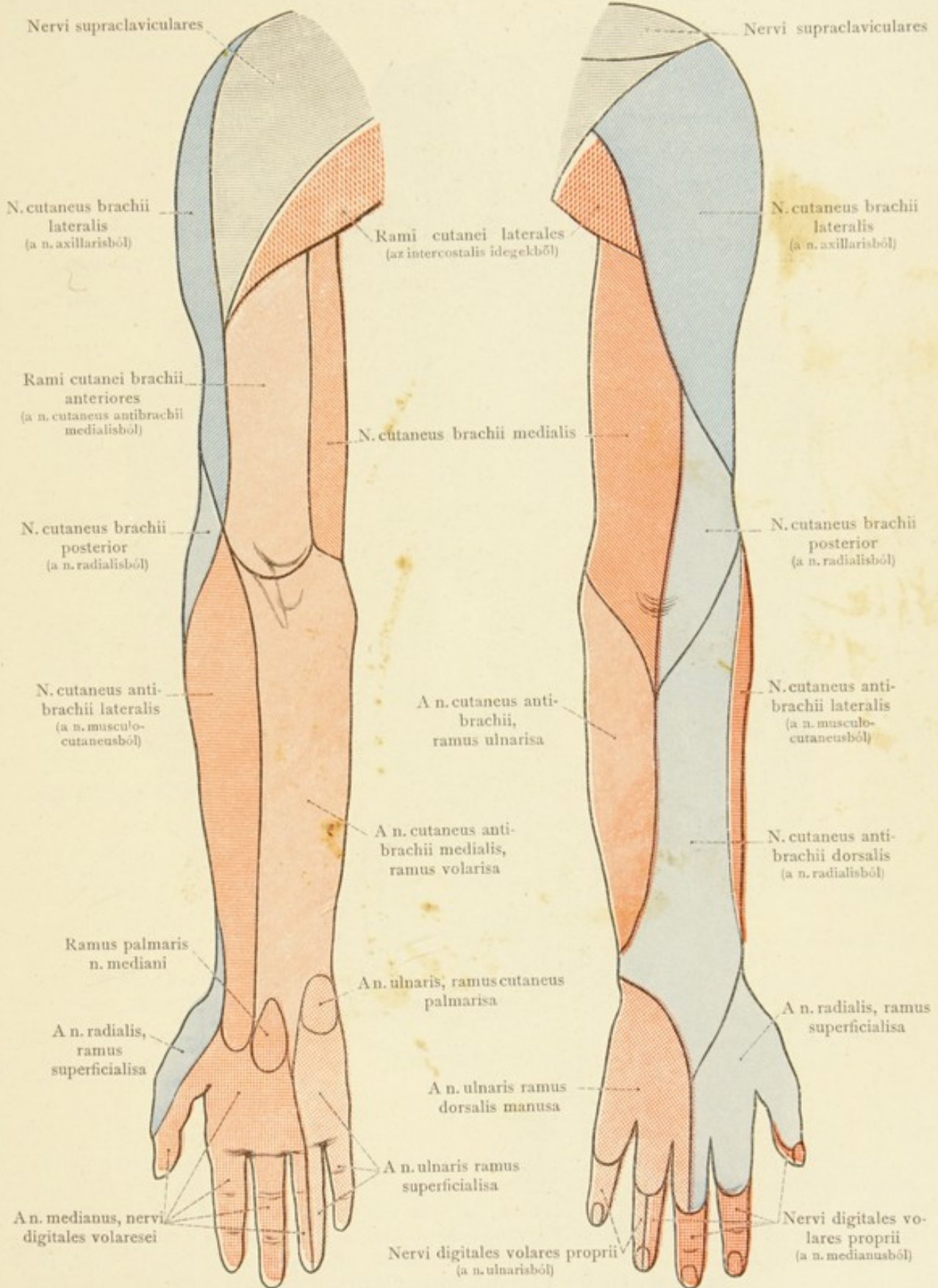




1268. rajz. A jobb oldali középső ujj, tenyéri és hátsó idegei, az ulnaris oldalról nézve.



1269. rajz. A középső ujj lefejtett bőrének tenyéri és hátsó idegei; a Paccini-testek.

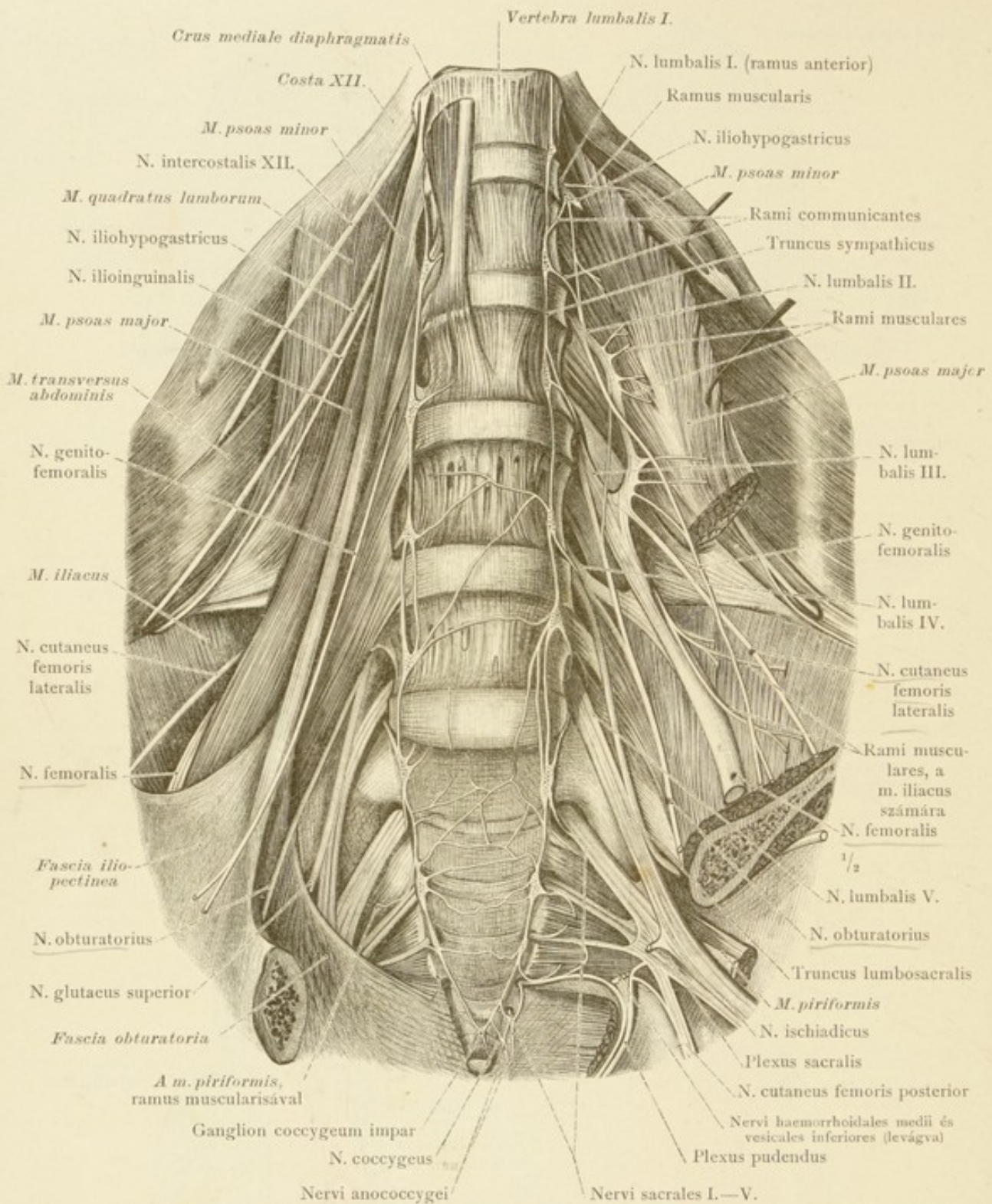


1270. rajz. A felső végtag idegeinek bőrterületei, az elülső, a volaris oldalon.

1271. rajz. A felső végtag idegeinek bőrterületei, a hátulsó, a dorsalis oldalon.

A felső végtag bőridegei.



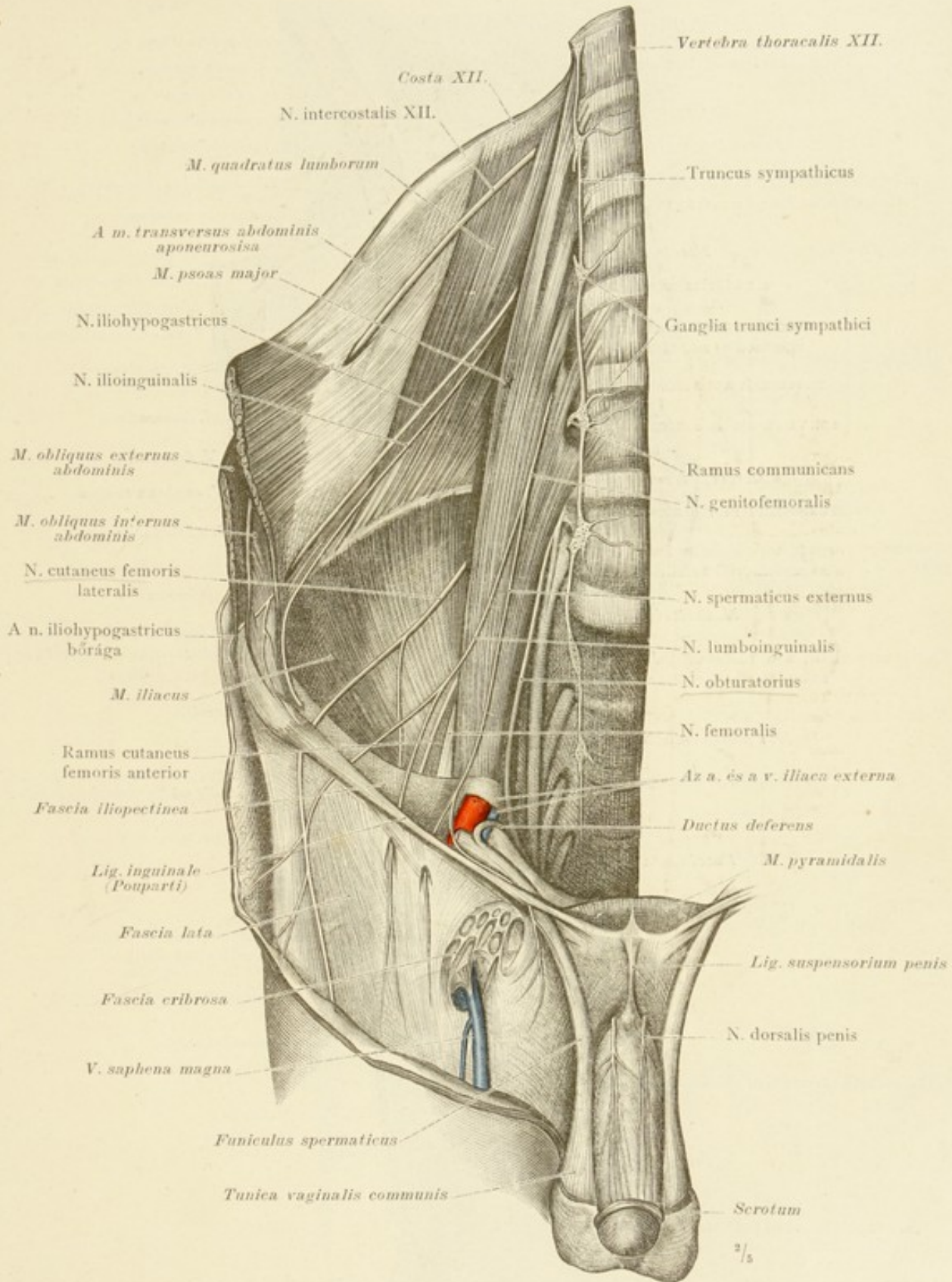


1272. rajz. A plexus lumbalis, a plexus sacralis és a plexus pudendus alkotta plexus lumbosacralis. A plexus lumbalist alkotó 1-ső, 2-ik, 3-ik ágyékideg elülső ágai és a 4-ik ágyéki ideg elülső ágának nagy része; a 4-ik ágyékideg kisebbik része, az 5-ik ideggel a truncus lumbosacralissá egyesül. A plexus sacralis, melyet a truncus lumbosacralis és az 1-ső, 2-ik, 3-ik sacralis idegek elülső ágai alkotnak. A 3-ik, 4-ik, 5-ik sacralis idegek részei alkotta plexus pudendus.

(A baloldalon a m. psoas major és minor az ágyéksigolyákról le van vágva, és a foramen ischiadicum majus, a csipőcsont nagy részének eltávolításával elülről meg van nyitva.)

Plexus lumbosacralis, az ágyékkeresztfont.

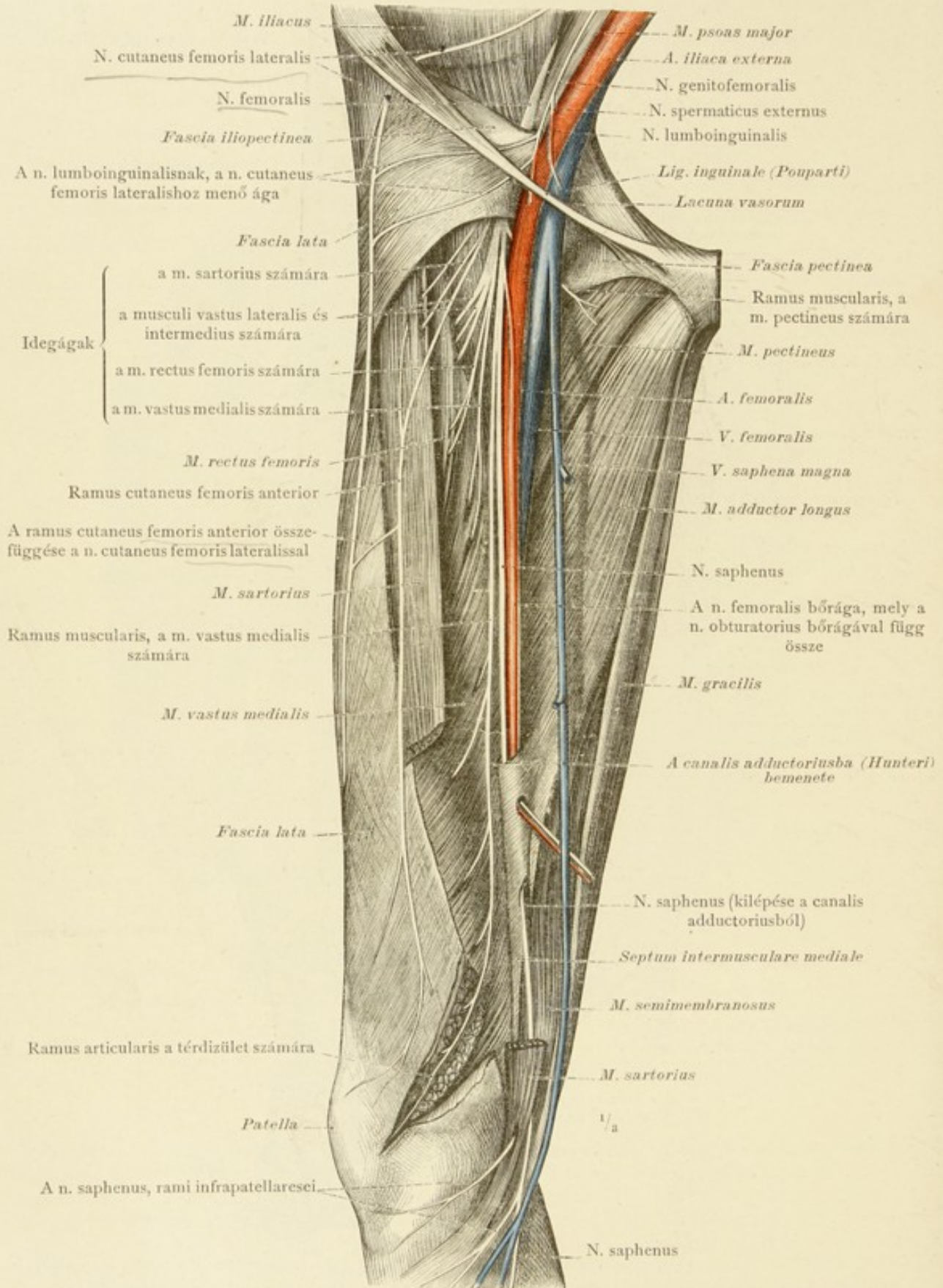




1273. rajz. A plexus lumbalisból eredő idegek a n. genitofemoralis és a n. cutaneus femoris lateralis átlépése a combra. A n. dorsalis penis elágazódása a penis hátán. (A n. ilioinguinalis, a spina iliaca anterior superior felett, le van vágva.)

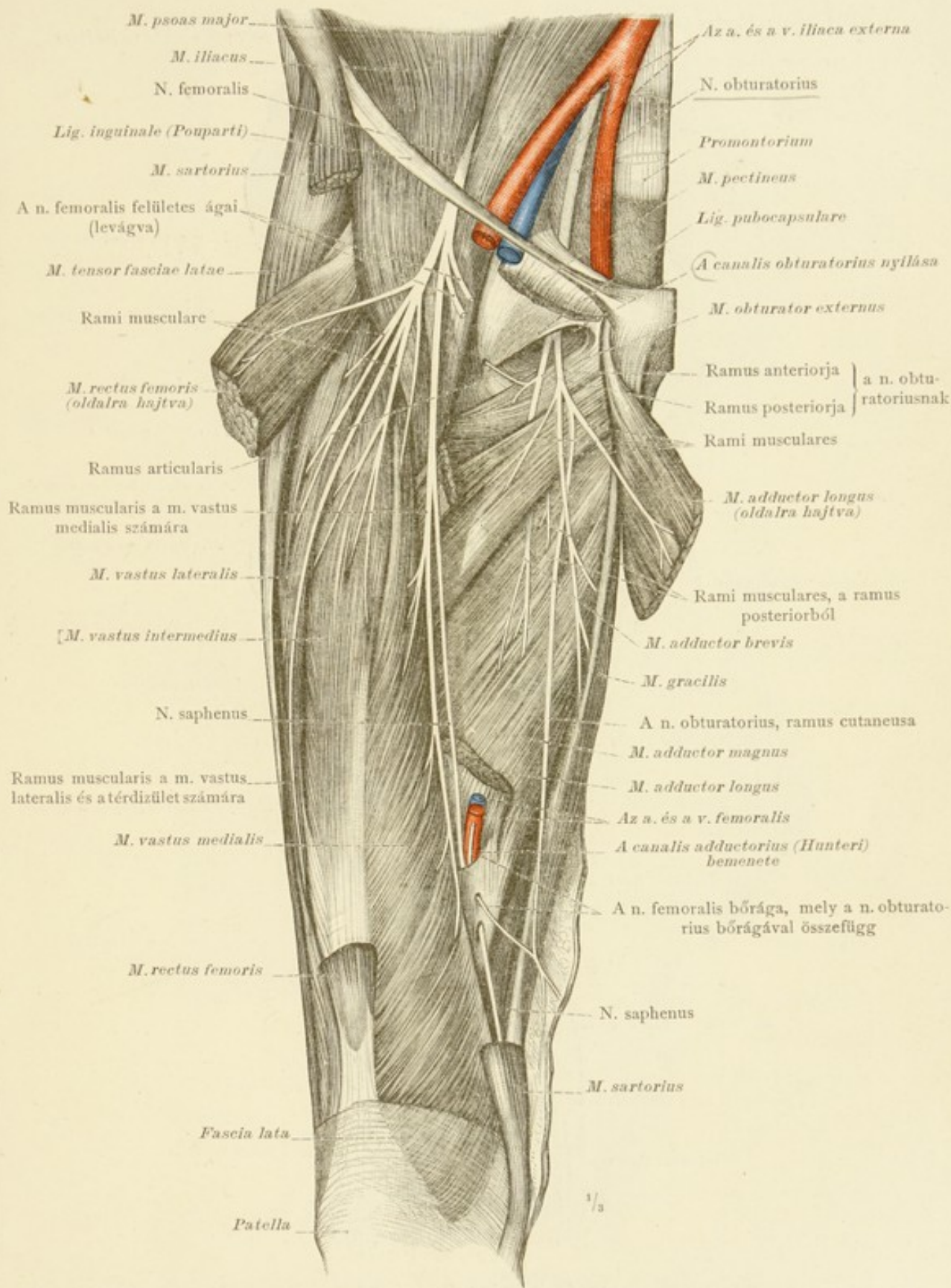
A plexus lumbalis idegei.





1274. rajz. A n. femoralis elágazódása a comb elülső oldalán a m. sartorius kis részének, eltávolításával. A térdizülethez menő ág a m. vastus medialis bevágásával látható.

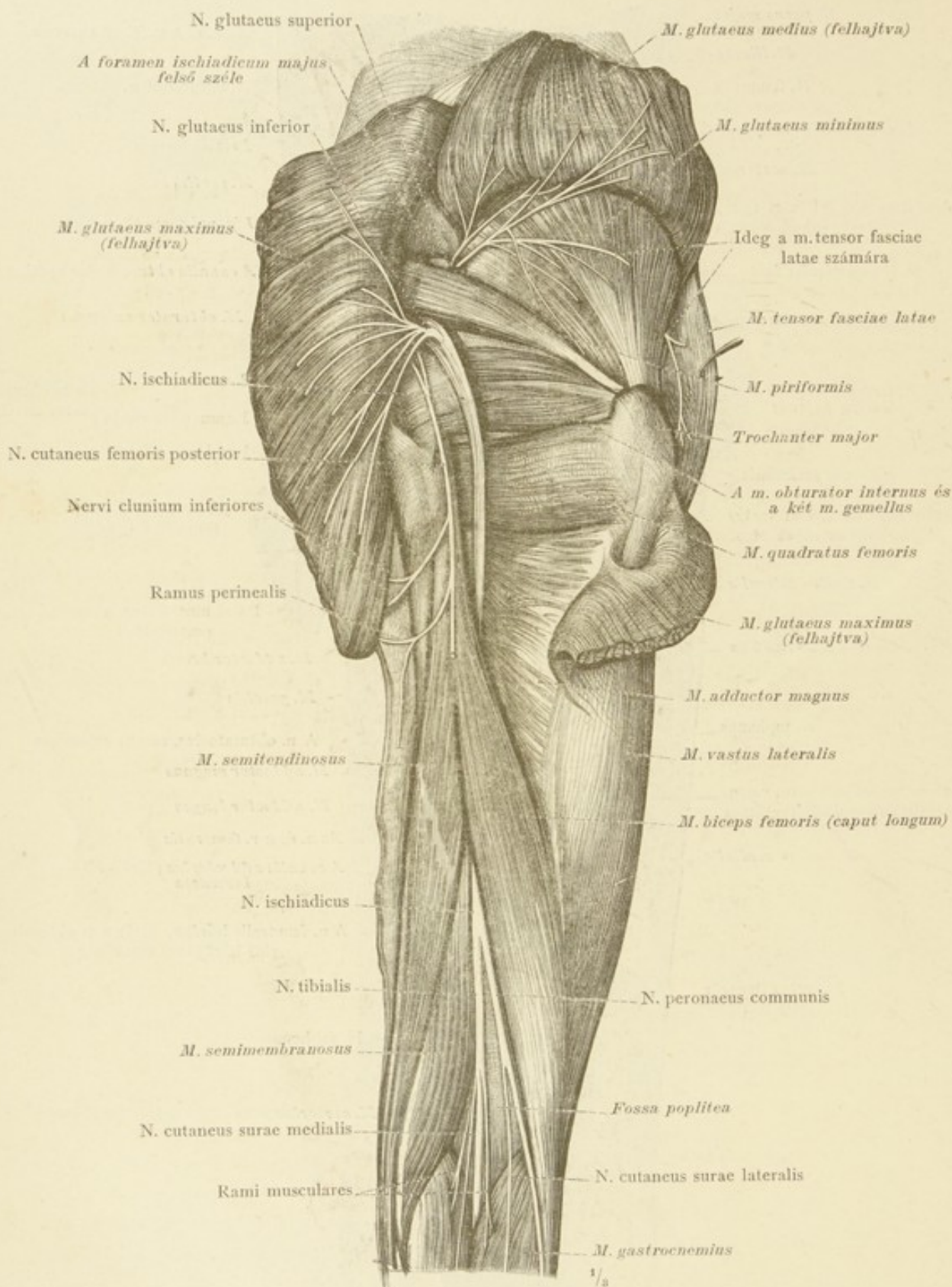
A comb mély idegei.



1275. rajz. A n. femoralis és a n. obturatorius elágazódása, a m. rectus femoris, a m. adductor longus és a m. pectineus nagy részének eltávolításával, elülről nézve.

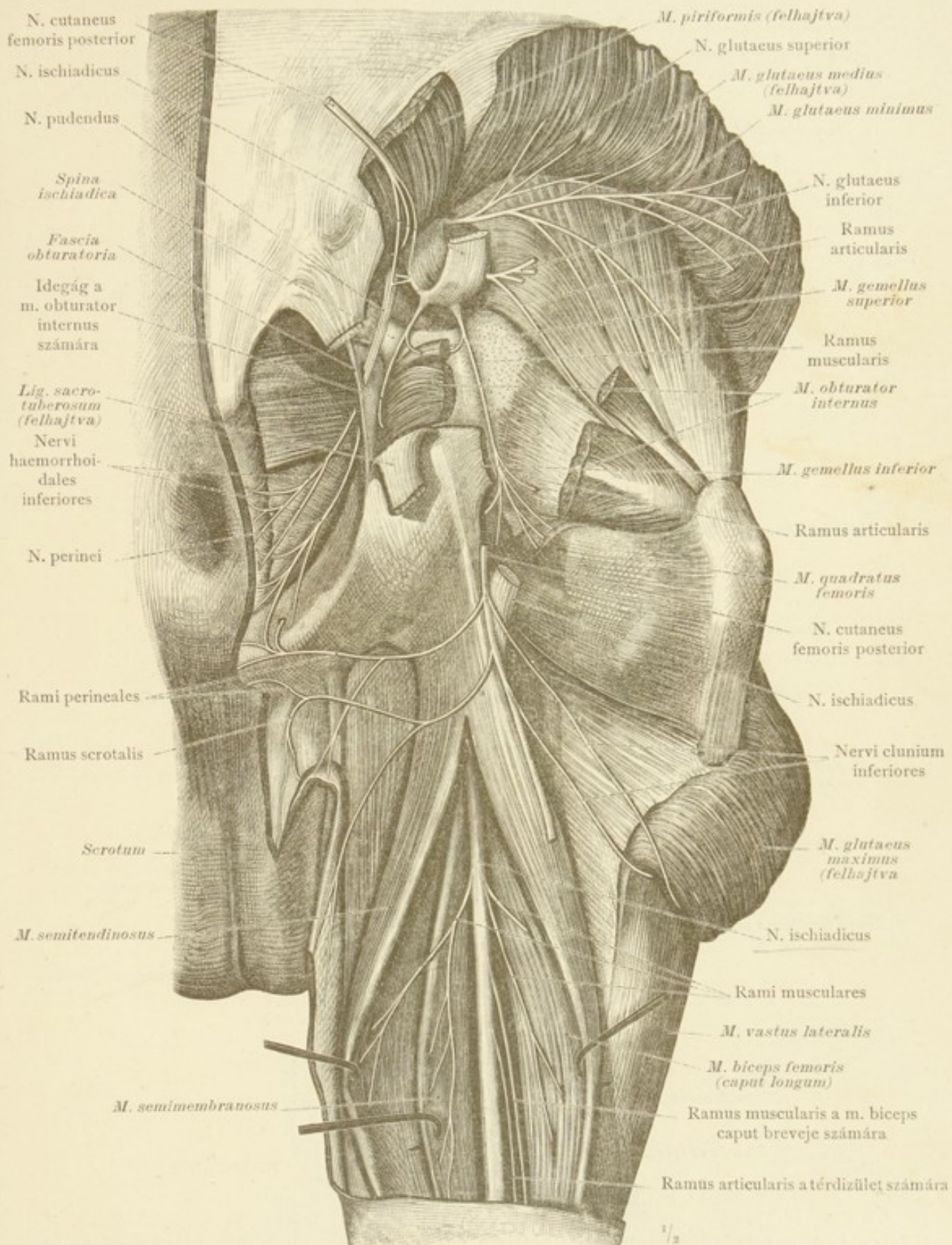
A comb mély idegei.





1276. rajz. A n. gluteus superior és inferior ágai a három farizomhoz és a m. tensor fasciae latae-hoz. A n. ischiadicus lefutása a fartájékon, a comb hátsó oldalán és kettéoszlása a n. tibialisra és a n. peroneus communisra.  
(A m. gluteus maximus és medius át van vágva és fel van hajtva.)

A csípő és a comb mély idegei.

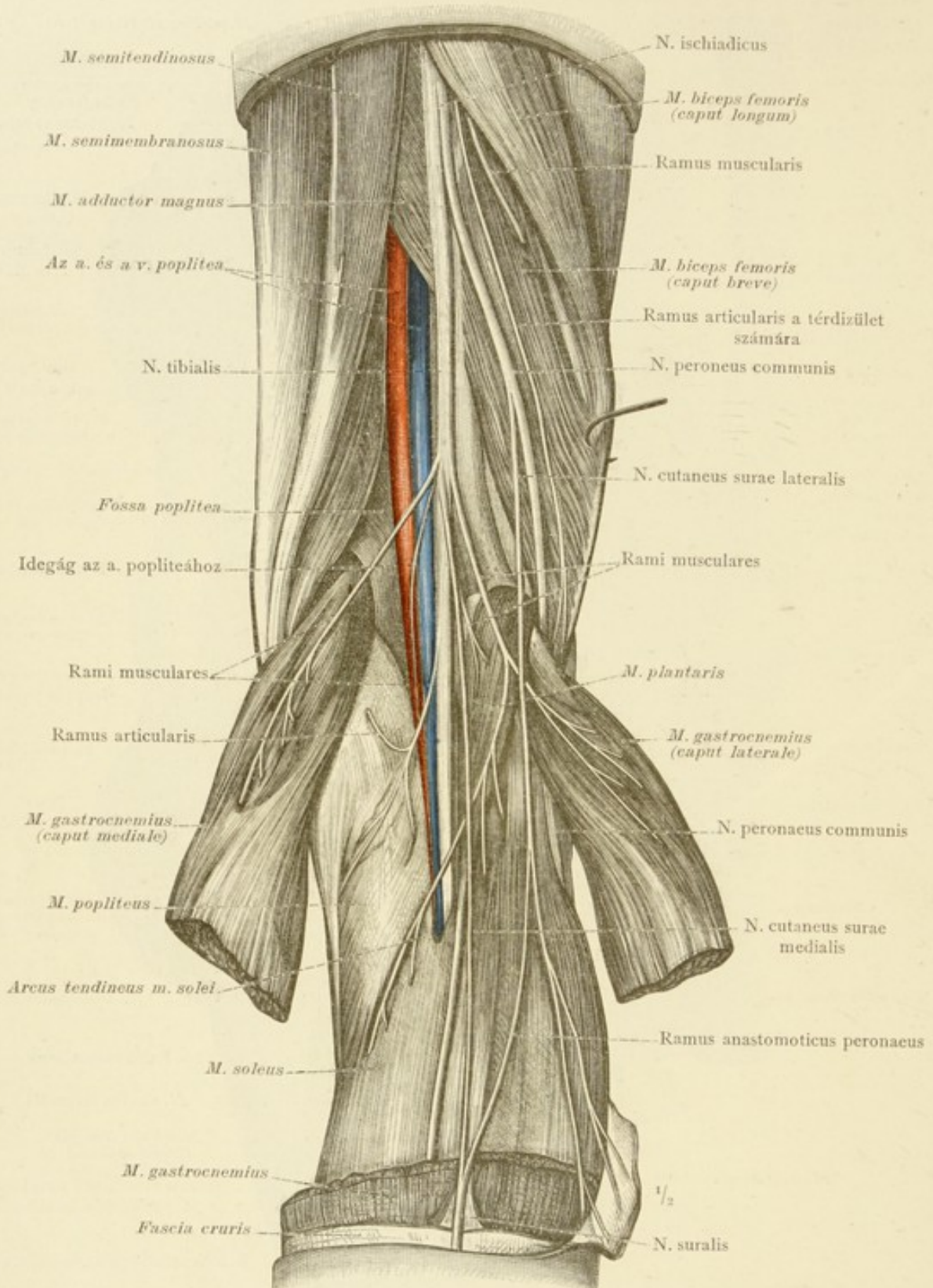


1277. rajz. A fartájék mély izmainak és a gáttájék bőrének idegei. A n. pudendus bejutása a spina ischiadica mögött, a fascia obturatoriaán keresztül, a fossa ischiorectalisba.

(A n. ischiadicus és a n. cutaneus femoris posterior ketté van vágva és proximalis csomkjuk fel van emelve. A lig. sacrotuberosum át van vágva és a fascia obturatoria-ról le van választva.)

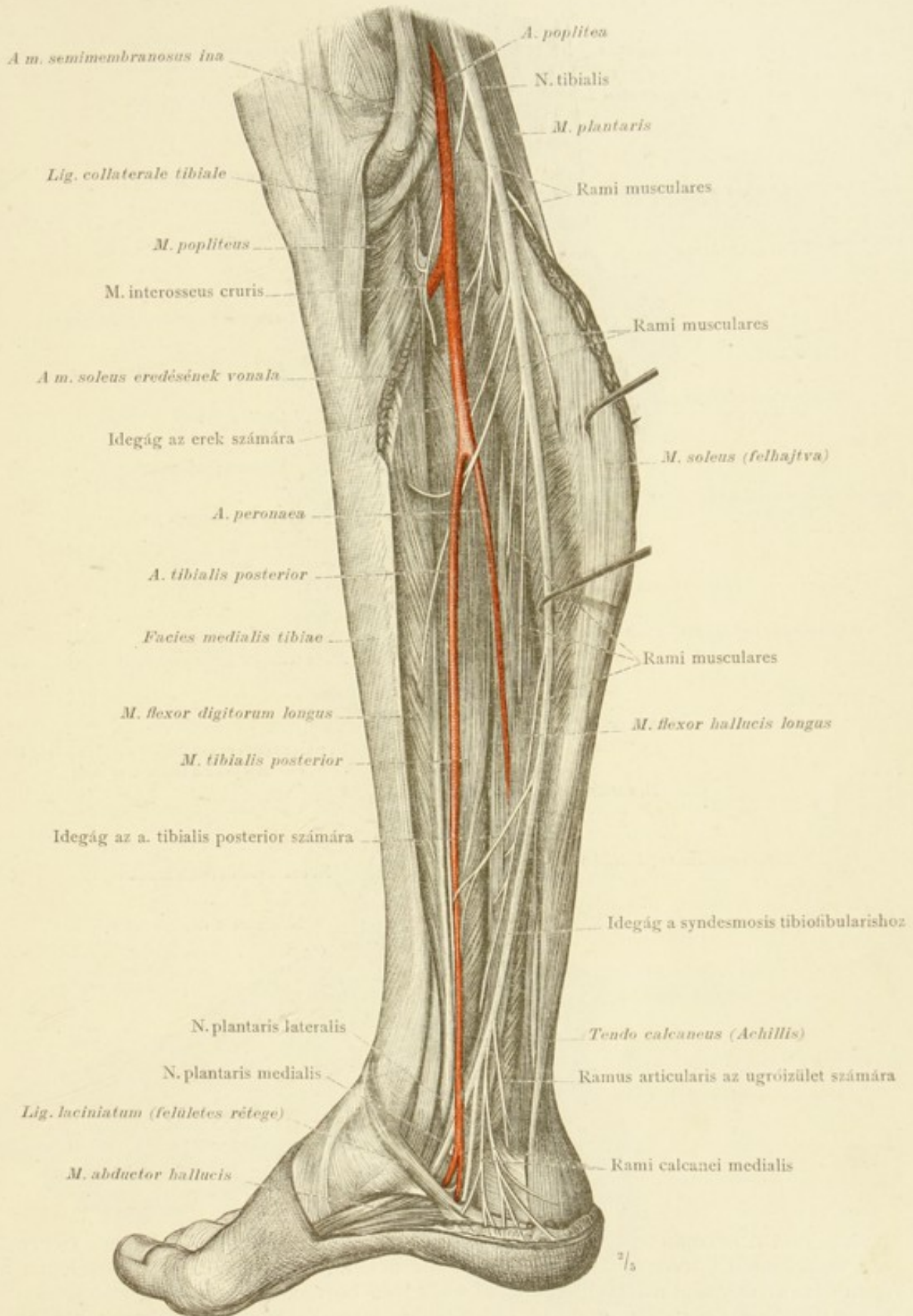
A csípő és a comb mély idegei.





1278. rajz. A n. ischiadicusnak a n. tibialisra és a n. peroneus communisra oszlása. A n. tibialis fekvése az a. és v. popliteához és ezen idegből a térdalji árokban eredő izomágak. A n. cutaneus medialis és lateralis, melyekből a ramus anastomoticus peroneus közvetítésével ebben az esetben magasan, már a lábikra felett, a n. suralis alakul. — (A m. gastrocnemius két fejének átvágásával és kétoldalra hajtásával, a m. popliteus, a m. soleus és a m. plantaris valamint ennek ina láthatók.)

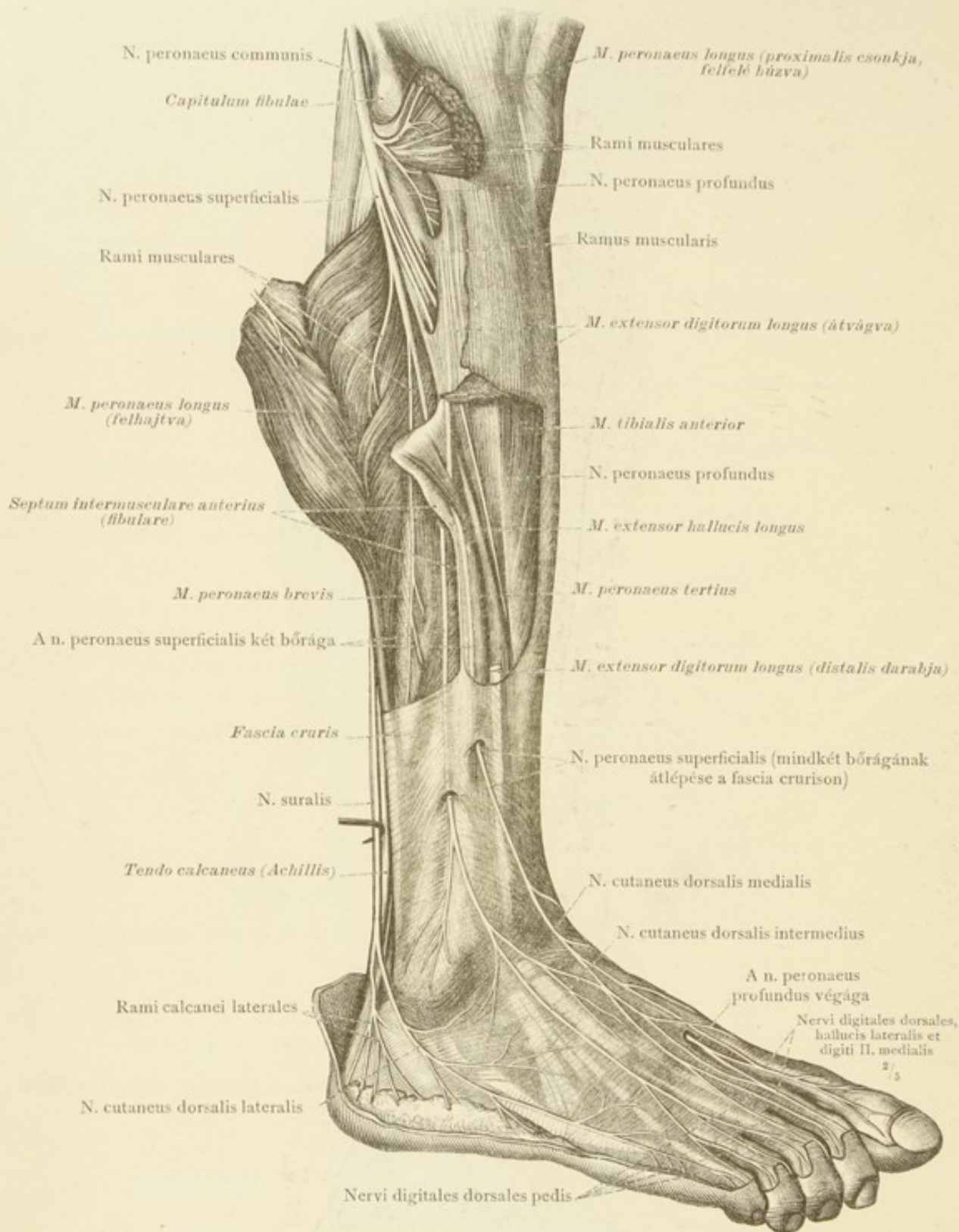
A térdalj idegei.



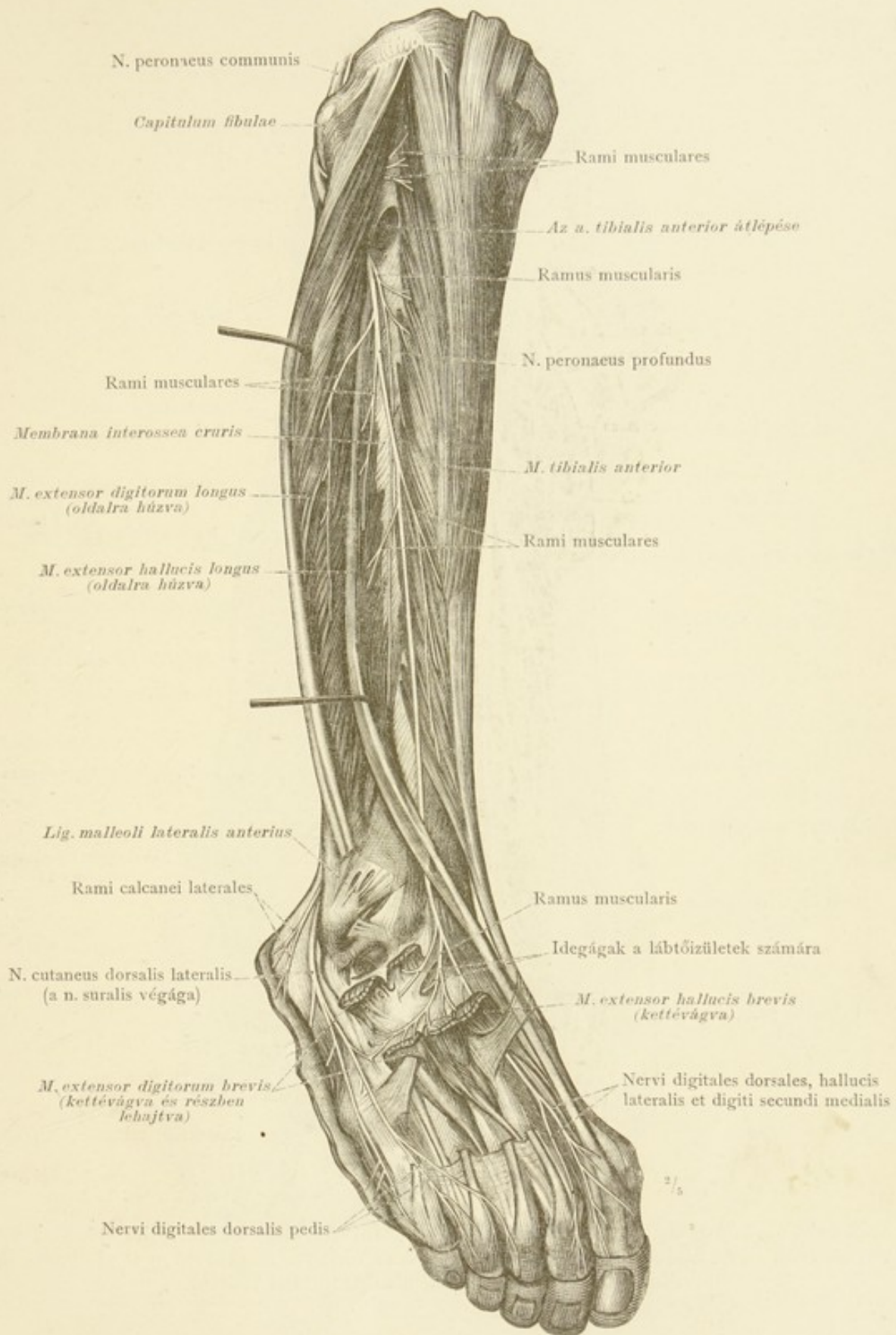
1279. rajz. A n. tibialisnak, a lábszár hátulsó oldalának mély izmaihoz és a sarok bőréhez menő ágai; oszlása a n. plantaris medialisra és lateralisra. Medialis oldalról nézve. — (A m. soleus eredése a tibián le van vágva és az izom hátra van húzva.)

A lábszár idegei.





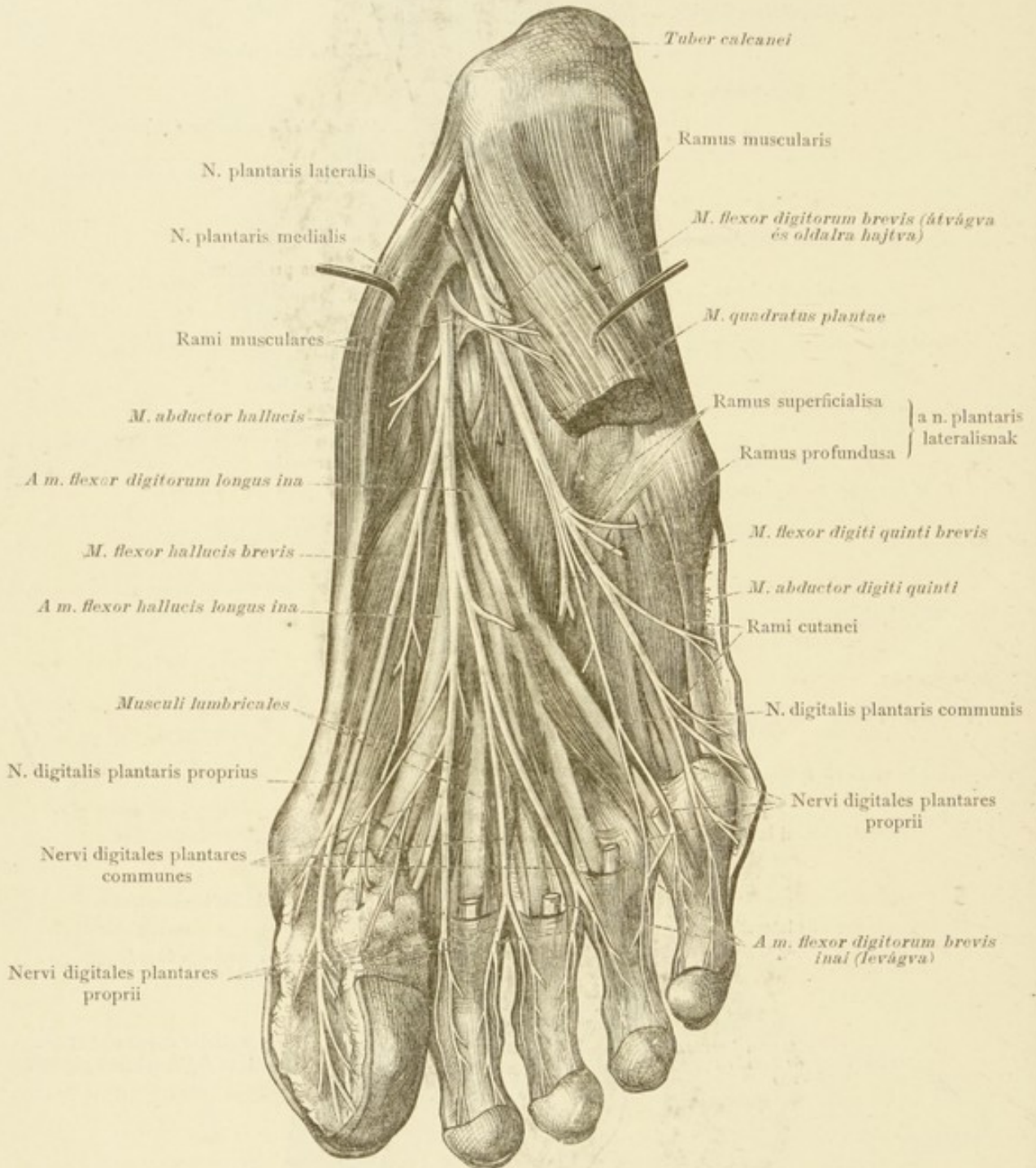
1280. rajz. A n. peroneus communis oszlása és ágai a m. peroneus longushoz és brevishez és a lábhát bőréhez. A n. peroneus superficialis, mely már a térd közelében két ágra oszlik: úgymint a lábhát medialis és középső bőrágára. Ezen két bőridegnek és a n. suralisnak elágazódása, mely utóbbi a lábhát lateralis bőridegét alkotja; továbbá a n. peroneus profundus végágai. Oldalról nézve. — (A m. peroneus longus felső darabja kettévágva és széjjelhúzva.)



1281. rajz. A n. peroneus profundusnak a lábszár elülső izmaihoz és a lábháthoz menő ágai. A n. suralis elágazódása a lábon; a n. suralis, ebben az esetben, a 4. és 3. ujjra is átterjed a míg az 1280. rajz készítményében csak az 5. ujj külső oldalára terjed ki.

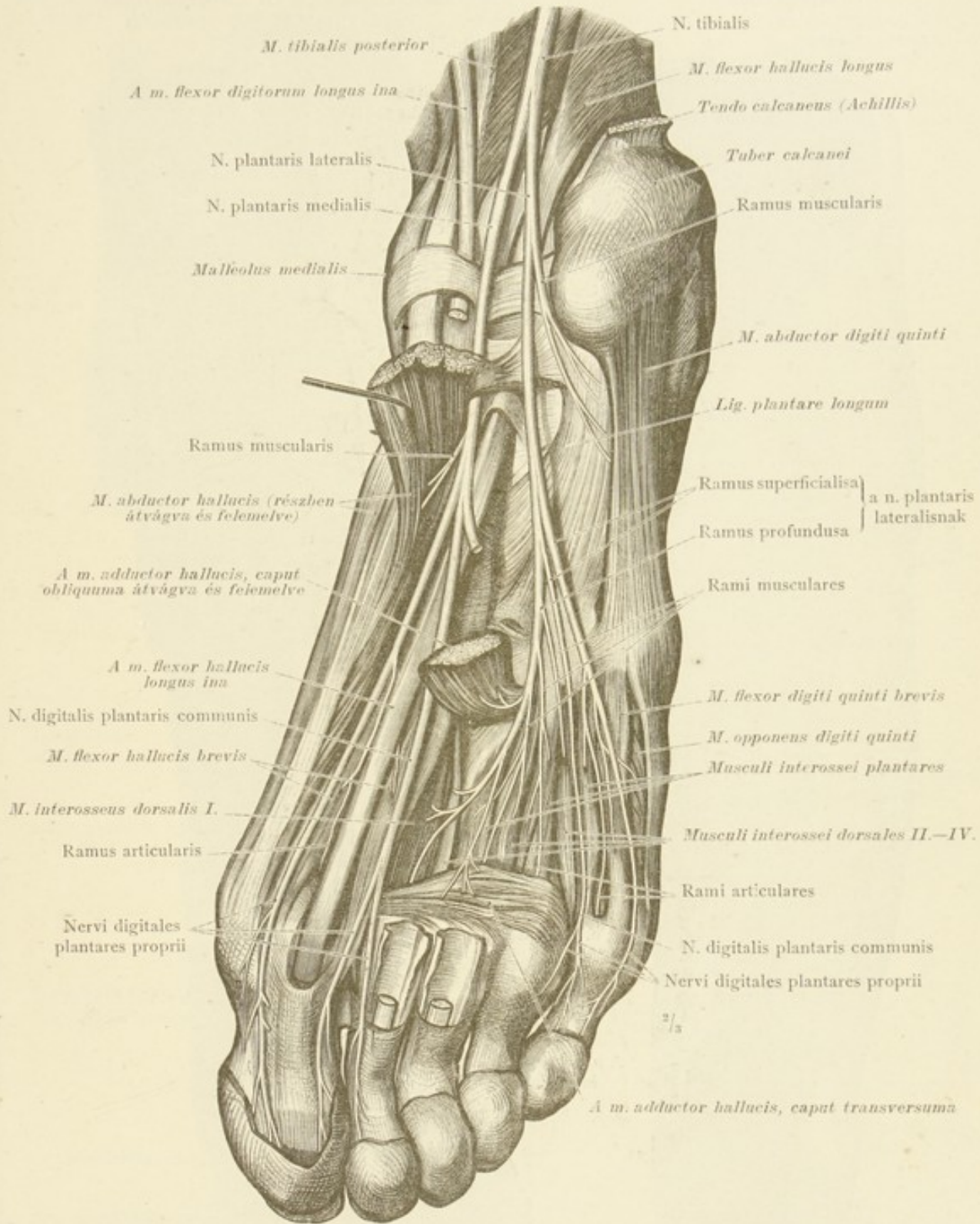
A lábszár és a láb idegei.





1282. rajz. A talp mély idegei az aponeurosis plantaris és a rövid ujjhajlítóizom eltávolításával. A m. abductor hallucis hátsó része oldalra húzásával a n. plantaris medialisnak és lateralisnak a talpra jutása látható.

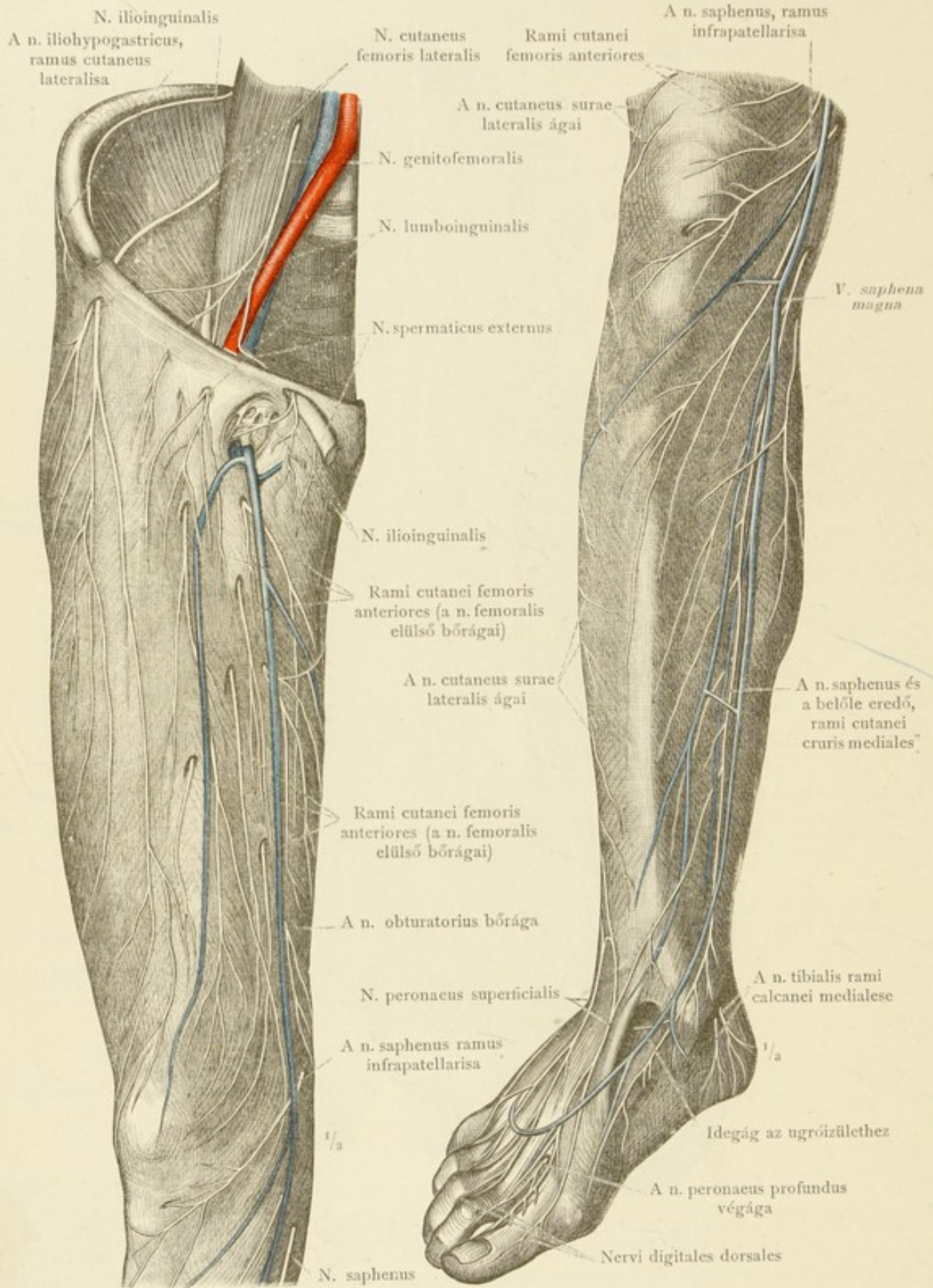
A talp idegei.



1283. rajz. A n. plantaris lateralis mély ága és a talp mély izmainak idegei, a hosszú és a rövid ujjhajlítóizom és a m. adductor hallucis caput obliquumának eltávolításával. A n. plantaris medialis és lateralis áthajlása a lábszárról a talpra, a lig. lacineatum felületes rétegének és a m. abductor hallucisnak átmetszésével.

A talp idegei.





1284. rajz. A comb elülső és medialis oldalának bőridegei.

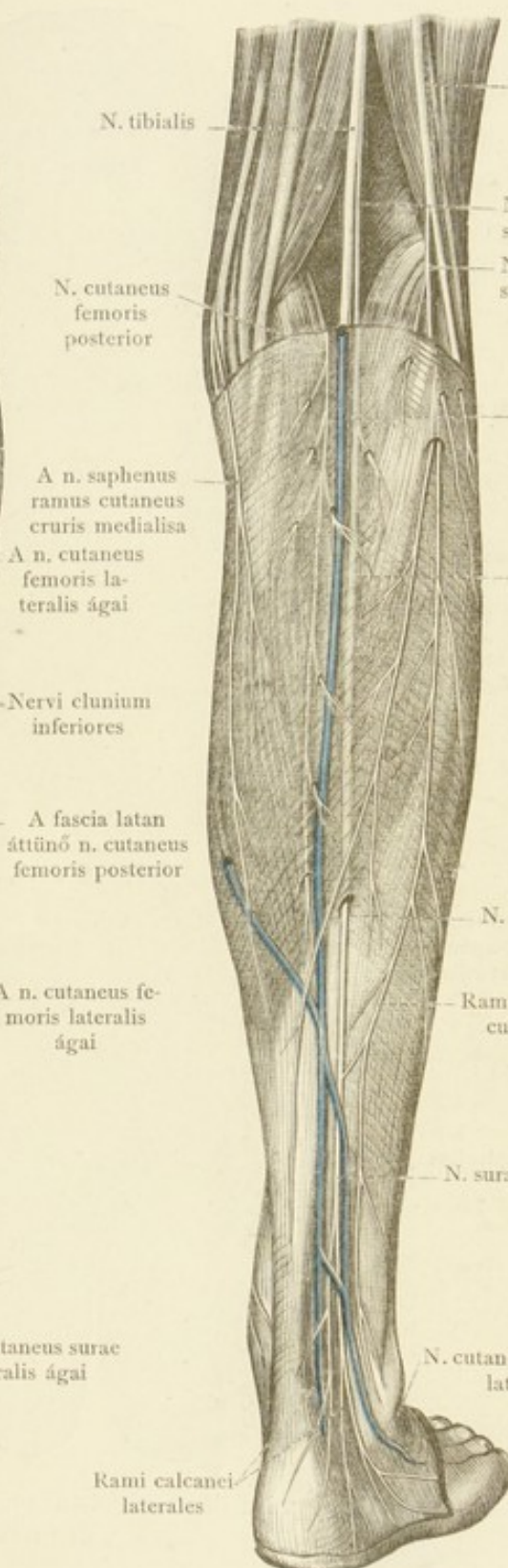
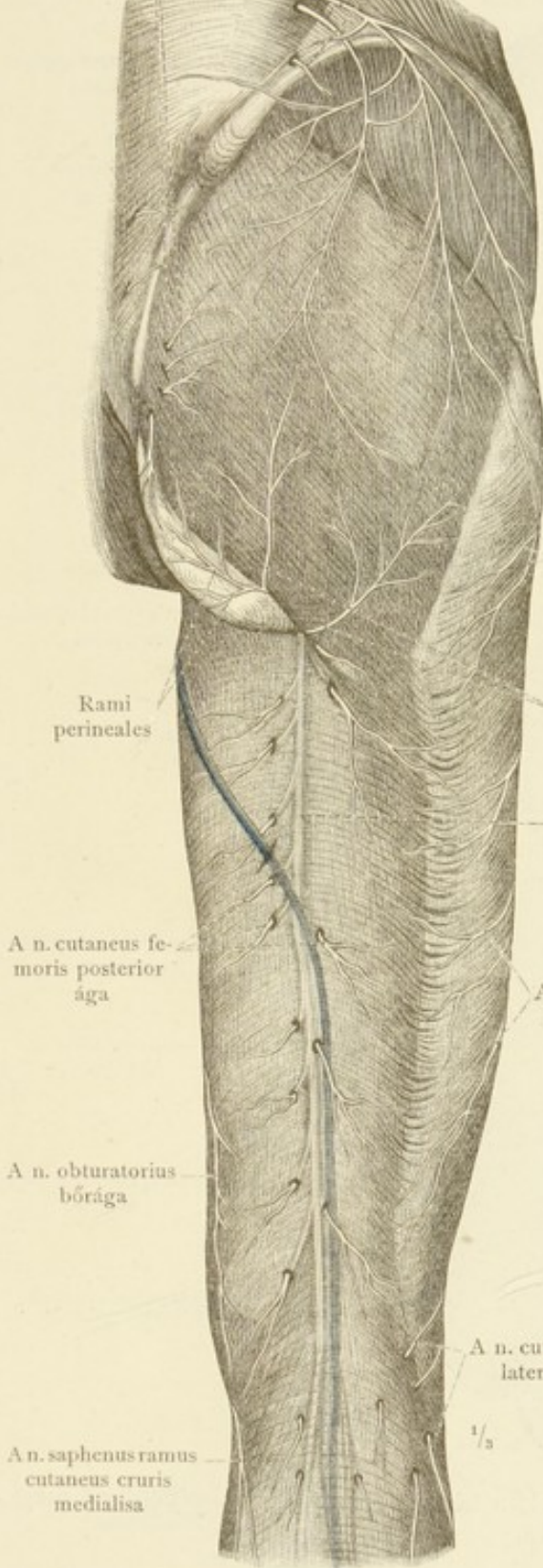
1285. rajz. A lábszár és a láb medialis és elülső oldalának bőridegei.

Az alsó végtag bőridegei.



Nervi clunium  
medii

Nervi clunium superiores



N. peronaeus communis

N. cutaneus surae medialis

N. cutaneus surae lateralis

V. saphena parva

A fascian áttűnő n. cutaneus surae medialis

N. cutaneus surae medialis

Ramus anastomoticus peronaeus

N. suralis

N. cutaneus dorsalis lateralis

1286. rajz. A csipőtájéék és a comb hátsó oldalának bőridegei.

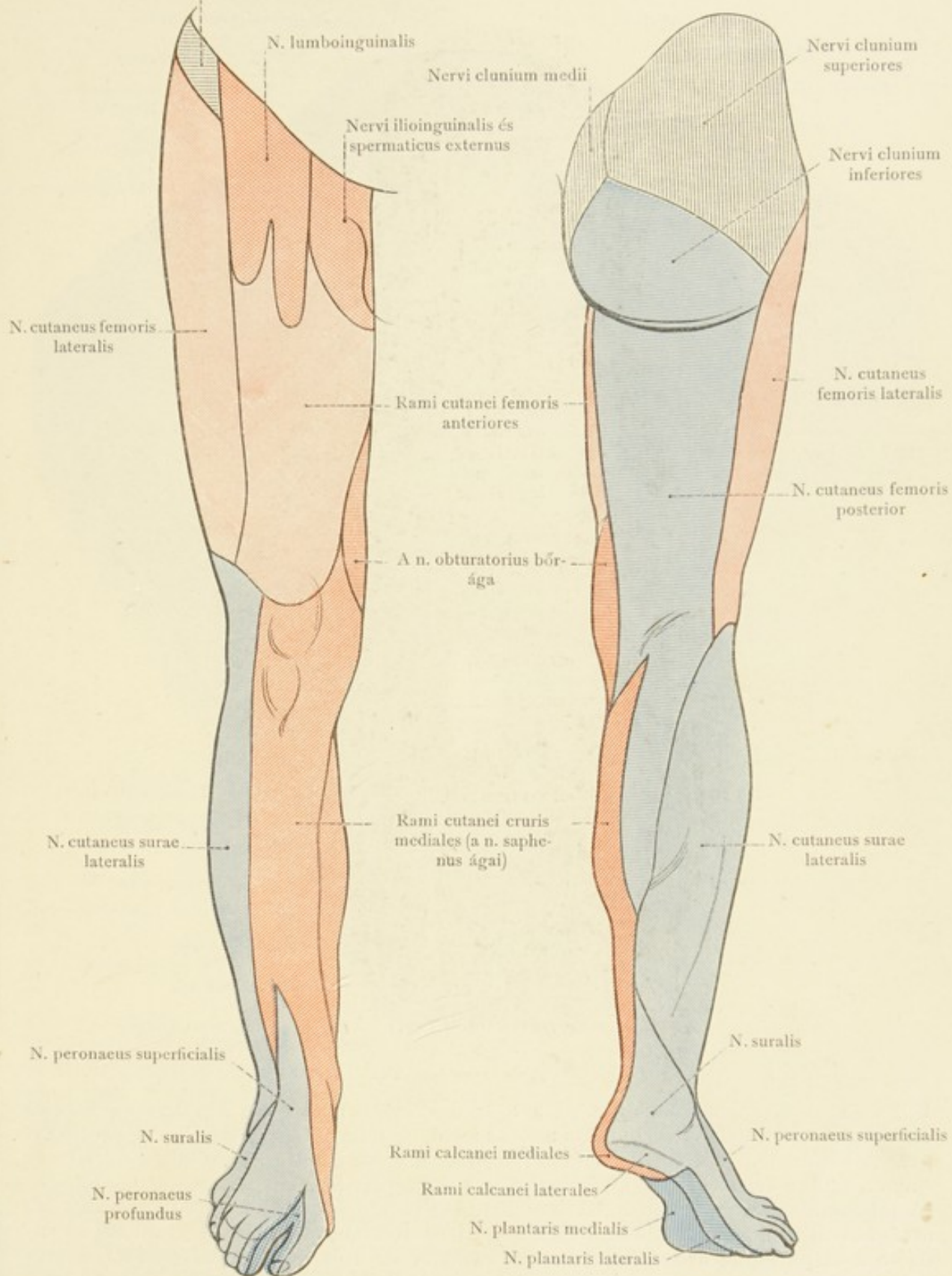
1287. rajz. A lábszár hátsó oldalának bőridegei.

Az alsó végtag bőridegei.





A n. iliohypogastricus, ramus cutaneus lateralis

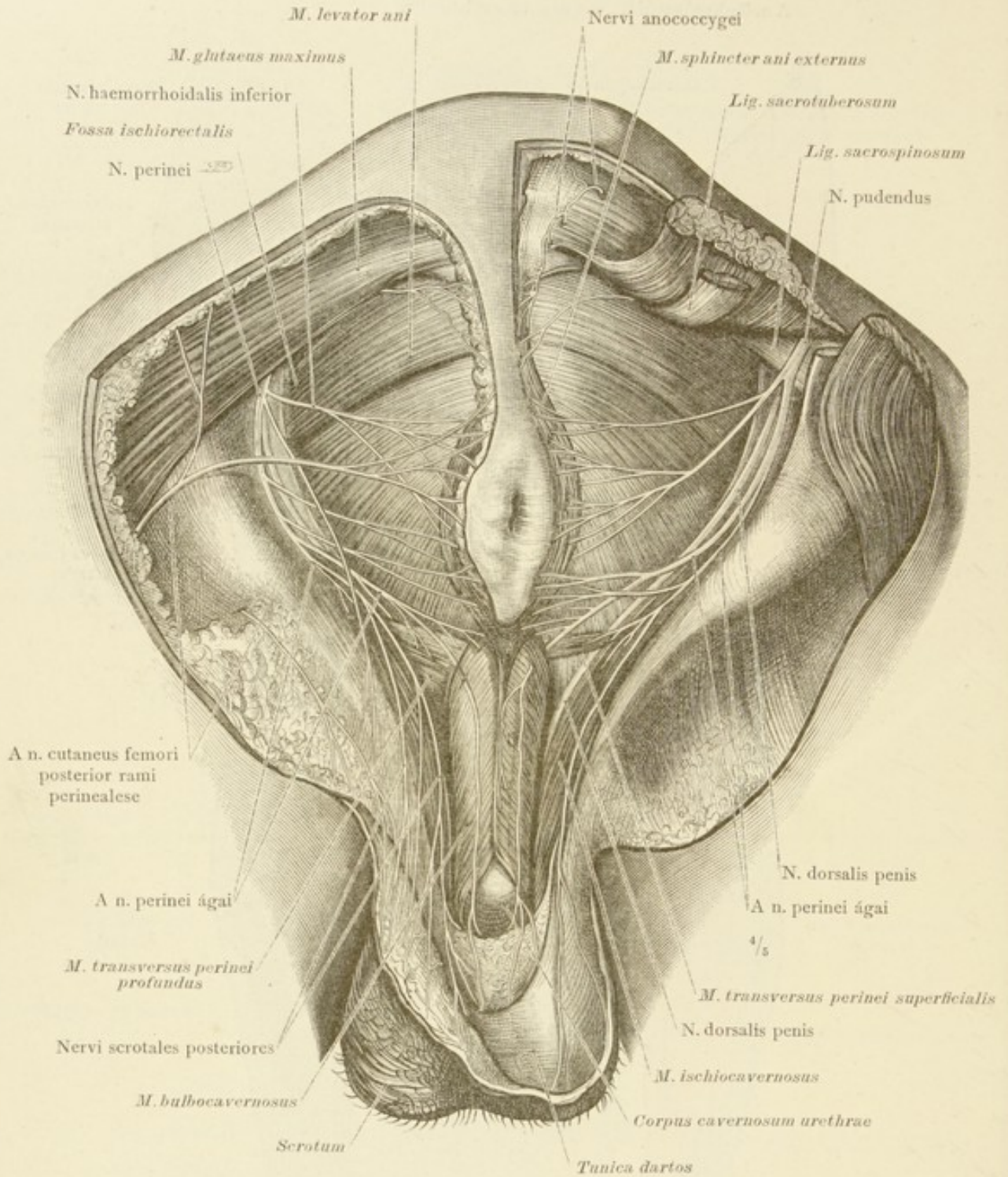


1289. rajz. Az alsó végtag idegeinek bőrterületei, az elülső oldalon.

1290. rajz. Az alsó végtag idegeinek bőrterületei, a hátsó oldalon.

Az alsó végtag bőridegei.

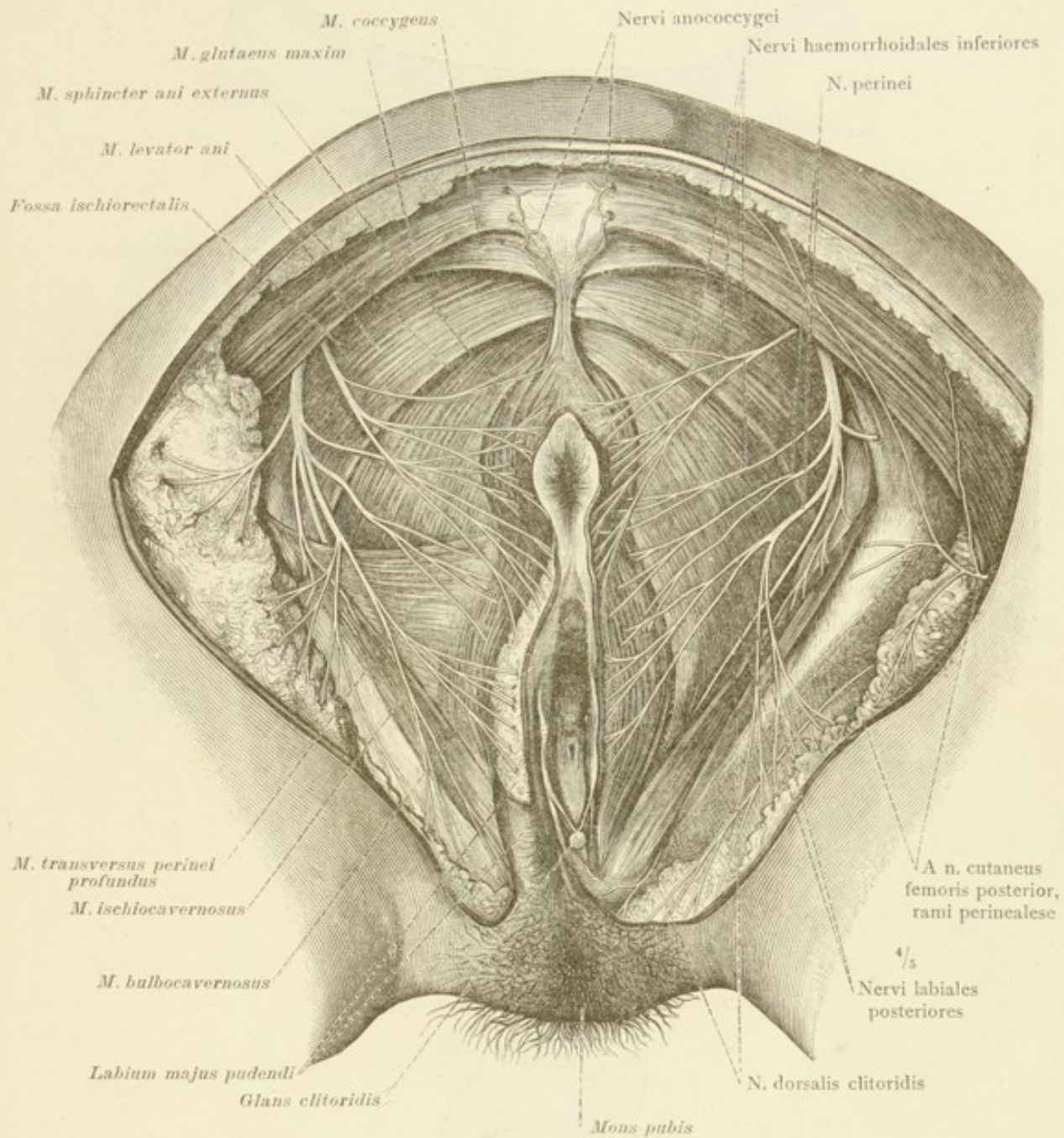




1291. rajz. A n. pudendus elágazódása a férfi gáttájékában és a herezacskó hátulsó oldalán. A n. dorsalis penis lefutása a fossa ischiorectalis oldalsó falán. Nervi anococcygei. A baloldalon a n. cutaneus femoris posterior rami perinealesei láthatók, a mely ágak egyike ezen esetben kivételesen erős és a végbélnyílás bőrében ágazodik el. (A jobboldalon, a m. gluteus maximus hátsó részének és a lig. sacrotuberosumnak átvágásával a n. pudendus belépése a fossa ischiorectalisba látható. Ugyanezen az oldalon a diaphragma urogenitale el van távolítva, de a m. transversus perinei superficialis meg van tartva. A fascia obturatoria takarta n. pudendus és legelső ágai, a fasciából ki lettek fejtve.)

A férfi gáttájékának idegei.



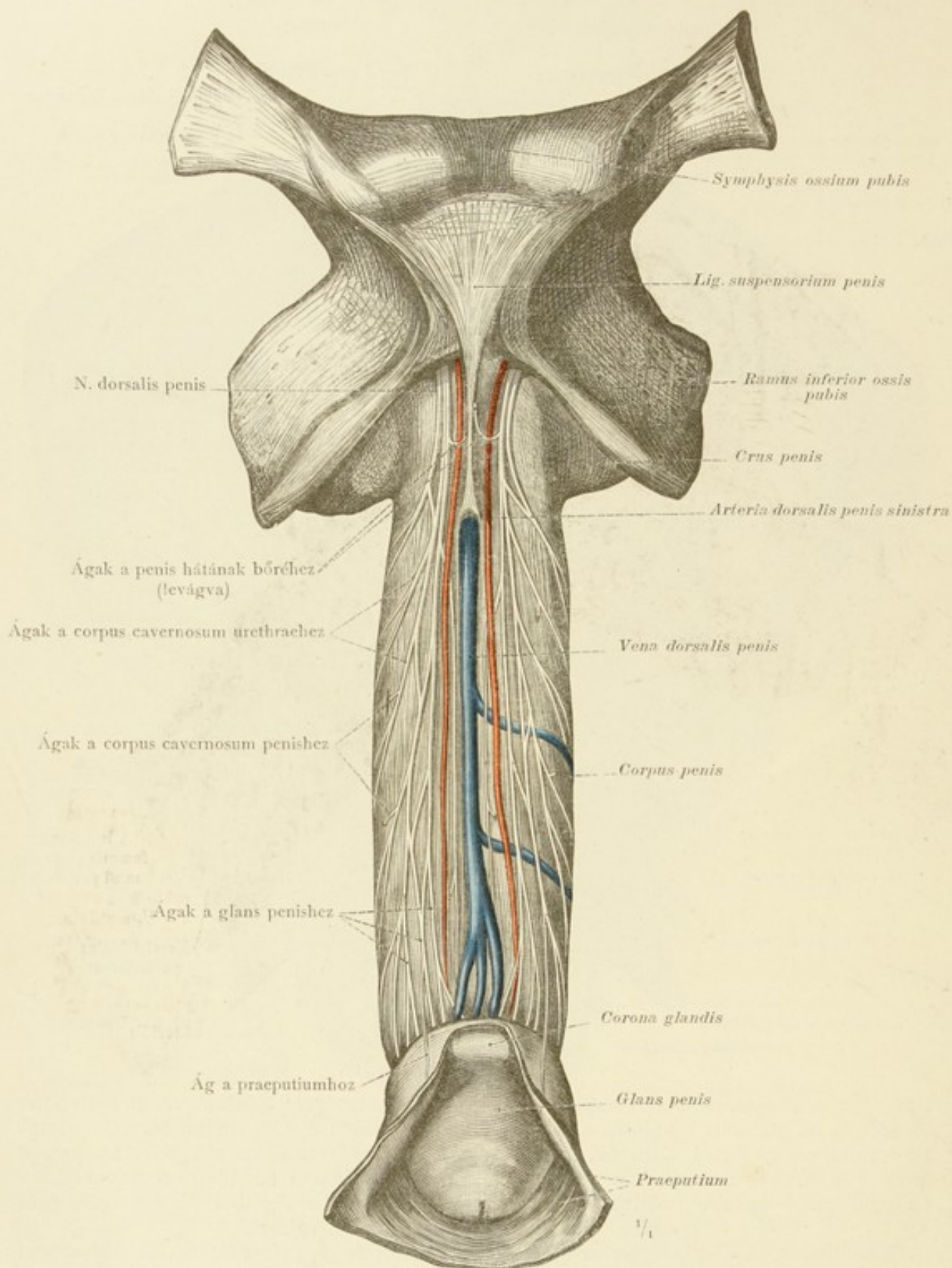


1292. rajz. A n. pudendus elágazódása a női gát és szeméremtájékban. A n. pudendus törzsét, a m. glutaens maximus eltakarja. A jobboldalon a n. cutaneus femoris posterior rami perinealesei láthatók, kivéve a nagy szeméremajkakhoz húzódó ágakat, a melyek le vannak vágva. A nervi anococcygei kialakulása a farkideg hátsó ágából, és azon átfuró ágakból, melyek a 4, 5, sacralis ideg elülső ágaiból és a farkidegből erednek. Hasonlítsuk össze az 1295. rajzzal.

(A jobboldalon, a diaphragma urogenitale, valamint a nagy szeméremajak teljesen el van távolítva; a baloldalon a nagyszeméremajak bőre csak részben van eltávolítva.)

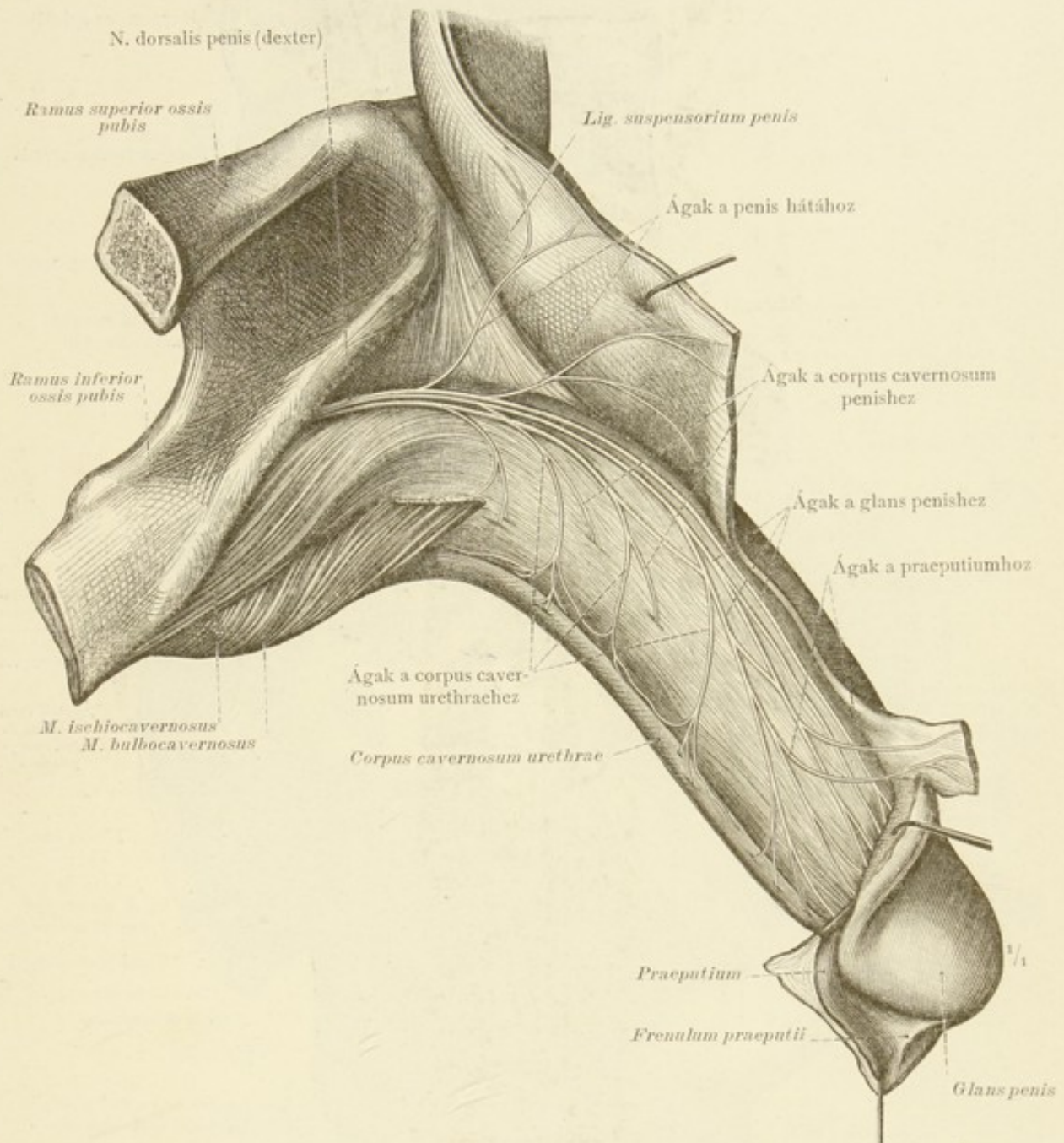
A nő gattájékának idegei.





1293. rajz. A n. dorsalis penis elágazódása a penis hátán, az a. és a v. dorsalis penissel. (A penis bőre, a praeputiumig el van távolítva; a praeputium pedig a hátulsó oldalán át van vágva.)

### A penis idegei.

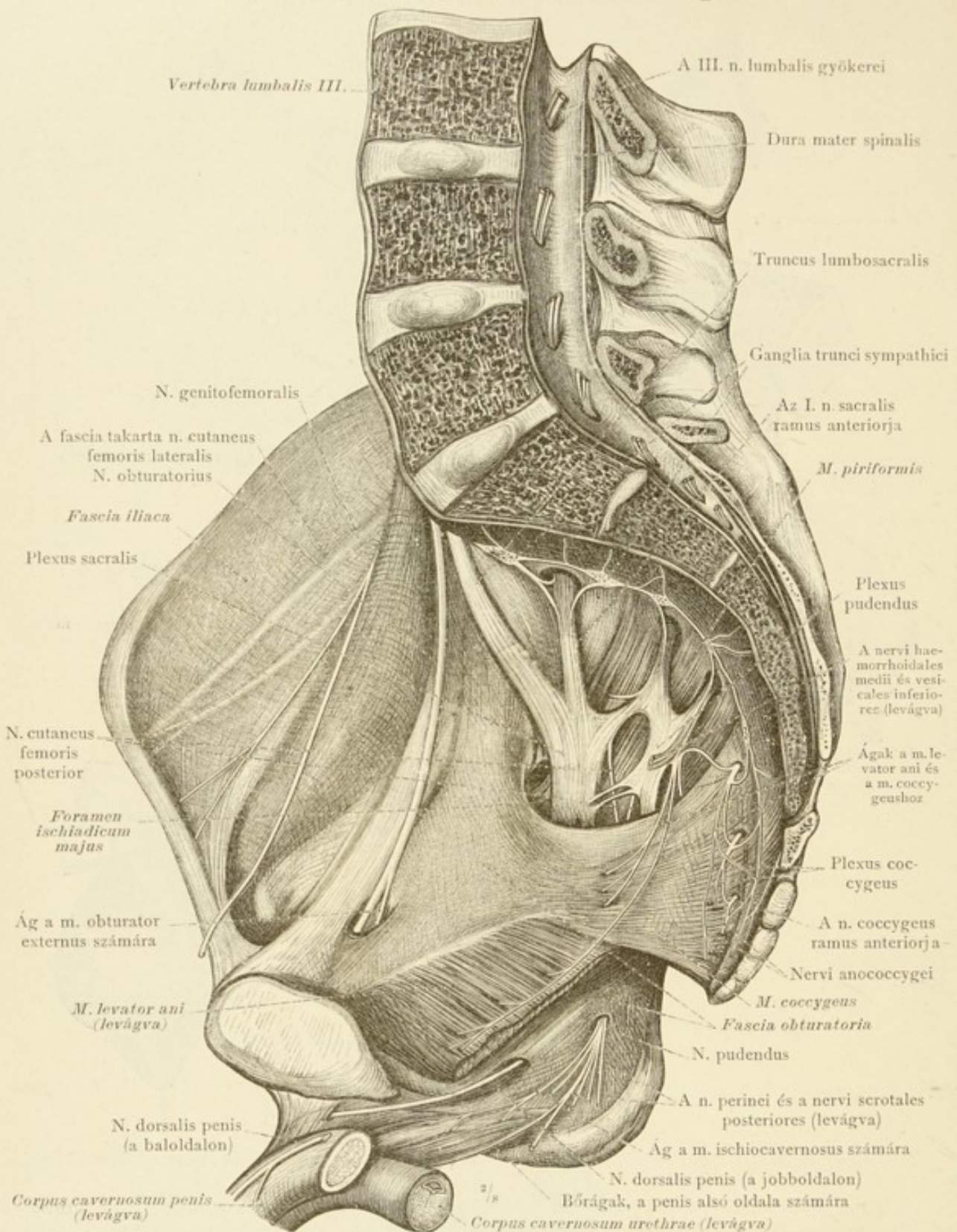


1294. rajz. A n. dorsalis penis elágazódása a penisben s ennek bőrében. Jobboldalról nézve.

(A penis jobboldalának és a mons pubisnak megmaradt bőre fel van emelve. A m. bulbocavernosus elülső részének átvágásával, a n. dorsalis penisnek beléje haladó ága látható.)

A penis idegei.





1295. rajz. A plexus sacralis, a plexus pudendus és a plexus coccygeus, a férfigmedence median-sagittalis metszetének jobb felében. A 3, 4, sacralis idegekből eredő ágak a m. levator ani és a m. coccygeus számára. Ágak a n. coccygeus elülső ágaiból és az utolsó sacralis idegből, melyek a szimpatikus idegrendszer egy ágával összekötődve a m. coccygeust átfurják és a nervi anococcygei alkotásában segédkeznek (összehasonlítandó az 1292-ik rajzzal). A n. pudendus ágainak áthaladása, a fascia obturatorian, a fossa ischiorectalisba.

A plexus sacralis, a plexus pudendus és a plexus coccygeus.

SYSTEMA NERVORUM  
PERIPHERICUM.

A PERIFERIAS IDEG-  
RENDSZER.

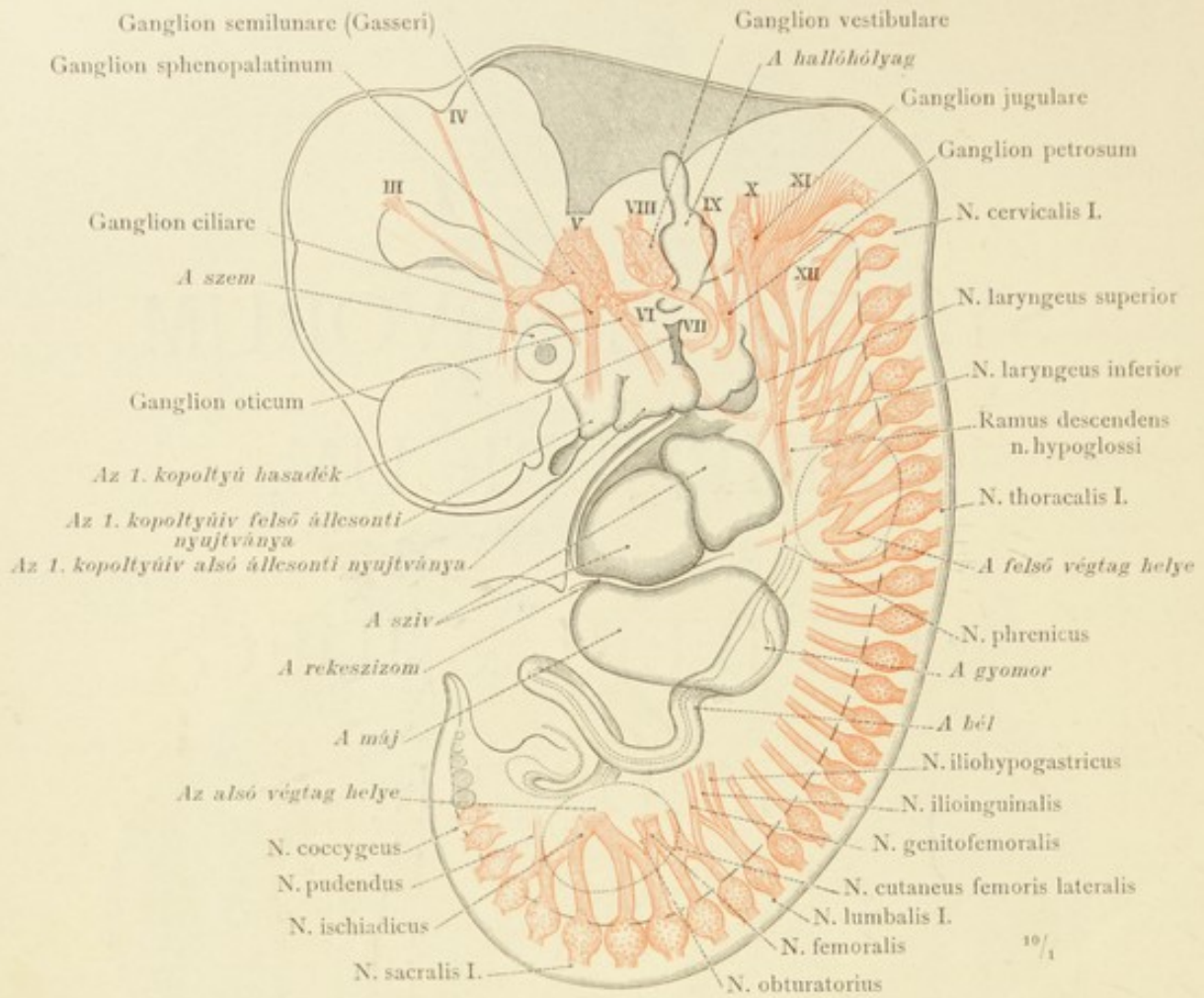
—•—

NERVI CEREBRALES.

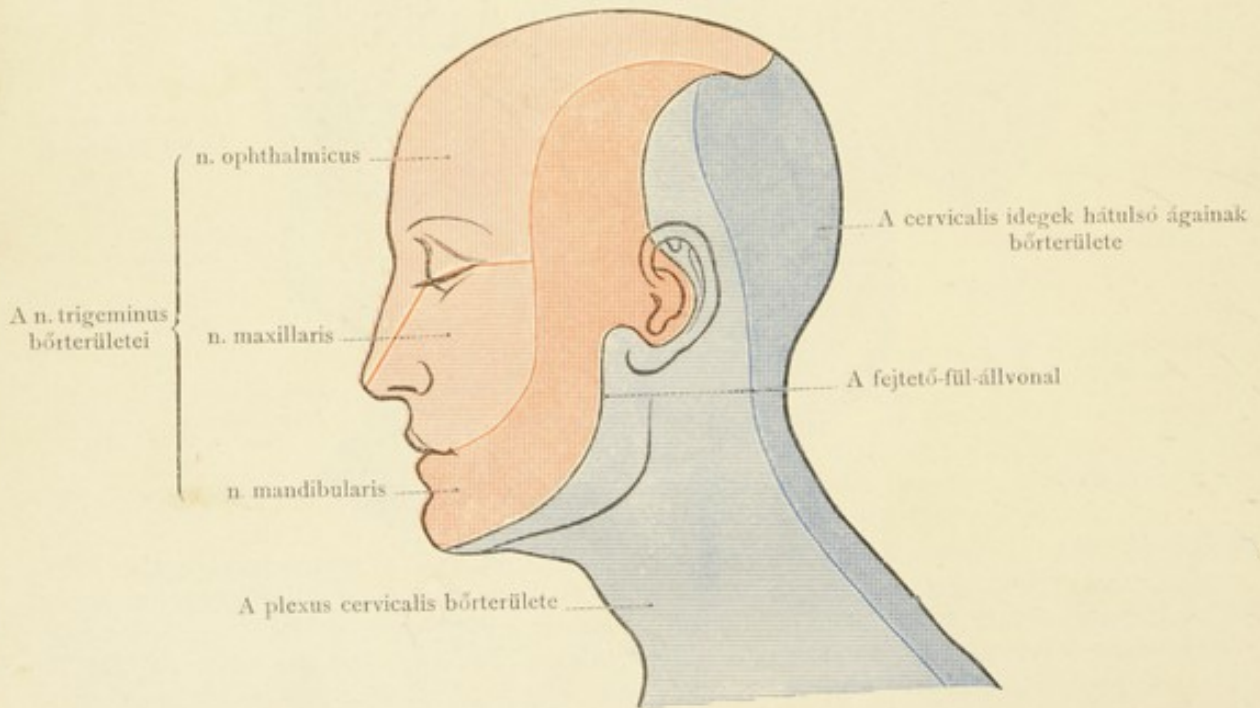
AZ AGYVELŐIDEGEK.

—•••—



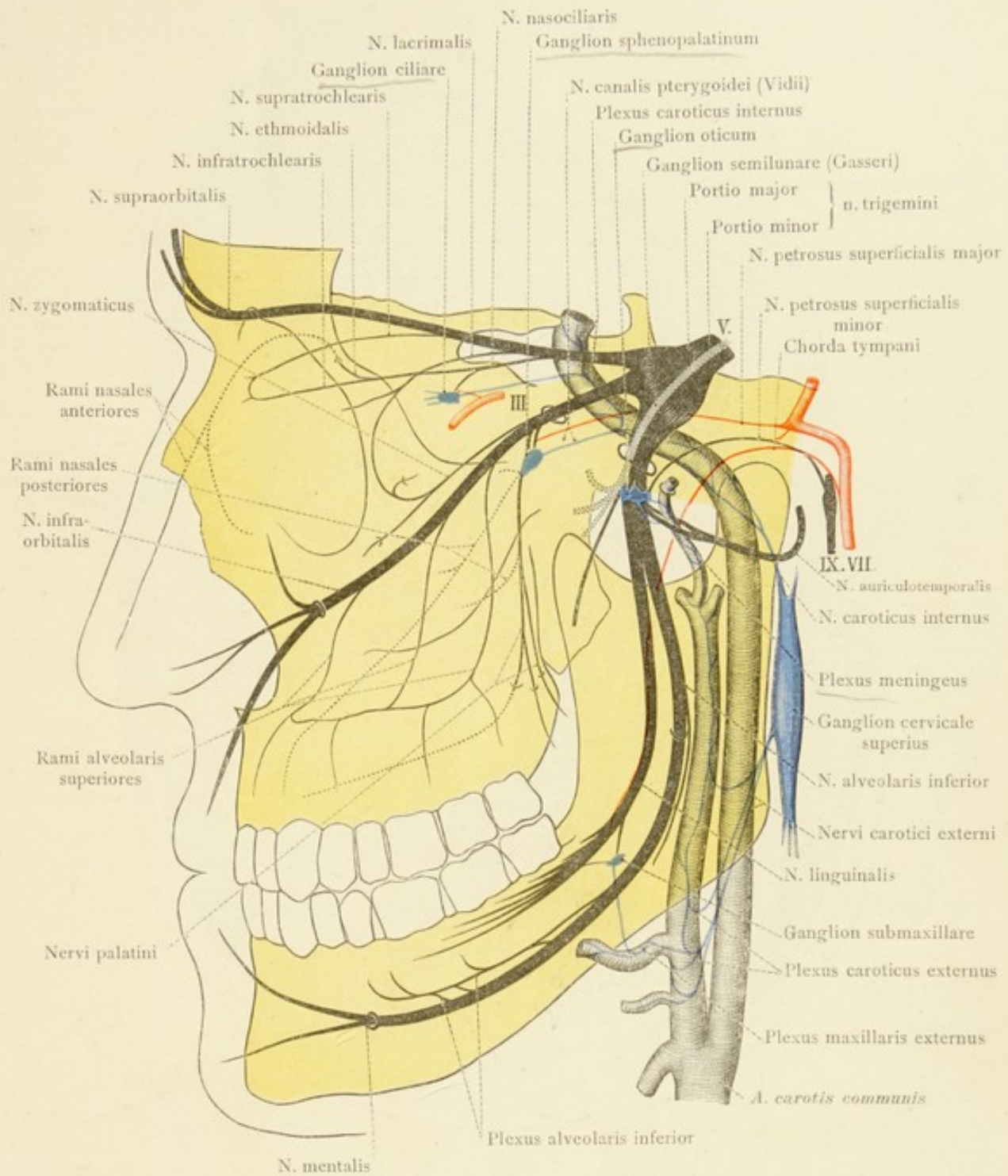


1296. rajz. A cerebrospinalis idegrendszer termőhelye, 10<sup>2</sup> mm hosszú (körülbelül 32 napos) emberi magzatban. His W. szerint.



1297. rajz. A n. trigeminus három ágának bőrterülete.

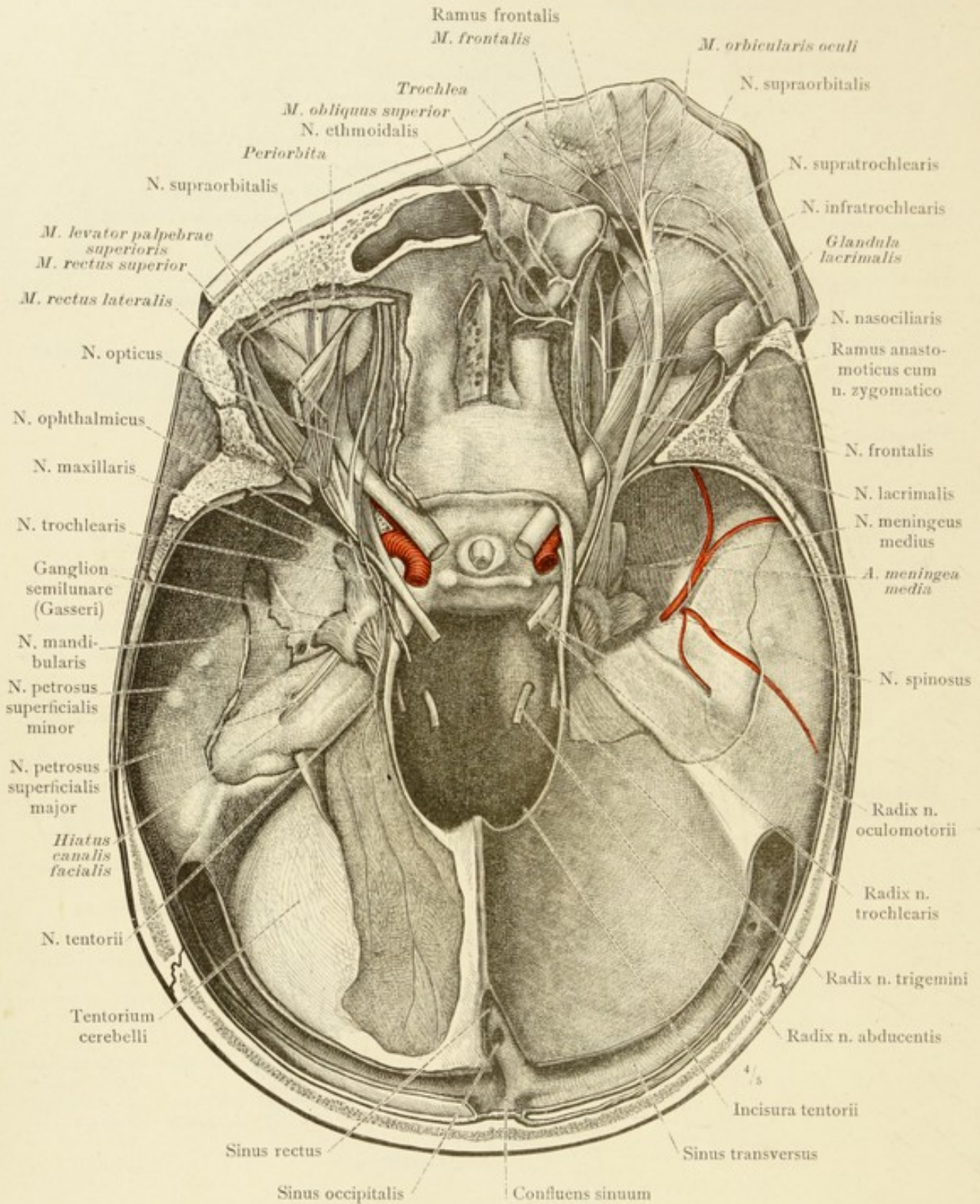
A nervus trigeminus.



1298. rajz. A n. trigeminus elágazódásának és fontosabb összeköttetésekének sémája. (A n. oculomotorius (III) és a n. facialis (VII) piros; a trigeminus gyökere (V), a n. glosso-pharyngeus (IX) fekete. A n. trigeminus ganglionjai, valamint a szimpatikus idegrendszer részei kékek.)

A trigeminuscsoport idegei.



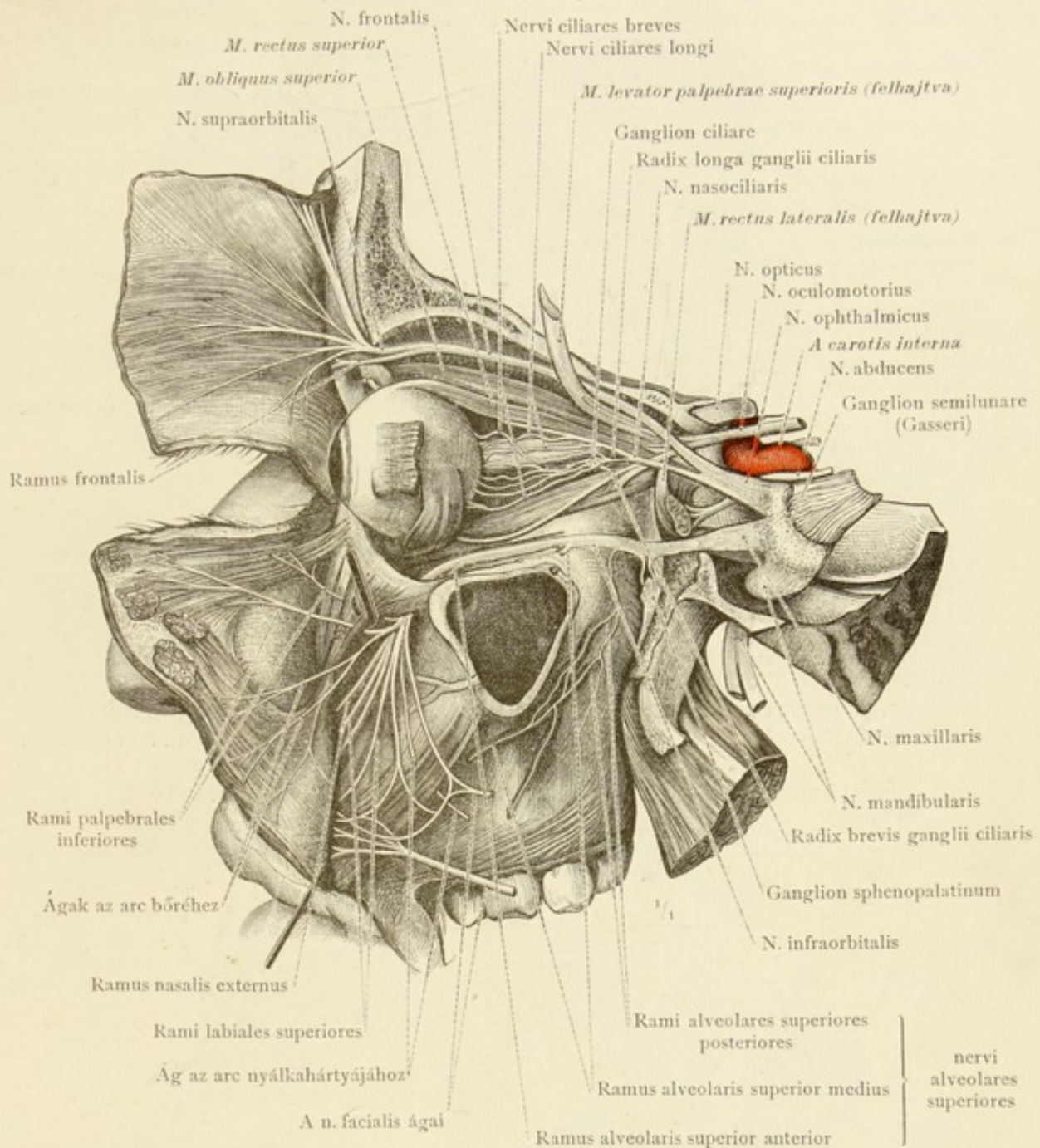


1299. rajz. A n. trigeminus 1-ső ága, a n. ophthalmicus, valamint a n. oculomotorius ramus superiorja és a n. trochlearis, a szemüreg tetejének eltávolításával. A kemény agyvelőburok idegei: a trigeminus 1-ső ágából eredő n. tentorii (eredését lásd a 1304. rajzban), a n. trigeminus 2-ik ágából eredő n. meningeus medius és a n. trigeminus 3-ik ágából eredő n. spinosus.

(A baloldalon a szemüreg felső széle meg van tartva, a m. levator palpebrae superioris és a m. rectus superior eredését átvágva és oldalra hajtva, a n. oculomotoriusnak az izmokba lépő ágai láthatók.)

A trigeminesoport idegei.

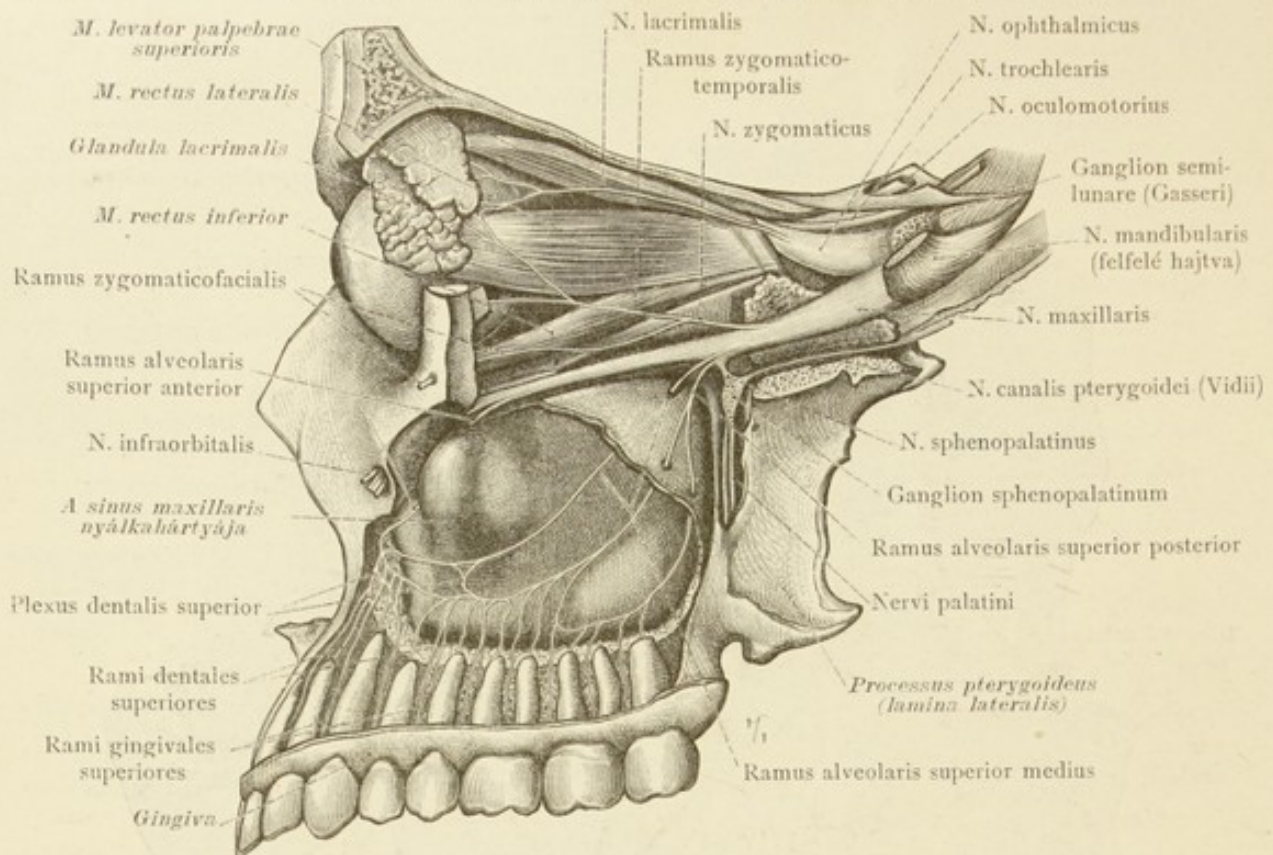




1300. rajz. A n. trigeminus 2-ik ága, a n. maxillaris és ennek összefüggése a ganglion sphenopalatinummal, a két n. sphenopalatinus útján. A felső állcsont fogainak idegei, nervi alveolares superiores. A n. maxillarisból jövő n. infraorbitalisnak kisugárzása az arcon. — A n. trigeminus első ágából jövő n. frontalis és a ganglion ciliare, a szemgolyót ellátó nervi ciliaressel együtt látható. A szemüreg baloldala, balról nézve. (A homlok és az arca bőre, a felületes arcizmokkal együtt el van távolítva és előre van húzva. Az állkapocs és a szemüreg oldalsó fala, valamint a koponya oldala, a fossa pterygopalatináig el van távolítva. A m. levator palpebrae superioris és a m. rectus lateralis átvágva és hátulsó részük hátra hajtva. A n. infraorbitalis kisugárzását fedő m. quadratus labii superioris kampóval fel van emelve.)

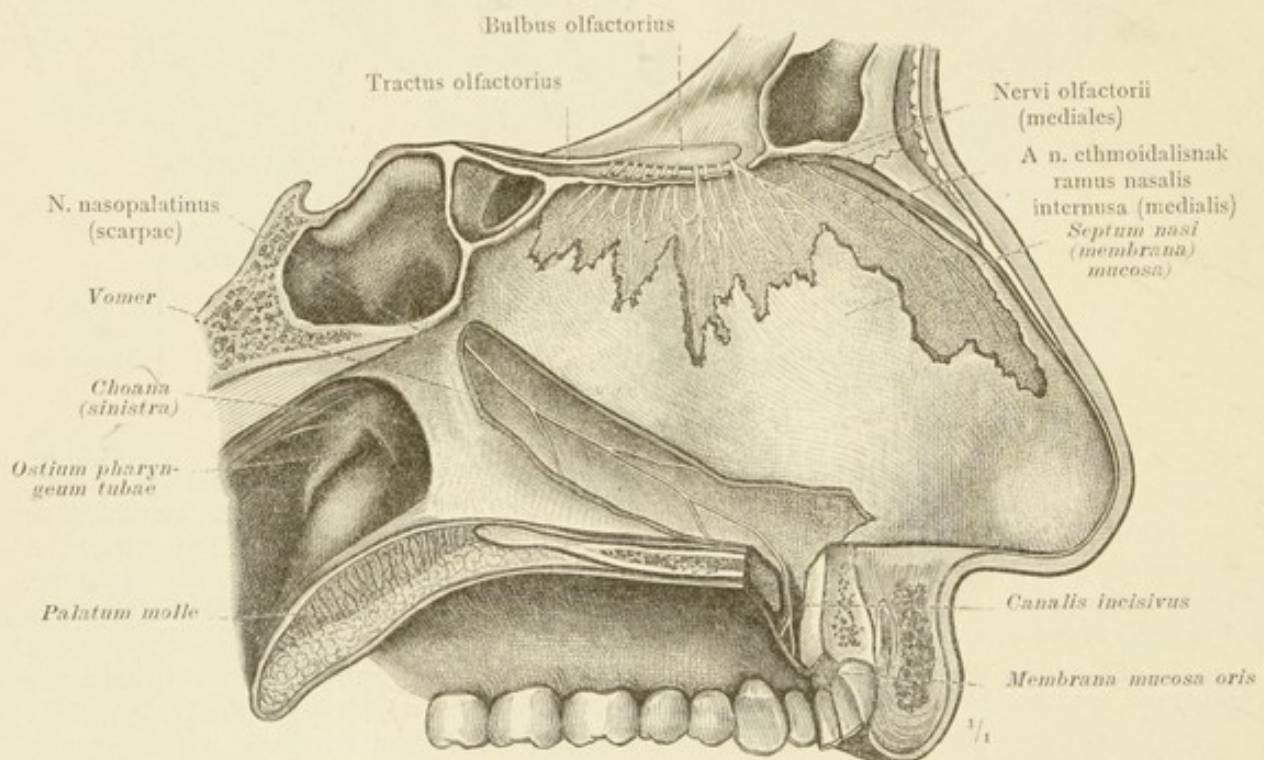
A trigeminuscsoport idegei.





1301. rajz. A felső állcsontnak a n. maxillarisból eredő fogidegei, nervi alveolares superiores, a plexus dentalis superior és rami dentales superiores, a felső állcsont külső lemezének eltávolításával. A n. zygomaticus és összefüggése a n. lacrimalissal. Az arc bal fele, baloldaltól nézve.

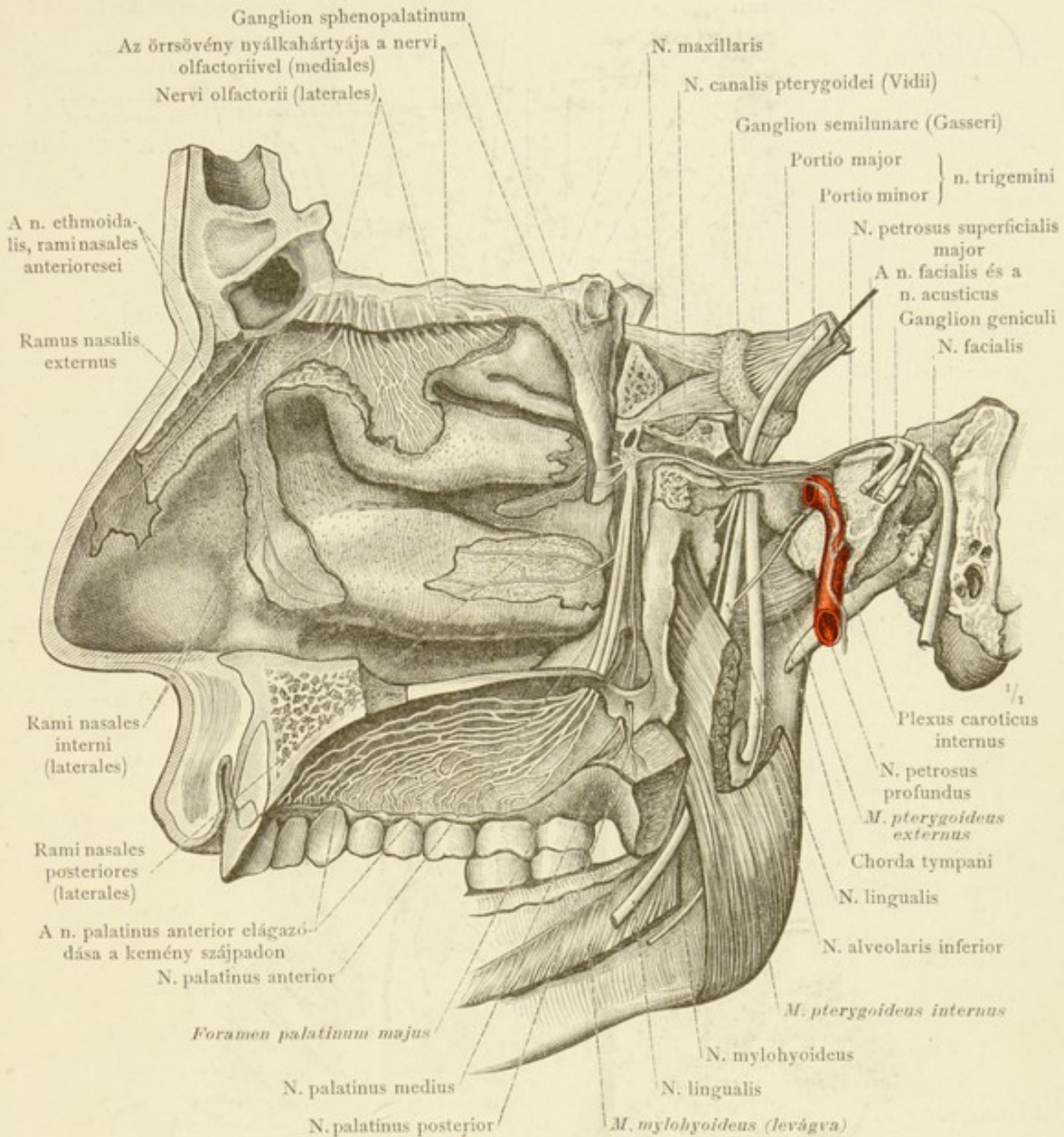
(Az állcsonti öböl nyálkahártyájának külső oldala látható.)



1302. rajz. A nervi olfactorii, a n. ethmoidalisnak ramus nasalis internusa (medialis) és a ganglion sphenopalatinumból eredő n. nasopalatinus, az orrsővény jobboldalán, a nyálkahártya kis csíkjának eltávolításával.

A trigeminus csoport idegei. — Nervi olfactorii, a szaglőidegek.





1303. rajz. A ganglion sphenopalatinum; gyökerei: a nervi sphenopalatini és n. canalis pterygoideus (Vidii); a n. maxillarisnak ezen ducából kisugárzó orr és szájpadidegei: rami nasales posteriores, nervi palatini. A n. nasociliarisból eredő, rami nasales anterioresek (laterales). A n. trigeminus 3-ik ágának, a n. mandibularisnak áthaladása a foramen ovalen és a n. lingualis összefüggése a chorda tympanival. A nervi olfactorii (laterales) elágazódása a felső és középső orrkagylón.

(Nyílirányban átmetszett fej jobb felében a nyelv, a lágyszájpad nagy része és a garat eltávolítva; a koponyaalap középső része a canalis caroticusig van eltávolítva; a canalis pterygoideus (Vidii), a belső hallójárat és az arcidegszatorna megnyitva. A ganglion semilunare oldalra hajtásával alatta a n. trigeminusnak portio minorja látható. Az orrszövényen nyálkahártyájának keskeny csikja meg van hagyva, a melyben a medialis szaglőidegek láthatók.)

A trigeminuscsoport idegei. — Nervi olfactorii, a szaglőidegek.

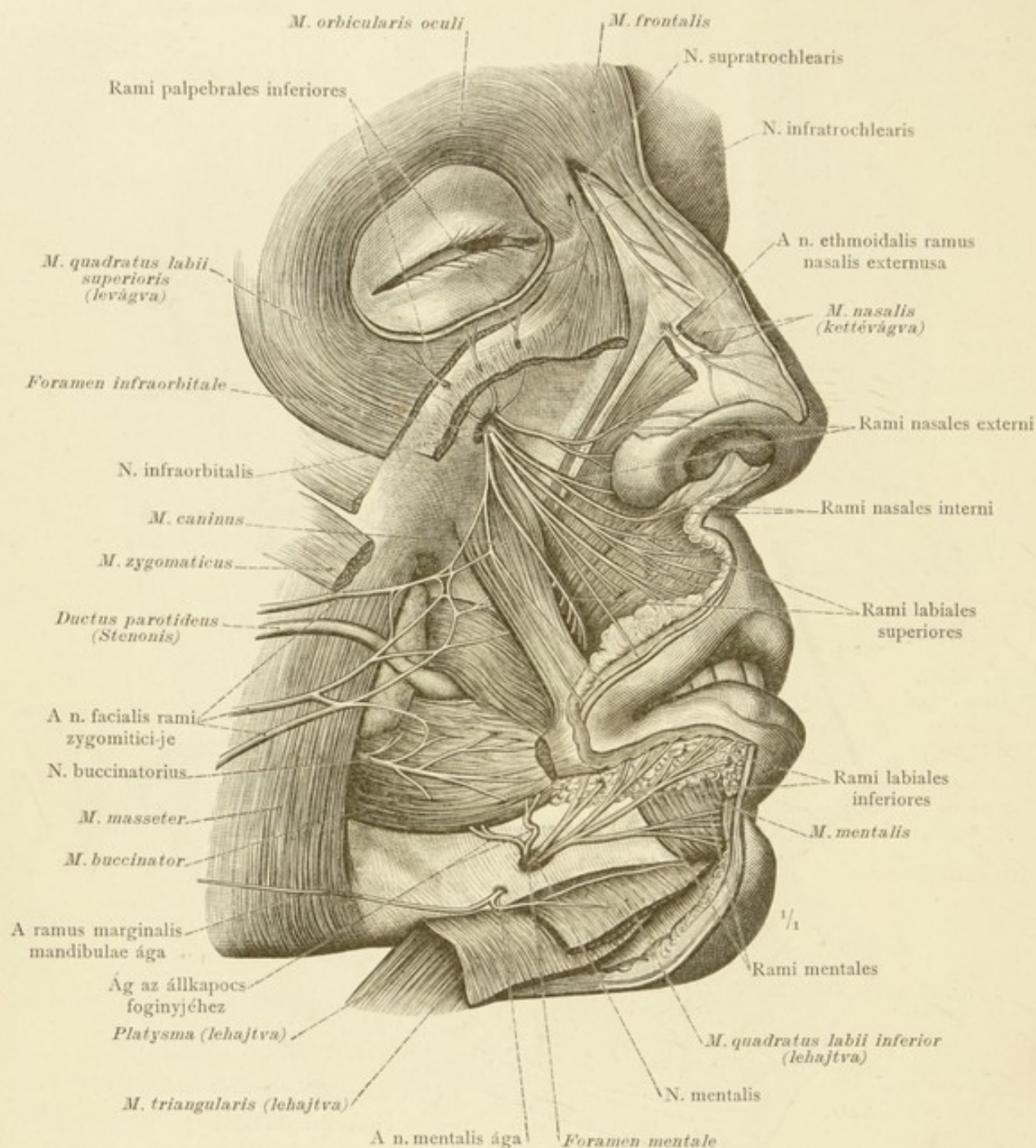








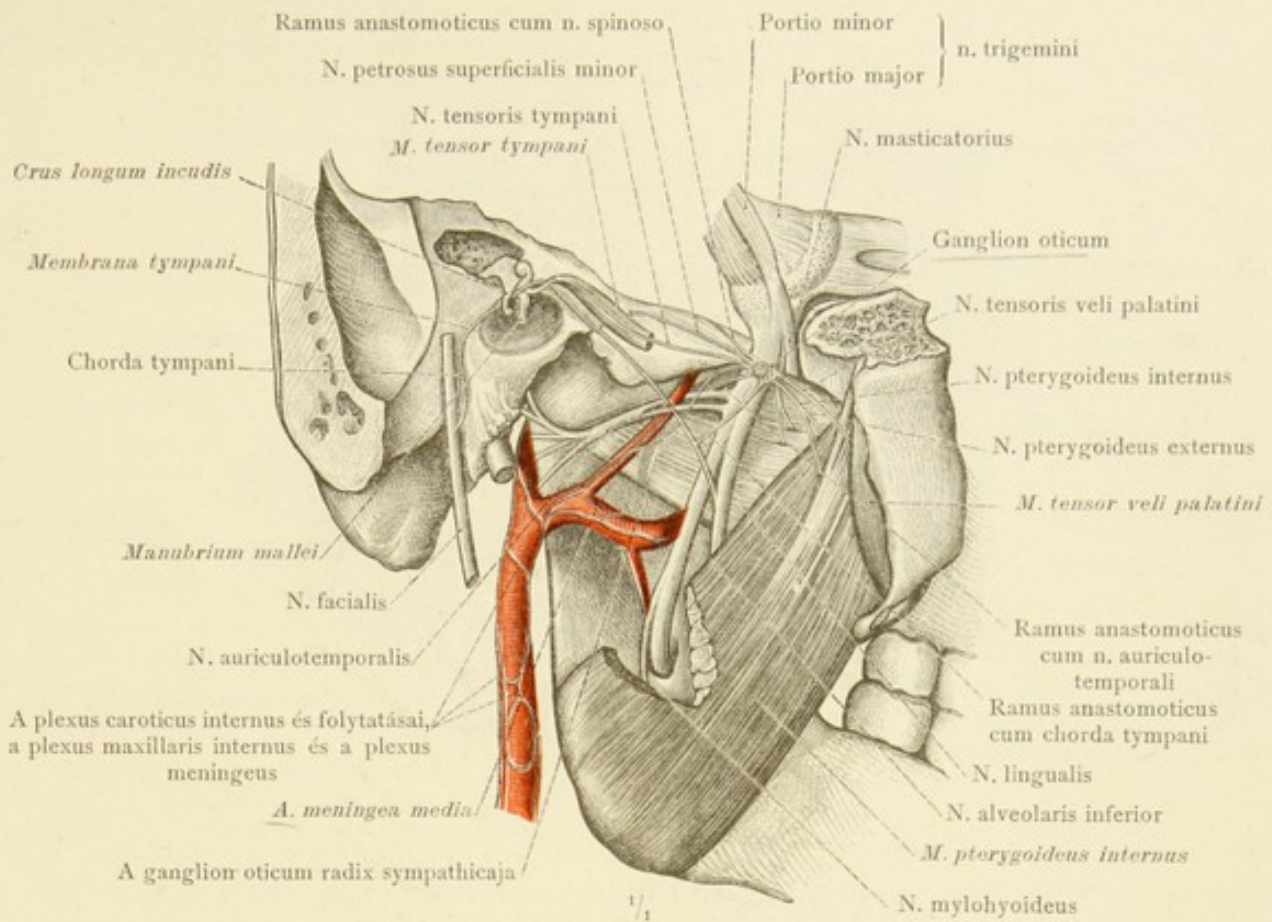




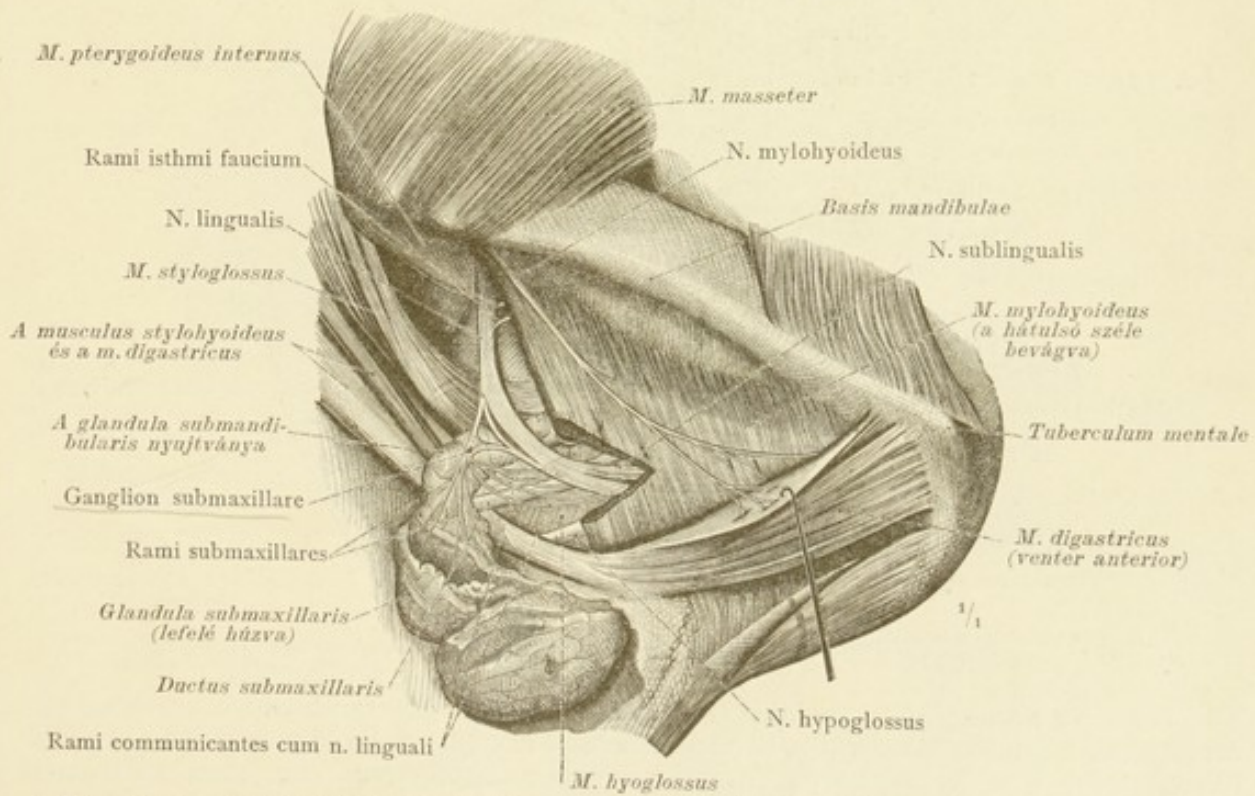
1306. rajz. A n. maxillaris kisugárzása az arcon, az orr, az alsó és a felső ajak bőridegeivel: a n. infraorbitalisnak bőrágai, melyek, a felső állcsont körül, az orrszárnyakban az orrsővényben és az alsó szemhéjban végződnek: rami labiales superiores, rami nasales externi és interni és rami palpebrales inferiores. Összefüggésük a n. facialis ágaival. A trigeminus első ágából jövő n. supratrochlearis és a n. infratrochlearis, valamint a harmadik ágából jövő n. buccinatorius és a n. mentalis. A n. mentalisnak az állkapocsból önállóan kilépő ága, a n. facialis ramus marginalis mandibulaejával függ össze. (Az arc jobb fele, a bőr és az arcizmok felületes rétegének eltávolításával. A m. nasalis átvágásával, a n. nasociliarisból eredő ramus nasalis externus lefutása az orron látható.)

A trigeminuscsoport idegei.





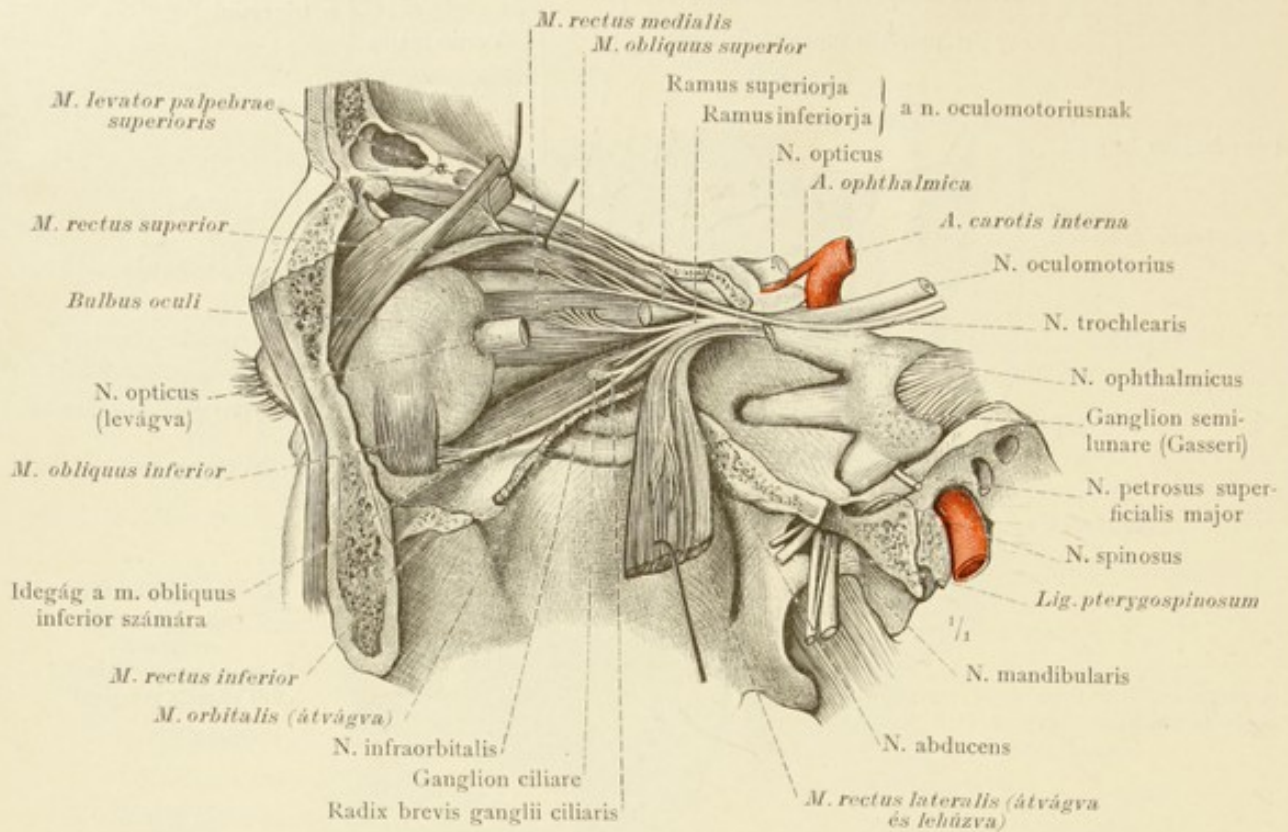
1307. rajz. A ganglion oticum és összeköttetései; a belőle kiinduló periferiás idegek, a fej bal felén, a medialis oldalról nézve.



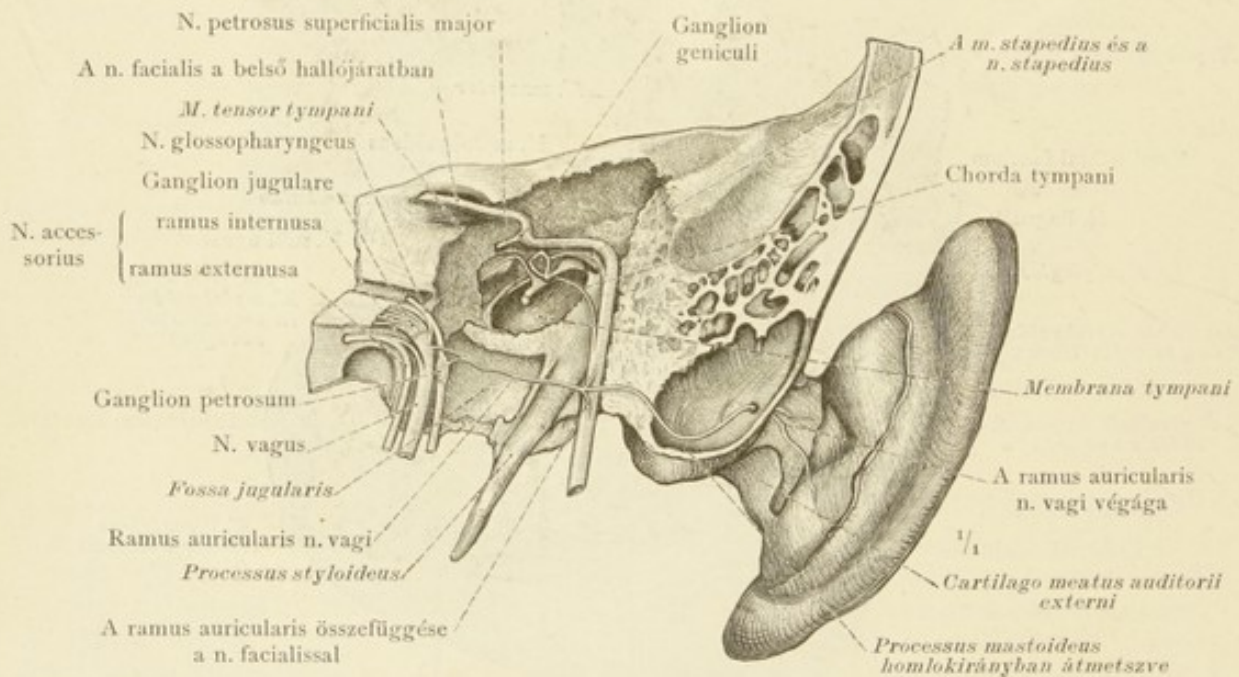
1308. rajz. A ganglion submandibulare és a belőle kiinduló idegek, valamint a n. mylohyoideus, a jobb regio submandibularisban. Ferdén alulról nézve. Az állkapocsalatti mirigy lefelé van húzva.

A trigeminuscsoport idegei.





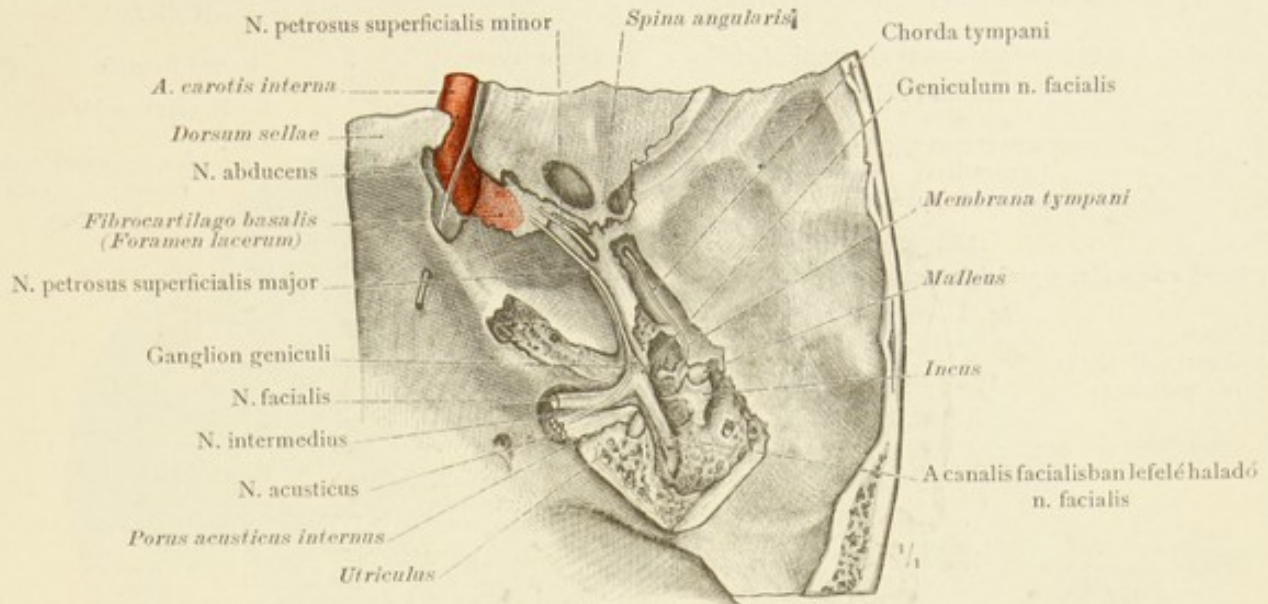
1309. rajz. A külső szemizmok idegei: a n. oculomotorius, a n. trochlearis és a n. abducens a szemüreg oldalsó és felső falának eltávolításával a koponya bal felében. (A m. levator palpebrae superioris és a m. rectus lateralis átvágva és széthúzva.)



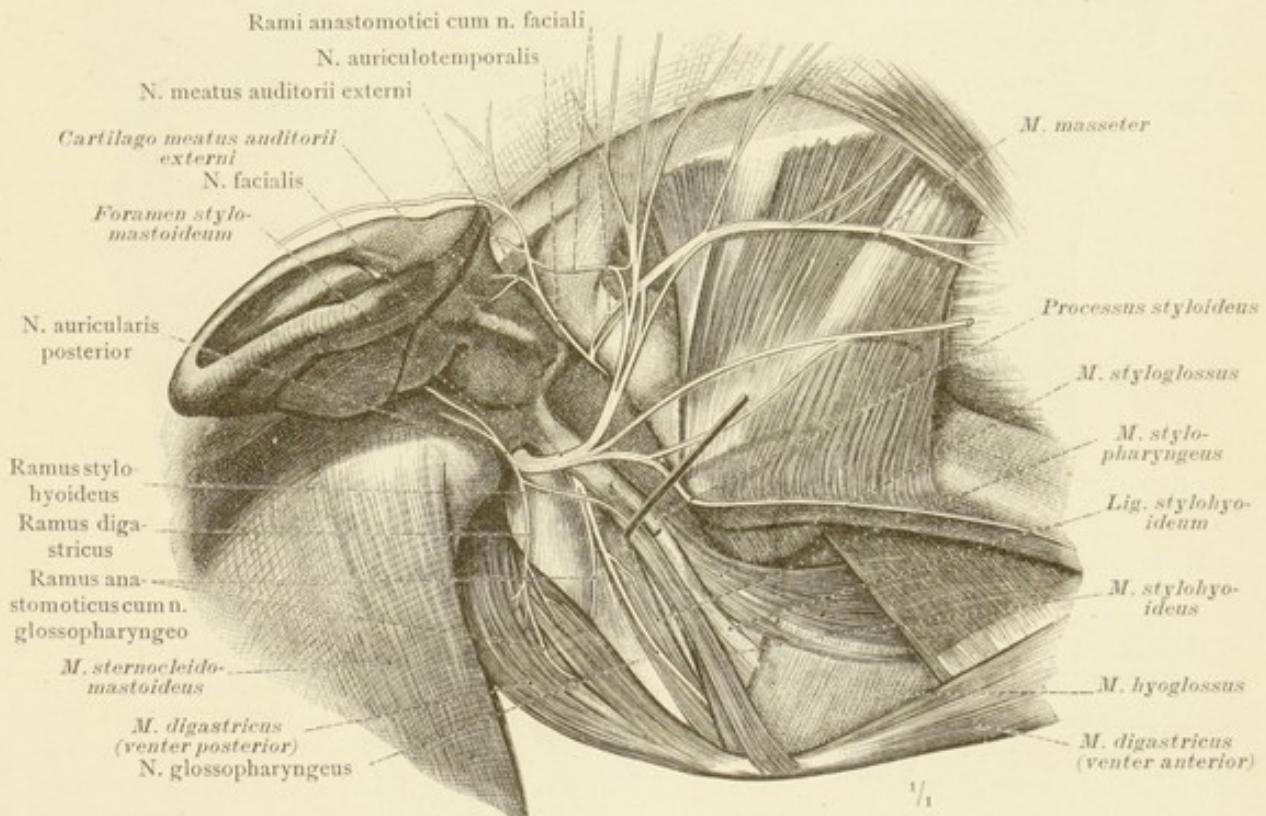
1310. rajz. Az arcideg, a n. facialis és lefutása az arcidegcsatornában: a csatornában eredő ágai, a jobb sziklacsonton, hátulról nézve. A n. vagus ramus auricularisa és ennek összefüggése a n. glossopharyngeussal, a ramus anastomoticus cum rami auriculari n. vagi útján.

A trigeminuscsoport idegei. — Ramus auricularis nervi vagi.





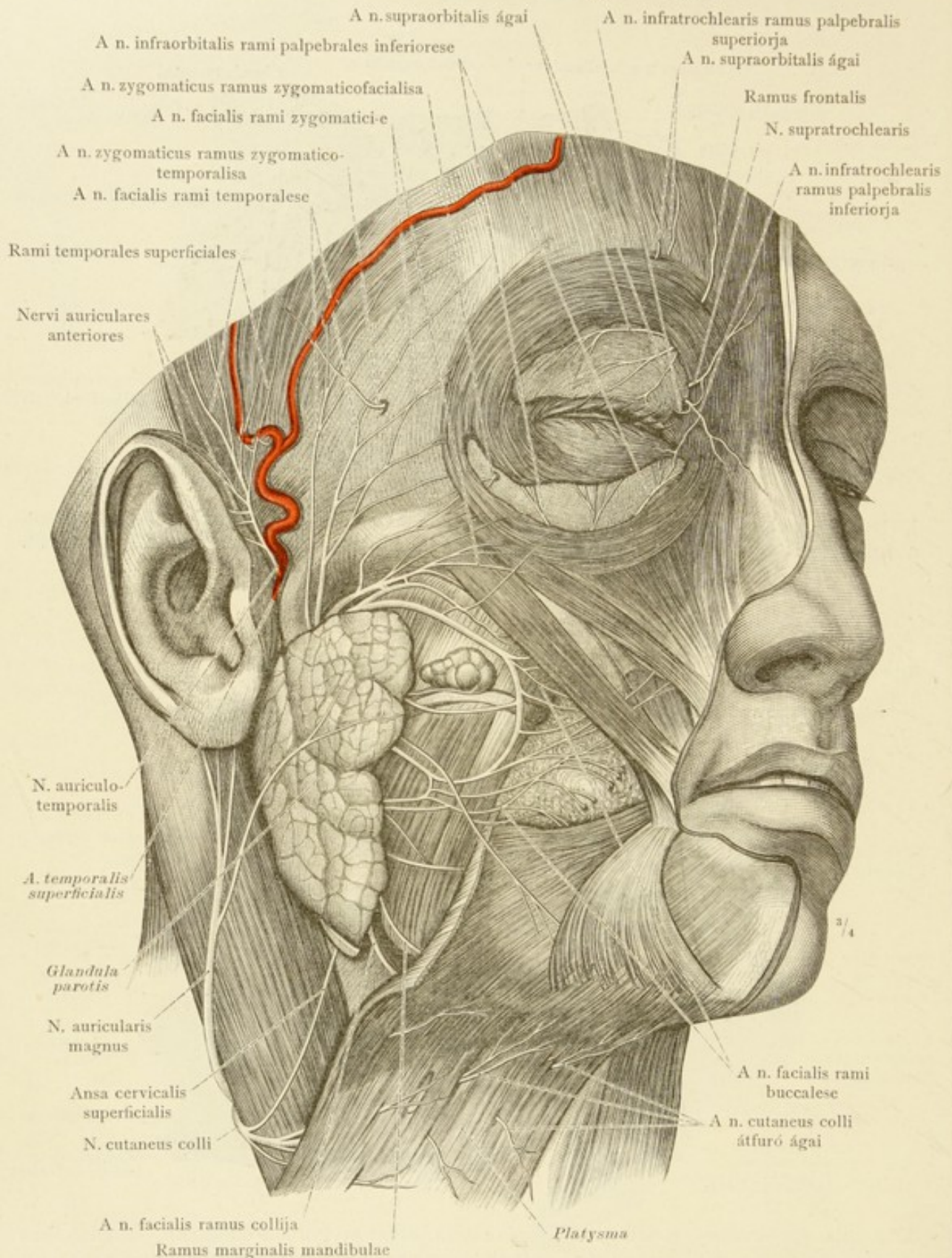
1311. rajz. A chorda tympani és n. petrosus superficialis major a jobb sziklaesontban, a dobüreg és a belső hallójárat megnyitásával. A n. intermedius és a ganglion geniculi.



1312. rajz. Az arcideg, n. facialis, kilépése a foramen stylomastoideumon, elágazódása a fossa retromandibularisban és ágainak összefüggése a n. glossopharyngeussal és a n. auriculotemporalissal, a fej jobb oldalán a fültövmirigy teljes eltávolításával. A n. facialis a n. glossopharyngeussal hurokalakban összekötő ág, átfurja a m. digastricus hátsó hasát. Ferdén alulról nézve.

A trigeminuscsoport idegei.



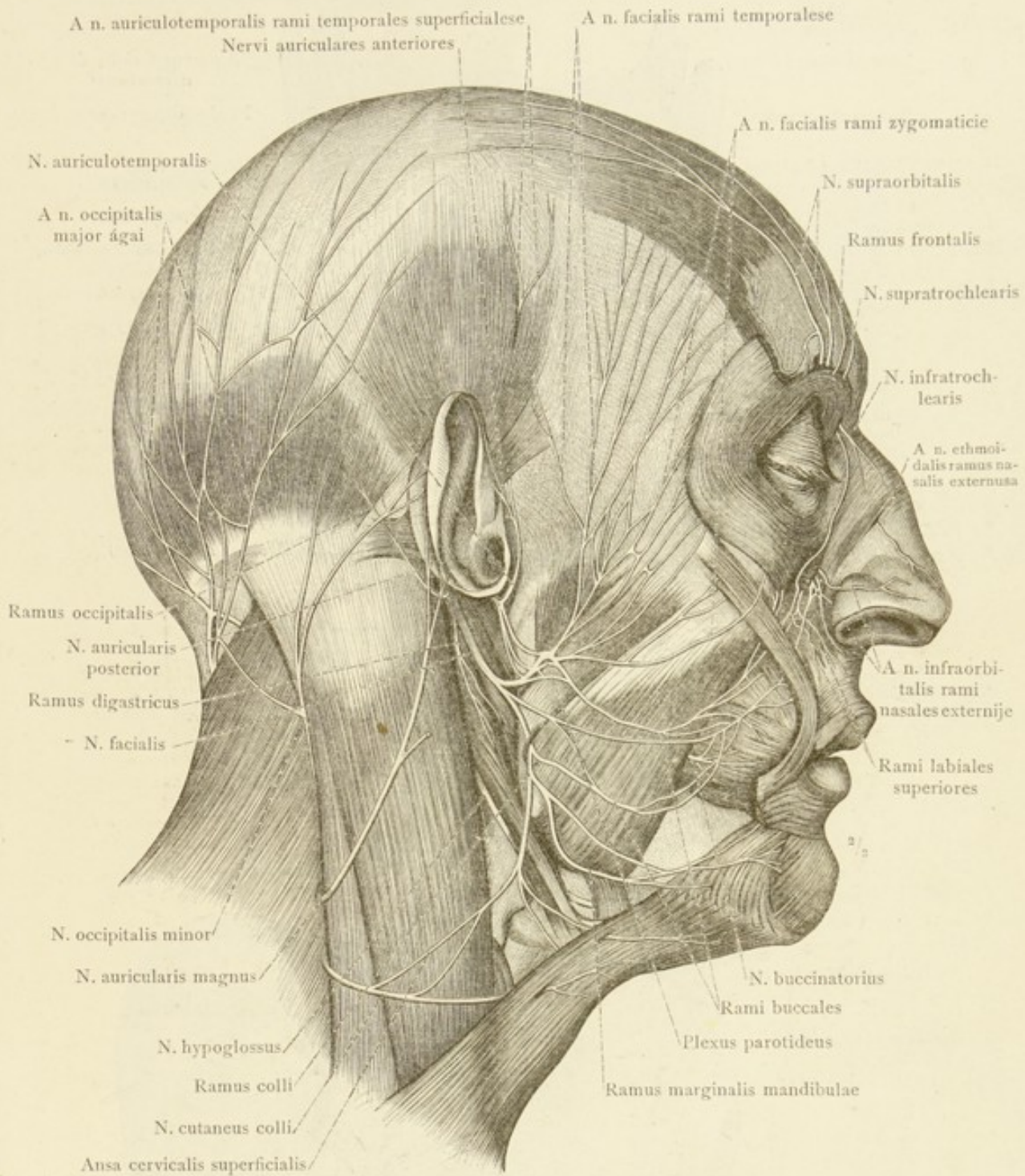


1313. rajz. Az arcideg, a n. facialis, ágai, a fültövi mirigy, a felületes arcizmok, a corpus adiposum buccae megtartásával az arc jobboldalán. A plexus cervicalisból és a n. trigeminus első ágából az arcra és a nyak felső részére kisugárzó idegek; a n. trigeminus második ágának arci ágaiból a n. zygomaticus meg van tartva.

(A m. orbicularis oculi egy részének eltávolításával a szemhéjakhoz haladó idegek láthatók.)

A trigeminus csoport idegei.



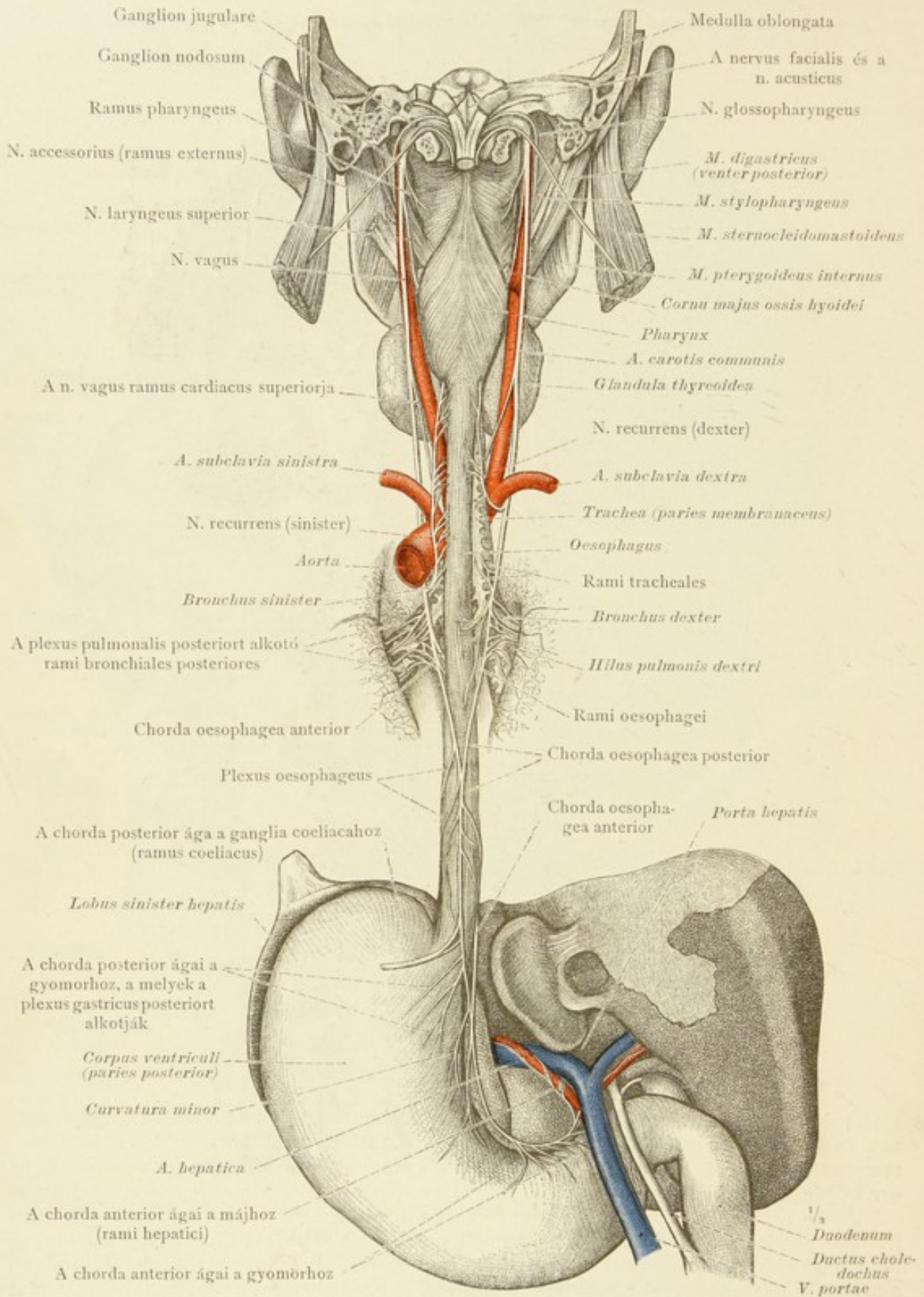


1314. rajz. A n. facialis elágazódása az arc jobb felében, a felületes arcizmok nagy részének és a fültövmirigy teljes eltávolításával. A n. facialis összeköttetései a n. auriculotemporalissal, a n. infraorbitalis ágaival és a n. cutaneus collival. A homlok bőrének, az orr bőrének és a fülkagylónak érző idegei; a n. occipitalis major és a n. occipitalis minor elágazódása a nyakszirten.

(A m. orbicularis oculi felső és a m. frontalis alsó részének eltávolításával, a szemüregből kilépő n. frontalis ágai láthatók. A platysma hátulsó és felső részének eltávolításával, a n. facialis összeköttetése a n. cutaneus collival, az ansa cervicalis superficialis, valamint a n. facialis ramus collija látható. Az utóbbi a fossa retromandibularisból horoggal előre van húzva.)

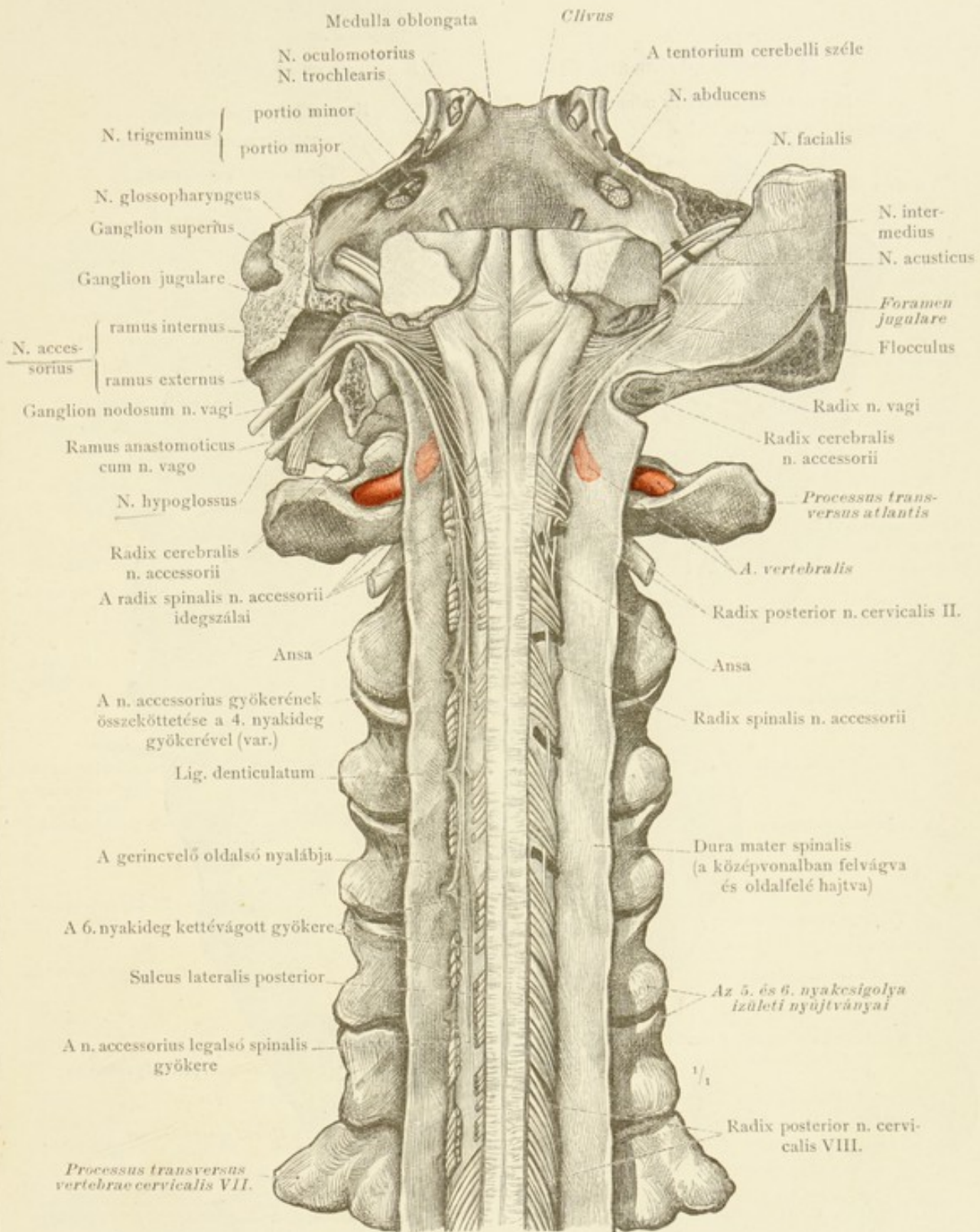
A trigeminuscsoport idegei.





1315. rajz. A bolygóideg, n. vagus, lefutása és legfontosabb ágai, a zsigerek hátulsó oldaláról nézve. (A bolygó ideg ramus auricularisát lásd az 1310. rajzban.)

### A vagus csoport idegei.

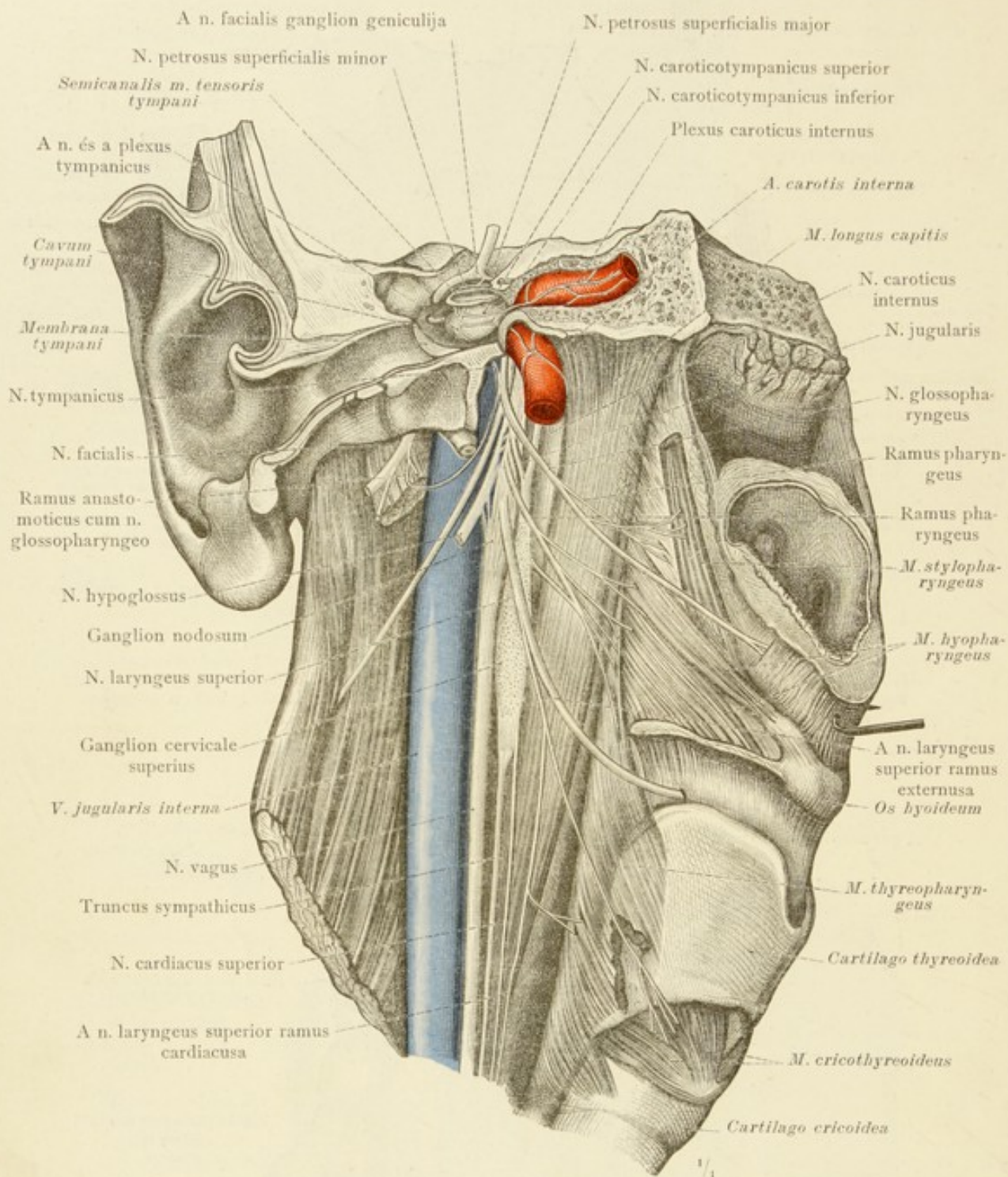


1316. rajz. A n. vagus és a n. accessorius gyökerei; a n. accessorius oszlása ramus externusra és ramus internusra, hátulról nézve.

(A nyakszirtpikkely és a csigolyaívek eltávolításával a dura mater spinalis a központonban felvágva és két oldalra hajtva; az arachnoidea eltávolítva. A baloldali n. accessorius spinalis gyökérnyálábjait fedő gerincgyvelői idegek gyökerei levágva; a jobboldali n. accessorius eredő gyökerei alatt fekete papirszeletek vannak. A bal oldalon a foramen jugularen kilépő idegek szabadon láthatók.)

A vaguscsoport idegei.

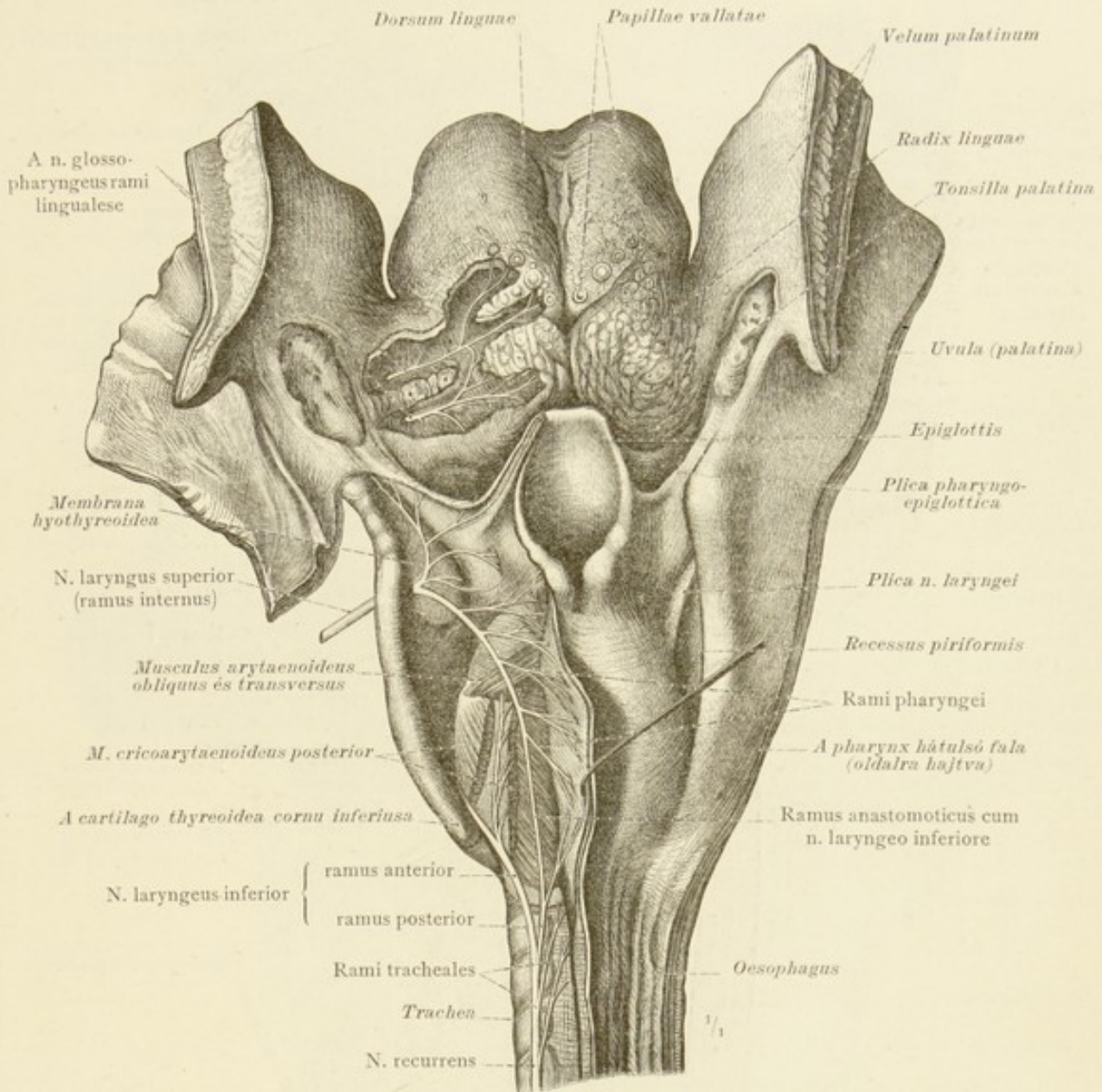




1317. rajz. A n. glossopharyngeus; összefüggése a n. facialissal; a n. glossopharyngeusból eredő n. tympanicus összefüggése a nervi caroticotympanici utján a plexus tympanicussal, továbbá a garathoz és a m. stylopharyngeushoz menő ágai. A n. vagus összefüggése a n. hypoglossussal és a szimpatikus idegrendszerrel és a n. vagus ágai a garathoz és a gégéhez.

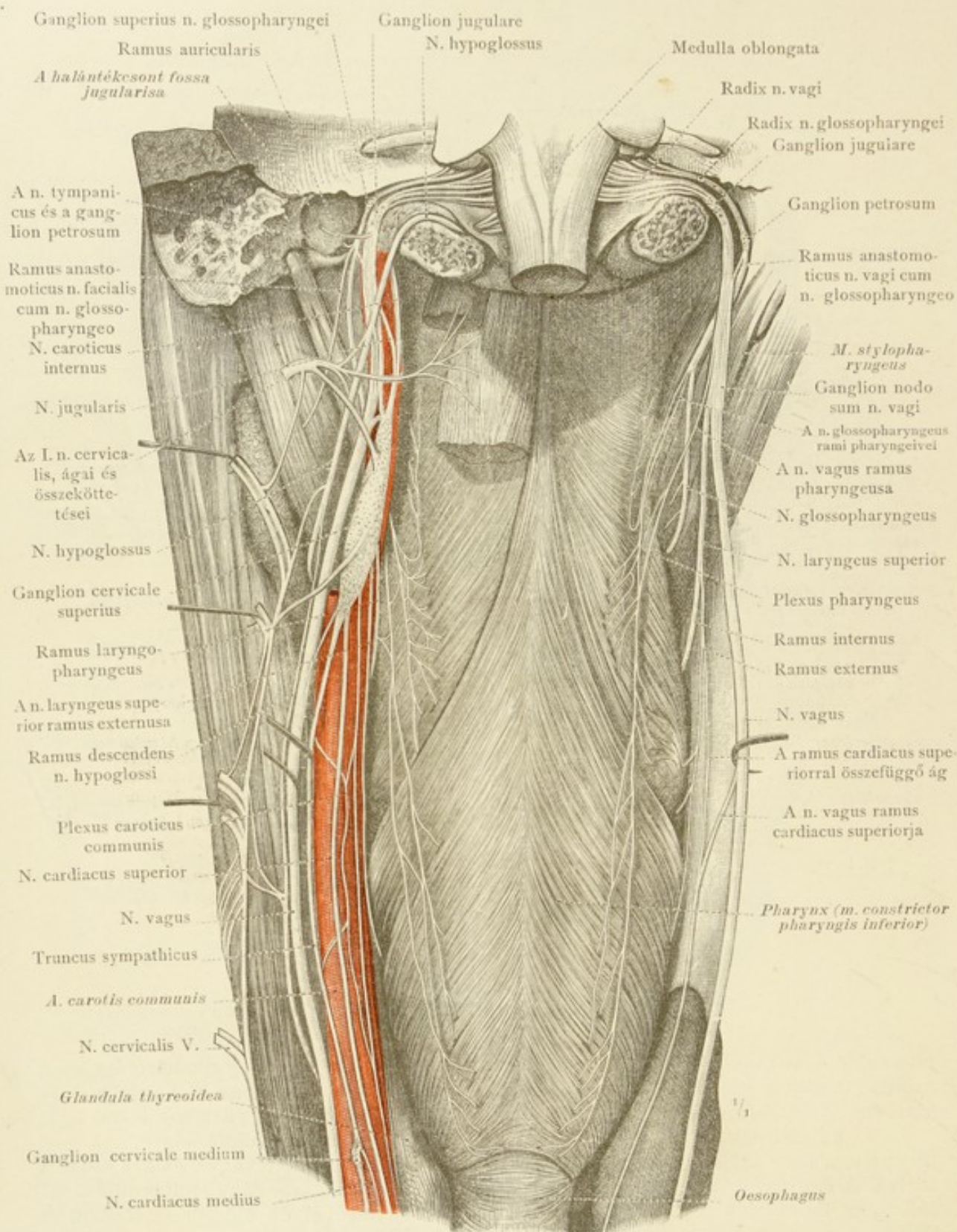
(A külső hallójárat, a dobüreg és a canalis caroticus átfürészelve, a nyakszirtesont alapja harántul átvágva. A garat és a lágyszájpad a koponya alapjáról lefejtve; a garat a m. stylopharyngeussal és a gégével balra huzva.)

A vaguscsoport idegei.



1318. rajz. A n. glossopharyngeus periferiás ágai, a nyelvgyökér nyálkahártyája és a papillae vallatae számára. (A nyelv széléhez menő ágakat lásd az 1324. rajzban.) A n. laryngeus superior belső ágának, a gége nyálkahártyájához, a garathoz menő ágai és ezeknek összefüggése a n. laryngeus inferiorral. Hátról nézve. (A nyelv, a lágyszájpad és a garat; a lágyszájpad közepén kettévágva és két oldalra hajtva. A n. glossopharyngeus ágai a nyelvgyökér nyálkahártyájának eltávolításával láthatók. Baloldalon a garat nyálkahártyájának lefejtésével és oldalra húzásával, a n. laryngeus superior elágazódása látható.)

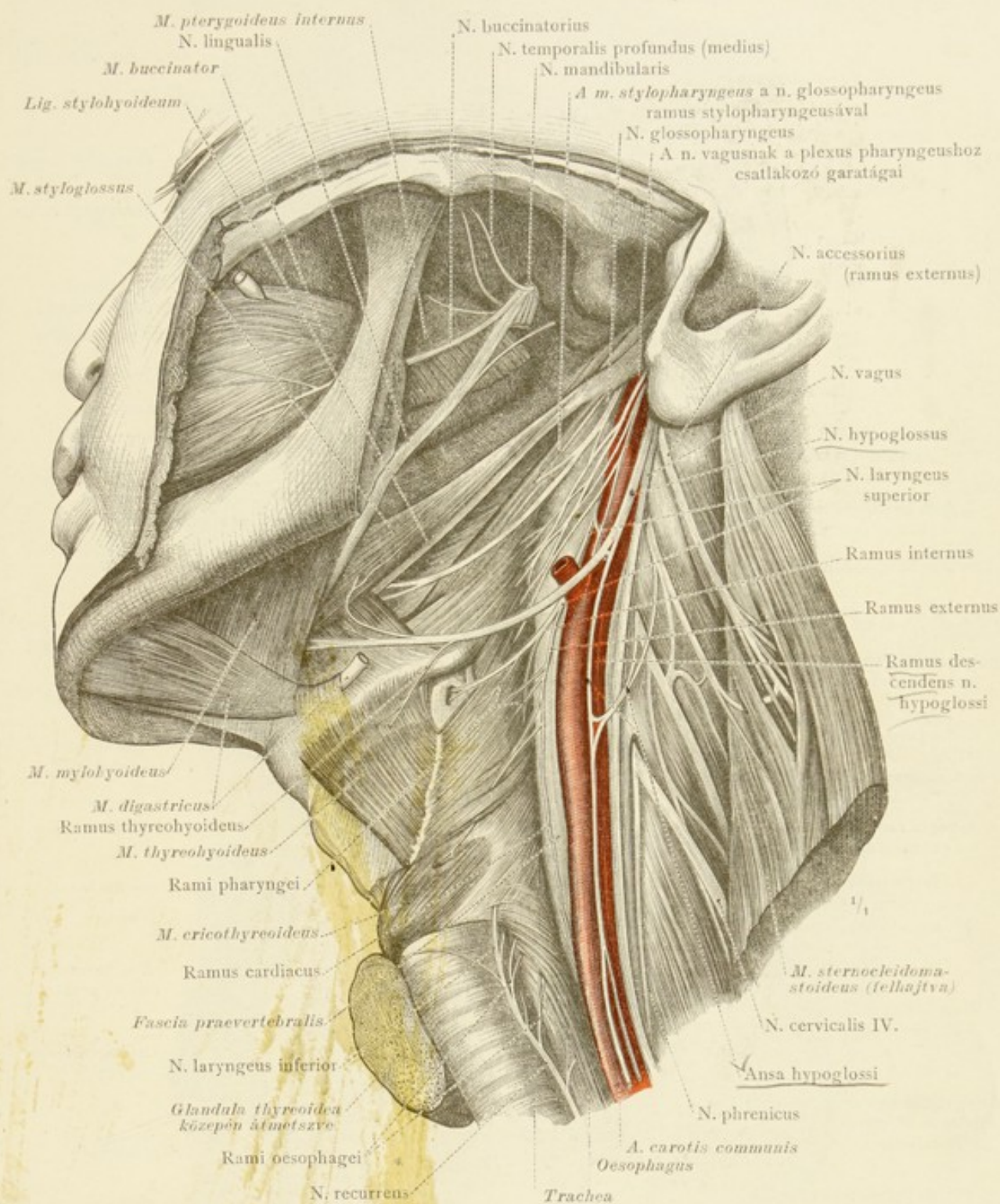




1319. rajz. A n. vagus feji és felső nyaki része, hátulról nézve. A baloldalon a n. vagus összefüggése a n. glossopharyngeussal és a n. hypoglossussal, valamint a szimpatikus idegrendszer összeköttetése ezen idegekkel és a felső nyakidegekkel; a m. longus capitis és a m. rectus capitis anterior felső darabja megtartva. A jobboldalon csak a n. vagus és a n. glossopharyngeus, a rami pharyngei vel és a plexus pharyngeussal látható.

A vaguscsoport idegei.





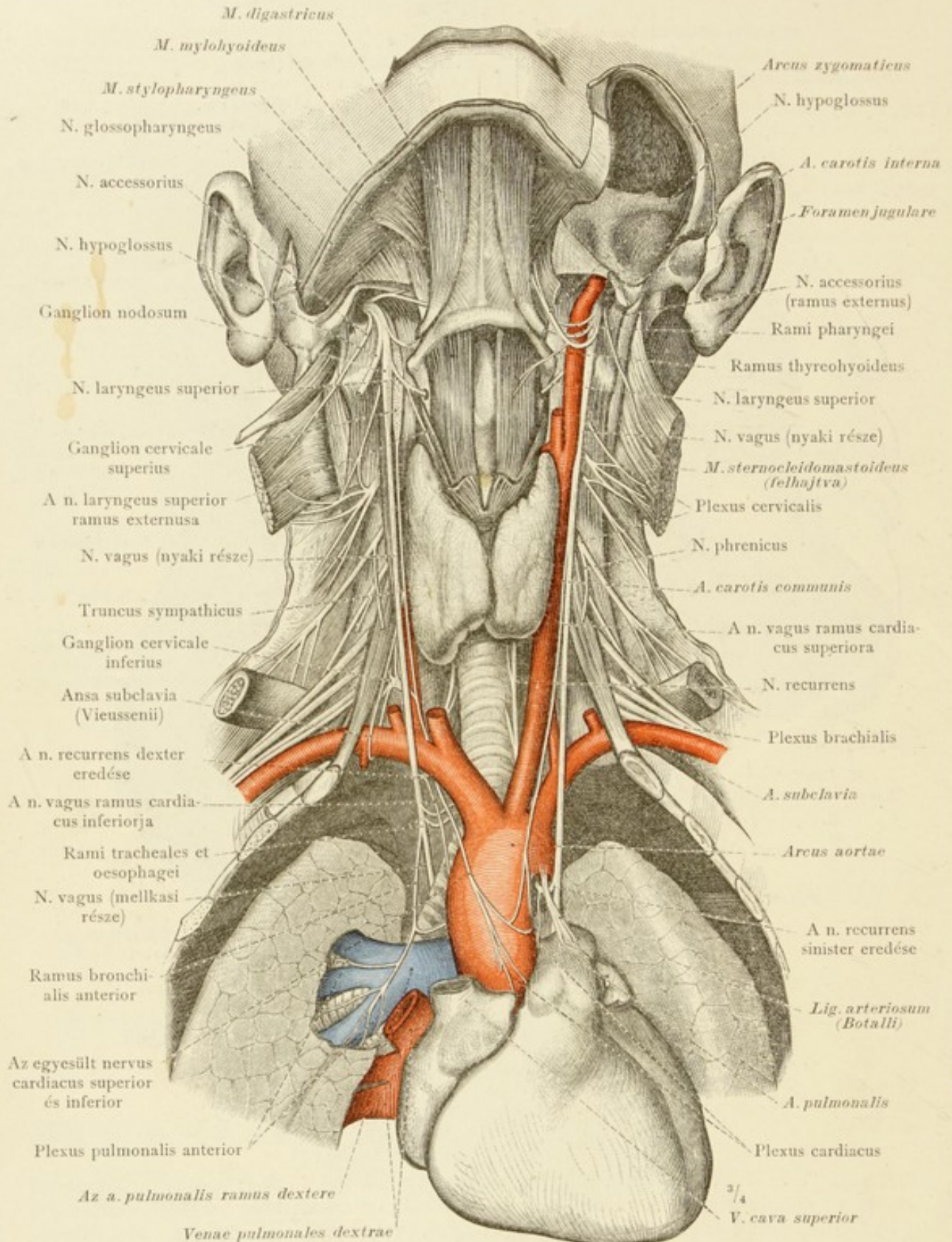
1320. rajz. A nyelv alatti ideg, a n. hypoglossus, a nyak bal oldalán; ramus descendens az ansa hypoglossival. (A ramus descendens elágazódásait lásd az 1249. rajzban, a n. hypoglossusnak az elágazódását pedig a nyelvben az 1325. rajz mutatja.) A n. glossopharyngeus és a n. vagus fekvése, a garathoz menő ágaik és azok egyesülése a plexus pharyngeussá. A n. accessorius ramus externusa és összefüggése a 2. és 3. nyakideggel.

A n. mandibularis elágazódásának egy része.

(A m. digastricus hátsó hasa és a m. stylohyoideus eltávolítva, a m. sternocleidomastoideus pedig hátra húzva.)

A vagusesoport idegei.

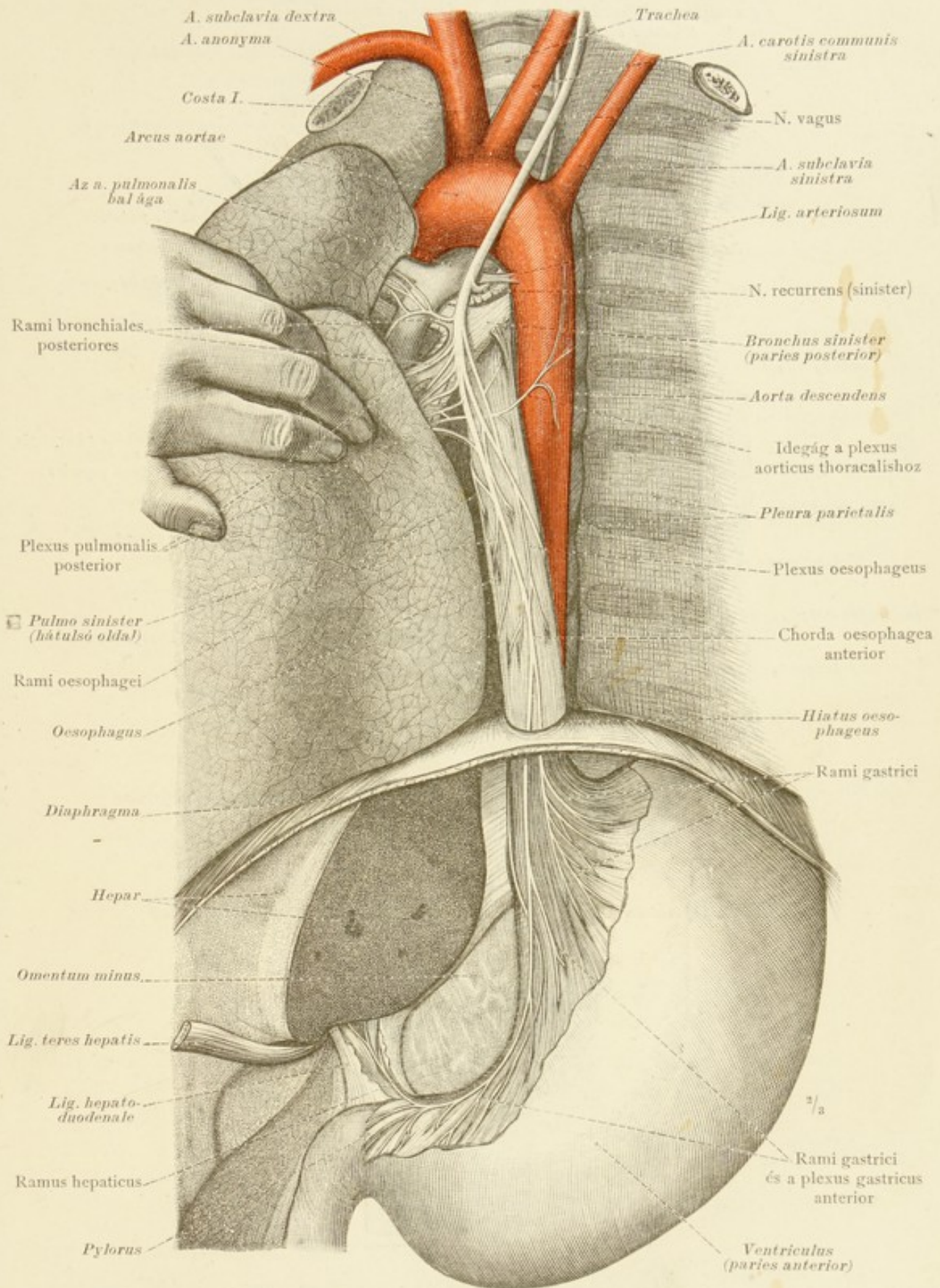




1321. rajz. A n. vagus nyaki és felső mellkasi része, elülről nézve; ágai: a rami cardiaci és a ramus bronchialis anterior. A n. recurrens eredése. A jobboldalon a szimpatikus idegrendszer ideglánca is látható. (A fej erősen hátra van hajtva.)

A vaguscsoport idegei.

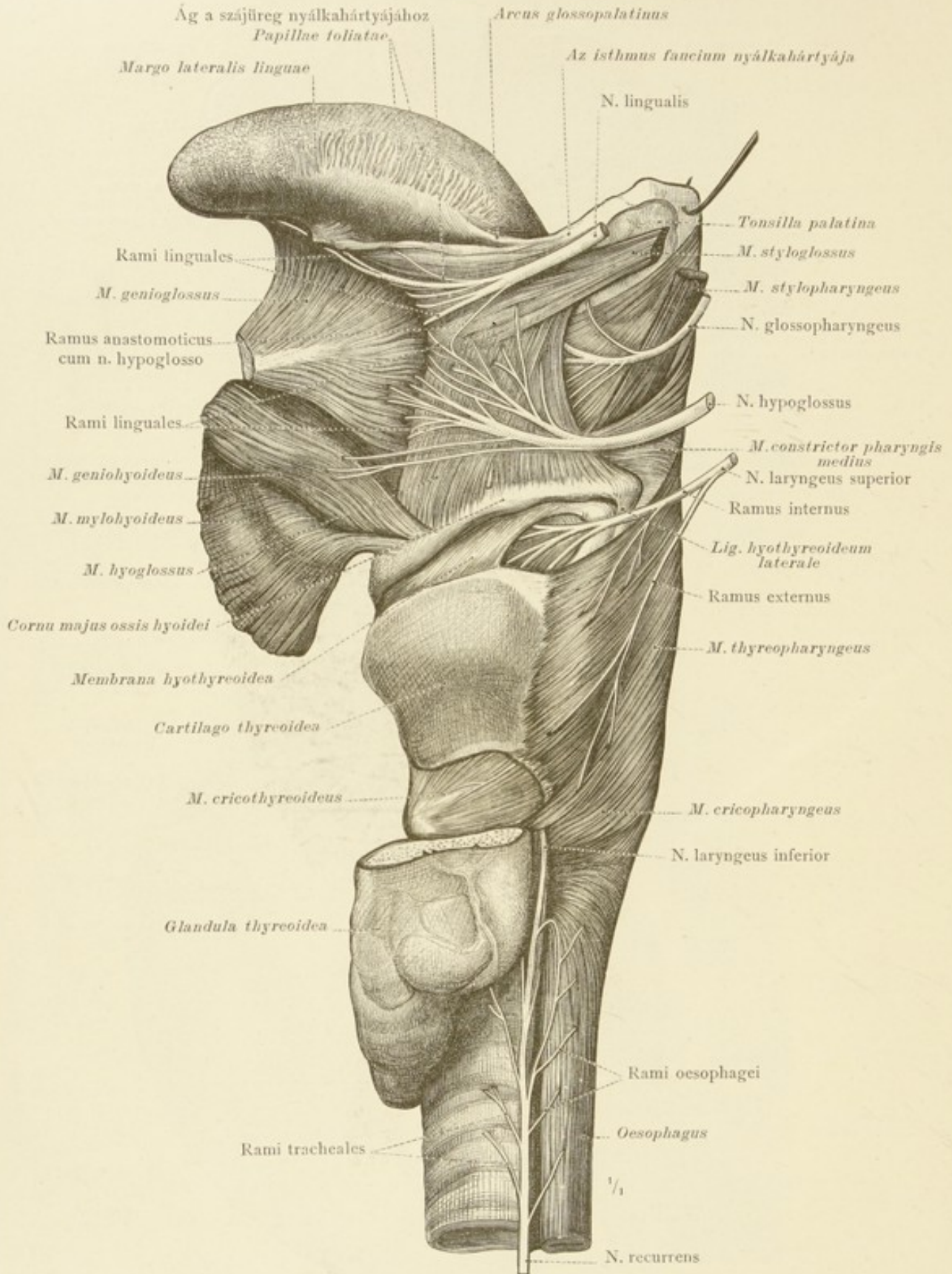




1322. rajz. A bal n. vagus mellkasi része, elülről nézve. A rami bronchiales posteriores, a plexus oesophageus, a chorda oesophagea anterior elágazódása a gyomor elülső falán.)  
(Összehasonlítandó az 1315. rajzzal.)  
(A bal tüdő a mellkasból kiemelve és jobbra húzva.)

A vaguscsoport idegei.

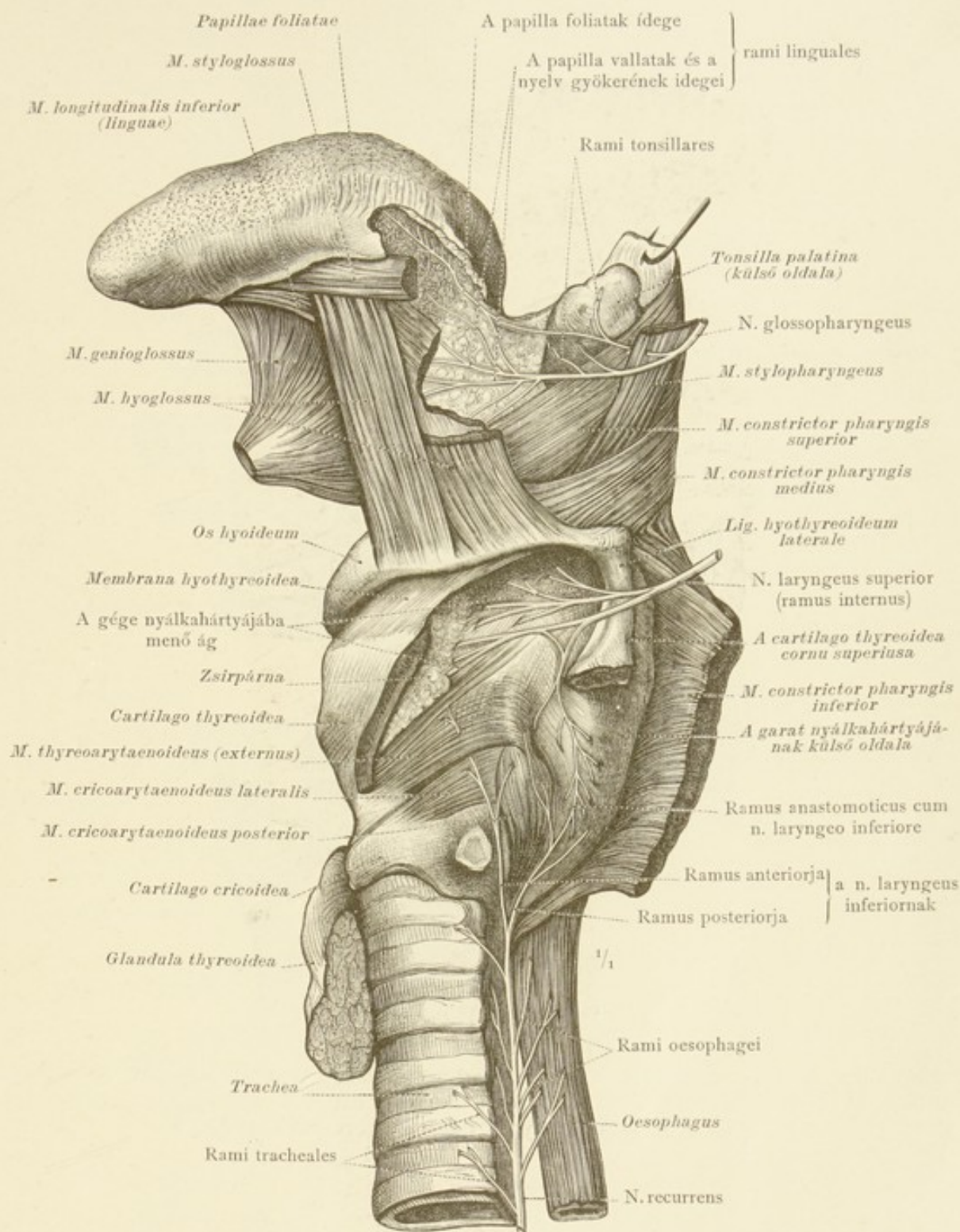




1323. rajz. A n. lingualis, a n. glossopharyngeus és a n. hypoglossus, valamint a n. laryngeus superior és a n. recurrens eloszlása a fej és a nyak zsigereinek külső oldalán. (Baloldaltól nézve.)

(A pajzsmirigy felső részének levágásával a m. cricothyroideus és a beléje menő idegek szabadon láthatók.)

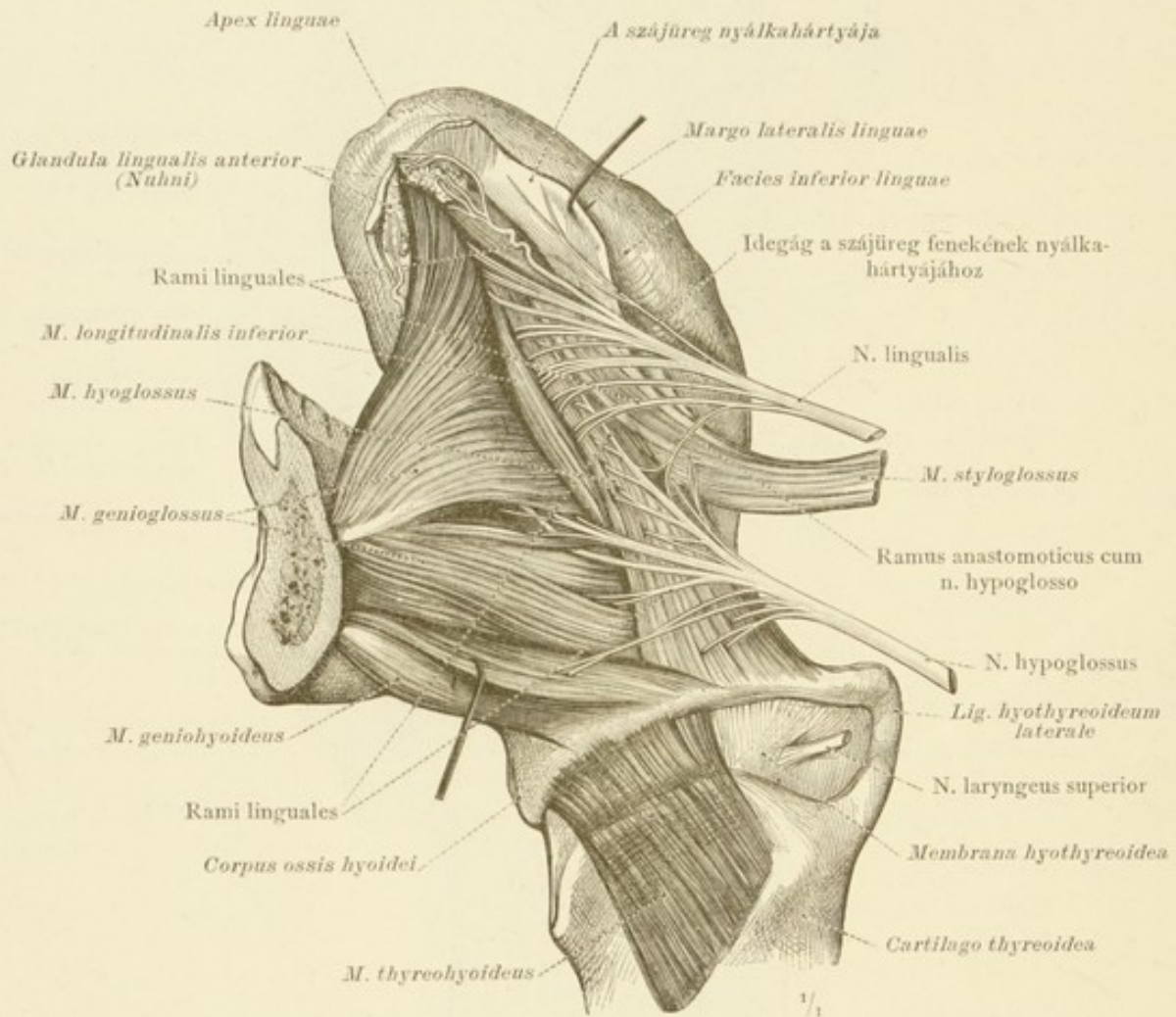
A vaguscsoport idegei.



1324. rajz. A n. glossopharyngeus végágai az isthmus faucium környékén, a szájpaddalmandolán és a nyelv oldalán. A n. laryngeus superior és inferior elágazódása a gégeben és a garatban, a pajzsporc bal lemeze nagy részének és a m. constrictor pharyngis inferiorinak eltávolításával. Baloldaltól nézve. (Összehasonlítandó az 1318. rajzzal.)

A vaguscsoport idegei.





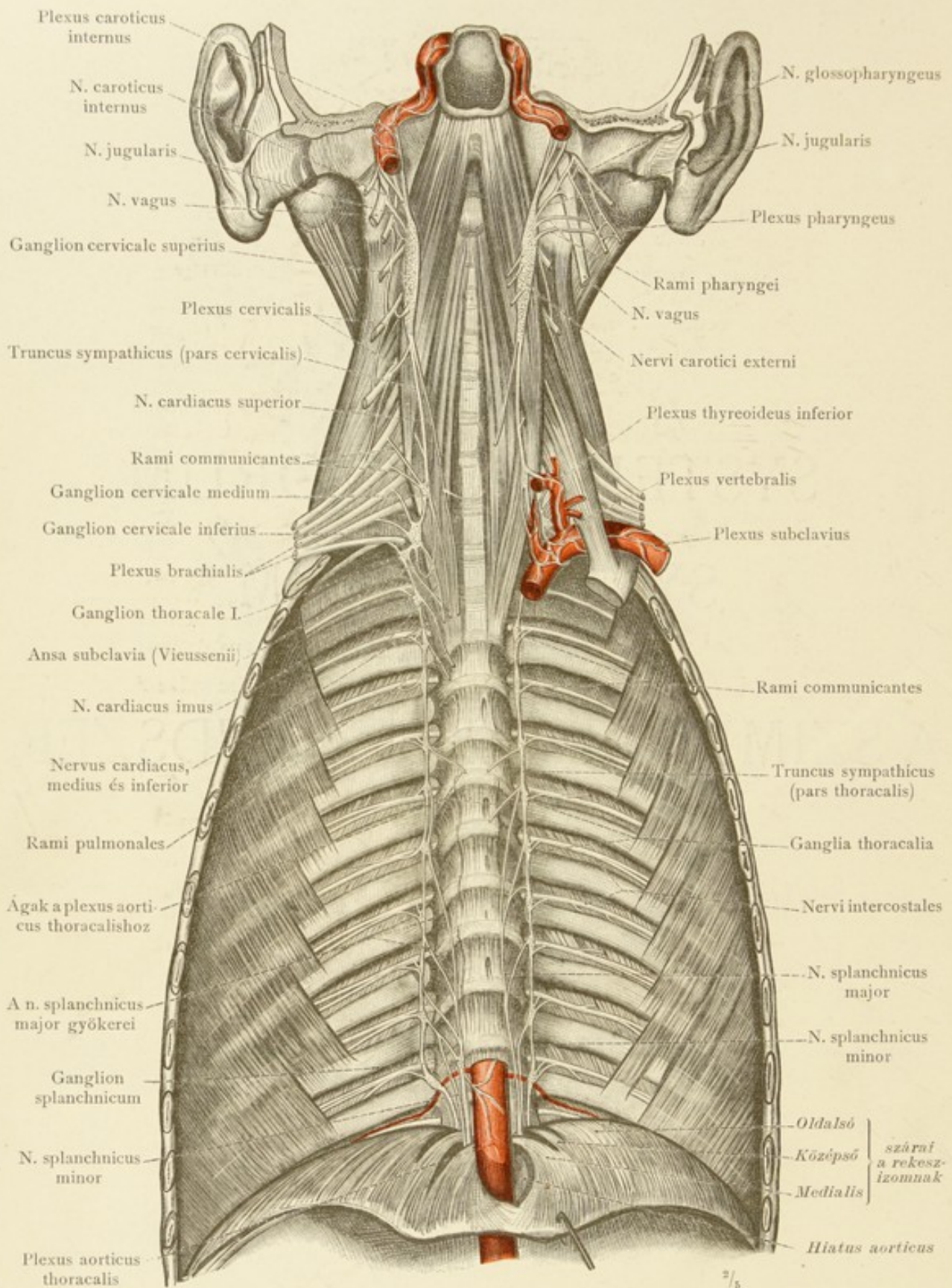
1325. rajz. A n. hypoglossus és a n. lingualis elágazódása a nyelvben és ezen idegek kölcsönös összeköttetése; ferdén alulról és balról nézve. A n. laryngeus superior belépése a membrana hyothyreoidean keresztül a gégebe.

SYSTEMA NERVORUM  
SYMPATHICUM.

A SZIMPATIÁS IDEGRENDSZER.







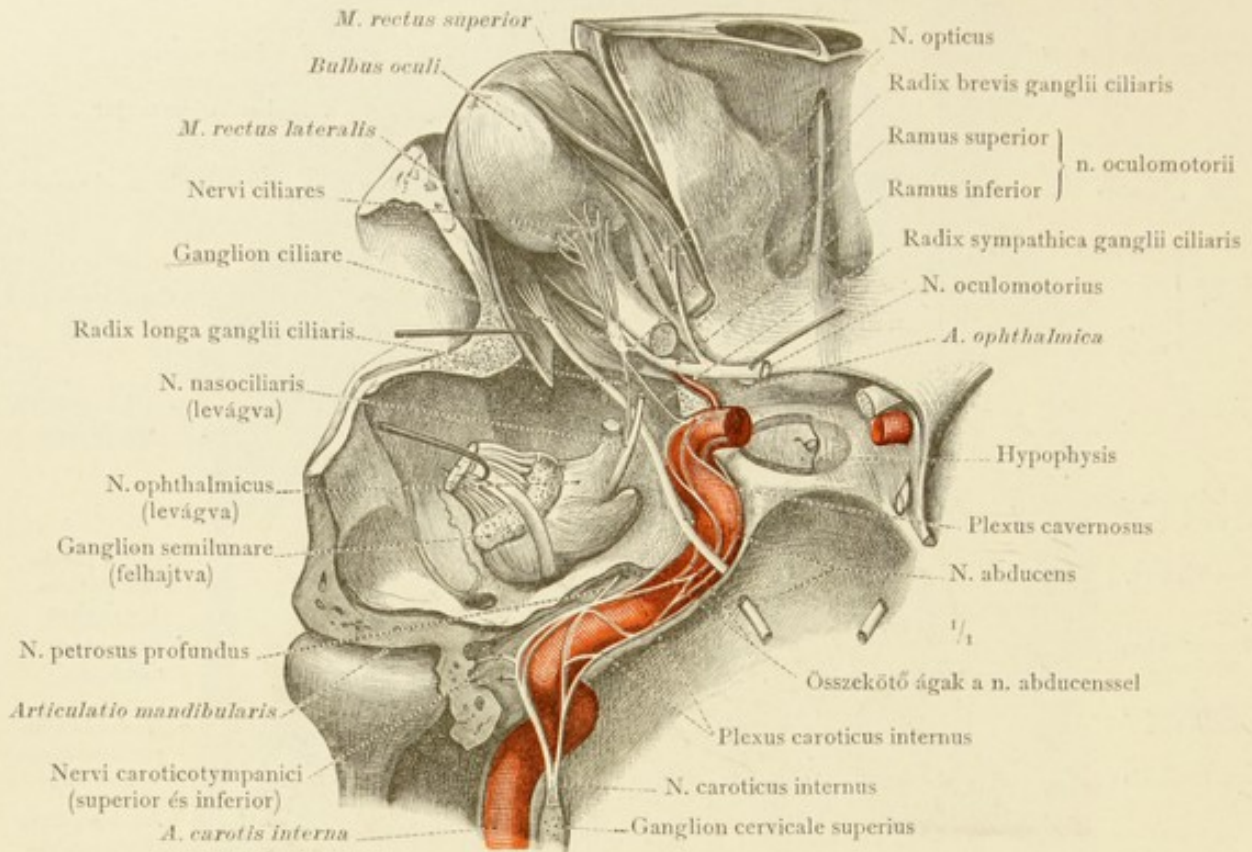
1326. rajz. A szimpatias ideglánc nyaki és mellkasi része, pars cervicalis és pars thoracalis, az ideglánc ducaival, ganglia trunci sympathici; átalakulása a plexus caroticus internussá, összefüggése a cerebrospinalis idegekkel és a belőle származó periferiás idegek. Elülről nézve.

Truncus sympathicus, a szimpatias idegrendszer ideglánca.



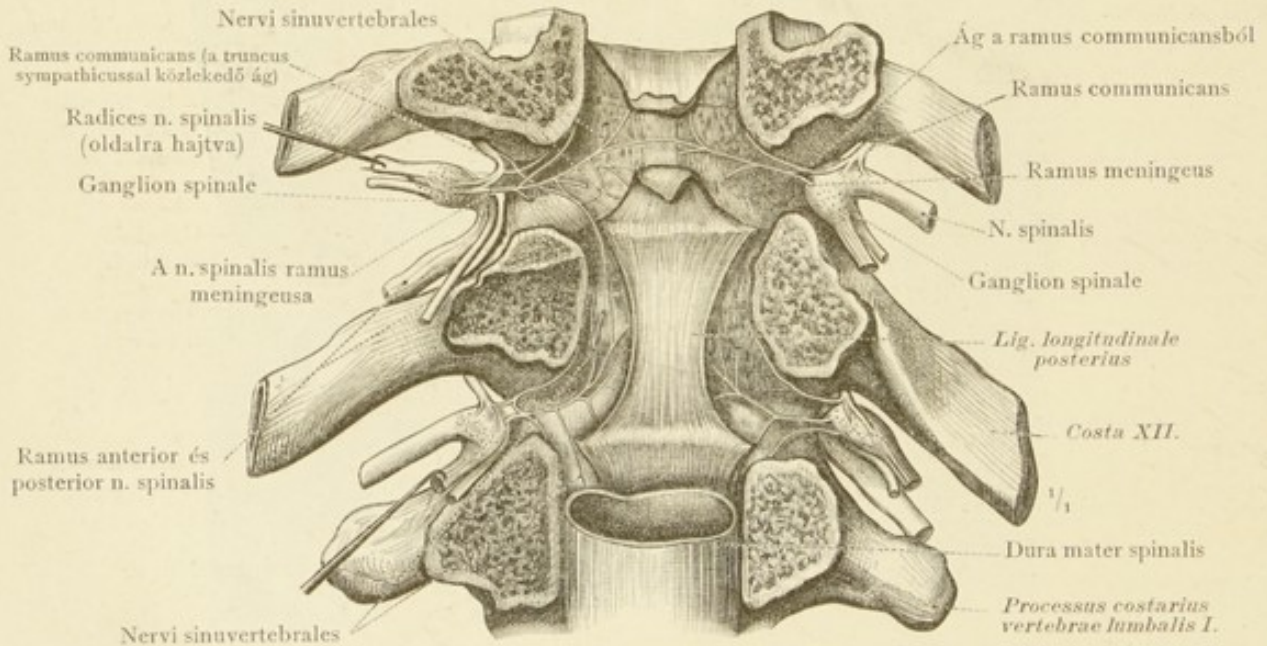






1328. rajz. A szimpatias idegrendszer feji része, pars cephalica. Felülről és hátulról nézve.

(A canalis caroticus és a sinus cavernosus egész hosszában meg van nyitva és a bal szemüreg felső fala eltávolítva. A ganglion semilunare (Gasseri) előre van húzva.)

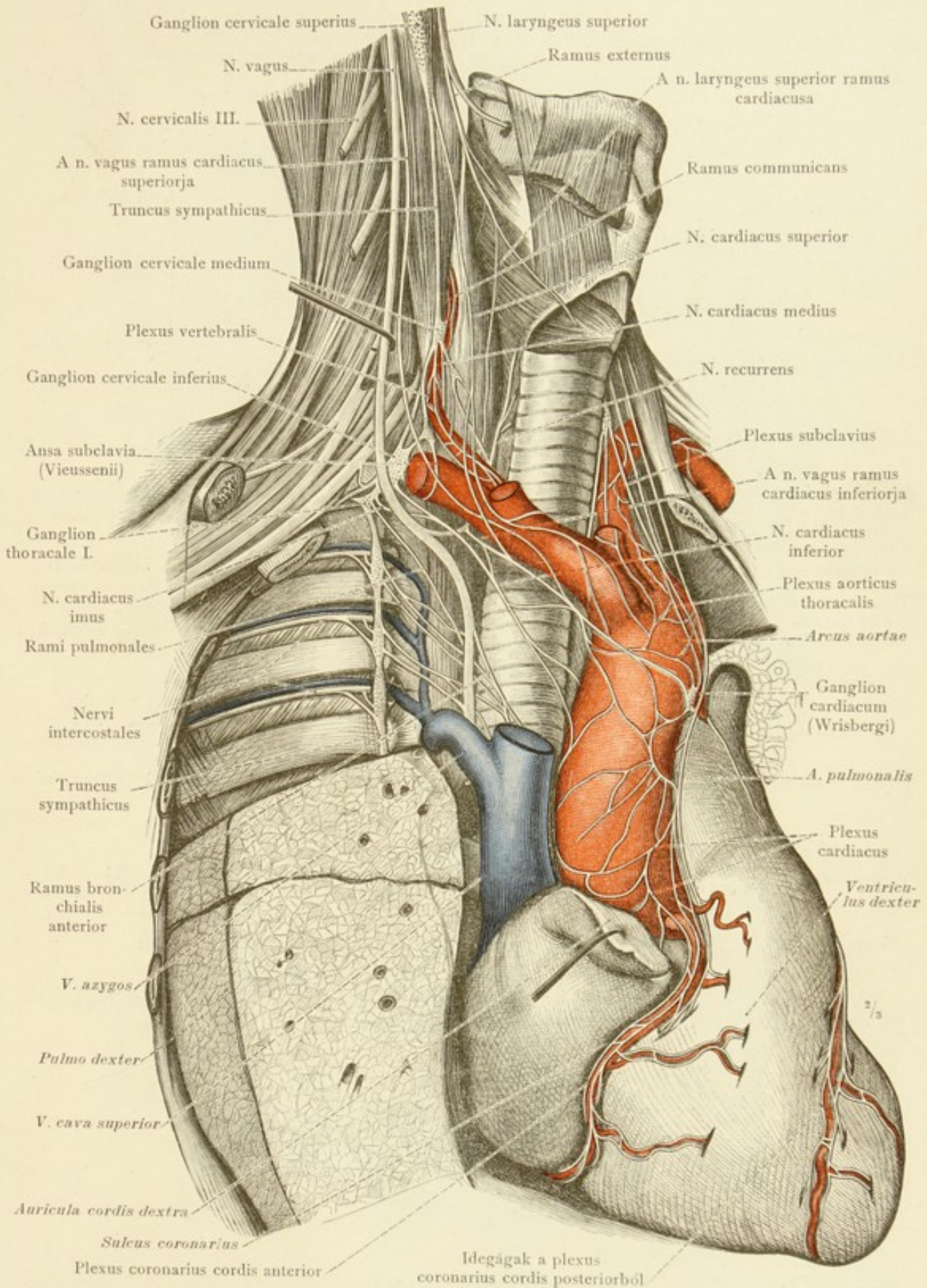


1329. rajz. A gerincesatorna idegei, nervi sinuvertebrales, a 11. és 12. hátsigolyán, a csigolyaívek és a gerinevelő eltávolításával, hátulról nézve.

(A spinalis idegek gyökerei a spinalis ganglionokkal együtt oldalra vannak húzva.)

Pars cephalica systematis sympathici, a szimpatias idegrendszer feji része. —  
Nervi sinuvertebrales.



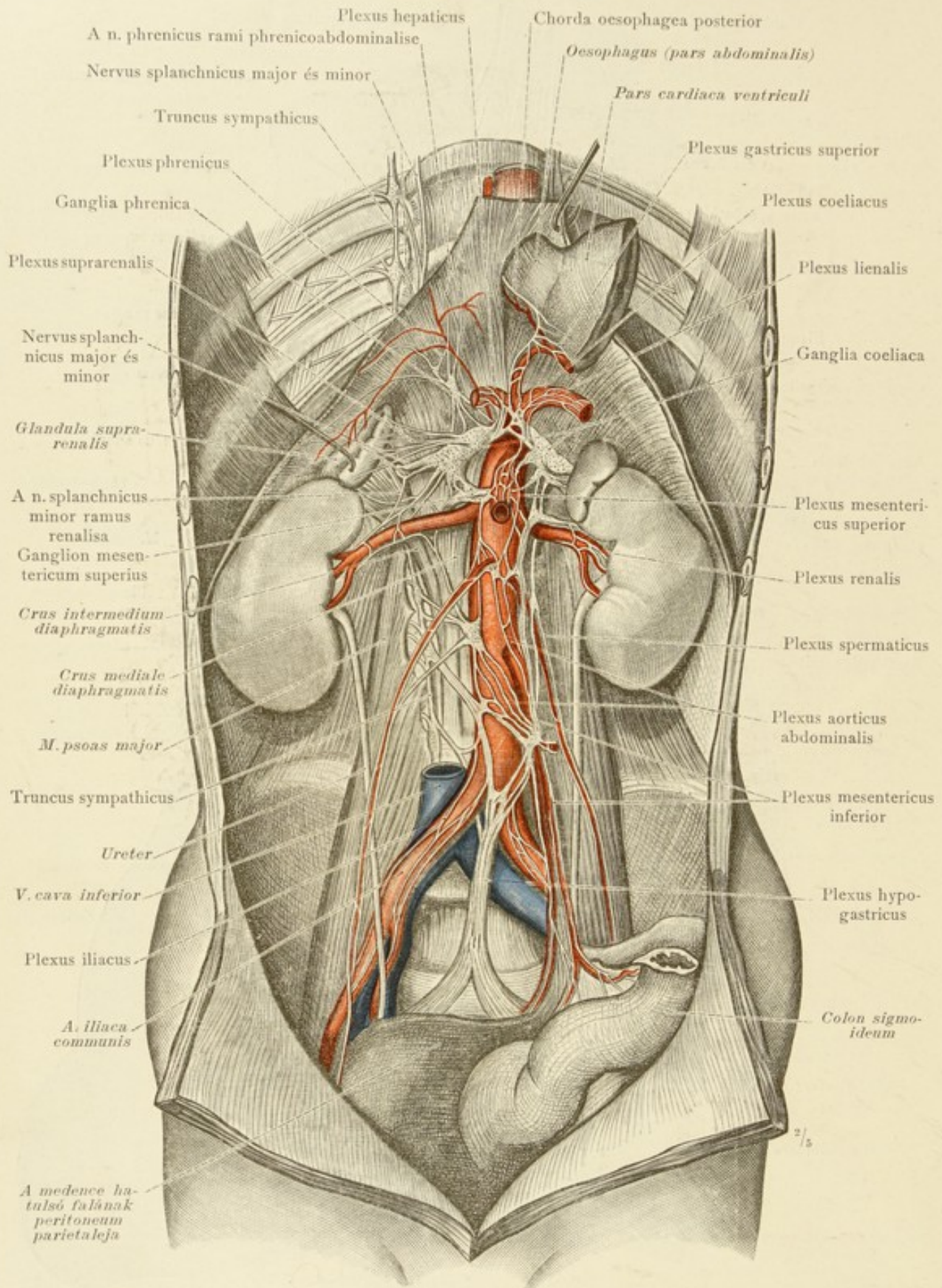


1330. rajz. A szív idegei, nervi cardiaci és a szívidegfonat, plexus cardiacus, jobboldalról nézve. (A jobb tüdő elülső és felső része el van távolítva.)

Pars thoracalis systematis sympathici, a szimpatikus idegrendszer mellkasi része.



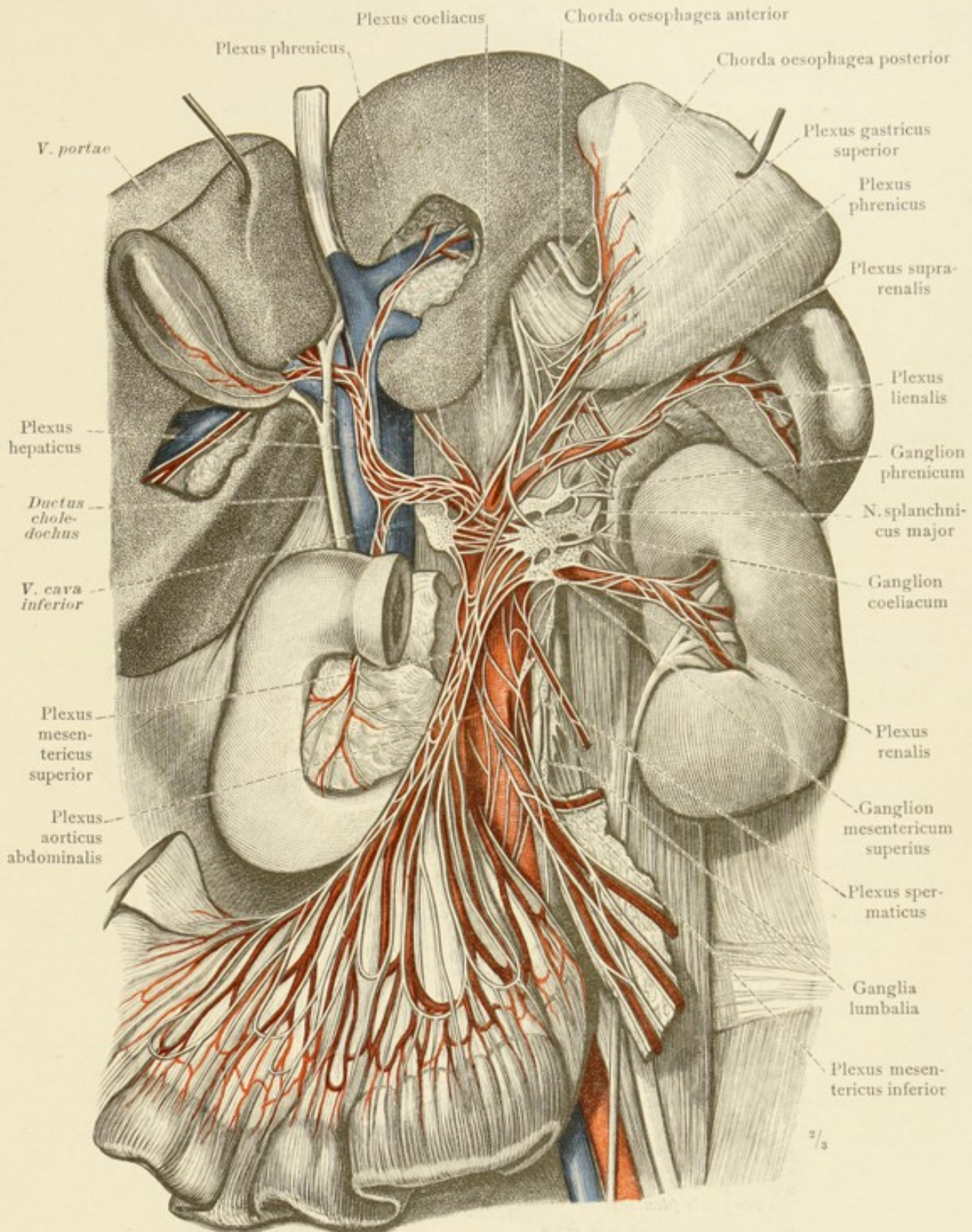
## A szimpatias idegrendszer.



1331. rajz. A szimpatias fonatok ducai, ganglia plexuum sympathicorum és a szimpatias fonatok, plexus sympathici, a hashartya mögött. Elülről nézve.

Pars abdominalis systematis sympathici, a szimpatias idegrendszer hasi része.



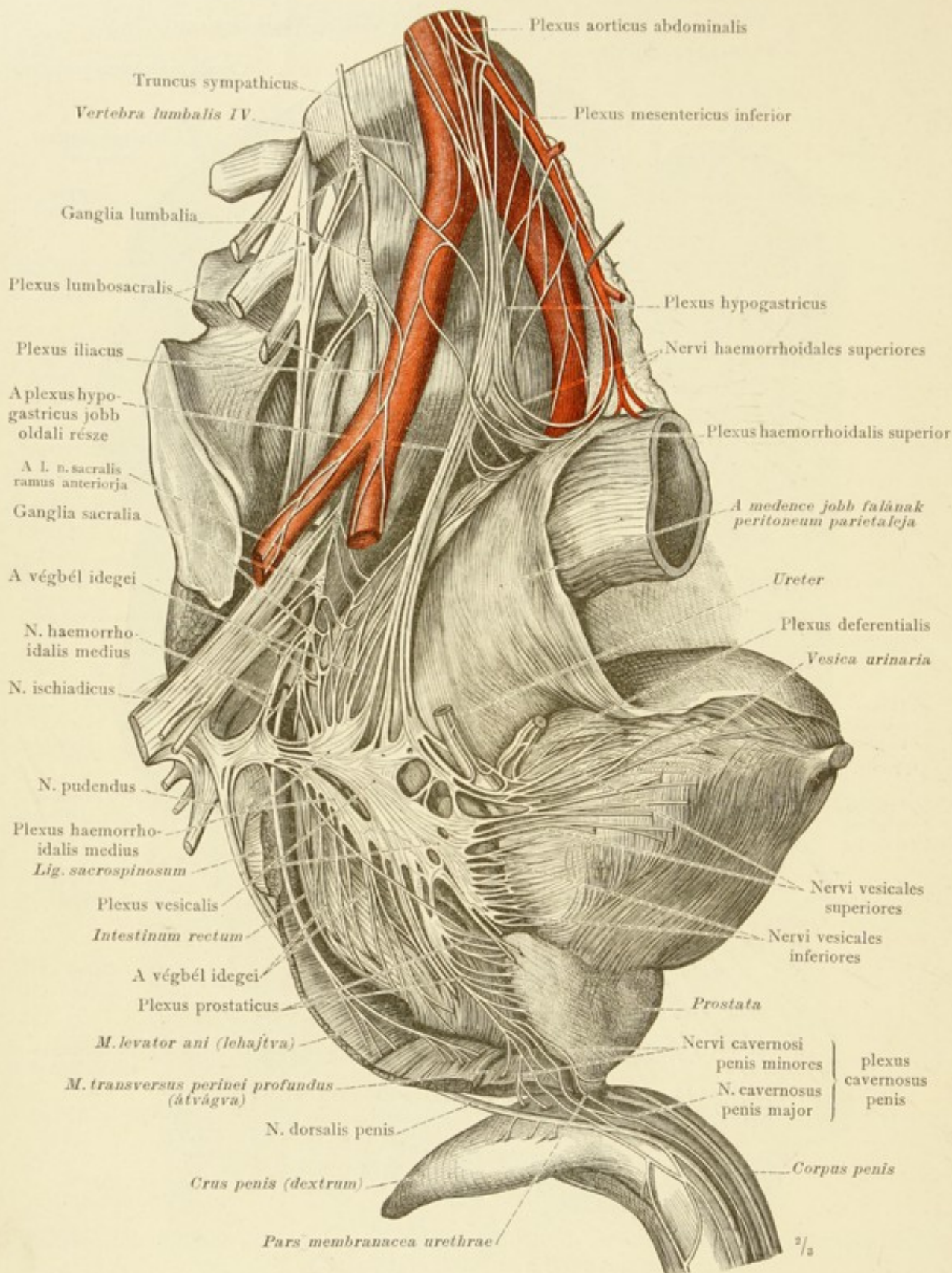


1332. rajz. A ganglia coeliaca és a belőlük kisugárzó szimpatias idegfonalok, plexus sympathici, a has zsigerei számára.

(A gyomornak csak a felső, a nyelöcsővel összefüggő része van megtartva és a májjal felfelé hajtva. A pancreas, a feje és a teste közt átvágva és eltávolítva. A bélfodori crei és idegei a hashártya levonásával láthatók.)

Pars abdominalis systematis sympathici, a szimpatias idegrendszer hasi része.

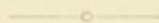





1333. rajz. A plexus hypogastricus, a medence zsigereinek szimpatias hálózata és összefüggése a szimpatias ideglánc keresztcsonti részével. A plexus pudendus.

Pars pelvina systematis sympathici, a szimpatias idegrendszer medencebeli része.

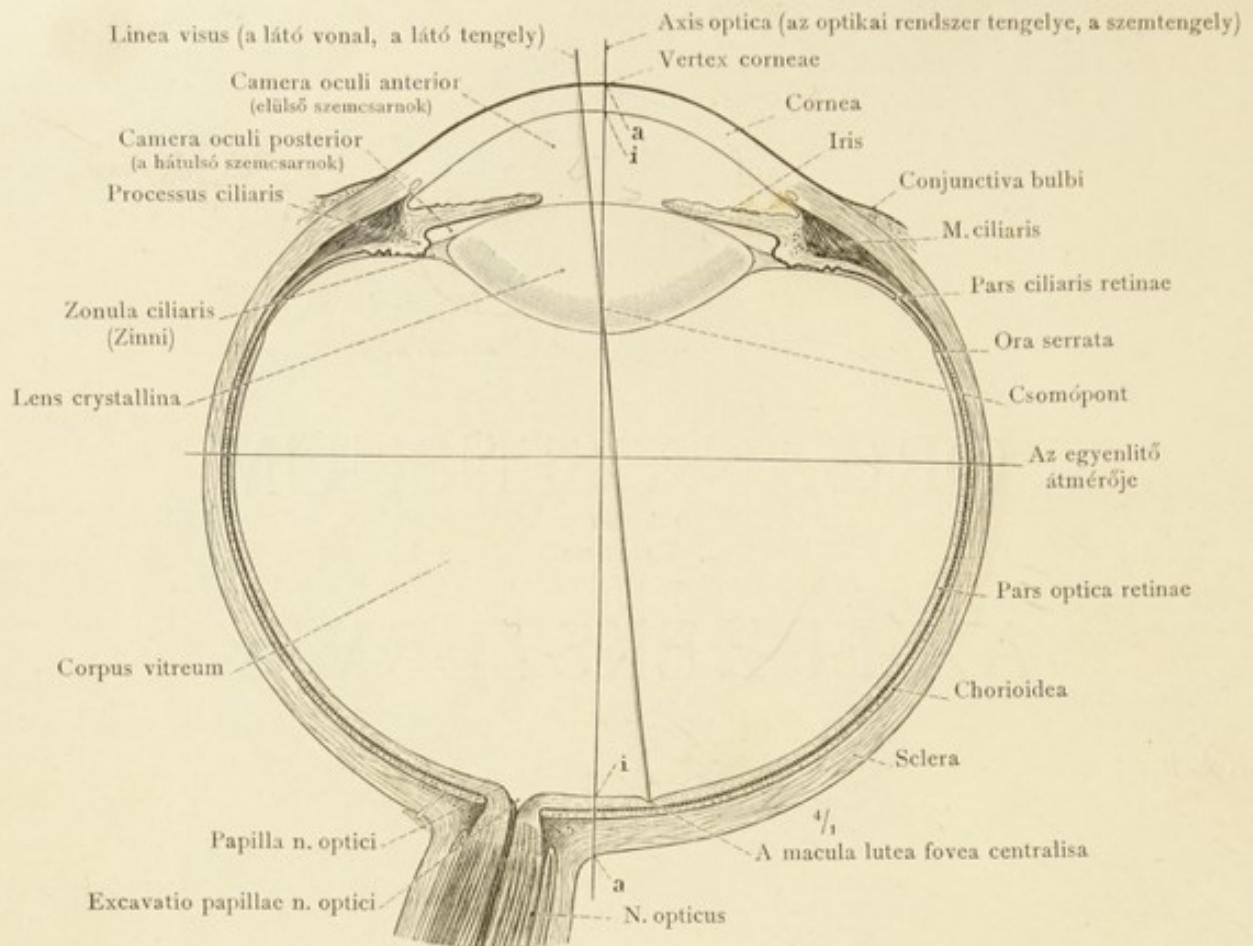
ORGANA SENSUUM.  
AZ ÉRZÉKSZERVEK.



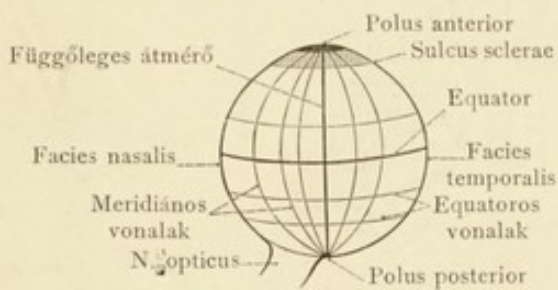
ORGANON VISUS.  
A LÁTÓ SZERV.



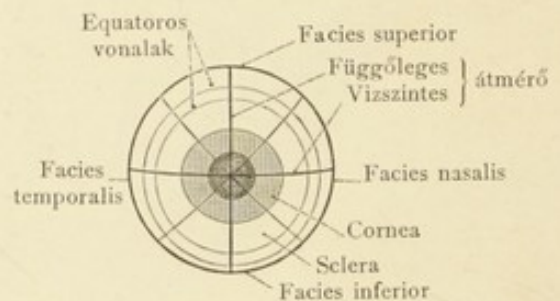




1334. rajz. A jobb szemgolyó vízszintes metszetének sémája. A látó vonal, a látó tengely; aa Axis oculi externa, ii Axis oculi interna.

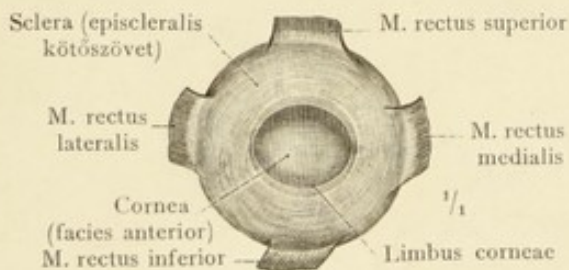


Felülről nézve.

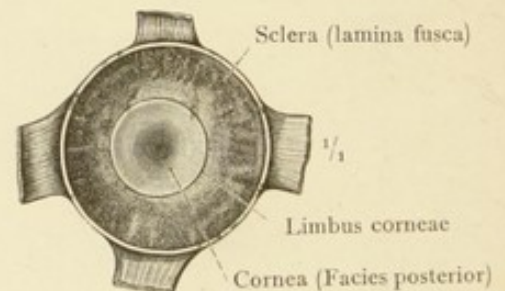


Elülről nézve.

1335. rajz. A szemgolyó szokásos tájékoztatói vonalai. A jobb szem.



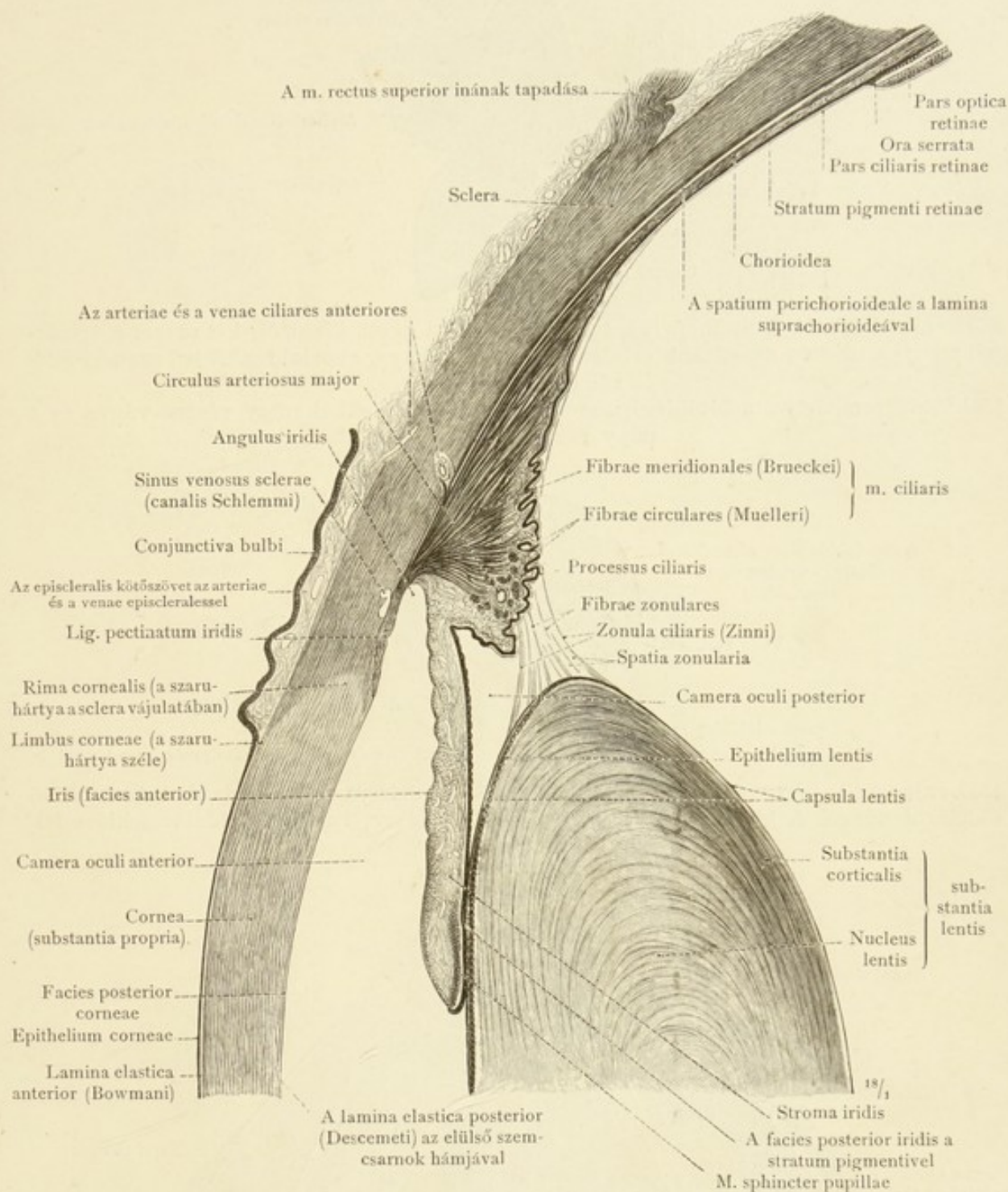
Elülről nézve.



Hátulról nézve.

1336. rajz. A szem külső, rostos hártájának, tunica fibrosa oculi, elülső része: a szem fehérje, sclera és a szaruhártya, cornea.

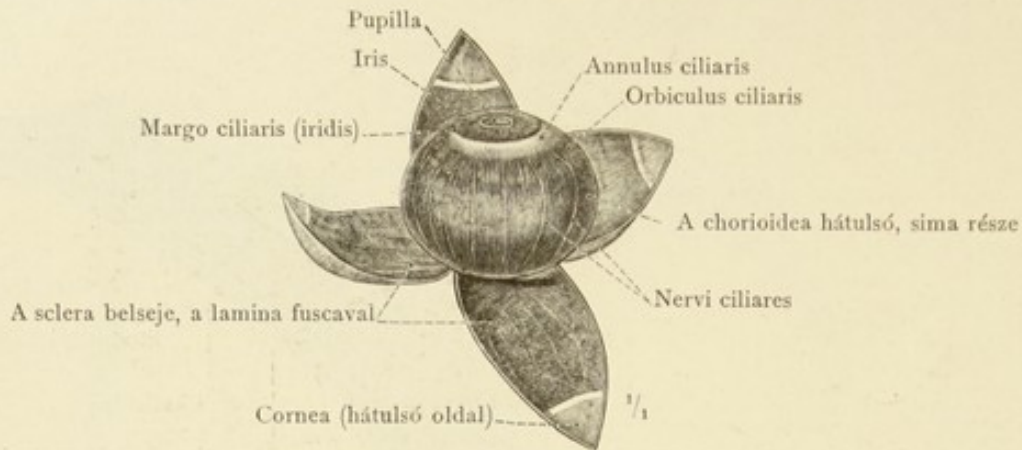
Bulbus oculi, a szemgolyó. — Tunica fibrosa oculi, a szem külső hártája, a rostos hártya.



1337. rajz. A szemgolyó elülső felének merőleges, meridiános metszete. A három szemhártya rétegei; az elülső és a hátsó szemcsarnok, camera oculi anterior, camera oculi posterior. A lencse, lens crystallina, összefüggése a sugaras testtel; corpus ciliare és odafekvése a szivárványhártyához, iris. A m. ciliaris és a zonula ciliaris (Zinni).

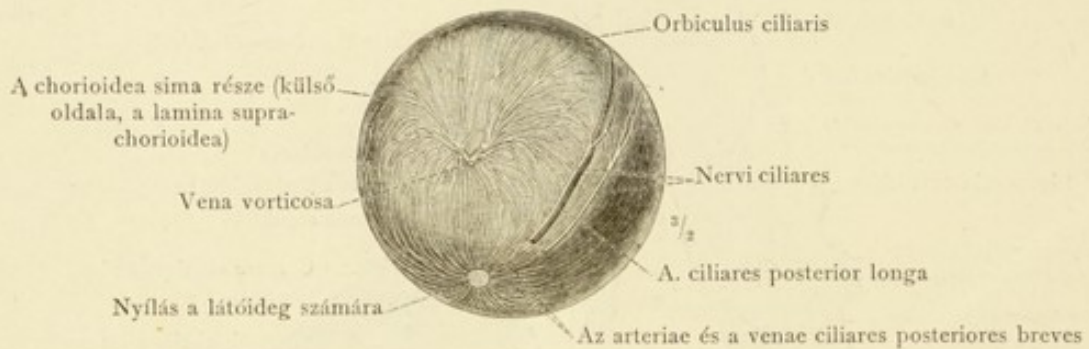
A szemgolyó meridiános metszete.



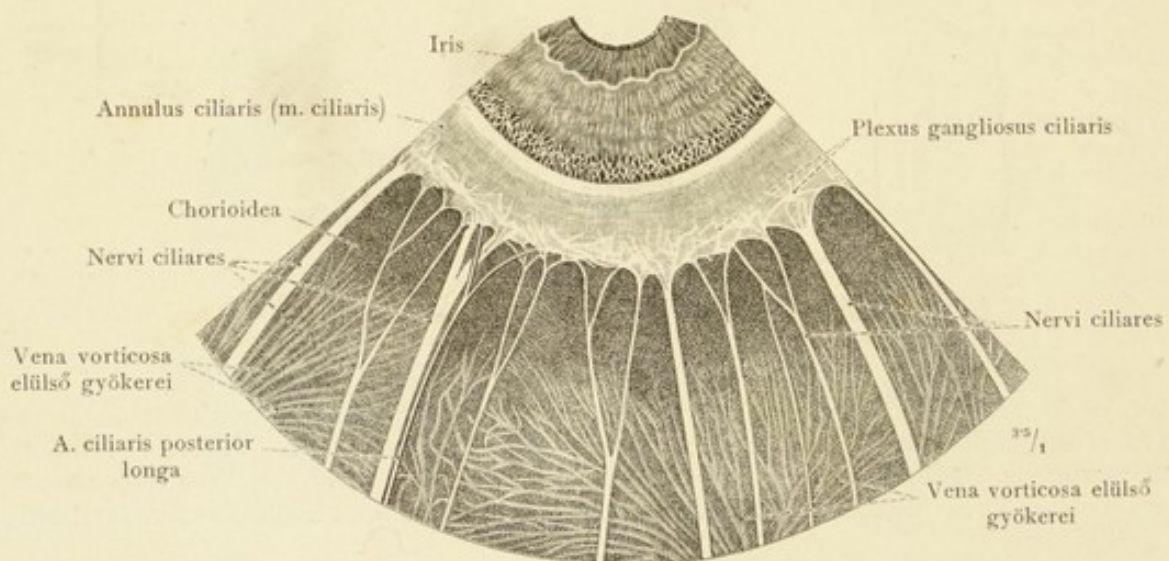


1338. rajz. A középső szemhártya, tunica vasculosa oculi, kívülről; két része: a szivárványhártya, iris és szorosabb értelemben vett érhártya, chorioidea. A bal szem. Felülről és elülről nézve.

(A külső szemhártya a látóidegig, meridiános metszésekkel négy részre vágva és a négy részt széjjelhúzva.)

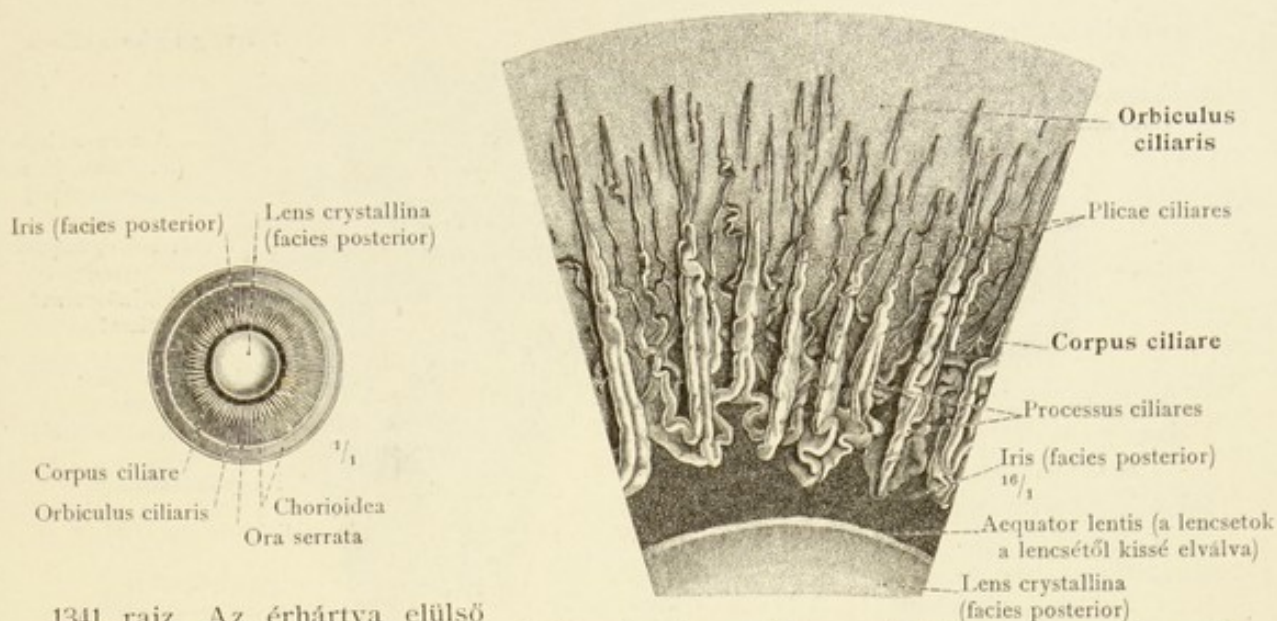


1339. rajz. Az érhártya hátulsó része, a külső szemhártya teljes eltávolításával, külső oldaláról nézve. A jobb szem felülről és hátulról nézve, halántéki oldalával kissé felfelé fordítva.



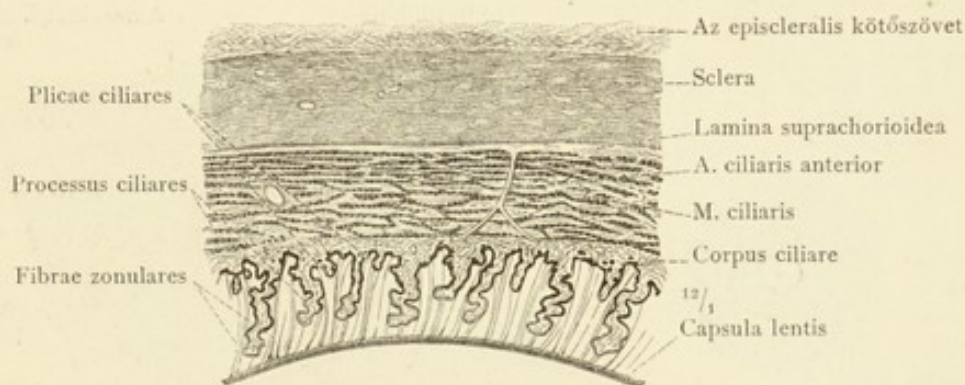
1340. rajz. A középső szemhártya elülső részének darabja, külső oldaláról nézve. A plexus gangliosus ciliaris és idegei, a nervi ciliaresek.

Tunica vasculosa oculi, a szem középső hártájaja, az érhártya.

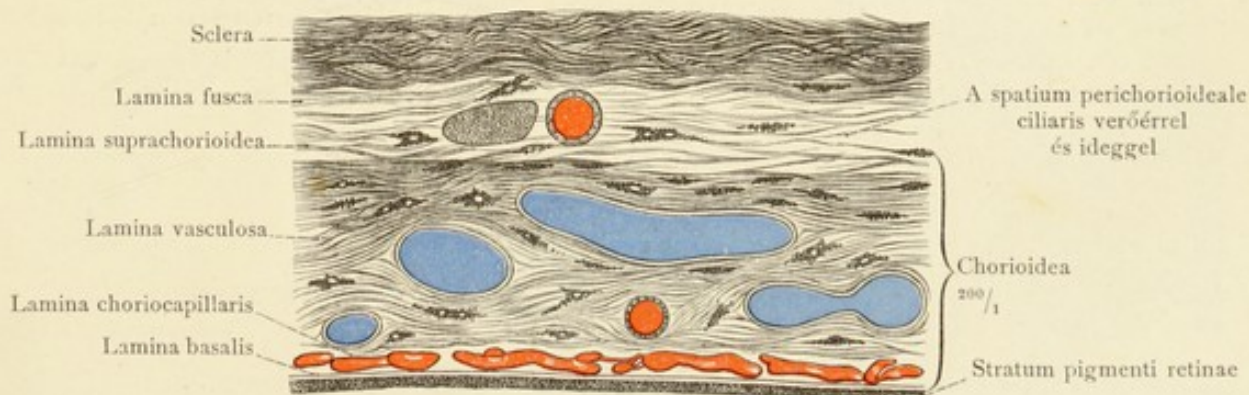


1341. rajz. Az érhártya elülső részének belső oldala a lencsével. A sugárkoszorú, corona ciliaris. Hátrólól nézve.

1342. rajz. A sugárkoszorú kis része nagyítva. A sugárnyujtványok, processus ciliares és a sugár-ráncok, plicae ciliares.



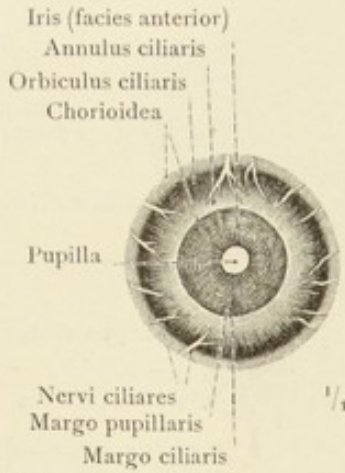
1343. rajz. A sugártest, corpus ciliare és a sclera equatoros metszete. A sugárnyujtványok, valamint a m. ciliaris rétegei harántul átmetszve. A metszetben a lencsetekot a fibrae zonuláresek kötik össze a sugártesttel.



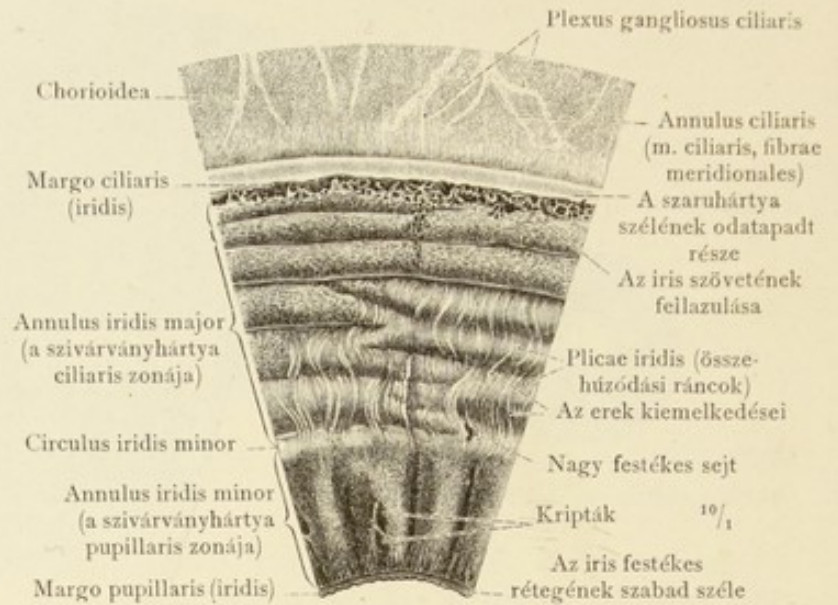
1344. rajz. A szem érhártyájának rétegei; equatoros metszet az érhártya hátulsó, sima részéből. A spatium perichorioidealeban ciliaris verőér és ciliaris ideg harántmetszete látható.

Tunica vasculosa oculi, a szem középső hártája, az érhártya.

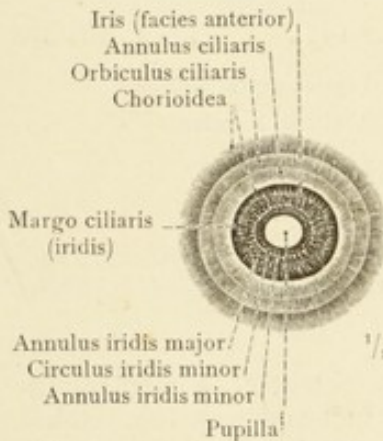




1345. rajz. Sötétbarna szem szivárványhártyája, irise, összefüggésben az érhártya elülső részével. Elülről nézve.



1346. rajz. Az előbbi rajz szivárványhártyájának kis darabja, nagyítva. Facies anterior.



1347. rajz. Világosszürke szem szivárványhártyája, irise, összefüggésben az érhártya elülső részével. Elülről nézve.



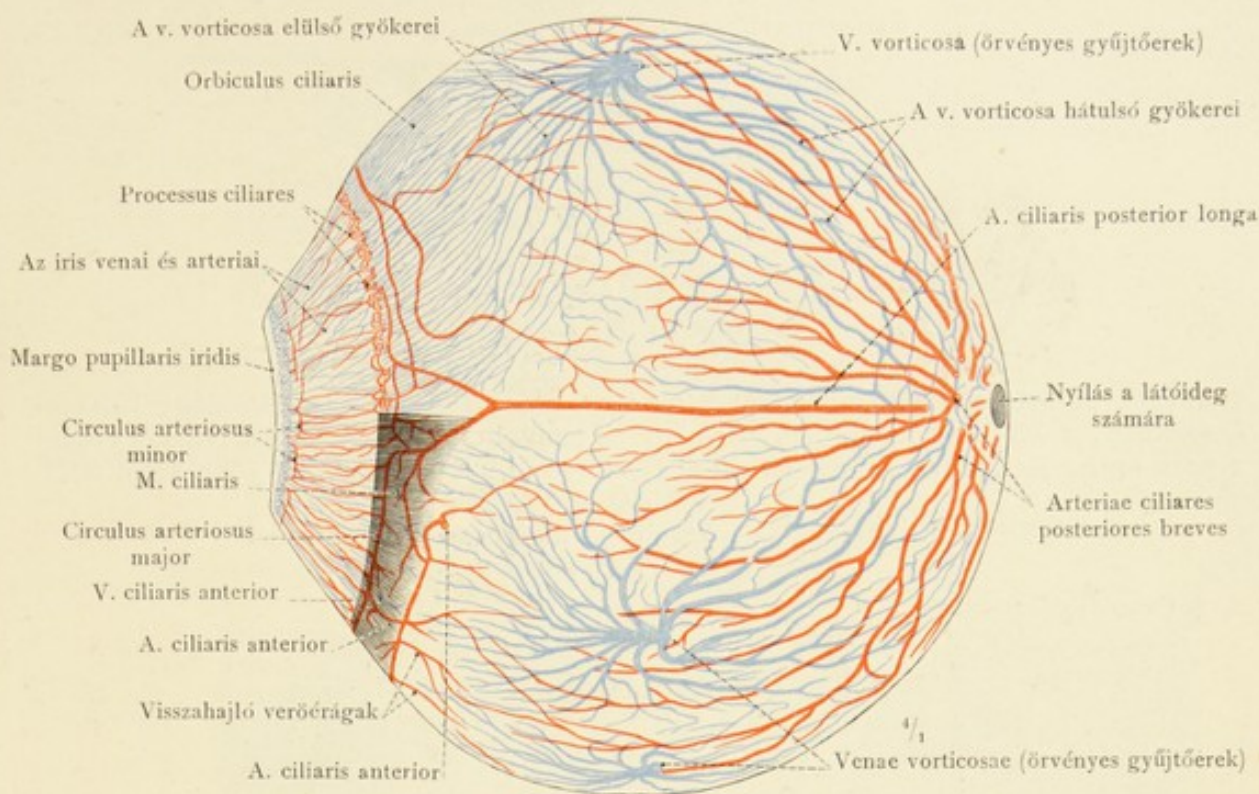
1348. rajz. Az előbbi rajz szivárványhártyájának kis darabja nagyítva. Facies anterior.



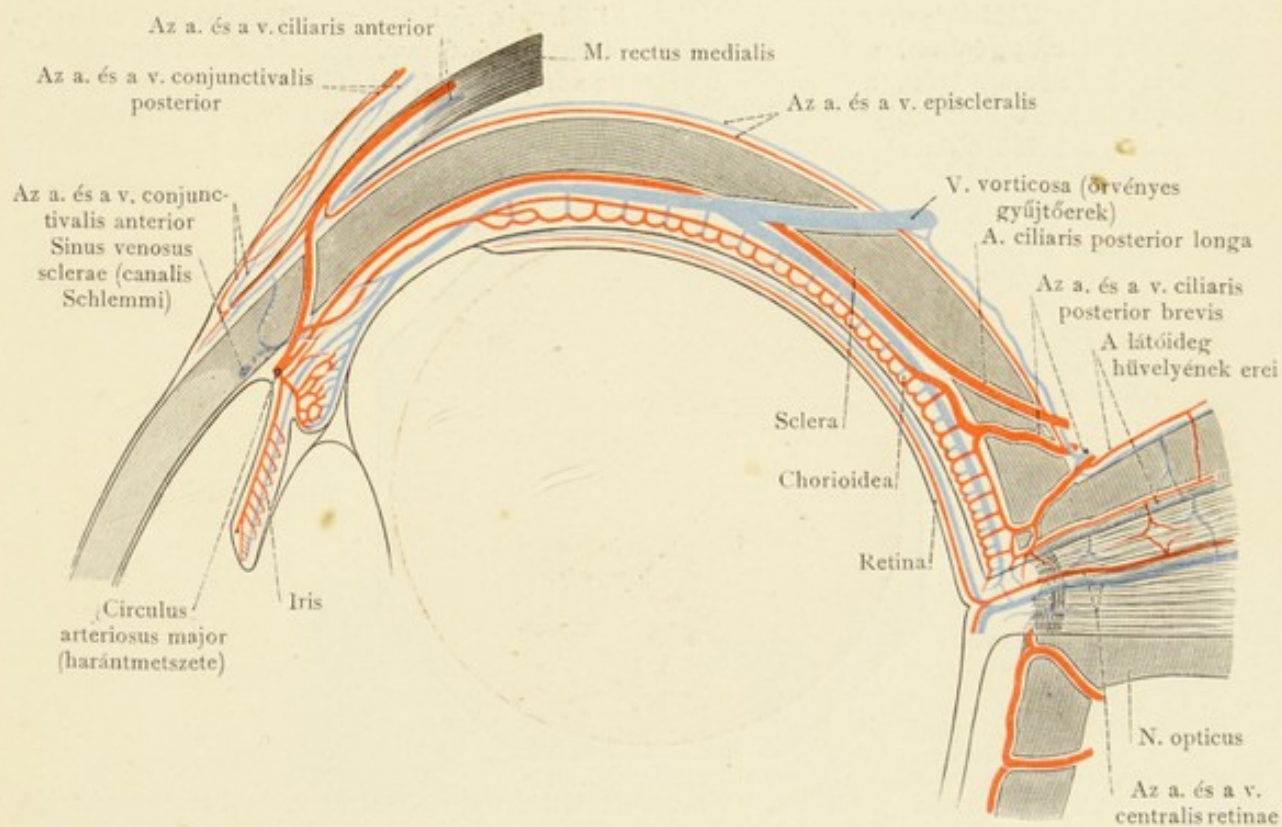
1349. rajz. Jobboldali, világosszürke szem irisének hátulsó oldala, facies posterior, a stratum pigmenti iridis teljes eltávolításával. A szembogár, pupilla, nem fekszik pontosan a közepén, hanem kissé az orrfelé és felfelé.

Tunica vasculosa oculi, a szem középső hártája, az érhártya.





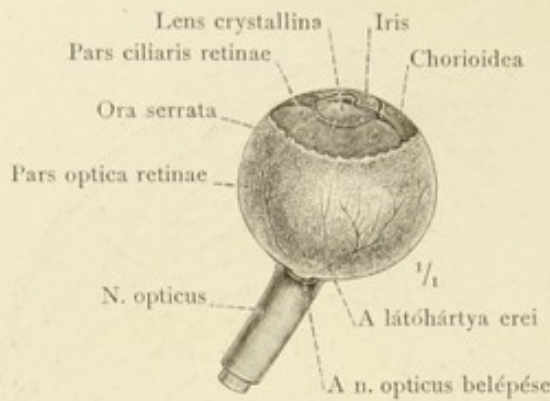
1350. rajz. A középső szemhártya ereinek sémája. *Leber Th.* szerint. Külső oldaláról nézve.  
(A m. ciliaris felső felének eltávolításával, a sugárnyujtványok erei láthatók.)



1351. rajz. A szemgolyó ereinek sémája. Horizontális metszet. *Leber Th.* szerint.

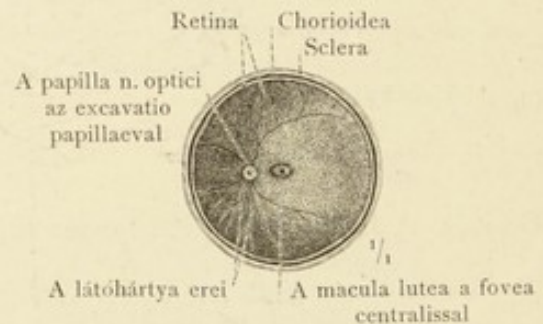
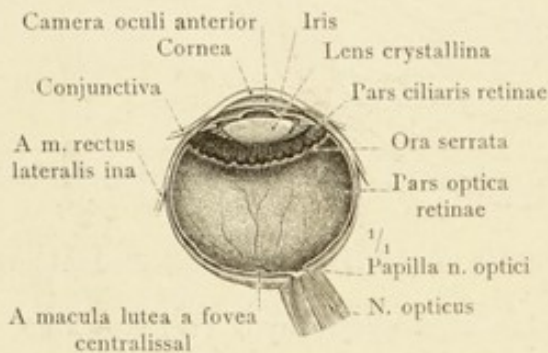
A szemgolyó erei.





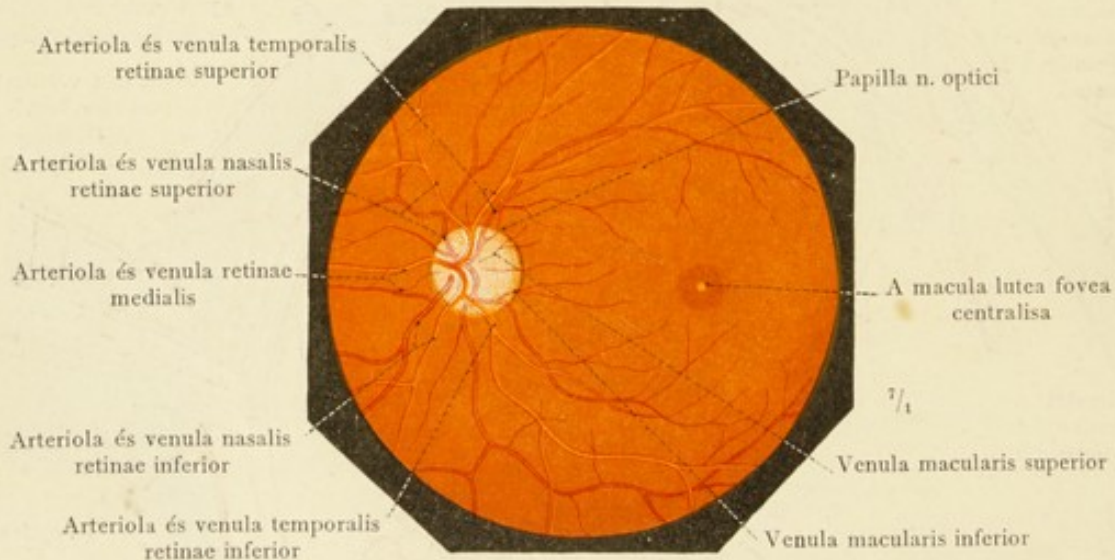
1352. rajz. A belső szemhártya, a látóhártya, retina, külső oldala a látóideggel összefüggésben, a külső és a középső szemhártya eltávolításával. A látóhártya két része: a pars optica és a pars ciliaris és a két rész határa, az ora serrata. Jobb szem felülről nézve,

(A szivárványhártya és a sugártest kis része meg van tartva.)



1353. rajz. A látóhártya, retina, a látóideggel összefüggésben, vízszintesen átmetszett bal szemgolyón, az üvegtest eltávolításával. A szemgolyó alsó fele. A szemgolyó belső oldala, felülről nézve.

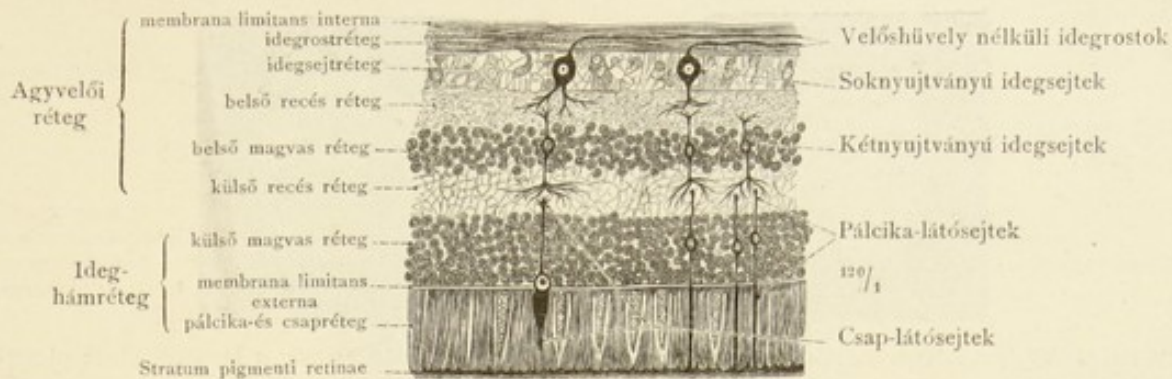
1354. rajz. A látóhártya hátulsó fele, a látóideg belépésével, papilla nervi optici és a sárga folttal, macula lutea; equatorában átmetszett bal szemgolyó belső oldala, elülről nézve.



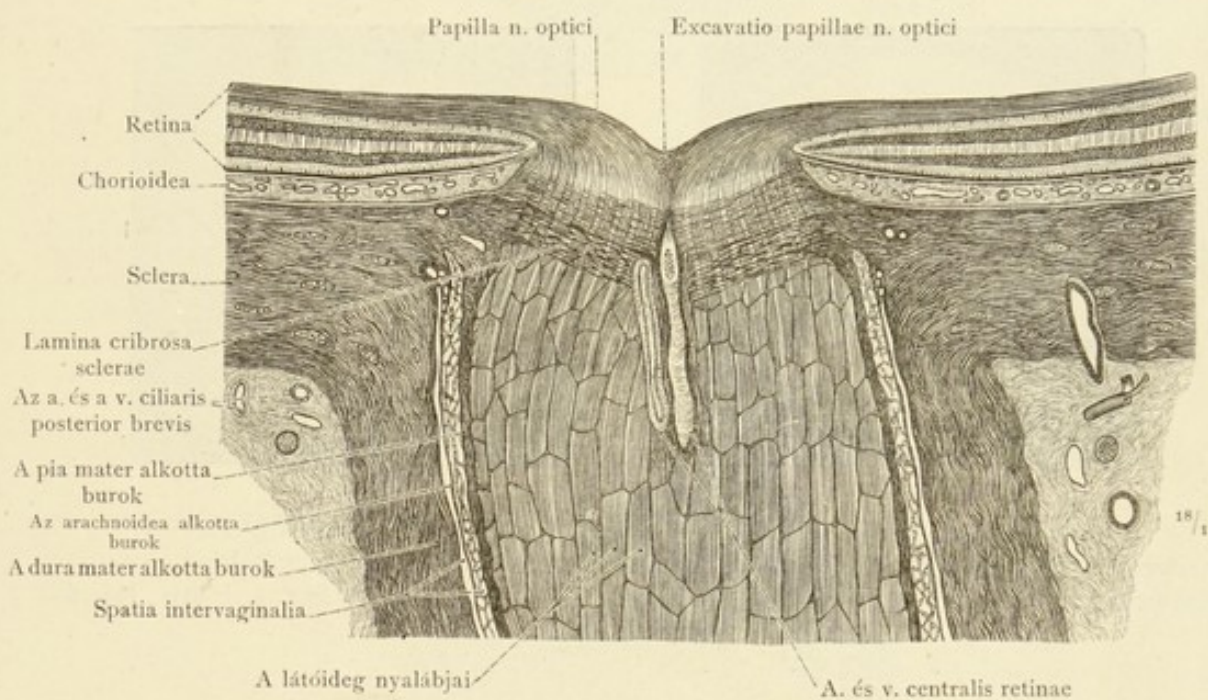
1355. rajz. A szemfenék, a látóhártya ereivel; sötét hajú fiatal férfi, ép bal szemének szemtükörrel nézett, egyenes képe. Jäger E. szerint.

Retina, a szem belső hártyája, a látóhártya.

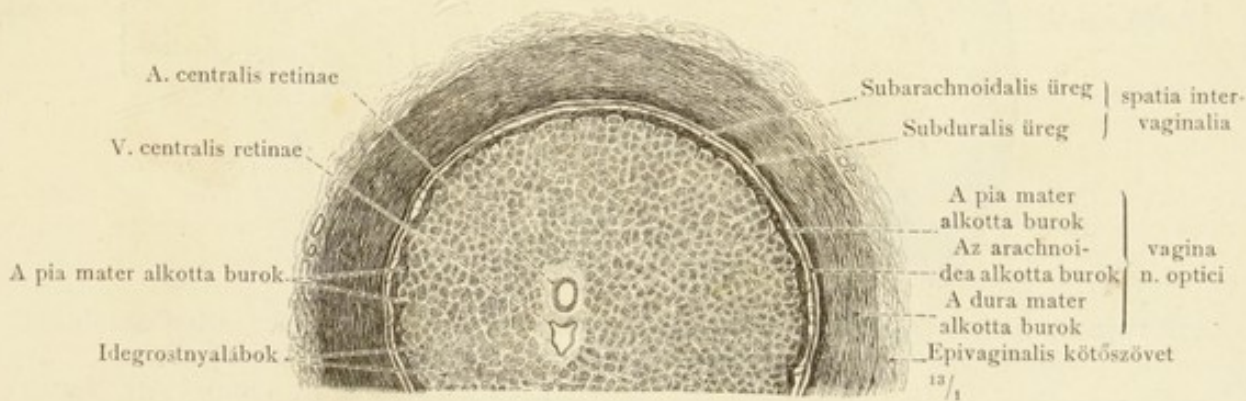




1356. rajz. A látóhártya rétegei, meridiános metszetben. A látóhártya alkotó részeinek sémája.



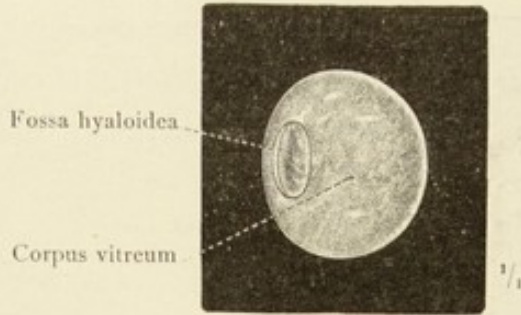
1357. rajz. A látóideg, n. opticus, végdarabja és belépése a szemgolyóba, horizontális metszetben. A látóideg burkai, vaginae n. optici, hosszmetsetben.



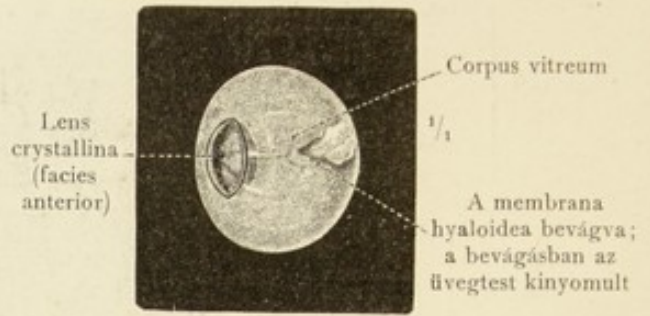
1358. rajz. A látóideg elülső részének és burkainak, vaginae n. optici, harántmetszete.

Retina, a szem belső hártýája, a látóhártya. — N. opticus, a látóideg.

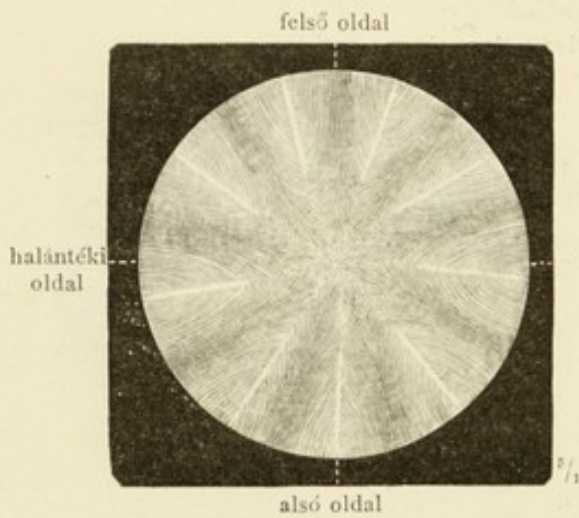




1359. rajz. Az üvegtest, corpus vitreum, a fossa hyaloideával, a lencse fekvőhelyével. Elülről és oldalról nézve.

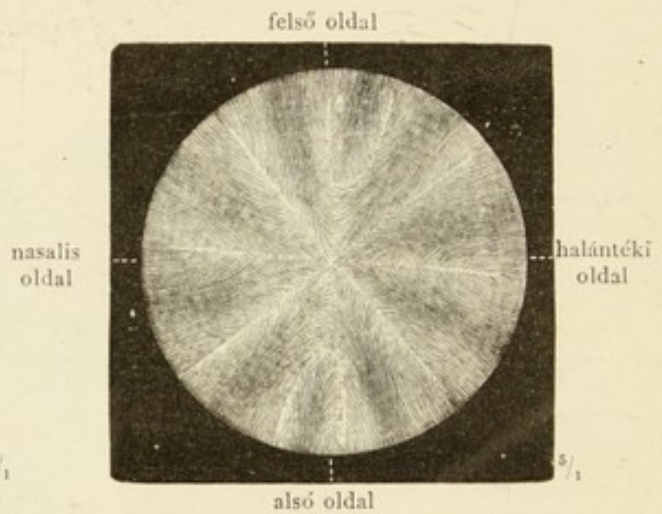


1360. rajz. Az üvegtest a lencsével. A membrana hyaloidea kis bevágásában az üvegtest kinyomult.

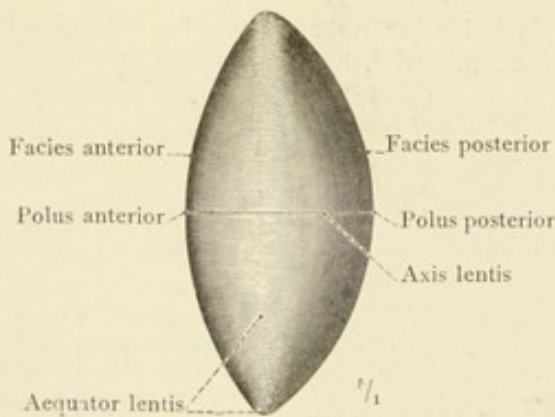


1361. rajz. Facies anterior.

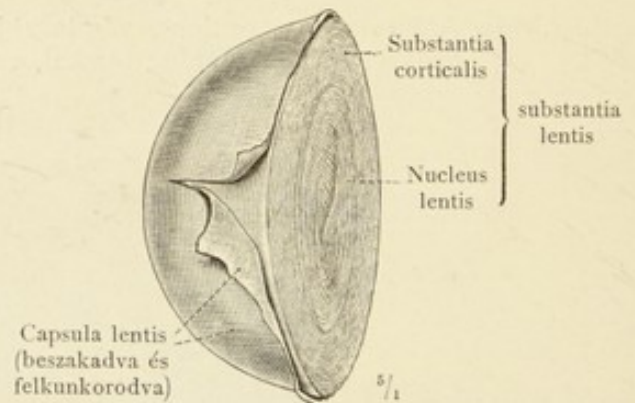
A szemből néhány órával a halál után kivett szemlencse, lens crystallina, formalinoldatban stereoskopos nagyítóval lerajzolva. A lencse rostok, fibrae lentis lefutása és elrendeződése.



1362. rajz. Facies posterior.

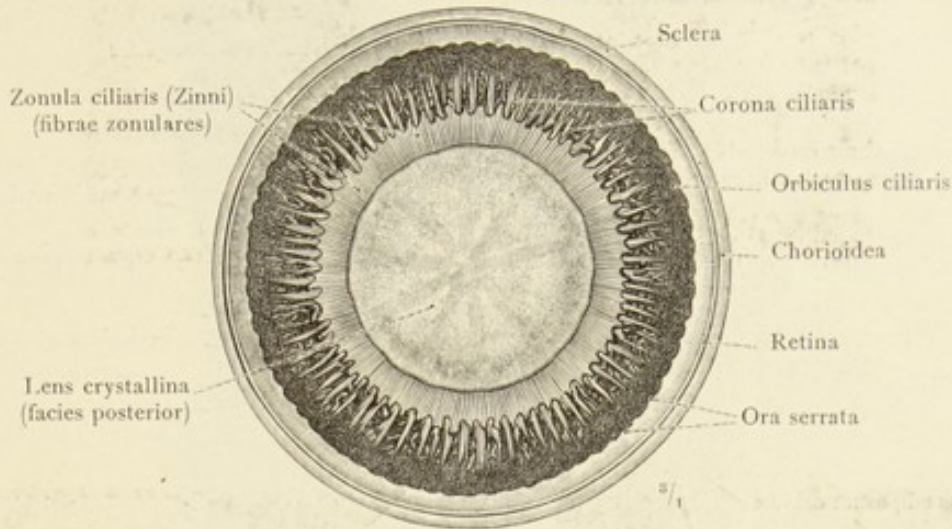


1363. rajz. A lencse tájékoztató jelzései.

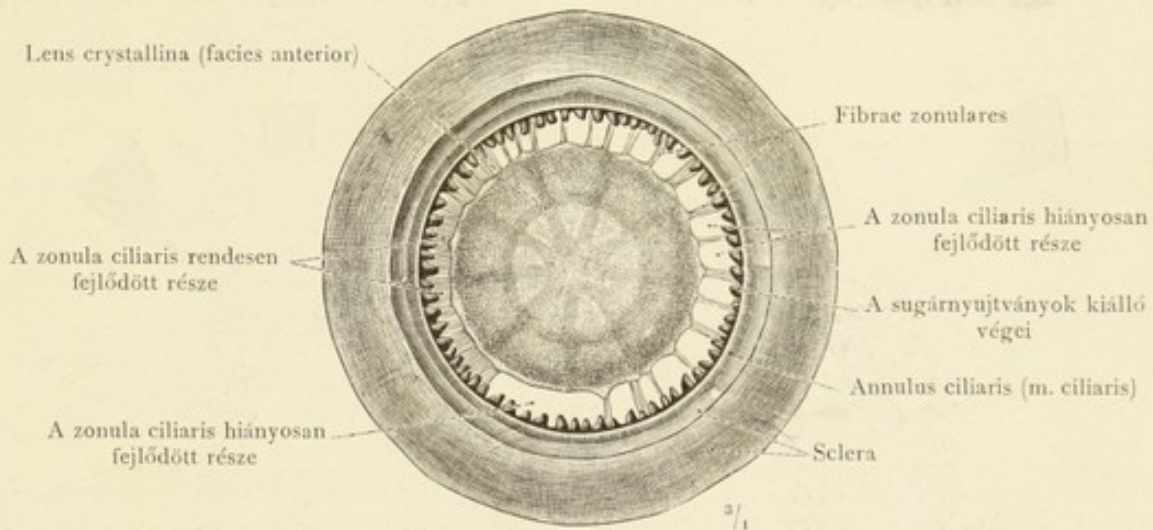


1364. rajz. A lencse fele; a lencsetok kis része felkunkorodott. (A frissen kettévágott lencse egy napig vízben való áztatás után.)

Corpus vitreum, az üvegtest. — Lens crystallina, a szemlencse.



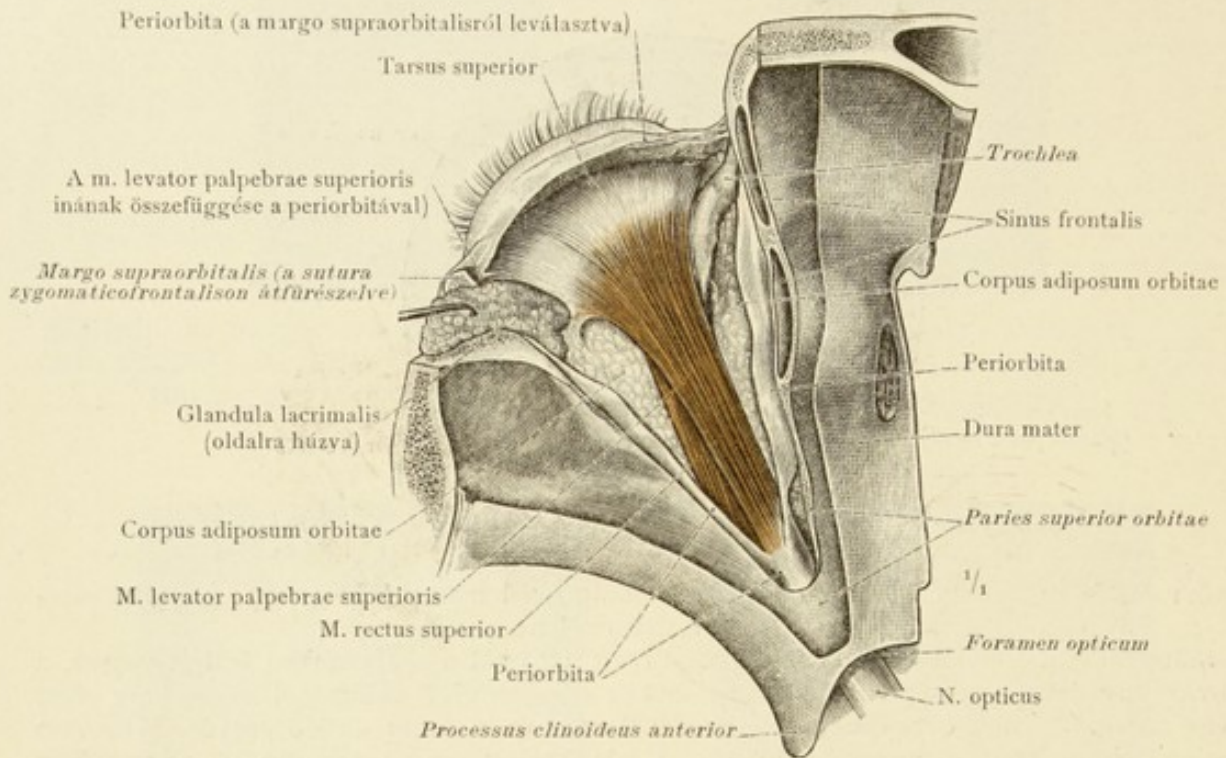
1365. rajz. A sugárövecske, zonula ciliaris (Zinni) a lencsével és a sugártesttel összefüggésben, hátulról nézve.  
 (Néhány órával a halál után, a tetemből kivett szemről a szaruhártya le lett vágva, a szivárványhártya teljesen eltávolítva és azután a szemgolyó valamivel az equator előtt kettévágva. A sugárövecskét és a lencsét ilymódon, a szem elülső részében csupán csak a teljesen átlátszó üvegtest takarja. A készítmény azután azonnal 3%-os formalin oldatban stereoskopos nagyítóval, részben áteső, részben ráeső világításban le-rajzolva.)



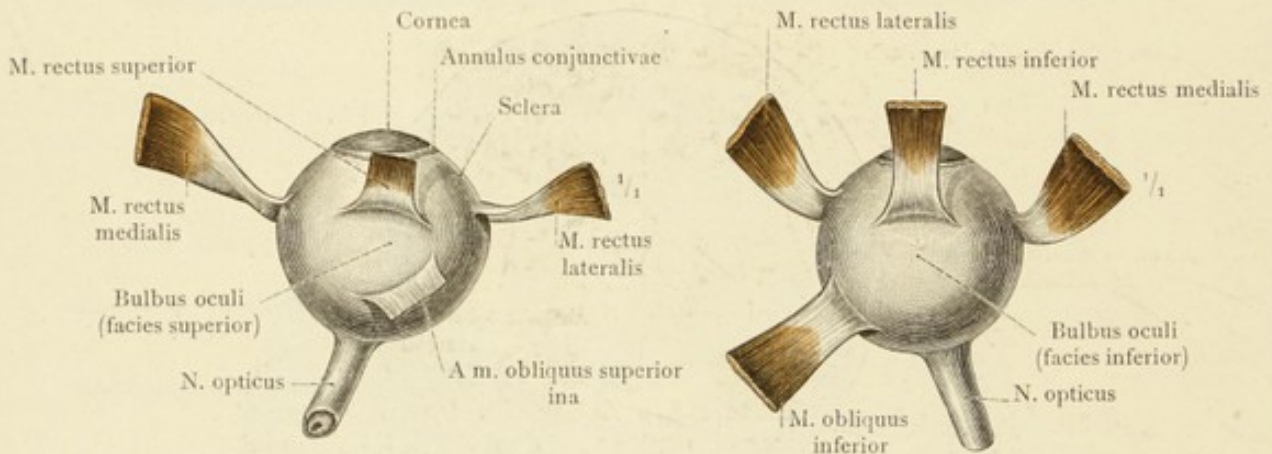
1366. rajz. A tökéletlenül fejlődött sugárövecske, a sugárövecskének a lencsére való húzó hatásának demonstrálására. Elülről nézve. A lencse azon oldal felé van eltolódva, ahol a sugárövecske majdnem teljesen kifejlődött. Azon helyeken, ahol a fibrae zonularesnek csak egyes vékony nyalábjai vannak jelen, a nyalábok tapadása helyén a lencse széle kihúzódnak. A lencsetok, a lencse equatorán, a lencséről kissé levált.  
 (A teljesen friss készítmény előállítása ugyanolyan volt, mint az 1365. rajzé.)

Zonula ciliaris (Zinni), a sugárövecske.



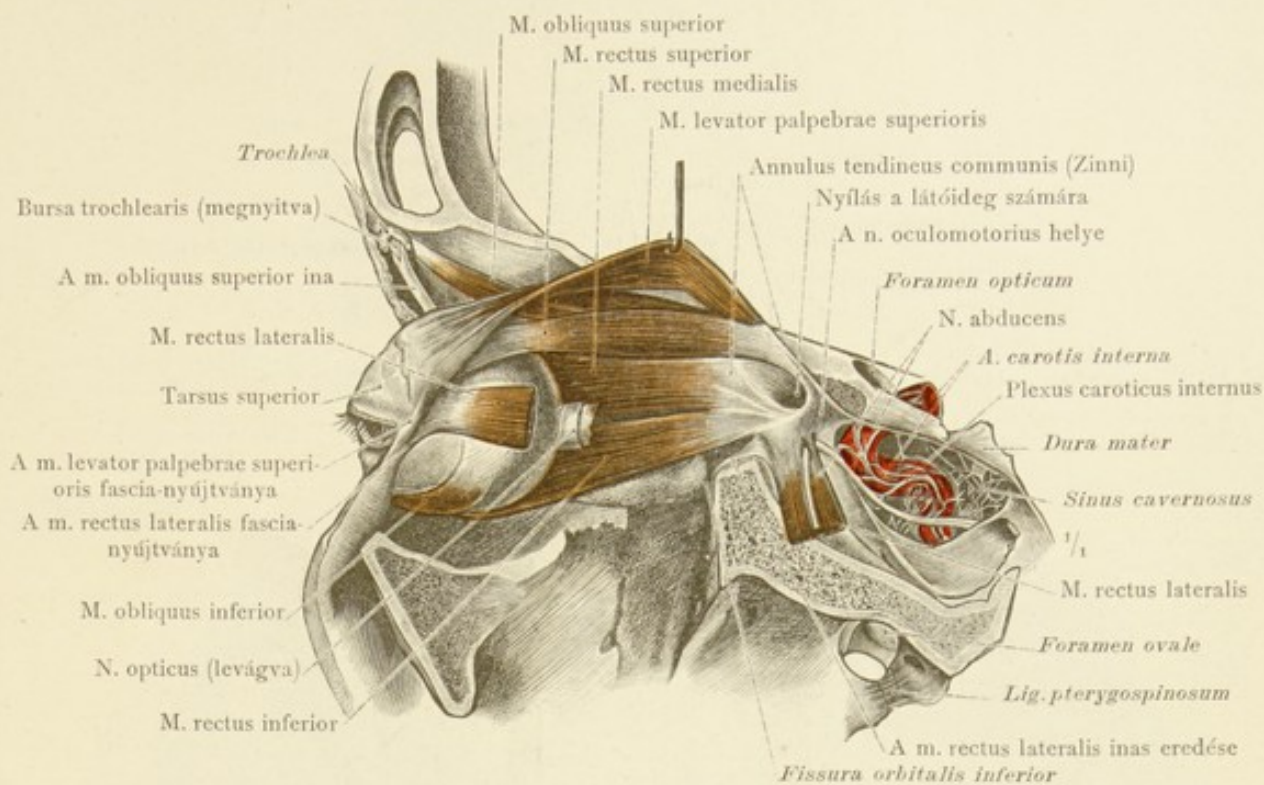


1367. rajz. A felső szemhéj emelője, a m. levator palpebrae superioris, felülről nézve. (A bal szemüreg felső falának és a periorbita nagy részének eltávolításával. A könny-mirigy oldalra van húzva.)

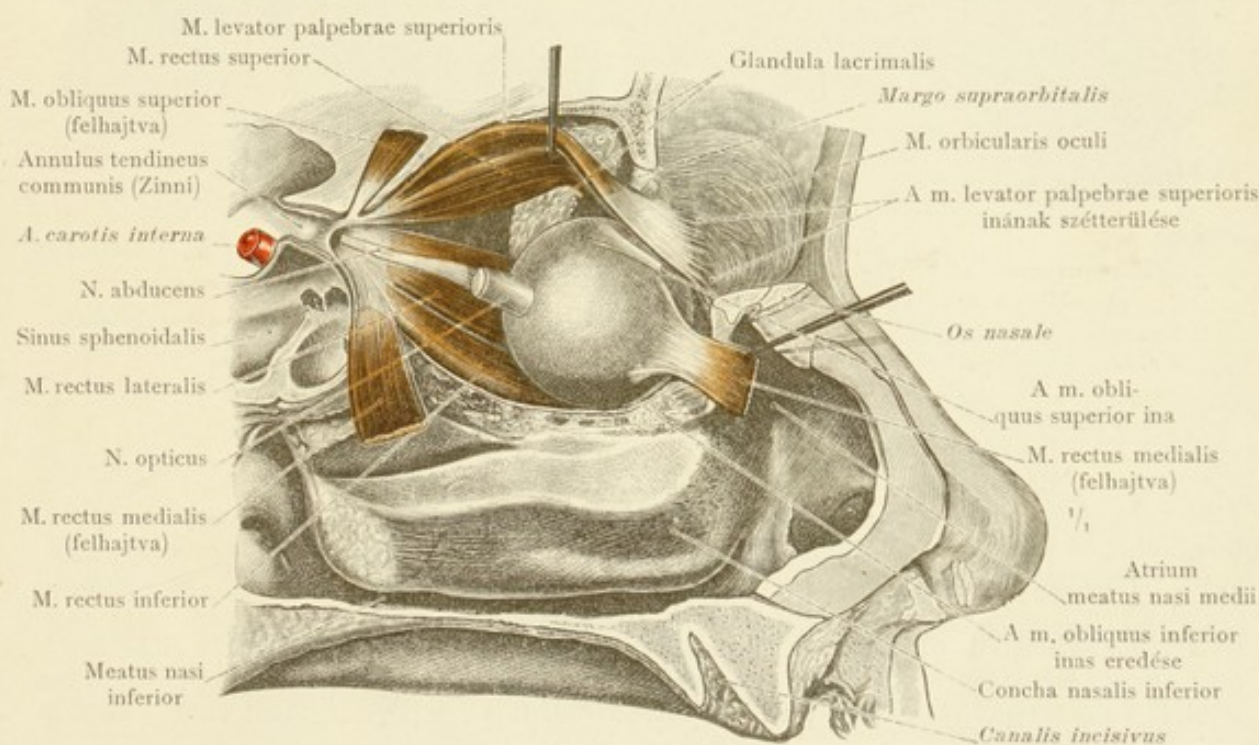


1368. rajz. A felső, az oldalsó és a medialis egyenes szemizom, a m. rectus superior, a m. rectus medialis és a m. rectus lateralis, valamint a felső ferde szemizom, a m. obliquus superior tapadása a szemgolyón. A jobb szem felülről nézve. (Az izomcsomkok a szemgolyóról fel vannak emelve.)

1369. rajz. Az alsó, a medialis és a lateralis egyenes szemizmok, a m. rectus inferior, a m. rectus lateralis és m. rectus medialis, valamint az alsó ferde szemizom, a m. obliquus inferior tapadása a szemgolyón. A jobb szem alulról nézve. (Az izomcsomkok a szemgolyóról fel vannak emelve.)



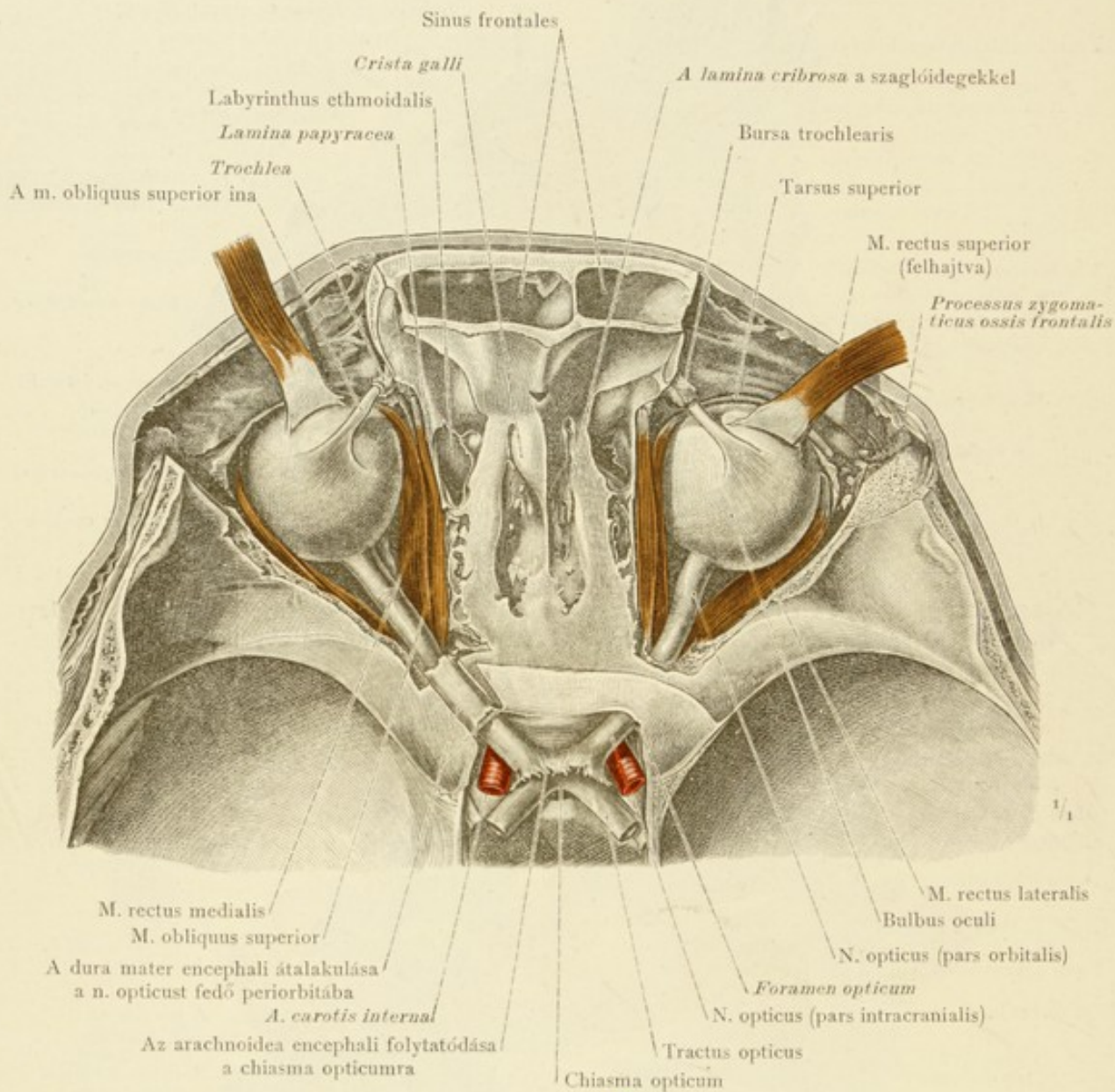
1370. rajz. A szemizmok a halánték felől kidolgozva. A bal szem.  
(A szemüreg felső és oldalsó falának eltávolításával a m. rectus lateralis ketté lett vágva, hátulsó része lefelé húzva és a látóideg eltávolítva.)



1371. rajz. A szemizmok az orr felől kidolgozva. A bal szem.  
A szemüreg medialis falának és felső fala nagy részének eltávolítása után, a m. rectus medialis át lett vágva, részei széjjelhúzva és a látóideg eltávolítva. A m. obliquus superiorinak az eredése és tapadása megtartva; a m. obliquus inferior eredéséhez közel van átvágva.

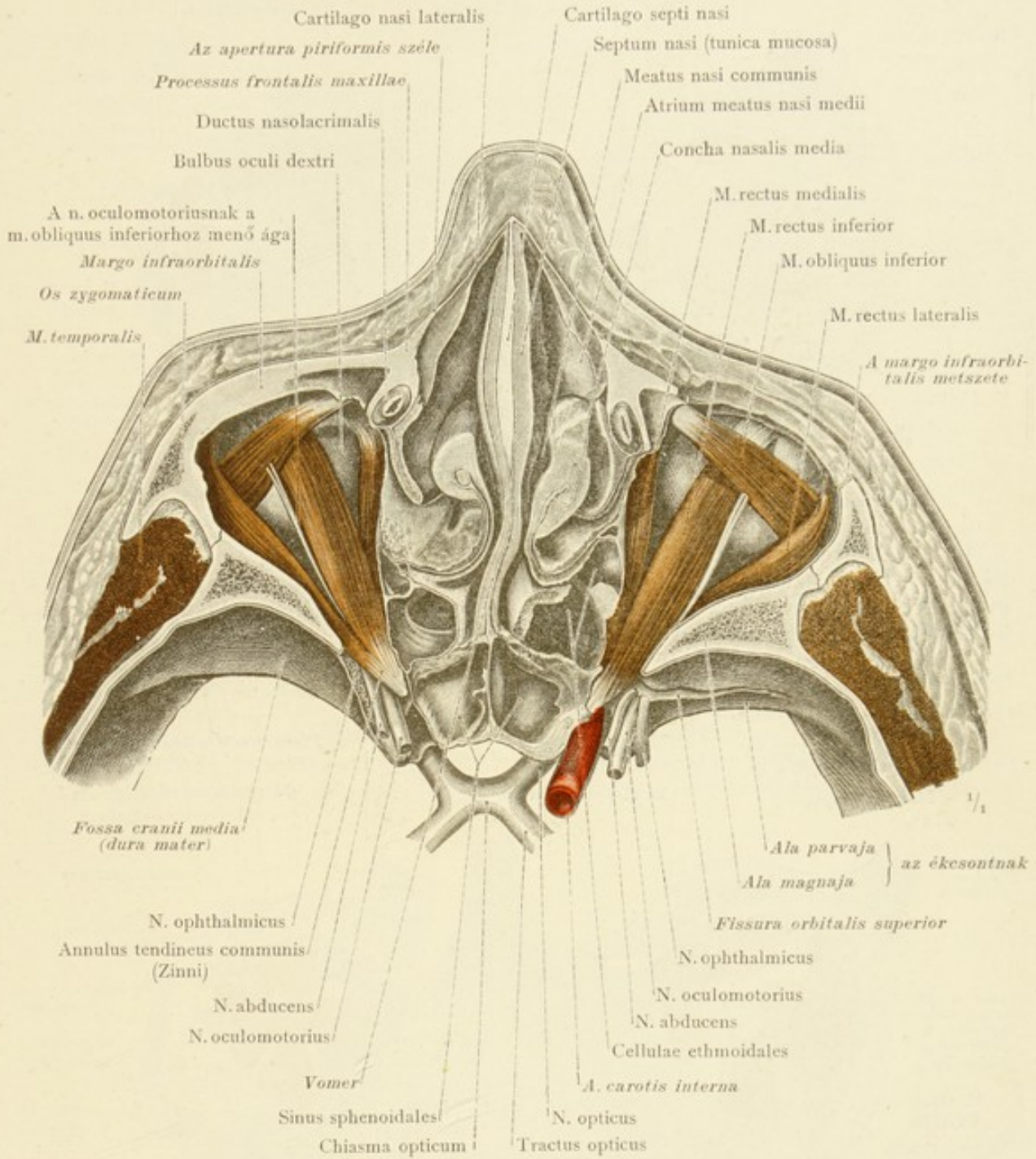
Musculi oculi, a szem izmai.





1372. rajz. A szemgolyó és a látóideg fekvése a szemüregben és helyzetük az izmokhoz, felülről nézve. A látóideg leghátulsó (intracranialis) részének helyzete az a. carotis internához és a látóideg kereszteződés, chiasma opticum, fekvése az ékesonti nyereghez és a limbus sphenoidalishoz.

(A szemüreg felső és oldalsó fala, valamint a m. levator palpebrae superioris eltávolítva, a m. rectus superior eredéséről levágva és előre húzva. A baloldali foramen opticum felülről való megnyitásával a dura mater encephalinak a periorbitával való összefüggése látható.)

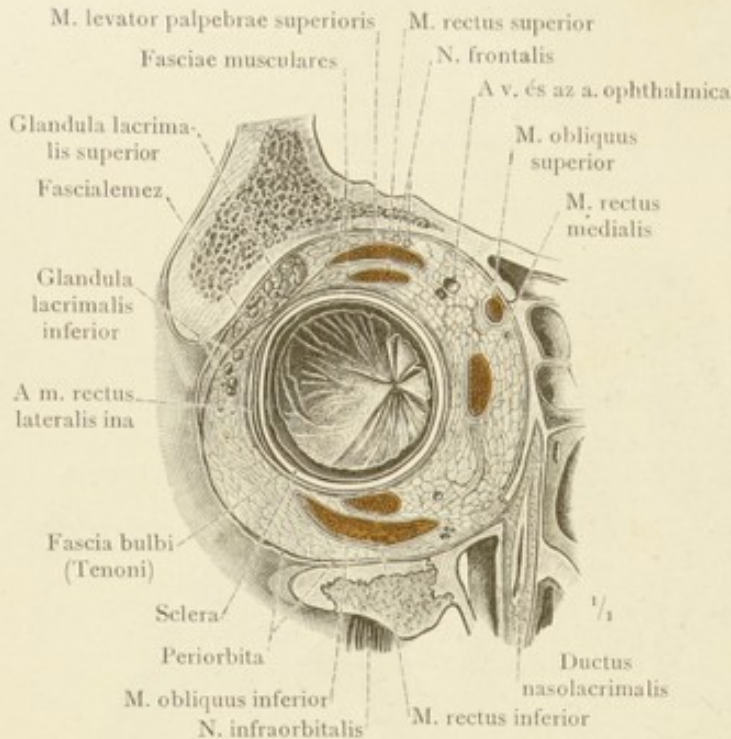


1373. rajz. A szemgolyó fekvése a szemüregben és összefüggése a szemizmokkal, alulról nézve.

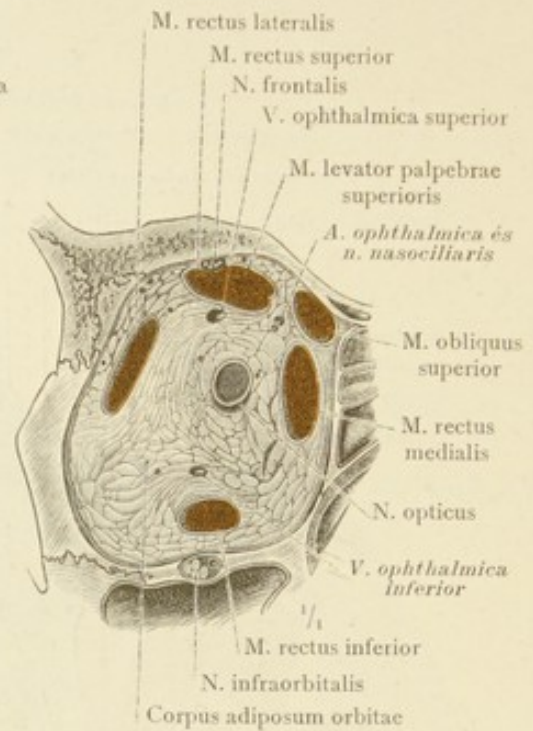
(Vízszintes metszet chromsavban és alkoholban keményített fej arci részéből a szemgödör alsó széle alatt; a metszés hátul az éksont testén és a felső szemgödri hasadékok medialis részén megy keresztül. A metszet felső darabja; a szemüreg zsírájának eltávolításával az alsó szemizmok vannak feltüntetve. A baloldalon a szemgödör alsó széle teljesen el van távolítva.)

Musculi oculi, a szem izmai.



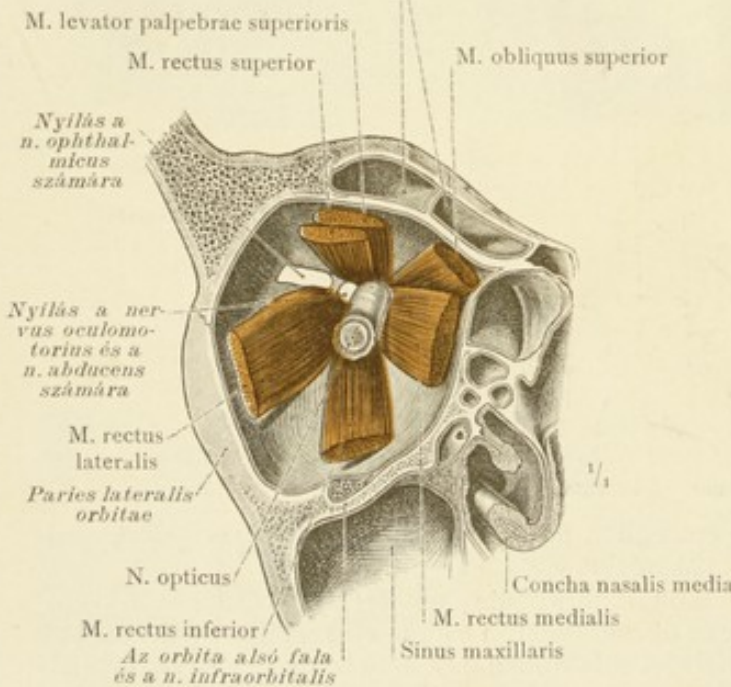


1374. rajz. A szemgolyó és a szemizmok fekvése a jobb szemüreg homlokirányú metszetében, chromsavval és alkohollal keményített s utólag sósavval méisztelenített fejen kidolgozva.



1375. rajz. A látóideg és a szemizmok fekvése a jobb szemüreg homlokirányú metszetében, chromsavval és alkohollal keményített s utólag sósavval méisztelenített fejen kidolgozva.

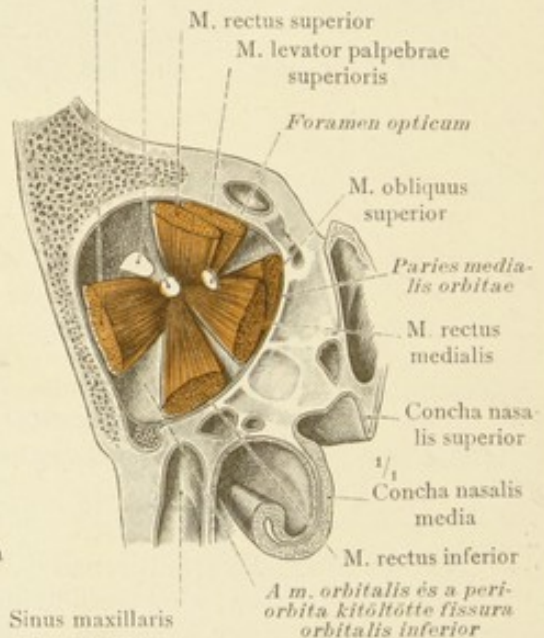
*Az orbita felső fala a sinus frontalis öbleivel*



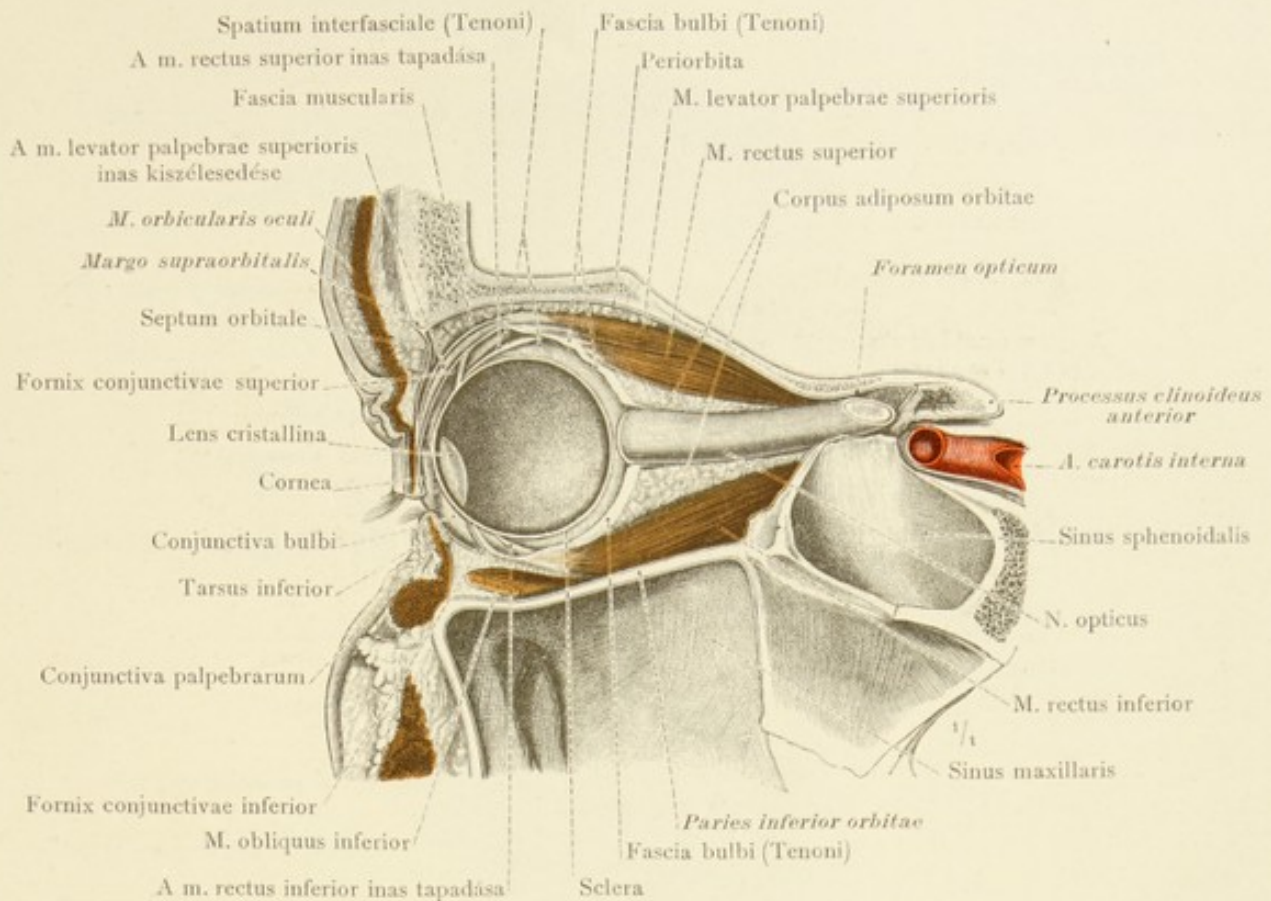
1376. rajz. A szemizmok fekvése és iránya a látóideghez, homlokirányú síkban átvágott jobb szemüreg hátsó részében, chromsavval és alkohollal való keményítés után kidolgozva.

M. rectus lateralis

*Fissura orbitalis superior (inasszallaggal két részre osztva)*

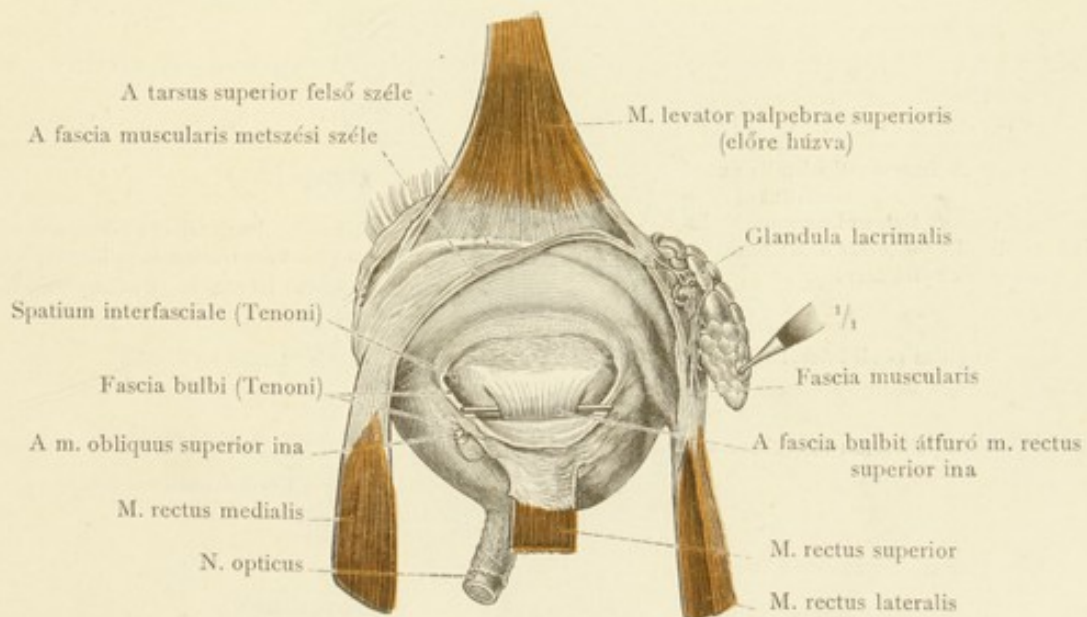


1377. rajz. A szemizmok fekvése a foramen opticumhoz és a fissura orbitalis superiorhoz, homlokirányban átmetszett szemüreg leghátulsó részében, chromsavval és alkohollal való keményítés után kidolgozva.



1378. rajz. A szemgolyó Tenon-tokja, fascia bulbi és összefüggése a felső és alsó egyenes szemizmok inaival.

(Chromsavval és alkohollal keményített fej jobb szemürege nyílirányban úgy lett átmetszve, hogy a metszés a szemgolyó nasalis felében és a látóideg nasalis oldalán, a foramen opticumon ment keresztül. A Tenon-tok a szemgolyótól kissé elhúzva.)

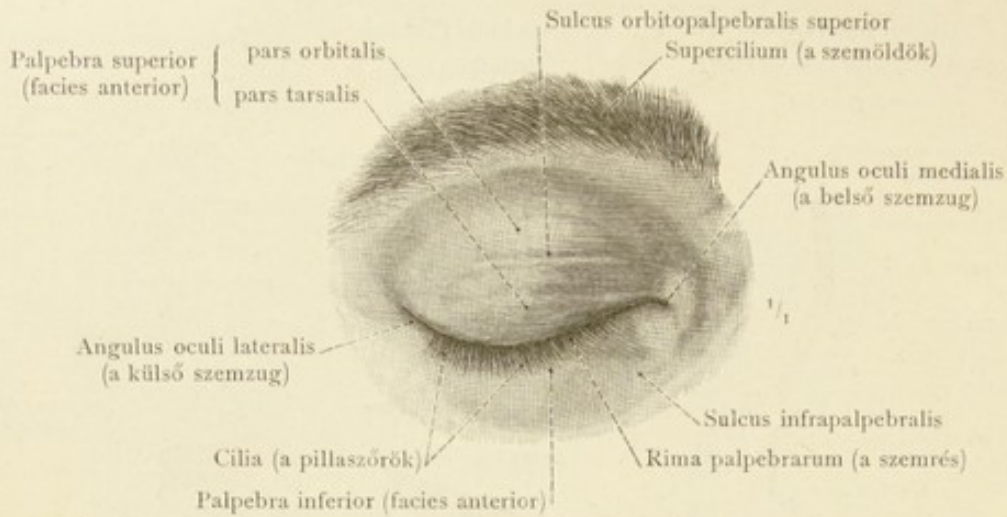


1379. rajz. A Tenon-tok és összefüggése a felső egyenes szemizom inával, a jobb szemem felülről nézve.

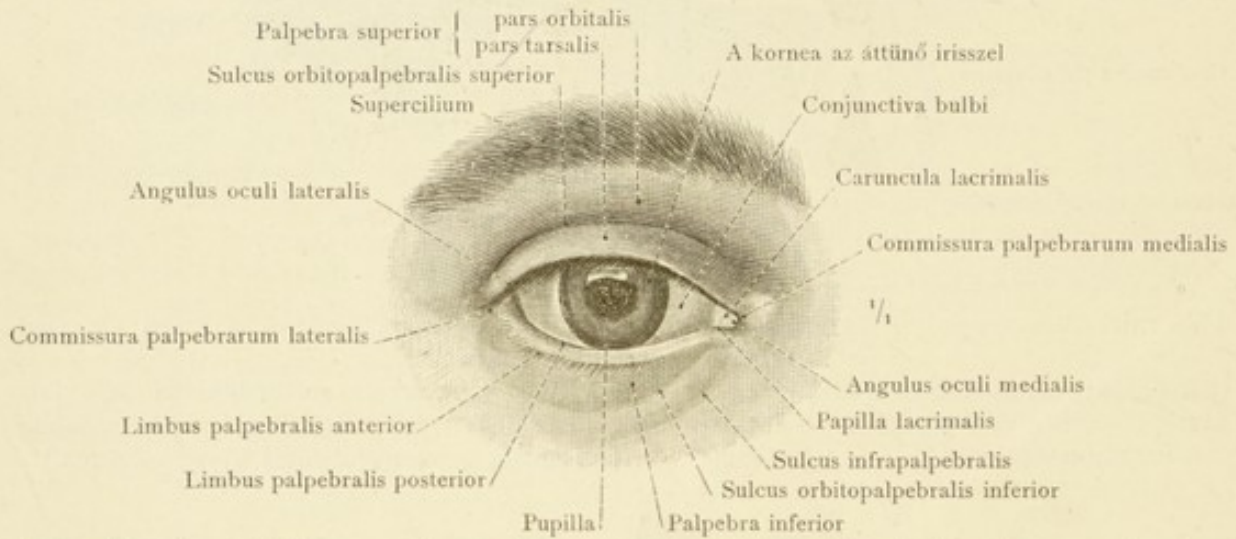
(A m. levator palpebrae superioris előre van húzva és a Tenon-tok a m. rectus superior inának mentén harántul bevágva.)

Musculi oculi, a szem izmai.

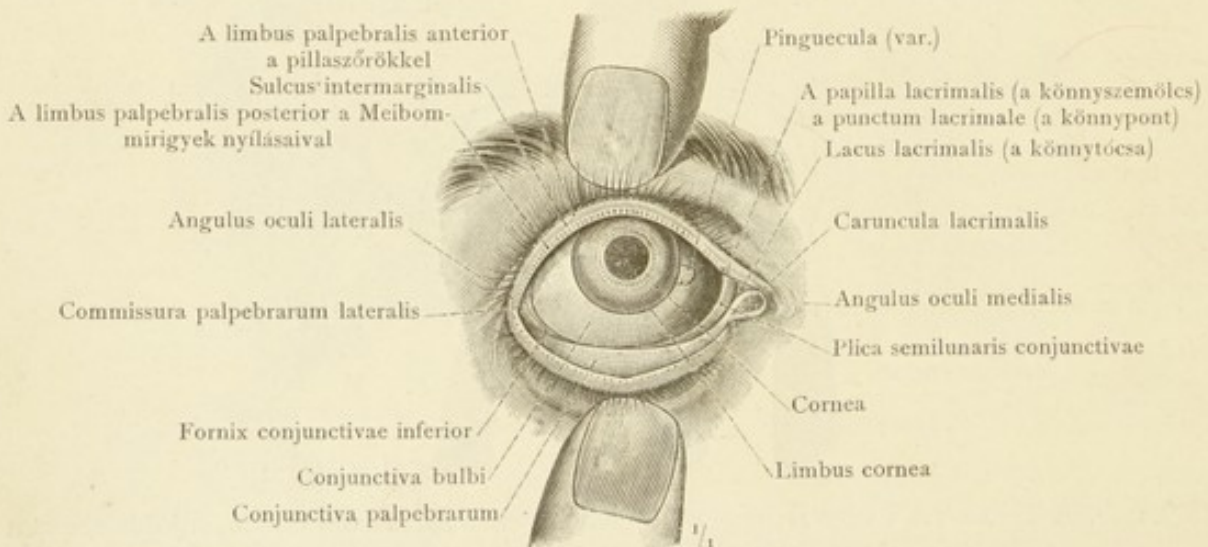




1380. rajz. A behunyt jobb szem szemzugai, fiatal nő életnagyságú fényképéről rajzolva. Facies anterior palpebrarum.



1381. rajz. Az előbbi szem nyitva; életnagyságú fényképről rajzolva. A szemrés, rima palpebrarum.

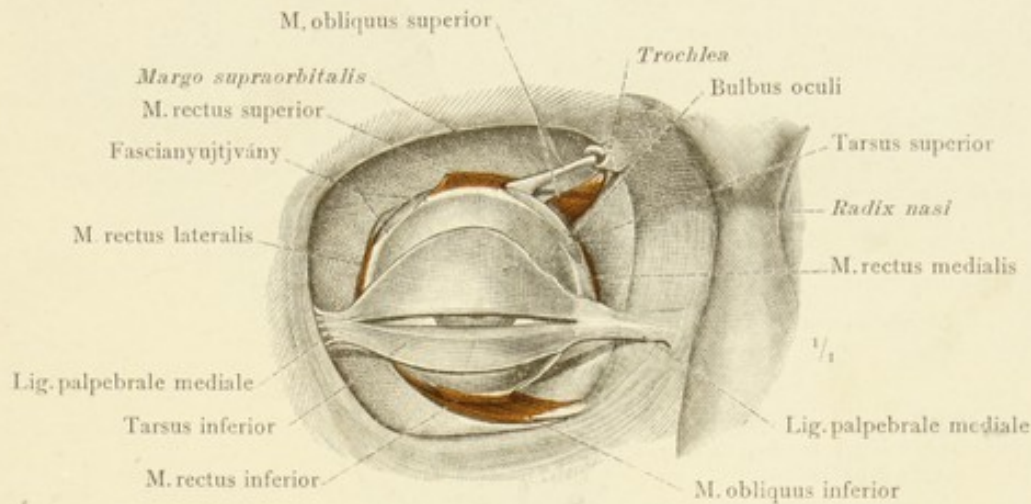


1382. rajz. Öreg ember jobb szemének erősen feltárt szemrése, az alsó szemhéj kifordításával. A pinguecula.

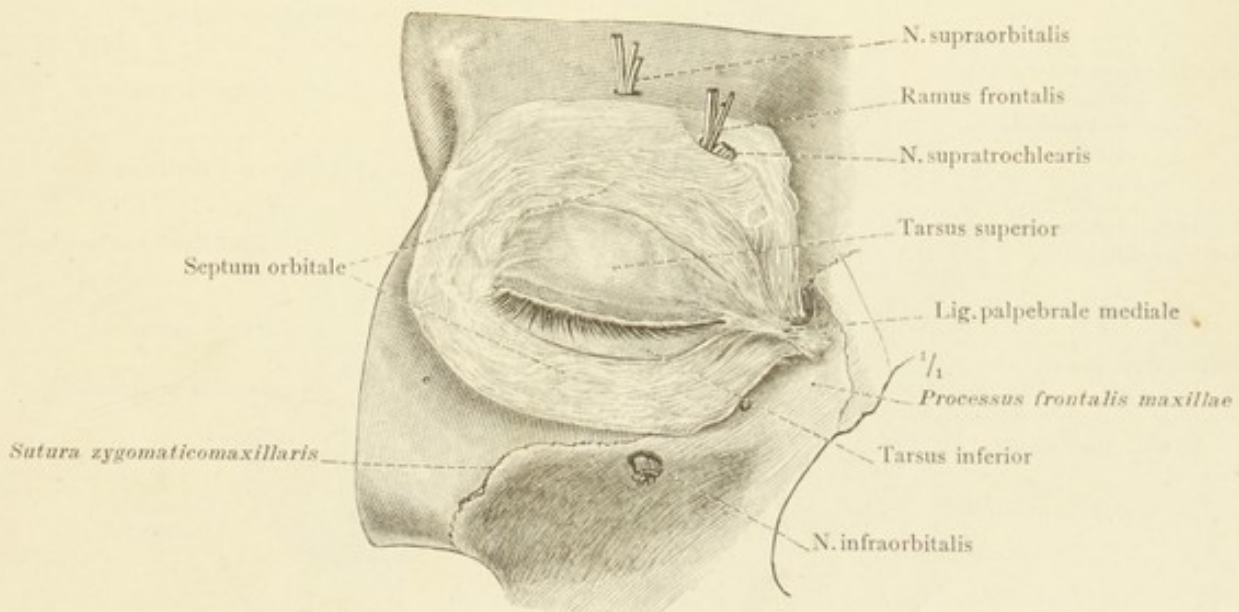
Palpebrae, a szemhéjak.



1383. rajz. A jobboldali szemhéjak hátulsó oldala, facies posterior palpebrarum. A szemhéjváz Meibom-mirigyei a szemhéj kötőhártyáján átlátszanak.

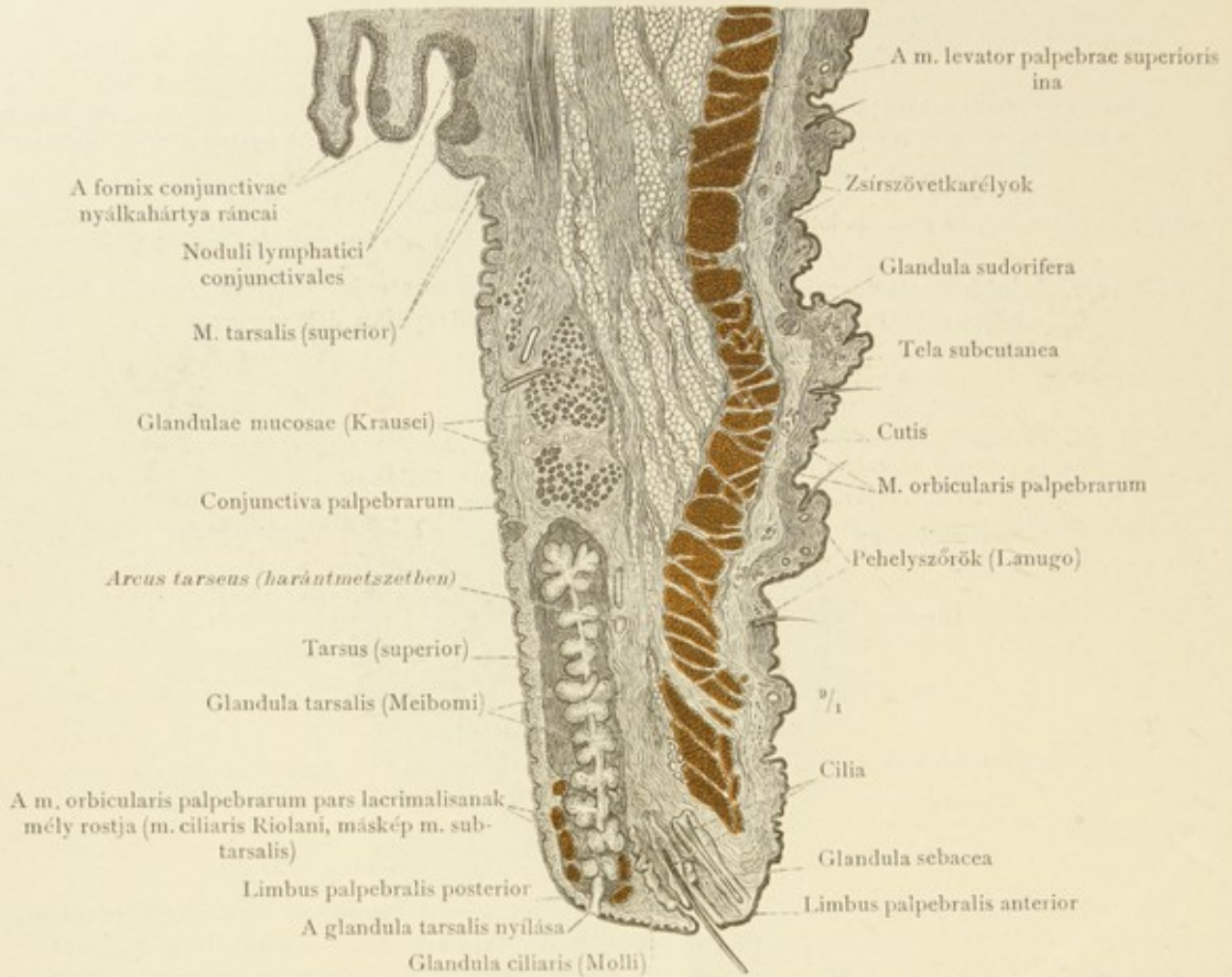


1384. rajz. A jobb szem felső és alsó szemhéjváza, tarsus superior és tarsus inferior, a medialis és lateralis szemhéjszallagokkal, lig. palpebrale mediale és laterale, kidolgozva. A szemhéjváz fekvése a szegolyóhoz behunyt szemén. Az egyenes szemizmok tapadása a szegolyón és a ferde szemizmok lefutása. Elülről nézve.

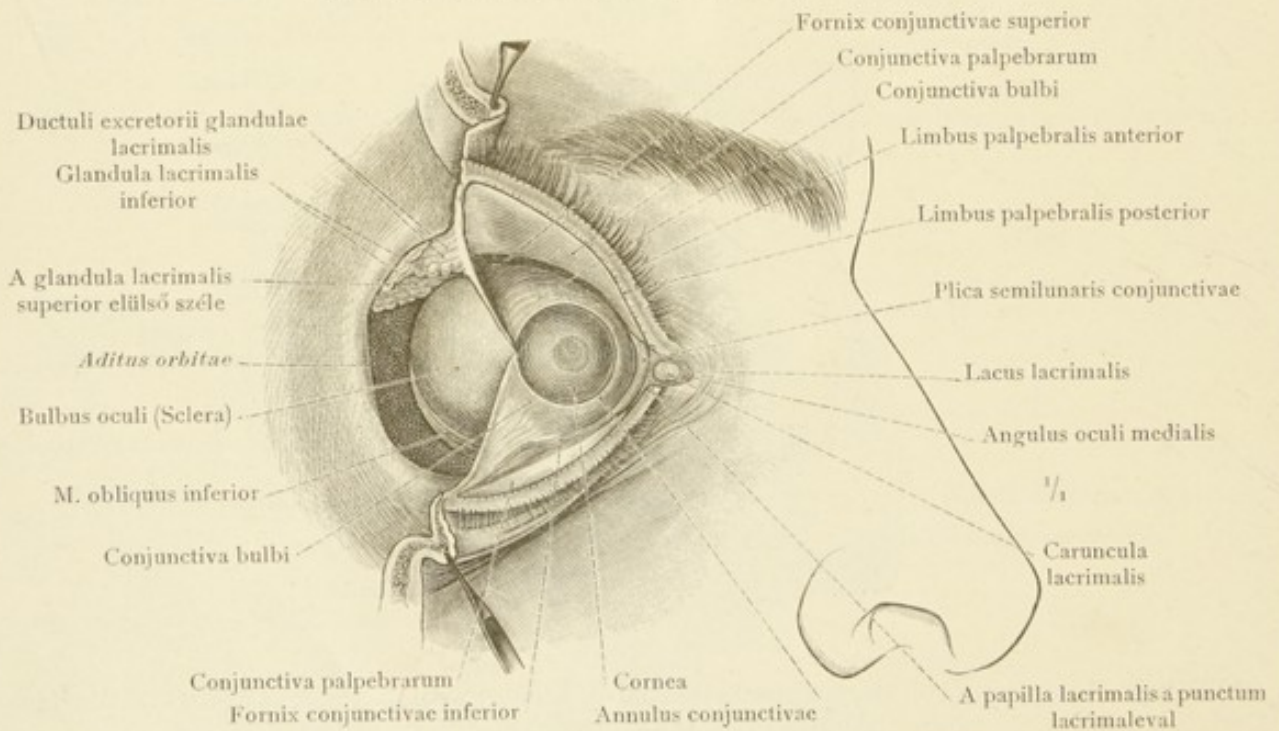


1385. rajz. A septum orbitale, a szemhéjvázal összefüggésben, a bőr és a m. orbicularis oculi eltávolításával, elülről nézve. A jobb szem.





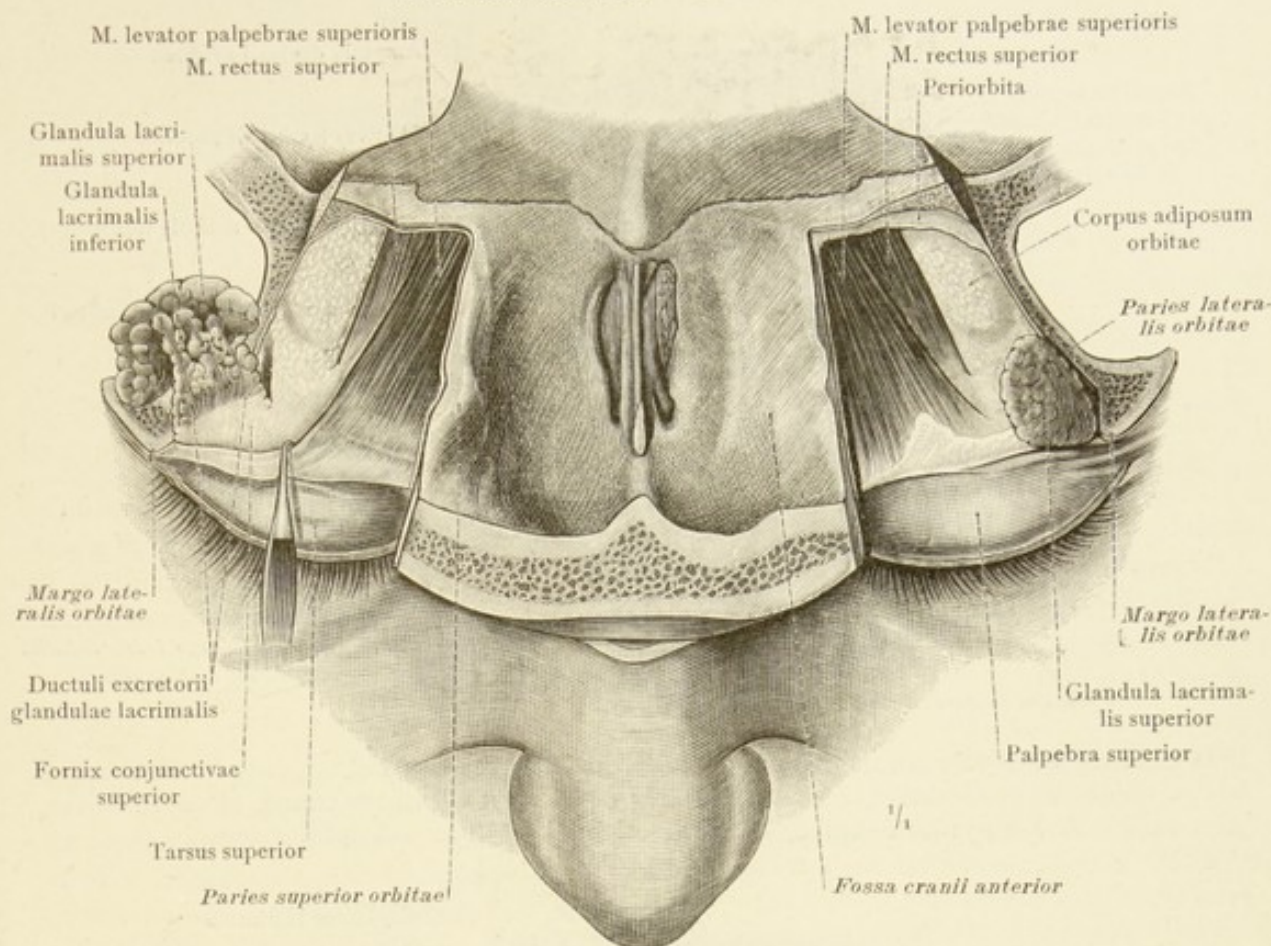
1386. rajz. A felső szemhéj nyilírányú metszete.



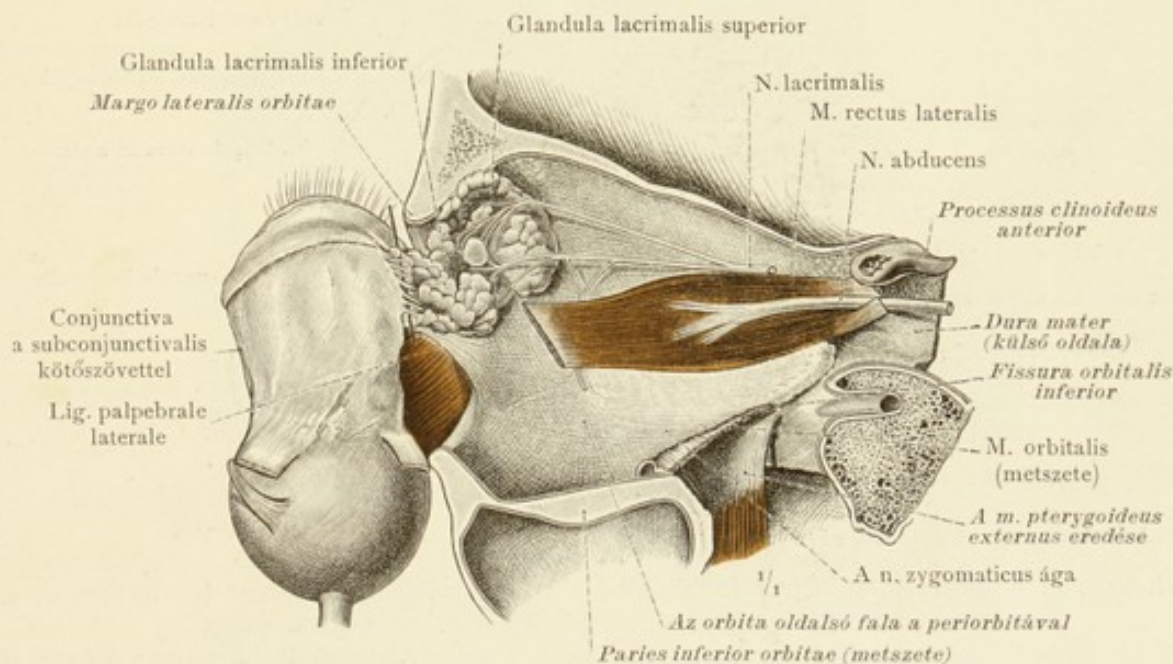
1387. rajz. A jobb szem kötőhártyája, conjunctiva. A kötőhártya három része: 1. a szemgolyó kötőhártyája, 2. az áthajlási ráncok, 3. a szemhéjak kötőhártyája, a külső szemzugban bemetszett szemhéjak széthuzásával.

Palpebrae, a szemhéjak. — Conjunctiva, a kötőhártya.





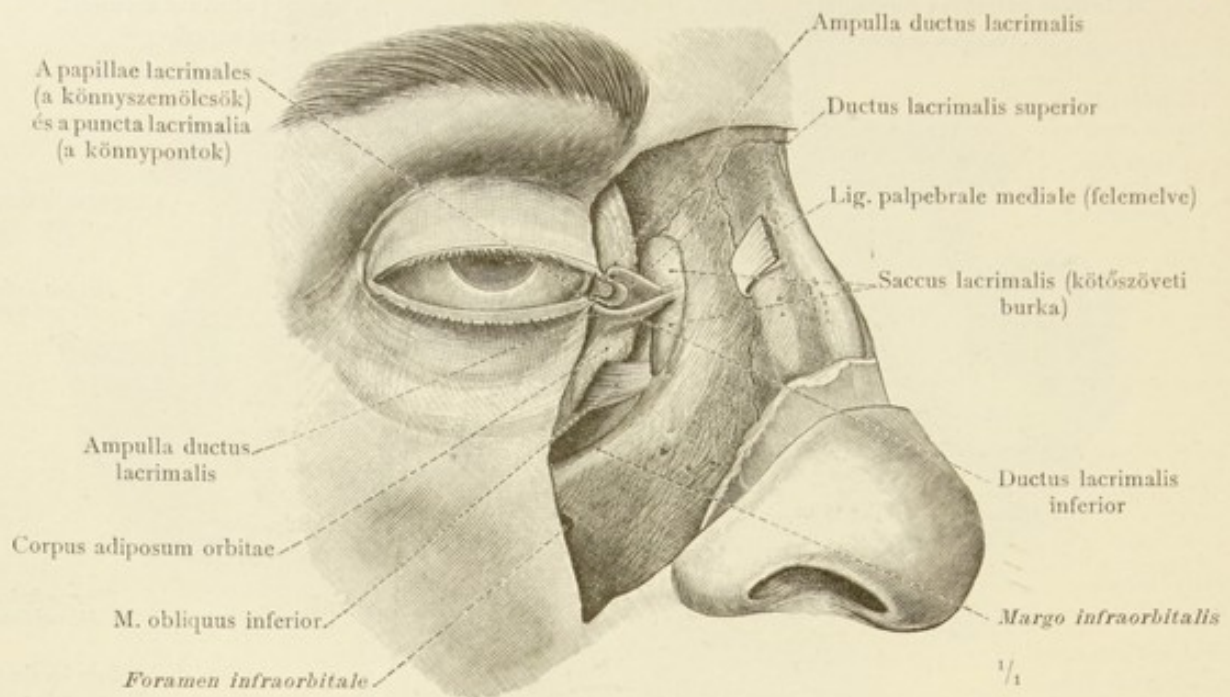
1388. rajz. A könnymirigy, glandula lacrimalis, a szemüreg megnyitásával felülről kidolgozva. A baloldali könnymirigy természetes fekvésében van, míg a jobboldali, kivezetőcsöveinek bemutatására hátra van húzva.



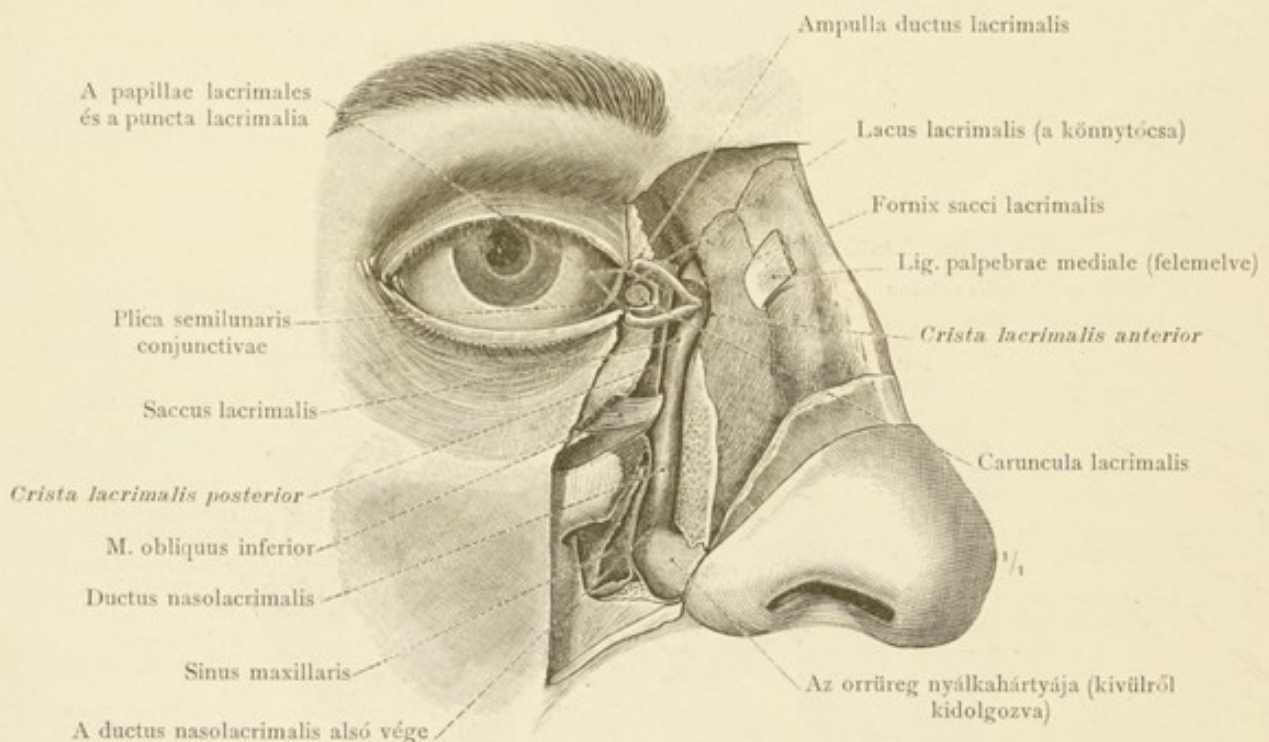
1389. rajz. A könnymirigy természetes fekvése a szemüreg falán és az oldalsó szemhéjszallagon. A jobb szemüreg oldalsó fele. (A szemgolyó a teljesen szabaddá tett és kifejtett kötőhártyával a szemüregből kihúzva. A könnymirigy kivezető csövei, ductuli excretorii, alatt sonda van.)

Apparatus lacrimalis, a könnyszervek.



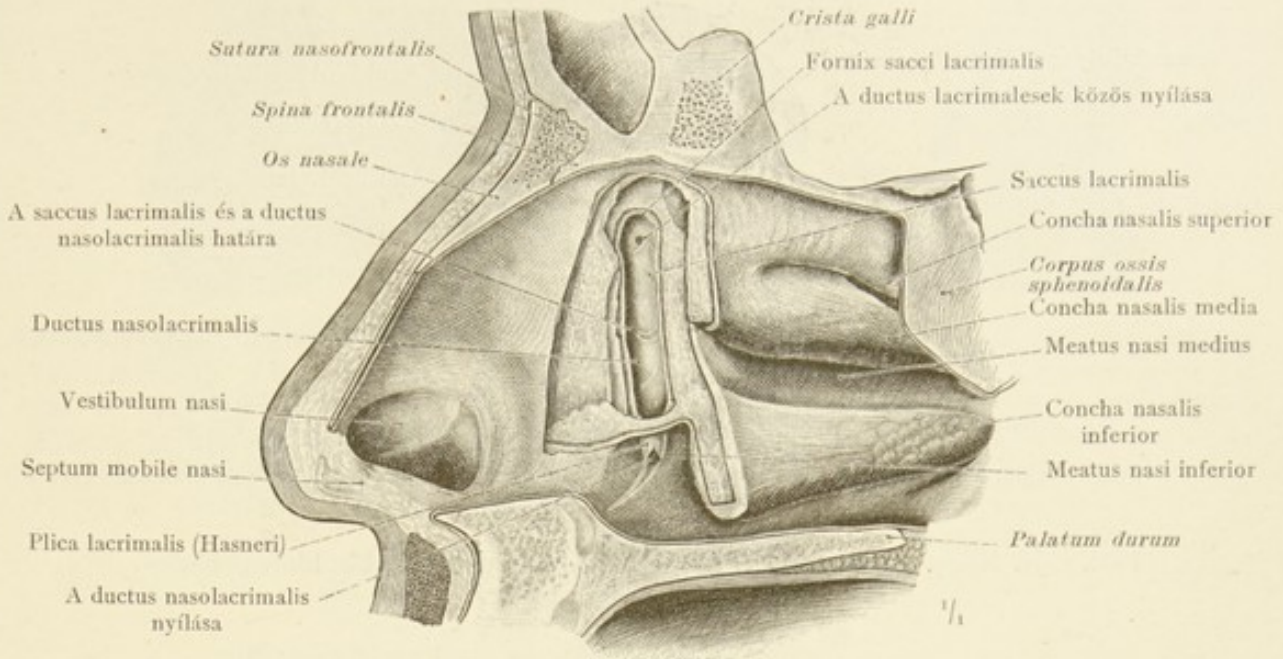


1390. rajz. A könnytömlő, saccus lacrimalis, a könnyesövekkal, ductus lacrimales, a bőr, a belső szemhéjszallag, a m. orbicularis oculi és a többi arcizmok eltávolításával. A könnytömlő külső, kötőszöveti burka látható. A jobb szem.



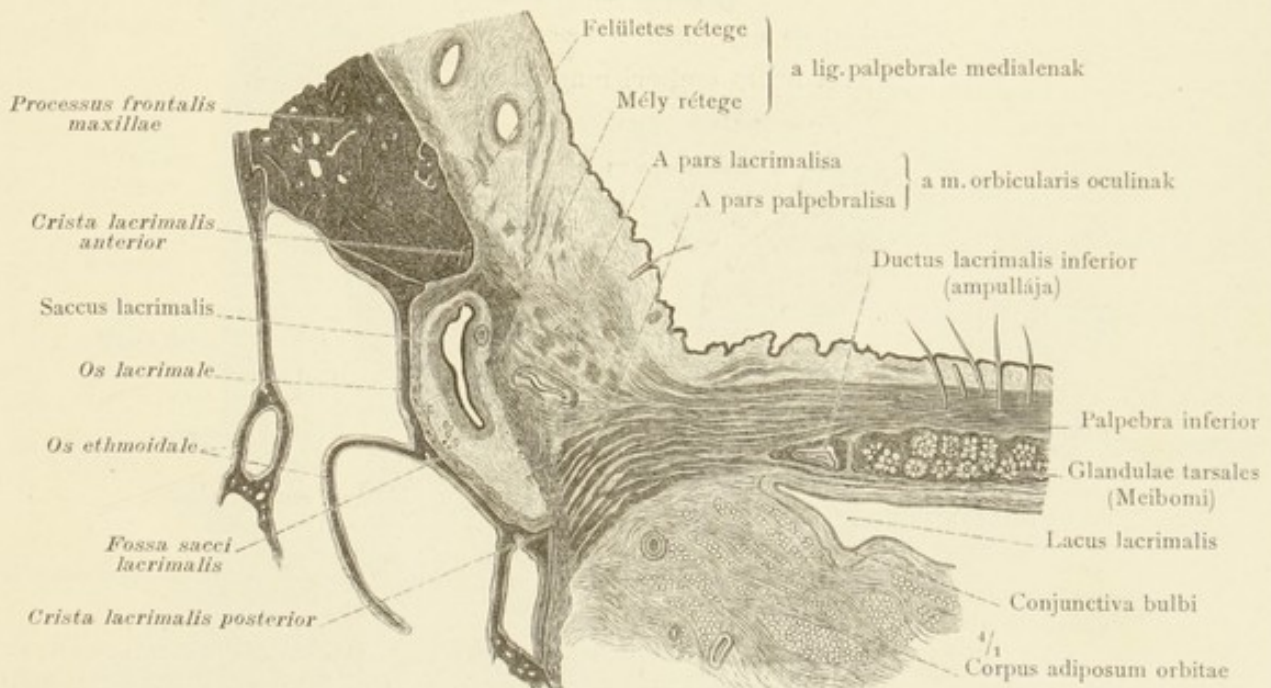
1391. rajz. A könnytömlő, saccus lacrimalis, a könnyesövekkal, ductus lacrimales és a könnyorrvezetékkel, ductus nasolacrimalis. A jobb szem.

(Az 1390-ik rajz készítményén a felső állcsontot a sulcus lacrimalis mentén kivésve, a könnyorrvezeték elülső és oldalsó fala egész az orrüreg nyálkahártyáig követhető. A könnytömlő rostos burka is el van távolítva, úgy, hogy a könnytömlő és a könnyorrvezeték nyálkahártyájának külső oldala látható.)



1392. rajz. A jobboldali könnytömlő és a könnyorrveték az orrüreg felől kidolgozva.

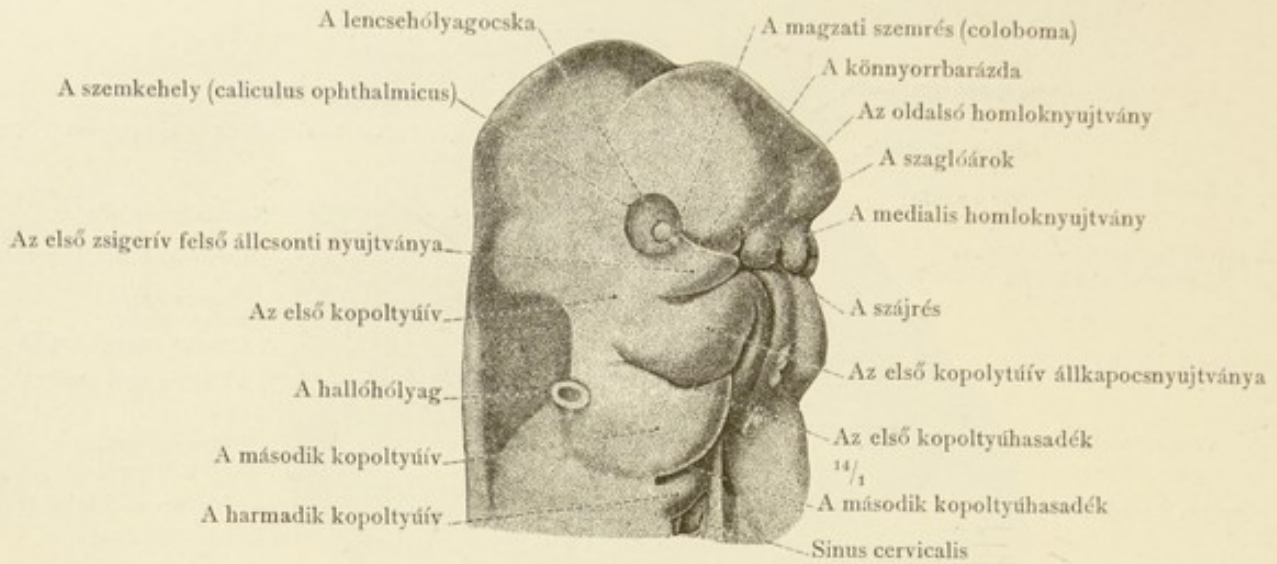
A könnyorrveték nyílása az alsó orrjáratban; a Hasner-billentyű.  
 (A nyílirányban átmetszett fejen a középső és felső orrkagylók elülső részének, valamint a környező nyálkahártyának, a könnytömlőárok és a könnyorrveték csontos falának az alsó orrkagyló tapadásáig való eltávolításával a könnytömlő és a könnyorrveték szabadon látható. Mindkettő medialis falának eltávolításával megnyitva.



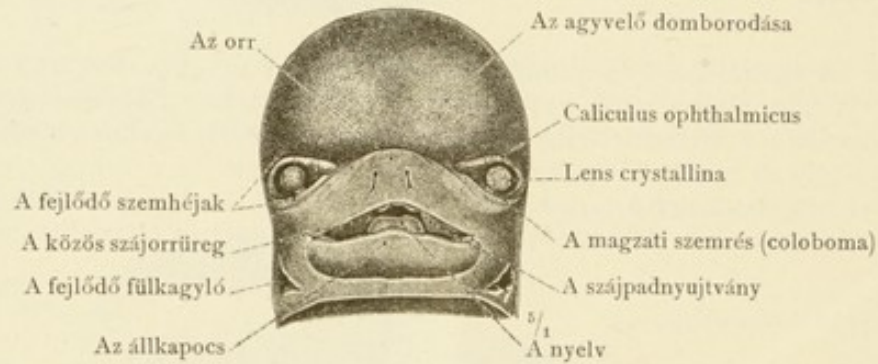
1393. rajz. A könnytömlő és az alsó szembéj vízszintes metszete. A metszés az alsó könnycsövet kétszer is találta, a felső könnycső pedig a könnytömlő közelében van átmetszve.

Apparatus lacrimalis, a könnyszervek.

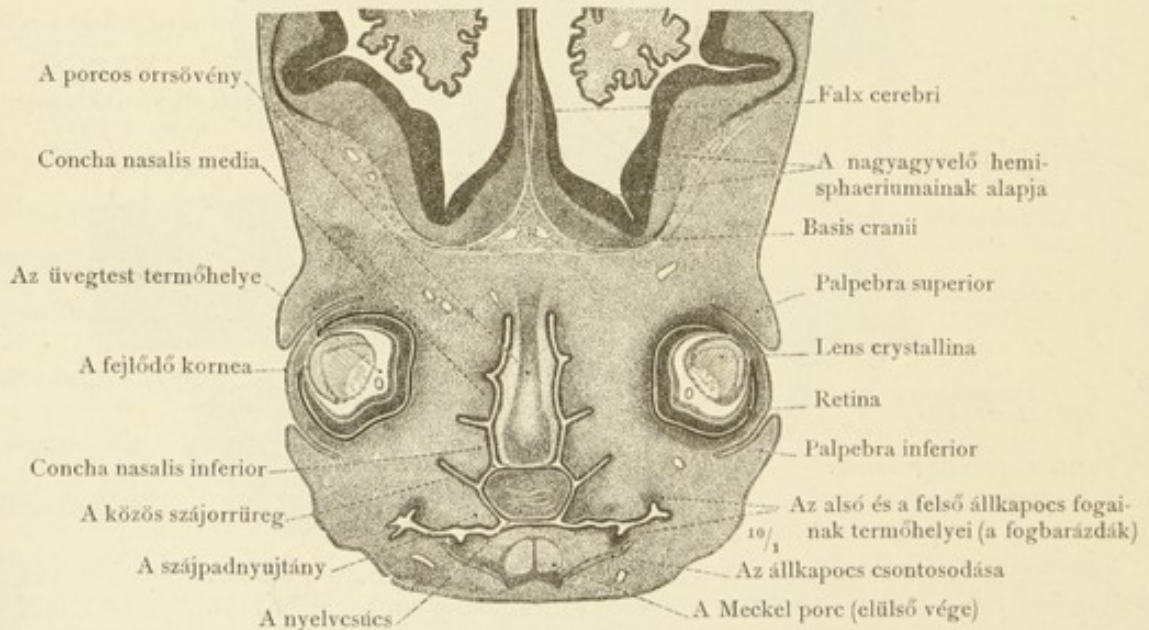




1394. rajz. Négy hetes emberi magzat feje, elülről és jobboldalról nézve.

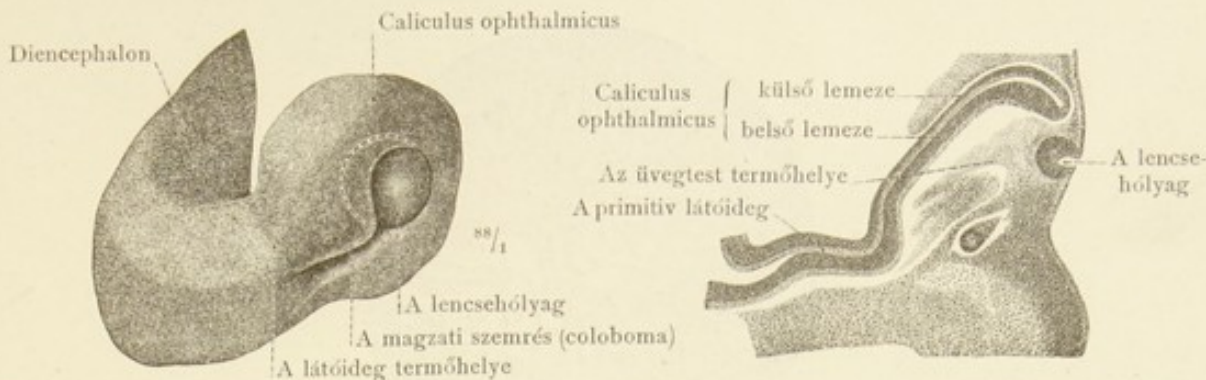


1395. rajz. Hat hetes emberi magzat feje, elülről nézve.



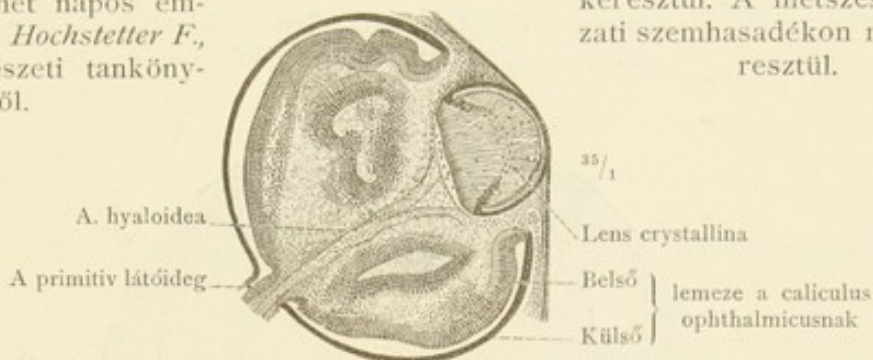
1396. rajz. Nyolc hetes emberi magzat arcának homlokirányú metszete.

## A szem fejlődése.

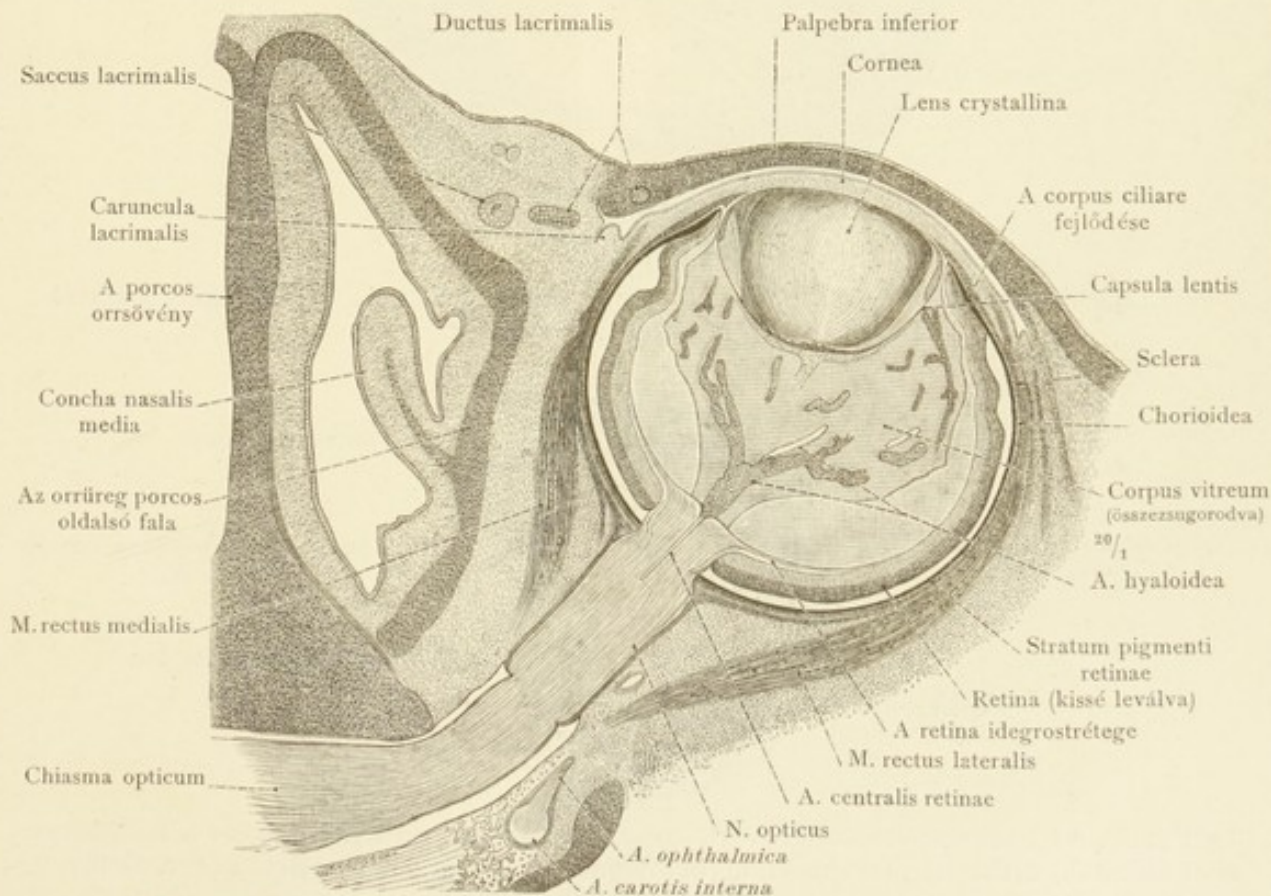


1397. rajz. A szemkehely és nyelének modellje, a lencse hólyaggal és a magzati szemhasadékkal. Huszonhét napos emberi magzataból. *Hochstetter F., Fuchs E.* szemészeti tankönyvéből.

1398. rajz. Az 1394. rajz készítményének hosszmetstete a szemkelyhen és a látóidegen keresztül. A metstés a magzati szemhasadékon megy keresztül.



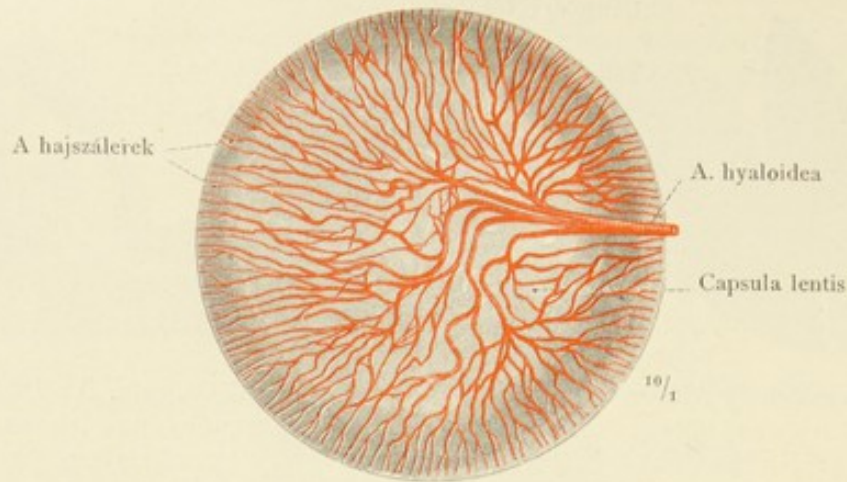
1399. rajz. Az 1395. rajz. készítménye jobb szemének visszintes metstete. A szemkehely, caliculus ophthalmicus, előrehaladottabb fejlődése.



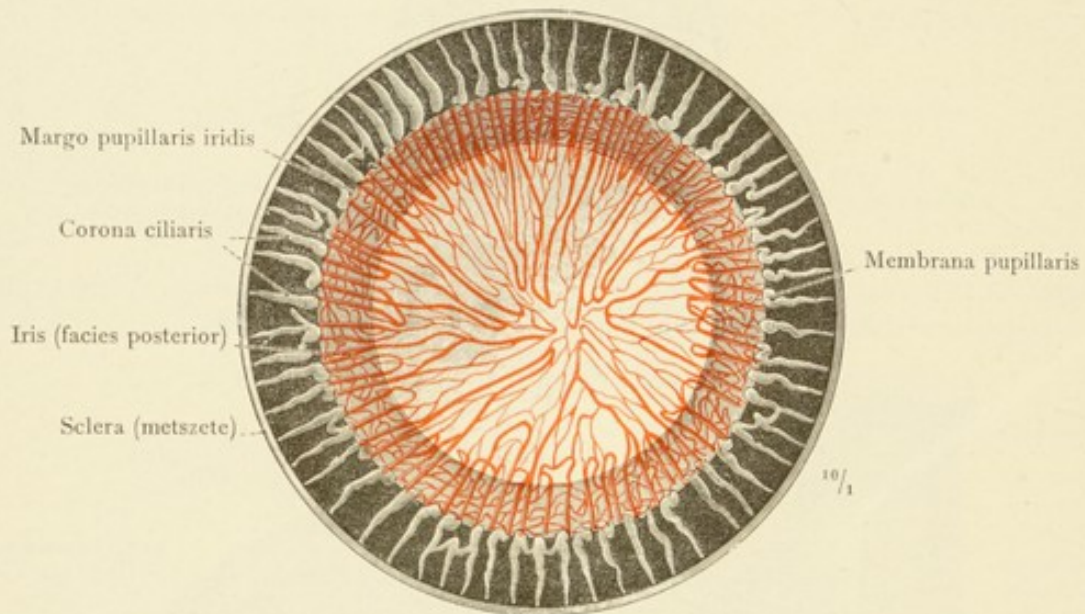
1400. rajz. Kilenc hetes emberi magzat jobb szemének és orrüregének visszintes metstete.

A szem fejlődése.

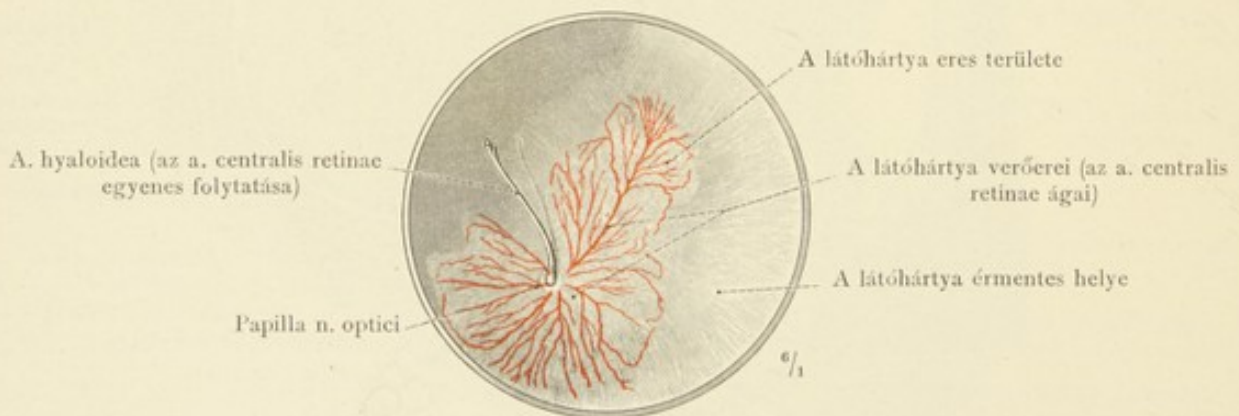




1401. rajz. Az arteria hyaloidea elágazódása a lencse hátulsó oldalán, négy hónapos emberi magzatban. Belövelt készítmény.



1402. rajz. A membrana pupillaris és a szivárványhártya erei, hat hónapos emberi magzatban. Belövelt készítmény.



1403. rajz. Az üvegtestet eltávolításával, az obliterált arteria hyaloidea és a látóhártya erei láthatók, újszülött macska szemgolyójának hátulsó felében, elülről nézve. Belövelt készítmény.

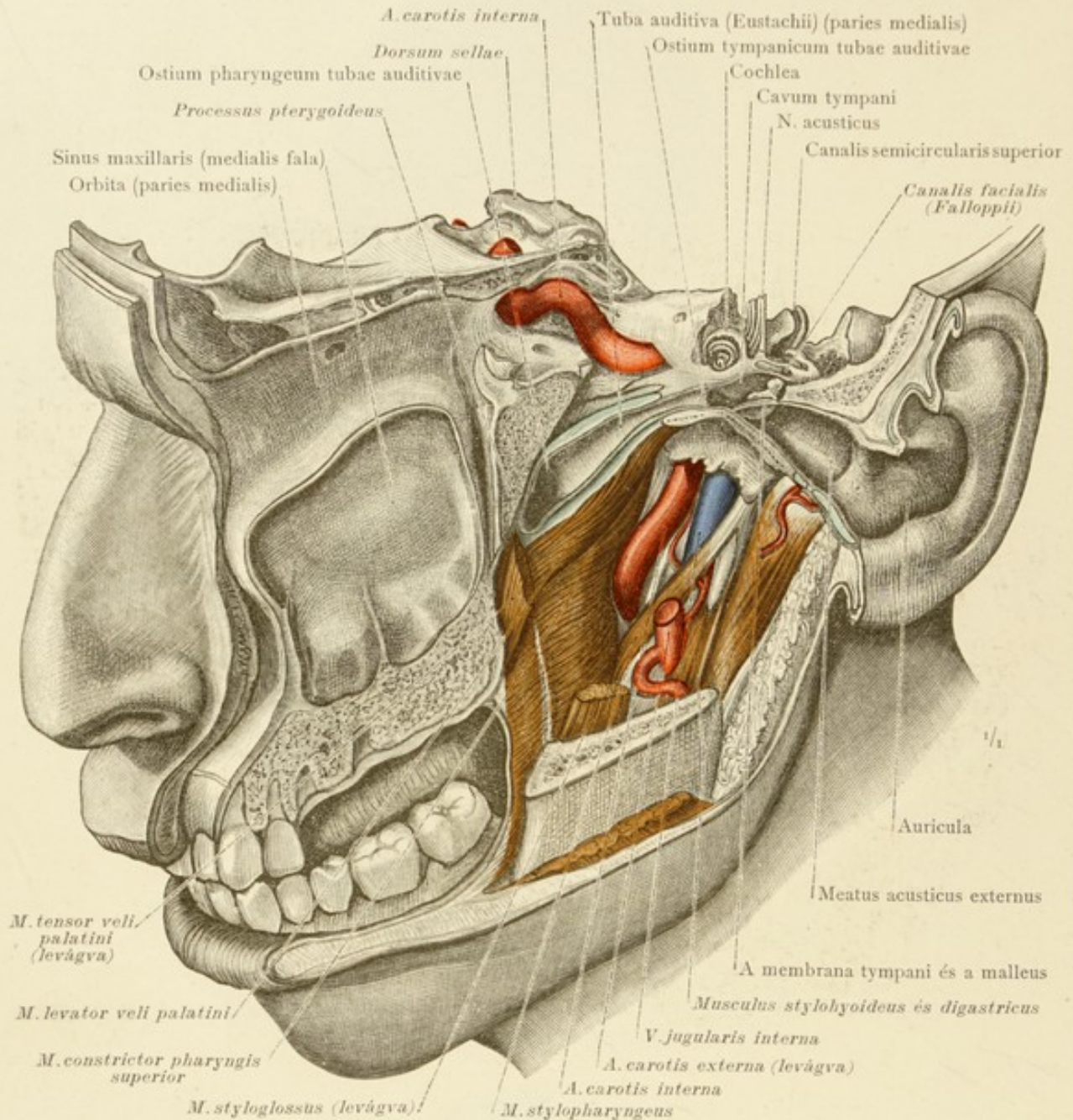
A szem fejlődése.

ORGANON AUDITUS.

A HALLÓSZERV.



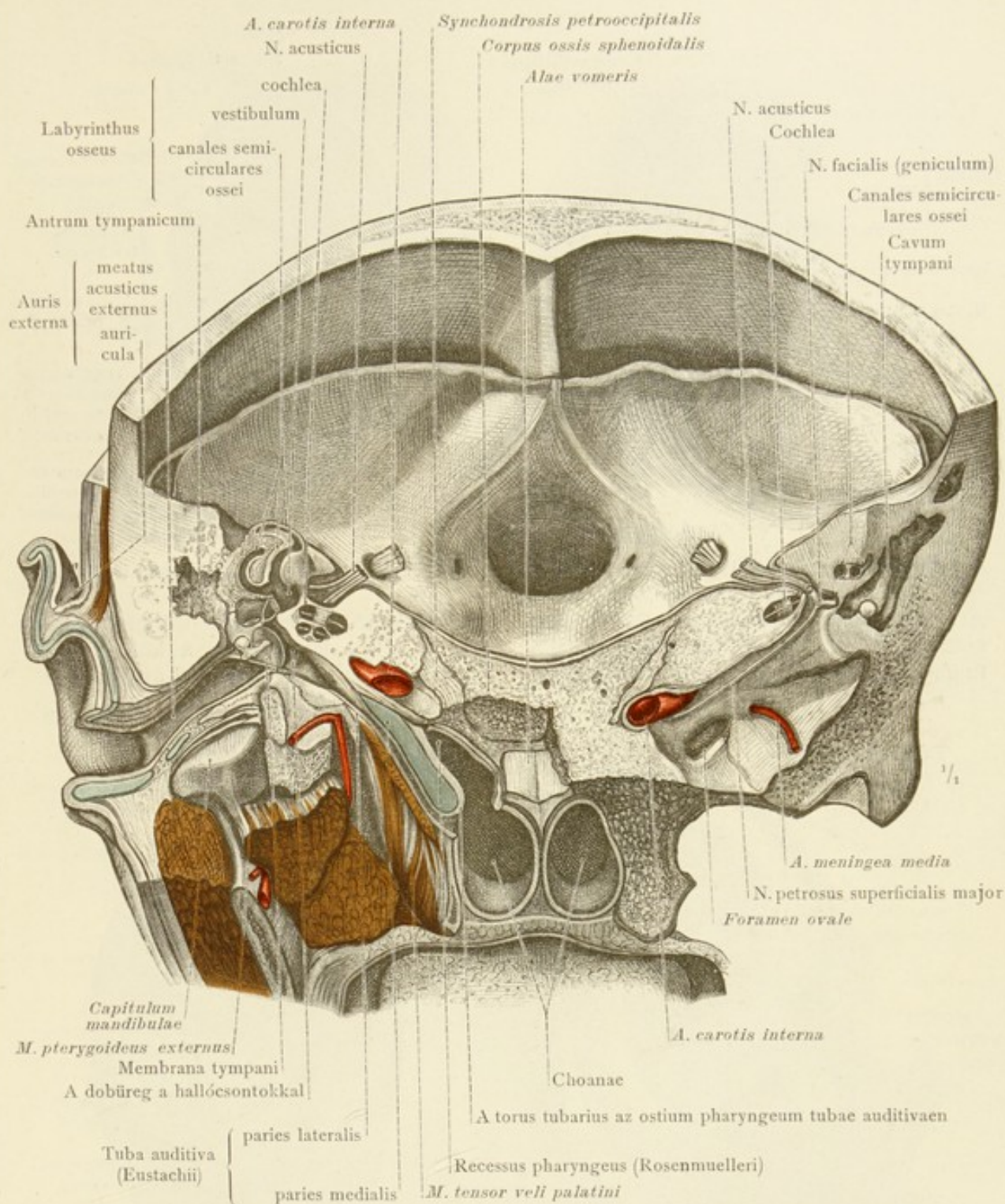




1404. rajz. A hallószerv három részének áttekintése és fekvése. Baloldaltól nézve. A külső fül, auris externa: a fülkagyló, auricula, a külső hallójárat, meatus acusticus externus és a dobhártya, membrana tympani. A középső fül, auris media: a dobüreg, cavum tympani, a fülkürt, tuba auditiva (Eustachii). A belső fül, auris interna: a hallólabirintus, labyrinthus (auris), a hallóideggel, n. acusticus.

(Alkohollal keményített fej majdnem nyílirányban, a bal felső állcsonton és a bal szemüregben keresztül metszetett át, a mely metszés hátra felé a foramen rotundumon és a foramen ovalen megy keresztül és az éksont nagy szárnyának gyökerét és a processus pterygoideus medialis lemezét szeli át. Az állkapocs baloldali ágának eltávolításával másik metszés a külső hallójáratot és a dobüreget nyitotta meg a foramen lacerumig; a fülkürt, oldalsó falának eltávolításával, a garatba való benyúlásáig fel van tárva. A csontos labirintus részei fel vannak vésve.)



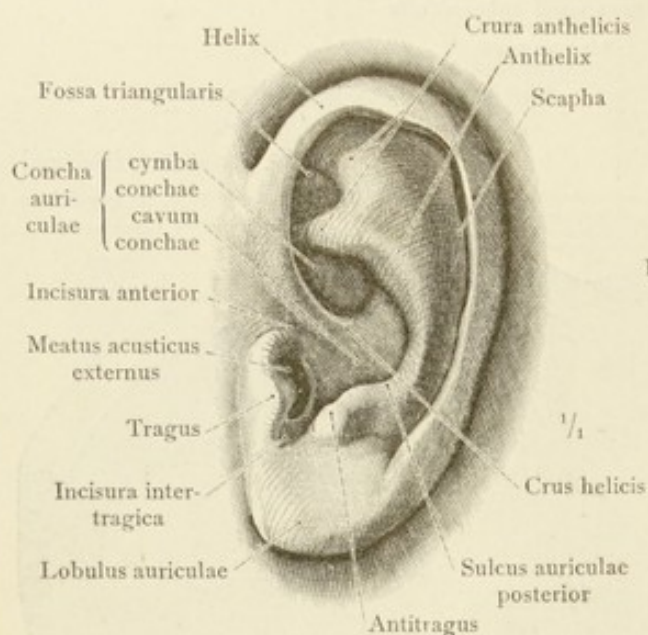


1405. rajz. A hallószerv három részének fekvése, felülről nézve.

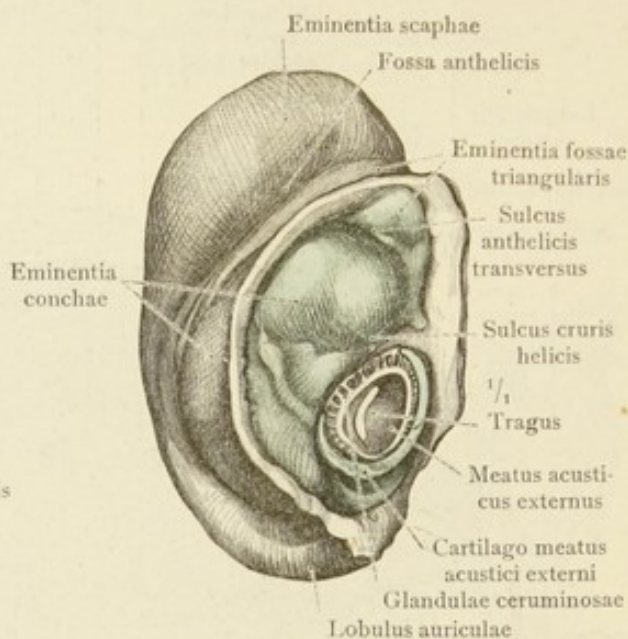
(Chromsavban és alkoholban keményített fej, melyről a koponyatető a szokott módon el lett távolítva, először homlokirányban lett átmetszve oly módon, hogy a metszés, az orrsövény hátsó és a légyszájpad elülső részét találta. A jobboldalon aztán rézsut előrefelé lejtő metszéssel a hallószervnek a sziklacsont belsejében fekvő részei teljesen fel lettek tárva és a fülkürt porcos részének felső fala, egész a garat orri részébe való benyílásáig eltávolítva. A baloldalon csak a sziklacsont felső része lett a dobüreg tetejével eltávolítva.)

A hallószerv részei.

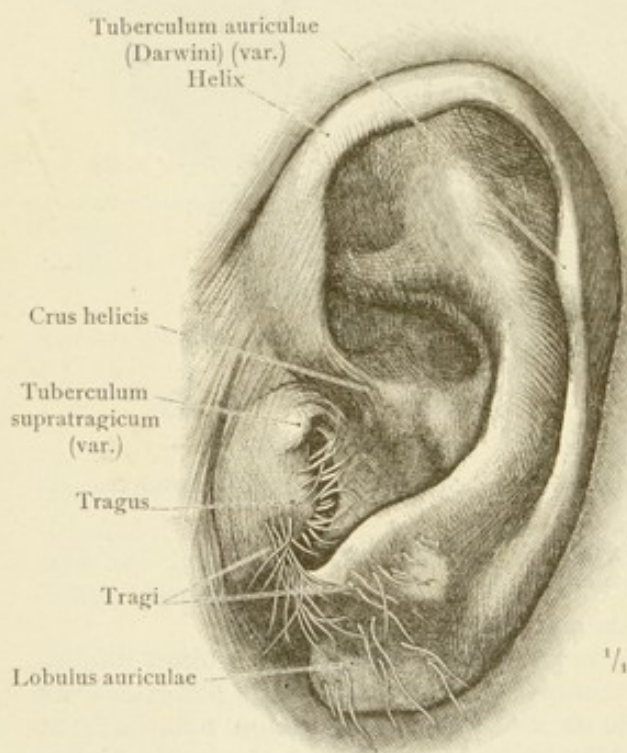




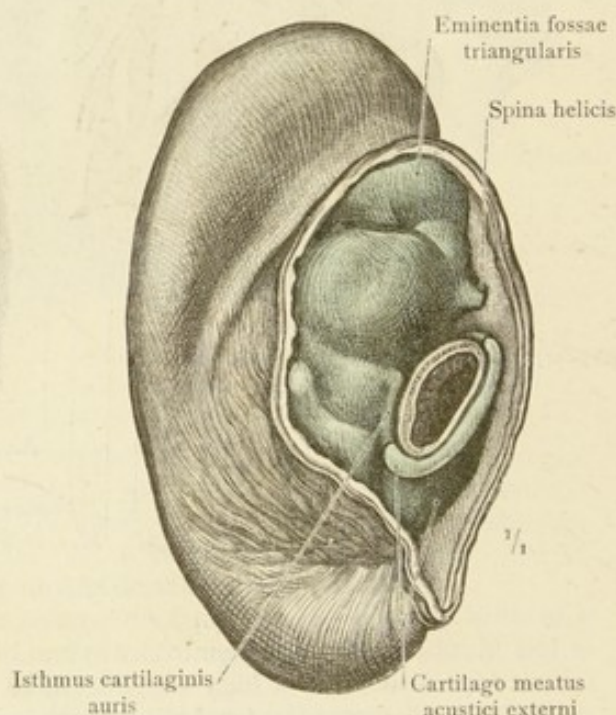
1406. rajz. Fiatal nő bal fülkagylója, auricula, oldalról nézve. A külső karima, helix és a belső karima anthelix; a tragus és az antitragus; a fülkagyló, concha auricularae; a fülcimpa, lobulus auricularae.



1407. rajz. Ugyanazon fülkagyló medialis oldala. (A fülkagyló, a bőrbe való áthajlása mentén, a fejről levágva és a külső hallójárat porcos része harántul átmetszve.)



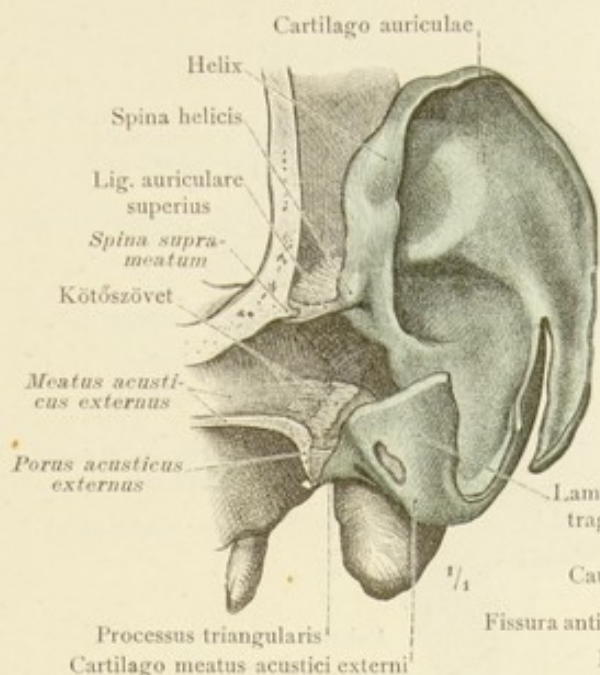
1408. rajz. Öreg ember bal fülkagylója, oldalról nézve. A fűlszőrök, tragi; a Darwin-dudor, tuberculum auricularae.



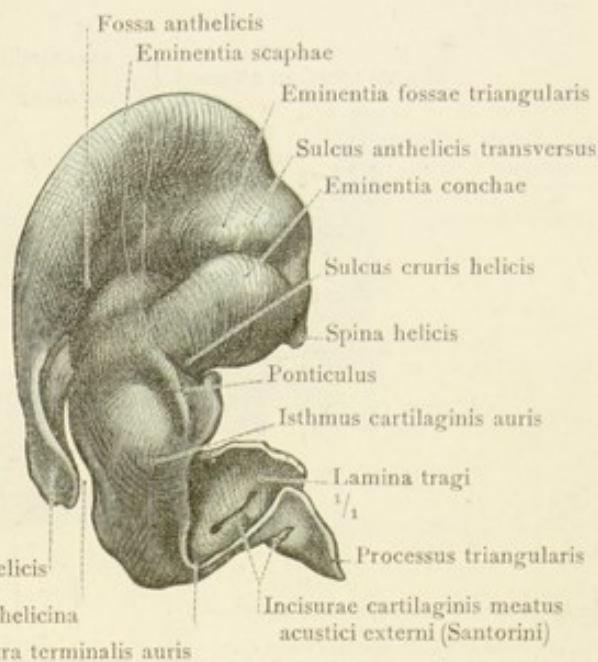
1409. rajz. Ugyanazon fülkagyló medialis oldala. (A fejről épp oly módon levágva, mint a 1407. ik rajz készítménye.)

Auris externa, a külső fül. — Auricula, a fülkagyló.

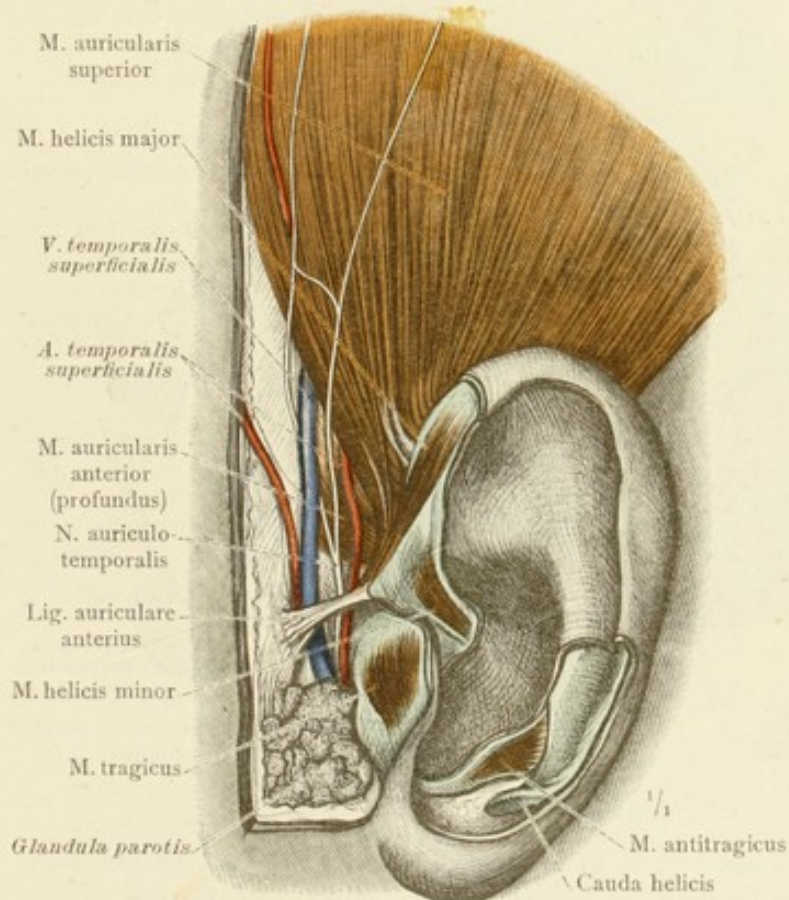




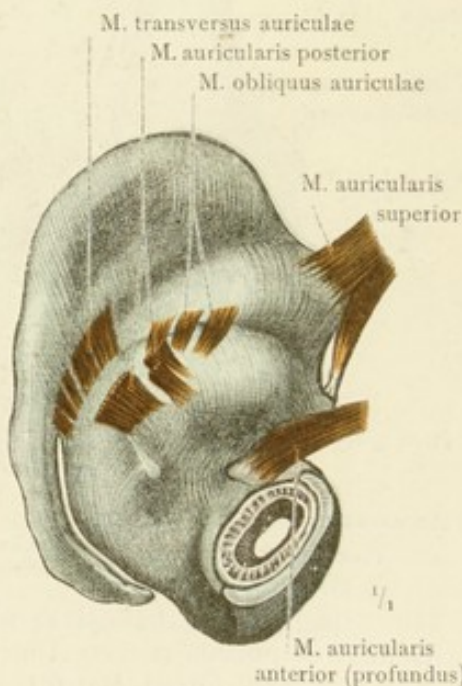
1410. rajz. A fülkagyló és a külső hallójárat porca összefüggésben a halántékcsonttal. A bal fül. Elülről nézve.



1411. rajz. A fülkagyló és a külső hallójárat porca, cartilago auriculae és a cartilago meatus acustici externi. A bal fül medialis oldala, hátulról nézve.



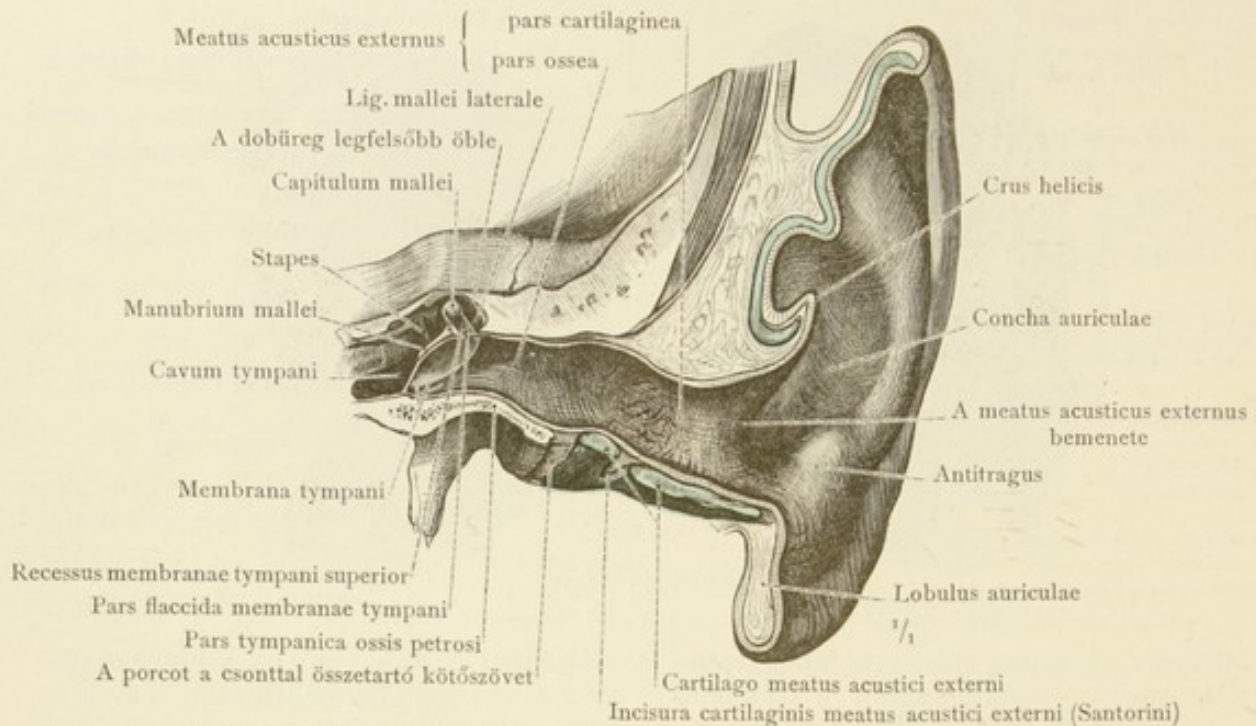
1412. rajz. Izmok, a fülkagyló külső oldalán. Bal fül.



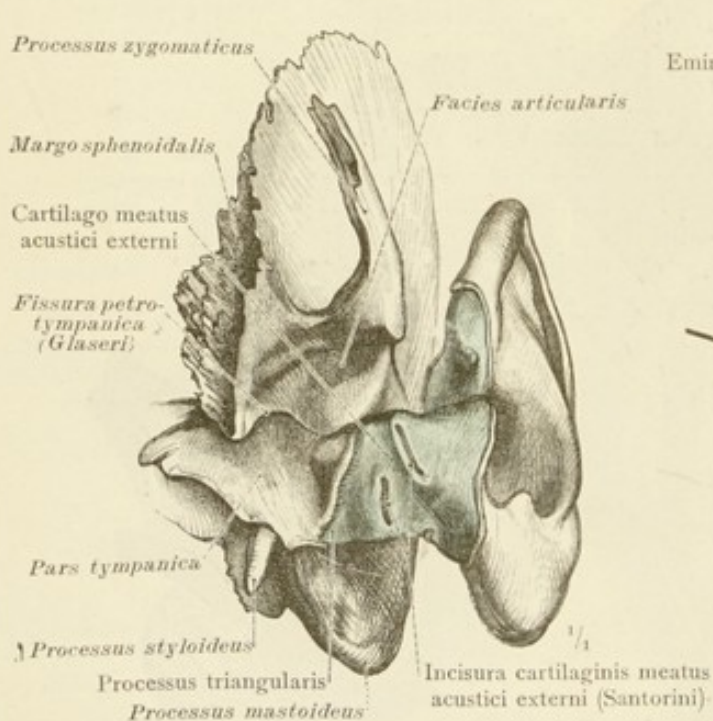
1413. rajz. Izmok, a fülkagyló belső oldalán. Bal fül.

Auris externa, a külső fül. — Auricula, a fülkagyló.

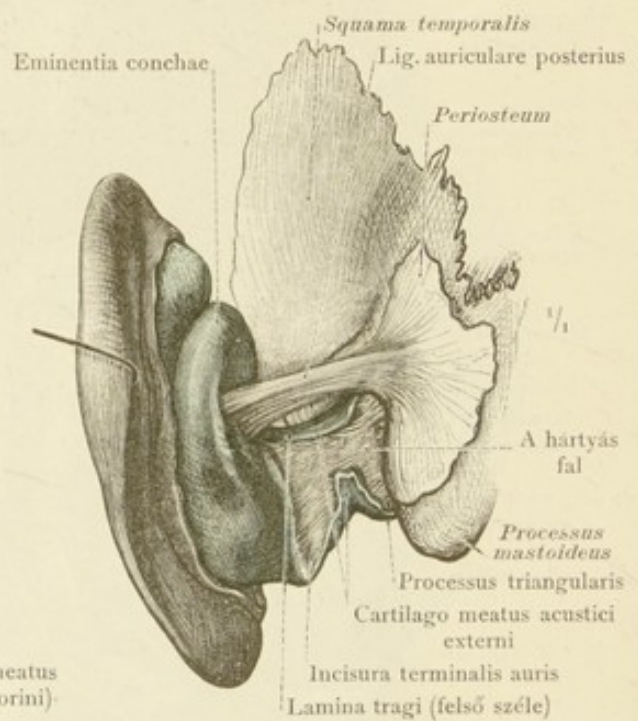




1414. rajz. A baloldali külső hallójárat, meatus acusticus externus, a dobhártyával, egész hosszában merőlegesen átmetszve. A külső hallójárat csontos és porcos része, pars ossea és pars cartilaginea meatus acustici externi. A külső hallójáratnak átalakulása a fülkagylóba és belső határa, a dobhártya. Elülről nézve.

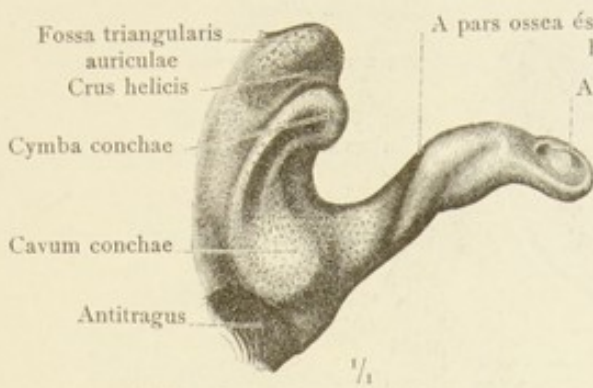


1415. rajz. A külső hallójárat kidolgozott csontos és porcos részei. Alulról és elülről nézve. Bal fül.

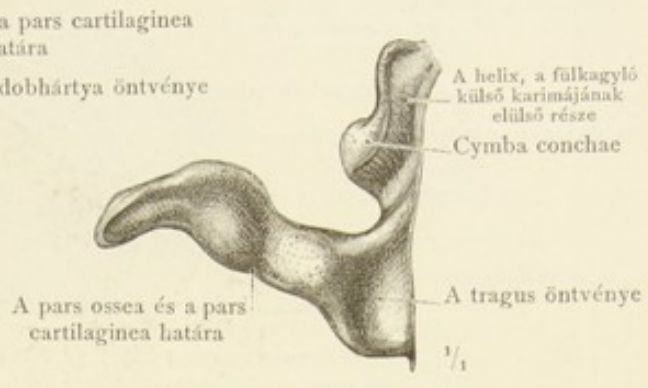


1416. rajz. A külső hallójárat kidolgozott porcos fala. Hátról nézve. Bal fül.

Auris externa, a külső fül.  
Meatus acusticus externus, a külső hallójárat.

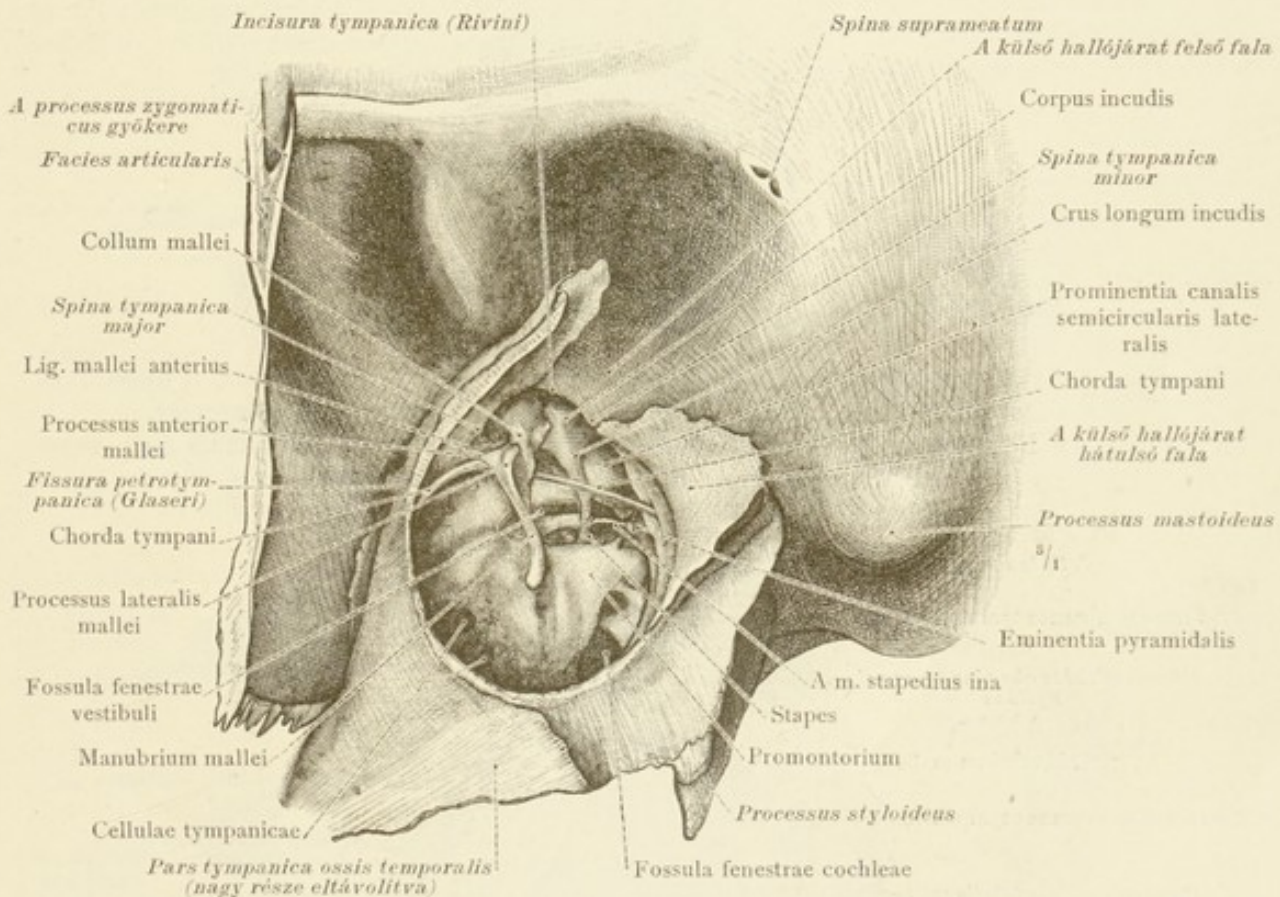


1417. rajz. Hátulról nézve.



1418. rajz. Elülről nézve.

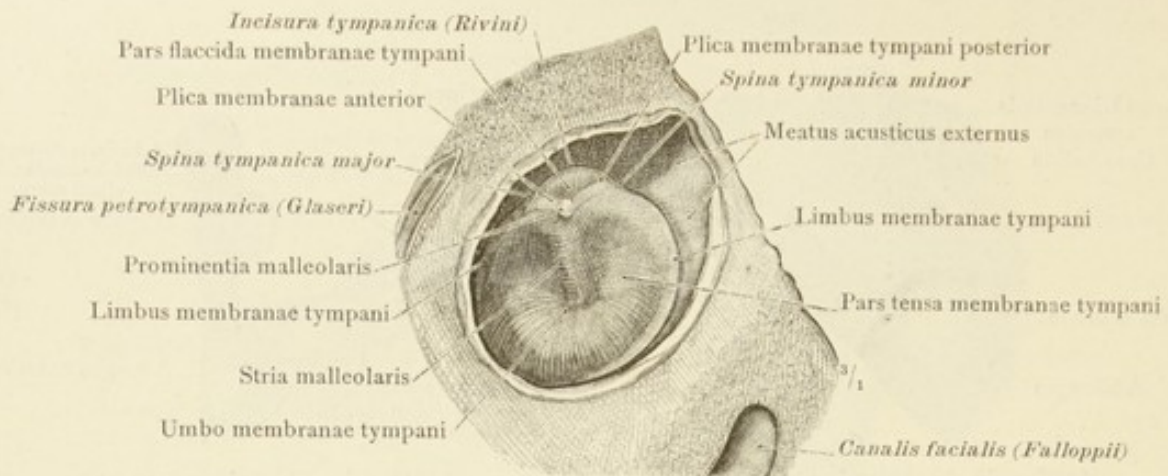
A bal külső hallójárat öntvénye, a fülkagyló kis részével. Wood-fémöntés. A külső hallójárat hajlásai, alakja és nagysága.



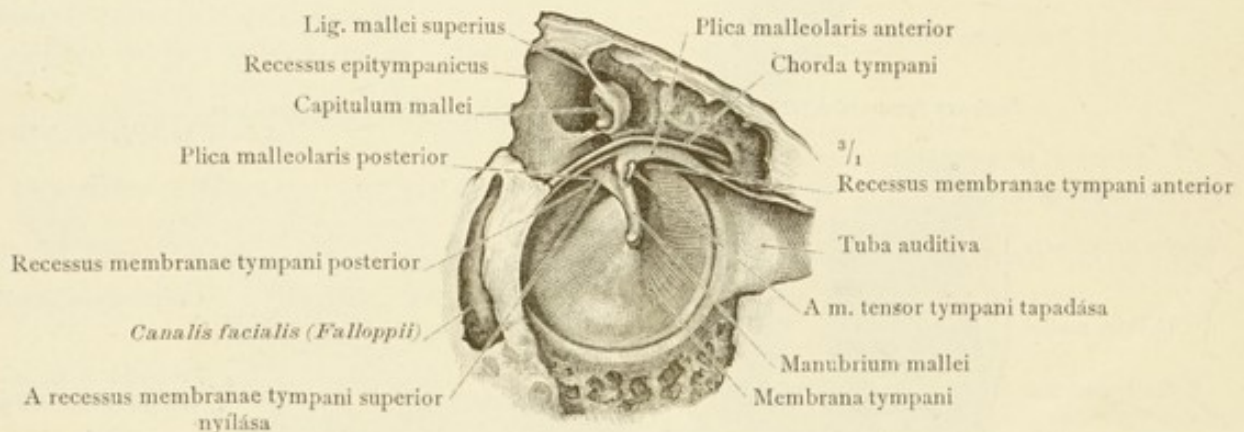
1419. rajz. A külső hallójárat belső vége, a melyen át a dobüreg képződményei láthatók, a külső hallójárat legnagyobb részének és a dobhártyának eltávolításával. A dobüregben a három hallócsont természetes fekvésében, a m. stapedius ina és a chorda tympani, valamint a dobüreg medialis fala, paries labyrinthicus, látható. Bal fül.

Auris externa, a külső fül.  
Meatus acusticus externus, a külső hallójárat.

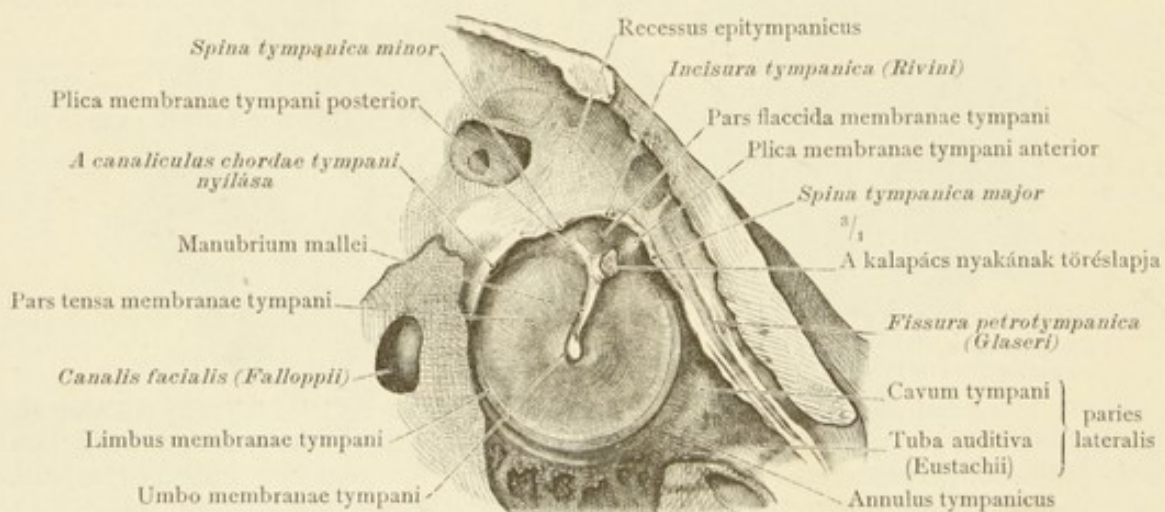




1420. rajz. A baloldali dobhártyának lateralis, a külső hallójárat felé néző oldala.  
(A külső hallójárat a dobhártya közvetlen közelében, s vele párhuzamosan lefürészelve.)

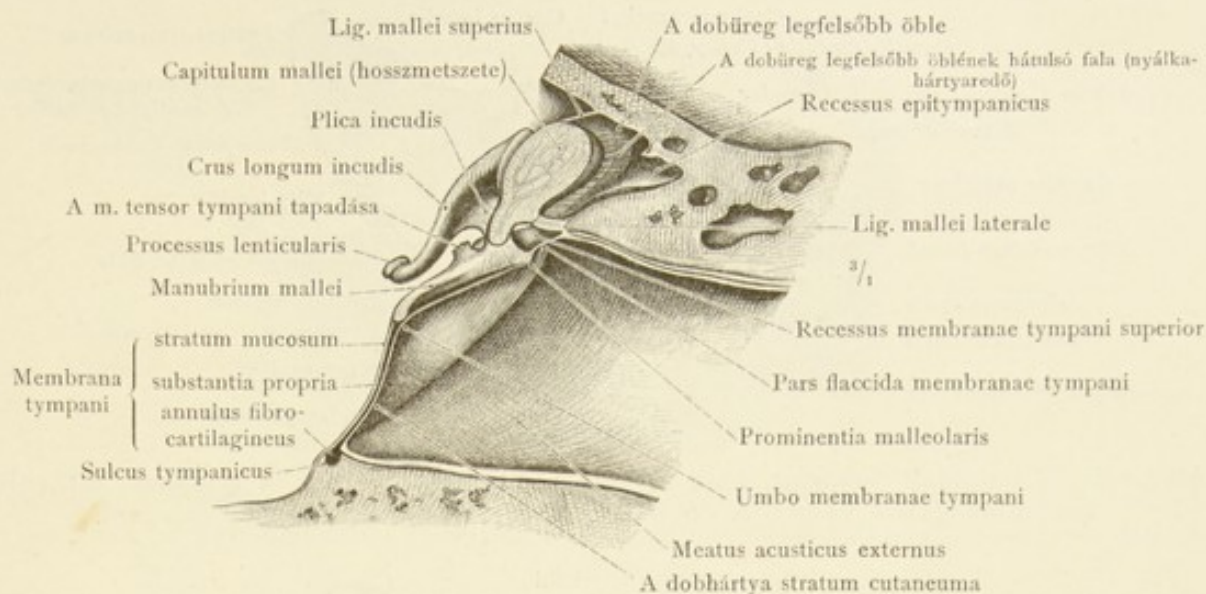


1421. rajz. A baloldali dobhártyának medialis, a dobüreg felé néző oldala, a dobhártya két recessusával, recessus membranae tympani anterior és posterior.  
(A dobüregegen keresztül, a dobhártya közvetlen közelében s vele párhuzamosan vezetett fűrészeléssel és az üllő eltávolításával feltüntetve.)

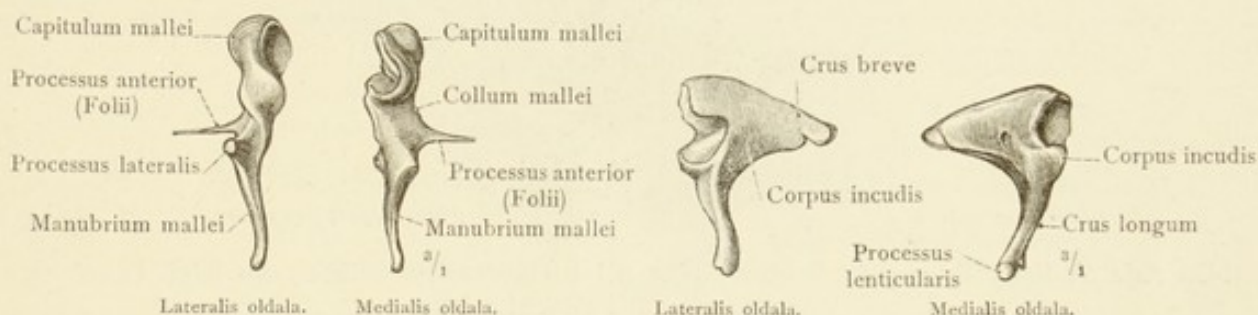


1422. rajz. A bal dobhártya medialis oldala.  
(A dobhártya pars flaccidájának bemutatására, a kalapács feje és a vele összefüggő nyálkahártyaredők el vannak távolítva.)

Auris externa, a külső fül. — Membrana tympani, a dobhártya.

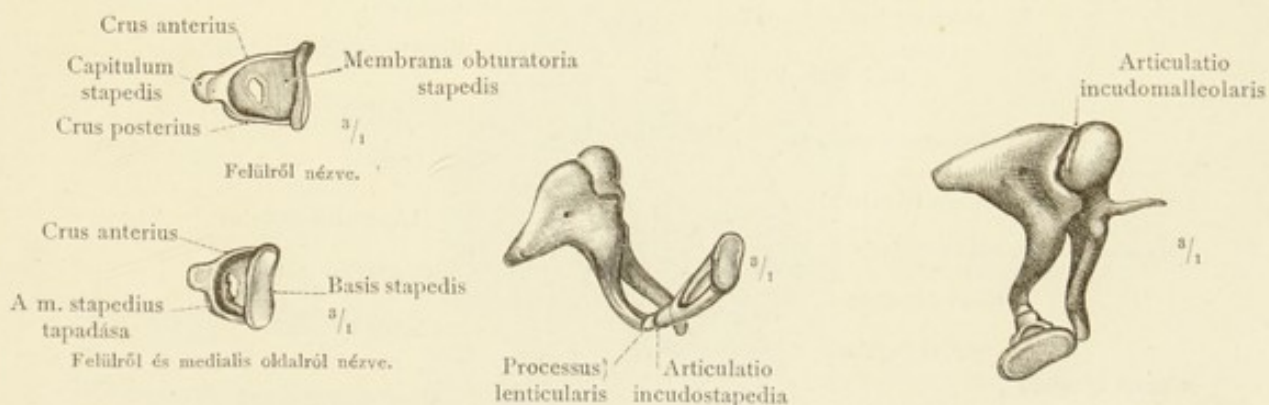


1423. rajz. A baloldali dobhártya és a külső hallójárat kis részének homlokirányú metszete; chromsavban és borszeszben keményített és aztán sósavval méisztelenített készítmény. A metszés a kalapács fejt szeli át és a kalapács markolata előtt halad. Előlről nézve. Nyálkahártyaöblök a recessus epitympanicusban.



1424. rajz. A kalapács, malleus. Baloldali.

1425. rajz. Az üllő, uncus. Baloldali.



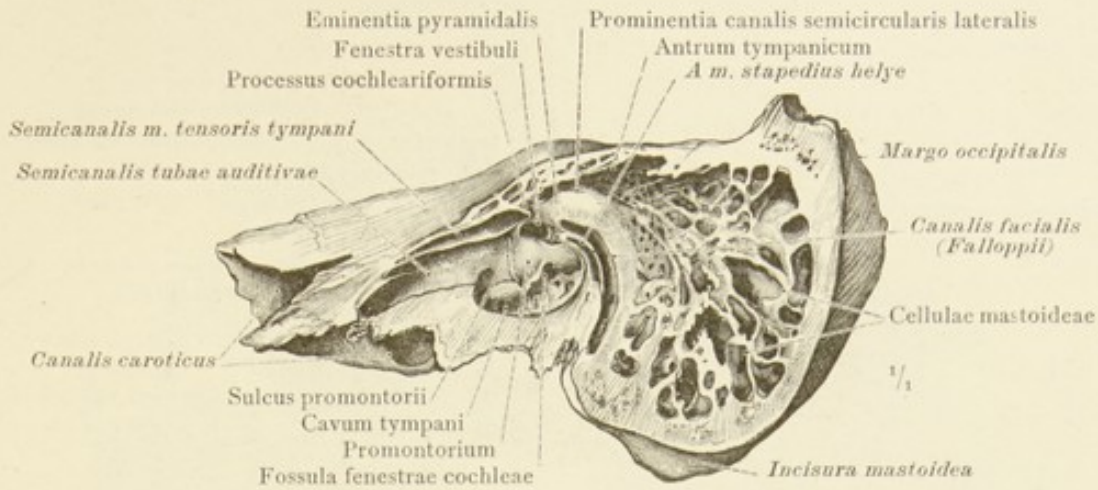
1426. rajz. A kengyel, stapes. Baloldali. Belsejében a membrana obturatoria.

1427. rajz. A bal fül hallócsontjai természetes összefüggésükben, hátulról nézve.

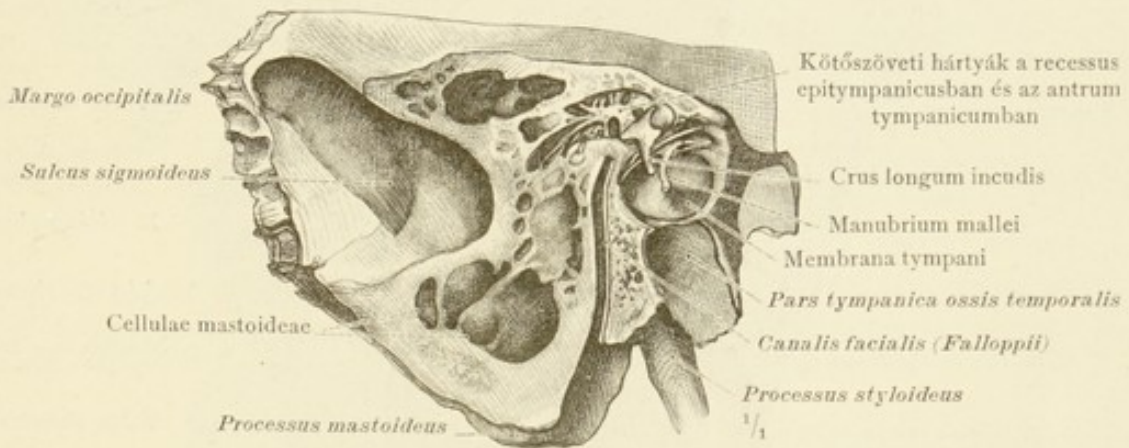
1428. rajz. A bal fül hallócsontjai természetes összefüggésükben, felülről nézve.



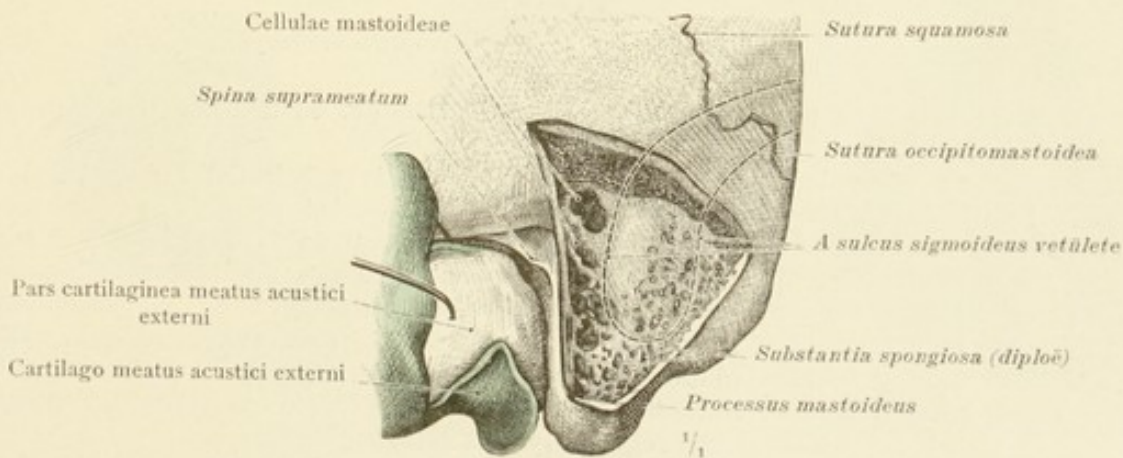




1432. rajz. A baloldali csontos dobüreg medialis fala, paries labyrinthicus és az erősen fejlett cellulae mastoideae; a vakfül és a sziklacsont elülső részének metszete. Balról és elülről nézve.



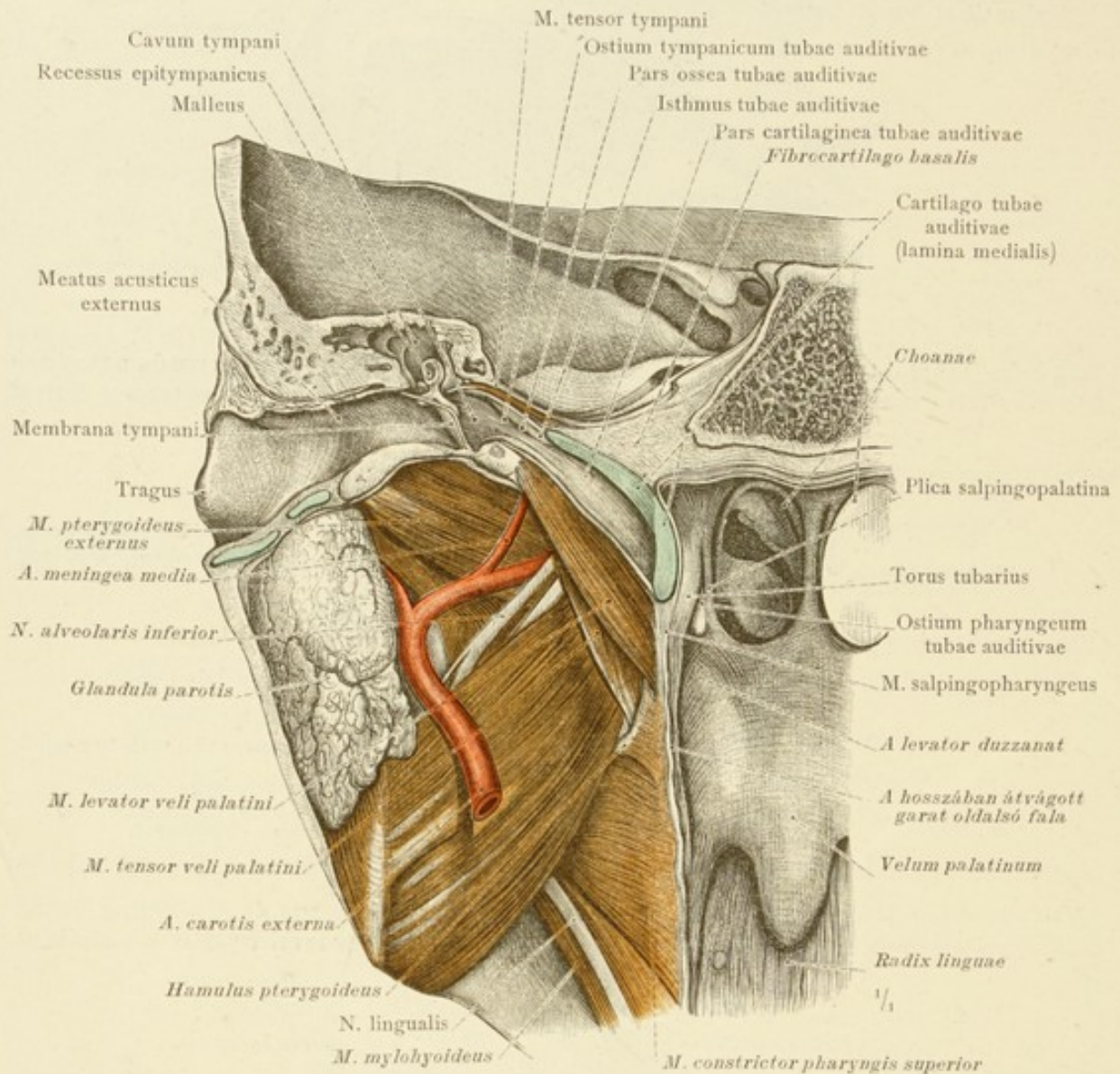
1433. rajz. A baloldali dobüreg oldalsó fala, paries membranaceus és a dobüreg összefüggése a vakfül sejtjeivel. Az antrum tympanicumot kötőszöveti nyálábok szövik át. Medialis oldalról nézve.



1434. rajz. A vakfül sejtjeinek helyzete a külső hallójárathoz, valamint a sinus sigmoideushoz. A sinus sigmoideus fekvését pontozott vonal jelzi. A bal fül, oldalról nézve. A vakfül sejtjei fejletlenek.

Auris media, a középső fül. — Cellulae mastoideae, a vakfül sejtjei.

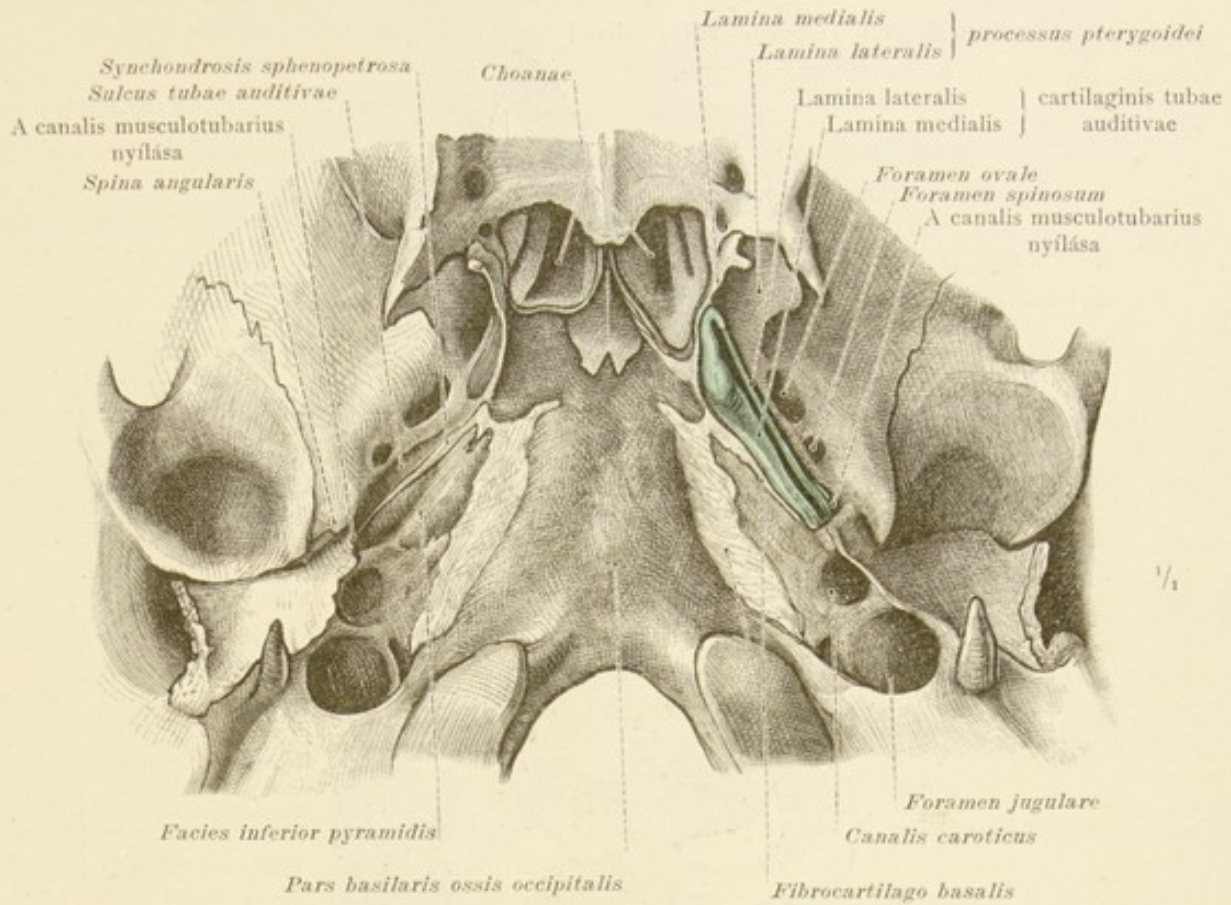




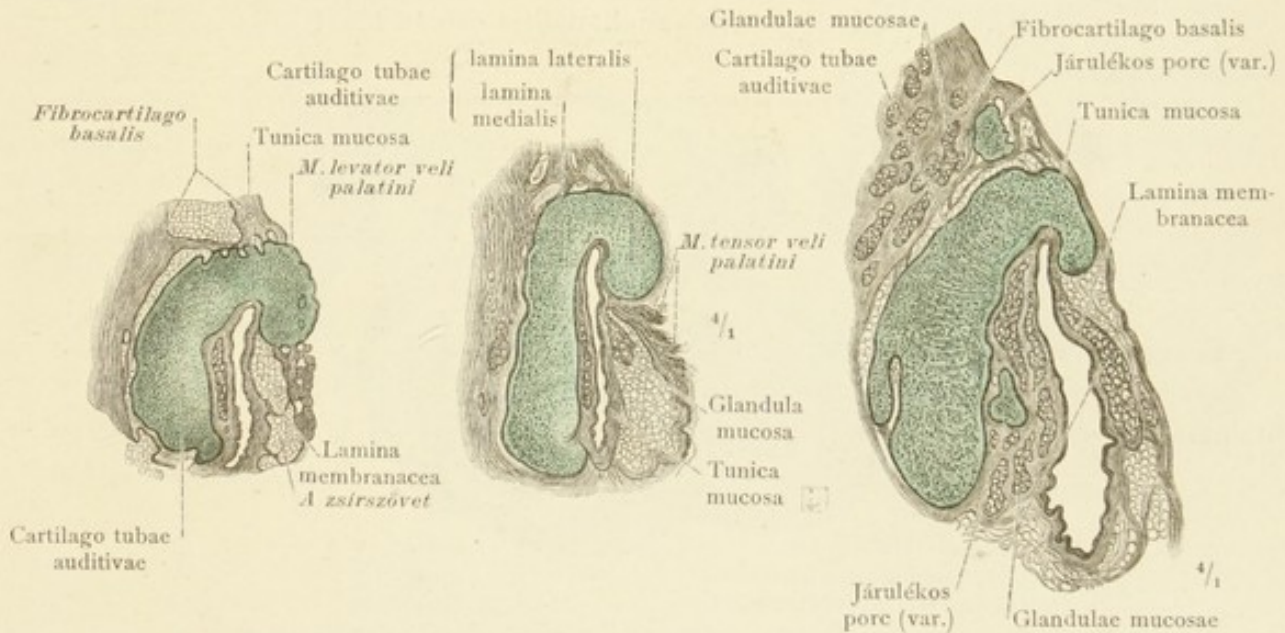
1435. rajz. A fülkürt, tuba auditiva (Eustachii) a dobüreggel és a külső hallójáratral, hátulról nézve.

(A külső hallójárat irányában átmetszett fej elülső darabján a baloldali fülkürt hátul, a garatba való nyílásáig, medialis falának teljes eltávolításával megnyitva. A porcos fülkürt medialis lemezének csak a felső, egész hosszában átvágott része és a legelülső, a garat nyálkahártyájába bemélyedő, a torus tubariust alkotó része látható. A m. levator és a m. tensor veli palatini, továbbá a m. constrictor pharyngis superior és a két m. pterygoideus; az utóbbiak között haladó verőerek és idegek, valamint a fültövi mirigy hátulsó oldala ki vannak dolgozva. A garat oldalsó falának hosszmetsete; hátulsó falának eltávolításával a torus tubarius és az előtte fekvő fülkürt garatüregbeli nyílása látható.)





1436. rajz. A koponyaalap külsejének középső része; a fej bal felén a fülkürt porca, cartilago tubae auditivae, természetes helyzetében és összeköttetésében van kidolgozva. A fej jobb felén a porcos fülkürt fekvőhelye, a sulcus tubae auditivae látható.



1437. rajz. A csontos rész közelében.

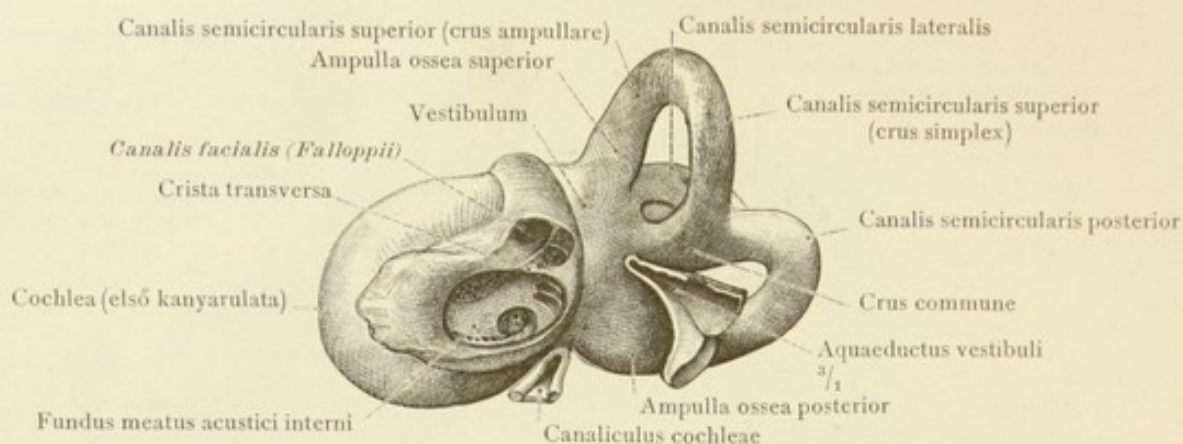
1438. rajz. A porcos rész közepe.

1439. rajz. A garati nyílás közelében.

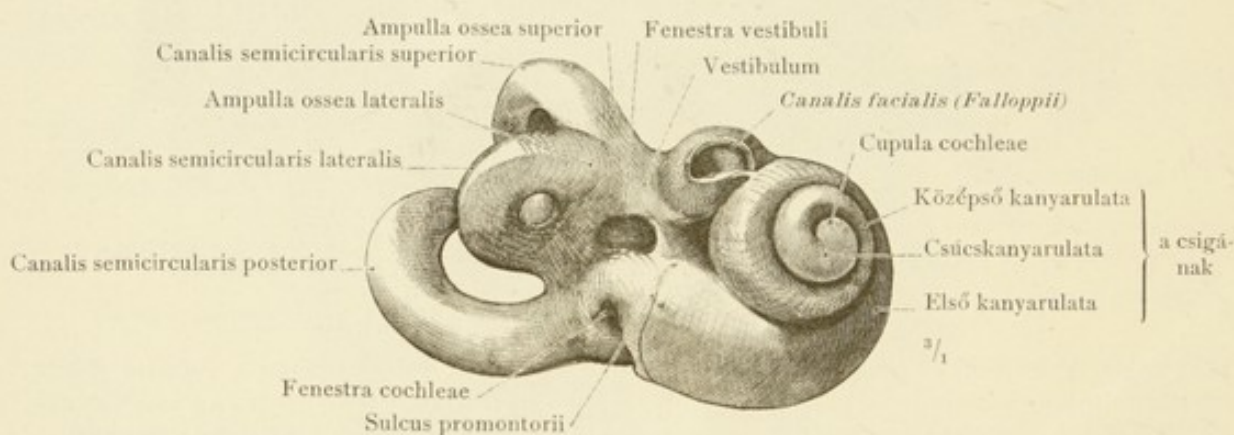
A tuba auditiva (Eustachii) porcos részének harántmetszetei.

Auris media, a középső fül. — Tuba auditiva, a fülkürt.

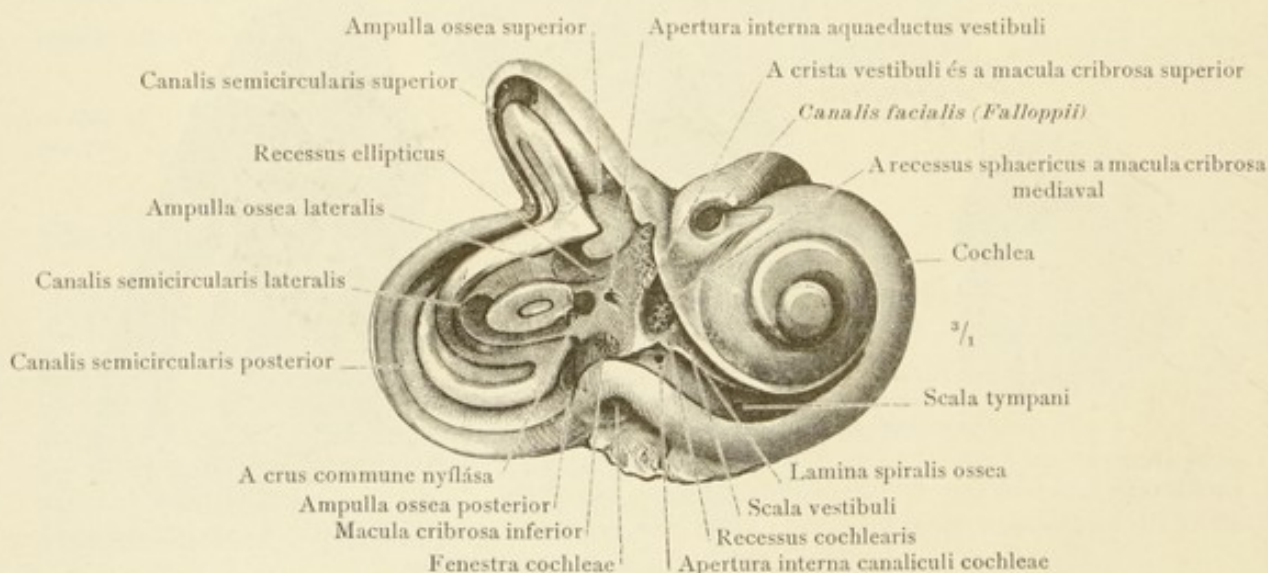




1440. rajz. A jobboldali fül csontos labirintusa, labyrinthus osseus, a belső hallójárat, hátról nézve. Az aquaeductus vestibuli és a canaliculus cochleae.

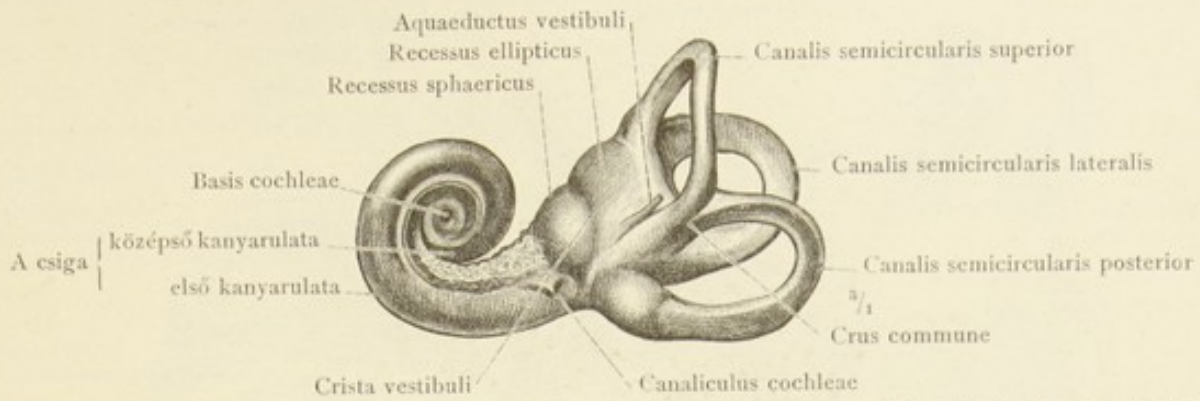


1441. rajz. A jobboldali fül csontos labirintusa elülről nézve; a pitvarablak és a csigaablak; a canalis facialisnak (Fallopian) a csigán fekvő része.

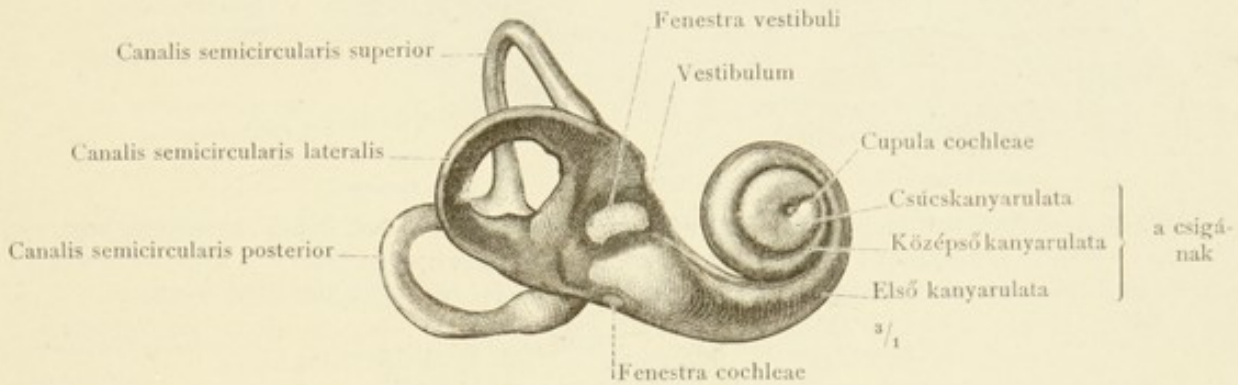


1442. rajz. A jobboldali fül csontos labirintusa elülről nézve. A pitvar oldalsó fala el van távolítva és az ívjáratok egész hosszukban meg vannak nyitva. A pitvar medialis és hátulsó falának belső oldala és az ívjáratok nyílásai a pitvarba.

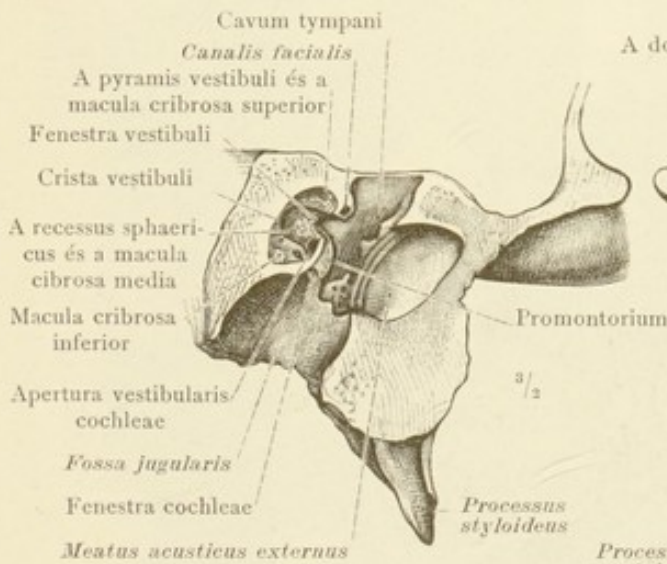
Auris interna, a belső fül. — Labyrinthus osseus, a csontos labirintus.



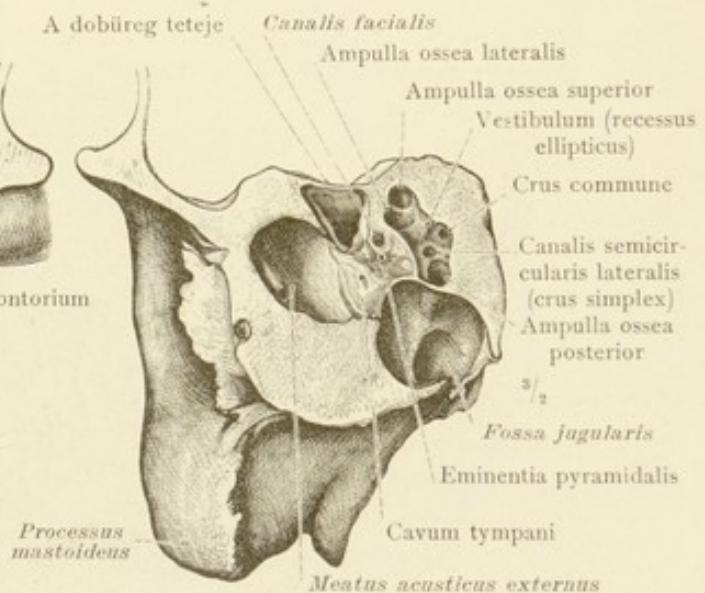
1443. rajz. A jobboldali csontos labirintus üregeinek öntvénye. Wood-fémöntés. Hátról nézve.



1444. rajz. A jobboldali csontos labirintus üregeinek öntvénye. Wood-fémöntés. Elülről nézve.



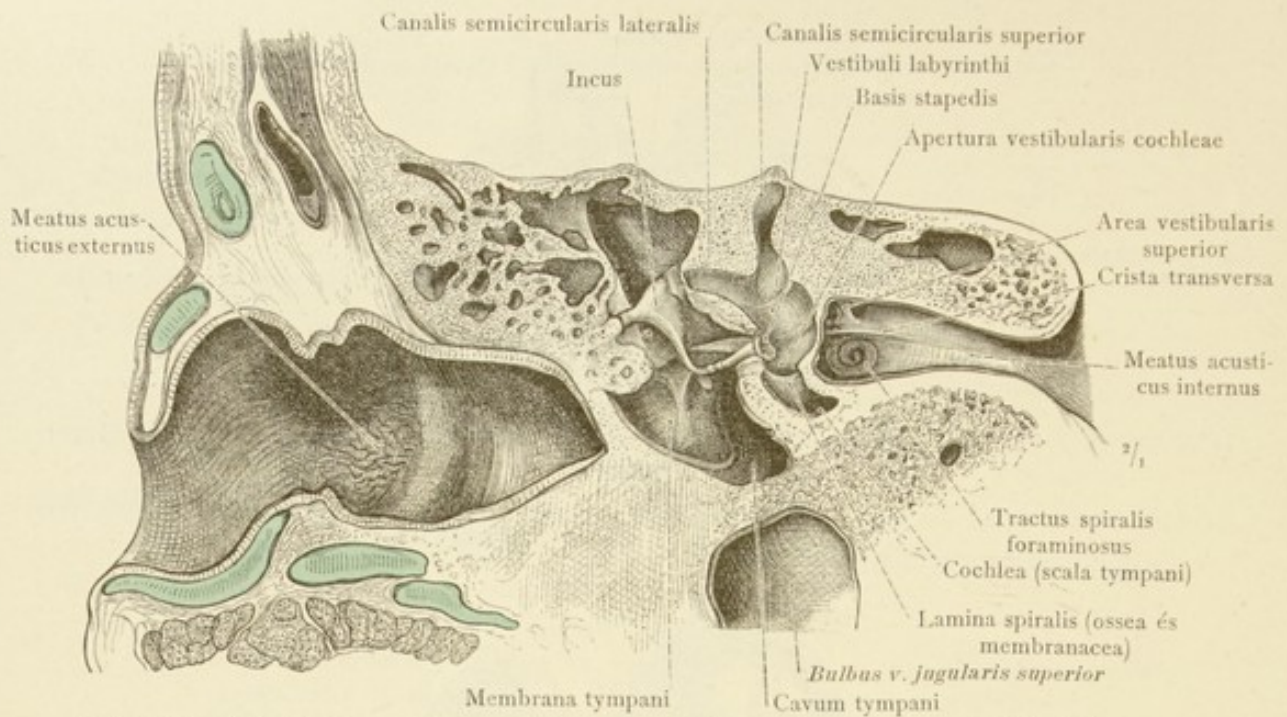
1445. rajz. A halántékcsontról elülső darabja, a pitvar elülső részével. Maculae cribrosae; a csiga pitvari nyílása.



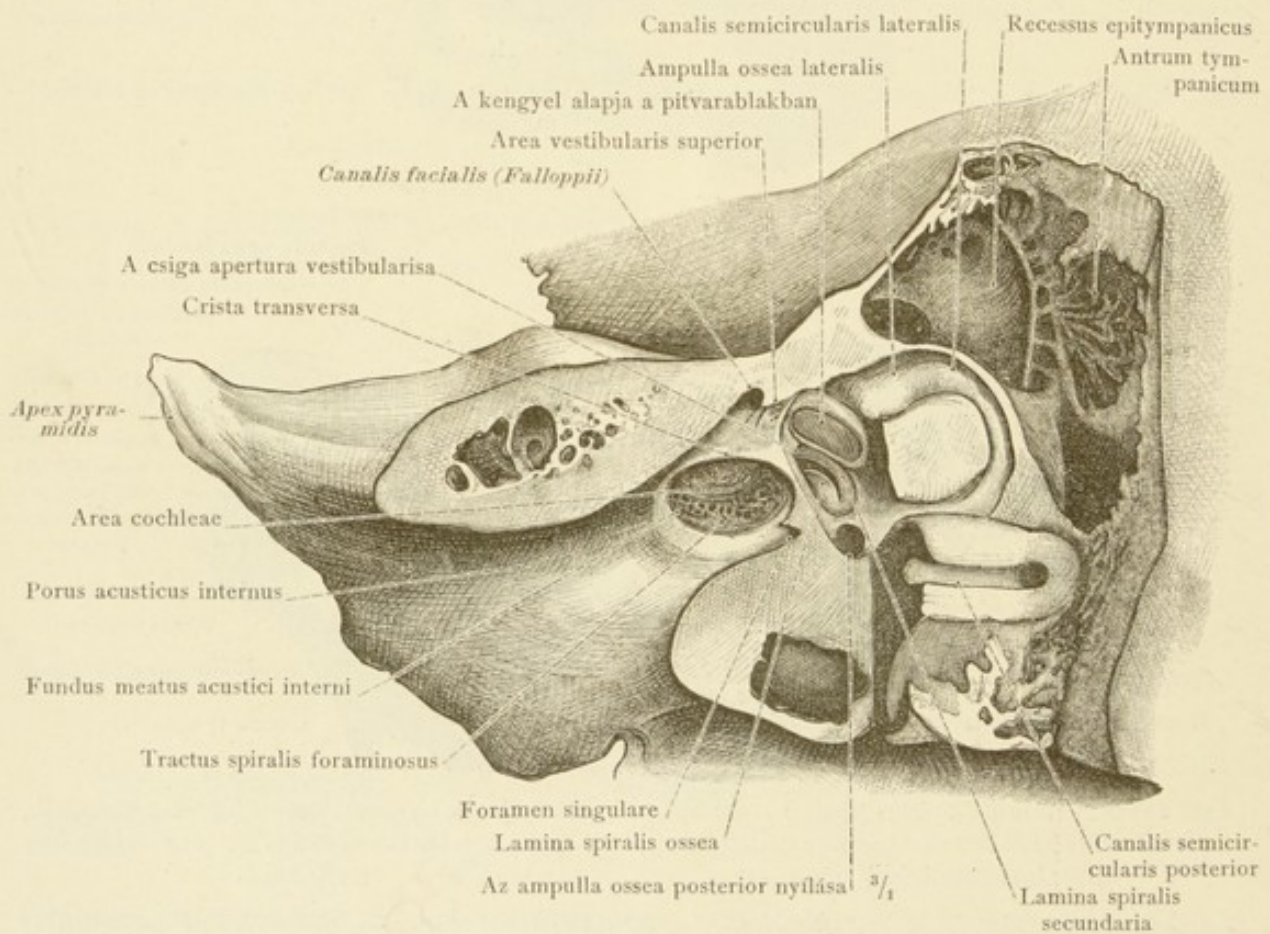
1446. rajz. A halántékcsontról hátsó darabja, a pitvar hátsó részével. Az ívjáratok nyílásai.

(A jobboldali halántékcsontról homlokirányban átfürészelve A fürészelés a promontoriumon, a pitvarablakon és a labirintus pitvarán keresztül a csontot elülső és hátsó részre osztotta.)





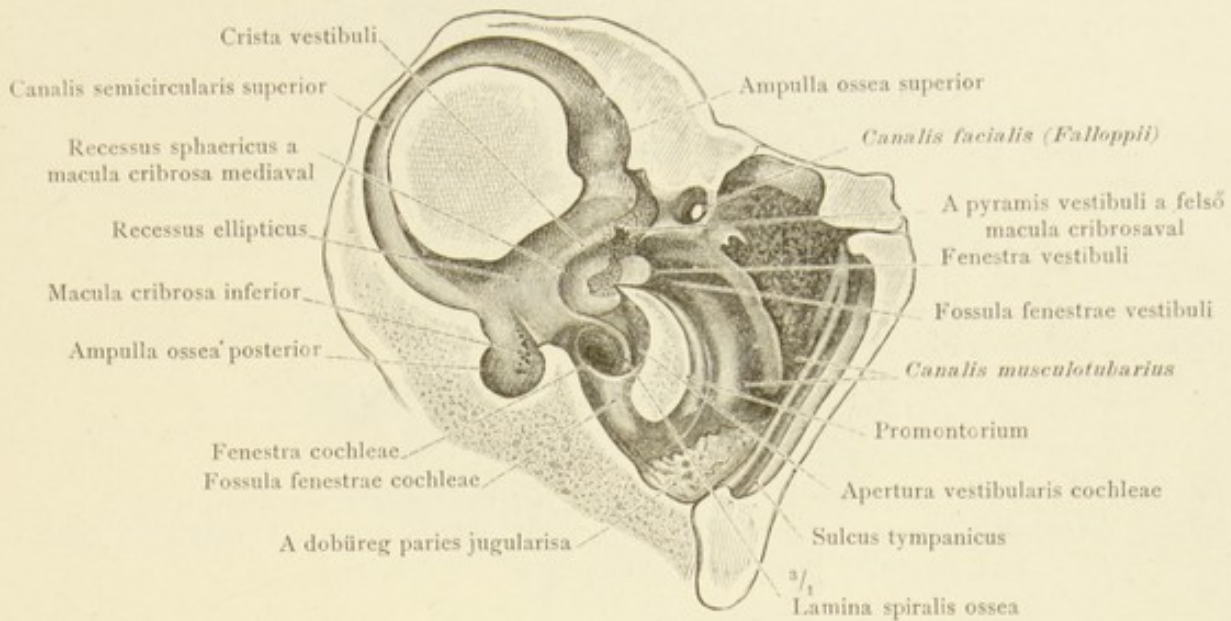
1447. rajz. A labirintus pitvara; fekvése a dobüreghez és a belső hallójáráthoz. (A bal hallószerv majdnem homlokirányban kettémetszve; a metszés a külső és belső hallójáratot hosszában szeli át. A metszet elülső darabja hátról nézve.)



1448. rajz. A labirintus pitvara az oldalsó ívjáráttal, a hátsó ívjárat felső (egyenes) szárával és a belső hallójáráttal, a jobboldali sziklacsonton felülről kidolgozva. Felülről és hátról nézve.

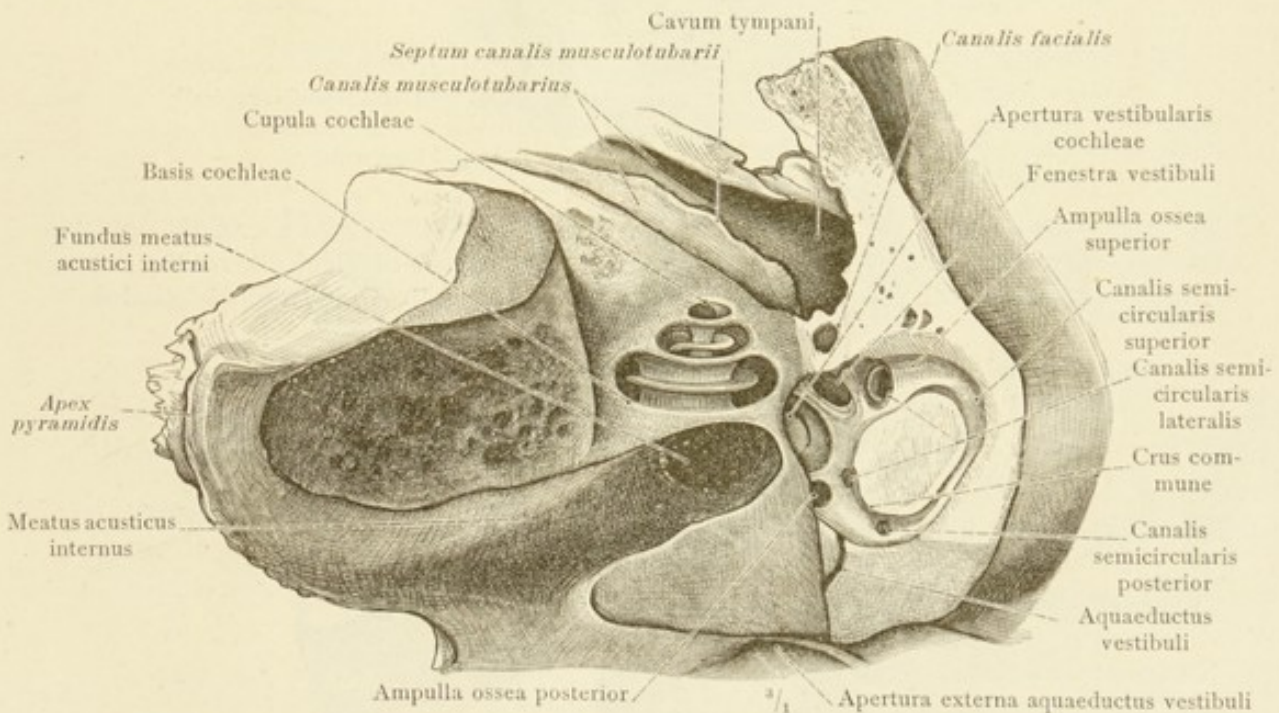
Auris interna, a belső fül. — Labyrinthus osseus, a csontos labirintus.





1449. rajz. A pitvar elülső része a felső ívjáratral. A pitvarban a maculae cribrosae és a csiga nyílása láthatók.

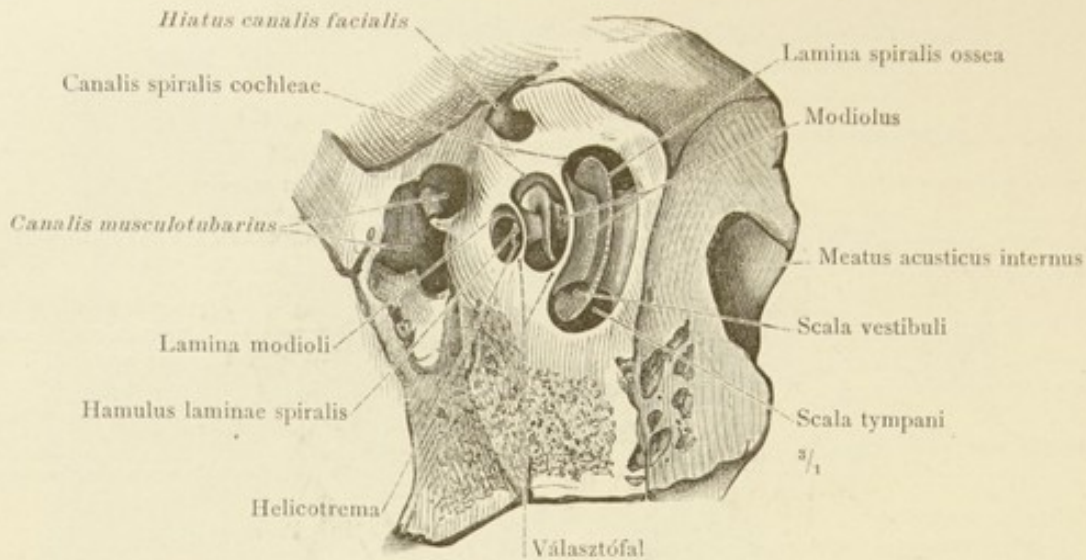
(A jobboldali halántékcsont piramisa hosszában, merőlegesen átfűrészelve; a metszés a dobüreget harántul szelte át és a pitvarablakon keresztül a felső ívjárat egész hosszában ment át. A piramis medialis darabja oldalról nézve.)



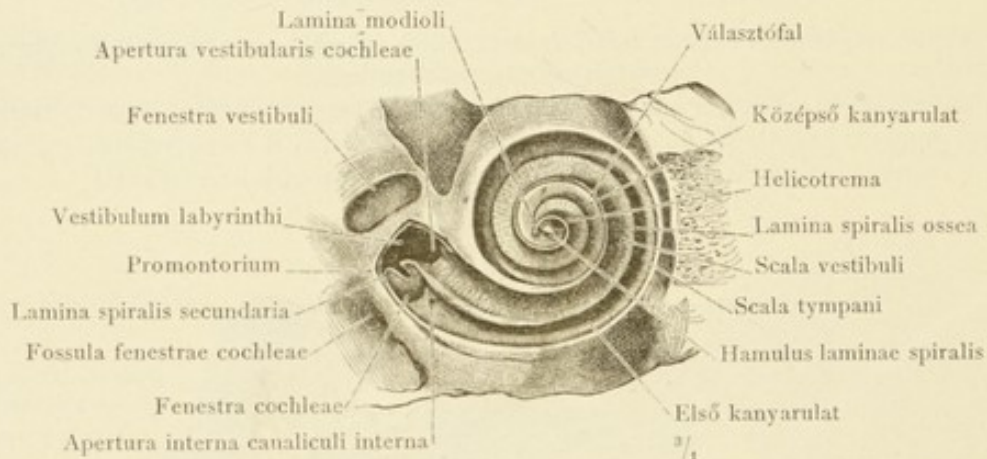
1450. rajz. A pitvar fekvése a csigához és a csiga fekvése a belső hallójárat alapjához és a canalis musculotubariushoz; jobboldali halántékcsont felülről nézve.

(A felső ívjárat egész hosszában, az aquaeductus vestibuli nagy részben feltárva.)

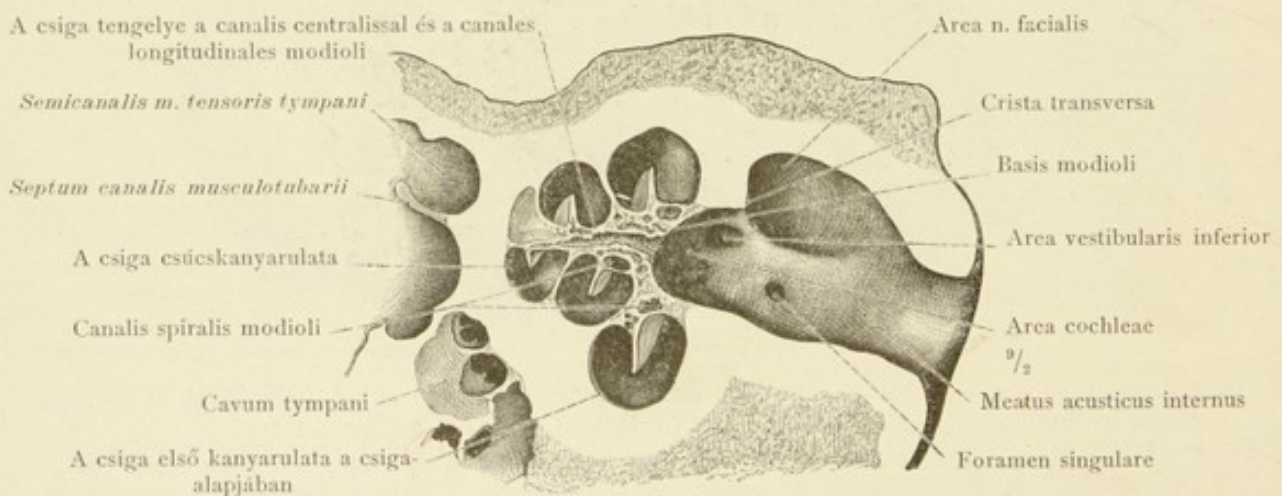




1451. rajz. A csontos csiga, cochlea, hossz tengelyével párhuzamosan átmetszve. A csiga fekvése a canalis musculotubarius-hoz. A metszet oldalsó lapja. (A jobb oldali szikla-csont hosszára merőlegesen átfűrészelve.)

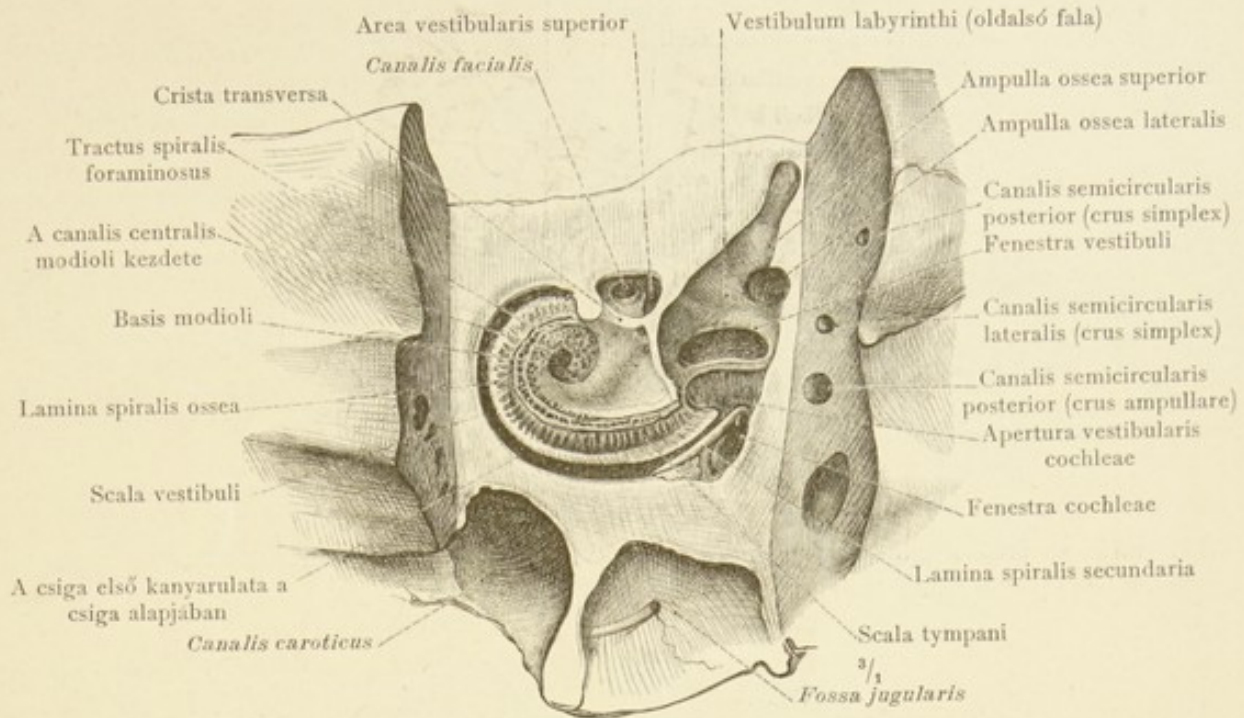


1452. rajz. A jobb oldali fül csontos csigája, a canalis caroticus és a canalis musculotubarius eltávolításával, elülről nézve. A csiga falát külső oldalról eltávolítva a megnyitott csigakanyarulatok, a csiga kupja felől, azaz elülről és oldalról láthatók.

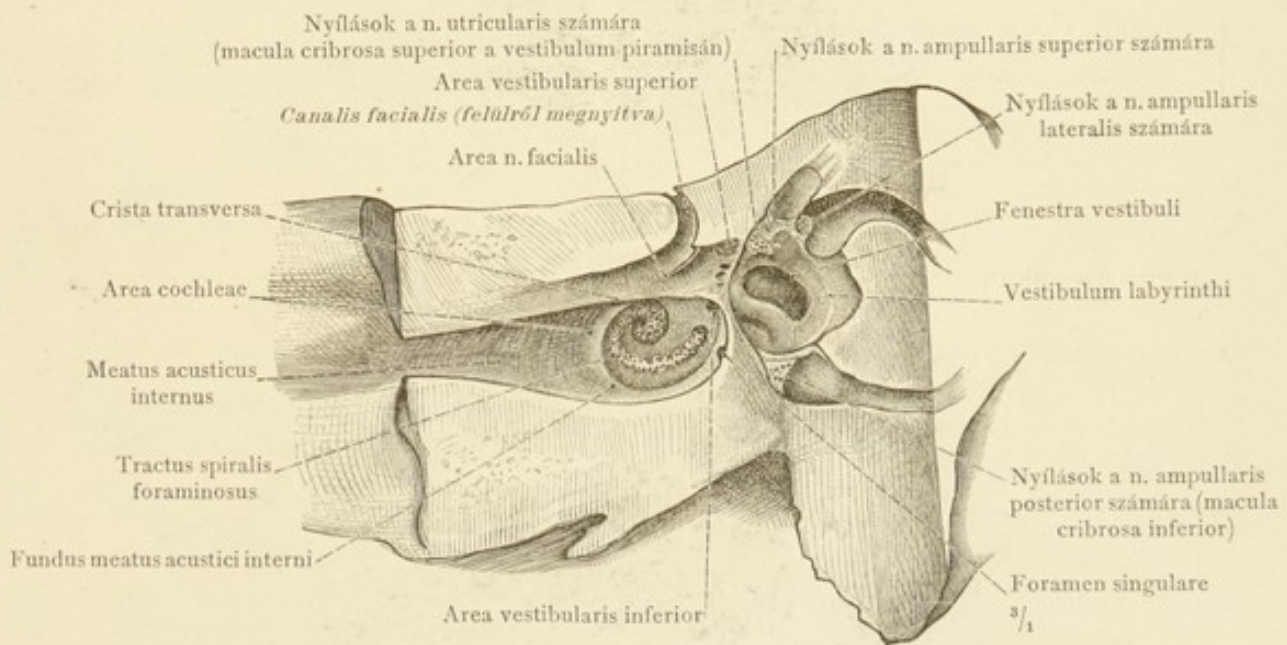


1453. rajz. A jobb fül csontos csigájának metszete hossz tengelyében. A csiga tengelye, modiolus, egész hosszában van átfűrészelve.

Auris interna, a belső fül. — Labyrinthus osseus, a csontos labirintus.



1454. rajz. A csiga első kanyarulata a csiga tengelyének alapjával, basis modioli, hátulról nézve. A pörge csontlemez, lamina spiralis ossea, mely a scala vestibulit a scala tympanitól elválasztja, a csiga alapja felől látható. A scala vestibuli nyílása a pitvarba és a scala tympani nyílása a csigaablakon keresztül a dobüregbe. Jobboldali sziklaesontban hátulról nézve.

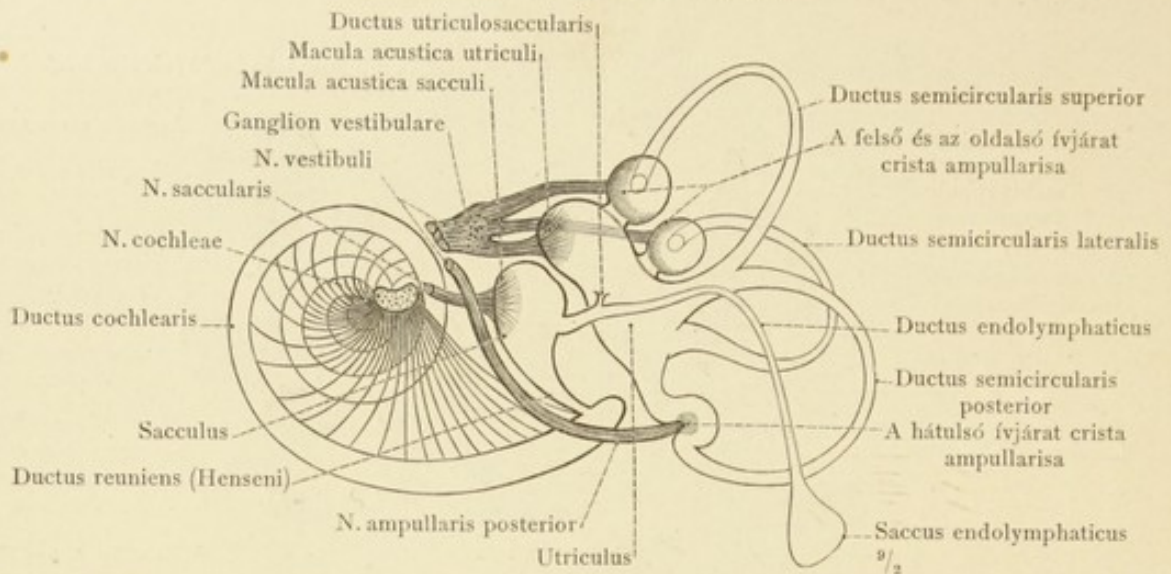


1455. rajz. A belső hallójárat, meatus acusticus internus, a jobboldali sziklaesontban hátulról felvéve. A járat fenekén a tractus spiralis foraminosus, a csiga tengelyébe és a pörge csontlemezbe, valamint a pitvar macula cribrosájába és az ívjáratok ampulláiba vezető idegsatornák kezdetei. A szintén hátulról megnyitott pitvarban a macula cribrosa superior és inferior, valamint a felső és oldalsó ívjárat ampulláihoz menő idegrostok számára szolgáló nyílások láthatók.

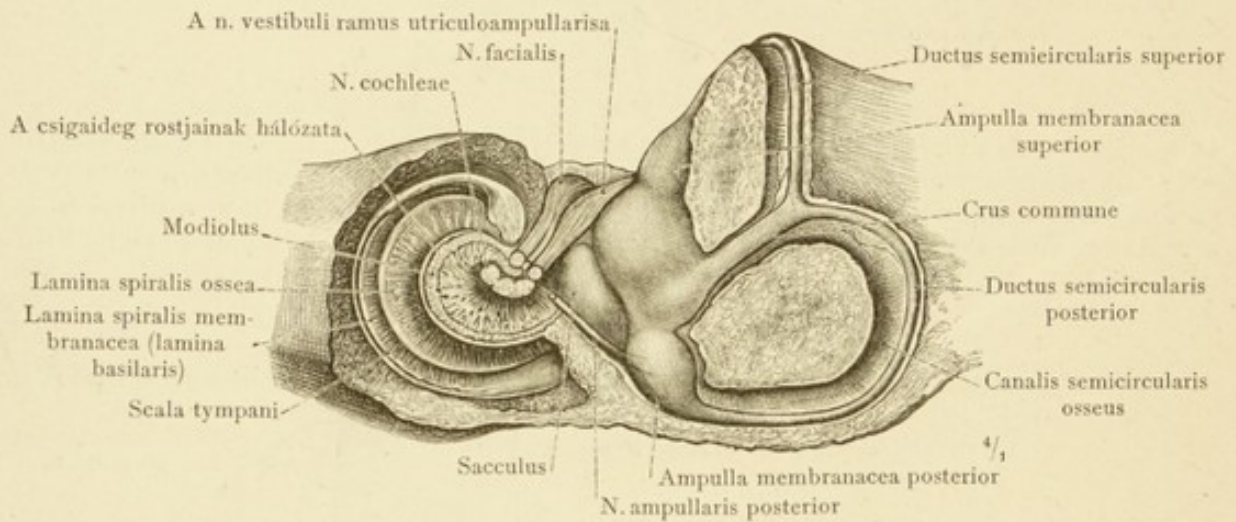
Auris interna, a belső fül. — Labyrinthus osseus, a csontos labirintus.



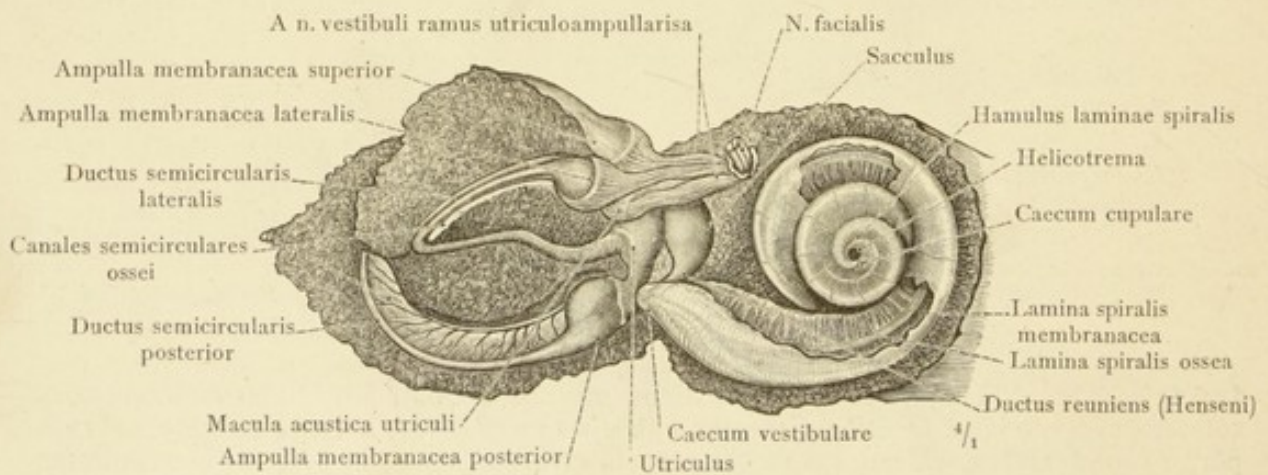
Az érzékszervek. — A hallószerv.



1456. rajz. A jobboldali hártýás labirintus sémája és a hallóideg, n. acusticus elágazódása. Hátról nézve.



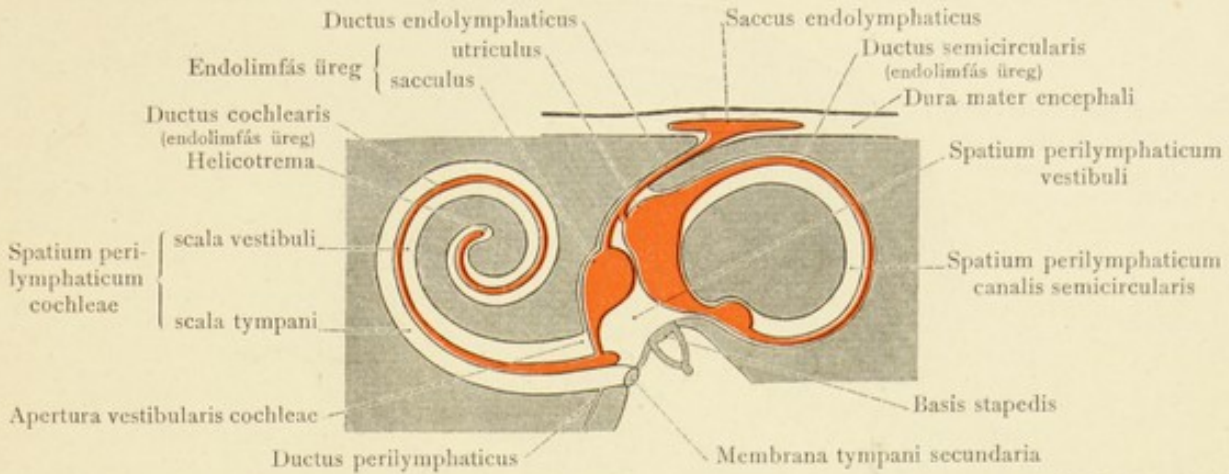
1457. rajz. Újszülött gyermek hártýás labirintusa, a csontos labirintus nagy részének eltávolításával. Jobboldali fül, hátról nézve.



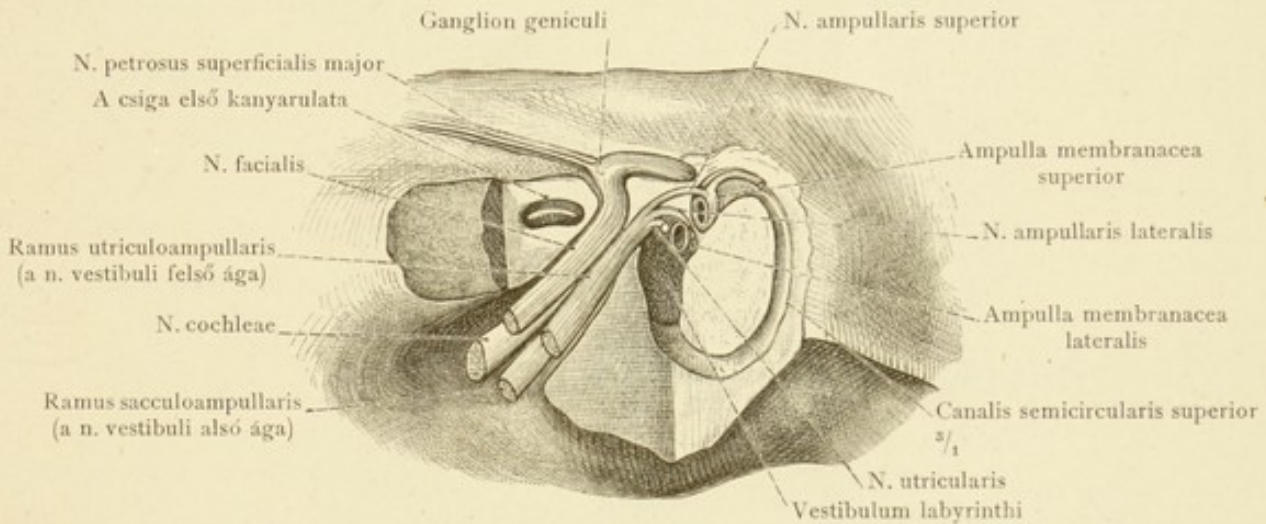
1458. rajz. Újszülött gyermek hártýás labirintusa elülről nézve. Jobboldali fül. A csigacsatorna falát két helyen eltávolítva, a csigacsatorna periosteuma és a ligamentum spirale látható.

Auris interna, a belső fül. —  
Labyrinthus membranaceus, a hártýás labirintus.

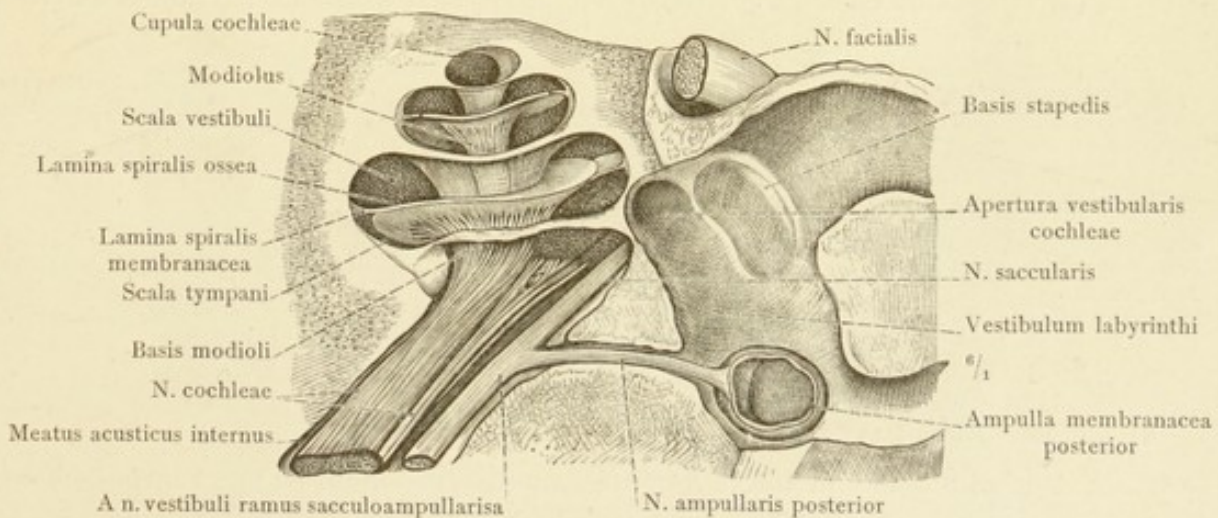




1459. rajz. A labirintus, endolimfás és perilymfás üregeinek sémája (az előbbiek vörösek, az utóbbiak fehérek.)



1460. rajz. Az arcideg és a pitvarideg felső ága, ramus utriculoampullaris, a belső hallójárat megnyitásával felülről nézve.



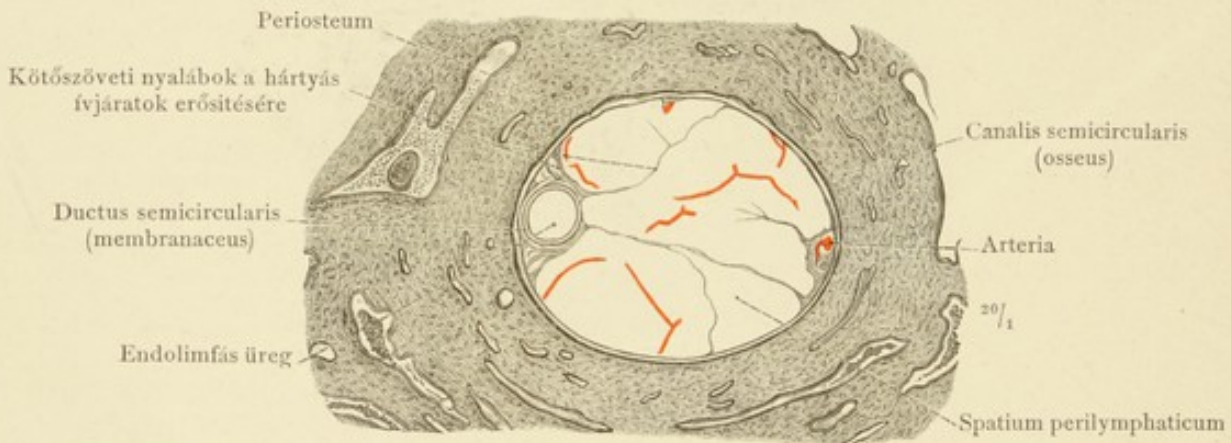
1461. rajz. A csigaideg és a pitvarideg alsó ága, a ramus sacculoampullaris, az 1460-ik rajz készítményéről az arcideg és a pitvarideg felső ágának eltávolításával.

Auris interna, a belső fül. — N. acusticus, a hallóideg.

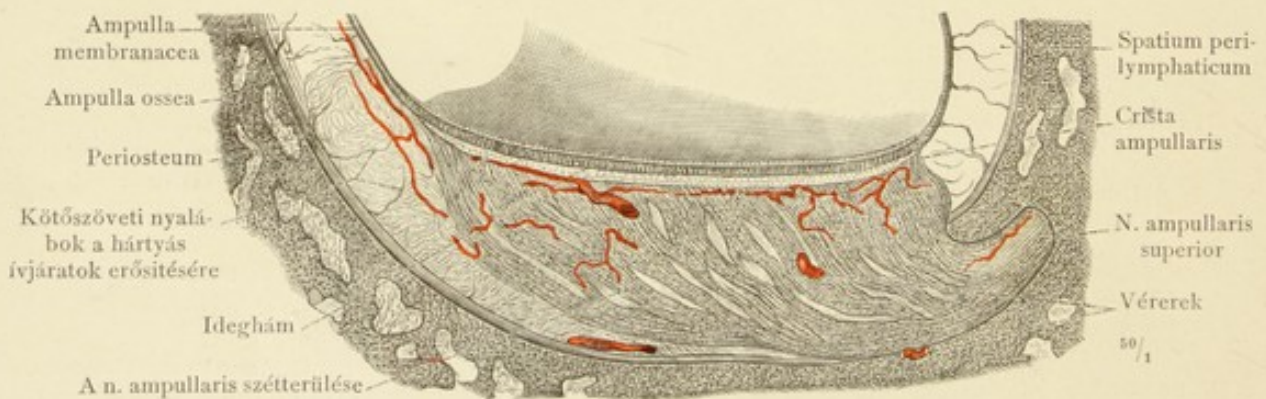




1462. rajz. A hártás és a csontos felső ívjárat hosszmetsete; az idegvégződésék a crista ampullarison harántul átmetsze.



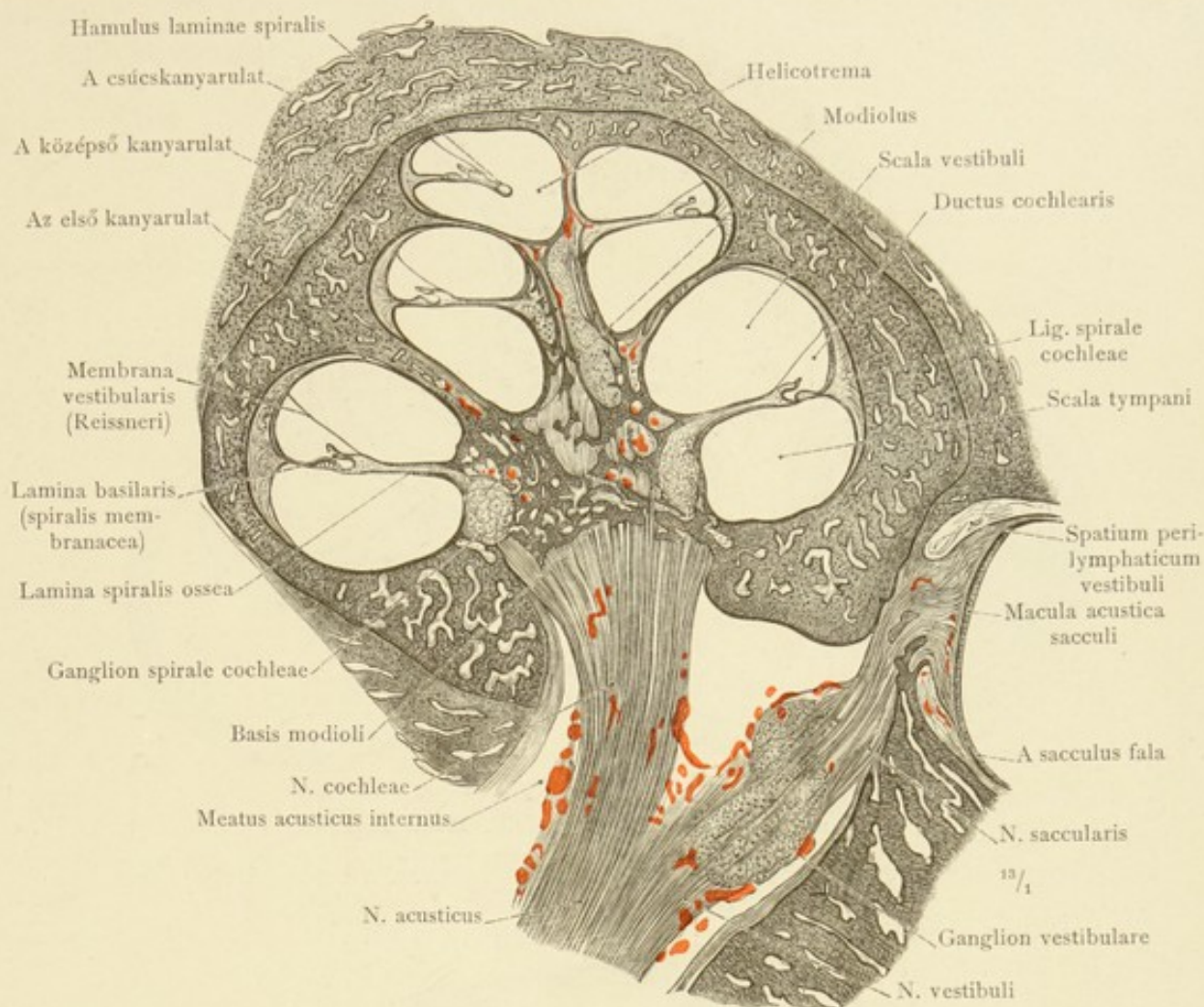
1463. rajz. A csontos és a hártás felső ívjárat egyenes szárának harántmetsete.



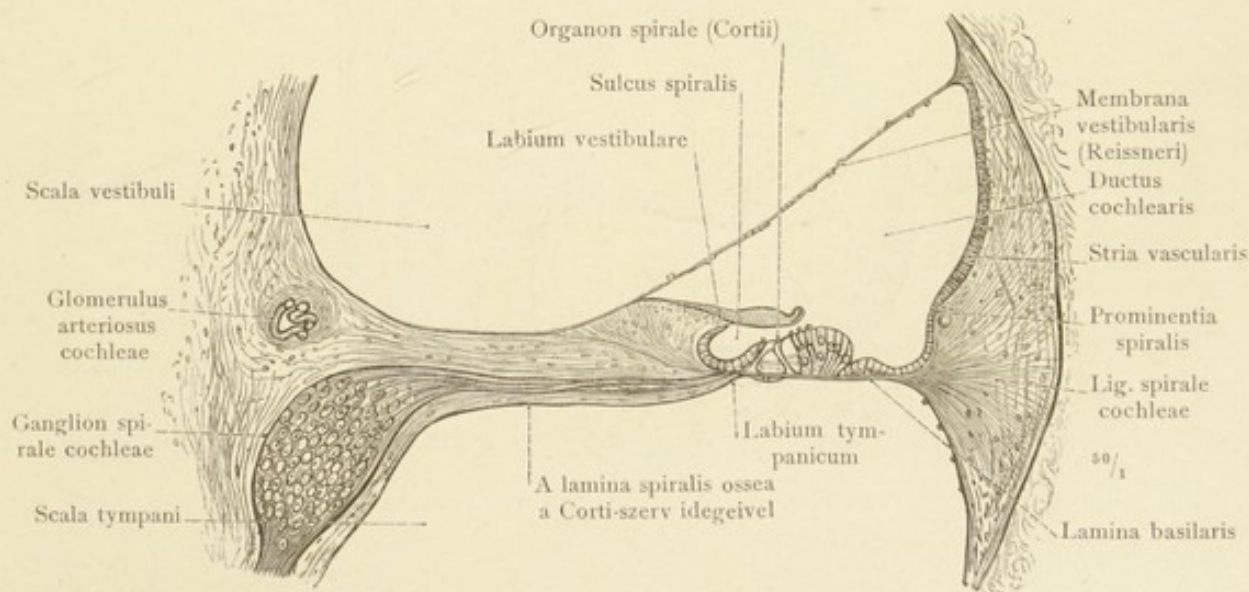
1464. rajz. A felső ampulla metsete a crista ampullaris mentén; az idegvégződésék és az idegek hosszmetsetben láthatók.

(Mind a három rajz újszülött gyermek méstelenített sziklacsonjtjának metseteiről készült.)





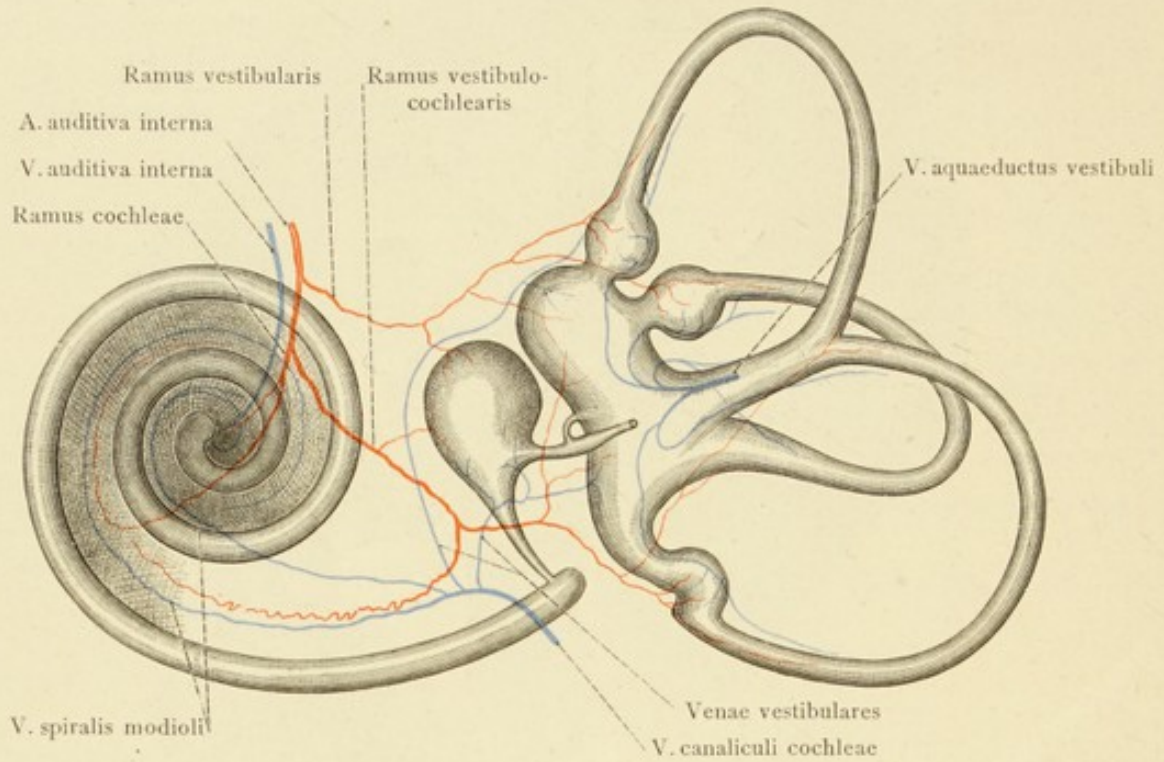
1465. rajz. Újszülött gyermek mésztelenített csigájának metszete, a csiga hossz tengelyében. A csigaideg belépése. A jobboldalon a sacculus érző végkészüléke, a n. saccularis és a ganglion vestibulare láthatók.



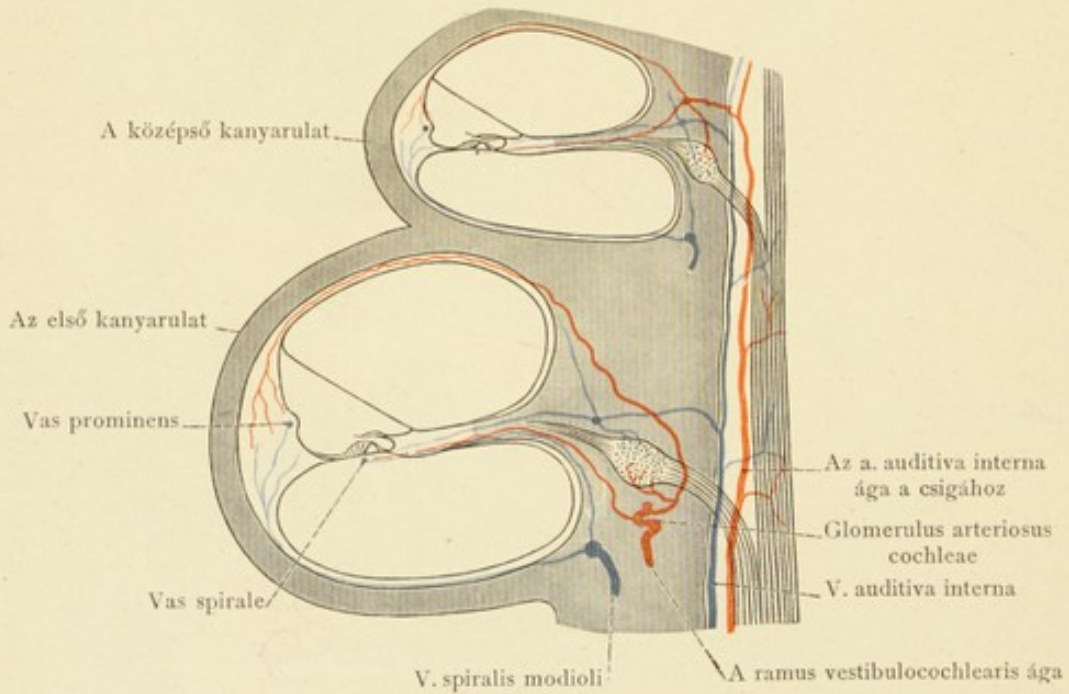
1466. rajz. A csigakanyarulat metszete a csiga hossz tengelyében. A ductus cochlearis, a csigaideg végkészülékével, a Corti-szervvel: organon spirale.

Auris interna, a belső fül. — A csigaideg vége.





1467. rajz. A hártyás labirintus ereinek sémája. (Siebenmann vizsgálatai szerint.)



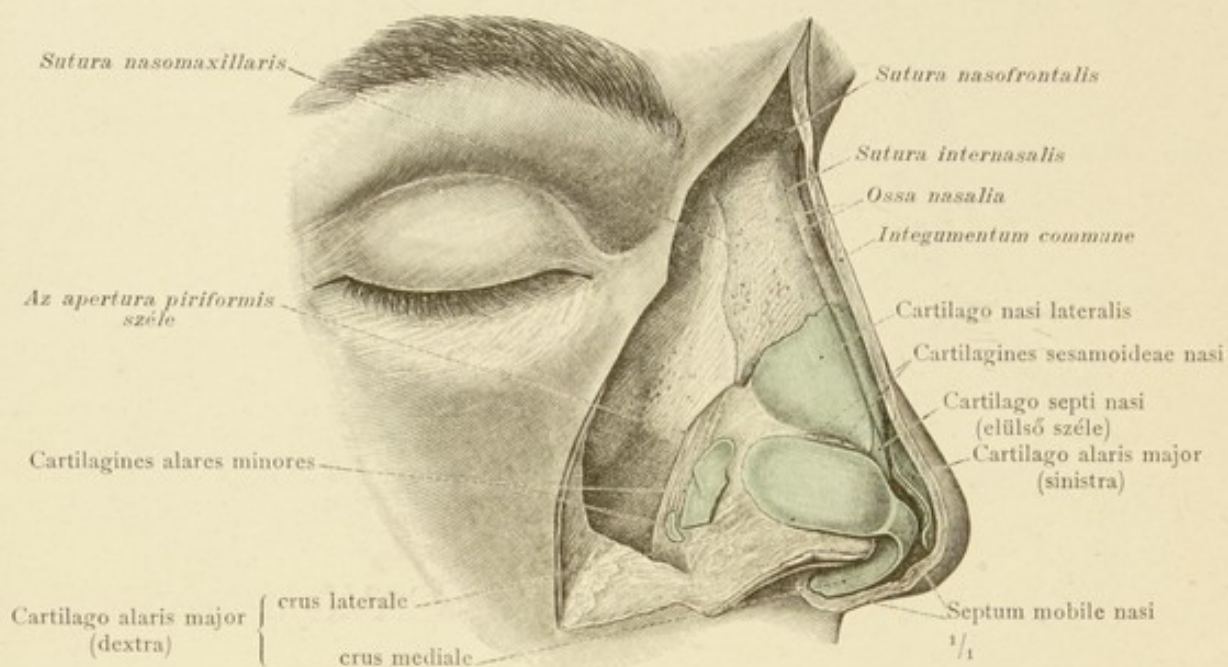
1468. rajz. A csiga ereinek sémája.

ORGANON OLFACTORIUS, CAVUM NASI.

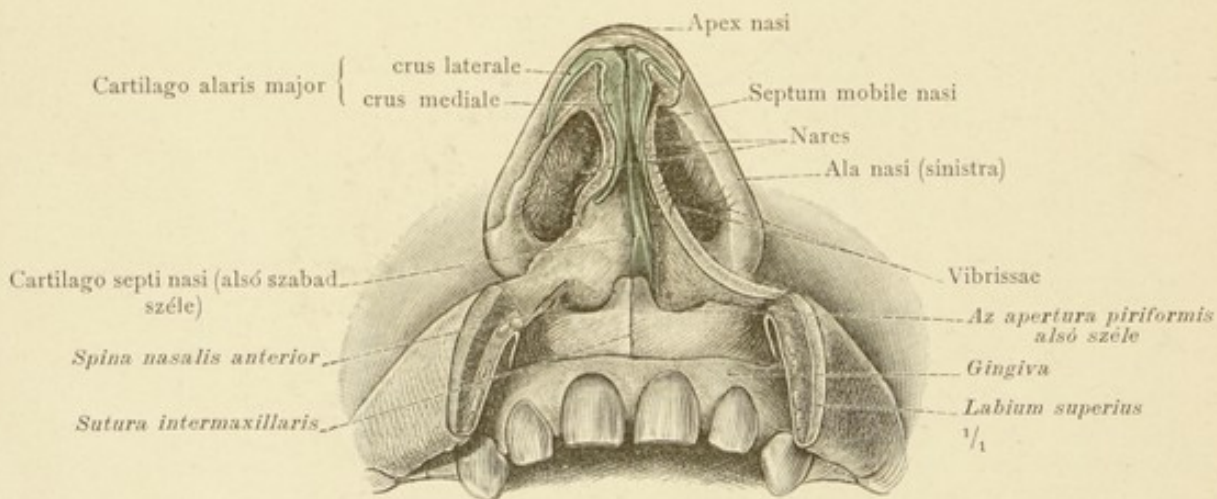
A SZAGLÓSZERV, AZ ORRÜREG.





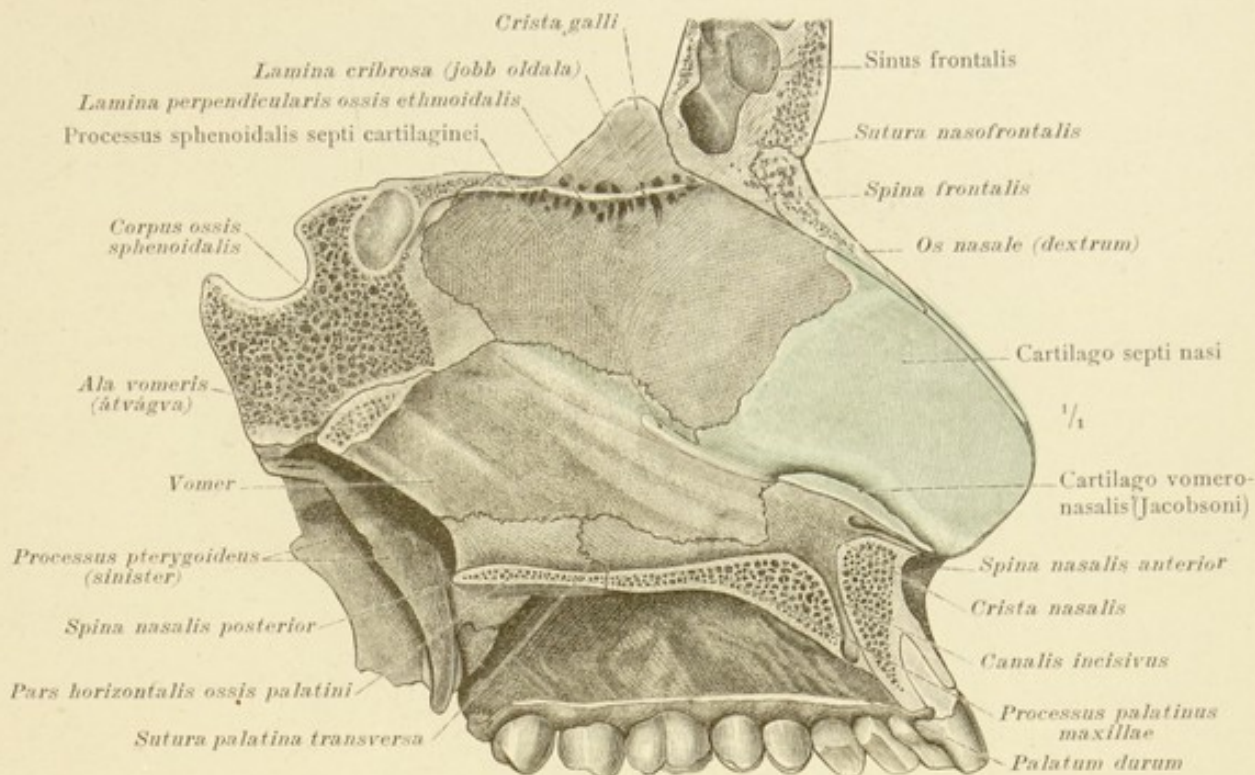


1469. rajz. Az orr külső porcai, a bőr és az izomzat eltávolításával, jobboldalról nézve; cartilago alaris major és a cartilago alaris minor: az orrszárnyak nagy és kis porcai. Az oldalsó orrporcok, cartilago nasi lateralis az orrszonhoz csatlakozva, az orrhátának vázát alkotják. Az orr közbeékelte kis porcai, cartilagines sesamoideae nasi.

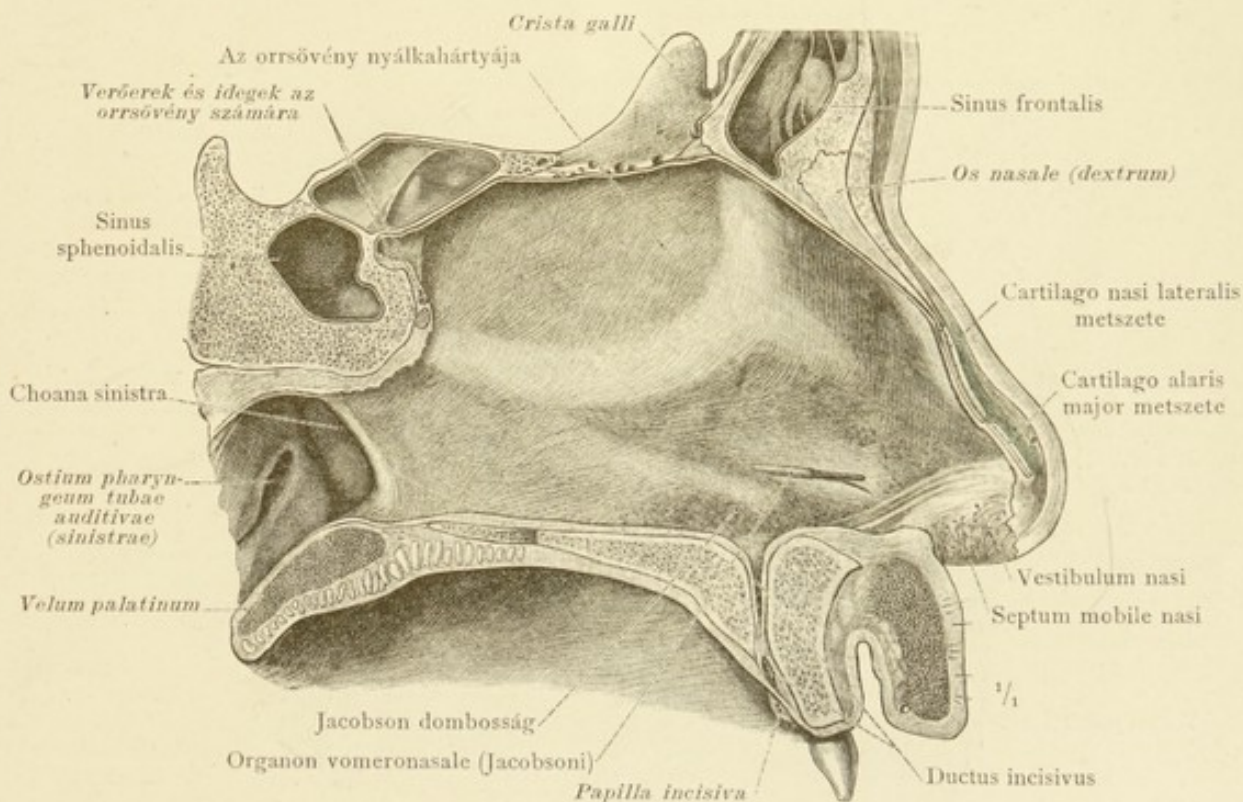


1470. rajz. Az elülső, (külső) két orrnyílás, nares és az orrsövénynek az orrnyílások között fekvő mozgékony része, septum mobile nasi, másképp septum membranaceum, aminek a vázát a jobb és a bal nagy orrszárnyporcok medialis szára alkotja. Alulról nézve.

Cartilagines nasi, az orr porcai.



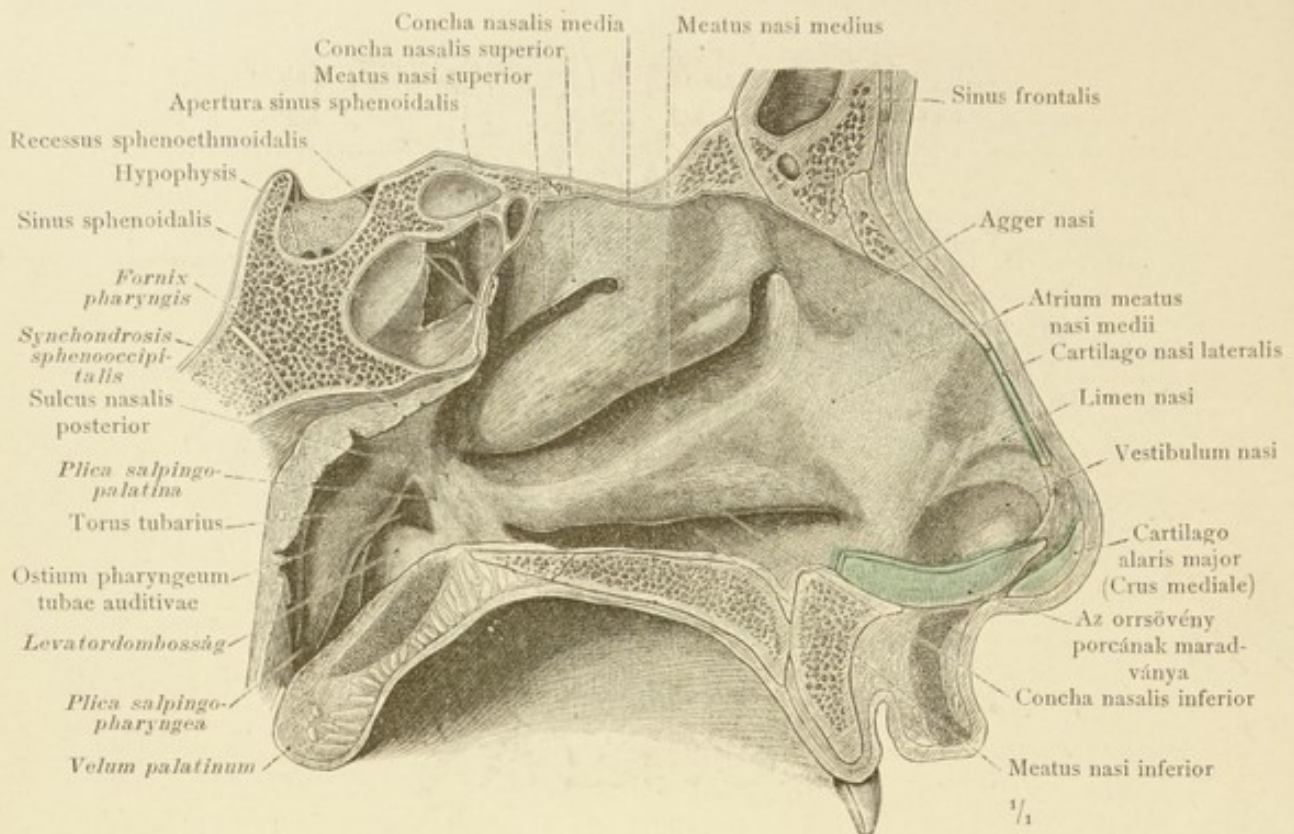
1471. rajz. Az orrsövény csontos és porcos váza, septum osseum és septum cartilagineum nasi; az orrsövény porcának alsó szélén a Jakobson-porc, cartilago vomeronasalis, látható. A jobboldalról nézve.



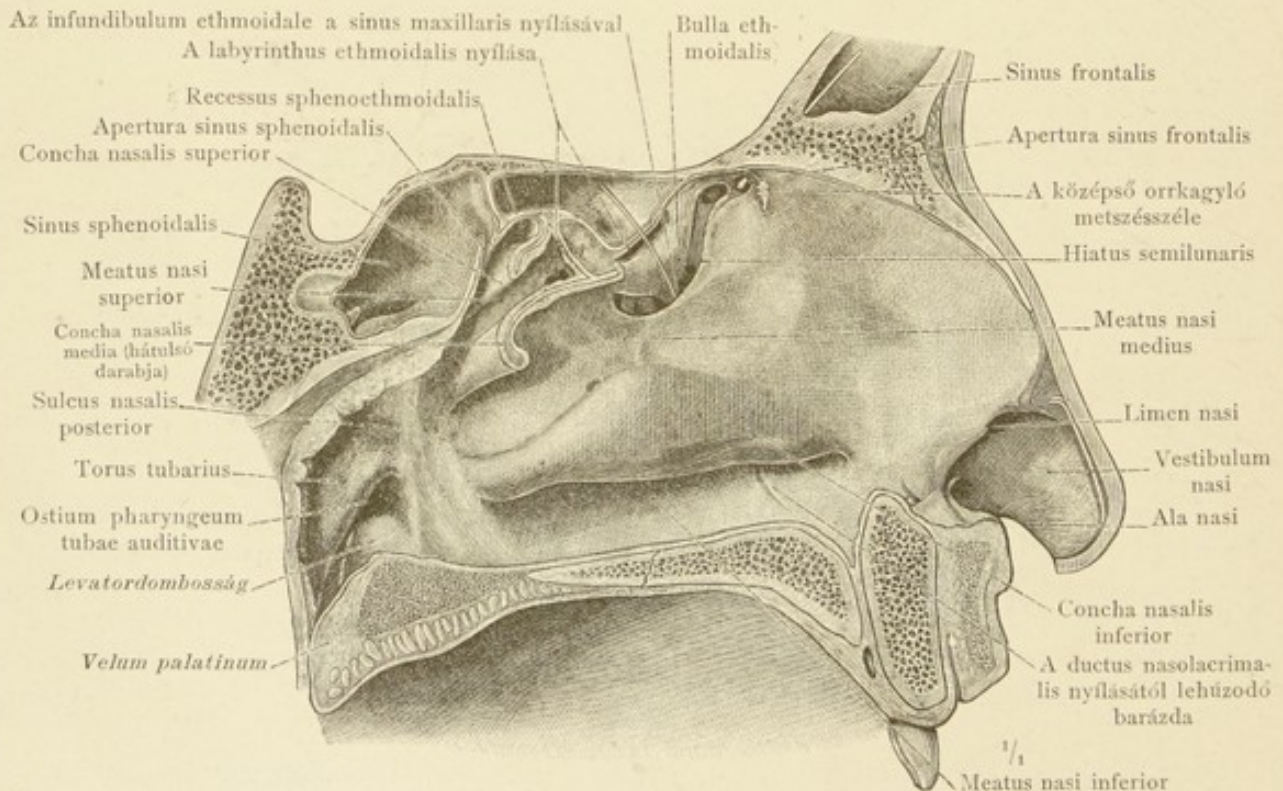
1472. rajz. Az orrsövény, septum nasi, nyálkahártyájával, a jobboldalról nézve. Az orrsövényporc alsó szélének irányában az orrpitvar, vestibulum nasi, határa a szorosabb értelemben vett orrüreg, cavum nasi, felé látható. A Jakobson szerv kis csatornájában sonda van.

Cartilaginei nasi, az orr porcai. — Septum nasi, az orrsövény.





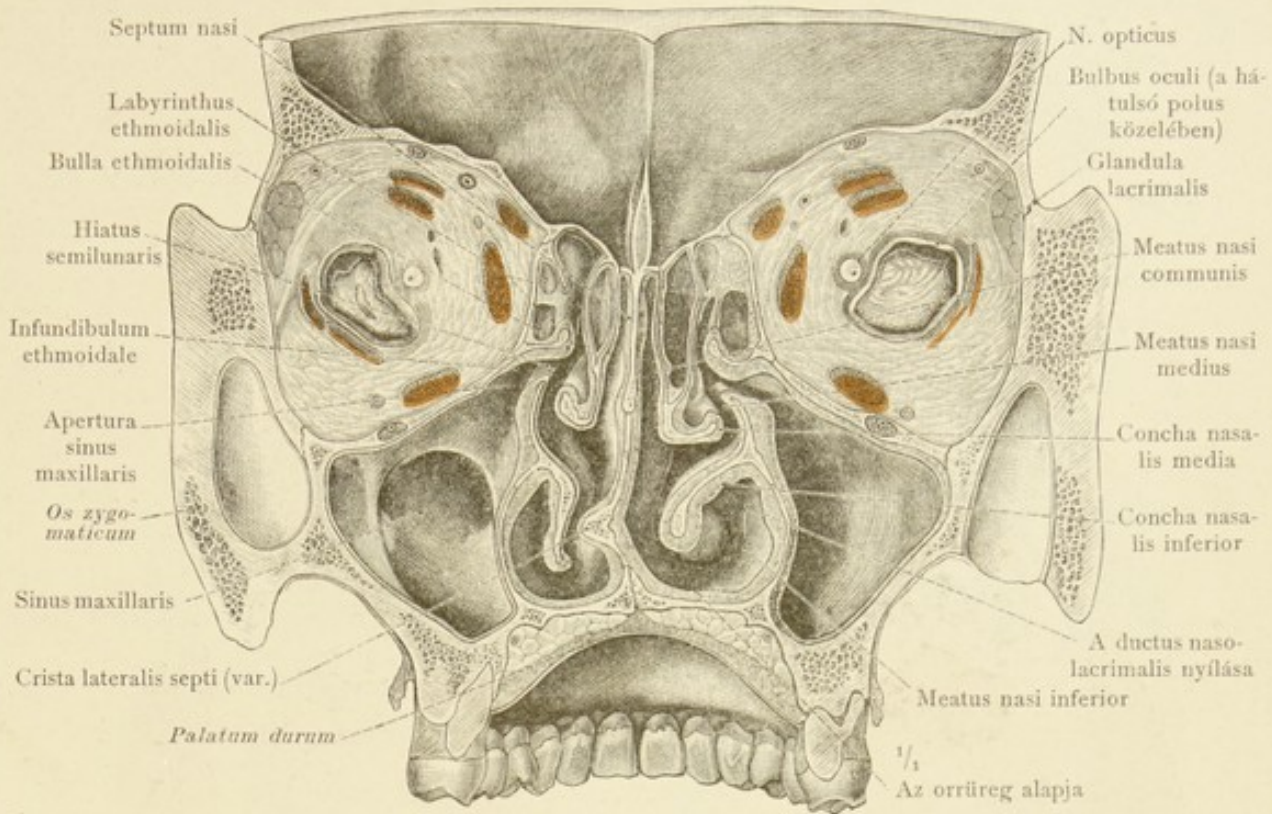
1473. rajz. A bal orrüreg oldalsó fala az orrkagylókkal és az orrjáratokkal. Az orr vestibulumát az orrüregtől, az oldalsó orrporcok szabad széle alkotta határ, a limen nasi, választja el.



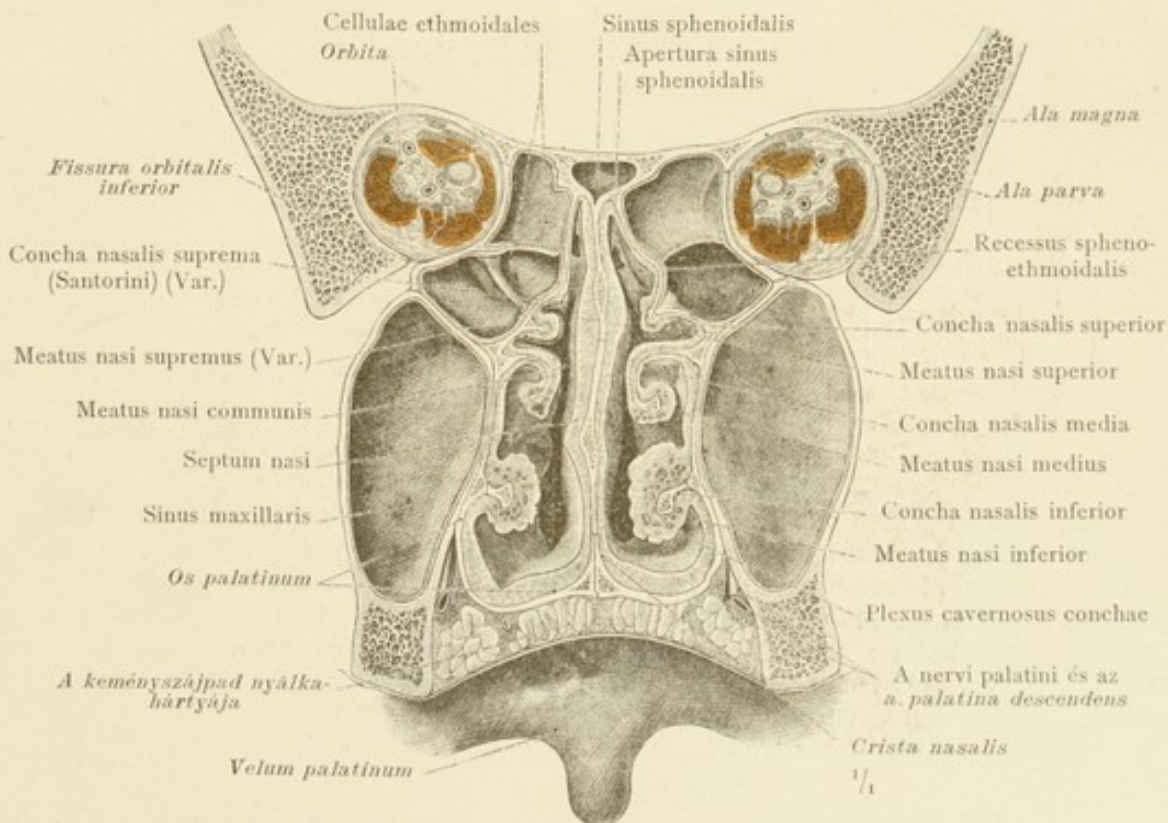
1474. rajz. A bal orrüreg oldalsó fala a középső és a felső orrkagyló nagy részének eltávolításával. Az orr melléküregeinek, sinus paranasales: a sinus sphenoidalis, a sinus frontalis és a sinus maxillaris nyílásai. A két utóbbi nyílásban sonda van.

[ Paries lateralis nasi, az orrüreg oldalsó fala.





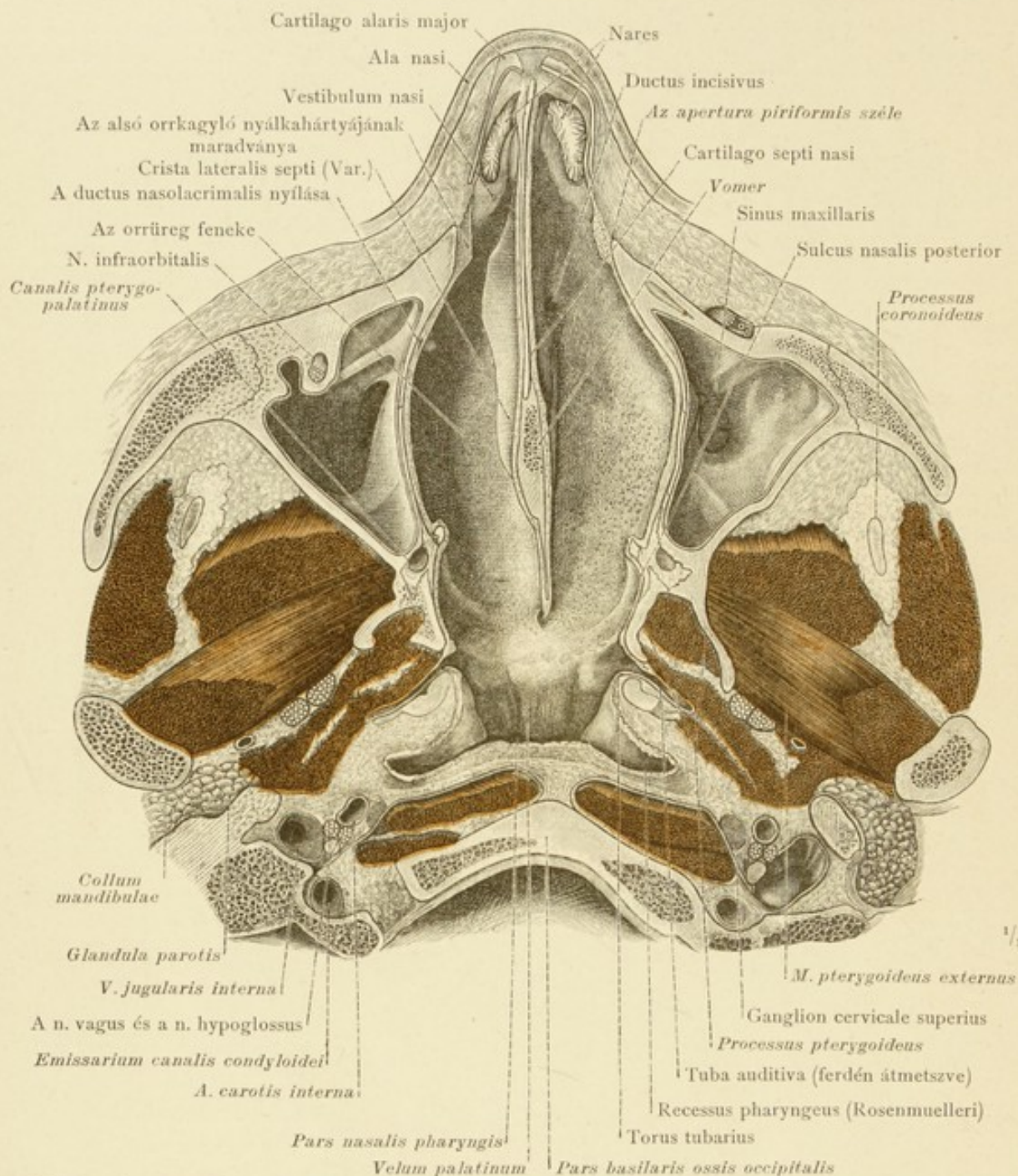
1475. rajz. Homlokirányú metszet az orrüreg közepe táján. A metszet elülső darabja hátról nézve. A két állcsonti öböl nyílása. A két szemüreg közvetlenül a látóidegnek a szemgolyóba való belépésénél van átmetszve.



1476. rajz. Az orrüreg hátsó részének és az állcsonti öblöknek homlokirányú metszete. A metszet hátsó fele elülről nézve. Az ékcsonti öblök benyílása.

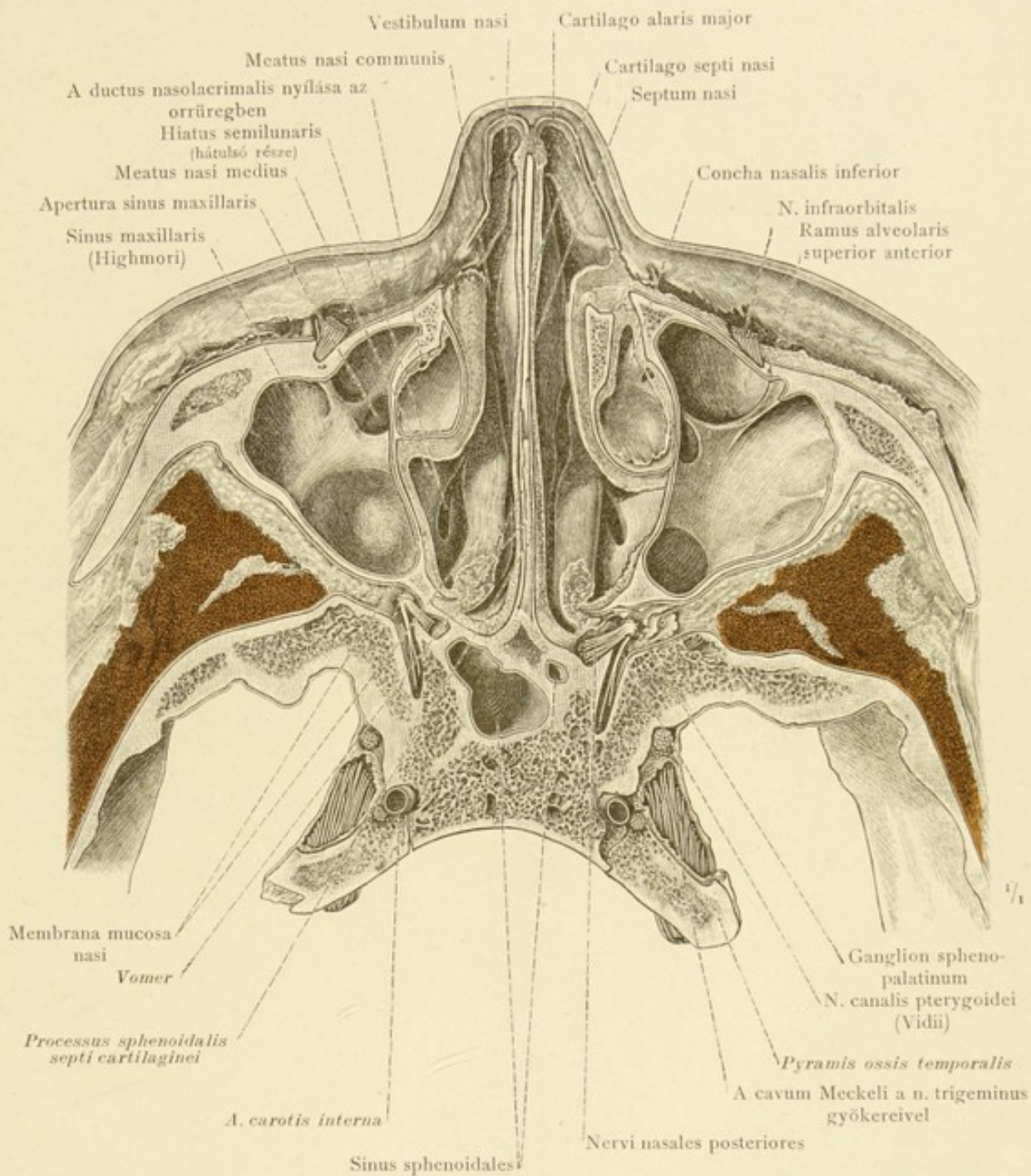
Cavum nasi, az orrüreg.





1477. rajz. Az orrüreg alsó részének, az állcsonti öblöknek és a garat orri részének vízszintes metszete. A metszet alsó darabja, felülről nézve. A metszés az állkapocs nyakán és a foramen occipitale magnum felett, a nyakszirtesont alapján megy keresztül. Az orrüregben a metszés az alsó orrkagyló elülső és hátulsó végét találta; az alsó orrkagyló levágott részének eltávolításával, az orrüreg alapja egész terjedelmében és oldalsó falainak legalsó része szabadon látható. Az orrsövény baloldalán a crista lateralis látható (var.). A garat orrüregi részében a metszés mindkét oldalon a fülkürt garati nyílását, továbbá a torus tubariust és a Rosenmüller-árkot találta.

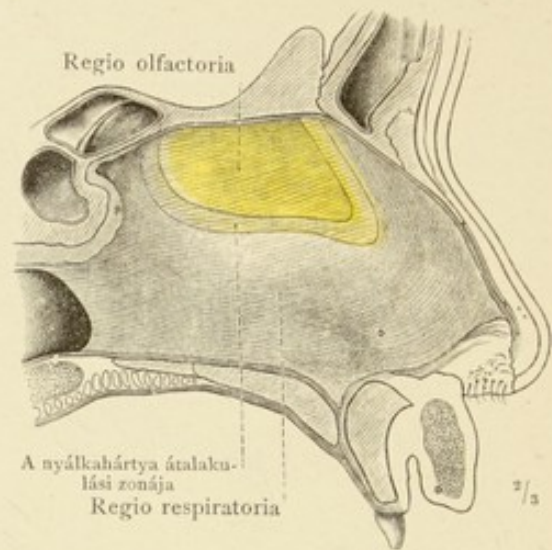
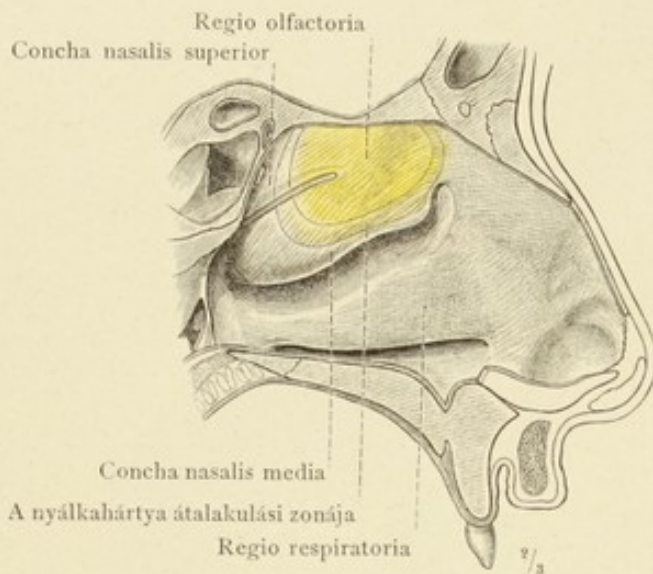




1478. rajz. Az orrüregnek a szemüreg alsó falával majdnem párhuzamos metszete. A metszet felső darabja alulról nézve. A metszés hátul a középső orrjáratot, elöl az alsó orrjáratot és az orrüreg pitvarát érte. Az orrüreg melléküregei közül az állcsonti öblök legnagyobb átmérőjükben, az ékesonti öblől pedig legalsó részében van átmetszve. Az állcsonti öblöknek felső fala látható. A fossa pterygopalatinában, ahol a metszet a foramen sphenopalatinumot és a canalis pterygoideus (Vidii) elülső részét érte, a ganglion sphenopalatinum, a n. canalis pterygoidei és a nervi nasales posteriores eredései láthatók.

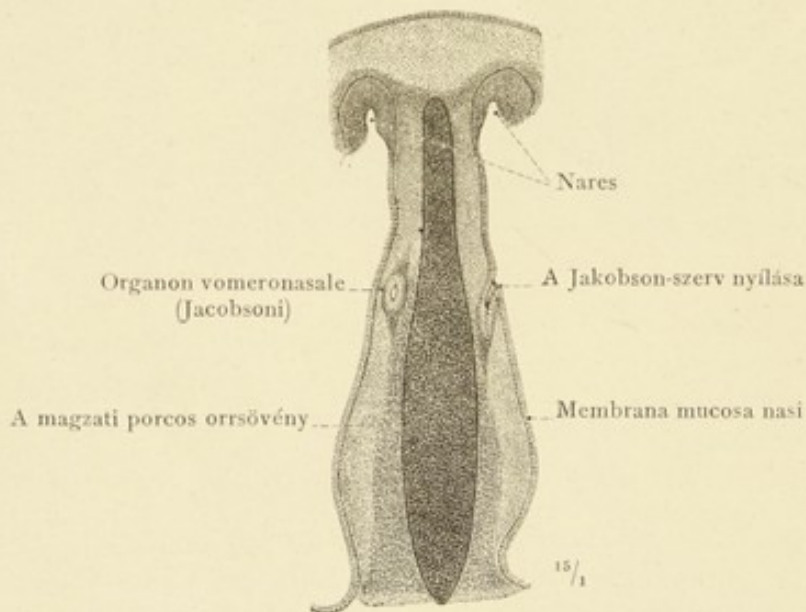
Cavum nasi, az orrüreg.





1479. rajz. Az orrüreg oldalsó fala. 1480. rajz. Az orrüreg sővénye.

*A szaglórész, regio olfactoria és a lélegző rész, regio respiratoria, az emberek szerint változó, nem éles határu, átalakulási zónával. A szaglóidegek kiterjedését illetőleg hasonlítsuk össze az 1302. és 1303. rajzzal.*



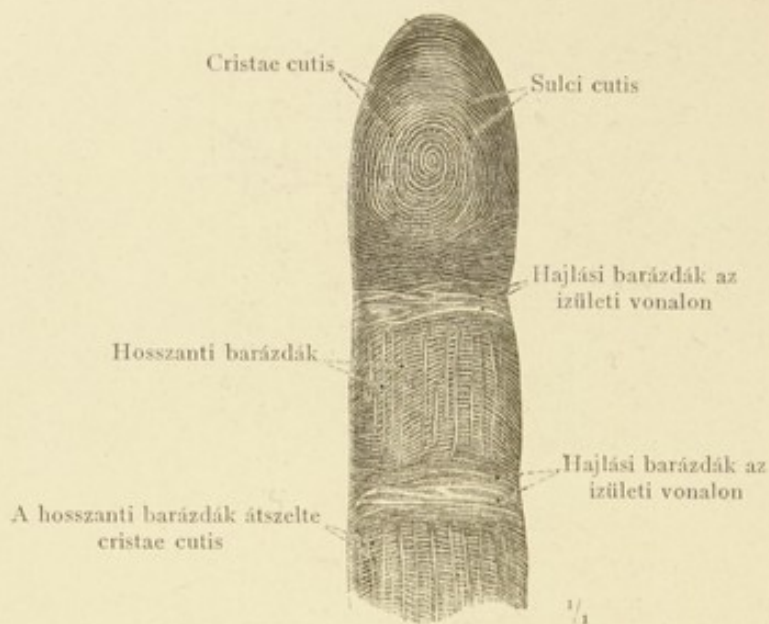
Cavum nasi, az orrüreg.

ORGANON TACTUS,  
INTEGUMENTUM COMMUNE.

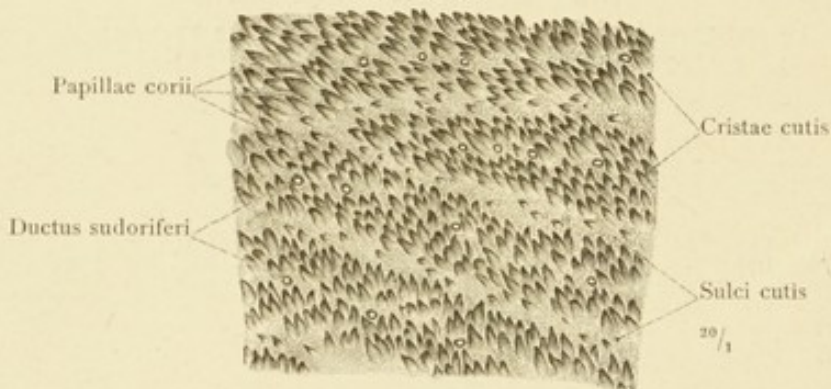
A TAPINTÓSZERV.  
A BŐR ÉS JÁRULÉKOS RÉSZEI.



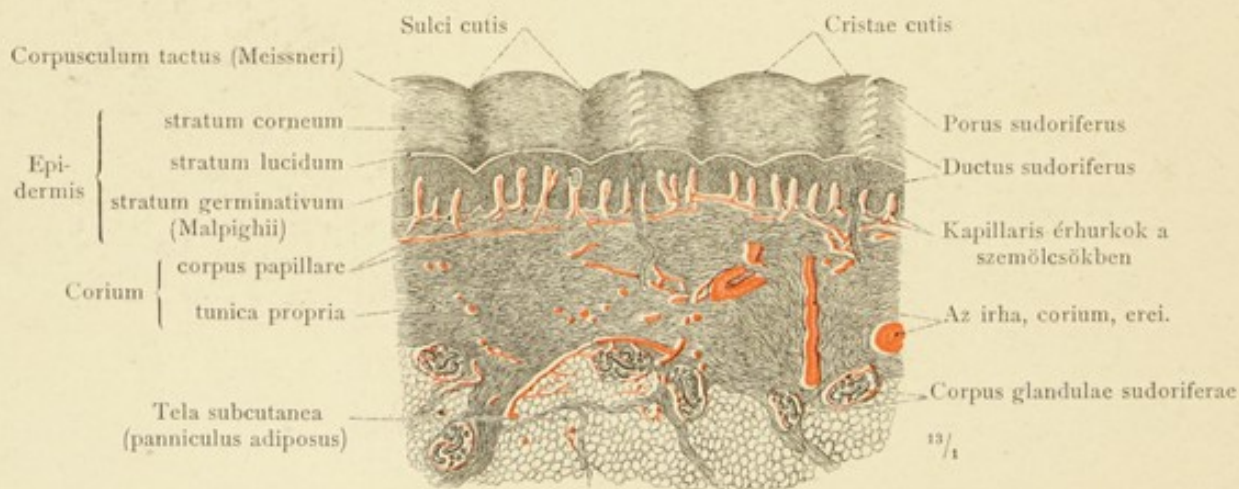




1482. rajz. A bőr barázdái és lécei, a középső ujj tenyéri oldalán; lenyomat.



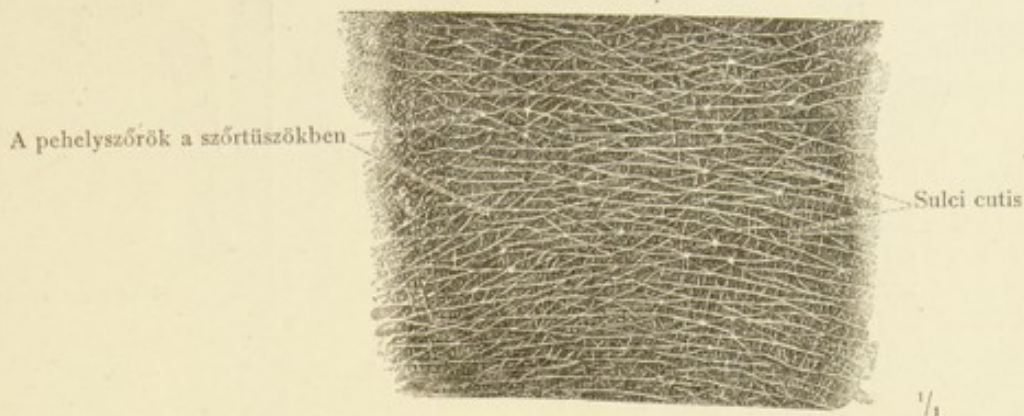
1483. rajz. Az irha barázdái és lécei az ujj tenyéri oldalán az epidermis lehuzása után stereoskopiás nagyítóval lerajzolva. A papillák és a verejtékmirigyek kivezető csöveinek elrendeződése.



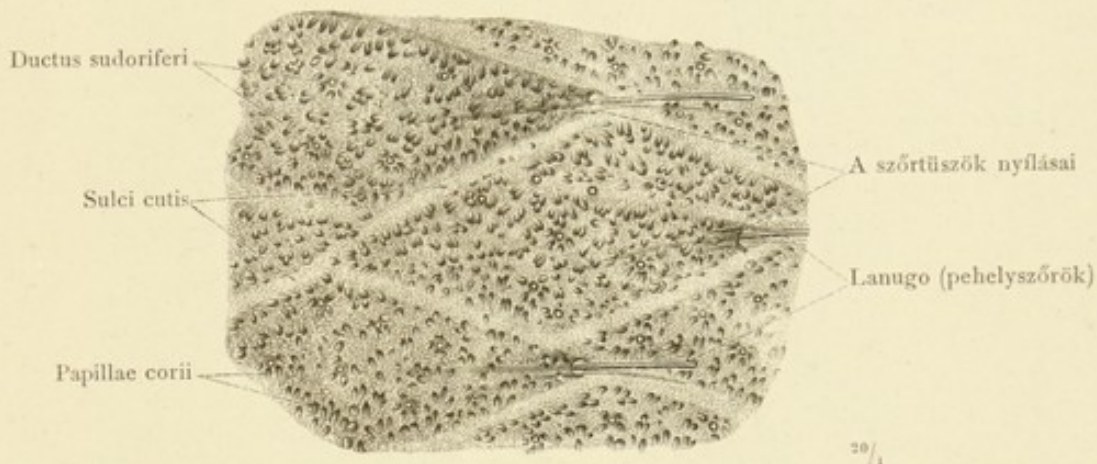
1484. rajz. Az ujj bőrének, cutis, merőleges metszete. A bőr hámjának, epidermis és az irhának, corium, rétegei. A bőralatti kötőszövet, tela subcutanea, a verejtékmirigyekkel.

(Az erek vörös enyvmasszával belövelve.)

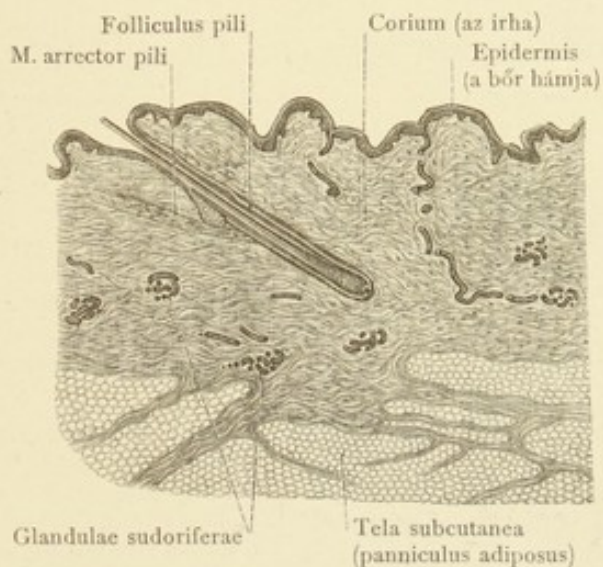
Cutis, a bőr.



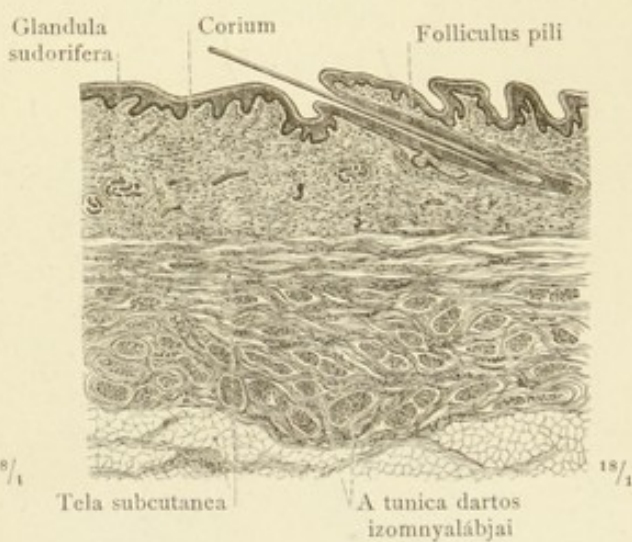
1485. rajz. A bőr barázdái és a bőr barázdaközi területei, a kéztő hátán; lenyomat.



1486. rajz. Az írha barázdái és barázdaközi területei a kéztő hátán, az epidermis levonása után stereoskopiás nagyítóval lerajzolva. A papillák és a verejtékmirigyek kivezetőcsöveinek elrendeződése.



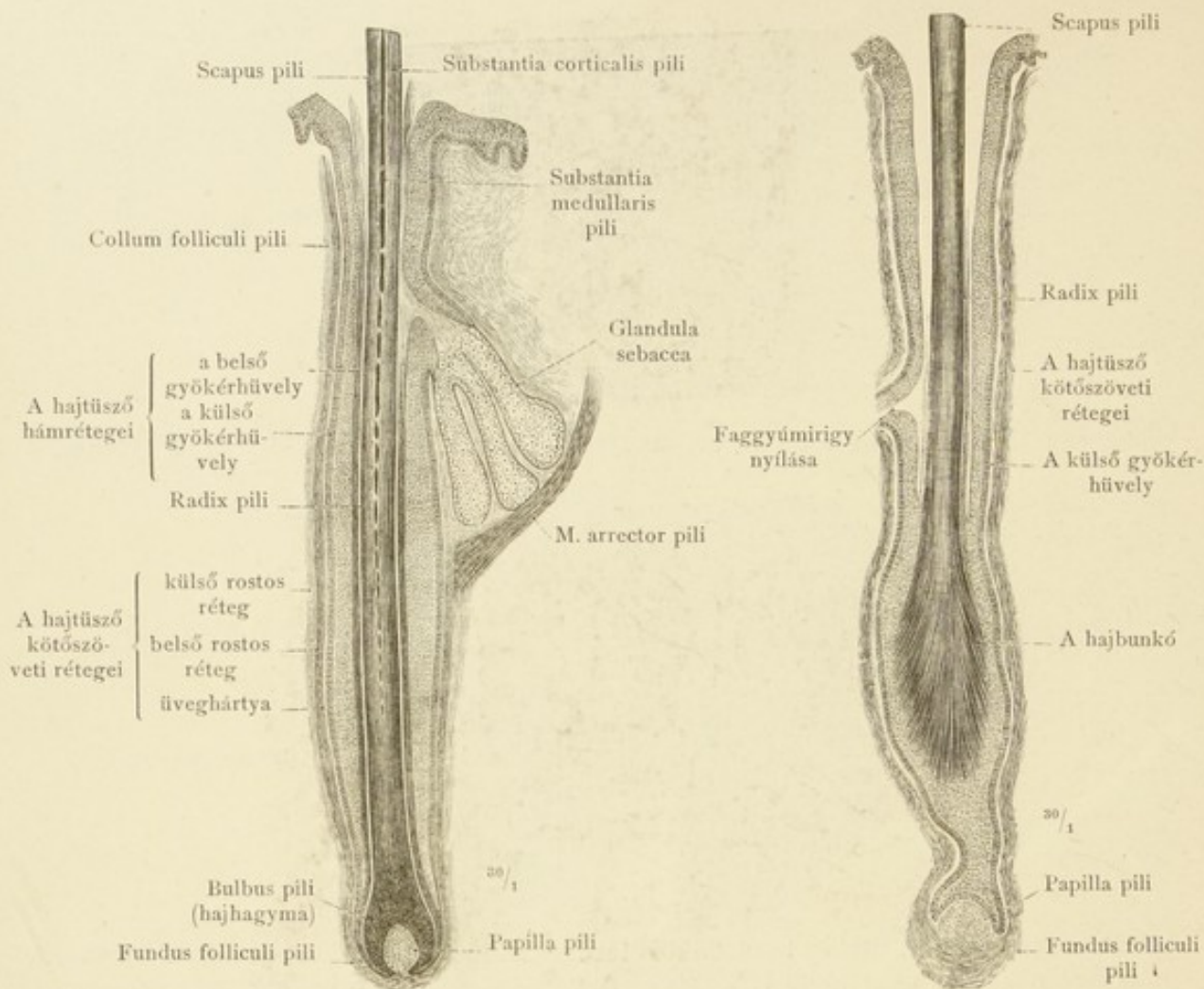
1487. rajz. A törzs bőrének, cutis, merőleges metszete, a bordafvek tájékáról. Pehelyszőr hosszmetzete; verejtékmirigyek és kivezetőcsöveik.



1488. rajz. A herezacskó bőrének és a tunica dartosnak merőleges metszete. Az utóbinak izomrostjai harántúl vannak átmetszve. Szeméremszőr hosszmetzete; verejtékmirigyek.

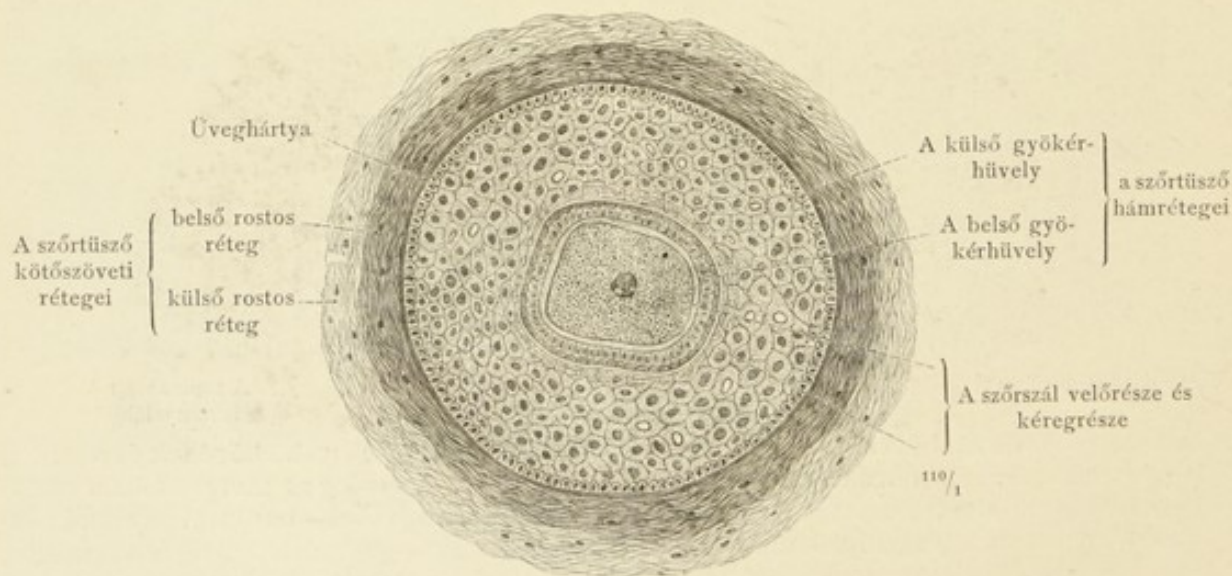
Cutis, a bőr.





1489. rajz. Növekedő hajszál, capillus, a hajhagymával (hajhagymás haj, gombos haj); hosszmetzet. A hajtüsző, a faggyúmirigy és a hajtüszőizom.

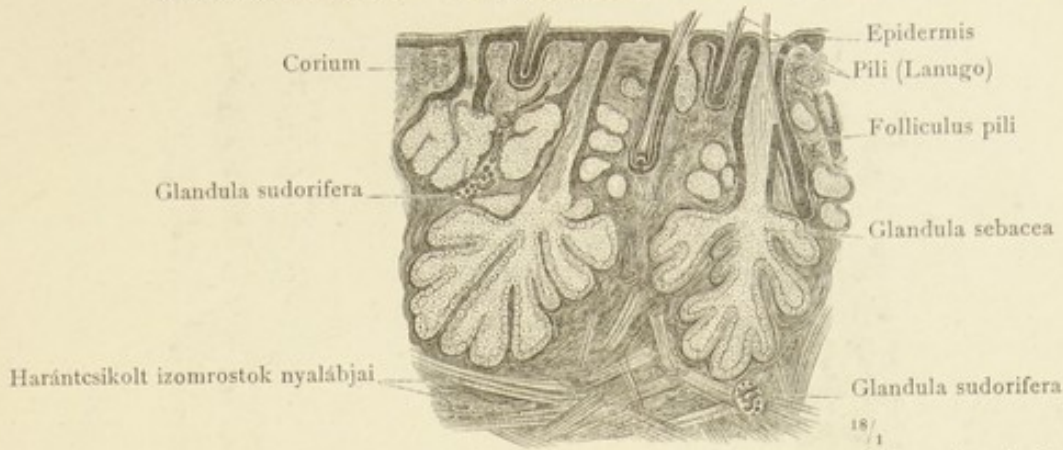
1490. rajz. Kihulló hajszál, capillus, hosszmetzete a hajbunkóval (bunkos haj). Hajtüsző és papilla az új hajszál fejlődésére.



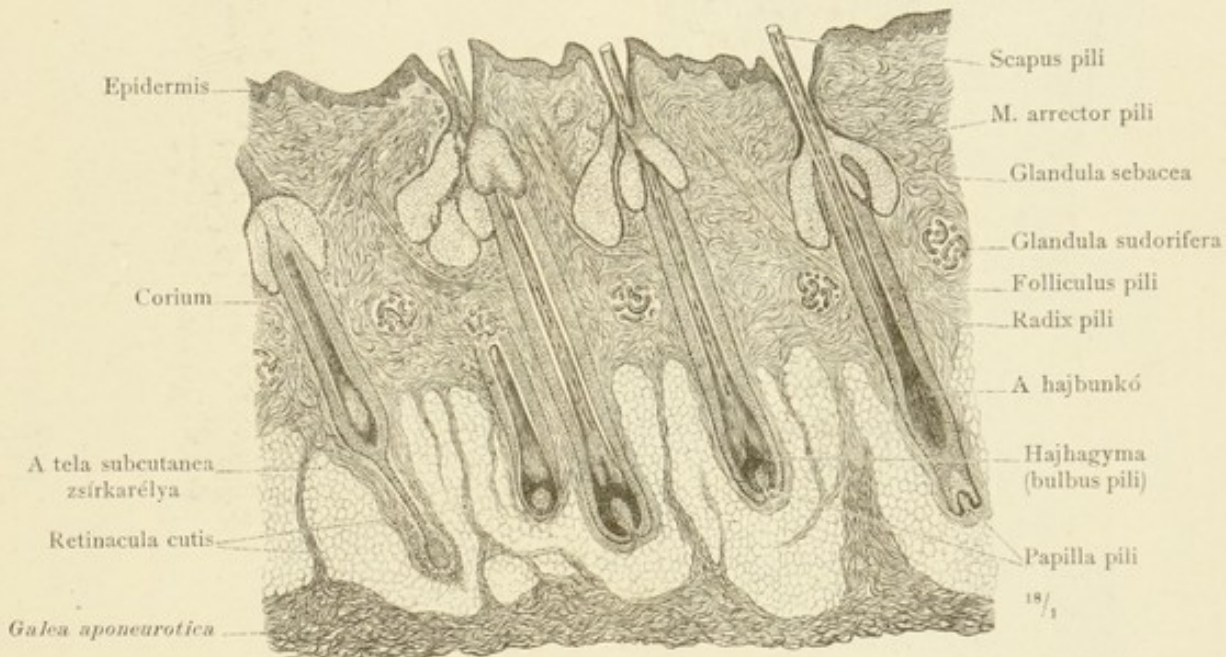
1491. rajz. Bajuszszál és tüszője harántmetzetben. A szőrtüsző rétegei.

Pili, a szőrök.

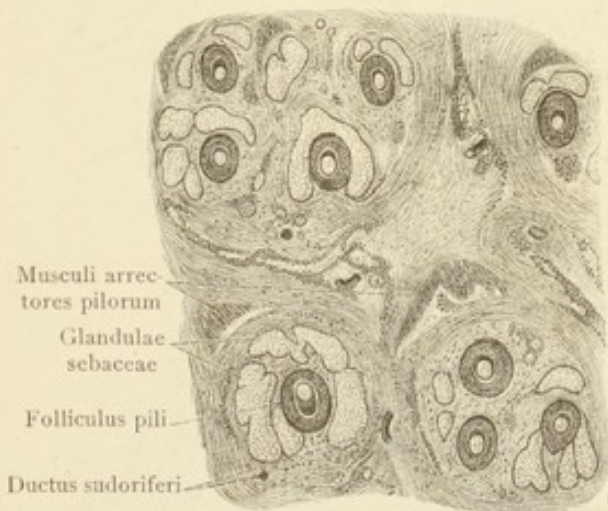




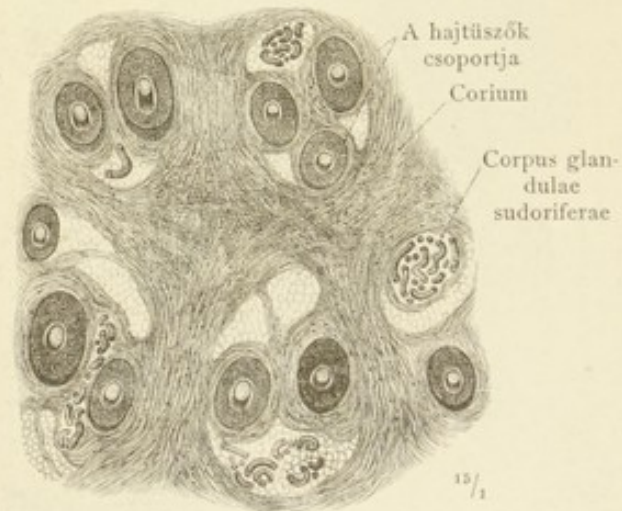
1492. rajz. Az orrszárny bőrének merőleges metszete. Faggyúmirigyek pehelyszőrökkel, lanugo. Verejtékmirigyek. A bőr harántesikolt izomrostjai.



1493. rajz. A fej bőrének merőleges metszete. A hajsálak, capilli, hosszmetsetben, a faggyúmirigyekkel és a hajtűszőizmokkal. A verejtékmirigyek.



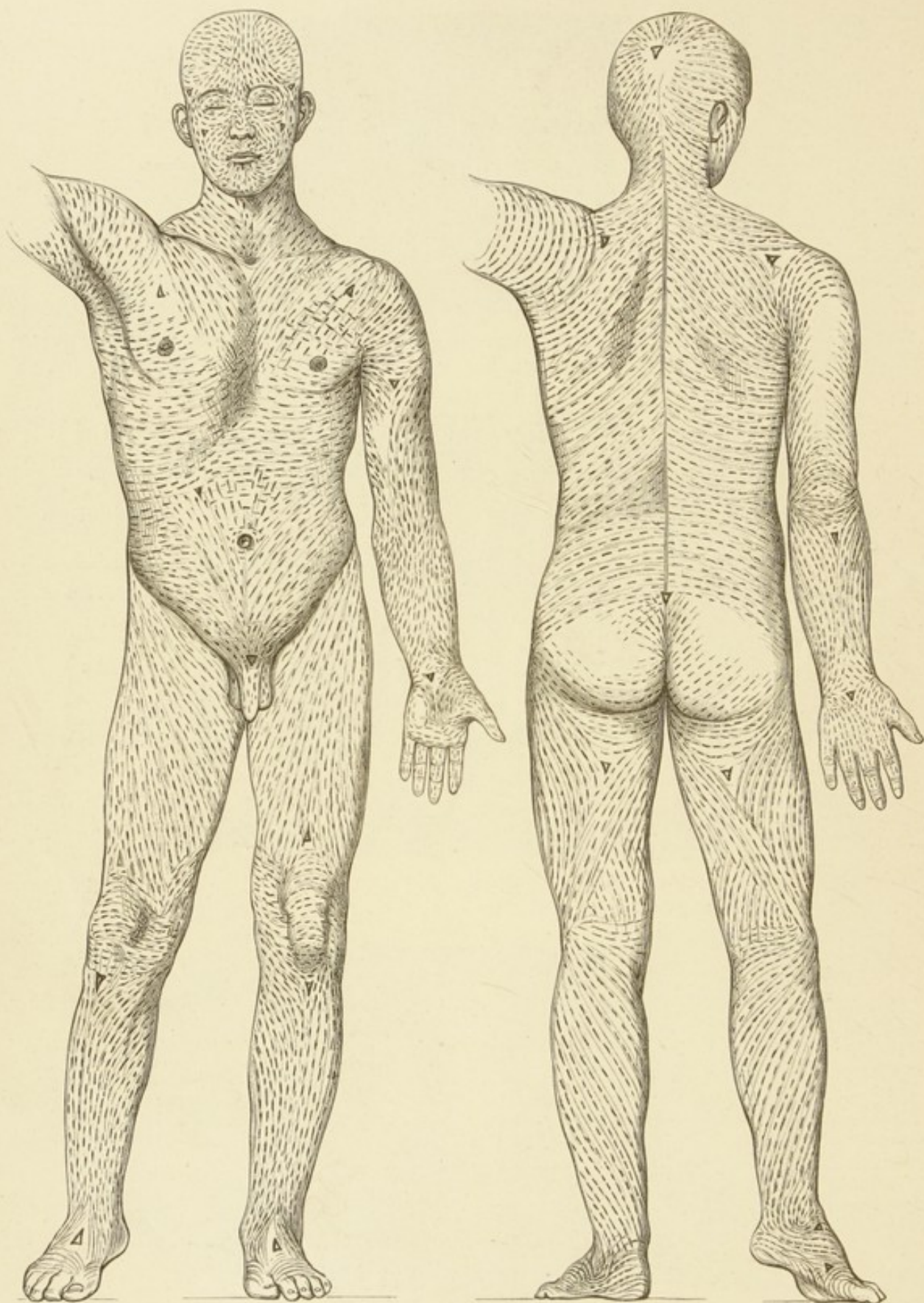
1494. rajz. A fej bőrének lapmetszete a faggyúmirigyek rétegében. A faggyúmirigyek és a hajtűszőizmok harántmetszetei.



1495. rajz. A fej bőrének lapmetszete a verejtékmirigyek rétegében. A hajsálak és a hajtűszők harántmetszetei.

Pili, a szőrök. Glandulae sebaceae, a faggyúmirigyek. Glandulae sudoriferae, a verejtékmirigyek.





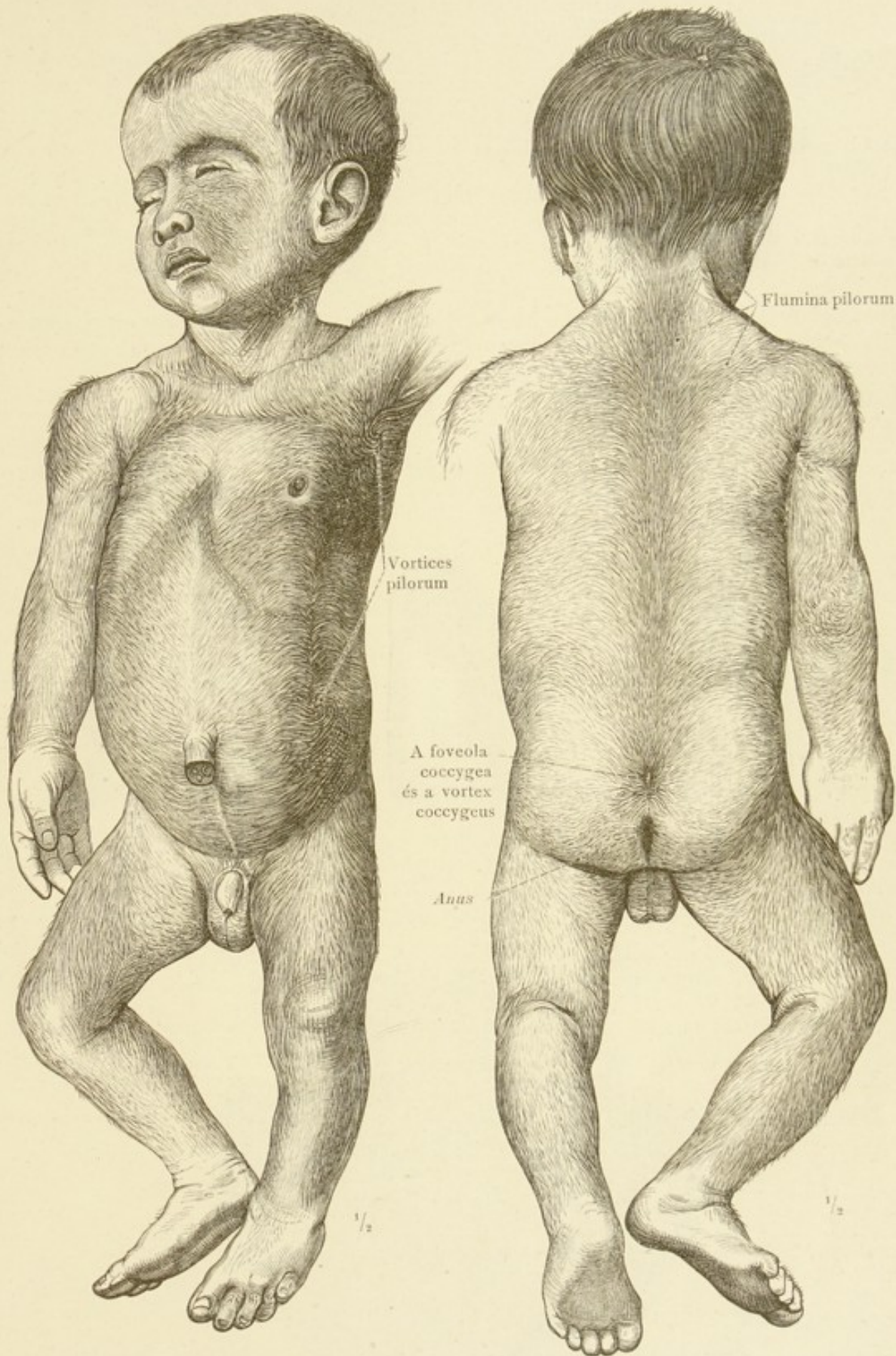
1496. rajz. Elülről.

1497. rajz. Hátról.

*Az irha kötőszöveti nyalábjainak főirányai, teljesen kerek ár szurási hasadékaival feltüntetve. (Langer C. szerint.)*

A bőr hasadékonyságának irányai.





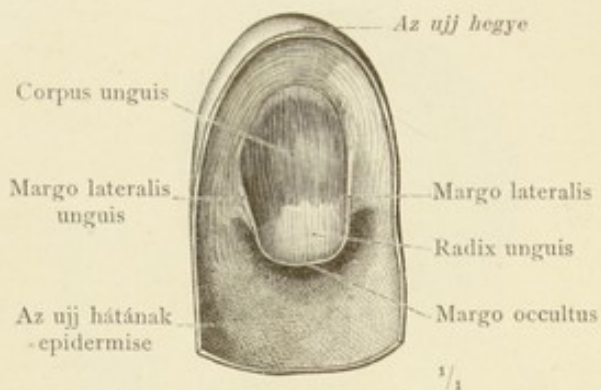
1498. rajz. Elülről.

*A szőrök irányai a test különböző részein. Kilenc hónapos magzat erősen fejlődött pehelyszőrökkel, lanugo.*

1499. rajz. Hátról.

**A szőrök irányai, flumina pilorum; a szőrök örvényei, vortices pilorum.**

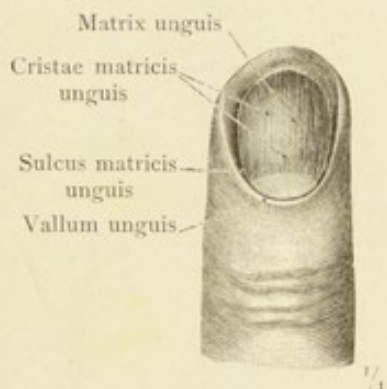




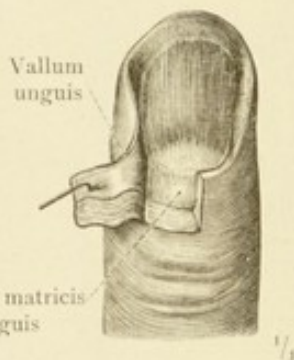
1500. rajz. A kéz ujjának körme összefüggésben az epidermissel, az irháról meleg vízgőz hatására leválva. A köröm meleg víz hatására leválva. A köröm homorú oldaláról nézve.



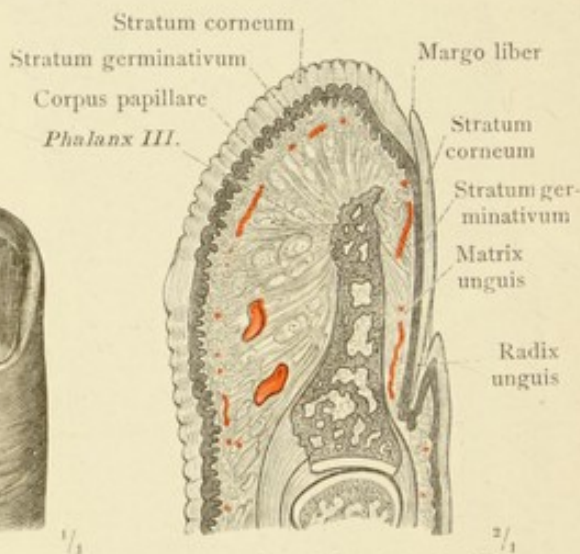
1501. rajz. A kéz ujjának körme (a körömlemez) magában. Domború oldaláról nézve.



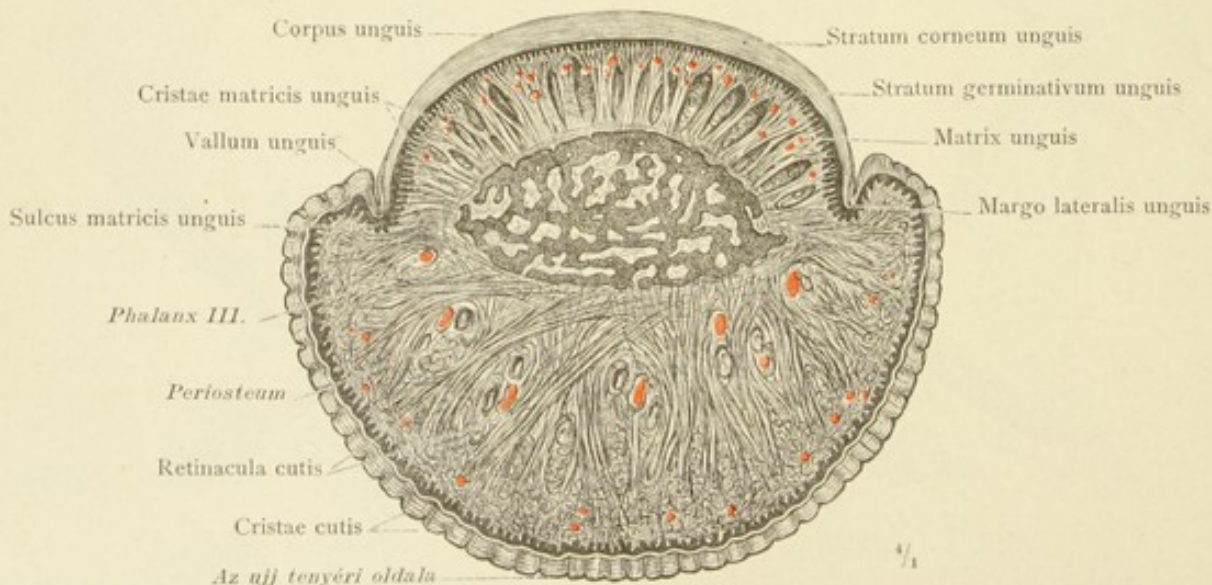
1502. rajz. A köröm ágya, matrix és a körömsánc, vallum unguis, a köröm és az epidermis eltávolításával.



1503. rajz. A köröm ágya, a részben feltárt körömsánc, vallum unguis, a köröm és az epidermis eltávolításával.



1504. rajz. A középső ujj körmének és körömpercének hosszmeteszete.



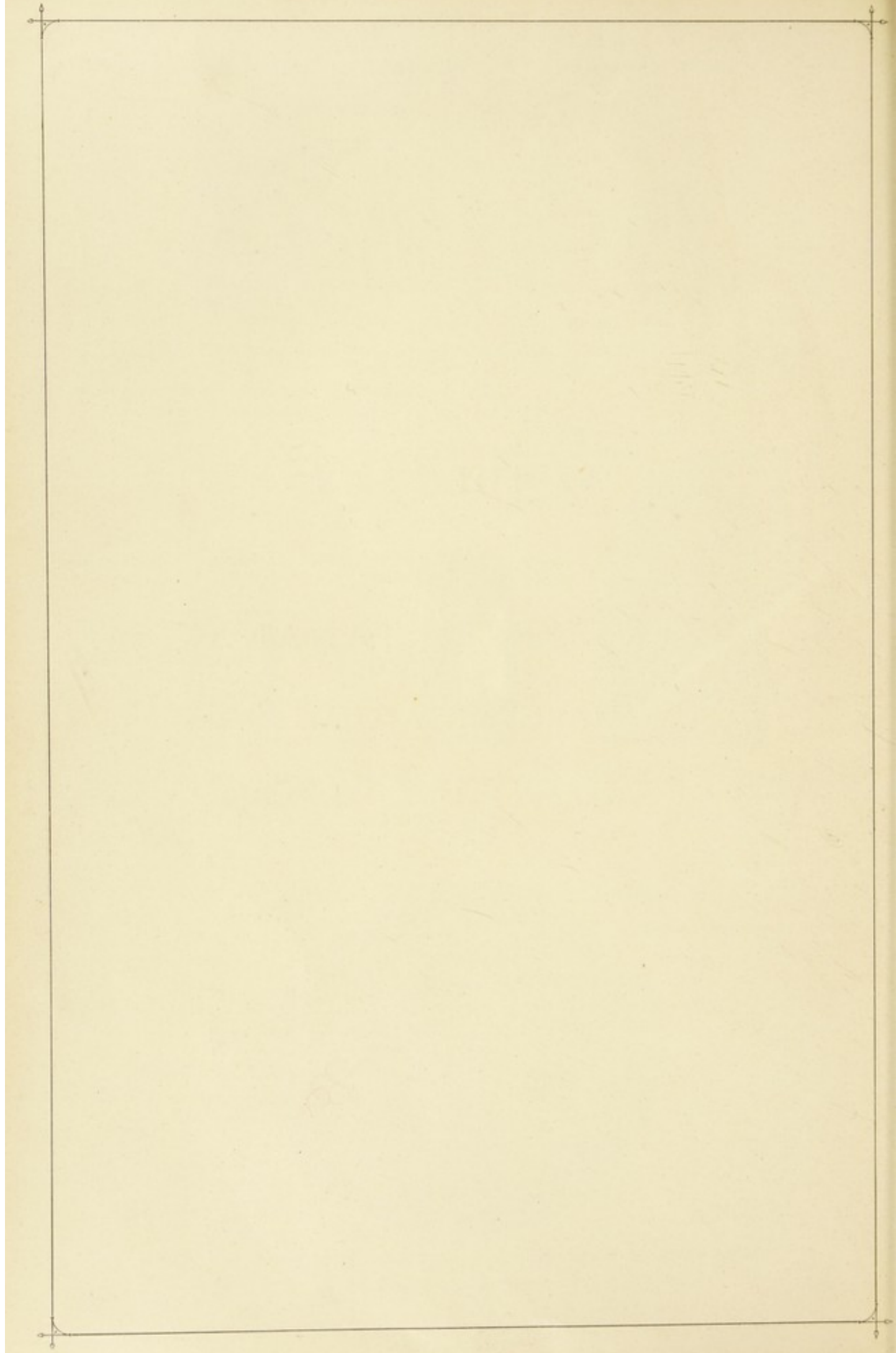
1505. rajz. A gyűrűs ujj körmének és körömpercének harántmeteszete.

Ungues, a körmök.

AZ IDEGTAN  
ÉS AZ  
ÉRZÉKSZERVEK TANÁNAK  
TÁRGYMUTATÓJA.

---





## Latin nevek:

A \* al jelzett nevek nincsenek az anatómiai társaság szójegyzékében.

## A.

- Acervulus 789.  
 Aditus ad aquaeductum cerebri 764, 791.  
 > orbitae 910.  
 Aequator bulbi 892.  
 > lentis 895, 900.  
 Agger nasi 944.  
 Ala cinerea 768.  
 > lobuli centralis 770, 771.  
 > nasi 942, 944, 946.  
 \*Alveus 785.  
 Ampulla ductus lacrimalis 912, 913.  
 Ampullae membranaceae 936—938.  
 > osseae 930—933, 935, 938.  
 Angulus iridis 892.  
 > oculi (lateralis, medialis) 908, 910.  
 \*Annulus ciliaris 894, 896, 901.  
 > conjunctivae 902, 910.  
 > fibrocartilagineus (membr. tympani) 925.  
 > iridis (major, minor) 896.  
 > tendineus communis [Zinni] 903, 905.  
 > tympanicus 924, 926.  
 \*Ansa cervicalis superficialis 870, 871.  
 > hypoglossi 817, 877.  
 > lenticularis 792, 797.  
 > (radicum nn. spinalium) 812, 873.  
 > peduncularis 792, 797.  
 > subclavia [Vieussenii] 816, 878, 884, 887.  
 Anthelix 920.  
 Antitragus 920, 922, 923.  
 Antrum tympanicum 919, 926, 927, 932.  
 Apertura externa aquaeductus vestibuli 933.  
 \* > interna > > 930.  
 > > canaliculi cochleae 930, 934.  
 > lateralis ventriculi quarti 767.  
 > mediana > > 767, 802.  
 > piriformis 905.  
 > sinus frontalis 944.  
 > > maxillaris 944, 945, 947.  
 > > sphenoidalis 944, 945.  
 \* > vestibularis cochleae 931, 932, 935, 937.  
 Apex columnae posterioris 754, 755.  
 > nasi 942.  
 Apparatus lacrimalis 911—913.  
 Aquaeductus cerebri [Sylvii] 761, 763, 764, 776, 789, 791.  
 > vestibuli 930, 931, 933.  
 Arachnoidea encephali 779, 802, 803, 904.  
 > spinalis 755, 758, 759, 802, 803, 808.  
 Arbor vitae 764, 776.  
 Arcus tarseus 910.

- Area acustica 768, 787.  
 > cochleae 932, 934, 935.  
 > nervi facialis 934, 935.  
 > parolfactoria [Brocae] 777, 793, 795.  
 > vestibularis inferior 934, 935.  
 > > superior 932, 935.  
 Arteria (ae) auditiva interna 940.  
 > centralis retinae 897, 899, 915, 916.  
 > chorioidea 784.  
 > ciliares 895.  
 > > anteriores 893, 895, 897.  
 > > posteriores breves 894, 897, 899.  
 > > > longae 894, 897.  
 > conjunctivales (anteriores, posteriores) 897.  
 > episclerales 893, 897.  
 > hyaloidea 915, 916.  
 > meningeae media 864, 867, 928.  
 > ophthalmica 804, 868, 906, 915.  
 > spinales 754.  
 Arteriolae retinae 898.  
 Articulatio incudomalleolaris 925.  
 > incudostapedialis 925.  
 Atrium meatus nasi medii 902, 905, 944.  
 Auricula 918—920.  
 \*Auris externa 918—924.  
 > interna 918, 930—940.  
 \* > media 918, 925—929.  
 Axis lentis 900.  
 > oculi (externa, interna) 892.  
 > optica 892.

## B.

- Basis cochleae 931, 933.  
 \* > columnae posterioris 786.  
 \* > encephali 774.  
 > modioli 934, 935, 937, 939.  
 > pedunculi 775, 785, 788—790, 792.  
 > stapedis 925, 926, 932.  
 Brachium conjunctivum 760, 761, 766—768, 771—773, 788, 789.  
 > pontis 765—769, 771—773, 791.  
 > quadrigeminum inferius 766, 767, 789.  
 > > superius 766, 767.  
 Bulbus cornu posterioris 781, 791.  
 > oculi 892, 902, 904, 905, 909, 910;  
 fejlődése 915, 916;  
 \* facies inferior 892, 902;  
 \* > nasalis 892;  
 \* > superior 892, 902;  
 \* > temporalis 892.



Bulbus olfactorius 774, 775, 803, 807, 862.  
 > pili 952, 953.  
 > venae jugularis superior 804, 806, 807.  
 Bulla ethmoidalis 944, 945.  
 Bursa trochlearis 903, 904.

## C.

- Caecum cupulare, vestibulare 936.  
 Calamus scriptorius 764, 768, 786.  
 Calcar avis 781, 782, 791, 794.  
 Caliculus ophthalmicus 914, 915.  
 Camera oculi anterior 892, 893, 898.  
 > > posterior 892, 893.  
 Canaliculus cochleae 930, 931.  
 Canalis (es) centralis (medullae spinalis) 754, 755, 786.  
 > > modioli 934, 935.  
 > longitudinales modioli 934.  
 > musculotubarius 929, 933, 934.  
 > Schlemmi [Lauthi] 893, 897.  
 > semicirculares ossei 918, 919, 930—933, 935—938.  
 > spiralis cochleae 934.  
 > > modioli 934.  
 Capilli 953.  
 Capitulum mallei 922, 924—926.  
 > stapedis 925.  
 Capsula externa 790, 792—795.  
 > interna 766, 790—797, 900.  
 > lentis (crystallinae) 893, 895, 900, 915, 916.  
 > nuclei dentati 772, 773.  
 \*Caput columnae posterioris 754, 755, 786.  
 > corporis striati 780—782, 784.  
 > nuclei caudati 790, 793—795.  
 Cartilago (ines) alares minores 942.  
 > alaris major 942—944, 946, 947.  
 > auriculae 921.  
 > meatus acustici externi 920—922.  
 > nasi 942, 943.  
 > > lateralis 942—944.  
 > septi nasi 942, 943, 946, 947.  
 > sesamoideae (nasi) 942.  
 > tubae auditivae 928, 929.  
 > vomeronasalis [Jacobsoni] 943.  
 Caruncula lacrimalis 908—910, 912, 915.  
 Cauda corporis striati 767, 781, 782, 784.  
 > equina 753, 758.  
 > helicis 921.  
 > nuclei caudati 766, 785, 791, 794, 795.  
 Cavum conchae 920, 923.  
 > epidurale 758, 759.  
 > nasi 941—948.  
 > septi pellucidi 781.  
 > subarachnoideale 755, 759, 779, 802, 803.  
 > subdurale 759, 803.  
 > tympani 918, 919, 926—928.  
 Cellulae ethmoidales 905, 945.  
 > mastoideae 926, 927.  
 > tympanicae 923.  
 Centrum semiovale 780.  
 Cerebellum 760—764, 770—773, 808.  
 Cerebrum 761, 774—785;  
 > \*facies basalis 774, 775;  
 > > convexa 776—779;  
 > > medialis 776, 777, 783.  
 Cervix columnae posterioris 754, 755, 786.  
 Chiasma opticum 763—766, 774—776, 792, 793, 798, 804, 805, 815.  
 \*Chorda oesophagea anterior 872, 879, 889.  
 \* > > posterior 872, 888, 889.  
 > > tympani 859, 863, 864, 867—869, 923.  
 Chorioidea 892—899, 901, 915.  
 Cilia 908, 910.  
 Cingulum 801.  
 Circulus arteriosus (iridis) major 893, 897.  
 > > > minor 897.  
 Cisterna cerebellomedullaris 802.  
 > chiasmatis 802, 803.  
 > fissurae lateralis cerebri 802, 803.  
 > interpeduncularis 802, 803.  
 \* > > pontis 802, 803.  
 > > venae cerebri magnae 802.  
 Claustrum 790—795.  
 Clava 752, 753, 766, 768.  
 Cochlea 918, 919, 930, 931, 934.  
 Colliculus corp. quadrigem. inferior 767, 791, 796.  
 > > > superior 767, 789, 796.  
 > > > facialis 768, 797.  
 Collum folliculi pili 952.  
 > mallei 823—825.  
 Coloboma oculi 914, 915.  
 Columna (ae) fornicis 776, 781—784, 790—795.  
 > > medullae spinalis 754, 755, 786.  
 Commissura (cerebri) anterior 763, 764, 782, 783, 792, 793, 795, pars anterior, posterior 801.  
 > > > posterior 764, 768, 789, 791.  
 > > habenularum 764, 767, 782, 791.  
 > > hippocampi 784, 795.  
 > > inferior [Guddeni] 793.  
 > > (medullae spinalis) anterior (alba, grisea) 755.  
 > > > posterior 755.  
 > > palpebrarum (lateralis, medialis) 908.  
 > > superior [Meynerti] 792.  
 Concha auriculae 920, 922.  
 > > nasalis inferior 903, 913, 914, 944, 945.  
 > > > media 913, 914, 944, 945, 948.  
 > > > superior 913, 944, 945, 948.  
 > > > suprema [Santorini] 945.  
 Confluens sinuum 804, 808, 860.  
 Conjunctiva bulbi 893, 907, 908, 910.  
 > > palpebrarum 907, 908, 910.  
 Conus medullaris 752—754.  
 Corium 950, 951, 953.  
 Cornea 892—894, 908, 910, 914, 915.  
 \*Cornu Ammonis 782.  
 > > anterius ventr. lat. 781, 782, 784, 790, 792—794.  
 > > inferius > > 781, 782, 784, 785, 790—792, 794, 795.  
 > > > posterius > > 781, 782, 784, 791, 794.  
 Corona ciliaris 895, 901, 906.  
 > radiata 790, 797, 800.  
 Corpus (ora) adiposum orbitae 902, 906, 907, 911.  
 > > callosum 763, 764, 777, 780, 781, 783, 791—795, 801.  
 > > ciliare 893, 895; termöhelye 915.  
 > > fornicis 764, 781, 783, 785, 795.  
 > > geniculata 761.  
 > > geniculatum laterale 765—767, 769.  
 > > > mediale 766, 768, 789.  
 > > glandulae sudoriferae 950, 953.  
 > > incudis 923, 925, 926.  
 > > Luysi 785, 791, 792, 797.  
 > > mamillare 764—766, 774, 783, 790, 792.  
 > > medullare cerebelli 772, 773, 776.  
 > > papillare (corii) 950, 956.  
 > > pineale 761, 764, 767, 776, 782, 789, 791, 794.  
 > > quadrigemina 760—764, 766—768, 791.  
 > > restiforme 765, 771—773, 786, 787.



- Corpus (ora) striatum 760—763, 780—782, 784.  
 > trapezoideum 787, 796.  
 > unguis 956.  
 > vitreum 892, 900; termöhelye 914, 915.  
 Corpuscula bulboidea [Krausei] 749.  
 > lamellosa [Vateri, Paccini] 749, 834.  
 > nervorum terminalia 749.  
 > tactus [Meissneri] 749, 950.  
 Crista (ae) ampullaris 936, 938.  
 > cutis 950, 956.  
 > lacrimalis anterior 912, 913.  
 > > posterior 912, 913.  
 \* > lateralis septi (nasi) 945, 946.  
 > matricis unguis 956.  
 > transversa 930, 932, 934, 935.  
 > vestibuli 930, 931, 933.  
 Crus (ura) ampullaria 930, 935.  
 > anthelialis 920.  
 > commune 930, 931, 933, 936.  
 > fornicis 783, 784, 794, 795.  
 > helialis 920, 922, 923.  
 > incudis (breve, longum) 923, 925, 927.  
 > stapedis (anterior, posterior) 925.  
 > simplex 930, 931, 935.  
 Culmen 770—772.  
 Cuneus 777, 783, 795, 798.  
 Cupula cochleae 930, 931, 933, 937.  
 Cutis 950, 951.  
 Cymba conchae 920, 923.

## D.

- Declive 770, 772.  
 \*Decursus fibrarum cerebralium 796—801.  
 > > spinalium 756, 757.  
 Decussatio brachii conjunctivi 764, 772, 788, 797.  
 > lemniscorum 786, 796.  
 > nn. trochlearium 769, 788.  
 > pyramidum 752, 753, 765, 786, 790, 800.  
 Decussationes tegmentorum 789.  
 Diaphragma sellae 805, 808.  
 Diencephalon 760—762.  
 Digitationes hippocampi 782, 792.  
 Ductuli excretorii glandulae lacrimalis 910, 911.  
 Ductus cochlearis 936, 937, 939.  
 > endolymphaticus 936, 937.  
 > incisivus 943, 946.  
 > lacrimalis (inf., sup.) 912, 913, 915.  
 > nasolacrimalis 905, 906, 912, 913, 944—947.  
 > perilymphaticus 937.  
 > reuniens [Hensenii] 936.  
 > semicirculares 936, 938.  
 > sudoriferus 950, 951, 953.  
 > utriculosaccularis 936.  
 Dura mater encephali 803—808, 902—904.  
 > > spinalis 753, 758, 759, 806—808, 873.

## E.

- Eminentia collateralis 782, 785, 791, 794.  
 > conchae 920—922.  
 > fossae triangularis 920, 921.  
 > medialis (fossae rhomboideae) 768, 787.  
 > pyramidalis 923, 927, 931.  
 > scaphae 920, 921.  
 Emissaria [Santorini] 806.  
 Emissarium condyloideum 806.  
 > mastoideum 804, 806, 807.  
 > occipitale, parietale 806.

- Endoneurium 746.  
 Endothelium camerae anterioris 893.  
 Ependyma (ventriculorum) 767, 785—787.  
 Epidermis 950, 951, 953, 956.  
 Epithalamus 760, 761.  
 Epithelium corneae 893.  
 > lentis 893.  
 Excavatio papillae n. optici 892, 898, 899.

## F.

- Falx cerebelli 805, 808.  
 > cerebri 763, 803—805, 808, 914.  
 Fascia bulbi [Tenoni] 906, 907.  
 > dentata (hippocampi) 763, 782, 783, 785, 791, 795.  
 Fasciae musculares orbitae 906, 907.  
 Fasciculus (i) anterior proprius [Flechsigi] 756, 757.  
 > anterolateralis superficialis [Gowersi] 756.  
 > cerebellospinalis 756, 757, 797.  
 > cerebrospinalis anterior 756, 800.  
 > > lateralis 756, 757, 786, 800.  
 > cuneatus [Burdachi] 756.  
 > gracilis [Golli] 756.  
 > lateralis proprius [Flechsigi] 756, 757.  
 > longitudinales (pyramidales) pontis 764, 787, 788, 790.  
 > longitudinalis inferior, superior 801.  
 > > medialis 764, 769, 772, 787—789, 791, 799.  
 > obliquus (pontis) 765, 766.  
 > plexus brachialis 822, 823.  
 > retroflexus [Meynerti] 791.  
 > thalamomamillaris [Vicq' d'Azyri] 783, 785, 792.  
 > uncinatus 801.  
 Fasciola cinerea 763.  
 Fastigium 764, 772.  
 Fenestra cochleae 930, 931, 933—935.  
 > vestibuli 927, 930—935.  
 Fibræ arcuatae cerebri 801.  
 > > externae 765, 766, 786, 787, 797.  
 > > internae 768, 797.  
 > cerebelloolivares 787, 797.  
 > lentis 900.  
 > pontis profundae 788.  
 > > superficiales 764, 787, 788, 790.  
 > zonulares 893, 895, 901.  
 Fila lateralia pontis 766.  
 > radicularia 759, 786, 787, 789, 812.  
 Filum durae matris spinalis 758.  
 > terminale 752—754, 758.  
 Fimbria hippocampi 782, 783, 785, 791, 794, 795.  
 Fissura antitragohelicina 921.  
 > calcarina 777, 781, 794, 795.  
 > cerebri lateralis [Sylvii] 774—776, 780, 793.  
 > chorioidea 763, 775, 783, 785.  
 > collateralis 775, 785, 791.  
 > hippocampi 783.  
 > longitudinalis cerebri 762, 774, 775, 778.  
 > mediana anterior 752—755, 763, 765.  
 > > posterior 768, 786.  
 > parietooccipitalis 776—778, 795.  
 > transversa cerebelli 771.  
 > > cerebri 762, 776, 808.  
 Flocculi secundarii 771.  
 Flocculus 766, 767, 770—772, 774.  
 Flumina pilorum 955.  
 Folium vermis 770, 772.



- Folliculus pili 951—953.  
 Foramen caecum (medullae oblong.) 764, 765, 774.  
 > diaphragmatis sellae 804.  
 > interventriculare [Monroi] 763, 764, 776, 781, 783, 793.  
 > Magendii 767.  
 > singulare 932, 934, 935.  
 Formatio reticularis 786.  
 Fornix (cerebri) 763, 764, 781, 783, 792, 794, 795, 808.  
 > conjunctivae (inf., sup.) 907, 908, 910, 911.  
 > sacci lacrimalis 912, 913.  
 Fossa anthelialis 920, 921.  
 > cerebri lateralis [Sylvii] 762, 763.  
 > hyaloidea 900.  
 > interpeduncularis [Tarini] 764, 765, 774, 789—792.  
 > rhomboidea 762, 767, 768, 772, 773, 786, 787;  
 > pars inferior 768, 786;  
 > intermedia 768, 787;  
 > superior 768, 788.  
 > sacci lacrimalis 913.  
 > subarcuata 938.  
 > triangularis 920, 923.  
 Fossula fenestrae cochleae 923, 927, 933, 934.  
 > vestibuli 923, 933.  
 Fovea centralis 892, 998.  
 > inferior (fossae rhomboideae) 768.  
 > superior > 768, 787.  
 Foveola coccygea 955.  
 Frenulum veli medullaris anterioris 767.  
 Fundus folliculi pili 952.  
 > meatus acustici interni 930, 932, 933, 935.  
 Funiculi medullae spinalis (ant., lat., post.) 752—754, 765, 766, 768, 796.  
 Funiculus cuneatus 752—754, 766, 768, 786, 796.  
 > gracilis 752—754, 766, 768, 786, 796.

## G.

- Ganglion (ia) cardiacum [Wrisbergi] 887.  
 > cervicale inferius 816, 878, 884, 887.  
 > > medium 816, 876, 884, 887.  
 > > superius 816, 817, 859, 874, 876, 878, 884, 886, 887.  
 > ciliare 858, 859, 861, 886;  
 > radix brevis 861, 868, 886;  
 > longa 861, 886;  
 > sympathica 886.  
 \* > coccygeum impar 836, 885.  
 > coeliaca 888, 889.  
 > geniculi 863, 868, 869, 874, 937.  
 > jugulare (n. vagi) 769, 858, 868, 872, 873, 876.  
 > lumbalia 885, 889, 890.  
 > mesentericum inferius 888.  
 > > superius 889.  
 > nodosum 872—874, 876, 878.  
 > oticum 858, 859, 867;  
 > radix sympathica 867.  
 > petrosus 769, 858, 868, 876.  
 > phrenica 888, 889.  
 > plexuum sympathicorum 888.  
 > sacralia 885, 890.  
 > semilunare [Gasseri] 769, 858—864, 868.  
 > sphenopalatinum 858, 859, 861—863, 947.  
 > spinale 753, 757—759, 810, 812.  
 > spirale (cochleae) 769, 939.  
 > splanchnicum 884.  
 > submaxillare 859, 864, 867;  
 > radix sympathica 864.

- Ganglion (ia) superius n. glossopharyngei 873, 876.  
 > thoracalia 816, 884, 887.  
 > trunci sympathici 810, 812, 884, 885.  
 > vestibulare 769, 858, 936, 939.  
 Geniculum n. facialis 869, 919.  
 Genu capsulae internae 794.  
 > corporis callosi 777, 780—783, 794, 795, 808.  
 > (internum) n. facialis 769, 787.  
 Glandula (ae) ceruminosae 920.  
 > ciliaris [Molli] 910.  
 > lacrimalis 860, 862, 902, 903, 907, 945.  
 > > inferior 906, 910, 911.  
 > > superior 906, 910, 911.  
 > mucosae [Krausei] 910.  
 > sebaceae 910, 952, 953.  
 > sudoriferae 910, 950, 951, 953.  
 > tarsales [Meibomi] 909, 910, 913.  
 Globulus pallidus 766, 790, 792—797.  
 Glomeruli arteriosi cochleae 939, 940.  
 Glomus chorioideum 781, 784, 791, 794.  
 Granulationes arachnoideales [Pacchioni] 779, 802.  
 Gyus (i) angularis 777.  
 > breves insulae 779, 780.  
 > centralis (anterior, posterior) 777, 778, 800.  
 > cerebelli 770.  
 > cerebri 775, 777, 778.  
 > cinguli 777, 783, 785, 793, 795.  
 > fornicatus 783.  
 > frontalis inferior 777, 779, 800.  
 > > medius 777, 778.  
 > > superior 777, 778, 790.  
 > fusiformis 775.  
 > hippocampi 765, 775, 783, 785.  
 > insulae 779, 793.  
 > lingualis 775, 777, 783.  
 > longus insulae 779, 780.  
 > occipitales laterales 777.  
 > > superiores 777, 778.  
 > orbitales 775, 777.  
 > profundus 779.  
 > rectus 765, 775, 793.  
 > subcallosus 764, 777, 793.  
 > supramarginalis 777.  
 > temporales transversi 779, 780.  
 > temporalis inferior 775, 777.  
 > > medius 777.  
 > > superior 777, 779.

## H.

- Habenula 782, 794.  
 Hamulus laminae spiralis 934, 936, 939.  
 Helicotrema 934, 936, 937, 939.  
 Helix 920, 921, 923.  
 Hemisphaerium cerebelli 762, 764, 770—774.  
 > cerebri 762, 763, 777, 778.  
 Hiatus semilunaris 944, 945, 947.  
 Hilus nuclei dentati 772.  
 > > olivaris 786.  
 Hippocampus 763, 781, 782, 785, 791, 795.  
 Hypophysis 760, 761, 764, 774, 776, 808.  
 Hypothalamus 764, 785.

## I.

- Impressio petrosa (cerebri) 783.  
 Incisura (ae) anterior auriculae 920.  
 > cartilaginosa meatus acustici externi [Santorini] 921, 922.



- Incisura (ae) cerebelli anterior 770.  
 > posterior 770—772.  
 > intertragica 920.  
 > tentorii 805, 860.  
 > terminalis auris 921, 922.  
 > tympanica [Rivini] 923, 924.  
 Incus 869, 925, 926, 932.  
 Infundibulum 761, 763—765, 774, 776, 808.  
 > ethmoidale 944, 945.  
 Insula 779, 790, 792—795.  
 Integumentum commune 949.  
 Intumescencia cervicalis 752, 755.  
 > lumbalis 752.  
 Iris 892—898, 908, 916.  
 Isthmus cartilaginis auriculæ 920, 921.  
 > gyri fornicati 775, 783.  
 > rhombencephali 760—762, 768, 788.  
 > tubæ auditivæ 928.

## L.

- Labium tympanicum 939.  
 > vestibulare 939.  
 Labyrinthus ethmoidalis 904, 944, 945.  
 > membranaceus 936.  
 > osseus 918, 919, 930—935.  
 Lacus lacrimalis 908, 910, 912, 913.  
 Lamina (ae) affixa 784, 785.  
 > basalis (chorioideæ) 895.  
 > basilaris 939.  
 > choriocapillaris 895.  
 > chorioidea epithelialis 763, 767, 785.  
 > cribrosa (scleræ) 899.  
 > elastica anterior [Bowmani] 748, 893.  
 > posterior [Descemeti] 893.  
 > fusca (scleræ) 892, 894, 895.  
 > medullares cerebelli 764, 772.  
 > nuclei lentiformis 793.  
 > thalami 785, 794.  
 > modioli 934.  
 > quadrigemina 764, 775, 776, 802, 808.  
 > rostralis 776.  
 > septi pellucidi 781, 784.  
 > spiralis membranacea 932, 936, 937.  
 > > ossea 930, 932—937, 939.  
 > > secundaria 932, 934, 935.  
 > suprachorioidea 893—895.  
 > terminalis 764, 776.  
 > tragi 921, 922.  
 > vasculosa (chorioideæ) 895.  
 Lanugo 910, 951, 953, 955.  
 Lemniscus lateralis (acusticus) 772, 788, 791, 796.  
 > medialis (sensitivus) 786—789, 796, 797.  
 Lens crystallina 892, 893, 895, 898, 900, 901;  
 facies anterior, posterior 900, 901.  
 Ligamentum annulare baseos stapedis 926.  
 > auriculare anterius 921.  
 > > posterius 922.  
 > > superius 921.  
 > denticulatum 755, 759, 873.  
 > incudis posterius 926.  
 > mallei anterius 923.  
 > > laterale 922, 925.  
 > > superius 924—926.  
 \* > palpebrale laterale 909, 911.  
 > > mediale 909, 912, 913.  
 > pectinatum iridis 893.  
 > spirale cochleæ 936, 939.  
 Limbus corneæ 892, 893, 908.  
 > membranæ tympani 924.  
 > palpebralis (anterior, posterior) 908, 910.

- Limen insulæ 775, 779.  
 > nasi 944.  
 Linea visus 892.  
 Lingula (cerebelli) 771—773.  
 Lobulus auriculæ 920, 922.  
 > biventer 770, 771.  
 > centralis 770—772.  
 > paracentralis 777, 800.  
 > parietalis (inferior, superior) 777, 778.  
 > quadrangularis 770.  
 > semilunaris inferior 770, 771.  
 > > superior 770.  
 Lobus frontalis 763, 776, 780.  
 > (hypophyseos) anterior 760, 764, 808.  
 > > posterior 764, 808.  
 > occipitalis 763, 776, 798.  
 > olfactorius 761—763.  
 > parietalis 763, 776, 796, 797.  
 > temporalis 763, 776, 796.  
 Locus caeruleus 768.  
 Lunula unguis 956.

## M.

- Macula (ae) acustica sacculi 936, 939.  
 > > utriculi 936, 938.  
 > cribrosæ 930, 931, 933, 935.  
 > lutea 892, 898.  
 Malleus 869, 918, 925, 926, 928.  
 Manubrium mallei 867, 922—925, 928.  
 Margo ciliaris iridis 894, 896.  
 > pupillaris iridis 896, 897, 916.  
 > unguis (lateralis, liber, occultus) 956.  
 Massa intermedia 764, 776, 782, 792, 794.  
 Matrix unguis 956.  
 Meatus acusticus externus 921, 931.  
 > > internus 926, 932—935, 937, 939.  
 > > externus 918—920, 922, 928;  
 > > \*pars cartilaginea 922, 923, 928;  
 > > \* > ossea 922, 923.  
 > nasi communis 905, 945, 947.  
 > > inferior 903, 913, 944, 945.  
 > > medius 913, 944, 945, 947.  
 > > superior 944, 945.  
 \* > > supremus (var.) 945.  
 \*Meditullium 780, 790.  
 Medulla oblongata 761—769, 786, 787, 808, 873.  
 > spinalis 752—755, 808.  
 Membrana hyaloidea 900.  
 > limitans (externa, interna) 899.  
 > mucosa nasi 947, 948.  
 > obturatoria (stapedis) 925, 926.  
 > pupillaris 916.  
 > tympani 918, 919, 922, 924—928, 932.  
 > > secundaria 926, 937.  
 > > vestibularis [Reissneri] 939.  
 Meninges encephali 802—808.  
 > spinales 758, 759.  
 Meridiani 892.  
 Mesencephalon 760—762, 764, 778, 788, 789.  
 Metathalamus 760, 761.  
 Metencephalon 760—762.  
 Modiolus 934, 936, 937, 939.  
 Monticulus 770, 772.  
 Musculus (i) antitragicus 921.  
 > arrectores pilorum 951—953.  
 > auricularis anterior (profundus) 921.  
 > > posterior 921.  
 > > superior 921.  
 > ciliaris 892—897, 901;  
 > > fibræ circulares [Muelleri] 893;  
 > > meridionales [Bruecke] 893.







- Nervus(i) iliohypogastricus 814, 815, 836, 837, 858;  
 ram. cutaneus anterior 814;  
 » » lateralis 815, 848, 851.  
 » ilioinguinalis 814, 836, 837, 848, 851, 858.  
 » infraorbitalis 859, 861, 862, 864—866.  
 » infratrochlearis 859, 860, 866, 870, 871.  
 » intercostales 810—812, 814, 884;  
 ram. cut. anterior (pector., abdom.)  
 810, 811, 814, 815;  
 » » lateralis (pector., abdom.)  
 810, 811, 813—815.  
 » intercostobrachiales 815, 822, 830.  
 » intermedius 765, 769, 774, 869, 873.  
 » interosseus (antibrachii) dorsalis 825.  
 » » volaris 827—829.  
 » » cruris 843.  
 » ischiadicus 836, 840—842, 858, 890.  
 » jugularis 874, 876, 884.  
 » labiales posteriores 853.  
 » lacrimalis 859, 860, 862, 911.  
 » laryngeus inferior 820, 858, 875, 877, 881;  
 ramus ant., post. 875, 881.  
 » laryngeus superior 858, 872, 874, 875, 877,  
 878, 880, 882, 887;  
 ramus ext. 874, 876—878, 880, 887;  
 » int. 875—877, 880, 881.  
 » lingualis 859, 863—865, 867, 877, 880, 882.  
 » lumbales 811, 813, 836, 858, 884;  
 \*ramus cutaneus dorsalis 813;  
 rami posteriores 811, 813.  
 » lumboinguinalis 837, 838, 848, 851.  
 » mandibularis 806, 807, 858—865, 868, 877.  
 » massetericus 865.  
 » masticatorius 867.  
 » maxillaris 806, 807, 858, 860—864, 866.  
 » meatus acustici externi 864, 869.  
 » medianus 816, 821—823, 826—828, 832.  
 » meningeus medius 860.  
 » mentalis 859, 865, 866.  
 » musculocutaneus 816, 821—823, 835.  
 » mylohyoideus 863, 865, 867.  
 » nasociliaris 859—861, 863, 866, 886.  
 » nasopalatinus [Scarpae] 862.  
 » obturatorius 836, 837, 839, 851, 856, 858;  
 ramus anterior 838;  
 » cutaneus 838, 848, 849, 851;  
 » posterior 838.  
 » occipitalis major 813, 818, 871.  
 » » minor 813, 816, 818, 819, 871.  
 » » tertius (var.) 813.  
 » oculomotorius 764, 765, 774, 799, 803—805,  
 859—862, 868, 886, 903, 905;  
 magva 769, 789, 799;  
 ramus inf., sup.-ja 860, 868, 886;  
 gyökere 769, 789, 803.  
 » olfactorii (\*mediales, \*laterales) 862, 863.  
 » ophthalmicus 858, 860—862.  
 » opticus 765, 766, 774, 803—807, 860, 861,  
 892, 897—899, 904, 907;  
 centrális pályája 798;  
 magja 769;  
 \*pars intracranialis, orbitalis 904.  
 fejlődése 915;  
 » palatini (anterior, medius, posterior) 859,  
 862, 863.  
 » perinei 831, 852, 853, 856.  
 » peronaeus communis 840, 842, 844, 849.  
 » » profundus 844, 845, 848, 851.  
 » » superficialis 844, 848, 851.  
 » petrosus profundus 863, 886.  
 » » superficialis major 807, 859, 860,  
 863, 869, 919.  
 » » minor 859, 860, 867.  
 Nervus(i) phrenicus 816, 817, 820, 821, 858, 877, 878.  
 » plantares (medialis, lateralis) 843, 846, 847,  
 850, 851;  
 rami cutanei 846;  
 ramus profundus 846, 847;  
 » superficialis 846, 847, 850.  
 » pterygoideus (externus, internus) 867.  
 » pudendus 811, 841, 852, 853, 856, 858, 890.  
 » radialis 816, 821—828, 830, 831, 833, 835;  
 ramus prof. 825—828;  
 » superf. 825—828, 830, 831, 833,  
 835.  
 » recurrens 872, 875, 877—881, 887.  
 » saccularis 936, 937, 939.  
 » sacrales 811, 813, 836, 885, 890;  
 rami anteriores 856, 890;  
 » posteriores 811, 813.  
 » saphenus 838, 839, 848, 849, 851;  
 rami cutan. cruris mediales 848,  
 849, 851.  
 » scrotales anteriores 814.  
 » » posteriores 852, 856.  
 » sinuvertebrales 886.  
 » spermaticus externus 814, 837, 838, 848,  
 851.  
 » sphenopalatini 861—863.  
 » spinales 759, 809—856;  
 rami anteriores 759, 810, 812;  
 » posteriores 759, 810—813.  
 » spinosus 860, 867, 868.  
 » splanchnicus major 884, 885, 888, 889.  
 » » minor 884, 885, 888.  
 » stapedius 868.  
 » subclavius 817, 820, 821.  
 » sublingualis 864, 767.  
 » suboccipitalis 813.  
 » subscapulares 816, 821—823.  
 » supraclaviculares 815—819, 830, 831, 835.  
 » supraorbitalis 859—861, 863, 870, 871, 909.  
 » suprascapularis 816, 817, 821, 824.  
 » supratrochlearis 859, 860, 866, 870, 871, 909.  
 » suralis 842, 844, 845, 849, 851.  
 » temporales profundi (ant., post.) 865.  
 » temporalis profundus medius 877.  
 » tensoris tympani 867.  
 » » veli palatini 867.  
 » tentorii 860, 864.  
 » thoracales 810—814, 858;  
 ram. ant., post.-ja 810;  
 \* » cut. dors.-sa 810, 813;  
 » » lat.-sa 810, 811, 814, 815.  
 » » anteriores 816, 817, 821.  
 » » posteriores 821.  
 » thoracalis longus 815, 816, 821.  
 » thoracodorsalis 815, 821—823.  
 » tibialis 840, 842, 843, 847, 849.  
 » trigeminus 803, 858—871;  
 börterülete 811, 858;  
 magjai 769, 787;  
 portio major, minor-ja 769, 859,  
 863, 867, 873;  
 gyökerei 769, 774, 786—789.  
 » trochlearis 767, 774, 799, 803—805, 860, 868;  
 magva 769, 791, 799;  
 gyökere 769, 774, 788, 805,  
 860.  
 » tympanicus 874, 876.  
 » ulnaris 816, 821—823, 825—833;  
 ram. cut. palmaris 826—828, 830,  
 833;  
 » dorsalis manus 825, 828, 831;  
 » prof. 826—829, 832, 833;  
 » superf. 828.



- Nervus(i) utricularis 935, 937.  
 vagus 774, 803, 807, 817, 820, 868, 872—884, 887;  
 mellkasi része 878, 879;  
 nyaki > 876, 878;  
 feji > 876;  
 magvai 769;  
 gyökerei 769, 774, 790, 791, 873, 876.  
 > vesicales inferiores 836, 856, 890.  
 > > superiores 890.  
 > vestibuli 936, 937, 939;  
 magvai 769, 787.  
 > zygomaticus 859, 862, 911.  
 Nidus avis 771.  
 Noduli lymphatici conjunctivales 910.  
 Nodulus vermis 767, 770—772.  
 Nucleus(ei) alae cinereae 769, 786.  
 > ambiguus 769, 786.  
 > amygdalae 775, 782, 792.  
 > arcuatus 786, 787.  
 > caudatus 766, 792—795, 797.  
 > colliculi inferioris 788, 791.  
 > corporis geniculati lateralis 798.  
 > > > medialis 789.  
 > > > mamillaris 785.  
 > dentatus 772, 773, 797.  
 > dorsalis [Stillingi, Clarkii] 755.  
 > emboliformis 772, 773.  
 > eminentiae medialis 787.  
 > fastigii 772, 773.  
 > funiculi cuneati 786, 796, 797.  
 > > gracilis 786, 796, 797.  
 > globosus 772.  
 > habenulae 791, 794, 795.  
 > hypothalamicus 785, 791, 792, 797.  
 > laterales 786.  
 > lemnisci lateralis 788, 796.  
 > lentiformis 766, 792—794.  
 > lentis 893, 900.  
 > n. abducentis 769, 787, 799.  
 > > accessorii 769.  
 > > acustici (dorsalis, ventralis) 787.  
 > > cochleae 769, 787.  
 > > facialis 769, 787, 800.  
 > > glossopharyngei motorius 769.  
 > > > sensibilis 769, 787.  
 > > hypoglossi 769, 786, 800.  
 > > oculomotorii 769, 789, 799.  
 > > optici 769.  
 > > trigemini motorius 769.  
 > > > sensibilis 769, 787.  
 > > trochlearis 769, 788, 791, 799.  
 > > vagi (motorius, sensibilis) 769.  
 > > vestibuli 769, 787.  
 > olivares accessorii 786.  
 > olivaris inferior 773, 786, 787, 790.  
 > > superior 787.  
 > originis nn. cerebralium 769.  
 > pontis 725.  
 > radialis descendens n. trigemini 769.  
 > ruber 785, 789, 791.  
 > thalami anterior 785, 794.  
 > > lateralis 794.  
 > > medialis 794.  
 > tractus solitarii 769.  
 > > spinalis n. trigemini 769.

## O.

- Obex 768.  
 Oliva 752, 753, 763, 765, 766.

- Operculum 777.  
 Ora serrata 892, 893, 895, 898, 901.  
 Orbiculus ciliaris 894—897, 901.  
 Orbita 903—907.  
 Organa sensuum 891—956.  
 Organon auditus 917—940.  
 > olfactus 941—948.  
 > spirale [Cortii] 939.  
 > tactus 949—956.  
 > visus 891—916.  
 > vomeronasale [Jacobsoni] 943, 948.  
 Ossicula auditus 918, 919, 925.  
 Ostium pharyngeum tubae auditivae 918, 919, 928.  
 > tympanicum > > 918, 928.

## P.

- Pallium 760, 761.  
 Palpebrae (inf., sup.) 908—911, 913;  
 fejlődése 914;  
 facies anterior 908;  
 > posterior 909;  
 \*pars orbitalis, tarsalis 908;  
 nyílirányú metszete 910.  
 Panniculus adiposus 950, 951.  
 Papilla(ae) corii 950, 951.  
 > lacrimalis 908—910, 912.  
 > nervi optici 892, 898, 899, 916.  
 > pili 952, 953.  
 Pariet (cavi tympani) jugularis 926, 933.  
 > > > labyrinthicus 923, 927.  
 > > > lateralis 924, 926.  
 > > > membranaceus 927.  
 > > > tegmentalis 926, 931.  
 Pars basilaris pontis 787, 788.  
 > centralis ventriculi lateralis 781, 784, 785, 792.  
 > ciliaris retinae 892, 893, 898.  
 > dorsalis pontis 788.  
 > flaccida (membranae tympani) 922, 924, 925.  
 > frontalis capsulae internae 793, 794.  
 > grisea hypothalami 760.  
 > libera columnae fornicis 783, 795.  
 > mamillaris hypothalami 760, 761.  
 > marginalis (sulci cinguli) 777.  
 > occipitalis capsulae internae 794.  
 > opercularis (gyri frontalis inferioris) 777, 800.  
 > optica hypothalami 760, 761.  
 > orbitalis (gyri frontalis inferioris) 777.  
 > subfrontalis (sulci cinguli) 777.  
 > tecta columnae fornicis 783, 795.  
 > tensa (membranae tympani) 924.  
 > triangularis (gyri frontalis inferioris) 777.  
 Pedunculus cerebri 760, 761, 765—768, 774, 789—791.  
 \* > coronae radiatae 766, 790.  
 > corporis callosi 777.  
 > flocculi 767, 771.  
 > thalami inferior 792, 797.  
 Perineurium 746.  
 Periorbita 902, 904, 906, 907.  
 Pia mater encephali 779, 785, 802.  
 > > spinalis 754, 755, 759, 802.  
 Pilus 952, 953.  
 Pinguicula 908.  
 Plexus cavernosi concharum 945.  
 > chorioideus ventriculi lateralis 762, 763, 780, 781, 784, 785, 790.  
 > > > quarti 764, 767, 774.  
 > > > tertii 764, 785, 791.  
 > gangliosus ciliaris 894, 896.



- Plexus (nervorum)** aorticus abdominalis 888—890.  
 > > > thoracalis 879, 887.  
 > > alveolaris inferior 859.  
 > > brachialis 816, 817, 821—823, 884;  
 > > > börtérülete 811;  
 > > > pars infraclavicularis 822, 823;  
 > > > supraclavicularis 817, 821.  
 > > cardiacus 878, 887.  
 > > caroticus communis 876.  
 > > > externus 859, 864.  
 > > > internus 859, 867, 874,  
 > > > 884, 886, 903.  
 > > cavernosus (a sinus cavern.-ban)  
 > > > 886.  
 > > > penis 890.  
 > > cervicalis 816—819, 878, 884;  
 > > > börtérülete 757, 858.  
 > > coccygeus 856.  
 > > coeliacus 888, 889.  
 > > coronarius cordis anterior 887.  
 > > > posterior 887.  
 > > deferentialis 890.  
 > > dentalis inferior 865.  
 > > > superior 862.  
 > > gastricus anterior 879.  
 > > > posterior 872.  
 > > > superior 888, 889.  
 > > haemorrhoidalis medius 890.  
 > > > superior 890.  
 > > hepaticus 888, 889.  
 > > hypogastricus 888, 890.  
 > > iliacus 888, 890.  
 > > lienalis 888, 889.  
 > > lumbalis 836, 837, 885;  
 > > > börtérülete 811.  
 > > lumbosacralis 836, 890.  
 > > maxillaris externus 859.  
 > > > internus 867.  
 > > meningeus 859, 867.  
 > > mesentericus inferior 888—890.  
 > > > superior 888, 889.  
 > > oesophageus 872, 879.  
 > > parotideus 871.  
 > > pharyngeus 876, 877.  
 > > phrenicus 888, 889.  
 > > prostaticus 890.  
 > > pudendus 836, 856, 890.  
 > > pulmonalis anterior 820, 878.  
 > > > posterior 872, 879.  
 > > renalis 888, 889.  
 > > sacralis 836, 856, 885;  
 > > > börtérülete 811.  
 > > spermaticus 888, 889.  
 > > subclavius 816, 884, 887.  
 > > suprarenalis 888, 889.  
 > > sympathici 888—890.  
 > > thyreoideus inferior 884.  
 > > tympanicus [Jacobsoni] 874.  
 > > vertebralis 814, 884, 887.  
 > > vesicalis 890.
- Plica (ae) ciliares** 895.  
 > > incudis 925, 926.  
 > > iridis 896.  
 > > lacrimalis [Hasneri] 913.  
 > > malleolaris anterior 924.  
 > > > posterior 924.  
 \* > > membranae tympani anterior 924.  
 \* > > > posterior 924.  
 > > n. laryngei 875.  
 > > salpingopalatina 928.  
 > > semilunaris conjunctivae 908, 910, 912.
- Polus anterior bulbi** 892.  
 > > > lentis 900.
- Polus frontalis** 774, 775, 778, 779.  
 > > > occipitalis 774, 775, 778.  
 > > > posterior bulbi 892.  
 > > > > lentis 900.  
 > > > temporalis 774, 775, 779, 782, 793.
- Pons [Varoli]** 760, 761, 763—766, 771—774, 776,  
 787, 788, 908.
- \***Ponticulus (auriculae)** 921.
- Porus sudoriferus** 950.
- Praecuneus** 777.
- Processus ciliaris** 892, 893, 895, 897, 901.  
 > > > lenticularis 925.  
 > > > mallei anterior [Folii] 923, 925.  
 > > > > lateralis 923, 925.  
 > > > > reticularis 755, 786.  
 > > > > sphenoidalis (septi cartilaginei) 943, 947.  
 > > > > triangularis 921, 922.
- Prominentia canalis semicircularis later.** 923, 927.  
 > > > malleolaris 924, 925.  
 > > > spiralis 939.
- Promontorium (cavi tympani)** 923, 927, 931, 933.
- Prosencephalon** 760, 761.
- Pulvinar** 766, 767, 769, 795.
- Punctum lacrimale** 908—910, 912.
- Pupilla** 894, 896, 908.
- Putamen** 766, 790—797.
- Pyramis medullae oblongatae** 752, 753, 764, 765,  
 773, 786, 787, 790, 791.  
 > > > vermis 770—772.  
 > > > vestibuli 931, 933, 935.

## R.

- Radiatio corporis callosi** 780, 782, 790, 791, 801.  
 > > > striati 790.  
 > > > occipitalthalamica [Gratioleti] 791, 794, 798.
- Radix (ices) cochlearis** 769, 787.  
 > > > descendens (mesencephalica) n. trige-  
 > > > mini 769, 788.  
 \* > > n. abducentis 769, 805.  
 \* > > > accessorii cerebrales 769, 873.  
 \* > > > > spinalis 769, 786, 873.  
 \* > > > > acustici 769, 774, 787.  
 \* > > > > facialis 769, 771, 774, 787.  
 \* > > > > glossopharyngei 769, 774, 787, 876.  
 \* > > > > hypoglossi 769, 774, 786.  
 \* > > > > oculomotorii 769, 774, 788, 799.  
 \* > > > > trigemini 769, 774, 786, 787, 860.  
 \* > > > > trochlearis 769, 774, 788, 860.  
 \* > > > > vagi 774, 873, 876.  
 \* > > > > > motoria 769.  
 \* > > > > > sensibilis 769.  
 \* > > > > > nn. cerebralia 774.  
 > > > > > > spinalium (anteriores, posteriores)  
 > > > > > > 752, 753, 755—759, 769, 810, 812.  
 > > > > > > pili 952, 953.  
 > > > > > > tractus optici (lat., med.) 765, 798.  
 > > > > > > unguis 956.  
 > > > > > > vestibularis 769, 787.
- Ramus (i) alveolares (superiores)** 859, 861, 862.  
 > > > anastomoticus, lásd a megfelelő ideget.  
 > > > anterior, lásd a megfelelő ideget.  
 > > > auricularis (n. vagi) 868, 876.  
 > > > bronchiales anteriores 820, 878, 887.  
 > > > > posteriores 872, 879.  
 > > > buccales (n. facialis) 871.  
 > > > calcanei mediales, laterales 843—851.  
 \* > > > cardiacus (n. laryngei sup.) 874, 877, 887.  
 > > > > inferior (n. vagi) 820, 878, 887.  
 > > > > superior (n. vagi) 872, 878, 887.



- Ramus(i) coeliacusa (a chorda oesoph. post.-nak) 872.
- > colli (n. facialis) 818, 819, 871.
  - > communicans 759, 810, 812, 816, 836, 837, 884—887.
  - > cutaneus (i), lásd a megfelelő ideget.
  - > dentales 862, 865.
  - > descendens n. hypoglossi 817, 858, 877.
  - > dorsalis manus (n. ulnaris) 825.
  - > digastricus 869, 871.
  - > externus, lásd a megfelelő ideget.
  - > frontalis 860, 861, 865, 870, 871.
  - > gingivales 862, 865.
  - > hepaticijae (a chorda oesoph. ant.-nak) 872, 879.
  - > infrapatellaris 838, 858.
  - > internus, lásd a megfelelő ideget.
  - > isthmi faucium (n. lingualis) 864, 867.
  - > labiales inferiores 865, 866.
    - > superiores 865, 866, 871.
  - > laryngopharyngei 876.
  - > linguales (n. glossopharyngei) 875, 881.
    - > (n. lingualis) 880, 882.
  - > mammarii 815.
  - > marginalis mandibulae 818, 866, 870, 871.
  - > meningeus 886.
  - > mentales 866.
  - > musculares, lásd a megfelelő ideget.
  - > nasales anteriores 859, 863.
    - > externi 863, 865, 866.
    - > interni (mediales) 862.
    - > (laterales) 863.
    - > posteriores 859, 863, 947.
  - > occipitalis (n. facialis) 871.
  - > oesophagei 872, 877—881.
  - > palmaris n. mediani 826—828, 830, 833.
  - > palpebrales inferiores 861, 866, 870.
    - > superiores 870.
  - > parotidei 864.
  - > pericardiacus 820.
  - > perineales 840, 841, 849, 852, 853.
  - > pharyngeus 872, 874—878, 884.
  - > phrenicoabdominales 820, 888.
  - > profundus, lásd a megfelelő ideget.
  - > pulmonales (trunci sympathici) 884, 887.
  - > renalis (n. splanchnici minoris) 888.
  - \* > sacculoampullaris 937.
  - > scrotalis (n. cut. femoris posterioris) 841.
  - > stylohyoideus 869.
  - > stylopharyngeus 817, 877.
  - > submaxillares (n. lingualis) 864, 867.
  - > superficialis, lásd a megfelelő ideget
  - > superior, lásd a megfelelő ideget.
  - > temporales (n. facialis) 870, 871.
  - > thyreochoyoideus 817, 877, 878.
  - > tonsillares 881.
  - > tracheales 872, 875, 878, 880, 881.
  - \* > utriculoampullaris 936, 937.
  - > zygomatici (n. facialis) 866, 870, 871.
  - > zygomaticofacialis 862, 865, 870.
  - > zygomaticotemporalis 862, 870.
- Raphe medullae oblongatae 764, 767, 773, 786.
- > pontis 787, 788.
- Recessus cochlearis 930.
- > ellipticus 930, 931, 933.
  - > epitympanicus 924—928, 932.
  - > (fossae interpeduncularis) anterior 764.
  - > posterior 764, 772, 788, 791.
  - > infundibuli 764.
  - \* > lateralis ventriculi quarti 767.
  - > membranae tympani (anterior, posterior, superior) 922, 924, 925.
- Recessus opticus 764, 793.
- > pharyngeus [Rosenmuelleri] 919, 946.
  - > pinealis 764.
  - > sphaericus 930, 931, 933.
  - > sphenothmoidalis 944, 945.
  - > suprapinealis 764.
  - > triangularis 764, 784, 792, 795.
- Regio olfactoria 948.
- > respiratoria 948.
- Retina 892, 897—899, 901; fejlődése 914; pars ciliaris, pars optica 892, 893, 898.
- Retinacula cutis 953, 956.
- Rhinencephalon 760, 761, 775.
- Rhombencephalon 760, 761, 764.
- Rima cornealis 893.
- > palpebrarum 908.
- Rivus lacrimalis 909.
- Rostrum corporis callosi 764, 777, 793, 795.

## S.

- Sacculus 936, 937, 939.
- Saccus endolymphaticus 836, 837.
- > lacrimalis 912, 913, 915.
- Scala tympani 930, 932, 934—937, 939.
- > vestibuli 930, 934, 935, 937, 939.
- Scapha 920.
- Scapus pili 952, 953.
- Sclera 892—895, 897—899, 902, 915.
- Septum cartilagineum nasi 943.
- \* > intermedium 755.
  - > membranaceum nasi 942.
  - > mobile nasi 913, 942, 943.
  - > nasi 905, 914, 943, 945—948.
  - > orbitale 907, 909.
  - > osseum nasi 943.
  - > pellucidum 763, 764, 776, 781, 782, 808.
  - \* > posterius 755.
  - \* > subarachnoideale 755, 759.
- Sinus durae matris 804—807.
- > frontales 904, 906, 944.
  - > maxillaris [Highmori] 918, 944—947.
  - > paranasales 944.
  - > sphenoidalis 903, 905, 907, 944, 945, 947.
  - > venosus sclerae 893, 897.
- Spatium (ia) interfasciale [Tenoni] 907.
- > intervaginalia 899.
  - > perichorioideale 893.
  - > perilymphaticum 937—939.
  - > zonularia 893, 895.
- Spina heliçis 920, 921.
- > supræmeatum 921, 923, 927.
  - > tympanica (major, minor) 923, 924.
- Splenium corporis callosi 775, 780, 783, 794, 795, 808.
- Stapes 922, 923, 925.
- Stratum album profundum 789.
- > corneum 950, 956.
  - > cutaneum (membr. tympani) 925.
  - > germinativum [Malpighii] 950, 956.
  - > griseum centrale 788, 789, 791.
  - > colliculi superioris 789.
  - > interolivare lemnisci 786.
  - > lucidum 950.
  - > mucosum (membr. tympani) 925.
  - > nucleare (medullae oblongatae) 767, 772.
  - > pigmenti iridis 893, 896.
  - > retinae 893, 895, 899, 915.
  - > zonale (thalami) 685, 688, 689.
- Stria (æ) longitudinales (later., med.) 780, 793.
- > malleolaris 924.



- Stria (ae) medullares (acusticae) 768, 787.  
 > medullaris thalami 763, 782, 785, 794.  
 > olfactoriae (intermedia, lateralis, medialis) 765, 775.  
 > terminalis 767, 781, 782, 784, 785.  
 > transversae 780.  
 > vascularis 939.
- Stroma iridis 893, 896.
- Substantia corticalis cerebelli 764, 772.  
 > > cerebri 785.  
 > > lentis 893, 900.  
 > > pili 952.
- \* > ferruginea 772, 788.  
 > gelatinosa (cerebri) 786, 787, 796.  
 > > [Rolandi] 754, 755, 786.  
 > grisea centralis 755.  
 > lentis 893, 900.  
 > medullaris pili 952.  
 > nigra 775, 788, 789, 791, 792.  
 > perforata anterior 765, 774, 775, 792, 793.  
 > > posterior 765, 775, 789.  
 > propria corneae 893.
- \* > > membranae tympani 925.  
 > reticularis alba 786.  
 > > > [Arnoldi] 785.  
 > > > grisea 786—788.
- Sulcus (i) ampullaris 938.  
 > anthelicis transversus 920, 921.  
 > auriculae posterior 920.  
 > basilaris 765, 787.  
 > centralis [Rolandi] 776, 778.  
 > cerebelli 770.  
 > cerebri 775, 777, 778.  
 > cinguli 777.  
 > circularis [Reili] 779, 780.  
 > corporis callosi 777, 783, 785, 793.  
 > cruris helices 920, 921.  
 > cutis 950, 951.  
 > frontalis inferior 776.  
 > > superior 776, 778.
- \* > hippocampi 763.  
 > horizontalis cerebelli 770—772.  
 > hypothalamicus [Monroi] 764.  
 > infrapalpebralis 908.
- \* > intermarginalis 908.  
 > intermedius anterior 753.  
 > > posterior 753, 755, 768.  
 > interparietalis 776, 778.  
 > lacrimalis 912.  
 > lateralis anterior (medullae spin.) 753, 755, 812.  
 > > posterior ( > > ) 753, 755, 768.  
 > > mesencephali 766, 788, 789.  
 > limitans fossae rhomboideae 768, 787.
- \* > longitudinalis fossae rhomboideae 768, 787.  
 > matricis unguis 956.  
 > medianus posterior (medullae spin.) 752, 753, 755.  
 > nasalis posterior 944, 946.  
 > n. oculomotorii 764, 765.  
 > occipitales laterales 776.  
 > > superiores 776, 778.
- \* > occipitalis anterior 776.  
 > > transversus 776.  
 > olfactorius 774, 775.  
 > orbitales 775.
- \* > orbitopalpebralis (inf., sup.) 908.  
 > parolfactorius (ant., post.) 777.  
 > praecentralis 776, 778.  
 > promontorii 927, 930.  
 > sclerae 892.
- Sulcus (i) spiralis 939.  
 > subparietalis 777.  
 > temporales transversi 779.  
 > temporalis inferior 775.  
 > > medius 776.  
 > > superior 776, 779.  
 > tubae auditivae 929.  
 > tympanicus 925, 933.
- Supercilium 908.
- Systema nervorum centrale 751—808.  
 > > periphericum 809—882.  
 > > sympathicum 883—890.

## T.

- Taenia chorioidea 767, 782, 784, 785.  
 > fimbriae 784, 785.  
 > fornicis 784, 785.  
 > thalami 784, 785.  
 > ventriculi quarti 767, 768, 773.
- Taeniae telarum 784.
- Tapetum 782, 791, 798.
- Tarsus inferior 907, 909.  
 > superior 903, 904, 907, 909—911.
- Tegmen ventriculi quarti 766, 773.
- Tegmentum 775, 789.
- Tela chorioidea ventriculi quarti 767, 773, 786.  
 > > > tertii 764, 776, 784, 785, 789, 791, 802.  
 > > > subcutanea 910, 950, 951, 953.
- Telencephalon 760—762.
- Tentorium cerebelli 803—805, 808, 860.
- Thalamus 760, 761, 763, 764, 767, 782, 785, 790—797.
- Tonsilla cerebelli 770—773.
- Torus tubarius 919, 928, 946.
- Tractus olfactorius 765, 766, 774, 775, 862.  
 > opticus 765, 766, 774, 789—793, 798.  
 > solitarius 768, 786, 787.  
 > spinalis n. trigemini 768, 786.  
 > spiralis foraminosus 932, 935.
- Tragi 920.
- Tragus 920, 923, 928.
- Trigonum collaterale 781, 782.  
 > habenulae 767, 782.  
 > lemnisci 766, 768.  
 > n. hypoglossi 768.  
 > olfactorium 765, 774, 775, 793.
- Truncus corporis callosi 780, 783—785, 802, 808.  
 > lumbosacralis 836, 856, 885.  
 > sympathicus 812, 816, 836, 837, 856, 874, 876, 878, 884, 888, 890;  
 \* > pars cervicalis 884;  
 \* > lumbalis 885;  
 \* > sacralis 885;  
 \* > thoracalis 884.
- Tuba auditiva [Eustachii] 918, 919, 924, 926, 928, 929, 946;  
 > pars cartilaginea, ossea 926, 928.
- Tuber cinereum 765, 774, 776.  
 > vermis 770—772.
- \*Tuberculum acusticum 768.  
 > anterius thalami 782.  
 > auriculae [Darwini] 920.  
 > cinereum 766, 768, 786.
- \* > cuneatum 753, 766, 768.  
 > supratragicum 920.
- Tunica dartos 951.  
 > fibrosa oculi 892.  
 > propria (corii) 950.  
 > vasculosa oculi 894—896.



## U.

- Umbo (membranae tympani) 924, 925.  
 Uncus (gyri hippocampi) 763, 765, 775, 782.  
 Ungues 956.  
 Utriculus 869, 936—938.  
 Uvula (vermis) 770—773.

## V.

- Vagina n. optici 897, 899.  
 Vallecule cerebelli 771.  
 Vallum unguis 956.  
 Vas prominens 940.  
 \* > spirale 940.  
 Velum medullare anterius 760, 761, 764, 767,  
 771—773, 776, 788.  
 > > posterius 767, 771—773.  
 Vena (ae) aquaeductus vestibuli 940.  
 > auditivae internae 940.  
 > basalis [Rosenthalii] 784.  
 > canaliculi cochleae 940.  
 > centralis retinae 897, 899.  
 > cerebri magna [Galeni] 764, 784, 805.  
 > > interna 784, 789, 791.  
 > chorioidea 784.  
 > ciliares anteriores 893, 895, 897.  
 > > posteriores breves 895, 897, 899.  
 > conjunctivales (anteriores, posteriores) 897.  
 > episclerales 893, 897.

- Vena (ae) ophthalmomeningea 804, 805.  
 > septi pellucidi 784, 793.  
 > spinales 754, 786.  
 > spiralis modioli 940.  
 > terminalis 784, 785, 792, 793.  
 > vestibulares 943.  
 > vorticosae 894, 897.  
 Ventriculus lateralis 762, 763, 780, 781, 784, 791—795.  
 > quartus 761, 763, 764, 766, 767, 772, 773,  
 776, 798, 802, 808.  
 > terminalis 753, 794.  
 > tertius 763, 764, 776, 782, 785, 790—794,  
 802, 808.  
 Venulae retinae 889.  
 Vermis 764, 766.  
 \* > inferior 770—772.  
 \* > superior 770—773, 797.  
 Vertex corneae 892.  
 Vesicula ophthalmica 762.  
 Vestibulum labyrinthi 926, 930—932, 934, 935, 937.  
 > nasi 913, 943, 944, 946, 947.  
 Vibrissae 942.  
 Vinculum lingulae (cerebelli) 771.  
 Vortex coccygeus 955.  
 Vortices pilorum 955.

## Z.

- Zonula ciliaris [Zinni] 892, 893, 901.

## Magyar nevek:

## A.

Agyvelőalap 774.  
 Agyvelőkamara harmadik 764, 785, 791—793, 808.  
 » negyedik 764, 767, 768, 772, 773, 808.  
 Agyvelőidegek 857—882.  
 » kilépési helye 804, 807.  
 Agyvelő 760, 761, 706—790, 791—795, 796—801.  
 Alkar idegei 825—831.  
 Ammonszarv 765.  
 Ágyéki gerincvelő 752—755.  
 » keresztfonat 836.  
 » idegek 836.

## B.

Bőr 950, 951, 954.  
 Bőridegek az alsó végtagon 844—851.  
 » a férfi ivarszerveken 854, 855.  
 » a felső végtagon 830—835.  
 » az orron 865, 866, 871.  
 » a törzsön 813—815.  
 Burdach-pálya 756.

## C.

Clark-oszlop 755—757.  
 Corti-szerv 939.  
 Csiga 930, 931, 933—940.  
 Csigaablak 930, 935.  
 Csigacsatorna 936.  
 » nyílásai 931, 933.  
 Csigaidég 937.

## D.

Darwin-gumó 920.  
 Deiters-mag 787.  
 Dendrit 747, 750.  
 Dobtűreg 918, 919, 923, 926—928, 931—933, 935.  
 » idegei 874.  
 Dobhártya 918, 922—926.  
 Ducsejtek 747, 750, 755—757.

## E.

Elülső piramispálya 756, 800.  
 Epiduralis üreg 759.  
 Érzékszervek 891—956.

## F.

Faggyúmirigyek 952, 953.  
 Felső szemhéj emelője 902.  
 Féreg 770, 772.  
 Fülkagyló idegei 818, 819, 864, 868, 870, 871.  
 » izmai 921.  
 Fül belső 918, 930—940.  
 » külső 918, 920—924.  
 Fülkürt 918, 919, 928, 929, 946.

## G.

Gát idegei (férfi) 852.  
 » » (nő) 853.  
 Gerincvelő 752—759.  
 » burkai 758, 759, 806, 807.  
 Gége idegei 875, 880, 881.  
 Goll-pálya 756.  
 Golgi-sejt 756.  
 Gyomor idegei 879.

## H.

Haj 952.  
 » bunkó 952, 953.  
 » hagyma 952, 953.  
 » tüsző 951—953.  
 » tüszőizom 952—953.  
 » üveg hártyája.  
 Hallócsontok 923, 925, 926.  
 Hallóhólyag 762—858.  
 Hallóideg 918, 937.  
 Hallójárat belső 930, 932, 933, 935.  
 » külső 918, 920, 922, 923, 925, 927, 928, 932.  
 Hallólabyrinthus 918, 919, 926, 930—935, 936—940.



Hasi zsigerek idegei 888, 889.  
Hátidegek 810, 812, 814.  
Herezacsckó idegei 852.  
Híd 764—766, 771, 787, 788, 790, 791, 792, 808.

**I.**

Idegrendszerrel általában 745—750.  
Idegrendszer centralis 751—808.  
    > periferiás 809—882.  
    > szimpatias 883—890.  
Idegrostok 746, 750.  
Ikertelep 764, 766, 767, 782.  
Ivjáratok 930—933, 935, 938.

**J.**

Jakobson-porc 943, 948.  
Jakobson-szerv 943, 948.

**K.**

Kalapács 925.  
Karidegfonat 816.  
Kemény agyvelőburok 804—807.  
    >           >           öblei 804—807.  
Kérges test 764, 780, 783, 784, 795, 801, 808.  
Keresztesonti idegek 836.  
Kéz idegei 829, 831—834.  
Kisagyvelő hámispheriumai 770, 772, 773.  
Könnycsatornácskák 912, 913.  
Könnykészülék 911—913.  
Könnymirigy 902—911.  
Könnypont 913, 913.  
Könnyorrvezeték 912, 913.  
Köröm 956.  
Kötőhártya 909—911.  
Középső agyvelő 760, 762, 764—769, 788, 789.  
    >       fül 918, 925—931.

**L.**

Labirintus 930—940.  
    >       endolimfás ürege 937, 938.  
    >       erei 940.  
Láb idegei 844—847.  
Látóhártya 898, 899, 916.  
Látóideg 798, 898, 899, 904, 906.  
    >       burkai 899.  
    >       keresztződés 798, 904.  
Látószerv 891—916.  
Látótelep 764, 767, 780, 782, 783, 791, 784, 795.  
Lencse 893, 895, 900, 901, 916.  
Levegőcső idegei 880, 881, 887.

**M.**

Madársarkantyú 782.  
Medencei zsigerek idegei 890.  
Meibom-mirigy 909, 910.  
Meissner-tapintótest 749.  
Mellkasi szervek idegei 887.  
Moll-mirigy 910.

**N.**

Nagyagyvelő commissurája 764, 793, 795, 801.  
    >       tekervényei 775, 777, 778.  
    >       hámispheriumai 776, 779, 783.  
Nyaki gerincvelő 752—756.  
    >       idegek 817—819, 876, 877.  
    >       idegfonat 816.  
Nyelőcső idegei 878—881.  
Nyelv idegei 875, 877, 880—882.  
Nyultagyvelő 764, 769, 773, 786, 787, 790, 808.

**O.**

Oldalkamarák 780—782, 784, 785, 701—795.  
Oldalsó piramispálya, 756, 800.  
Orr 913, 941, 942, 944—947, 948.  
    >       légző része 948.  
    >       melléküregei 944.  
    >       nyálkahártya idegei 862, 863.  
    >       porcok 943, 944.  
Összekötőkarok 766, 768, 771—773

**P.**

Paccioni-granulatiok 802.  
Paccini test 749, 834.  
Pelyhecske 766, 767.  
Pelyhecskenyél 767, 771.  
Perilimfás üreg 937.  
Pitvarablak 930, 931, 933.  
Pitvarideg 937.  
Pitvar (labirintus) 930—933, 935.  
    >       (orr) 943.  
Pókháló burok az agyvelőn 779, 802, 803.  
    >       a gerincvelőn, 758, 759.  
Purkinje-sejt 747.  
Piramis keresztződés 786, 790.  
    >       pálya 790.

**R.**

Ranvier-befűződés 746.  
Rekeszizomideg 820.  
Rosenmüller-árok 946.  
Rostlefutás az agyvelőben 796—801.  
    >       a gerincvelőben 756—757.

**S.**

Sárga folt 898.  
Schwann-burok 746.  
Subarachnoidális üreg az agyvelőn 802, 803.  
    >       >       a gerincvelőn 759, 802,  
            863.  
    >       >       a látóidegen 899.  
Subduralis üreg az agyvelőn 803.  
    >       >       a gerincvelőn 759.  
    >       >       a látóidegen 899.  
Sylvius-rés 779.  
Sylvius-vezeték 764.

Szaglóterület 948.  
 Szaglószer 941—948.  
 Szaruhártya 892.  
 Szemcsarnok 893.  
 Szemfejlődés 914—916.  
 Szemhéj 908—910.  
 Szemhéjszallagok 909—911.  
 Szem idegei 798, 799, 868.  
 Szemgolyó erei 897, 898.  
 Szemizmok 907.  
 Szemüreg 904—907.  
 Sziget 779, 780.  
 Szimpatias ideglánc ducai 810, 816.  
 Szimpatias idegrendszer fonatai 888—890.  
 Szív idegei 887.  
 Szívárványhártya 893, 894, 896—916.

**T.**

Tapiatószer 949—956.  
 Tengelyfonál 746, 747.

Tenon-tok 907.  
 Tenon-üreg 907.  
 Trigemínuscsoport 858, 871.

**U.**

Ujjak idegei 833, 834.  
 Üllő 925.  
 Üvegtest 900, 915.

**V.**

Vaguscsoport 872—882.  
 Váll idegei 822—824.  
 Verejtékmirigyek 950, 951, 953.  
 Végbukó 749.  
 Végfácska 756.  
 Véggúp (gerincevelő) 753, 754.  
 Véglemez 749, 750.



Società  
Lavis Lavagna u.

